UNIVERSITE DE MONTREAL

# ANALYSE DE L'ASPECT SAISONNIER DES DEBITS EXTREMES A TRAVERS LE CANADA

V. 2

par

Louise REMILLARD

DEPARTEMENT DE GENIE CIVIL

ECOLE POLYTECHNIQUE

MEMOIRE PRESENTE EN VUE DE L'OBTENTION
DU GRADE DE MAITRE ES SCIENCES APPLIQUEES (M.Sc.A.)

Mars 1989

c droits réservés de Louise Rémillard 1989.

# A N N E X E  D

Résultats de l'analyse saisonnière et de l'analyse de fréquence des stations hydrométriques considérées en Ontario

Tableau D.1 - Résultats de l'analyse de fréquence des stations hydrométriques considérées en Ontario

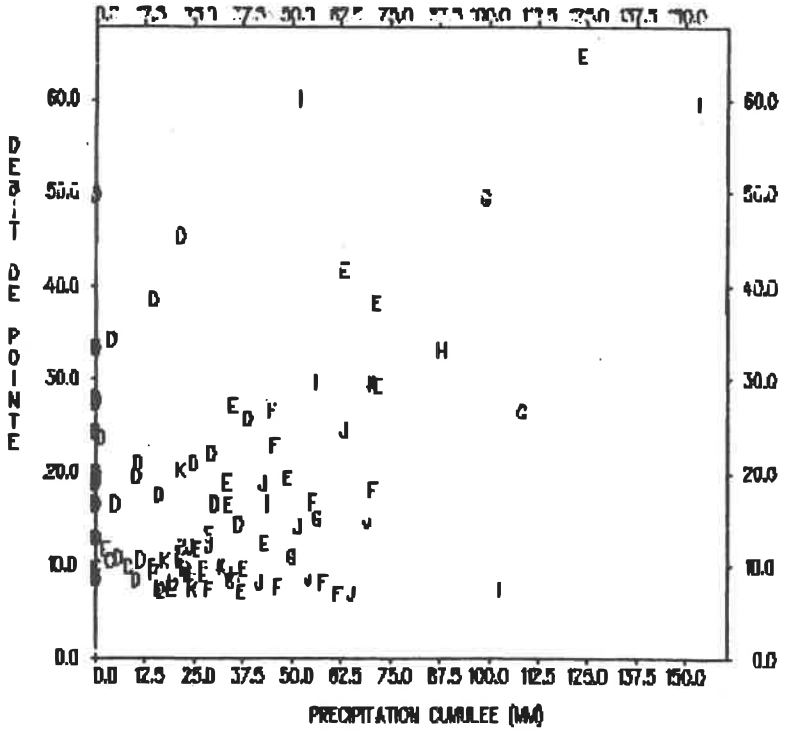
| No. Station | $Q_{base}$ | Nbr. moy. exc. | Découpage | | | Tests d'ajustement | | | $\lambda_k$ | $\beta_k$ | $C_v$ |
|---|---|---|---|---|---|---|---|---|---|---|---|
| | | | Type | Critères | Nbr. exc. | Exponentielle Kolmo. Smir. | Exponentielle $\chi^2$ | Poisson $\chi^2$ | | | |
| 1. 02AB008 | 14.8 | 1.48 | 1 | 15 mars-31 mai | 30 | A | A | A | 0.97 | 0.0813 | 0.969 |
| (69) | | | | 01 juin-31 nov | 16 | A | A | R | 0.52 | 0.0697 | |
| | | | | 01 déc -14 mars | 0 | * | * | * | 0.00 | 0.0000 | |
| 2. 02EA005 | 32.3 | 0.97 | 1 | 15 mars-31 mai | 60 | A | A | R | 0.87 | 0.0689 | 0.860 |
| (70) | | | | 01 juin-30 sept | 2 | * | * | * | 0.03 | 0.0709 | |
| | | | | 01 oct -31 déc | 3 | * | * | * | 0.04 | 0.1754 | |
| | | | | 01 jan -14 mars | 2 | * | * | * | 0.03 | 0.1724 | |
| 3. 02EC002 | 99.4 | 1.0 | 1 | 01 mars-31 mai | 63 | A | A | R | 0.91 | 0.0281 | 0.728 |
| (71) | | | | 01 juin-30 sept | 1 | * | * | * | 0.01 | 0.0424 | |
| | | | | 01 oct -31 déc | 4 | * | * | * | 0.06 | 0.0428 | |
| | | | | 01 jan -29 fév | 1 | * | * | * | 0.01 | 0.0174 | |
| 4. 02ED003 | 63.1 | 1.5 | 1 | 01 mars-31 mai | 44 | A | A | A | 1.22 | 0.0222 | 1.064 |
| (72) | | | | 01 juin-29 fév | 10 | A | * | * | 0.28 | 0.0269 | |
| 5. 02FB007 | 15.7 | 1.5 | 1 | 01 fév -30 avr | 52 | A | A | R | 1.08 | 0.0759 | 0.911 |
| (73) | | | | 01 mai -31 oct | 4 | * | * | * | 0.08 | 0.0988 | |
| | | | | 01 nov -31 jan | 16 | A | A | A | 0.33 | 0.3071 | |
| 6. 02FC001 | 362.0 | 1.0 | 1 | 01 fév -30 avr | 61 | A | A | R | 0.87 | 0.0052 | 0.793 |
| (74) | | | | 01 mai -31 oct | 4 | * | * | * | 0.06 | 0.0068 | |
| | | | | 01 nov -31 jan | 5 | A | * | * | 0.07 | 0.0206 | |
| 7. 02FC002 | 151.0 | 1.49 | 1 | 01 fév -30 avr | 81 | A | A | R | 1.16 | 0.0072 | 0.890 |
| (75) | | | | 01 mai -30 juin | 9 | A | * | * | 0.13 | 0.0229 | |
| | | | | 01 juil-30 sept | 1 | * | * | * | 0.01 | 0.0313 | |
| | | | | 01 oct -31 jan | 13 | A | * | * | 0.19 | 0.0148 | |
| 8. 02FC011 | 16.0 | 1.45 | 1 | 01 fév -30 avr | 32 | A | A | R | 1.03 | 0.0763 | 1.073 |
| (76) | | | | 01 mai -31 oct | 5 | A | * | * | 0.16 | 0.1155 | |
| | | | | 01 nov -31 jan | 8 | A | * | * | 0.26 | 0.3137 | |
| 9. 02FF002 | 109.0 | 1.5 | 1 | 01 déc -31 mai | 51 | A | A | A | 1.34 | 0.0144 | 0.970 |
| (77) | | | | 01 juin-30 nov | 6 | A | * | * | 0.16 | 0.0339 | |

## Tableau D.1 - Suite

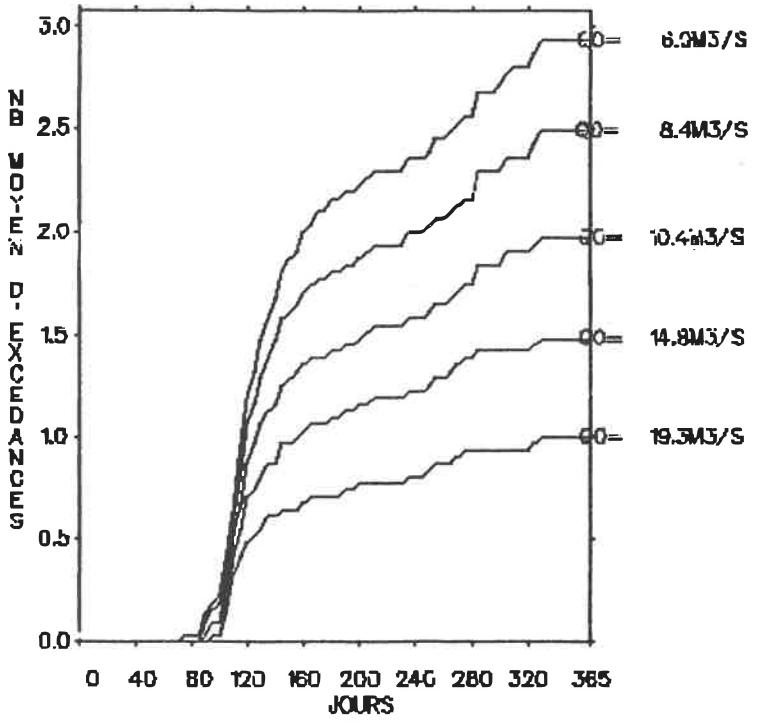
| No. Station | $Q_{base}$ | Nbr. moy. exc. | Découpage | | | Tests d'ajustement | | | $\lambda_k$ | $\beta_k$ | $C_v$ |
|---|---|---|---|---|---|---|---|---|---|---|---|
| | | | Type | Critères | Nbr. exc. | Exponentielle Kolmo. Smir. | Exponentielle $\chi^2$ | Poisson $\chi^2$ | | | |
| 10. 02GA010 | 142.0 | 0.98 | 1 | 01 fév -31 mai | 36 | A | A | R | 0.82 | 0.0137 | 0.903 |
| (78) | | | | 01 juin-30 nov | 1 | * | * | * | 0.02 | 0.0054 | |
| | | | | 01 déc -31 jan | 6 | A | * | * | 0.14 | 0.1277 | |
| 11. 02GA018 | 111.0 | 1.0 | 1 | 01 mars-31 mai | 22 | A | A | A | 0.65 | 0.0129 | 0.807 |
| (79) | | | | 01 juin-30 nov | 3 | * | * | * | 0.09 | 0.0192 | |
| | | | | 01 déc -29 fév | 9 | A | * | * | 0.26 | 0.0386 | |
| 12. 02GD010 | 32.6 | 1.0 | 1 | 01 fév -31 mai | 22 | A | R | A | 0.67 | 0.0442 | 1.038 |
| (80) | | | | 01 juin-31 oct | 3 | * | * | * | 0.09 | 0.1974 | |
| | | | | 01 nov -31 jan | 7 | A | * | * | 0.21 | 0.1022 | |
| 13. 02GG002 | 72.2 | 1.5 | 1 | 01 fév -30 avr | 33 | A | A | A | 0.92 | 0.0257 | 0.981 |
| (81) | | | | 01 mai -30 juin | 8 | A | * | * | 0.22 | 0.0693 | |
| | | | | 01 juil-30 nov | 3 | * | * | * | 0.08 | 0.1875 | |
| | | | | 01 déc -31 jan | 10 | A | * | * | 0.28 | 0.0497 | |
| 14. 02HC009 | 12.6 | 1.45 | 1 | 01 fév -31 mai | 39 | A | A | A | 1.26 | 0.0987 | 1.065 |
| (82) | | | | 01 juin-31 jan | 6 | A | * | * | 0.19 | 0.0568 | |
| 15. 02KB001 | 140.0 | 1.0 | 1 | 15 mars-31 mai | 65 | A | R | R | 0.94 | 0.0109 | 0.722 |
| (83) | | | | 01 juin-14 mars | 4 | * | * | * | 0.06 | 0.2667 | |
| 16. 02LB007 | 22.7 | 1.47 | 1 | 01 mars-30 avr | 45 | A | A | R | 1.32 | 0.0415 | 0.810 |
| (84) | | | | 01 mai -31 déc | 3 | * | * | * | 0.09 | 0.5882 | |
| | | | | 01 jan -29 fév | 2 | * | * | * | 0.06 | 0.0471 | |
| 17. 04JA002 | 161.0 | 1.0 | 1 | 15 avr -30 juin | 33 | A | A | R | 0.97 | 0.0139 | 0.648 |
| (85) | | | | 01 juil-31 oct | 1 | * | * | * | 0.03 | 0.0833 | |
| | | | | 01 nov -14 avr | 0 | * | * | * | 0.00 | 0.0000 | |
| 18. 04JC003 | 153.0 | 0.97 | 1 | 15 avr -30 juin | 32 | A | A | R | 0.94 | 0.0148 | 0.749 |
| (86) | | | | 01 juil-31 oct | 1 | * | * | * | 0.03 | 0.5000 | |
| | | | | 01 nov -14 avr | 0 | * | * | * | 0.00 | 0.0000 | |

## Figure D.1 - Suite et fin

| No. Station | $Q_{base}$ | Nbr. moy. exc. | Découpage | | | Tests d'ajustement | | | $\lambda_k$ | $\beta_k$ | $C_v$ |
|---|---|---|---|---|---|---|---|---|---|---|---|
| | | | Type | Critères | Nbr. exc. | Exponentielle Kolmo. Smir. | Exponentielle $\chi^2$ | Poisson $\chi^2$ | | | |
| 19. 04LJ001 | 634.0 | 1.0 | 1 | 01 avr -15 juin | 64 | A | A | R | 1.00 | 0.0034 | 0.752 |
| (87) | | | | 16 juin-31 mars | 0 | * | * | * | 0.00 | 0.0000 | |
| 20. 05PA006 | 190.0 | 1.0 | 1 | 01 mai -30 juin | 42 | A | R | R | 0.67 | 0.0056 | 0.755 |
| (88) | | | | 01 juil-31 nov | 21 | A | A | A | 0.33 | 0.0121 | |
| | | | | 01 déc -31 avr | 0 | * | * | * | 0.00 | 0.0000 | |
| 21. 05PB014 | 60.3 | 1.49 | 1 | 01 avr -31 juil | 81 | A | A | R | 1.25 | 0.0162 | 0.787 |
| (89) | | | | 01 août-30 nov | 16 | A | A | A | 0.25 | 0.0192 | |
| | | | | 01 déc -31 mars | 0 | * | * | * | 0.00 | 0.0000 | |
| 22. 05QA001 | 100.0 | 1.25 | 1 | 01 mai -31 juil | 55 | R | R | R | 0.92 | 0.0051 | 0.759 |
| (90) | | | | 01 août-30 nov | 20 | A | A | A | 0.33 | 0.0080 | |
| | | | | 01 déc -30 avr | 0 | * | * | * | 0.00 | 0.0000 | |
| 23. 05QE009 | 16.2 | 1.48 | 1 | 20 avr -30 juin | 21 | A | A | A | 0.91 | 0.0420 | 0.858 |
| (91) | | | | 01 juil-30 nov | 13 | A | * | * | 0.57 | 0.0875 | |
| | | | | 01 déc -19 avr | 0 | * | * | * | 0.00 | 0.0000 | |

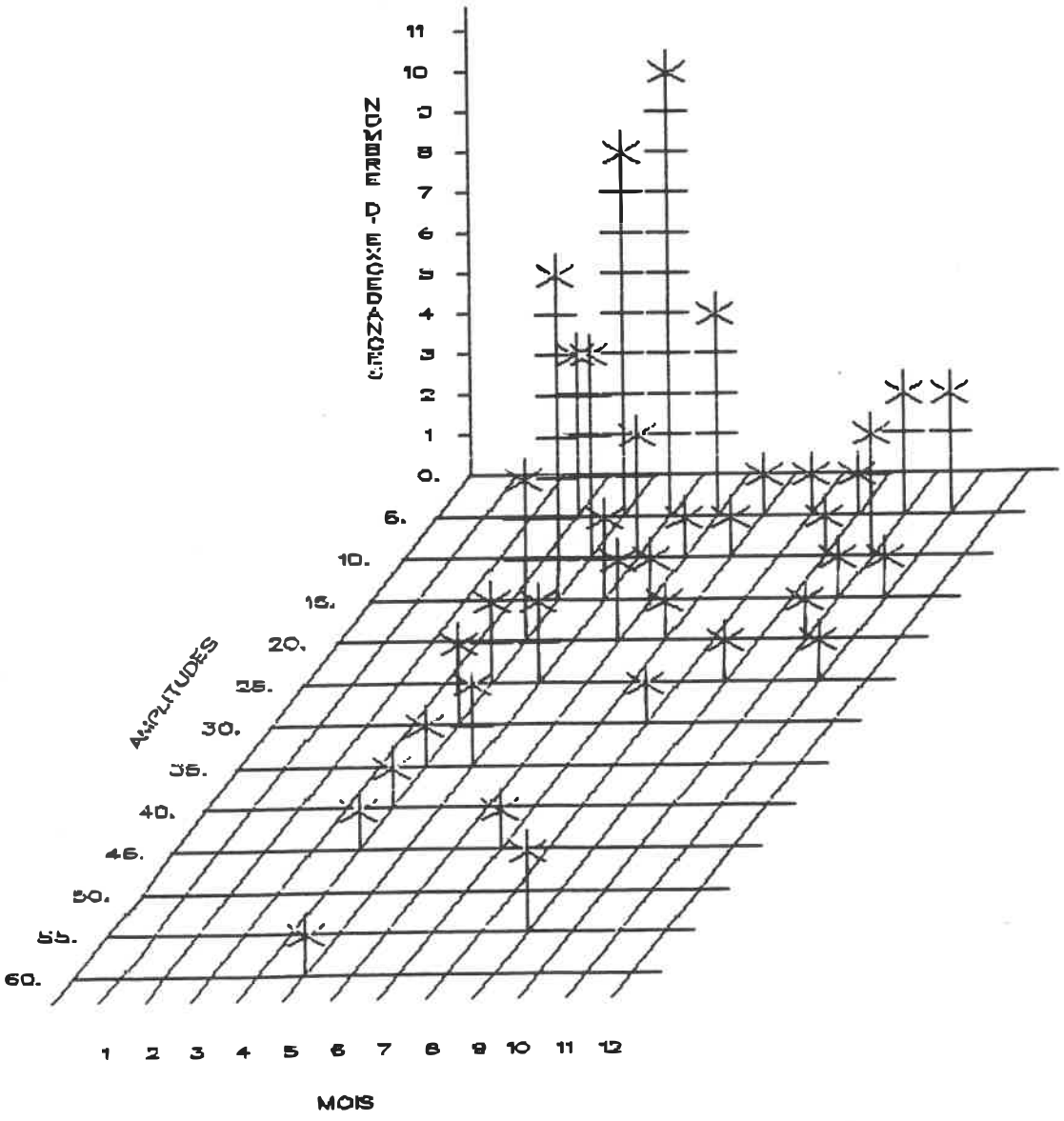



D1.a - Graphe du débit de pointe ($m^3/s$) en fonction de la précipitation cumulée (mm)

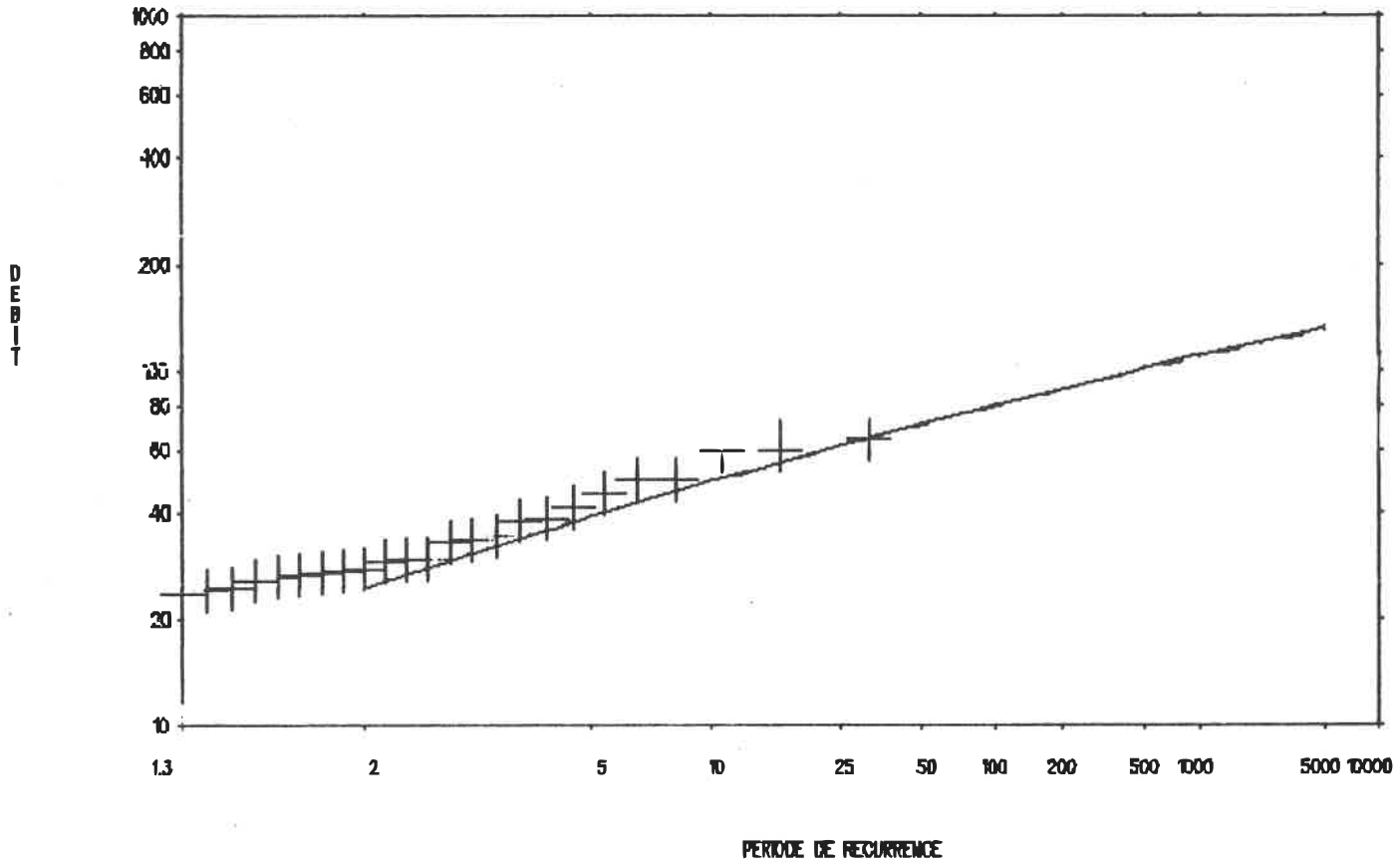



D1.b - Graphe du nombre moyen d'excédances en fonction du temps pour différents débits de base

Figure D1 - Station 02AB008



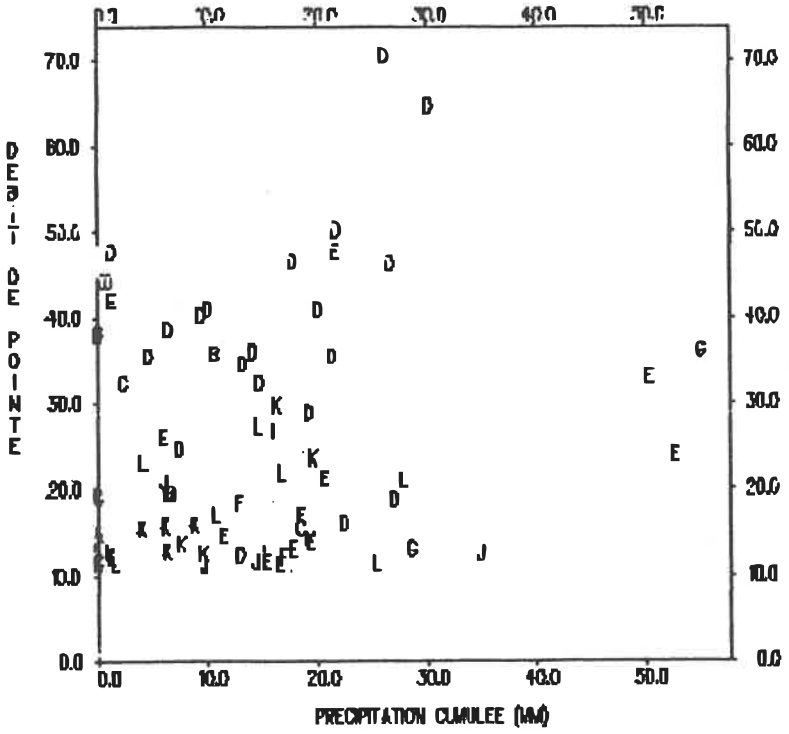

D1.c - Histogramme du nombre d'excédances en fonction de l'amplitude ($m^3/s$) et du mois

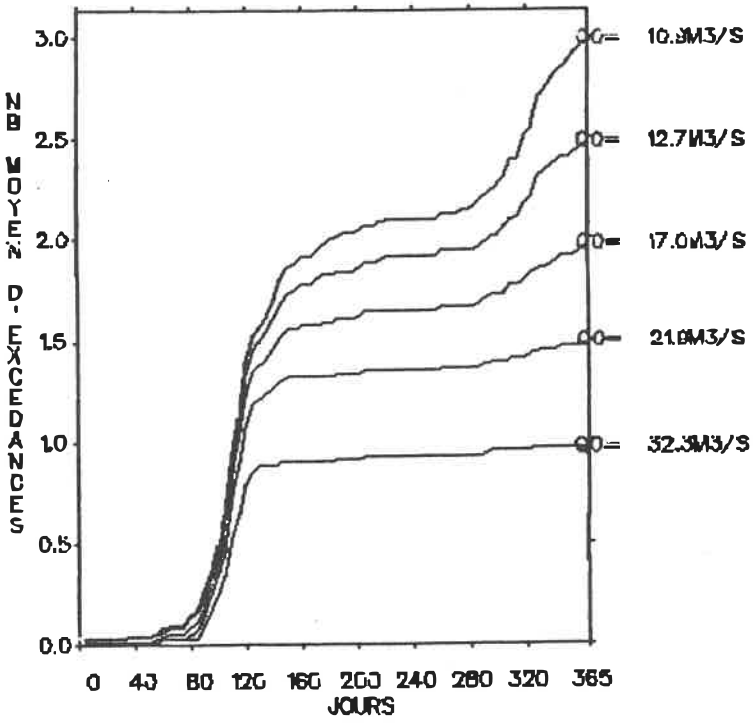



D1.d - Graphe du débit de pointe ($m^3/s$) en fonction du nombre d'années de récurrence

—— découpage en périodes homogènes

—·—· analyse annuelle

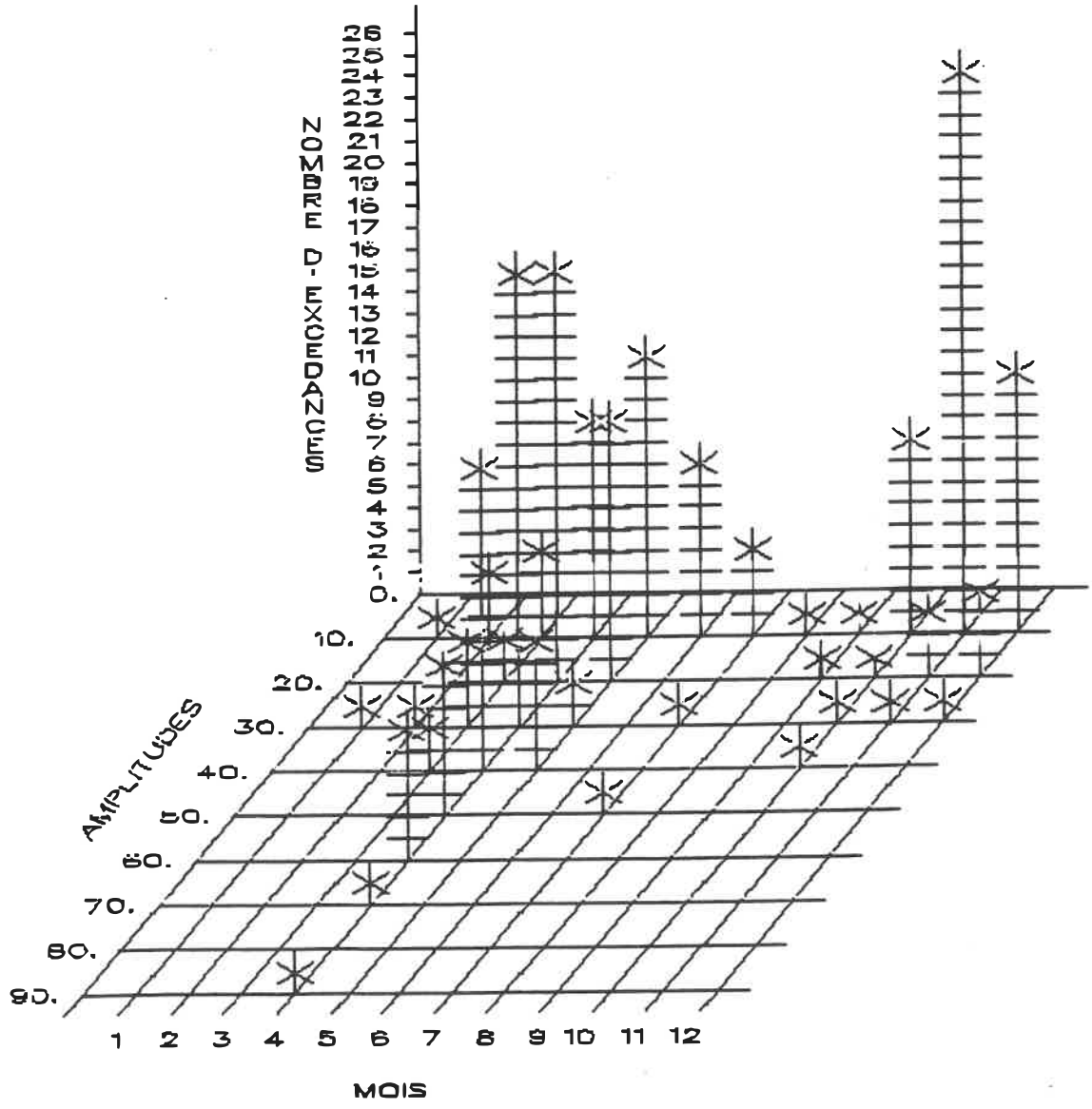


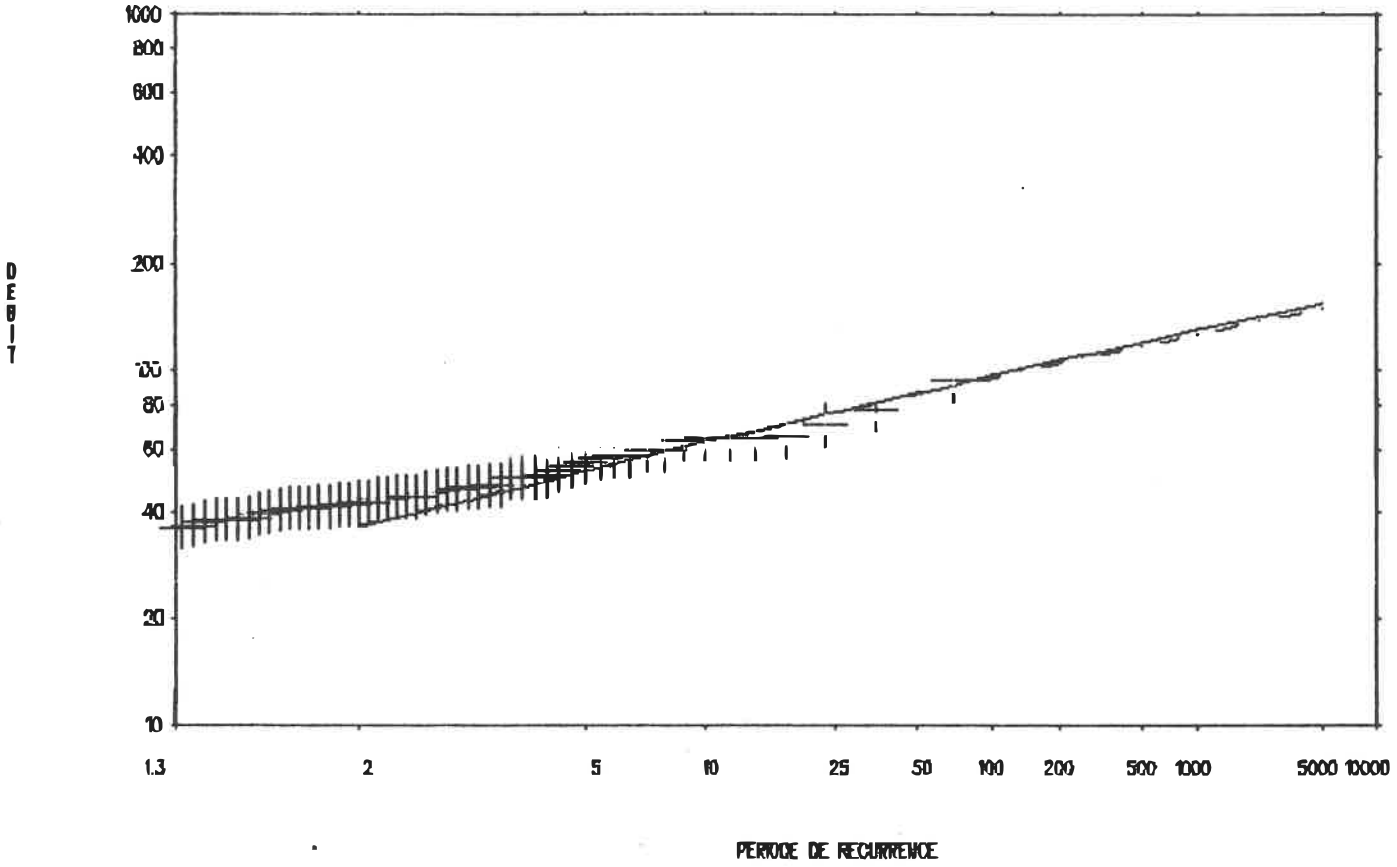

D2.a - Graphe du débit de pointe ($m^3/s$) en fonction de la précipitation cumulée (mm)

D2.b - Graphe du nombre moyen d'excédances en fonction du temps pour différents débits de base

Figure D2 - Station 02EA005



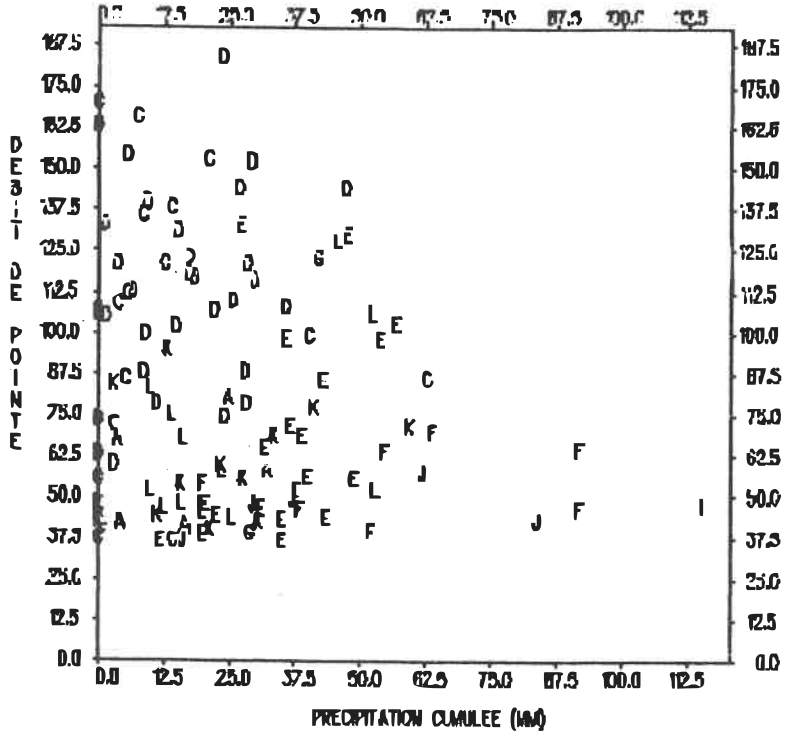

D2.c - Histogramme du nombre d'excédances en fonction de l'amplitude ($m^3/s$) et du mois

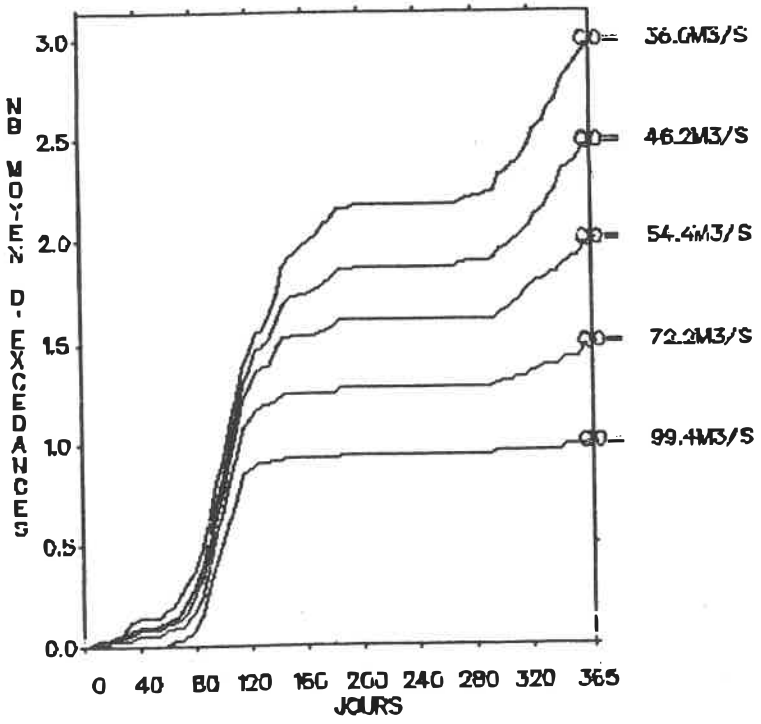



D2.d - Graphe du débit de pointe ($m^3/s$) en fonction du nombre d'années de récurrence

——— découpage en périodes homogènes

—·—· analyse annuelle

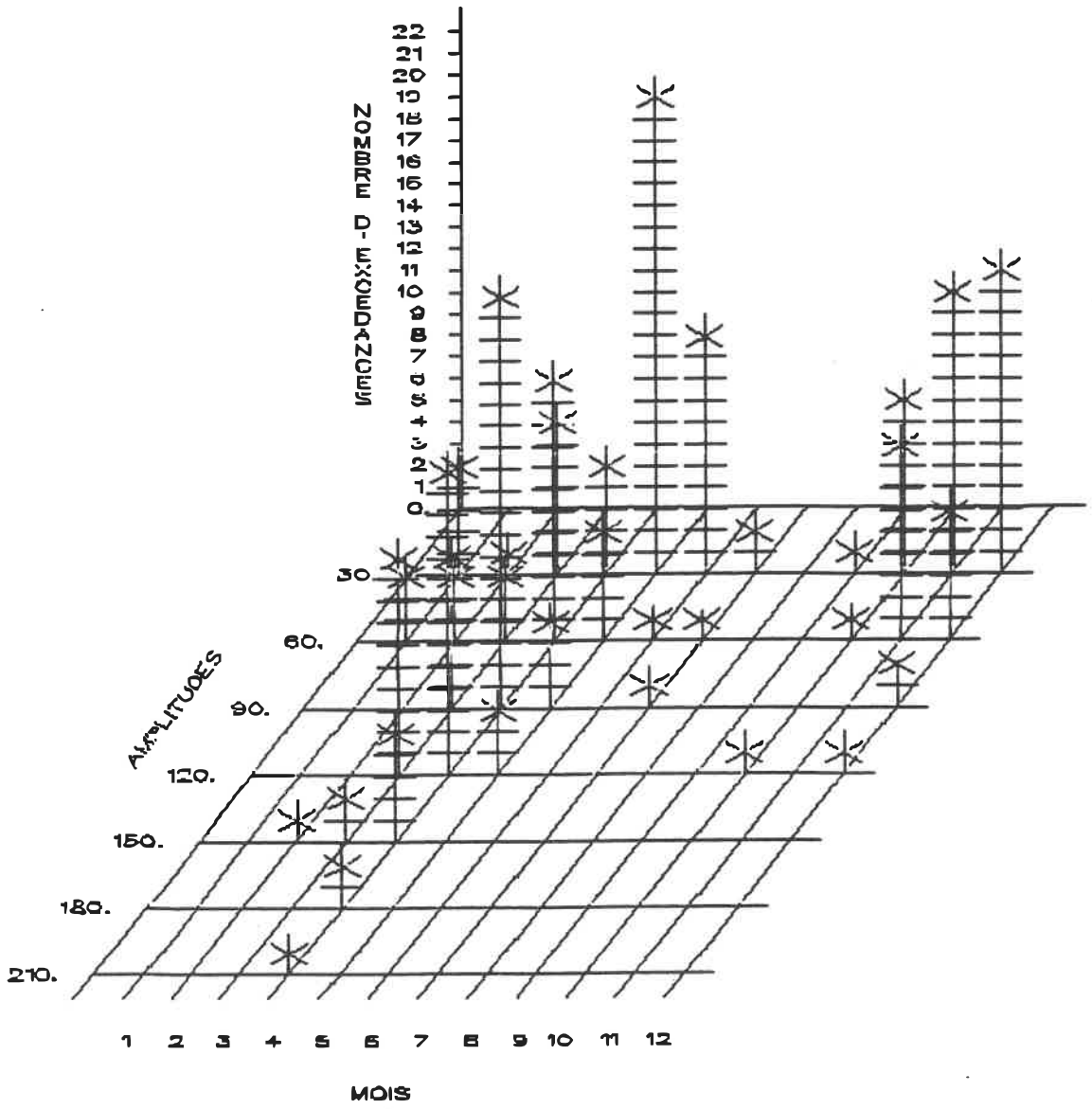


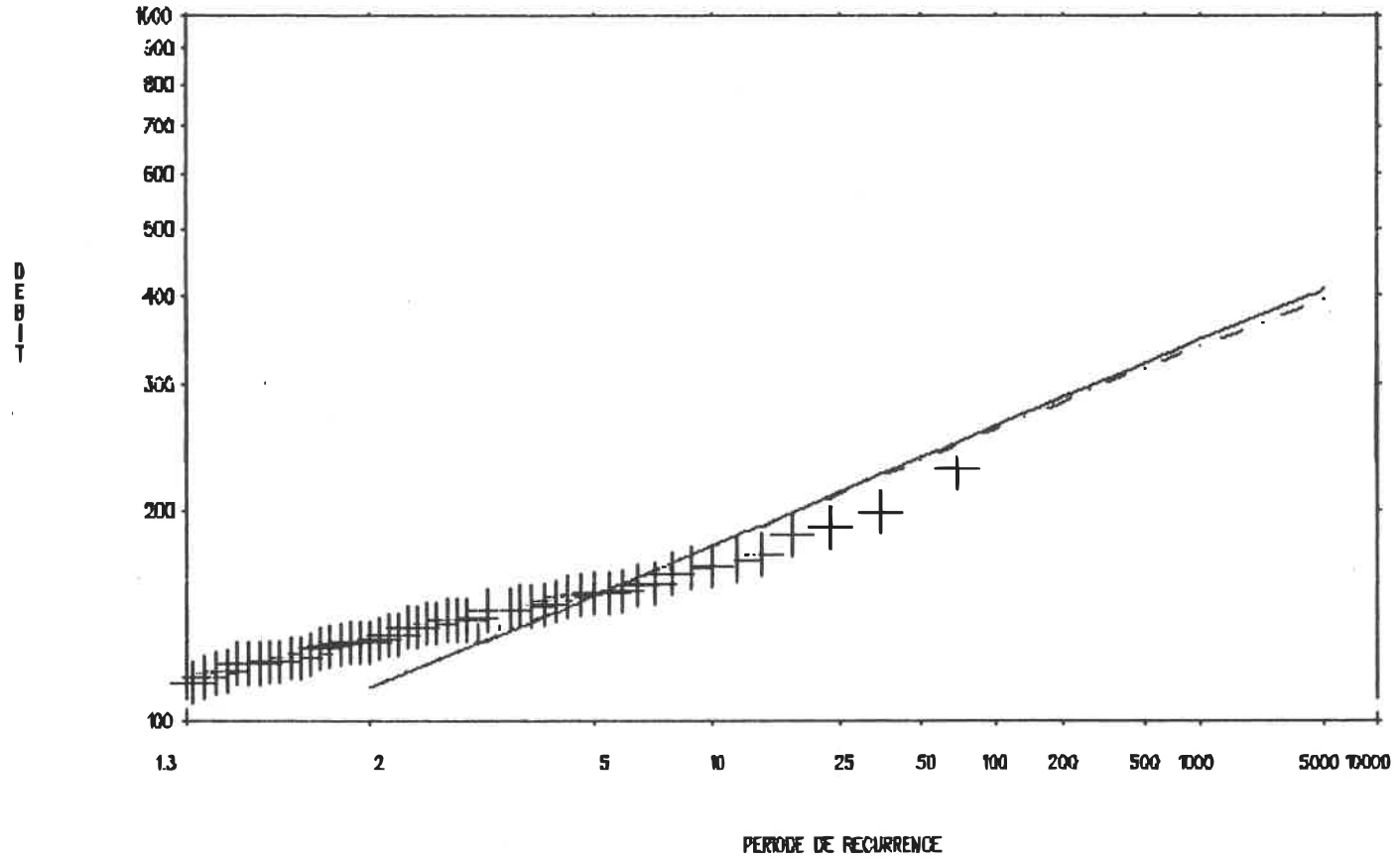

D3.a - Graphe du débit de pointe ($m^3/s$) en fonction de la précipitation cumulée (mm)

D3.b - Graphe du nombre moyen d'excédances en fonction du temps pour différents débits de base

Figure D3 - Station 02EC002



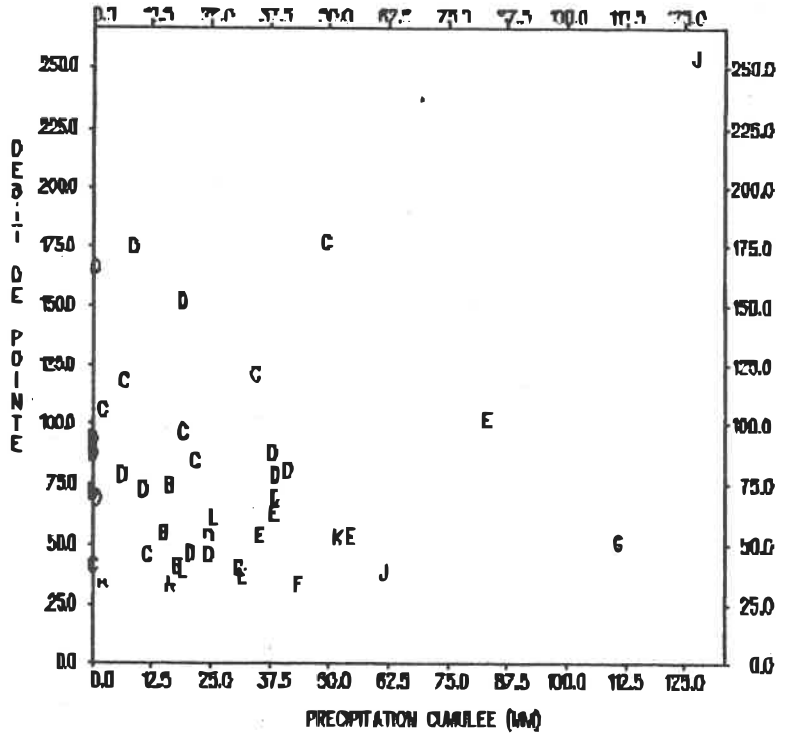

D3.c - Histogramme du nombre d'excédances en fonction de l'amplitude ($m^3/s$) et du mois



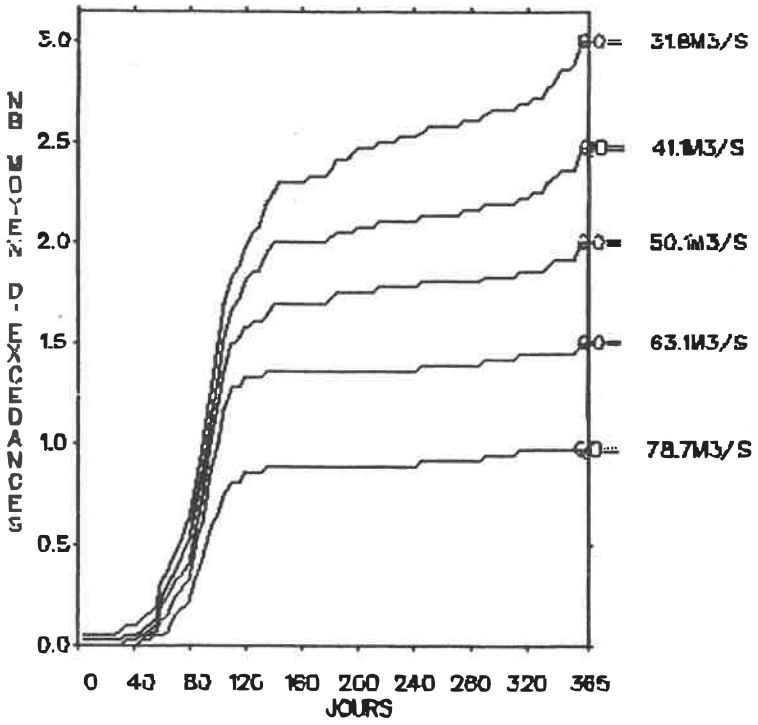

D3.d - Graphe du débit de pointe ($m^3/s$) en fonction du nombre d'années de récurrence

—— découpage en périodes homogènes

—·—· analyse annuelle

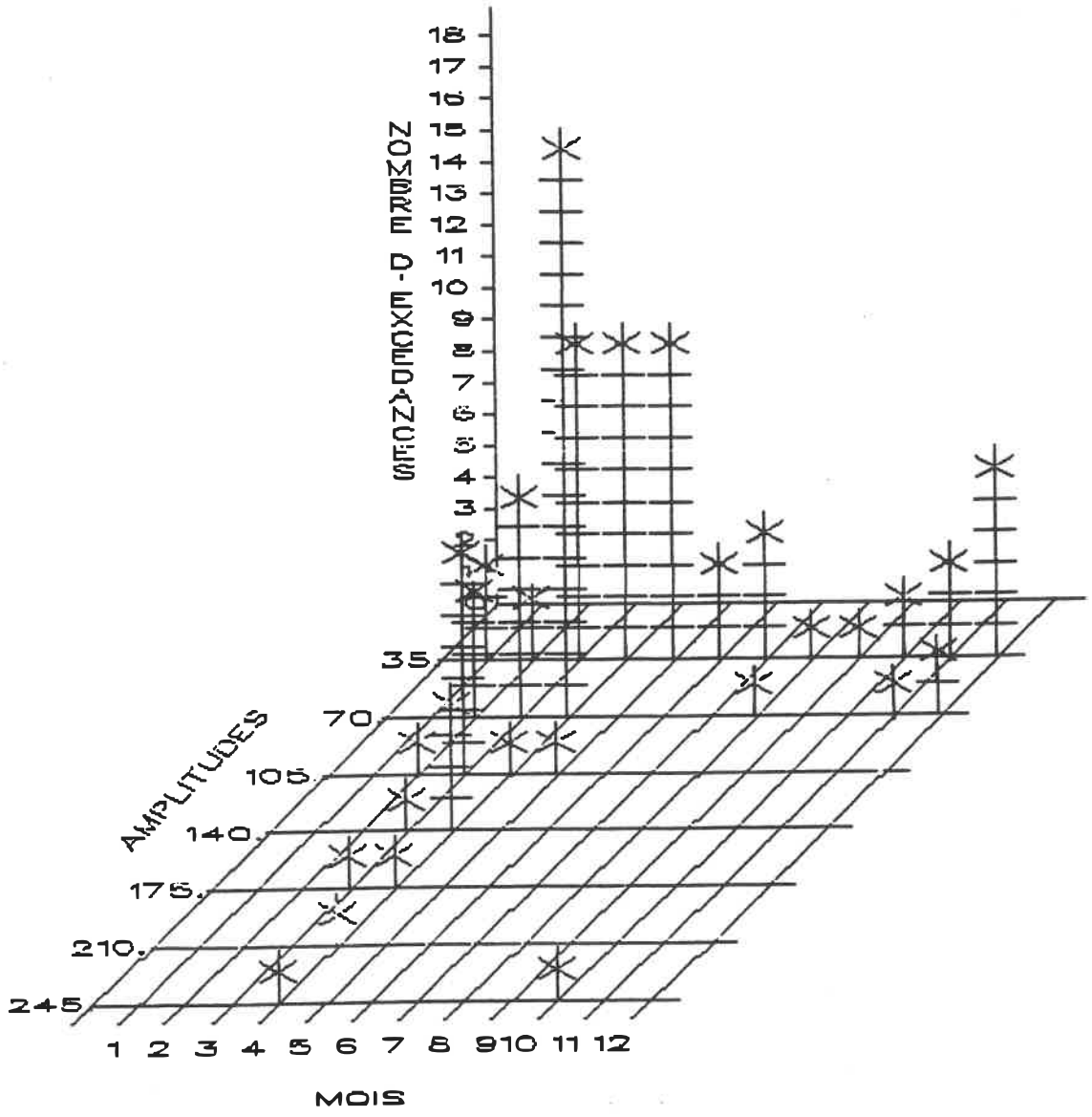



D4.a - Graphe du débit de pointe ($m^3/s$) en fonction de la précipitation cumulée (mm)

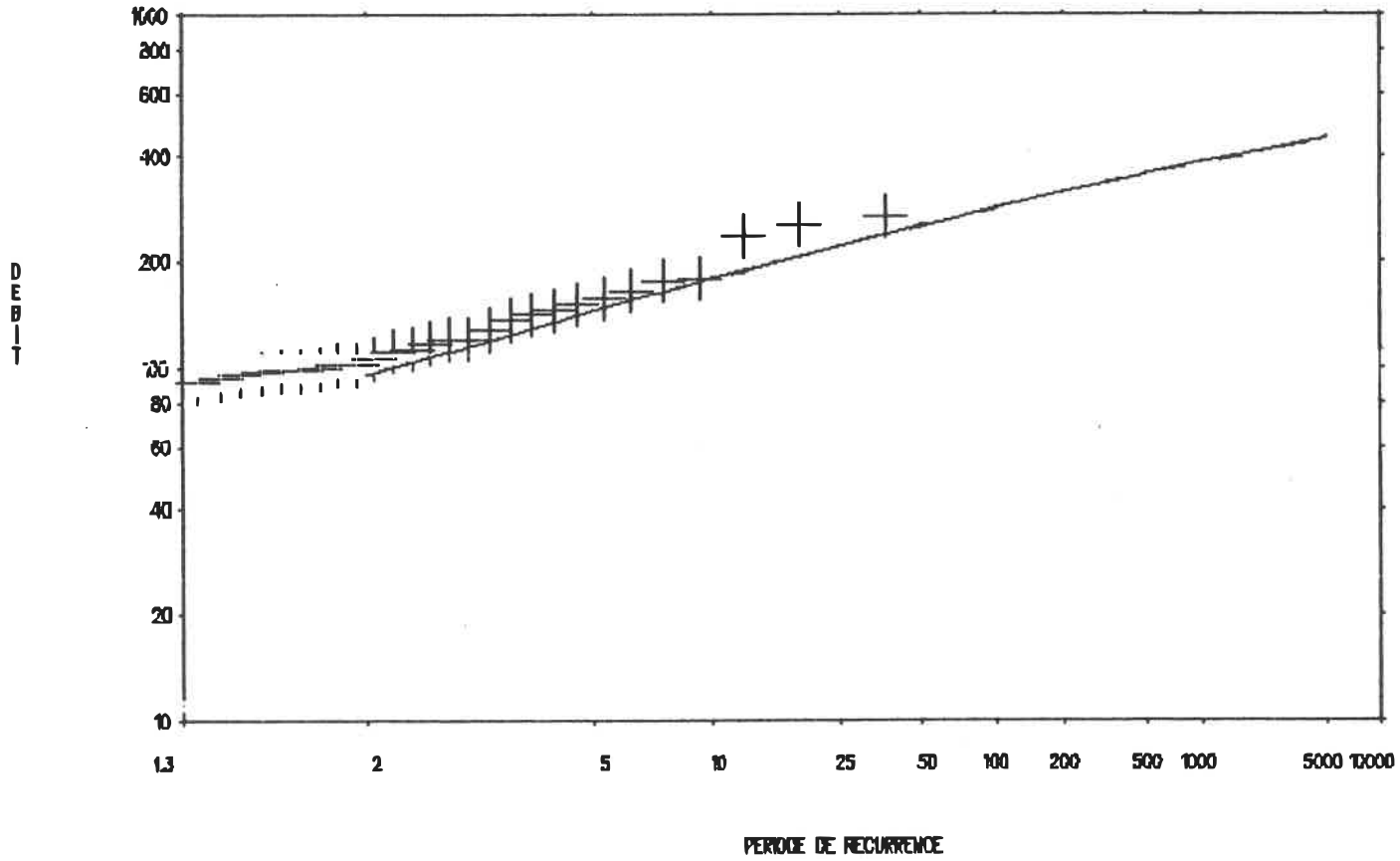



D4.b - Graphe du nombre moyen d'excédances en fonction du temps pour différents débits de base

Figure D4 - Station 02ED003



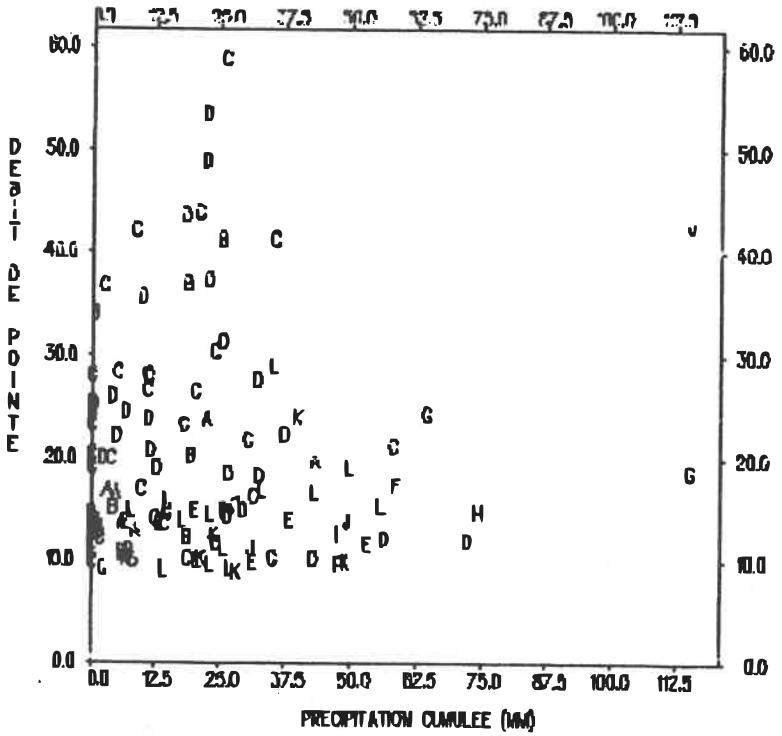

D4.c - Histogramme du nombre d'excédances en fonction de l'amplitude ($m^3/s$) et du mois



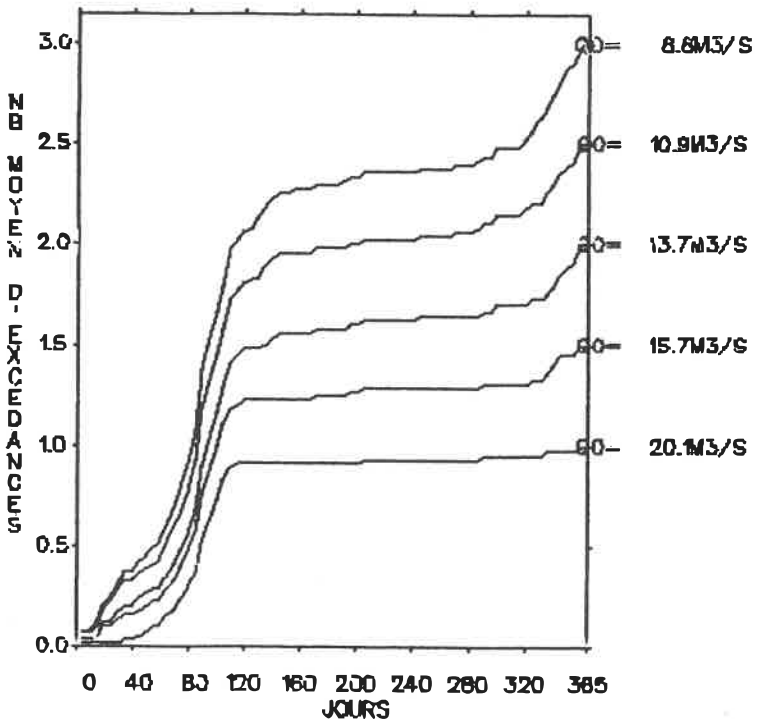

D4.d - Graphe du débit de pointe ($m^3/s$) en fonction du nombre d'années de récurrence

—— découpage en périodes homogènes

—·—· analyse annuelle

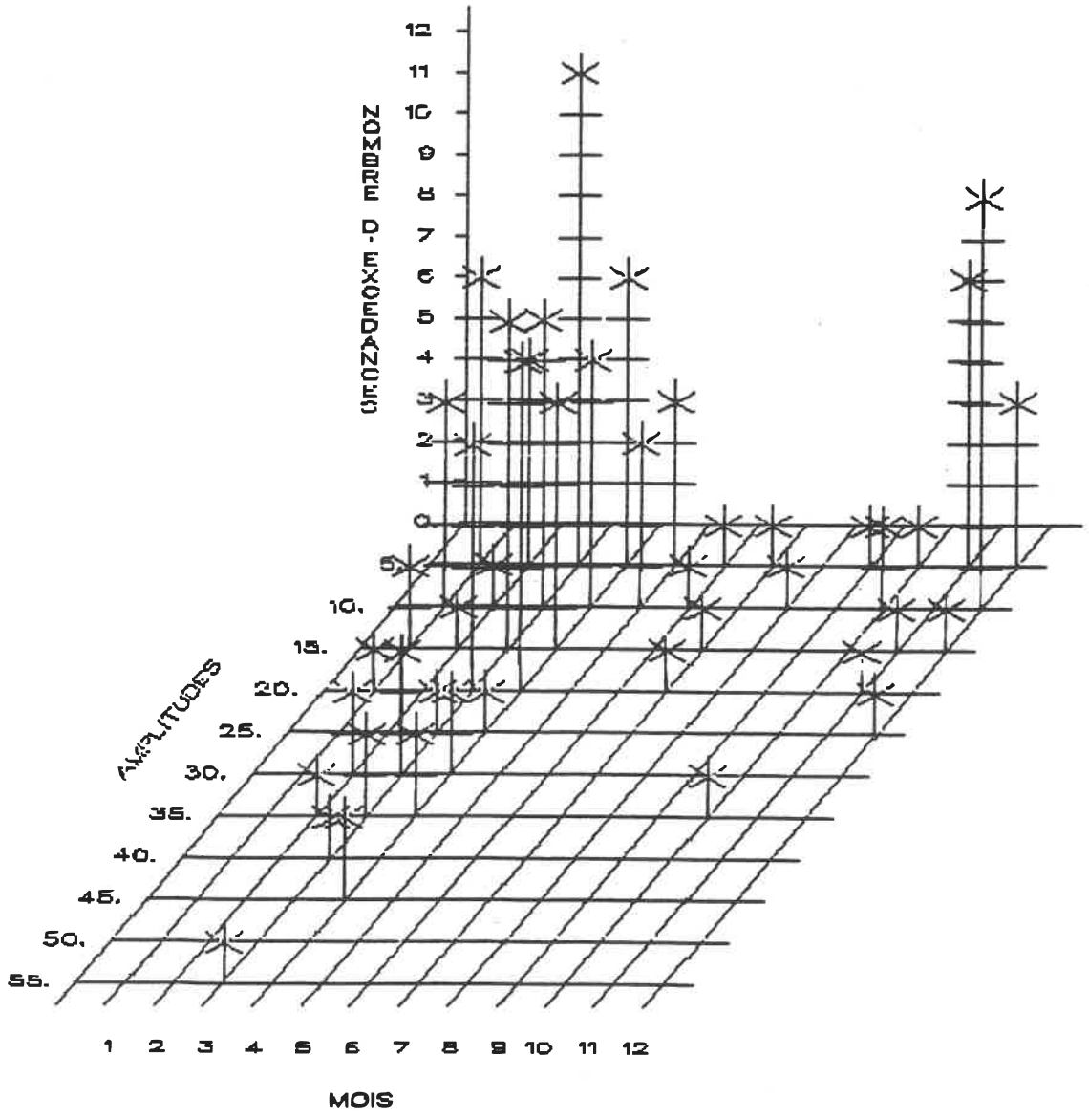



D5.a - Graphe du débit de pointe ($m^3/s$) en fonction de la précipitation cumulée (mm)

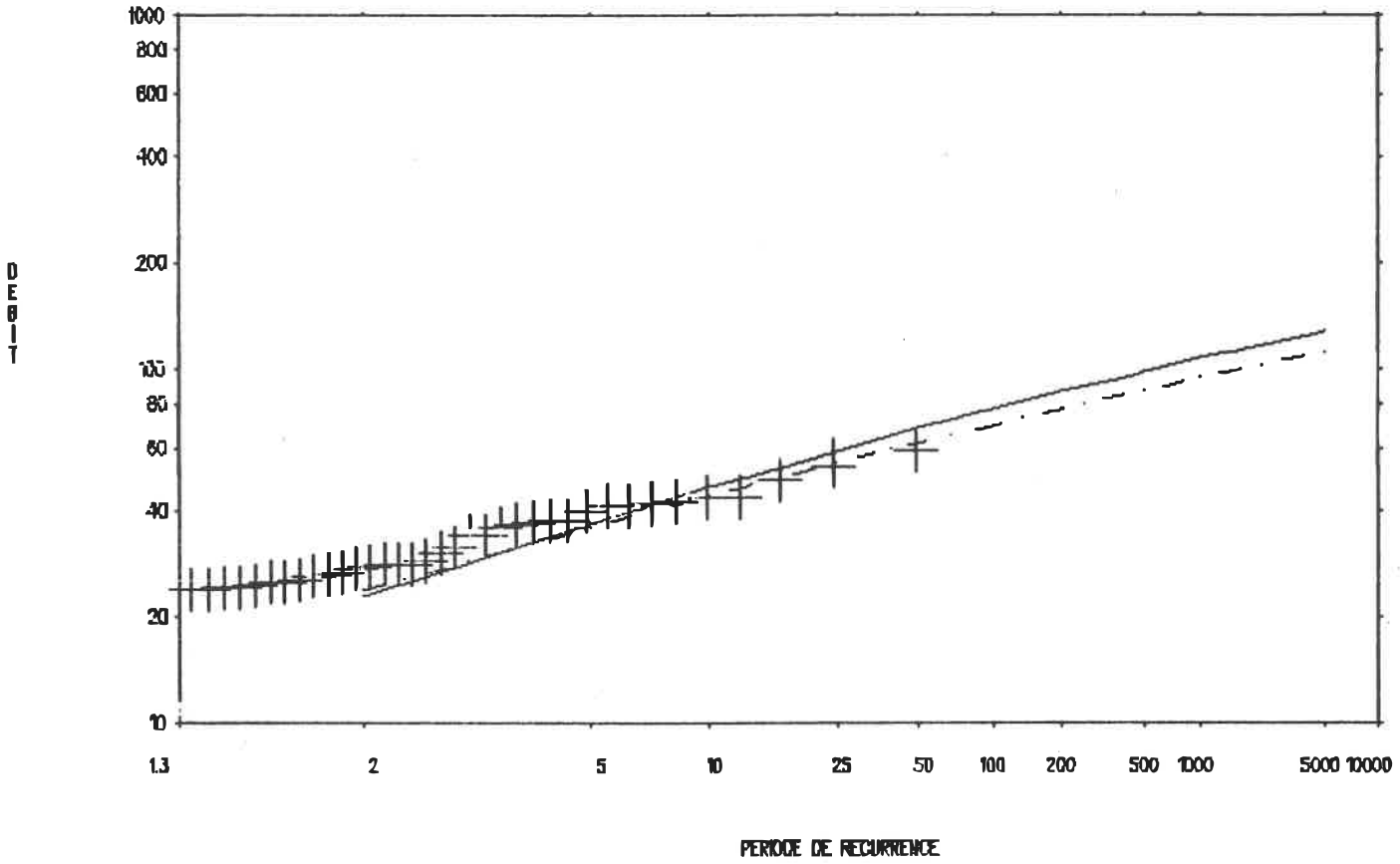



D5.b - Graphe du nombre moyen d'excédances en fonction du temps pour différents débits de base

Figure D5 - Station 02FB007



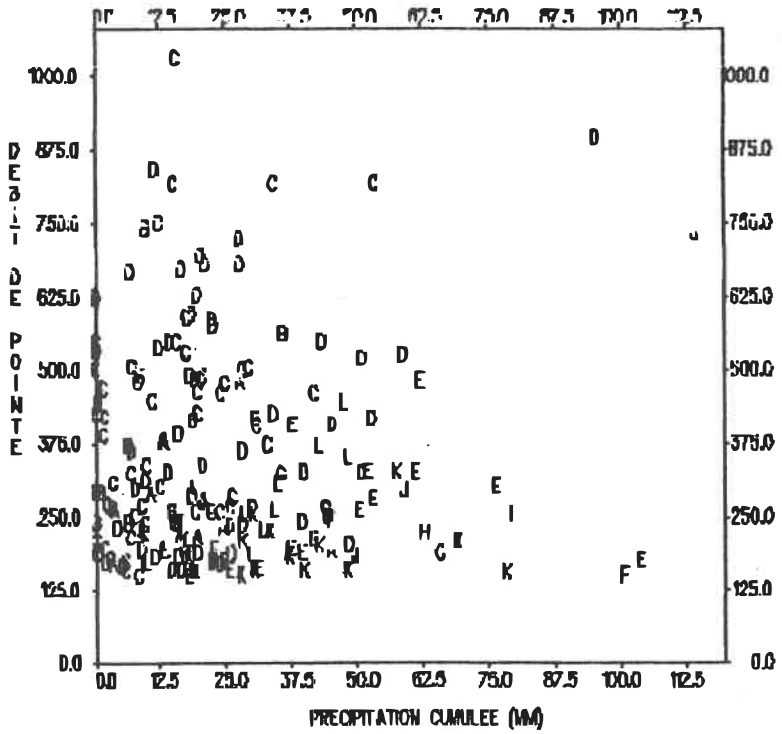

D5.c - Histogramme du nombre d'excédances en fonction de l'amplitude ($m^3/s$) et du mois



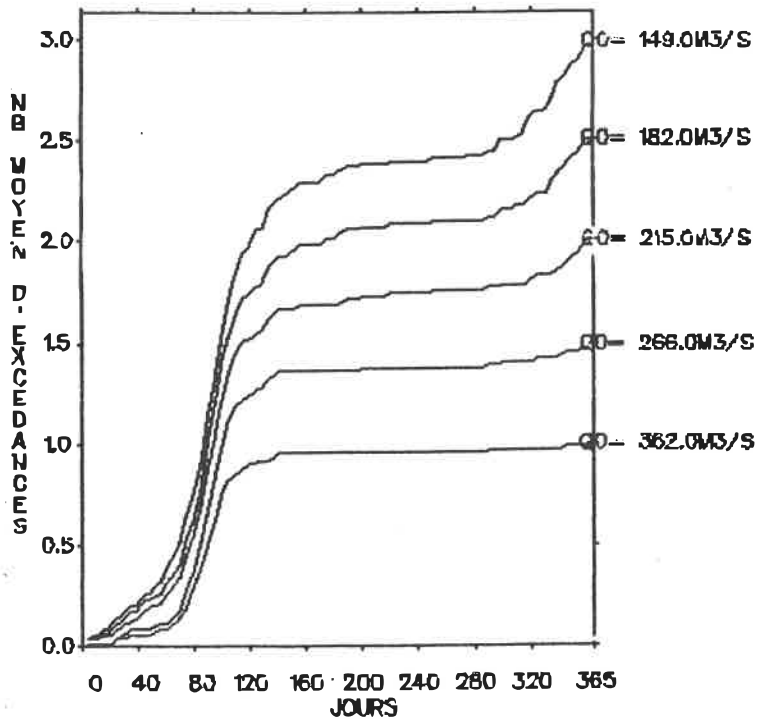

D5.d - Graphe du débit de pointe ($m^3/s$) en fonction du nombre d'années de récurrence

—— découpage en périodes homogènes

—·—· analyse annuelle

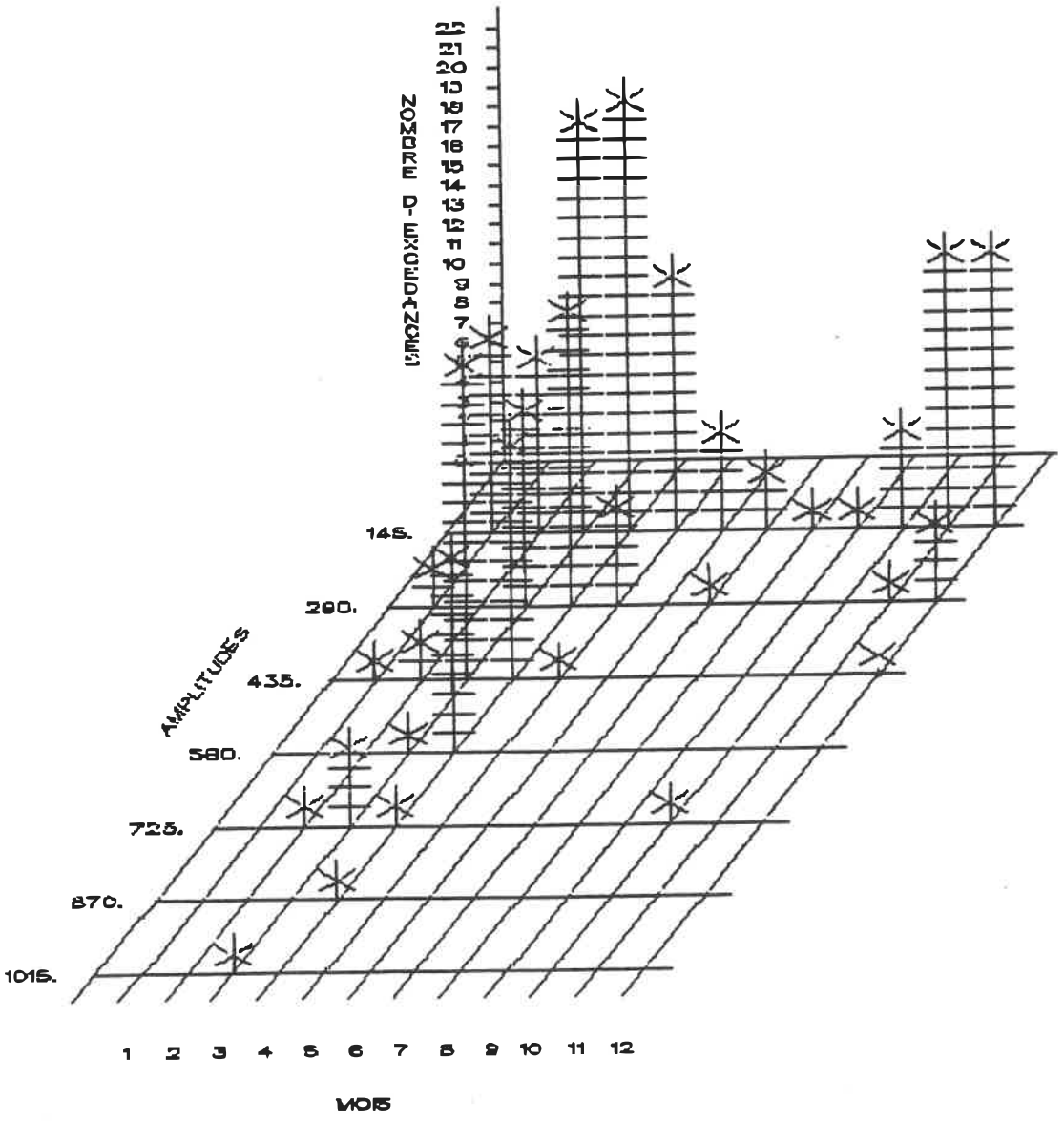



D6.a - Graphe du débit de pointe ($m^3/s$) en fonction de la précipitation cumulée (mm)

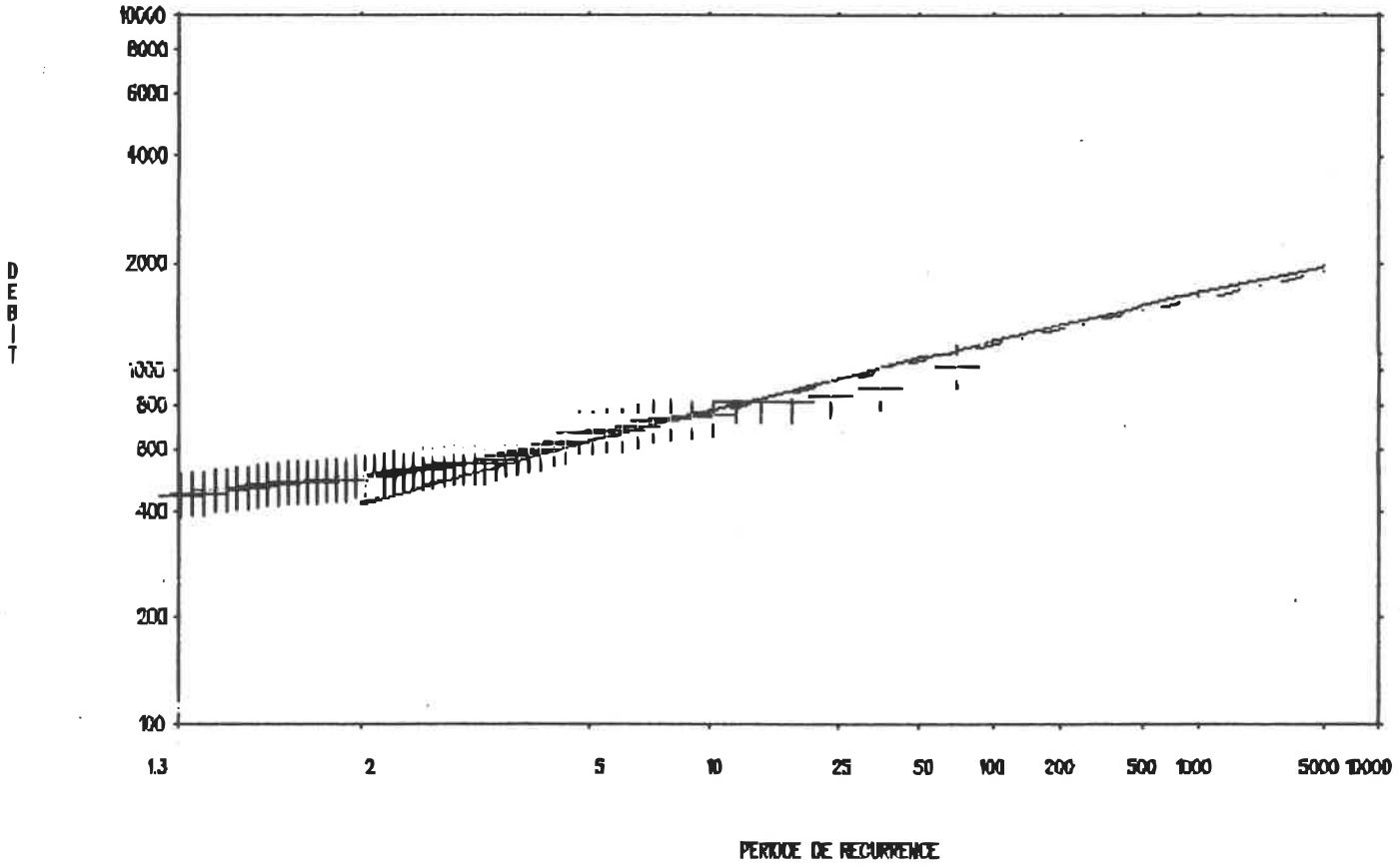



D6.b - Graphe du nombre moyen d'excédances en fonction du temps pour différents débits de base

Figure D6 - Station 02FC001



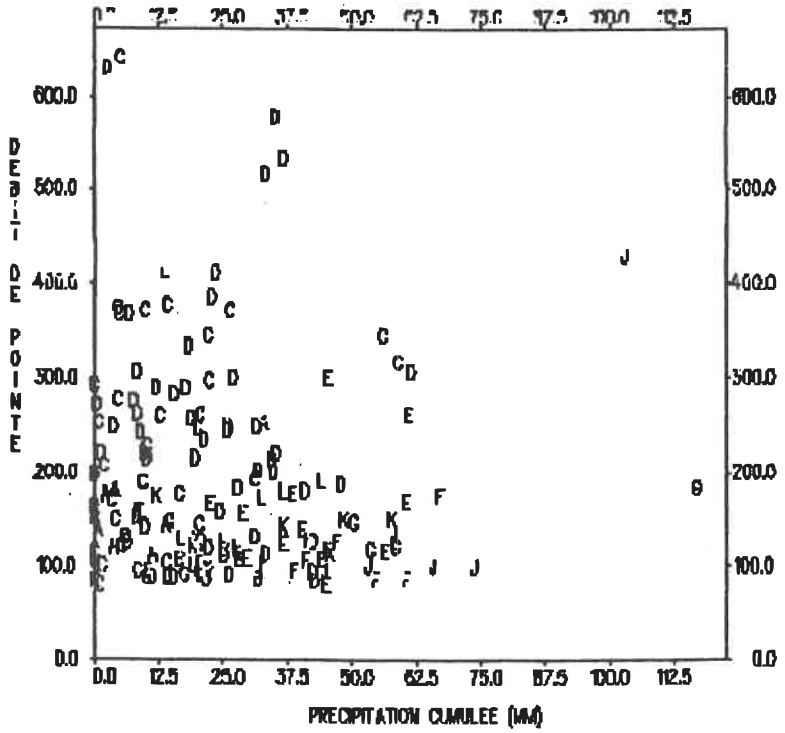

D6.c - Histogramme du nombre d'excédances en fonction de l'amplitude ($m^3/s$) et du mois



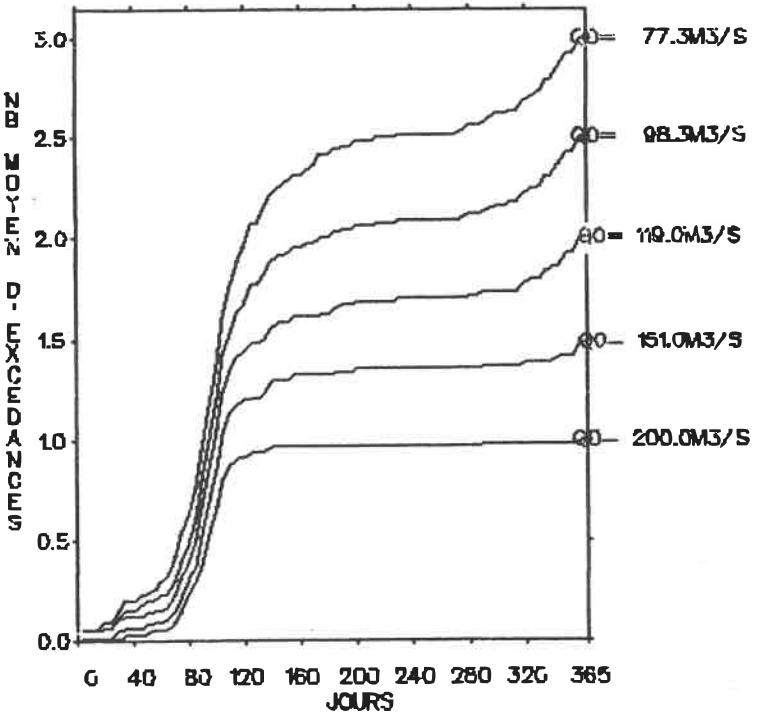

D6.d - Graphe du débit de pointe ($m^3/s$) en fonction du nombre d'années de récurrence

——— découpage en périodes homogènes

—·—· analyse annuelle

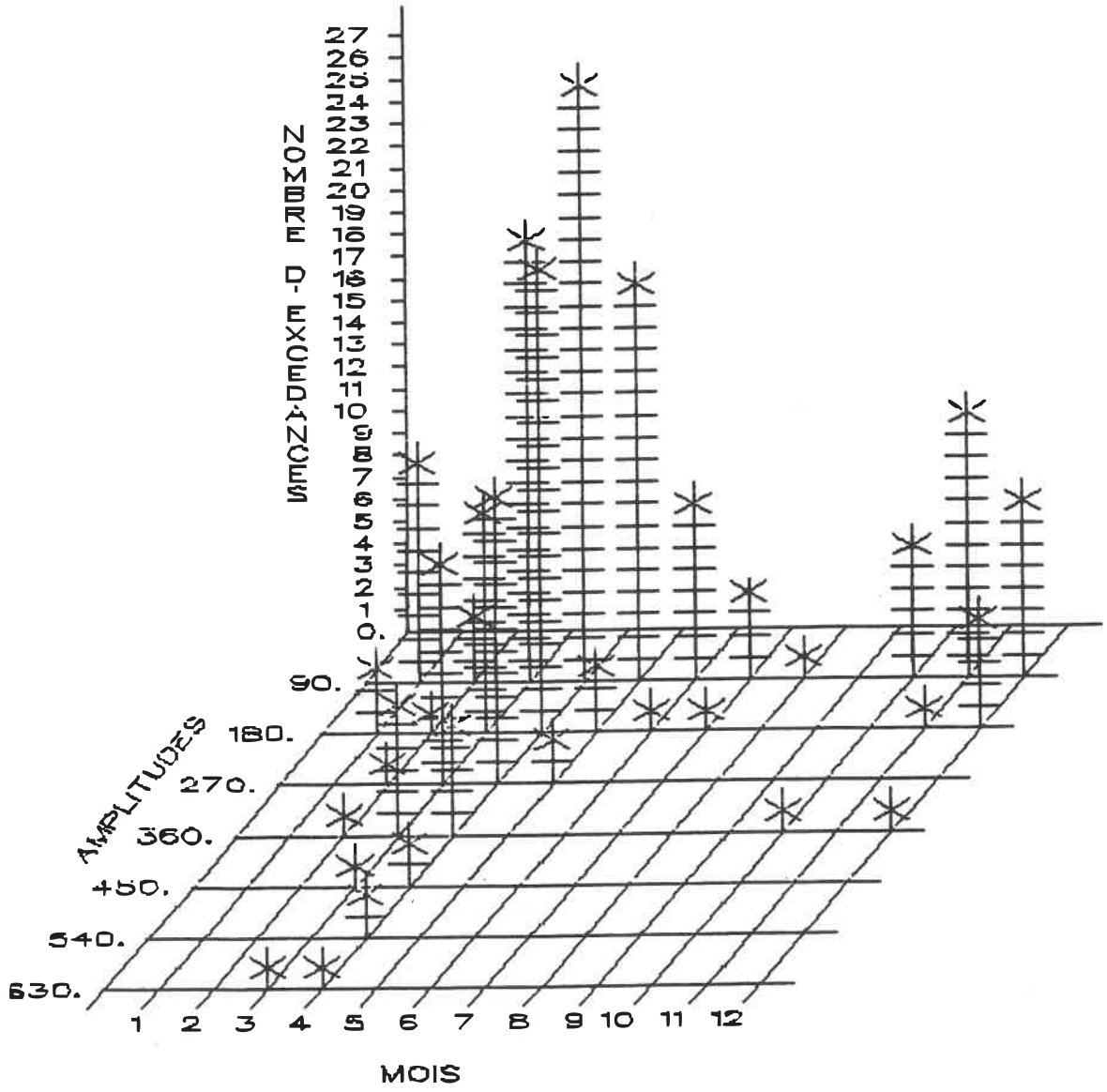



D7.a - Graphe du débit de pointe ($m^3/s$) en fonction de la précipitation cumulée (mm)

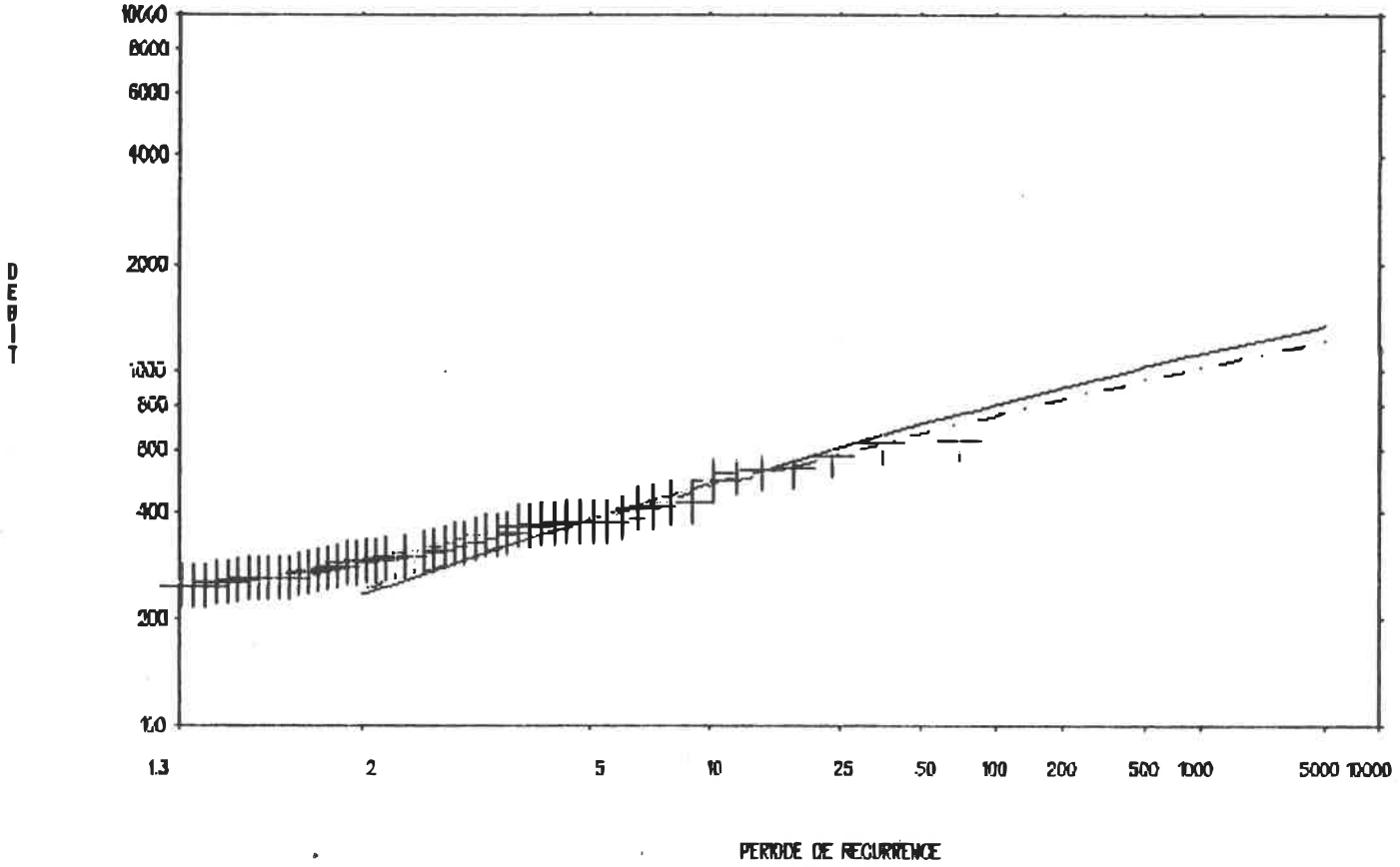



D7.b - Graphe du nombre moyen d'excédances en fonction du temps pour différents débits de base

Figure D7 - Station 02FC002



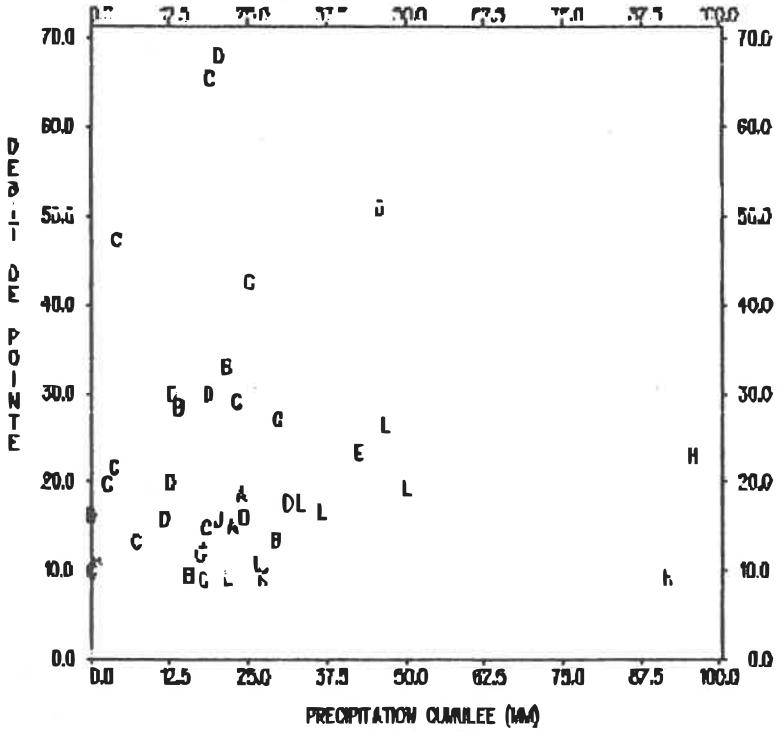

D7.c - Histogramme du nombre d'excédances en fonction de l'amplitude ($m^3/s$) et du mois

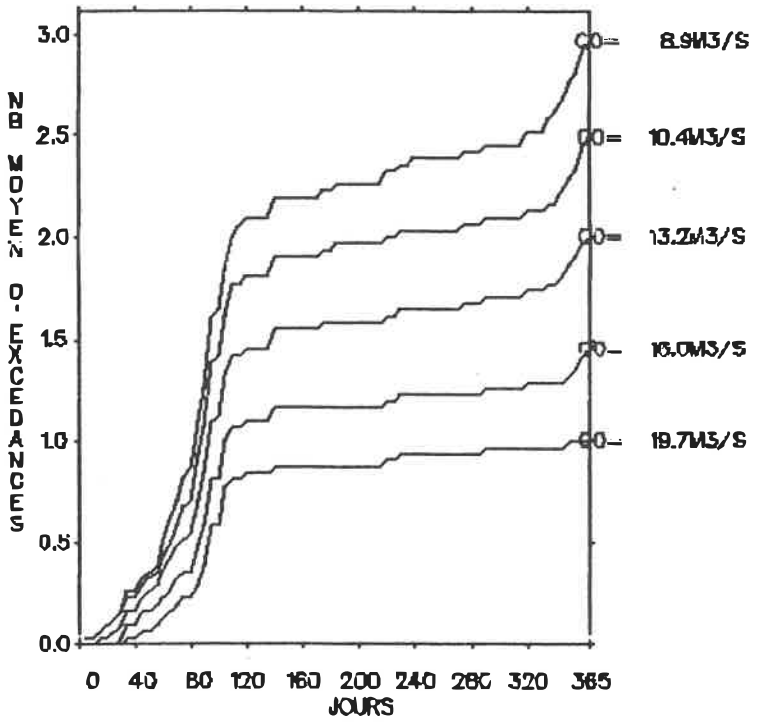



D7.d - Graphe du débit de pointe ($m^3/s$) en fonction du nombre d'années de récurrence

—— découpage en périodes homogènes

—·— analyse annuelle

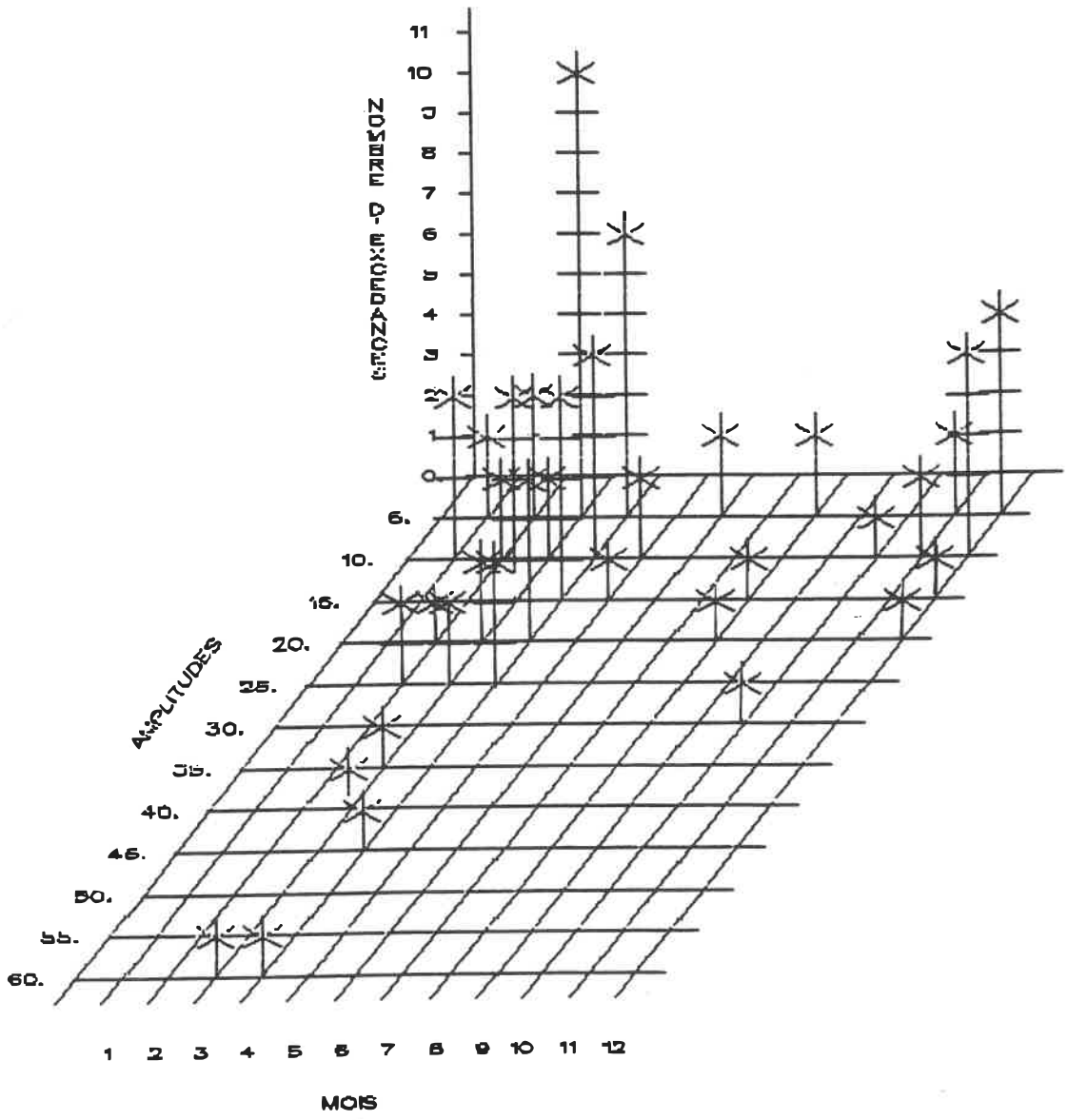


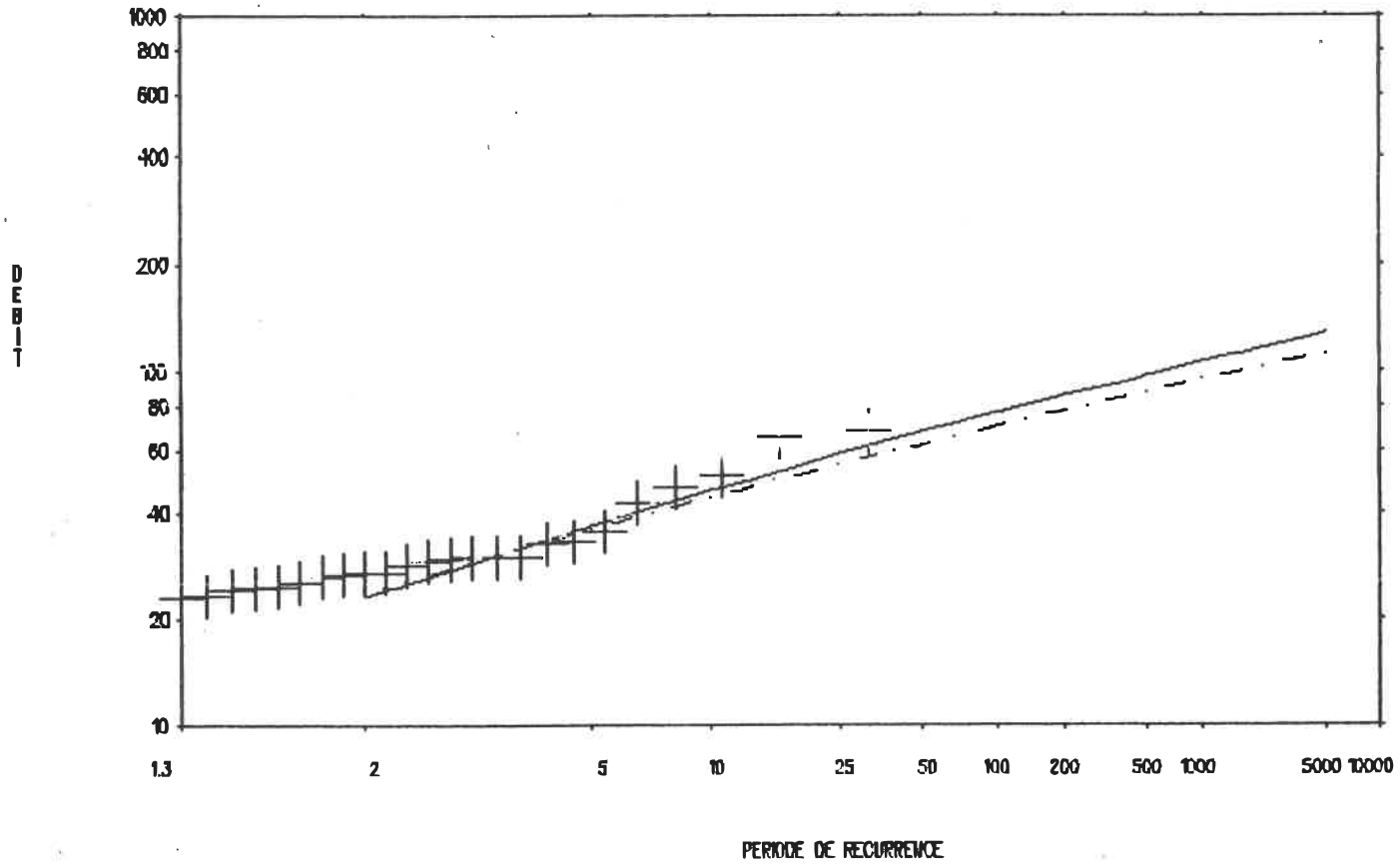

D8.a - Graphe du débit de pointe ($m^3/s$) en fonction de la précipitation cumulée (mm)

D8.b - Graphe du nombre moyen d'excédances en fonction du temps pour différents débits de base

Figure D8 - Station 02FC011



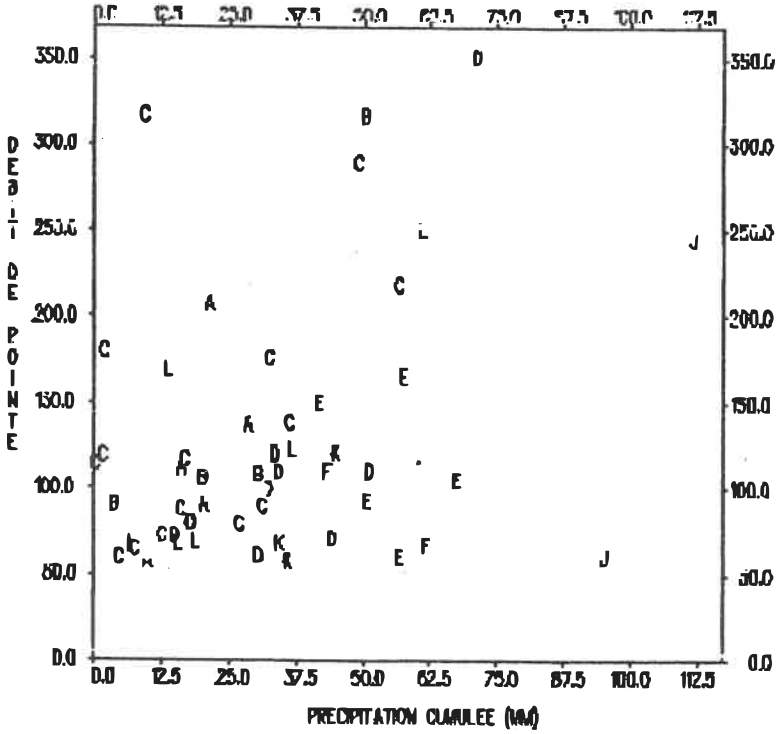

D8.c - Histogramme du nombre d'excédances en fonction de l'amplitude ($m^3/s$) et du mois

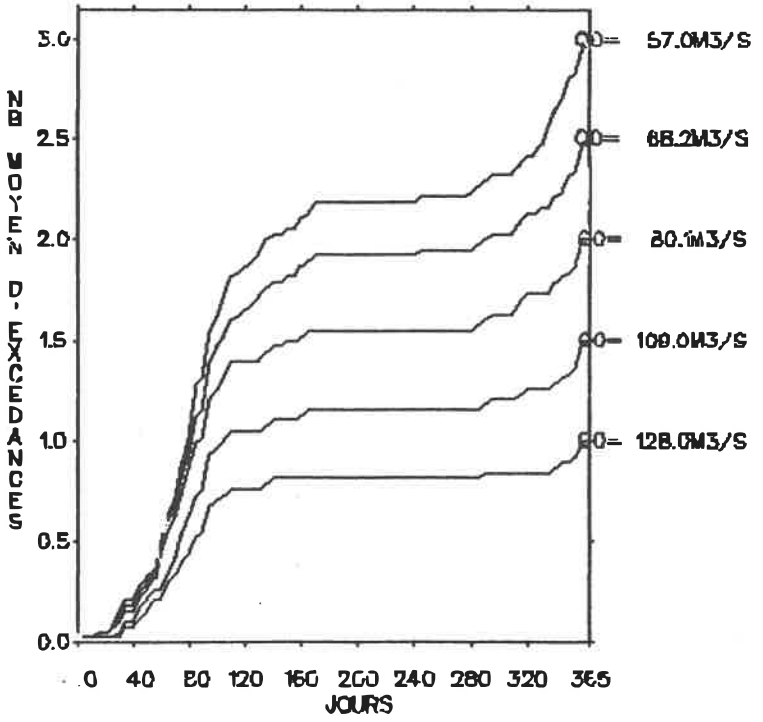



D8.d - Graphe du débit de pointe ($m^3/s$) en fonction du nombre d'années de récurrence

——— découpage en périodes homogènes

—·—· analyse annuelle

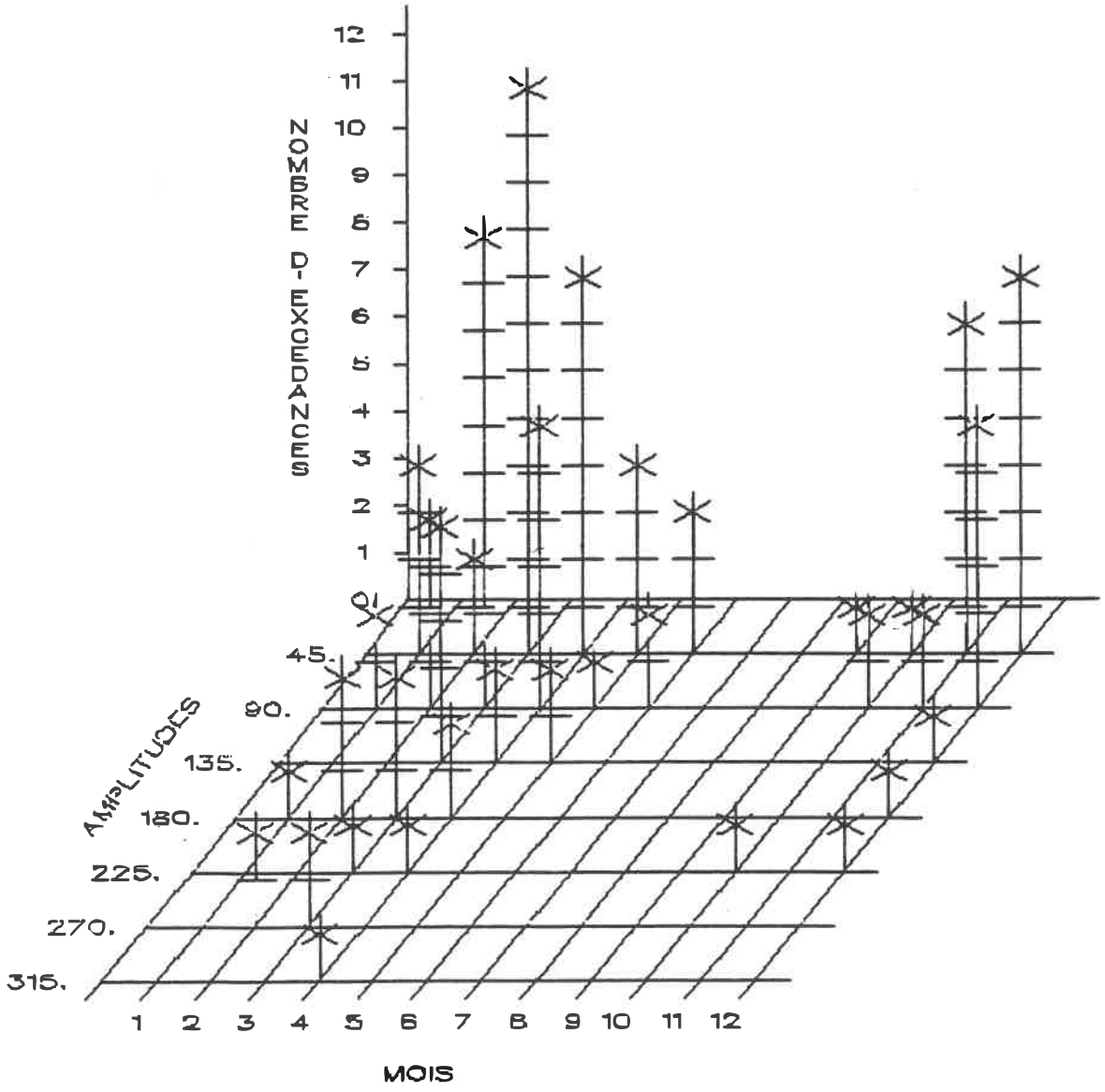


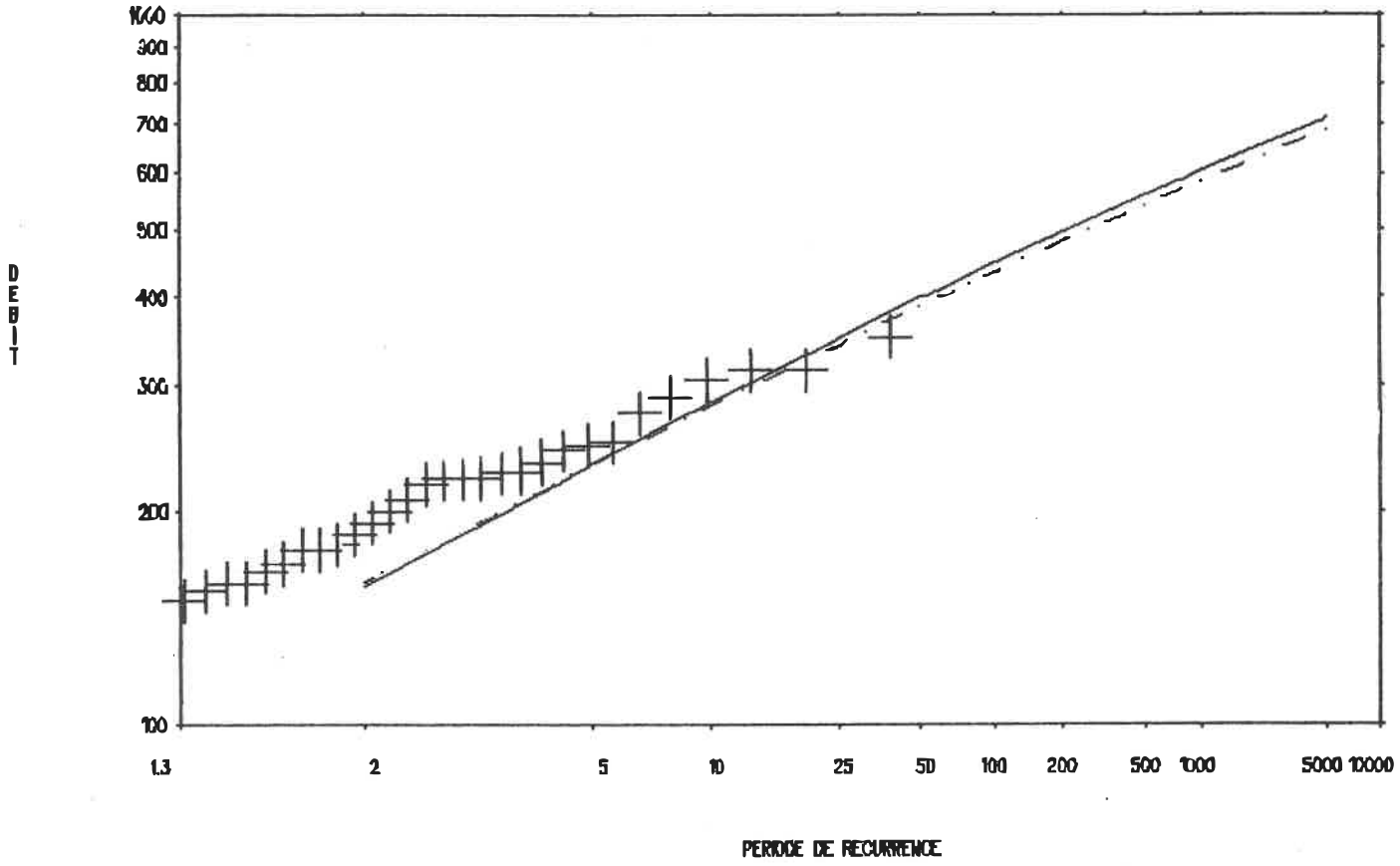

D9.a - Graphe du débit de pointe ($m^3/s$) en fonction de la précipitation cumulée (mm)

D9.b - Graphe du nombre moyen d'excédances en fonction du temps pour différents débits de base

Figure D9 - Station 02FF002



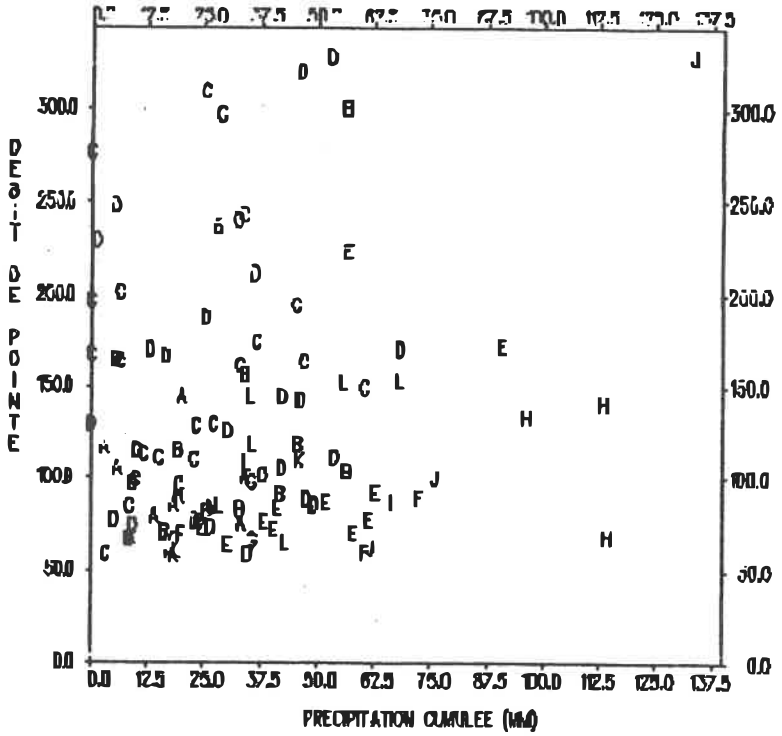

D9.c - Histogramme du nombre d'excédances en fonction de l'amplitude ($m^3/s$) et du mois



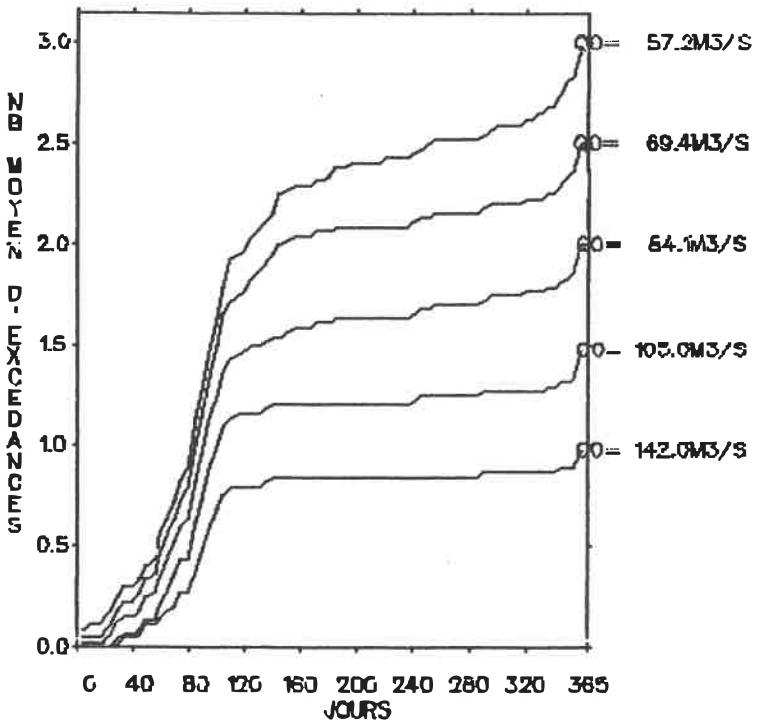

D9.d - Graphe du débit de pointe ($m^3/s$) en fonction du nombre d'années de récurrence

—— découpage en périodes homogènes

—·—· analyse annuelle

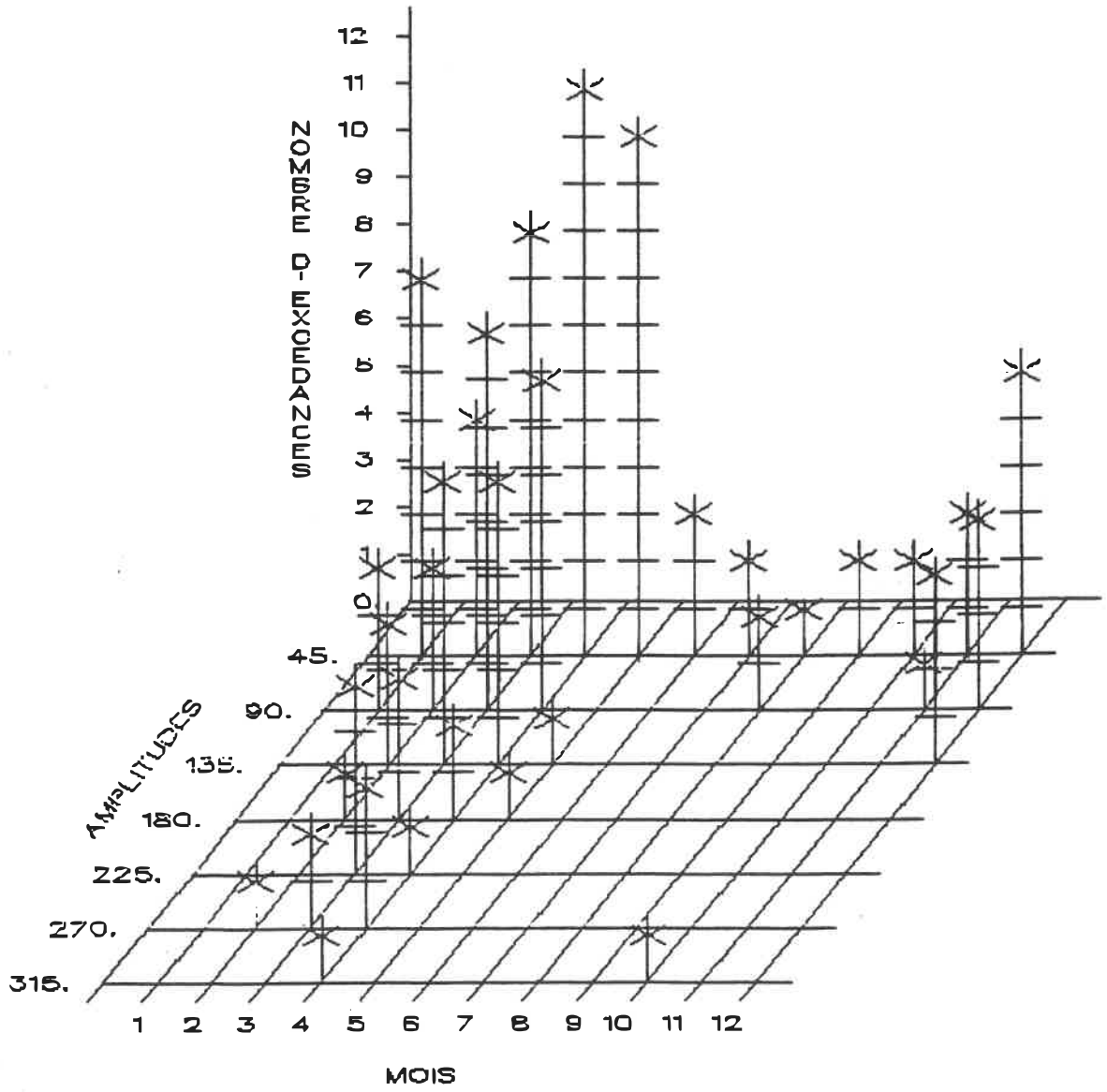



D10.a - Graphe du débit de pointe ($m^3/s$) en fonction de la précipitation cumulée (mm)

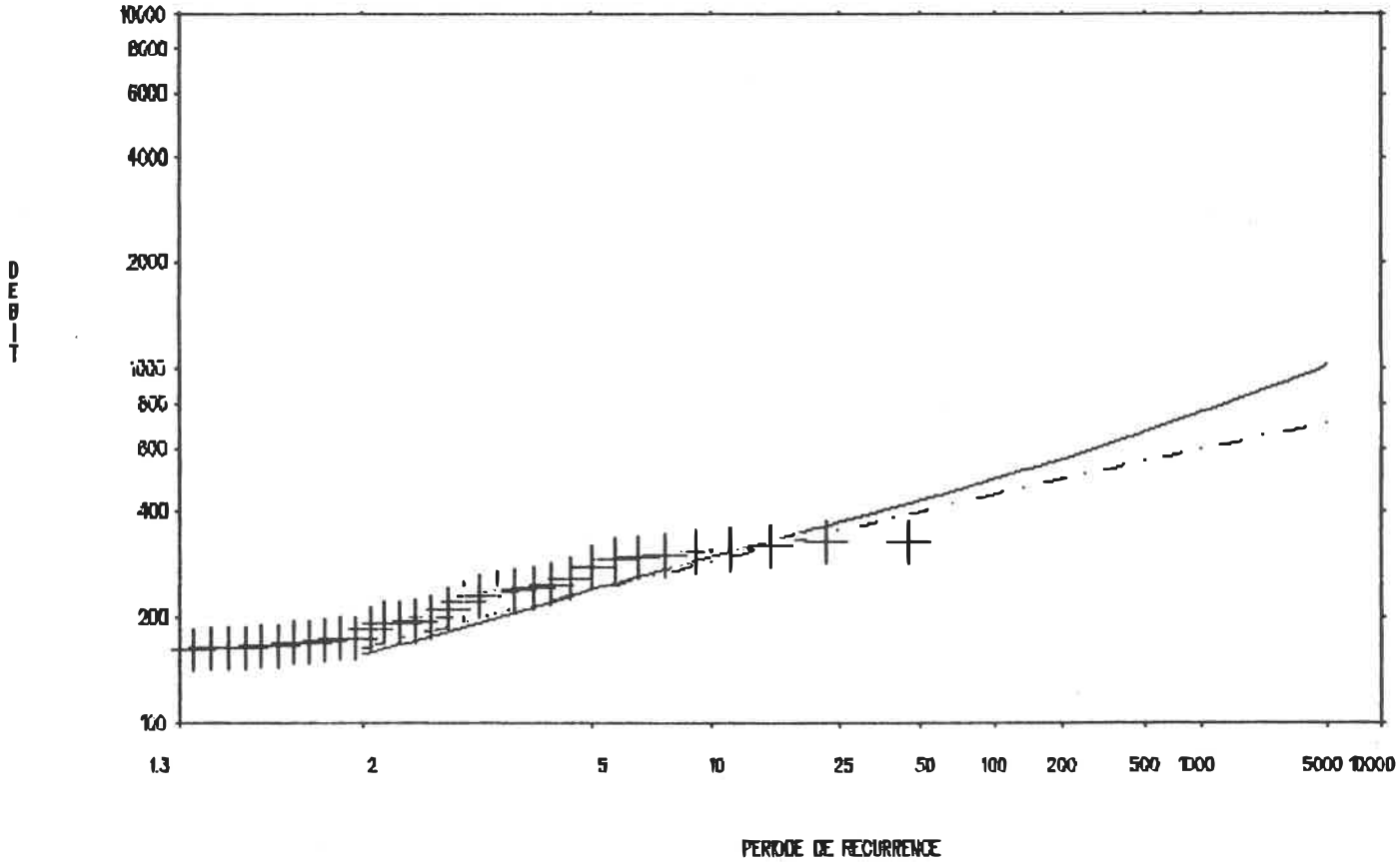



D10.b - Graphe du nombre moyen d'excédances en fonction du temps pour différents débits de base

Figure D10 - Station 02GA010



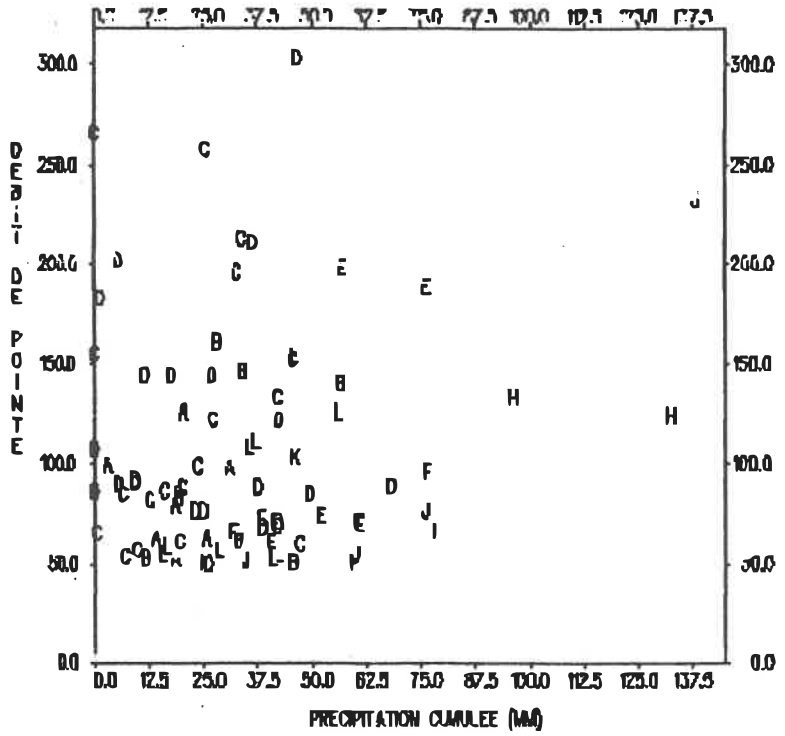

D10.c - Histogramme du nombre d'excédances en fonction de l'amplitude ($m^3/s$) et du mois



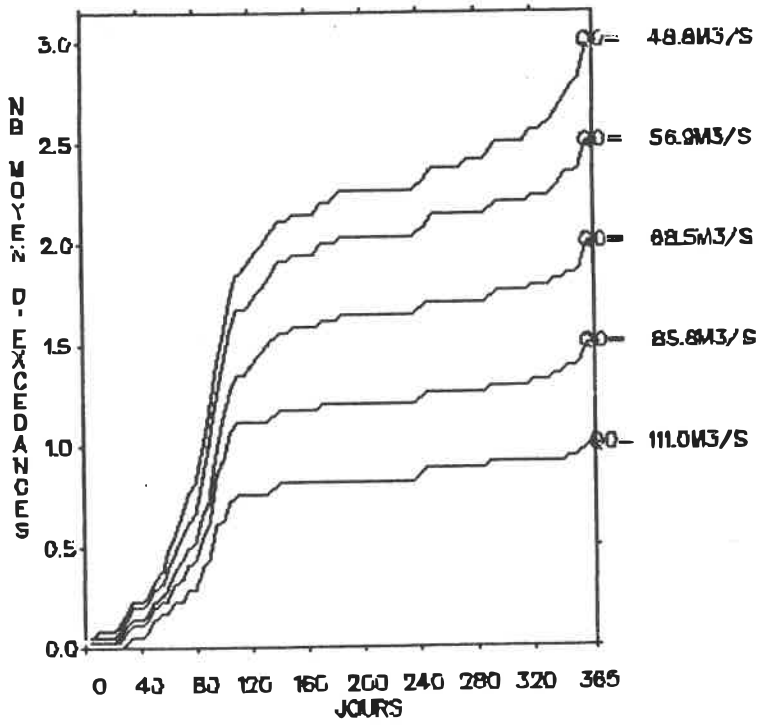

D10.d - Graphe du débit de pointe ($m^3/s$) en fonction du nombre d'années de récurrence

—— découpage en périodes homogènes

– – analyse annuelle

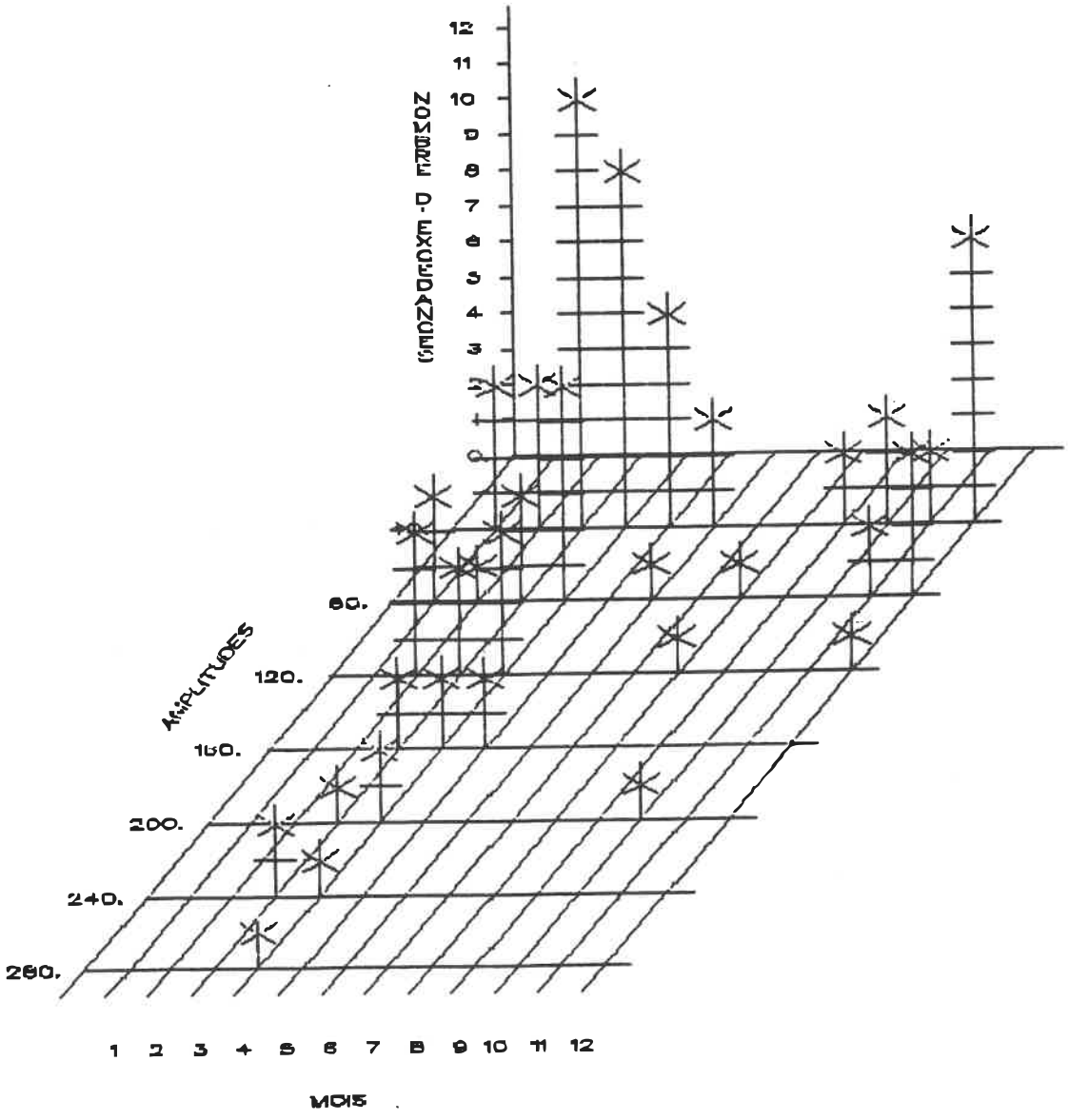



D11.a - Graphe du débit de pointe ($m^3/s$) en fonction de la précipitation cumulée (mm)

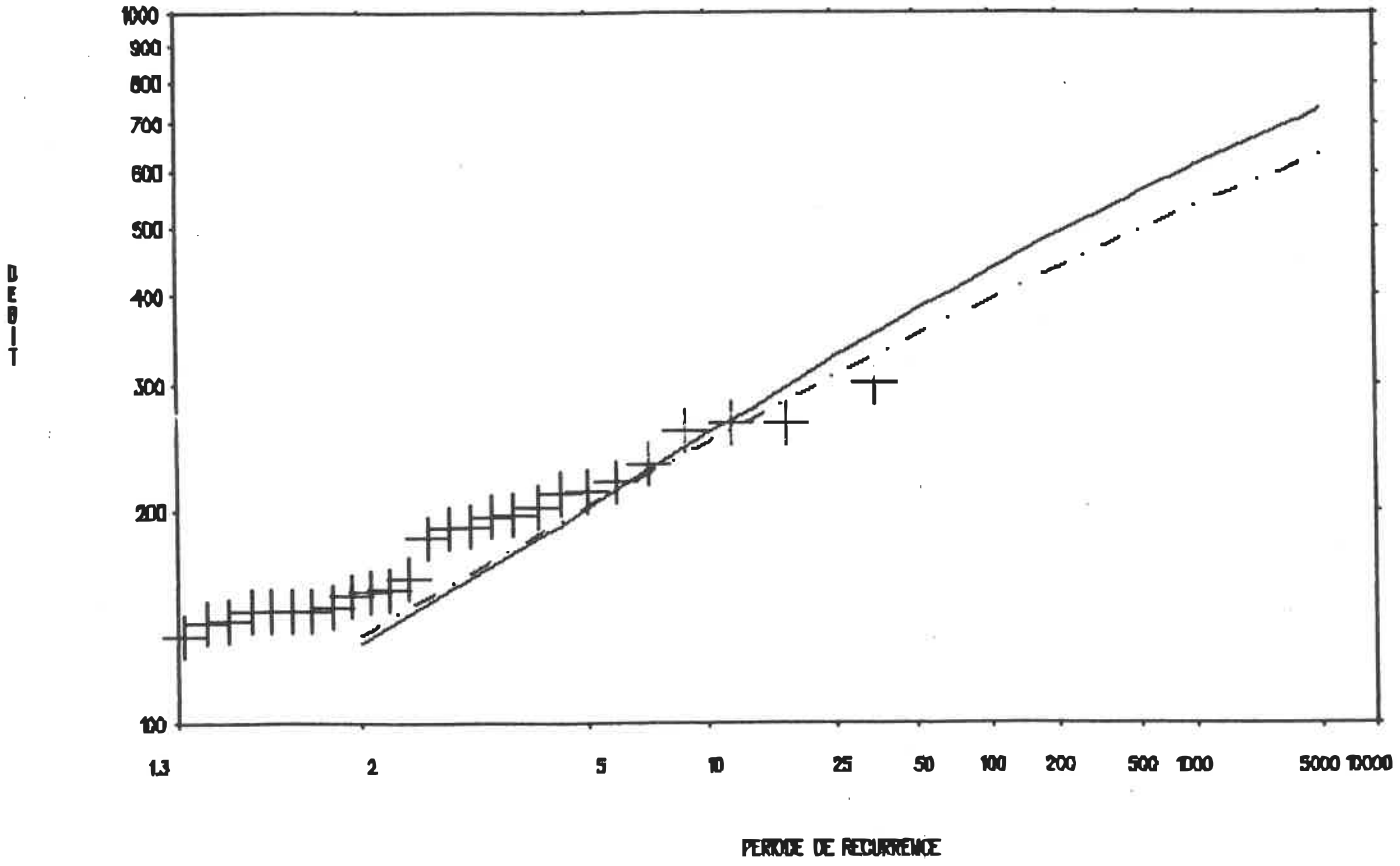



D11.b - Graphe du nombre moyen d'excédances en fonction du temps pour différents débits de base

Figure D11 - Station 02GA018



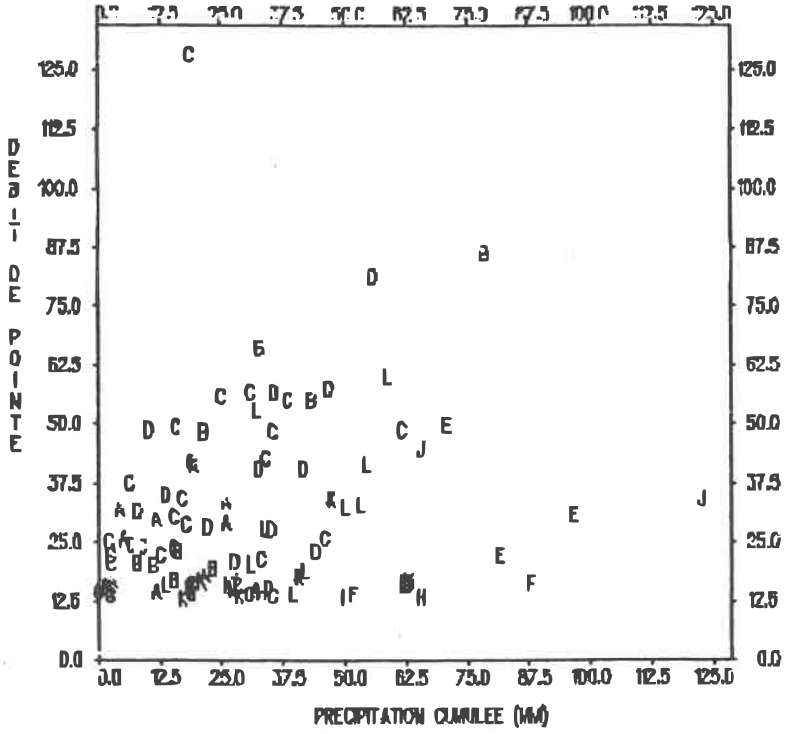

D11.c - Histogramme du nombre d'excédances en fonction de l'amplitude ($m^3/s$) et du mois



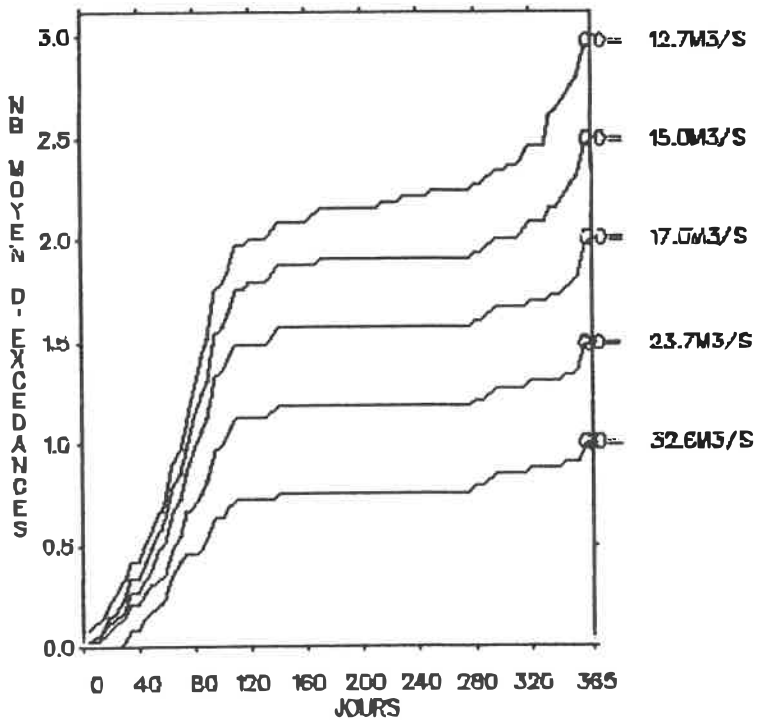

D11.d - Graphe du débit de pointe ($m^3/s$) en fonction du nombre d'années de récurrence

——— découpage en périodes homogènes

—·—· analyse annuelle

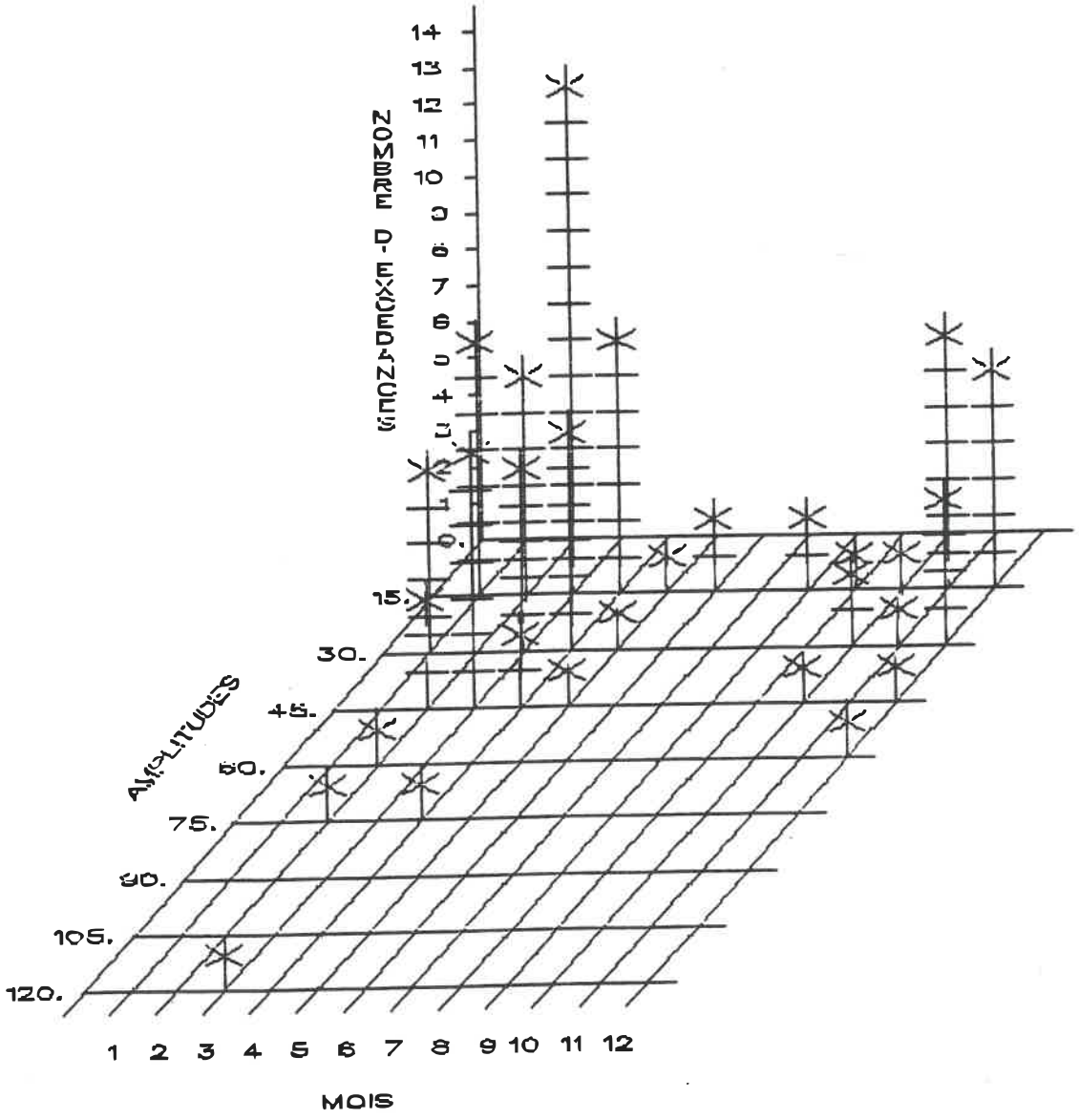



D12.a - Graphe du débit de pointe ($m^3/s$) en fonction de la précipitation cumulée (mm)

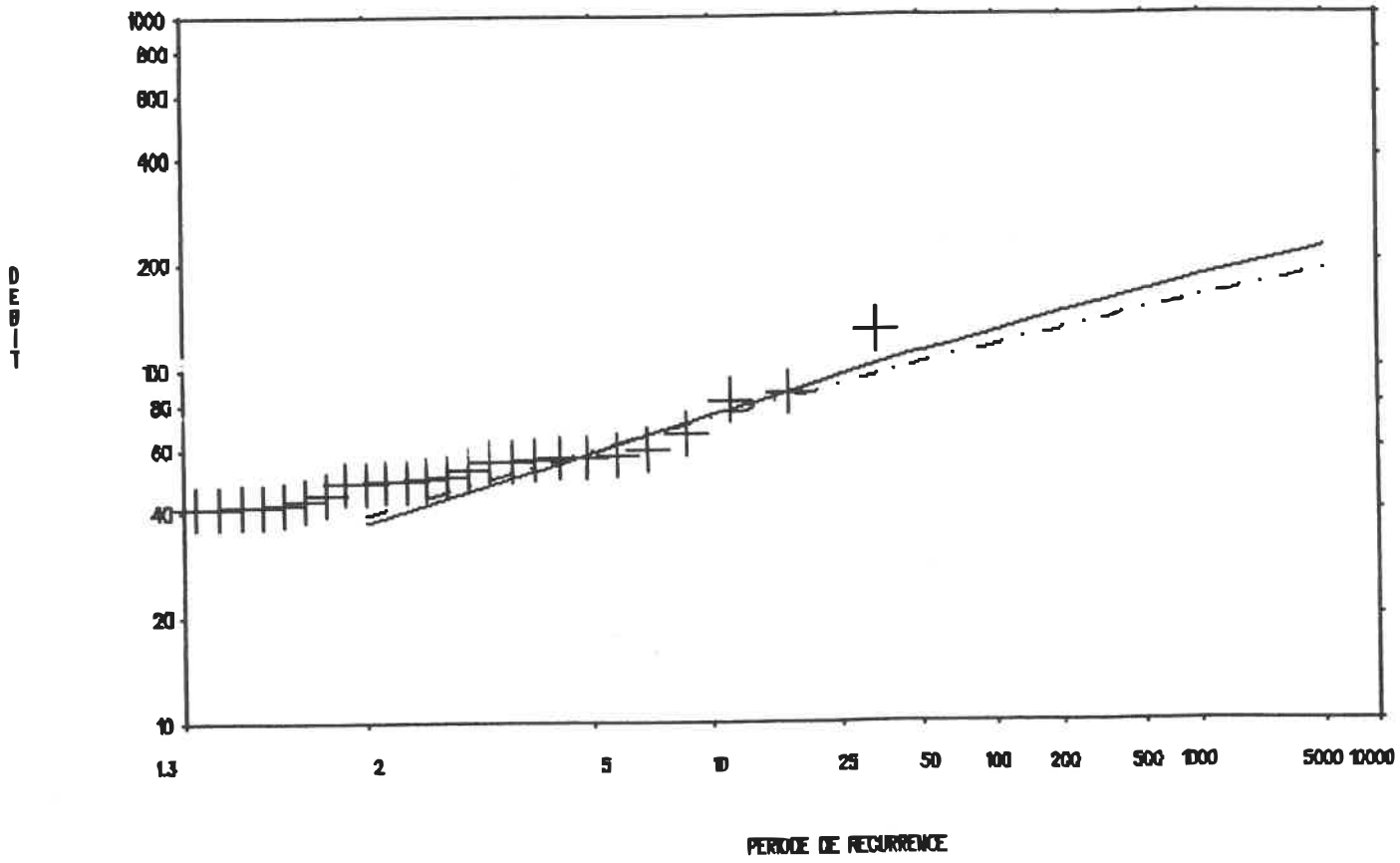



D12.b - Graphe du nombre moyen d'excédances en fonction du temps pour différents débits de base

Figure D12 - Station 02GD010



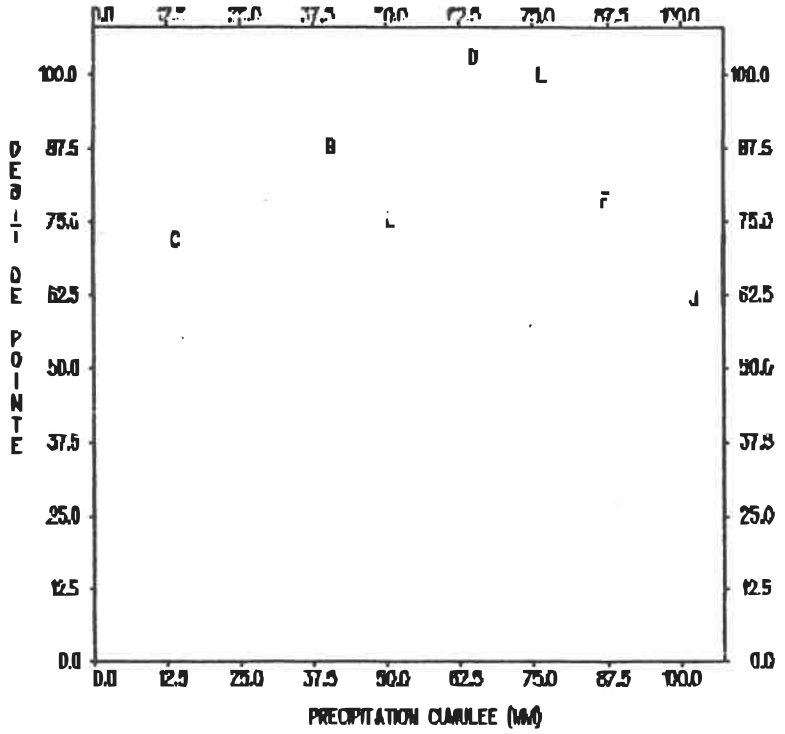

D12.c - Histogramme du nombre d'excédances en fonction de l'amplitude ($m^3/s$) et du mois



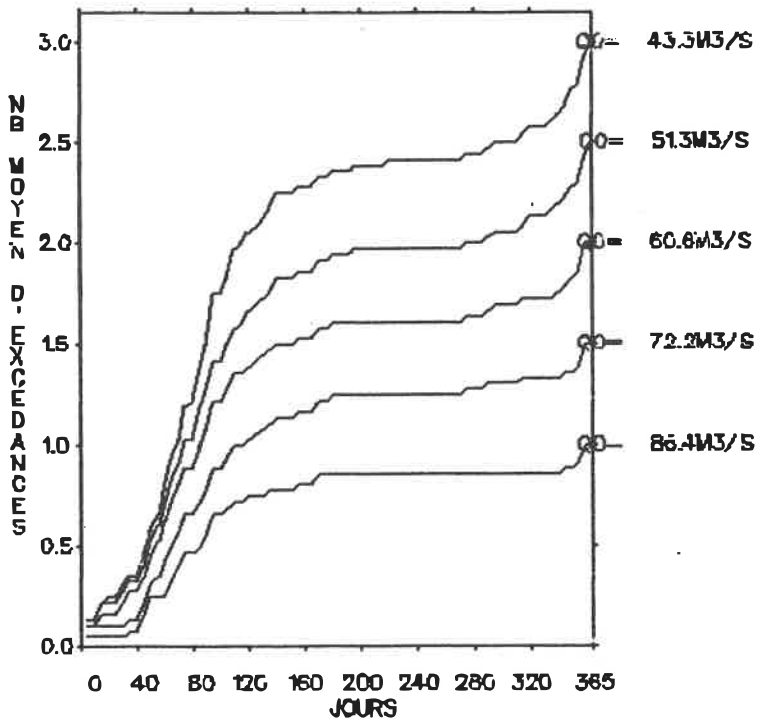

D12.d - Graphe du débit de pointe ($m^3/s$) en fonction du nombre d'années de récurrence

——— découpage en périodes homogènes

—·— · analyse annuelle

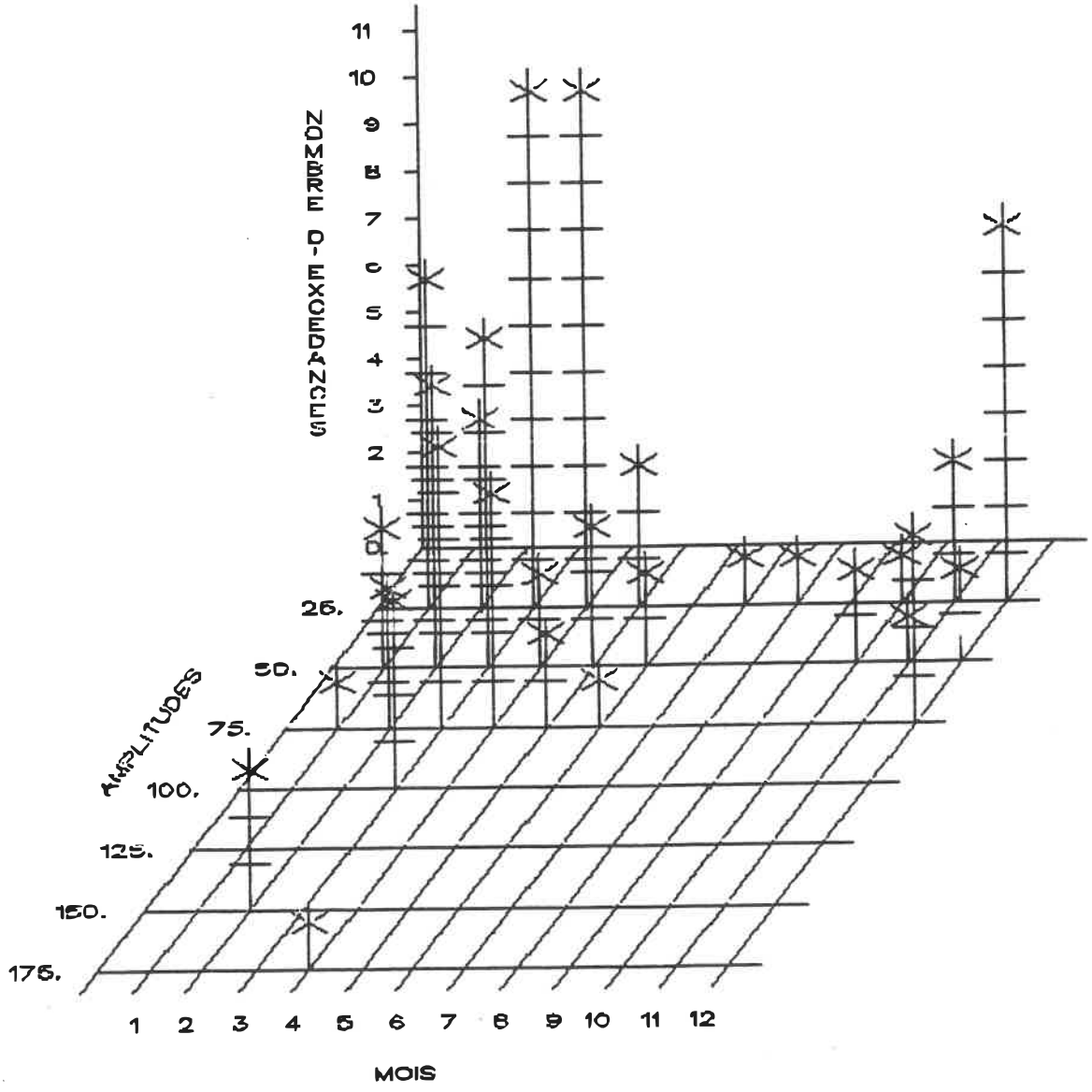



D13.a - Graphe du débit de pointe ($m^3/s$) en fonction de la précipitation cumulée (mm)

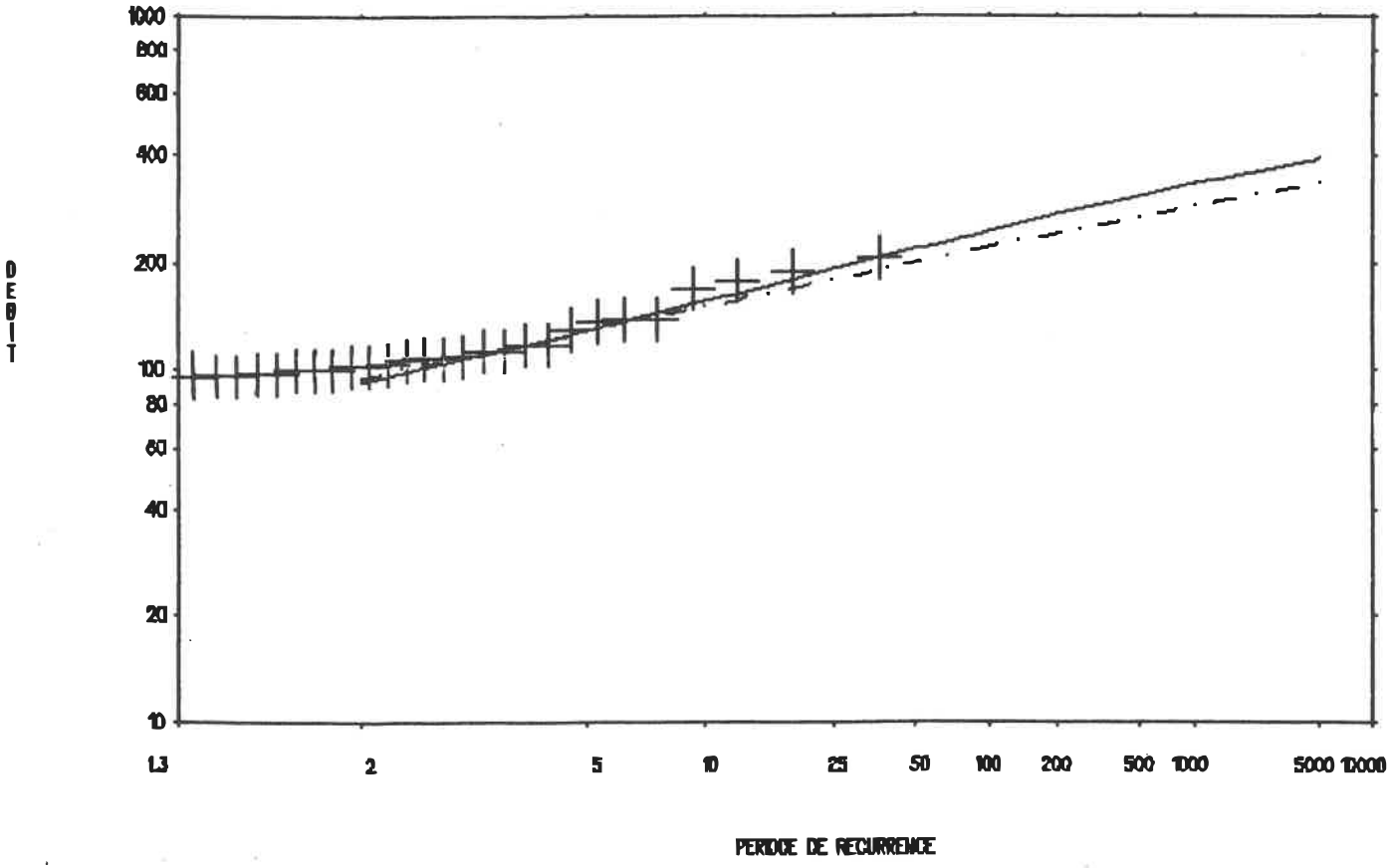



D13.b - Graphe du nombre moyen d'excédances en fonction du temps pour différents débits de base

Figure D13 - Station 02GG002



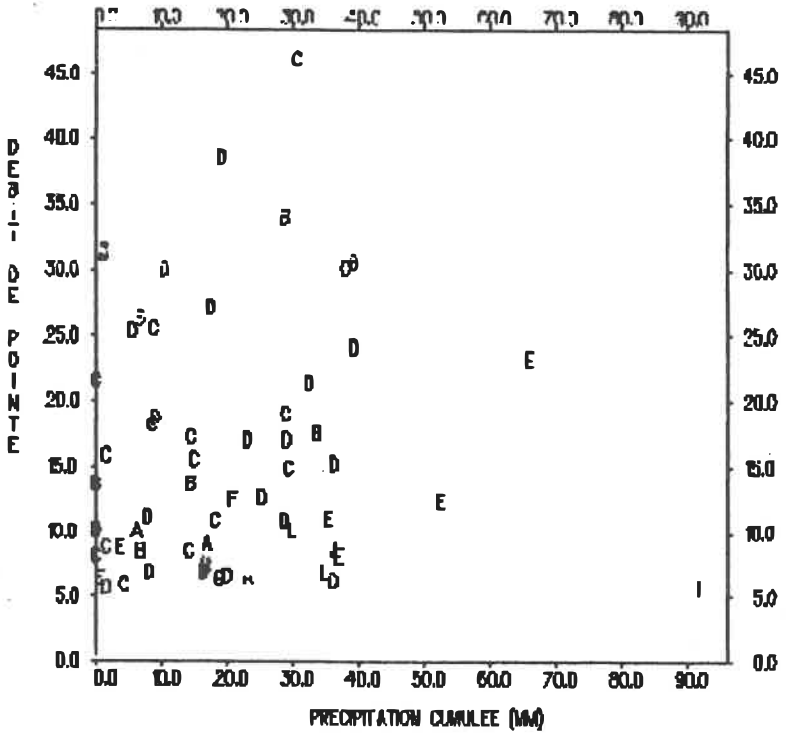

D13.c - Histogramme du nombre d'excédances en fonction de l'amplitude ($m^3/s$) et du mois



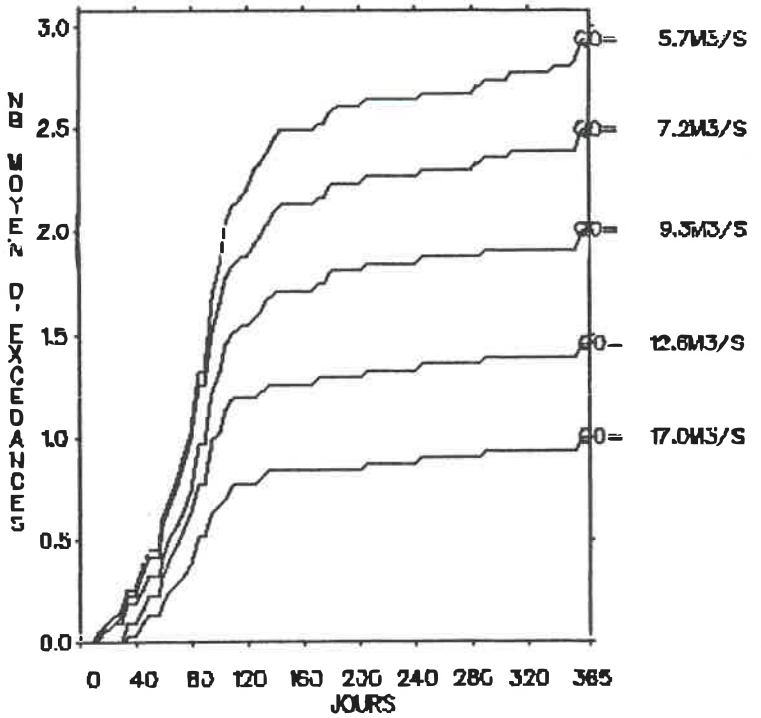

D13.d - Graphe du débit de pointe ($m^3/s$) en fonction du nombre d'années de récurrence

——— découpage en périodes homogènes

—·—· analyse annuelle

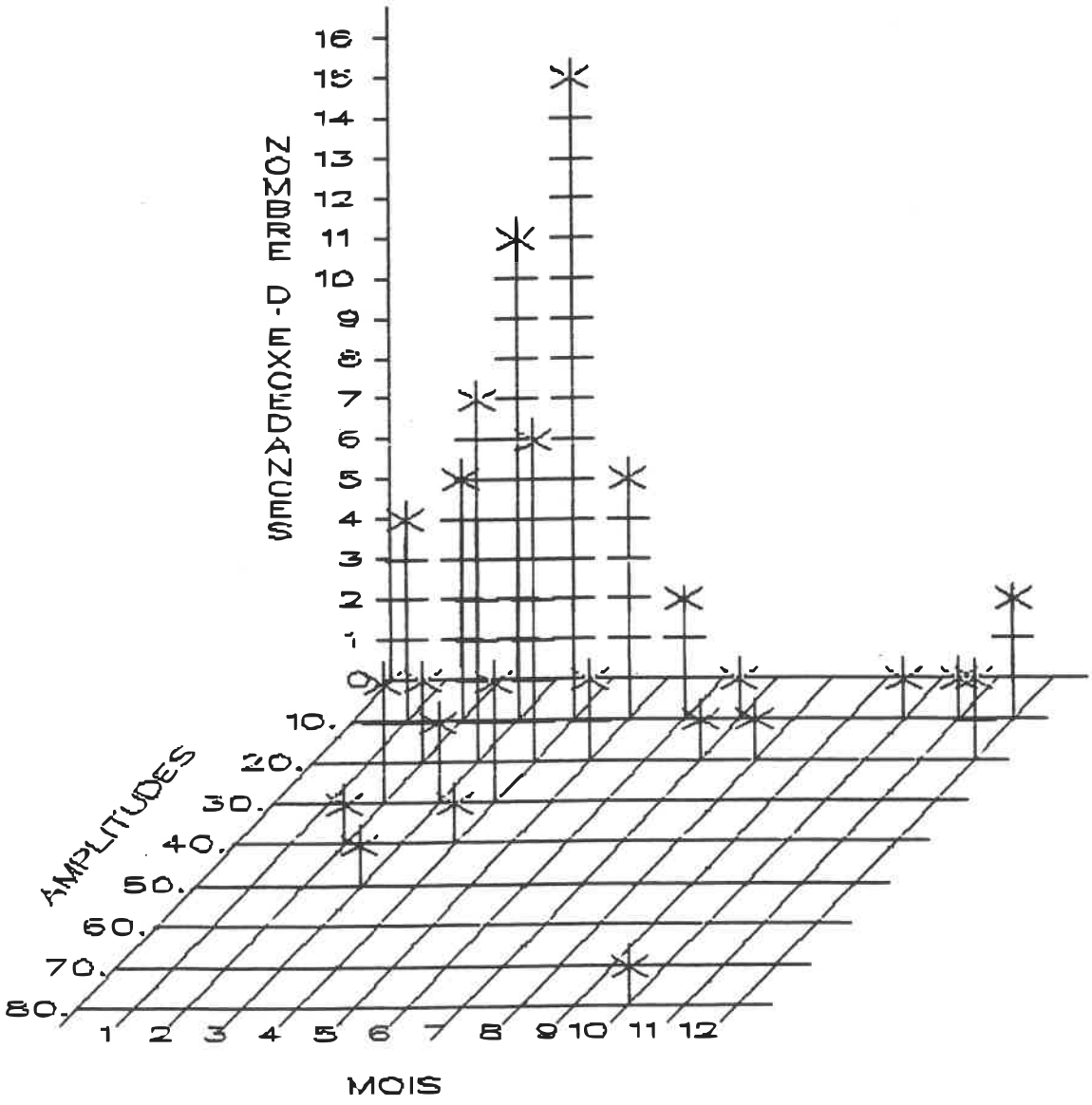



D14.a - Graphe du débit de pointe ($m^3/s$) en fonction de la précipitation cumulée (mm)

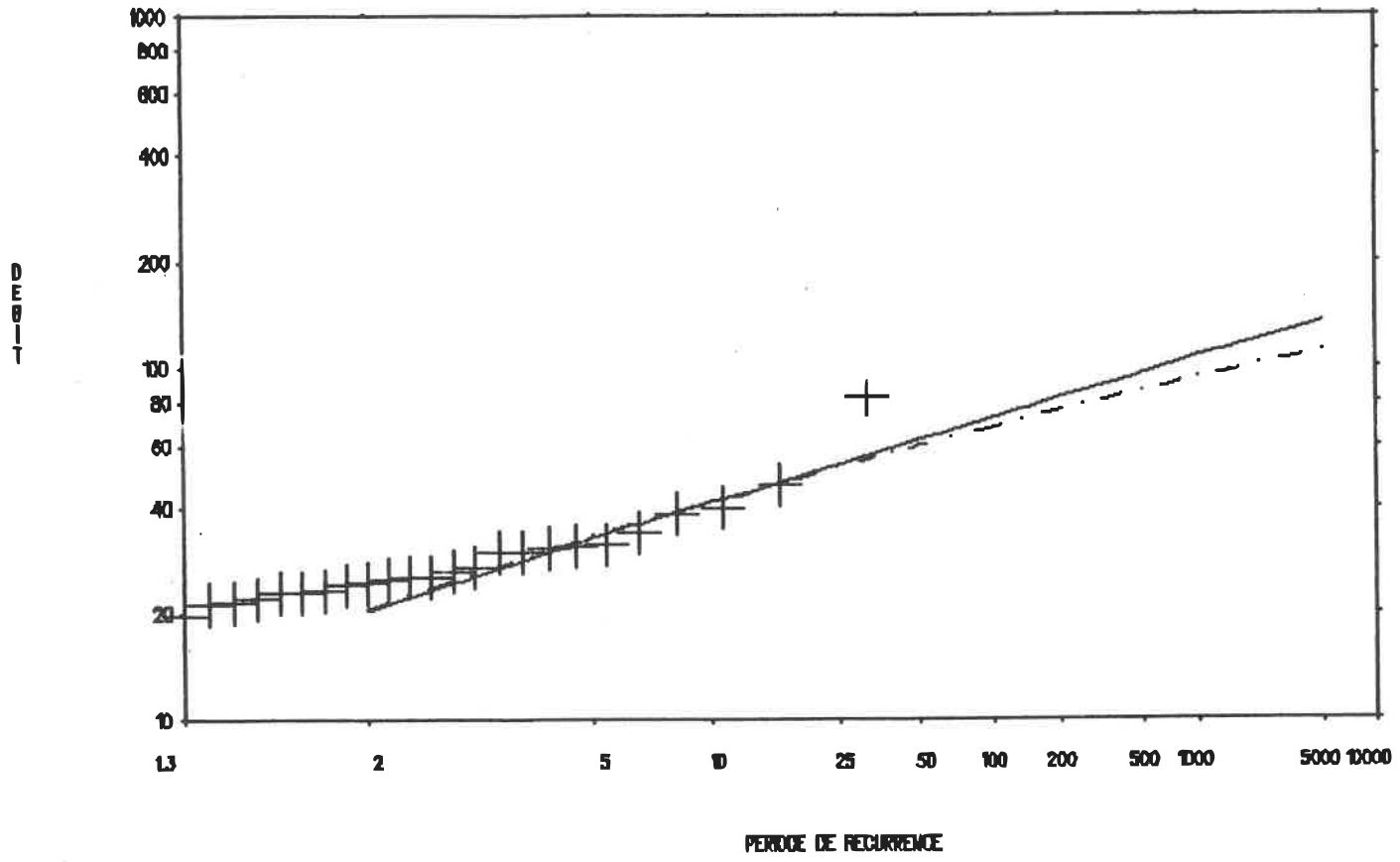



D14.b - Graphe du nombre moyen d'excédances en fonction du temps pour différents débits de base

Figure D14 - Station 02HC009



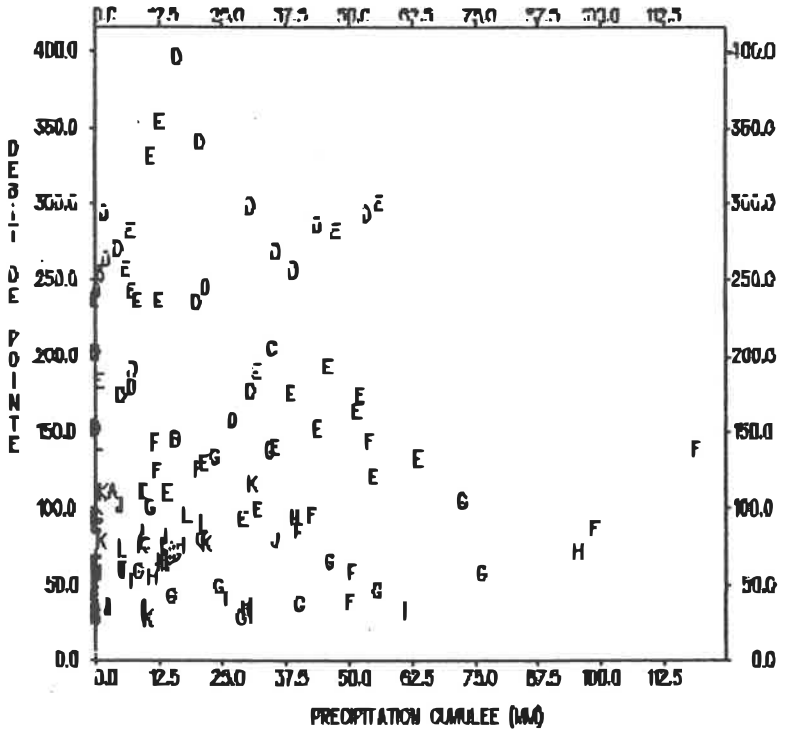

D14.c - Histogramme du nombre d'excédances en fonction de l'amplitude ($m^3/s$) et du mois



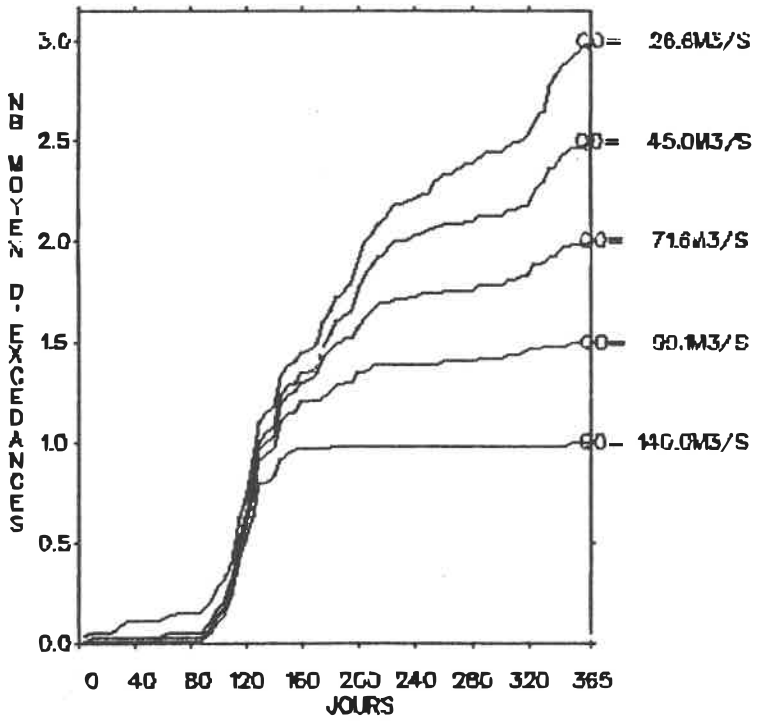

D14.d - Graphe du débit de pointe ($m^3/s$) en fonction du nombre d'années de récurrence

—— découpage en périodes homogènes

—·—· analyse annuelle

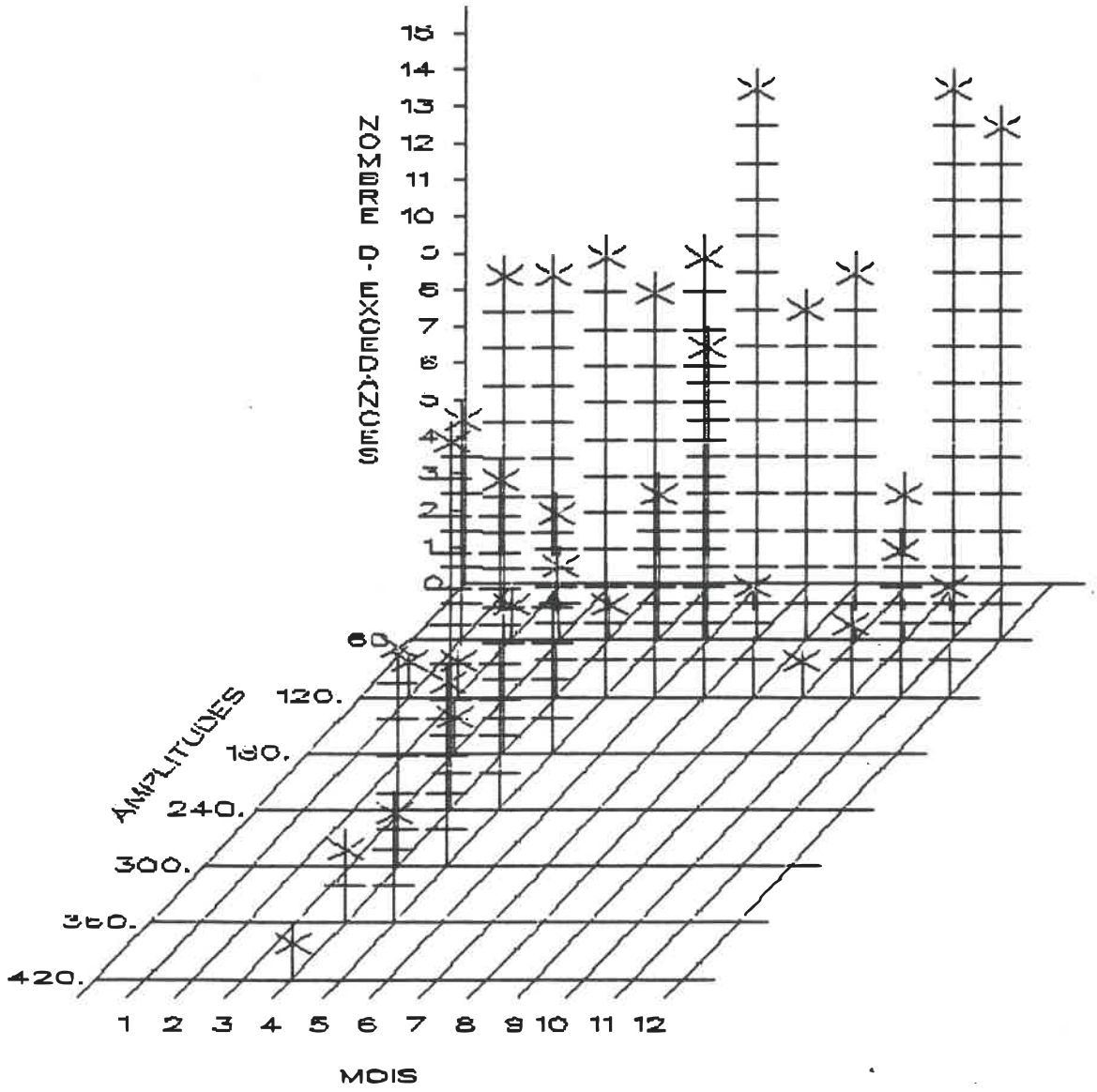



D15.a - Graphe du débit de pointe ($m^3/s$) en fonction de la précipitation cumulée (mm)

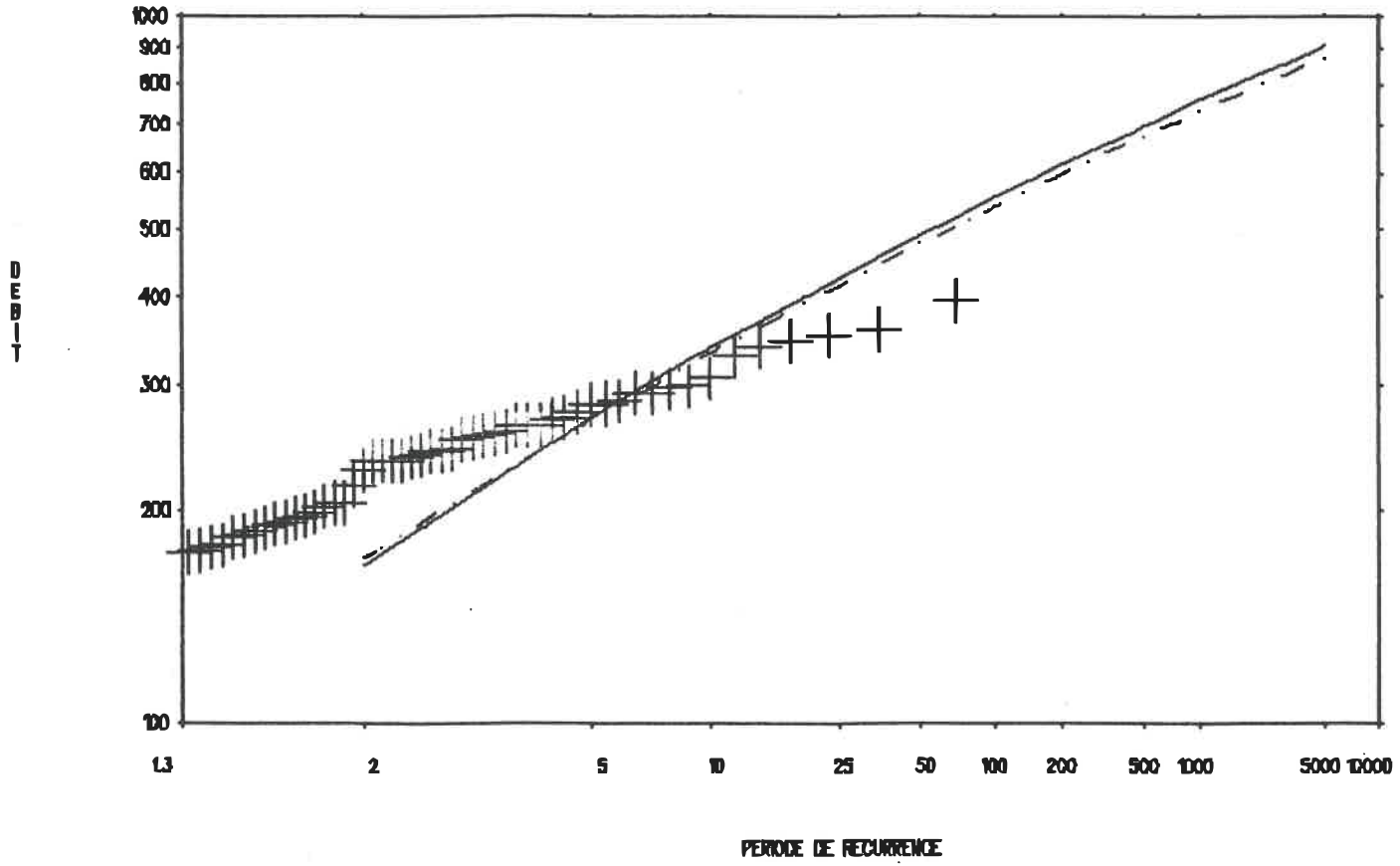



D15.b - Graphe du nombre moyen d'excédances en fonction du temps pour différents débits de base

Figure D15 - Station 02KB001



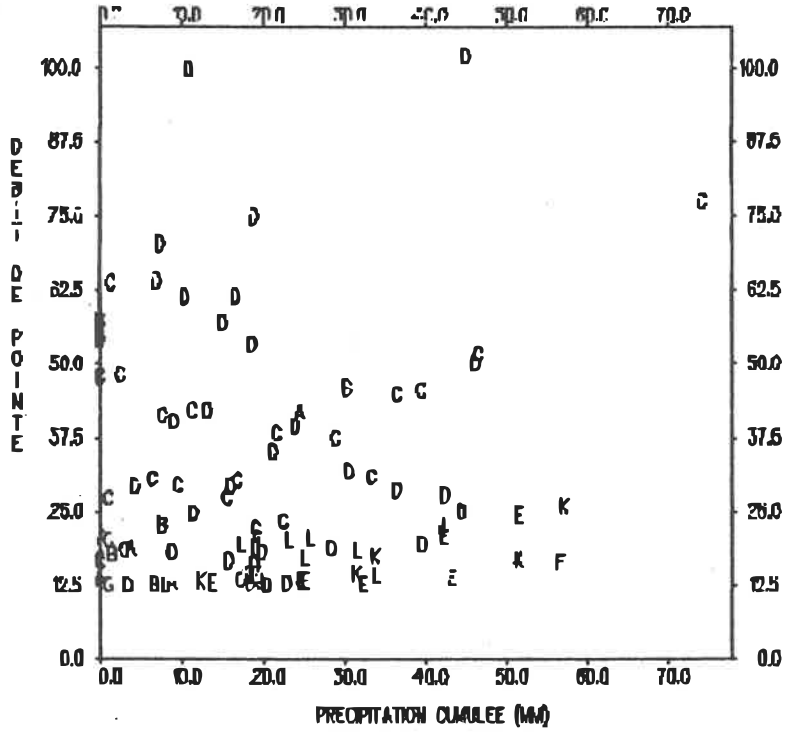

D15.c - Histogramme du nombre d'excédances en fonction de l'amplitude ($m^3/s$) et du mois



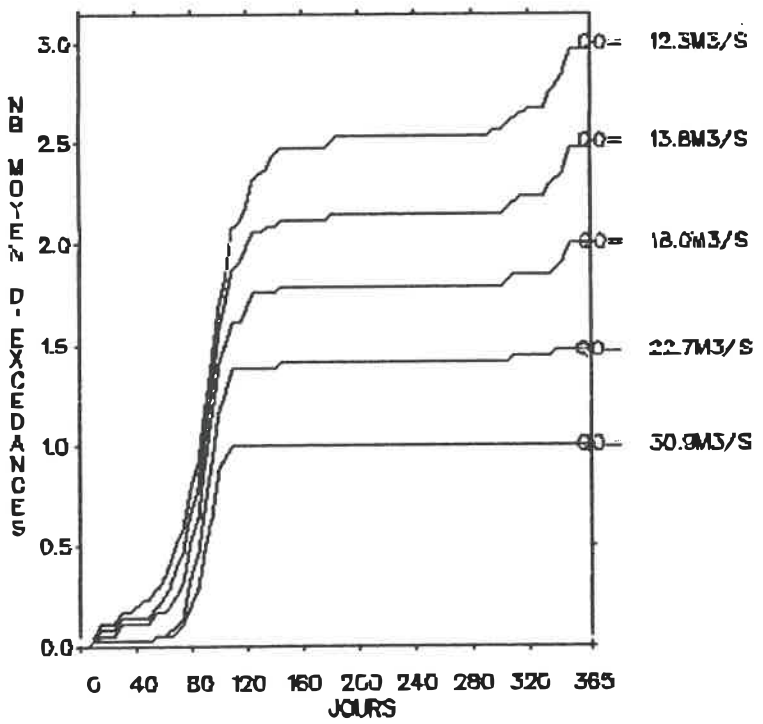

D15.d - Graphe du débit de pointe ($m^3/s$) en fonction du nombre d'années de récurrence

—— découpage en périodes homogènes

—·—· analyse annuelle

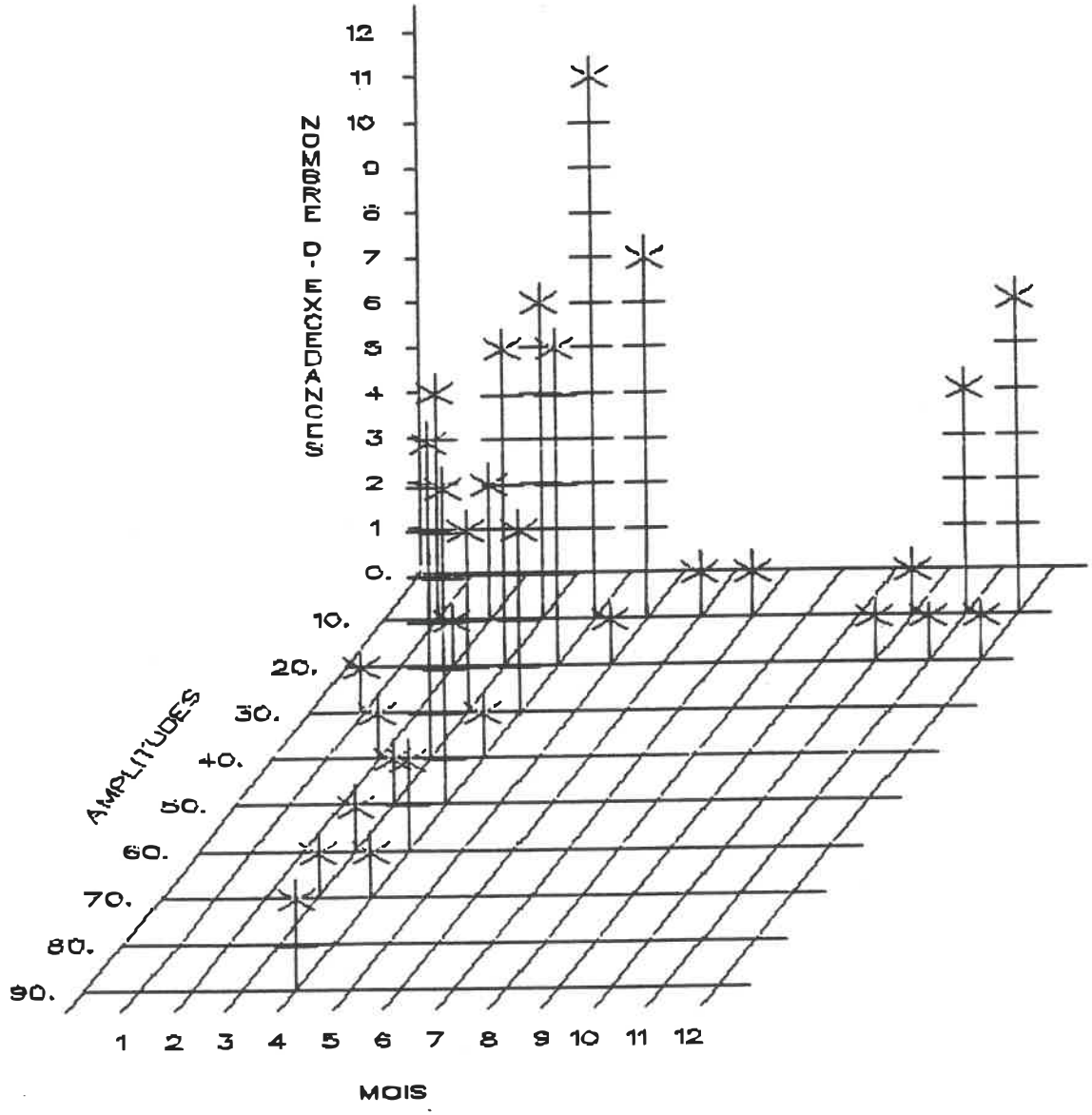



D16.a - Graphe du débit de pointe ($m^3/s$) en fonction de la précipitation cumulée (mm)

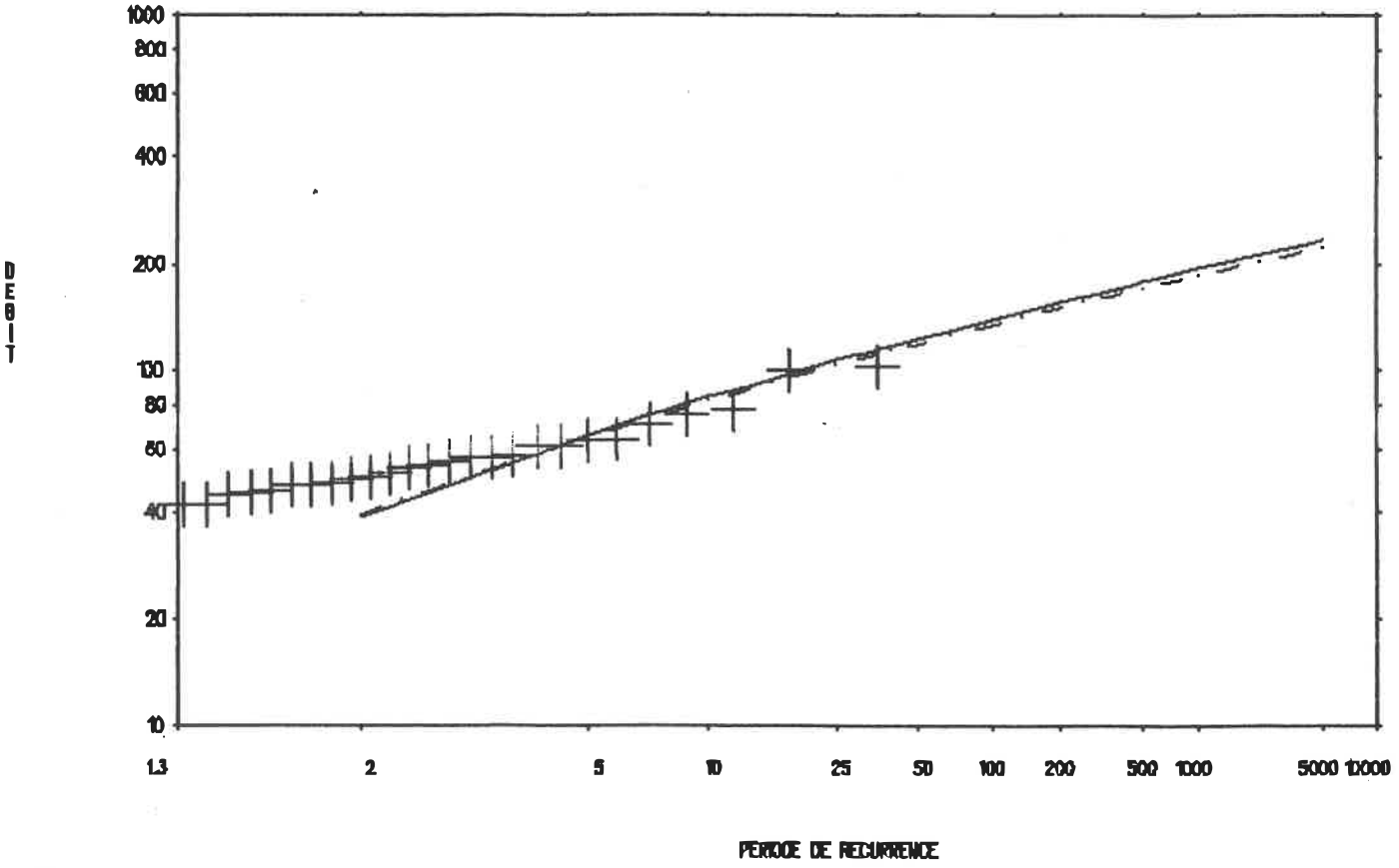



D16.b - Graphe du nombre moyen d'excédances en fonction du temps pour différents débits de base

Figure D16 - Station 02LB007



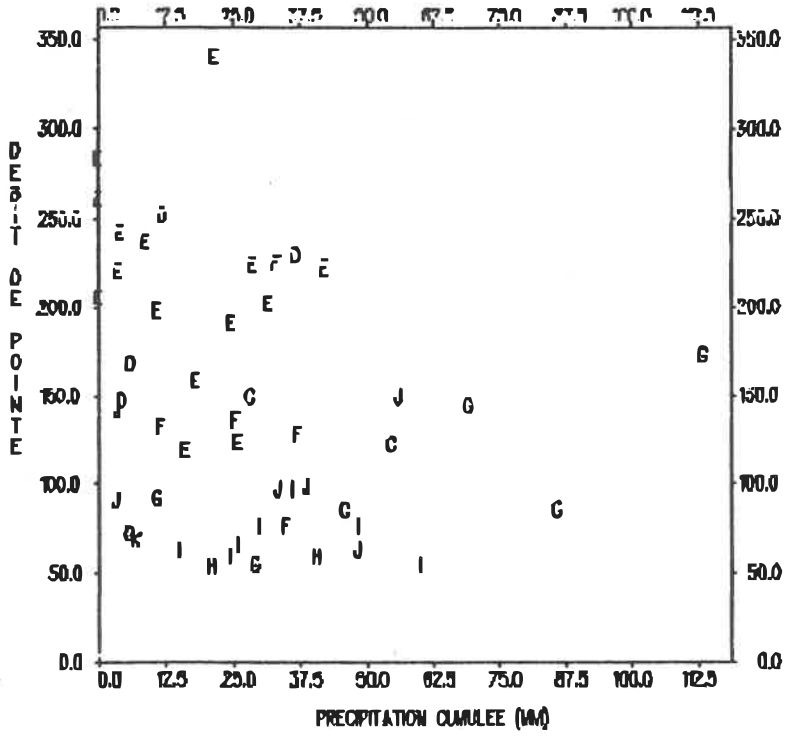

D16.c - Histogramme du nombre d'excédances en fonction de l'amplitude ($m^3/s$) et du mois



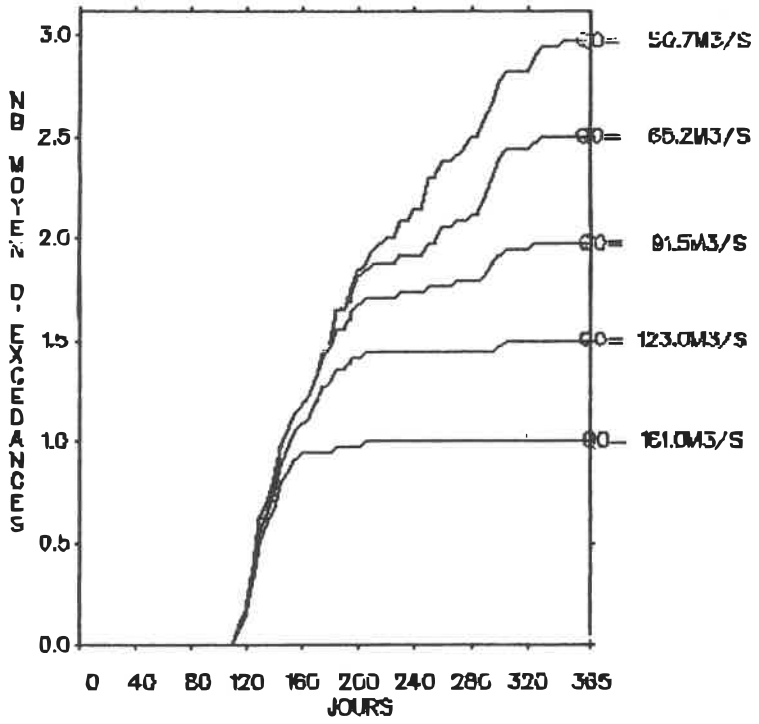

D16.d - Graphe du débit de pointe ($m^3/s$) en fonction du nombre d'années de récurrence

—— découpage en périodes homogènes

—·—· analyse annuelle

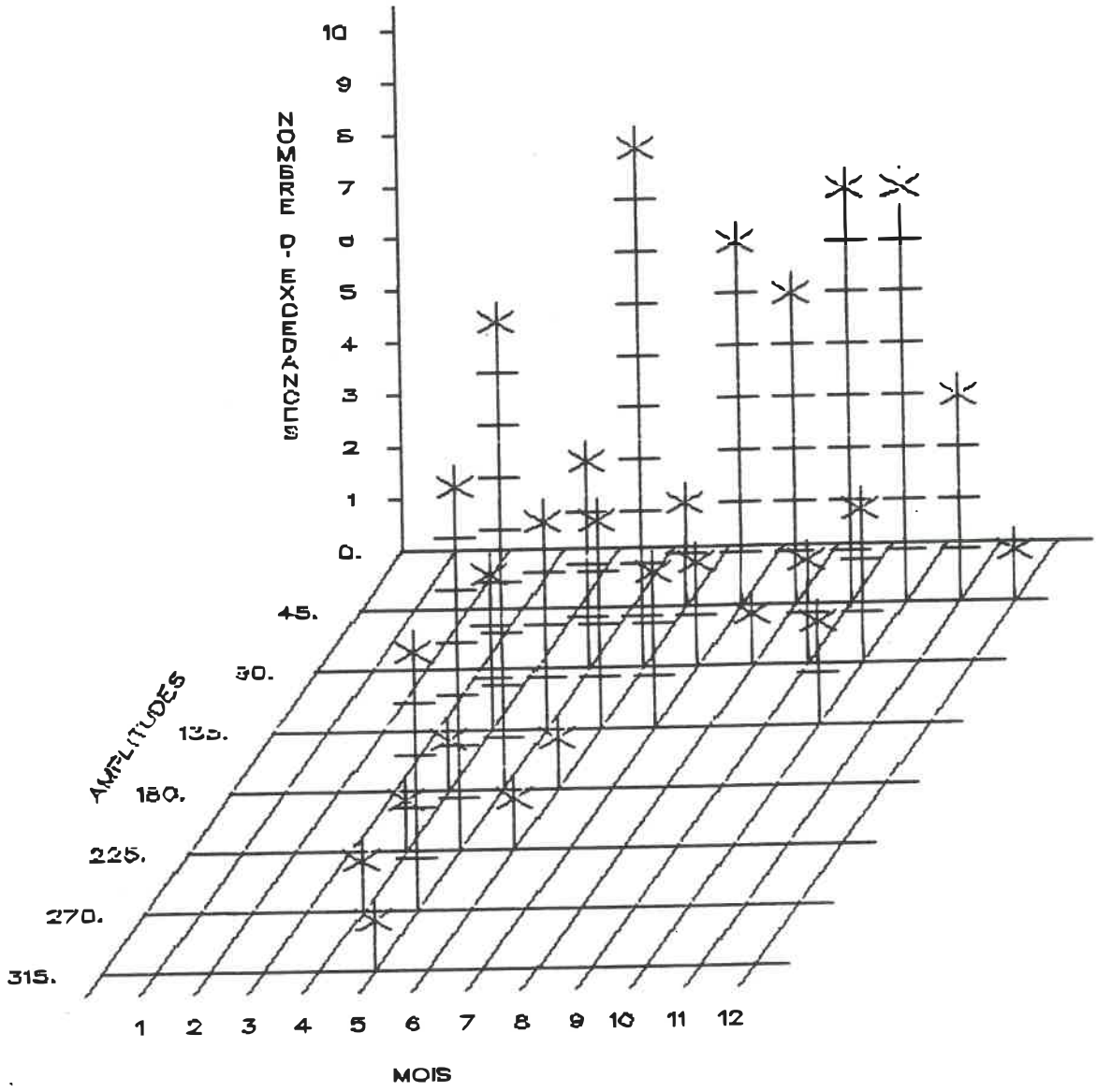



D17.a - Graphe du débit de pointe ($m^3/s$) en fonction de la précipitation cumulée (mm)

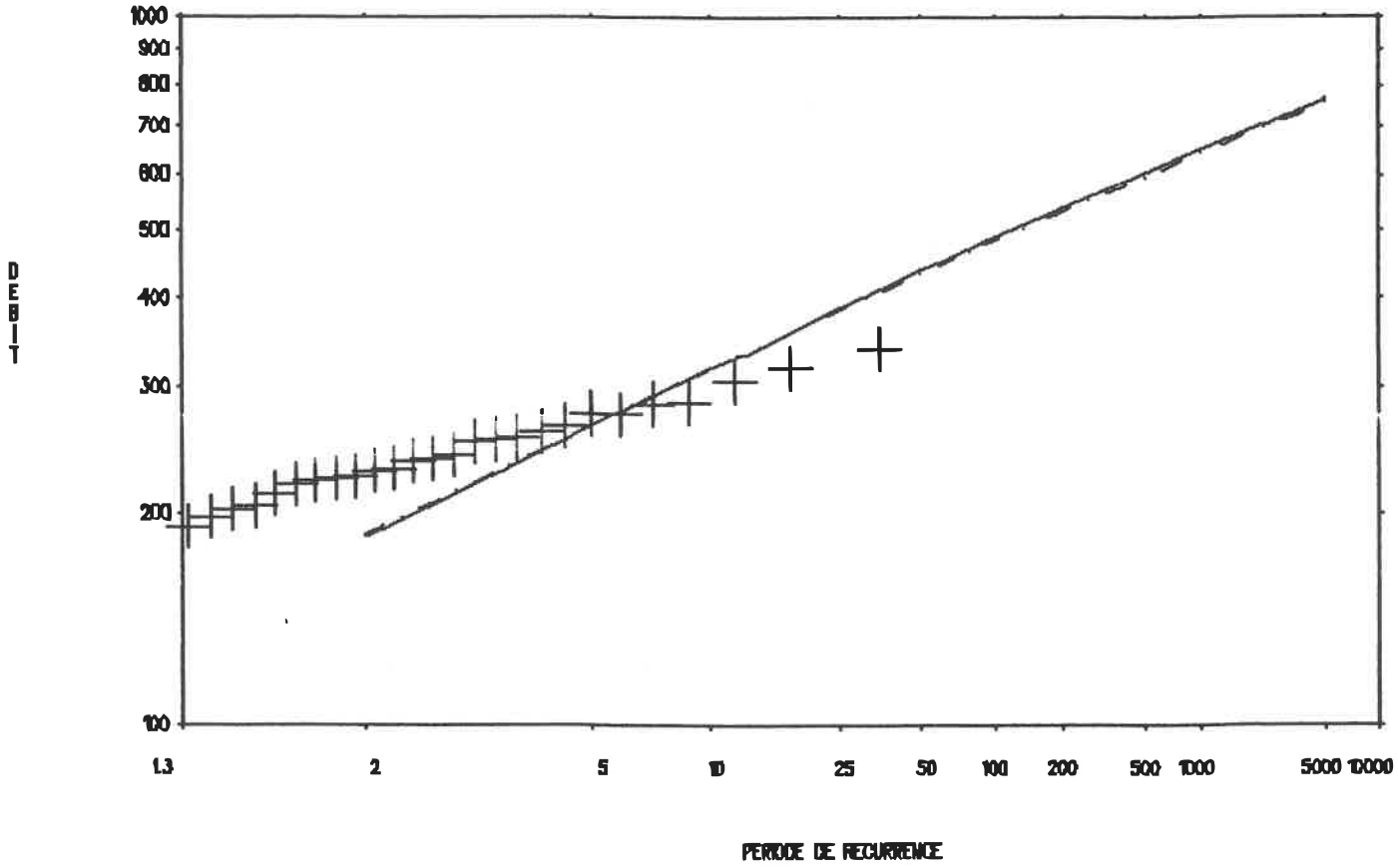



D17.b - Graphe du nombre moyen d'excédances en fonction du temps pour différents débits de base

Figure D17 - Station 04JA002



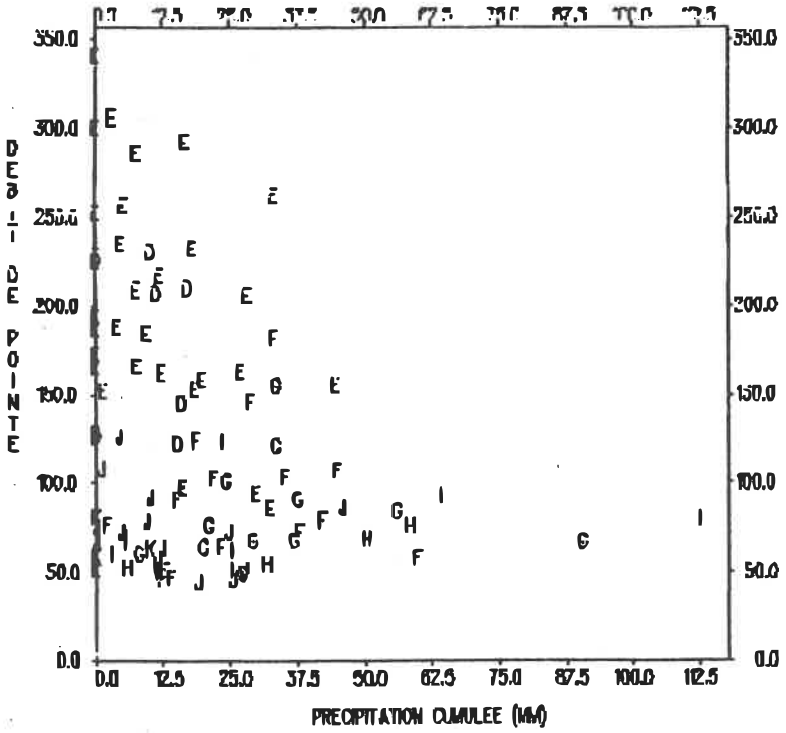

D17.c - Histogramme du nombre d'excédances en fonction de l'amplitude ($m^3/s$) et du mois



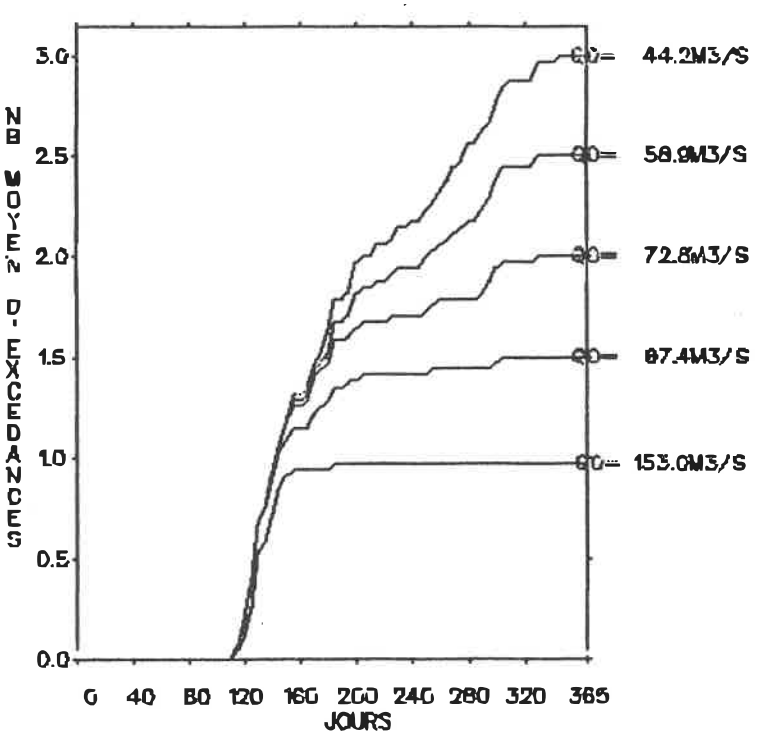

D17.d - Graphe du débit de pointe ($m^3/s$) en fonction du nombre d'années de récurrence

—— découpage en périodes homogènes

—·—· analyse annuelle

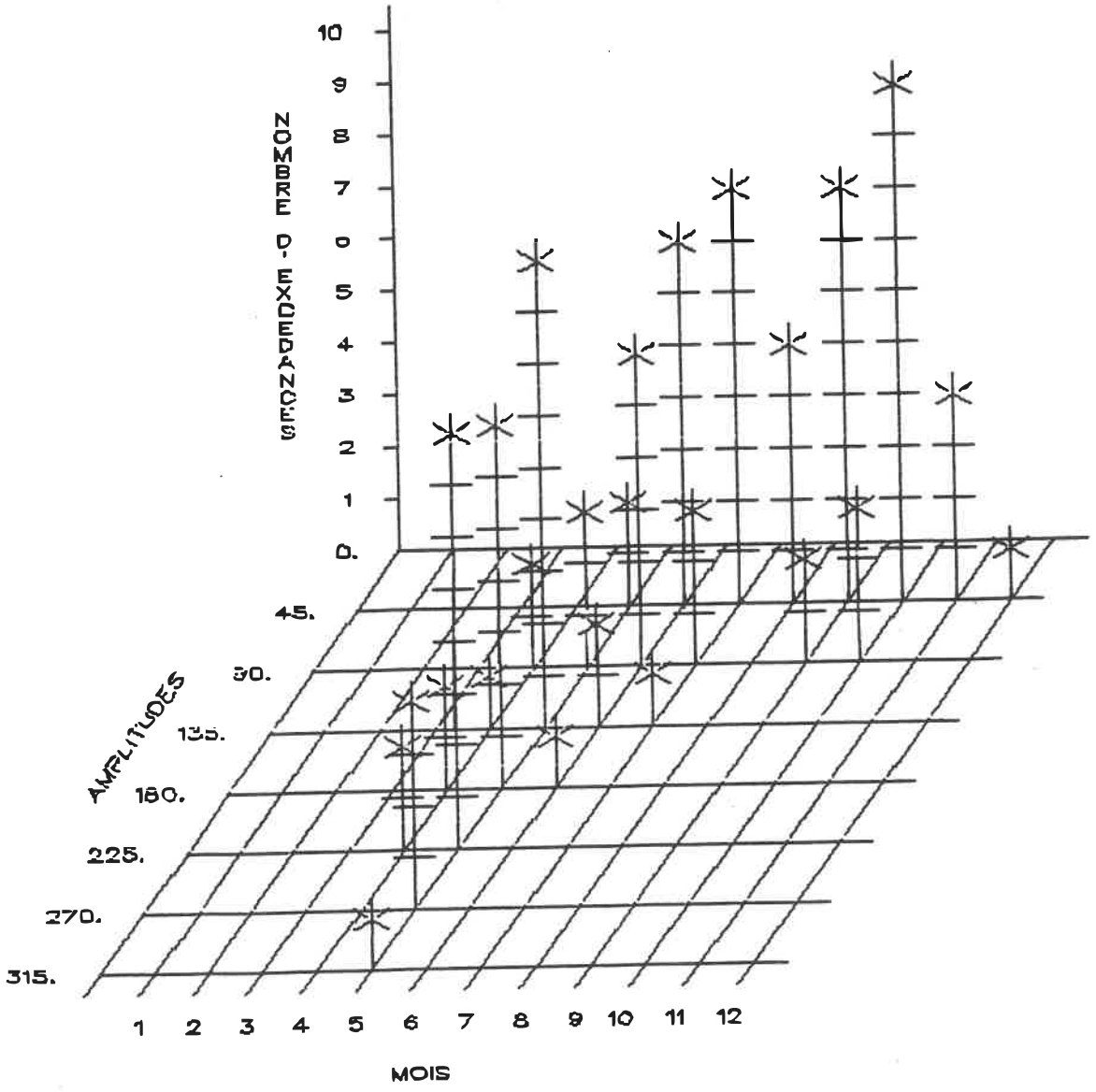



D18.a - Graphe du débit de pointe ($m^3/s$) en fonction de la précipitation cumulée (mm)

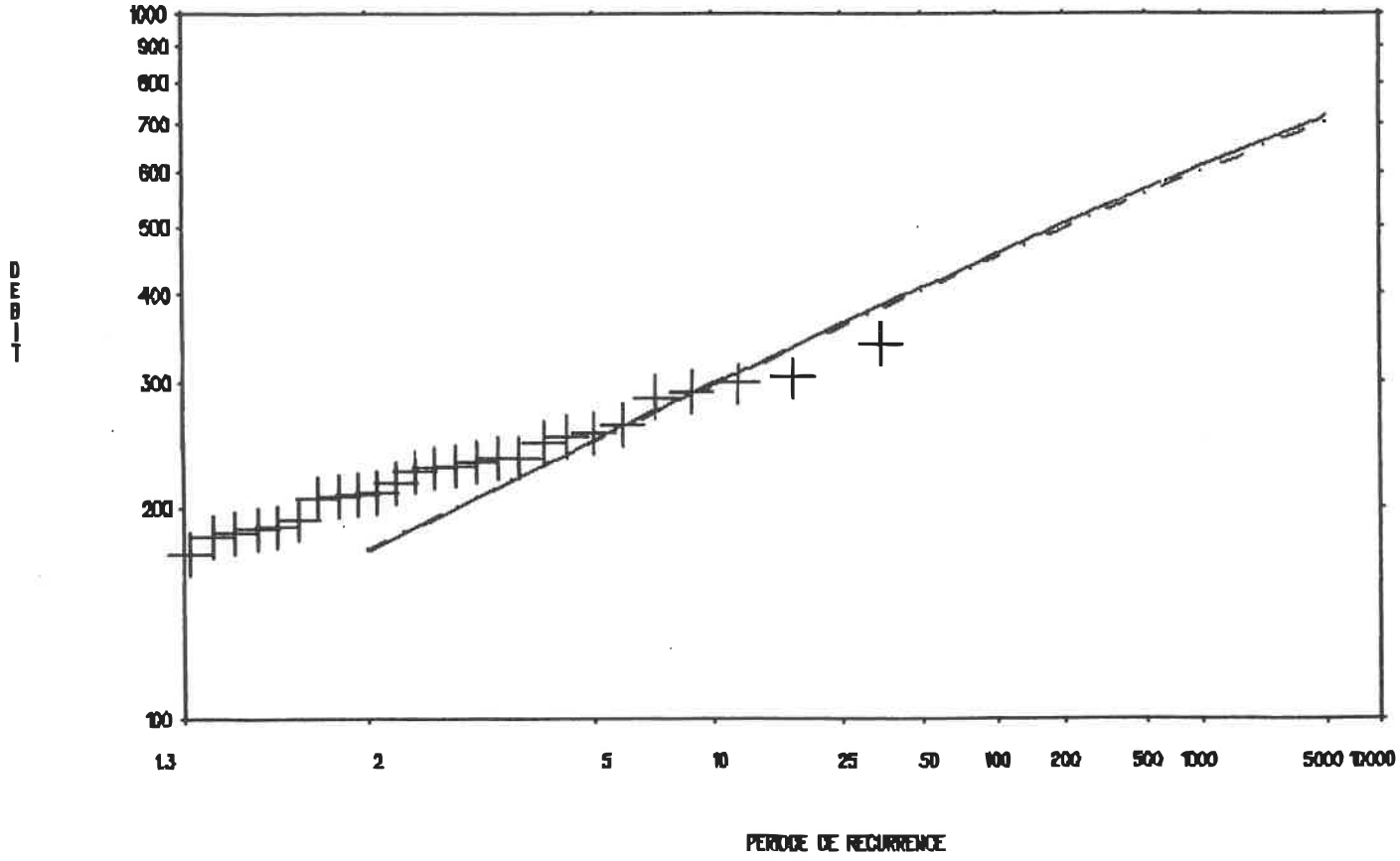



D18.b - Graphe du nombre moyen d'excédances en fonction du temps pour différents débits de base

Figure D18 - Station 04JC003



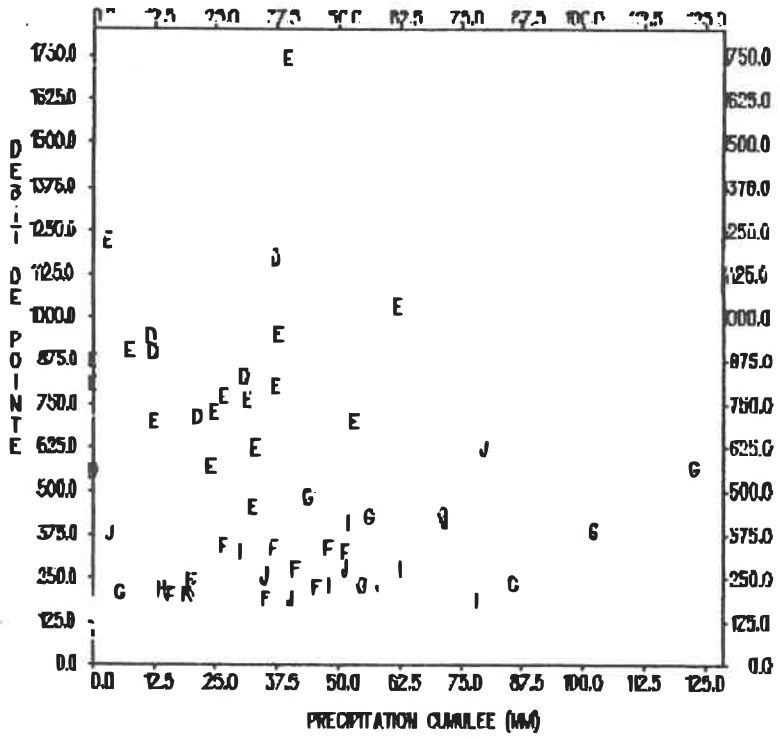

D18.c - Histogramme du nombre d'excédances en fonction de l'amplitude ($m^3/s$) et du mois



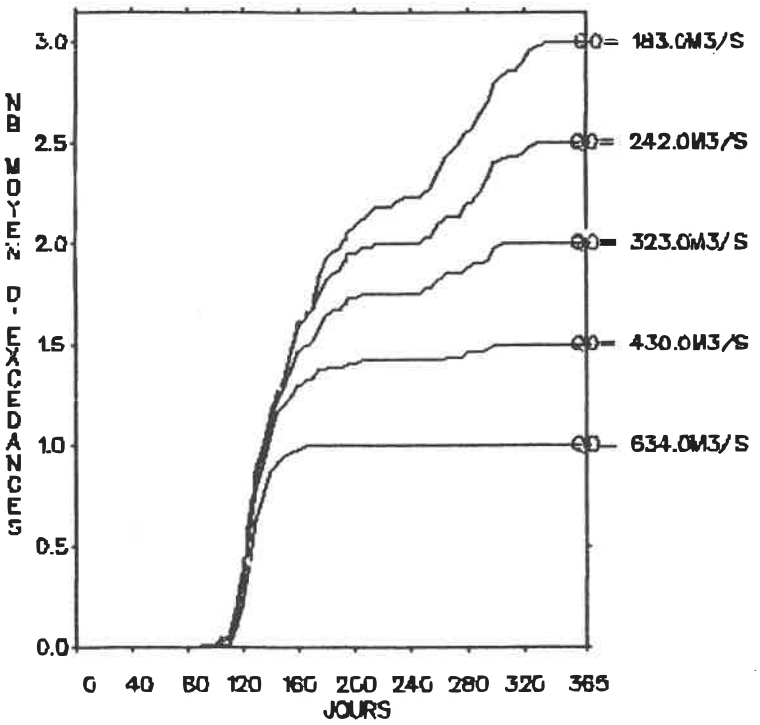

D18.d - Graphe du débit de pointe ($m^3/s$) en fonction du nombre d'années de récurrence

——— découpage en périodes homogènes

—·—· analyse annuelle

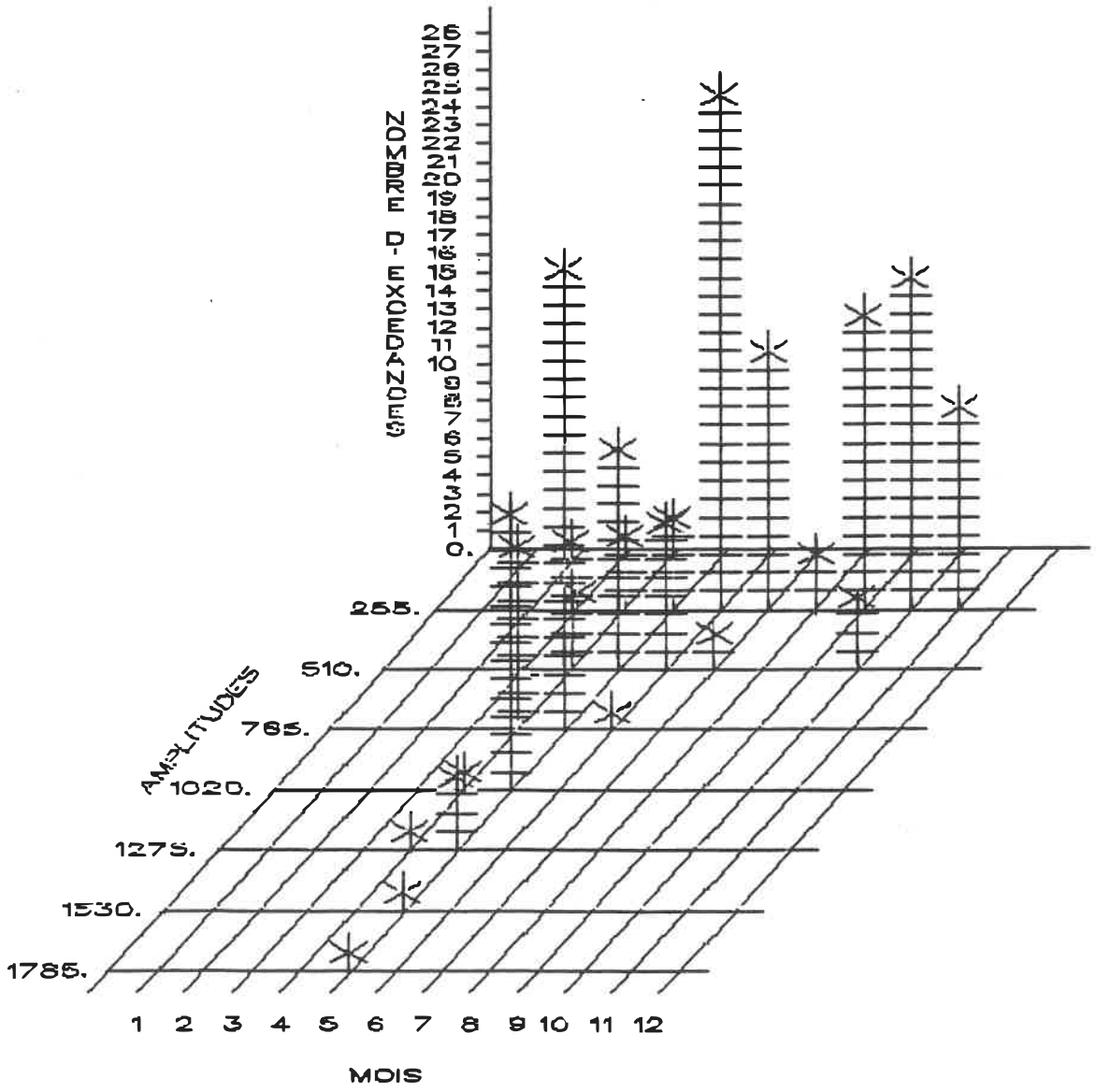



D19.a - Graphe du débit de pointe ($m^3/s$) en fonction de la précipitation cumulée (mm)

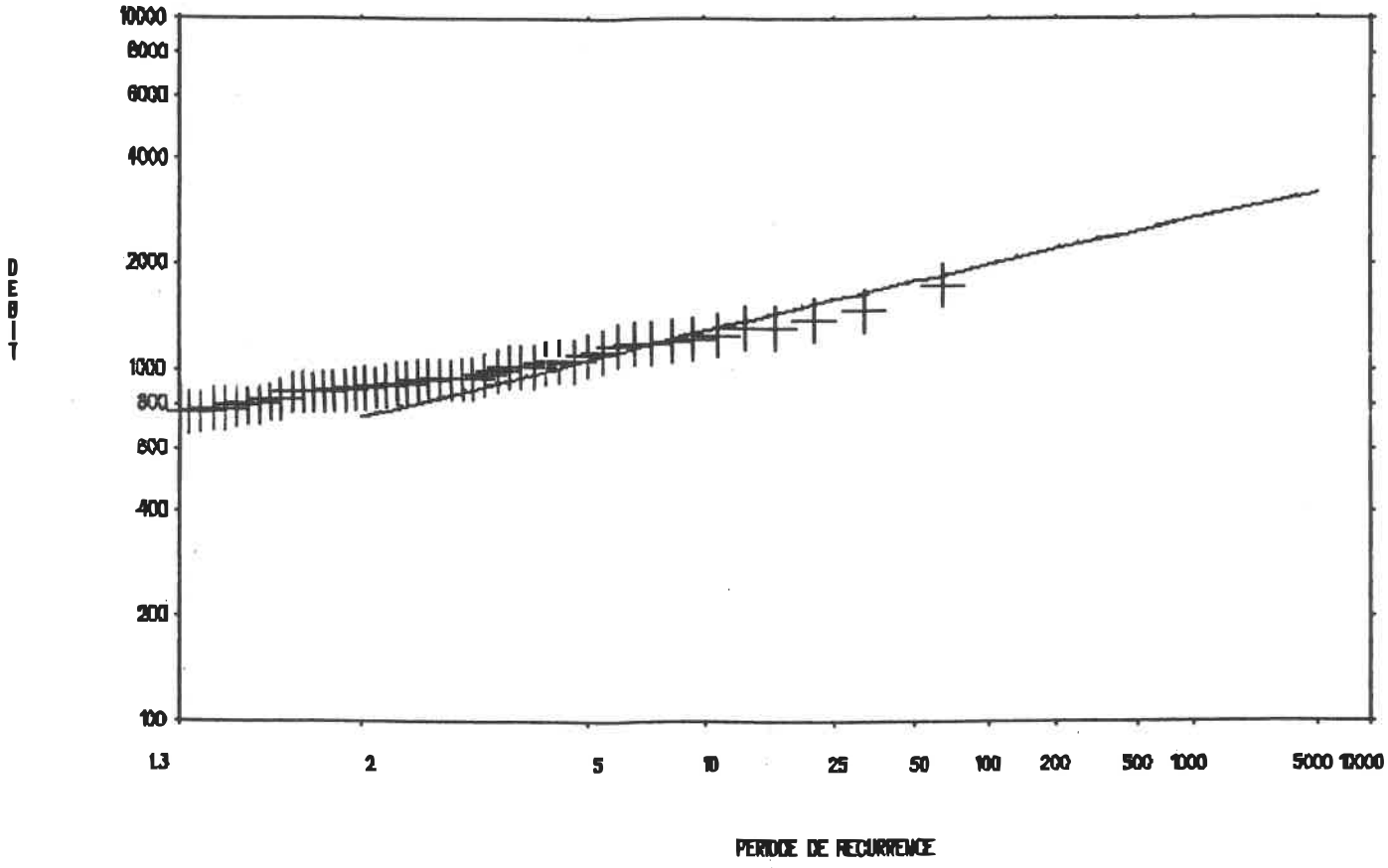



D19.b - Graphe du nombre moyen d'excédances en fonction du temps pour différents débits de base

Figure D19 - Station 04LJ001



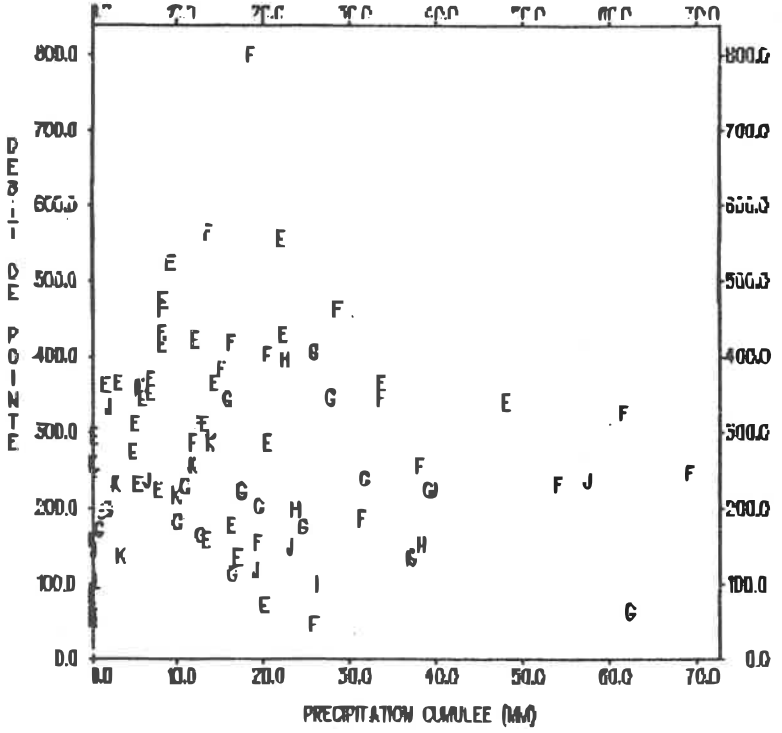

D19.c - Histogramme du nombre d'excédances en fonction de l'amplitude ($m^3/s$) et du mois



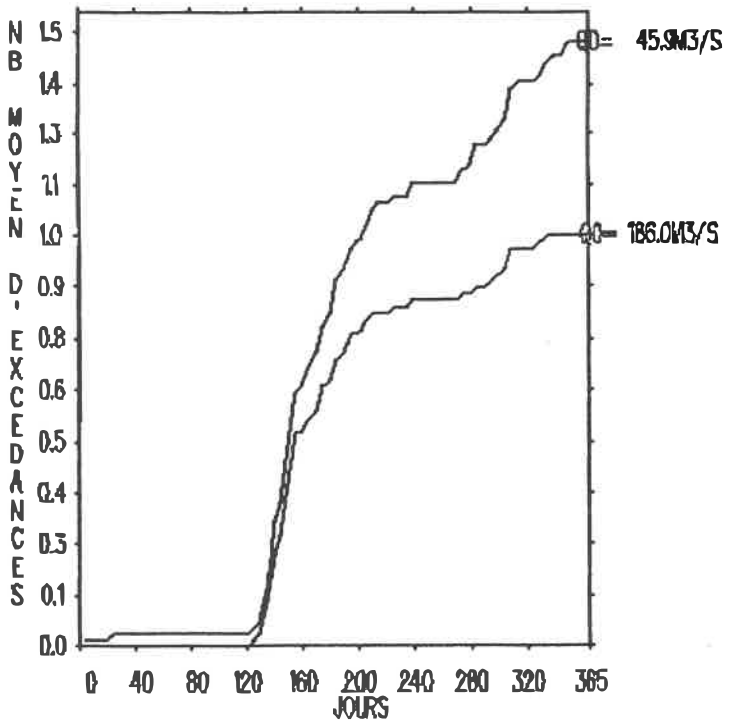

D19.d - Graphe du débit de pointe ($m^3/s$) en fonction du nombre d'années de récurrence

—— découpage en périodes homogènes

—·— analyse annuelle

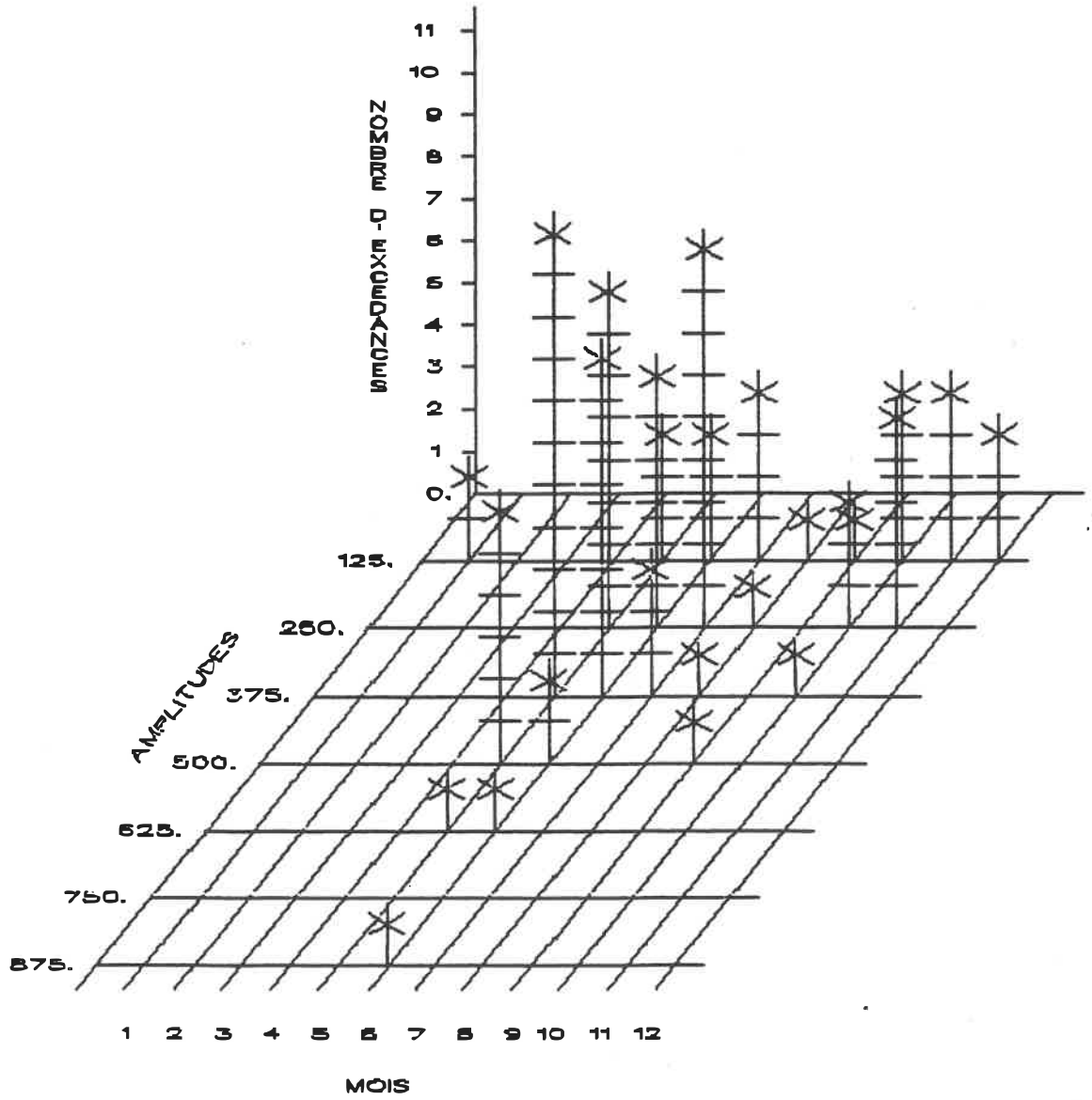



D20.a - Graphe du débit de pointe ($m^3/s$) en fonction de la précipitation cumulée (mm)

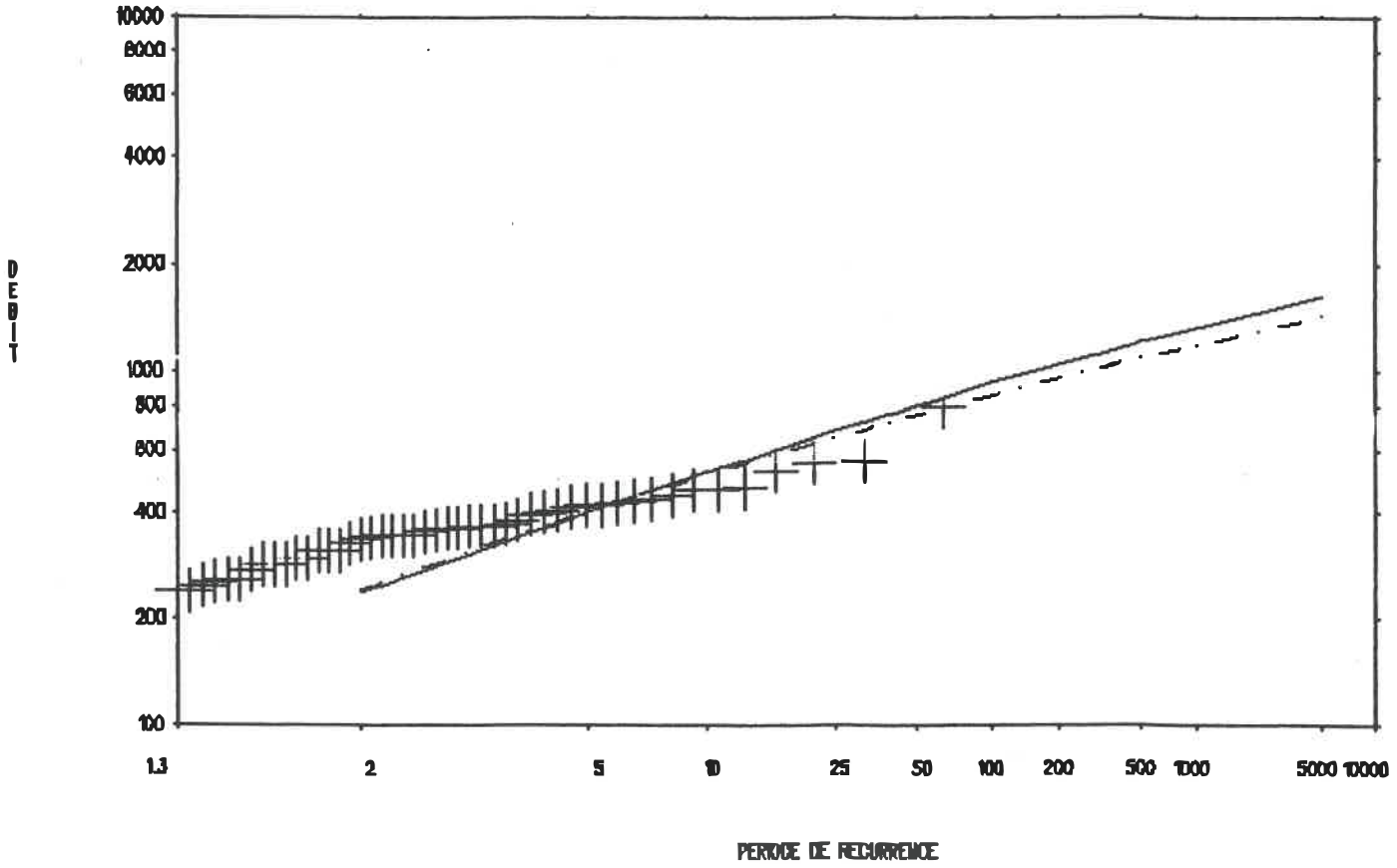



D20.b - Graphe du nombre moyen d'excédances en fonction du temps pour différents débits de base

Figure D20 - Station 05PA006



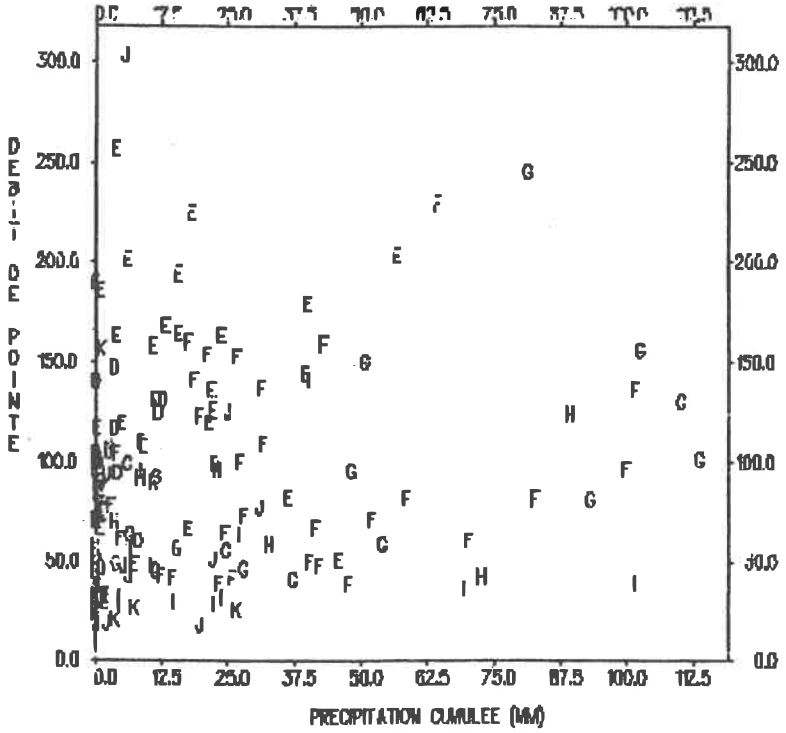

D20.c - Histogramme du nombre d'excédances en fonction de l'amplitude ($m^3/s$) et du mois



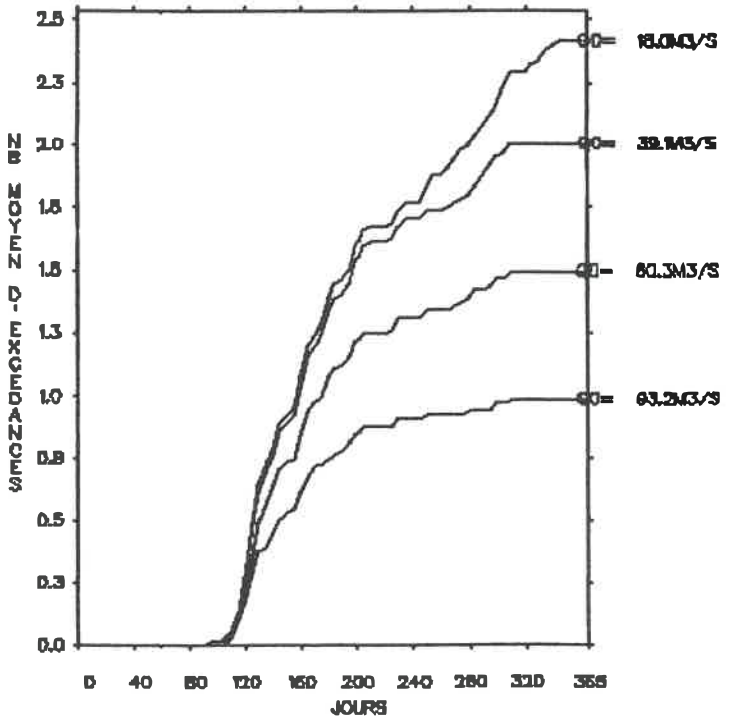

D20.d - Graphe du débit de pointe ($m^3/s$) en fonction du nombre d'années de récurrence

——— découpage en périodes homogènes

—·—· analyse annuelle

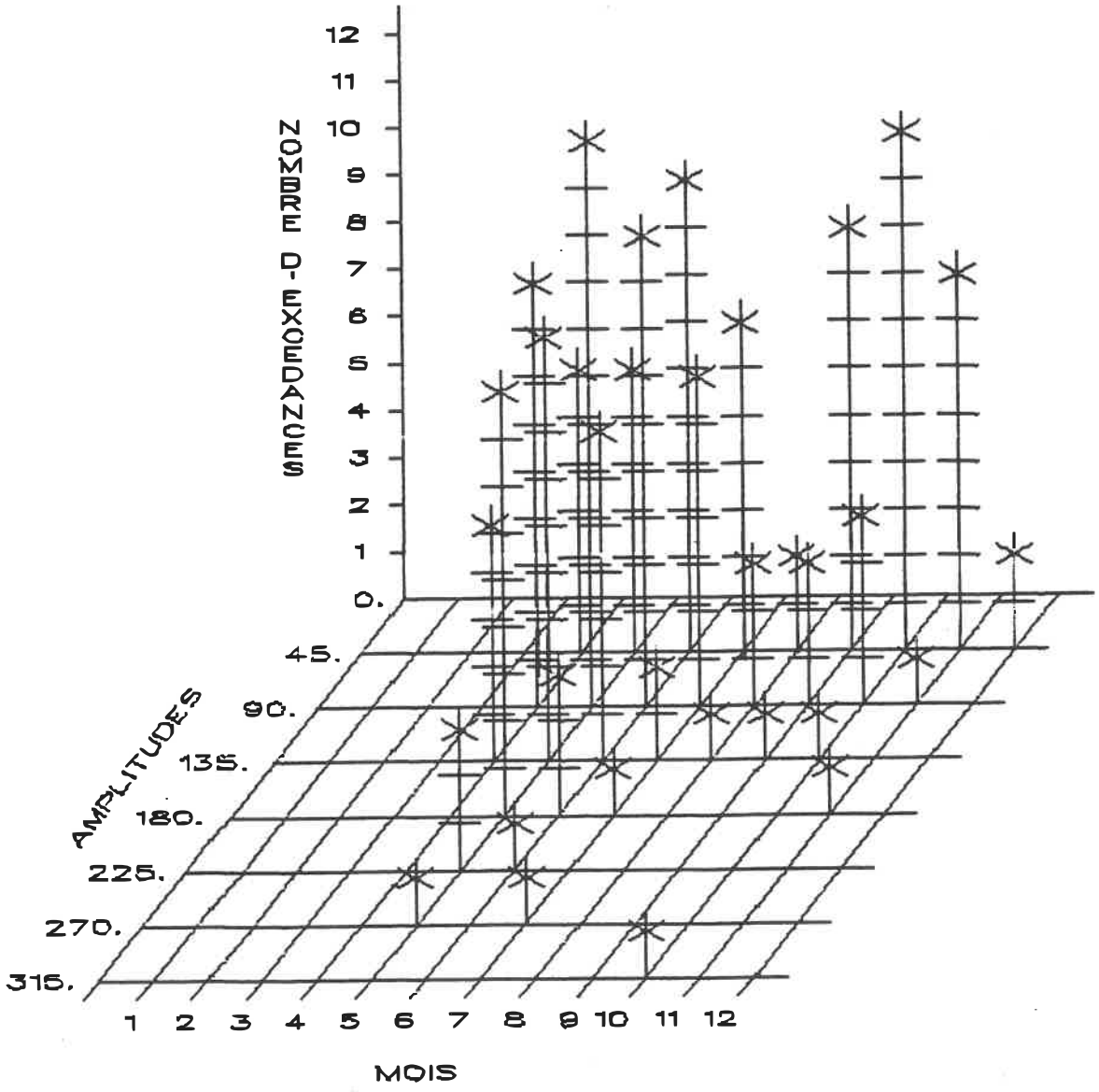



D21.a - Graphe du débit de pointe ($m^3/s$) en fonction de la précipitation cumulée (mm)

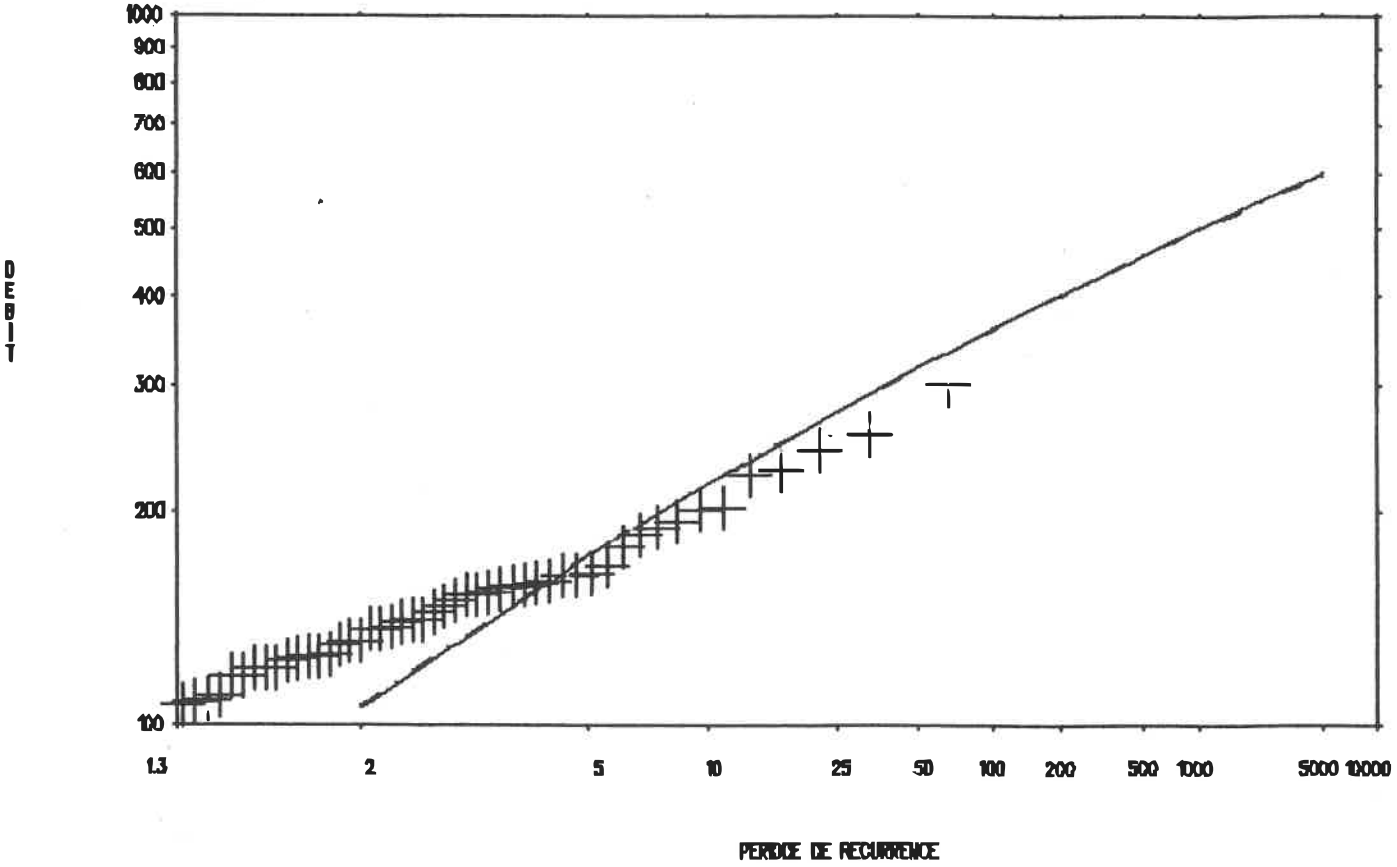



D21.b - Graphe du nombre moyen d'excédances en fonction du temps pour différents débits de base

Figure D21 - Station 05PB014



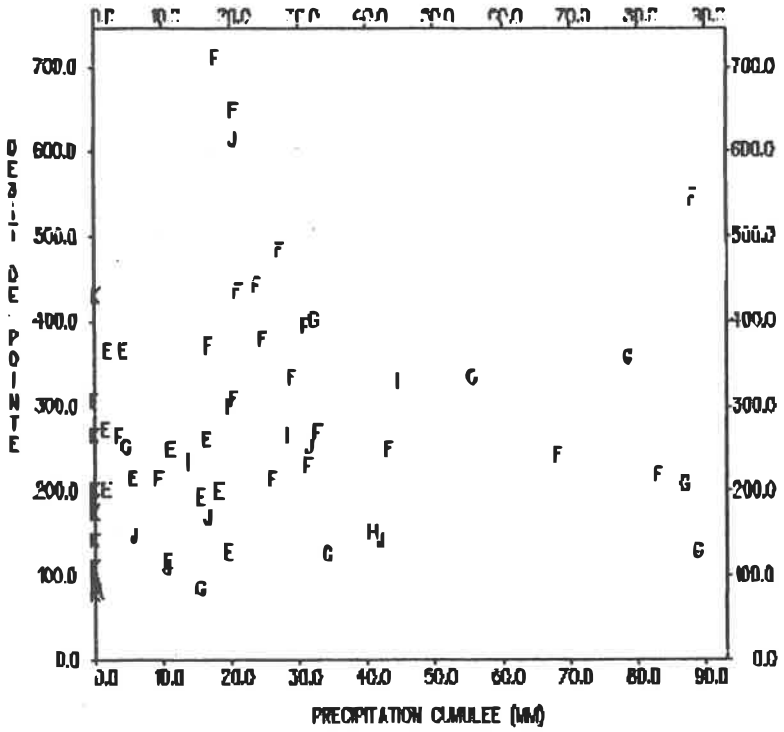

D21.c - Histogramme du nombre d'excédances en fonction de l'amplitude ($m^3/s$) et du mois

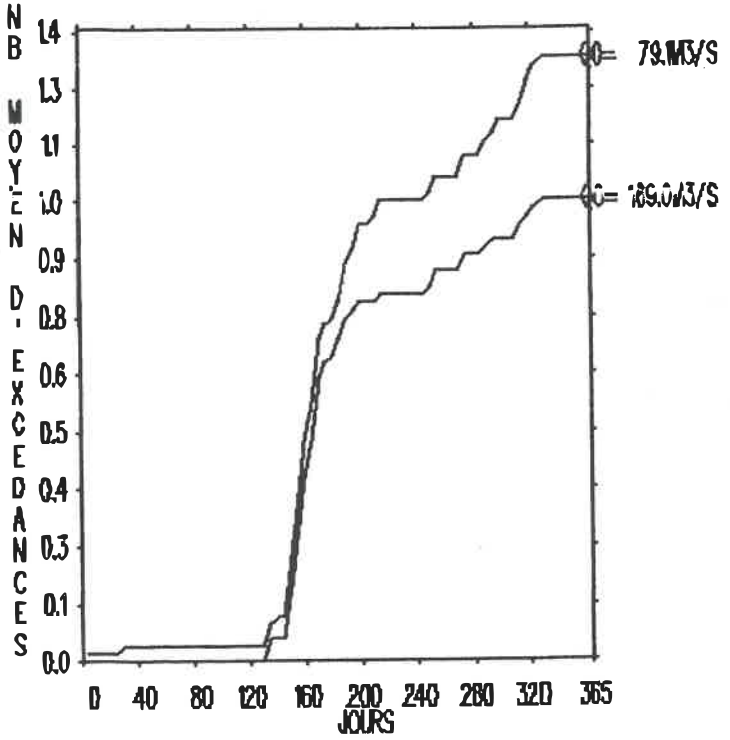



D21.d - Graphe du débit de pointe ($m^3/s$) en fonction du nombre d'années de récurrence

—— découpage en périodes homogènes

—·—· analyse annuelle

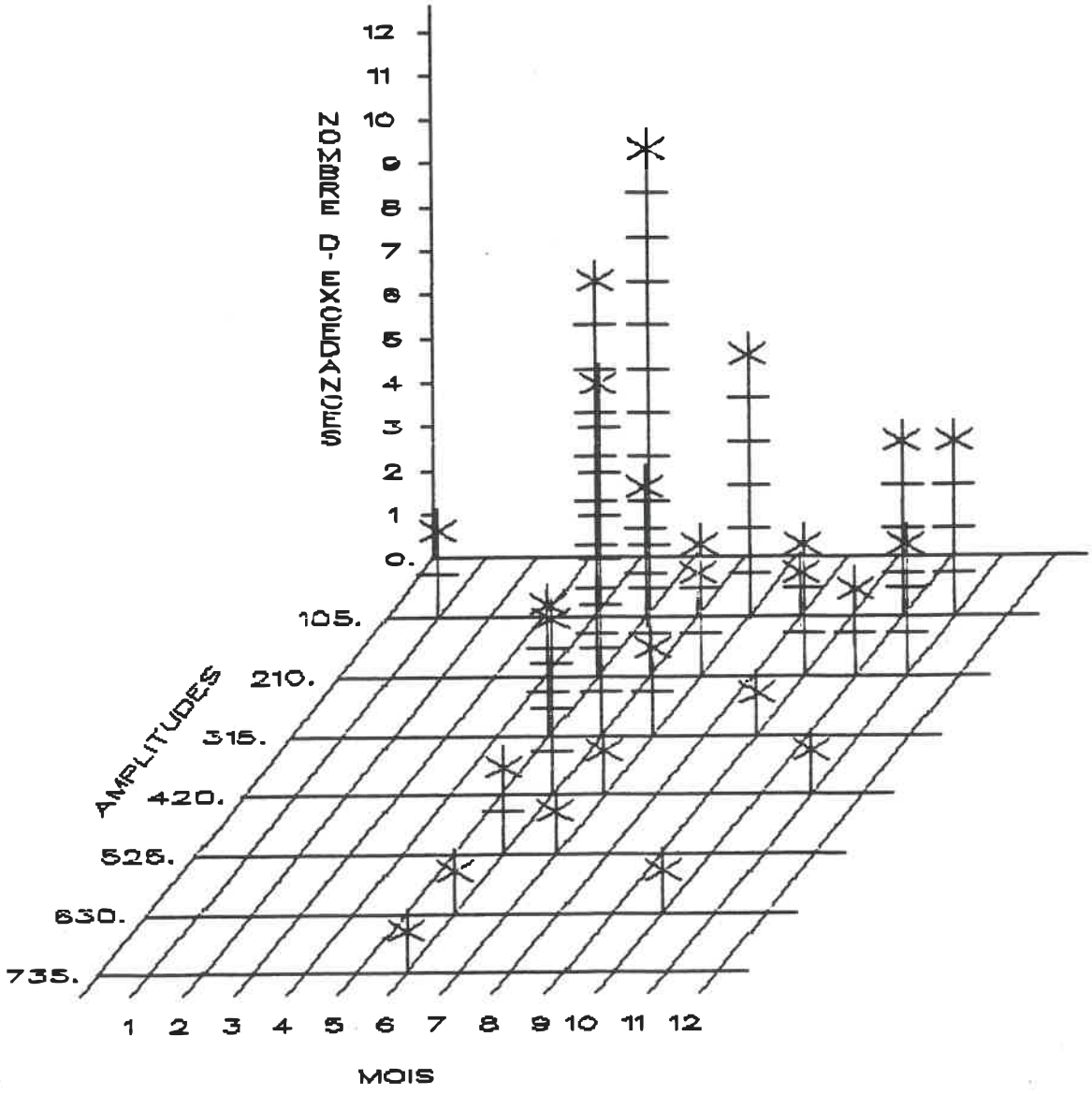


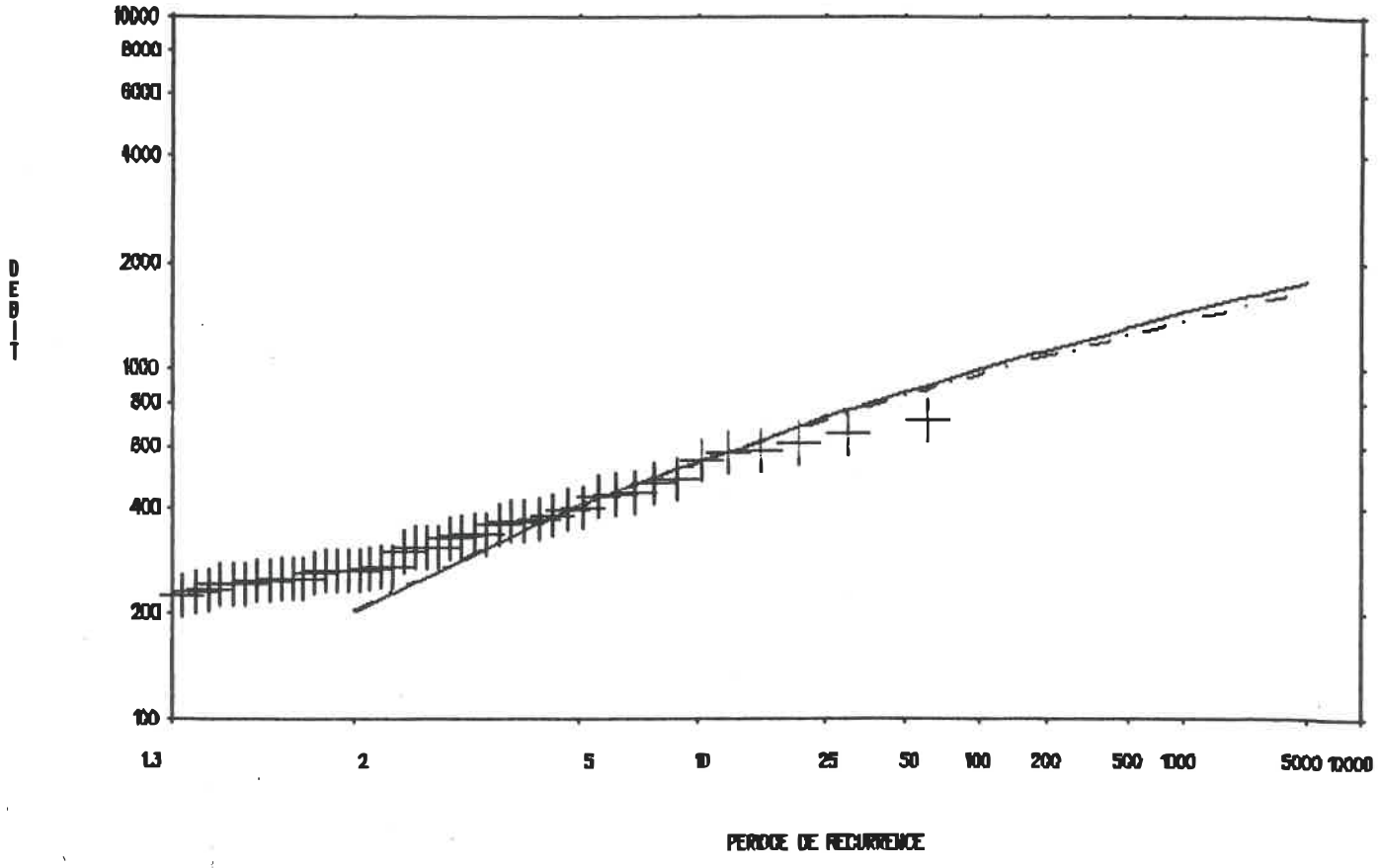

D22.a - Graphe du débit de pointe ($m^3/s$) en fonction de la précipitation cumulée (mm)

D22.b - Graphe du nombre moyen d'excédances en fonction du temps pour différents débits de base

Figure D22 - Station 05QA001



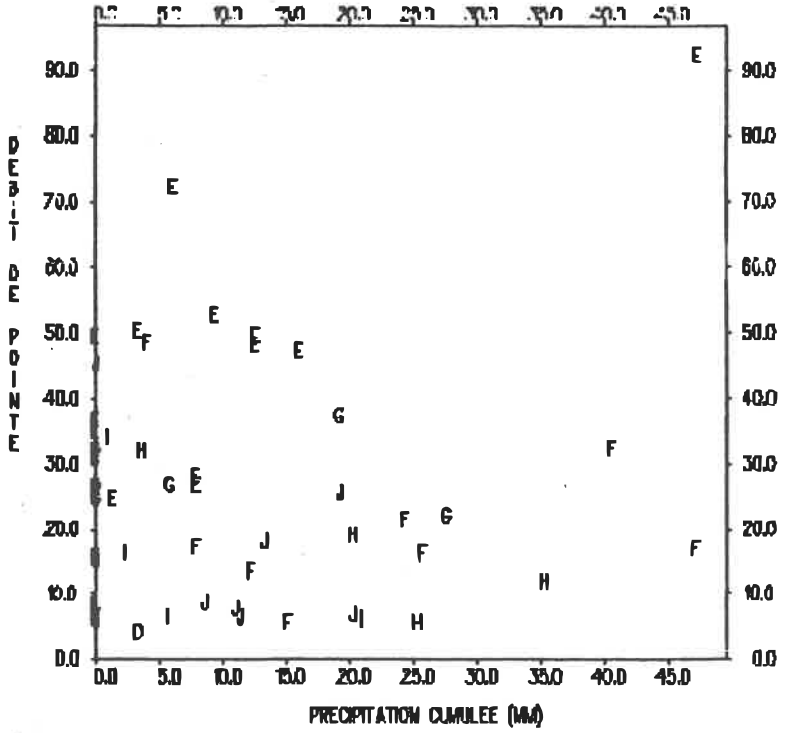

D22.c - Histogramme du nombre d'excédances en fonction de l'amplitude ($m^3/s$) et du mois



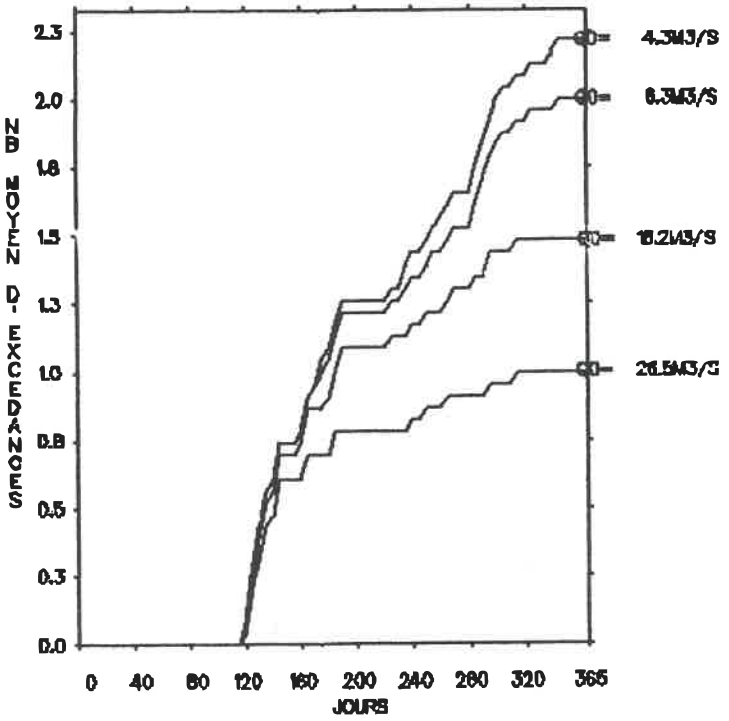

D22.d - Graphe du débit de pointe ($m^3/s$) en fonction du nombre d'années de récurrence

—— découpage en périodes homogènes

—·—· analyse annuelle

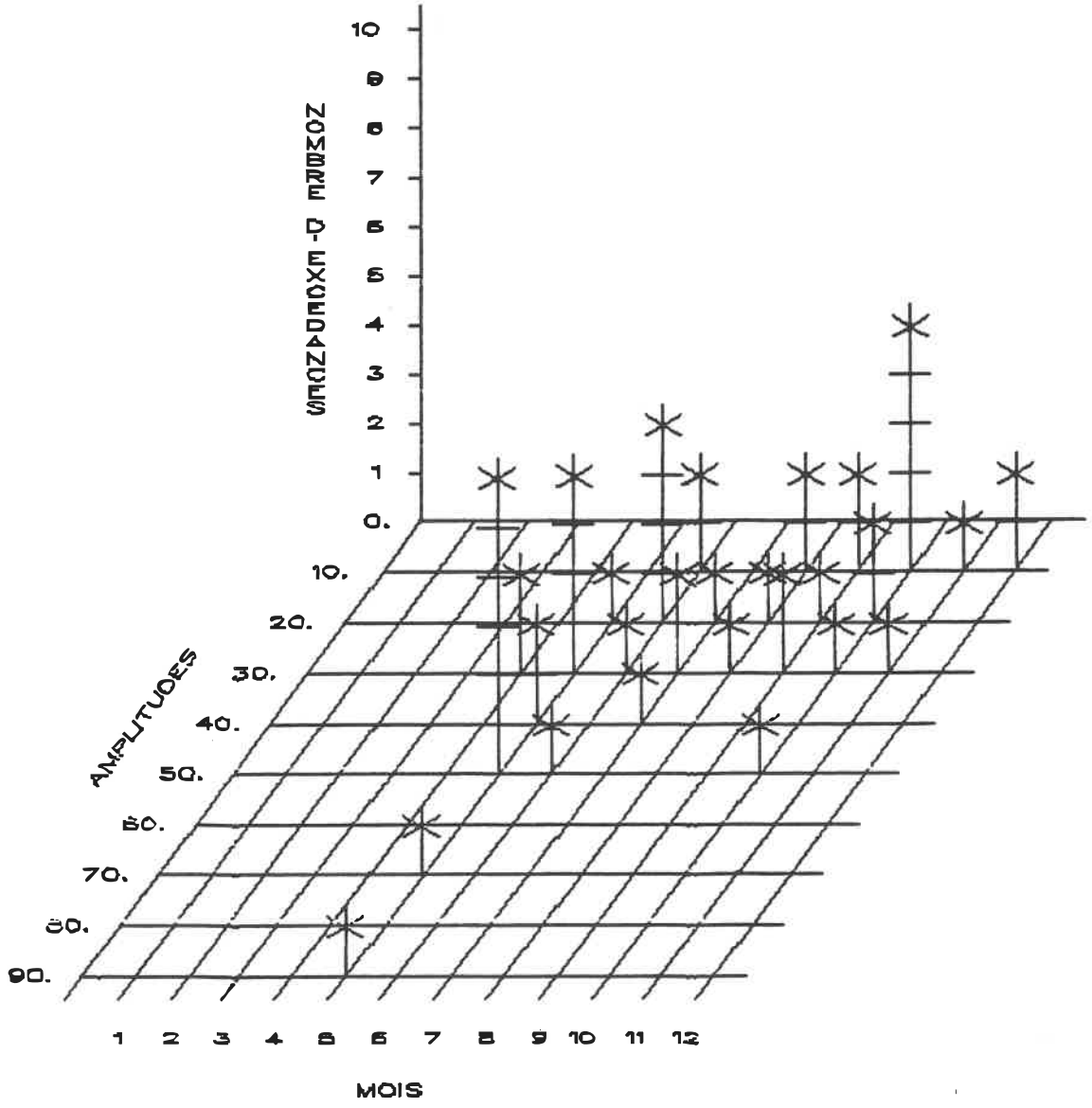



D23.a - Graphe du débit de pointe ($m^3/s$) en fonction de la précipitation cumulée (mm)

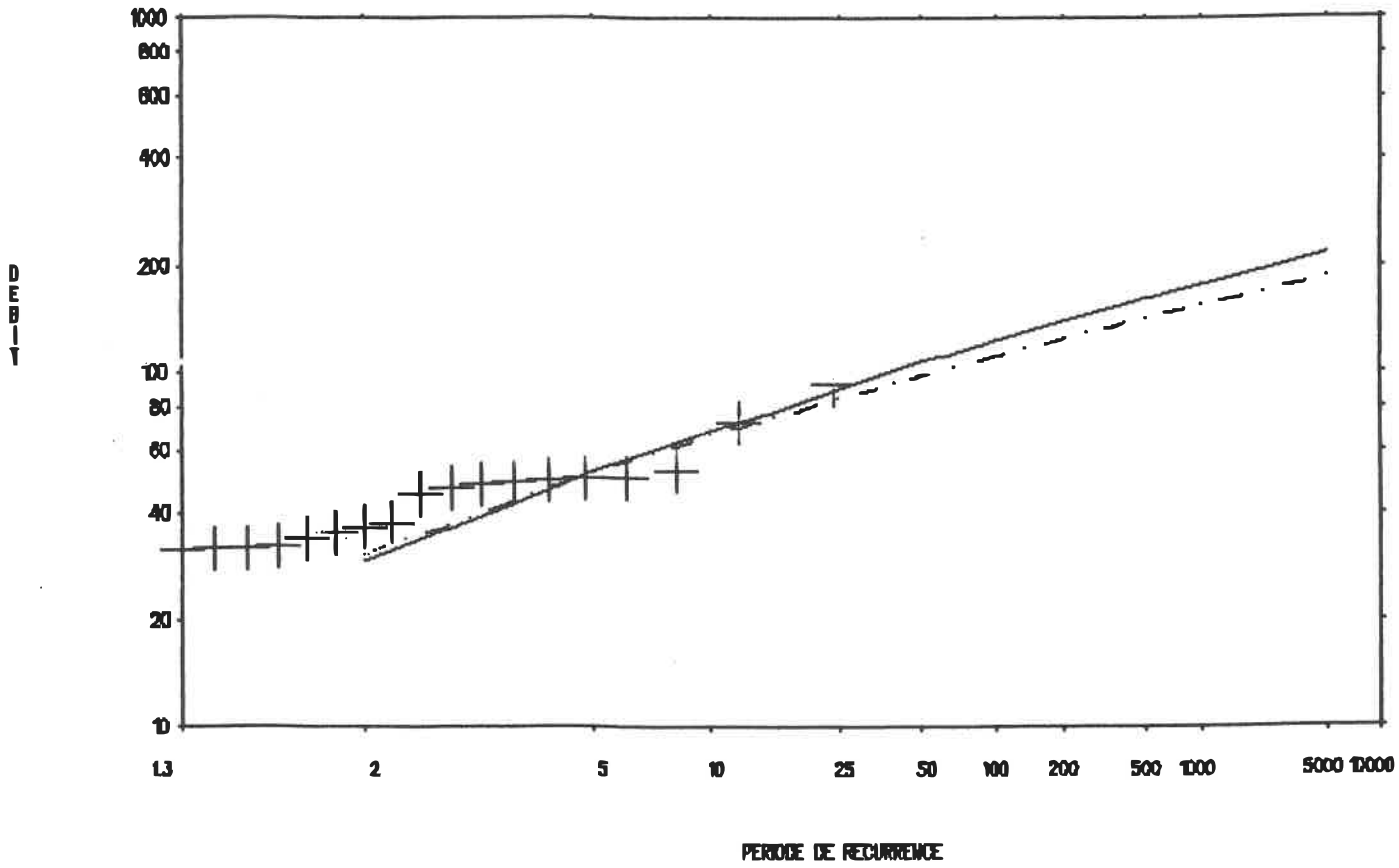



D23.b - Graphe du nombre moyen d'excédances en fonction du temps pour différents débits de base

Figure D23 - Station 05QE009




D23.c - Histogramme du nombre d'excédances en fonction de l'amplitude ($m^3/s$) et du mois




D23.d - Graphe du débit de pointe ($m^3/s$) en fonction du nombre d'années de récurrence

—— découpage en périodes homogènes

—·—· analyse annuelle

# A N N E X E  E

Résultats de l'analyse saisonnière et de l'analyse de fréquence

des stations hydrométriques considérées

dans les provinces des prairies

Tableau E.1 - Résultats de l'analyse de fréquence des stations hydrométriques considérées dans les provinces des prairies

| No. Station | $Q_{base}$ | Nbr. moy. exc. | Découpage | | | Tests d'ajustement | | | $\lambda_k$ | $\beta_k$ | $C_v$ |
|---|---|---|---|---|---|---|---|---|---|---|---|
| | | | Type | Critères | Nbr. exc. | Exponentielle Kolmo. Smir. | Exponentielle $\chi^2$ | Poisson $\chi^2$ | | | |
| 1. 05AA022 (92) | 107.0 | 1.0 | 1 | 01 mai -30 juin | 39 | A | A | A | 1.00 | 0.0156 | 1.355 |
| | | | | 01 juil-31 avr | 0 | * | * | * | 0.00 | 0.0000 | |
| 2. 05AA023 (93) | 76.7 | 1.0 | 1 | 01 avr -30 juin | 33 | A | A | A | 0.94 | 0.0174 | 1.046 |
| | | | | 01 juil-31 août | 2 | * | * | * | 0.06 | 0.0162 | |
| | | | | 01 sept-31 mars | 0 | * | * | * | 0.00 | 0.0000 | |
| 3. 05AD003 (94) | 82.4 | 1.49 | 1 | 01 mai -30 juin | 79 | A | A | R | 1.39 | 0.0196 | 1.451 |
| | | | | 01 juil-31 déc | 6 | A | * | * | 0.11 | 0.0249 | |
| | | | | 01 jan -30 avr | 0 | * | * | * | 0.00 | 0.0000 | |
| | 82.4 | 1.49 | 2 | Fonte de neige 01 mai -30 juin Pcum ≤ 25 mm | 59 | A | R | A | 1.04 | 0.0275 | 1.452 |
| | | | | Fonte et pluie 01 mai -30 juin Pcum > 25 mm | 20 | A | A | A | 0.35 | 0.0106 | |
| | | | | Pluie 01 juil-30 avr | 6 | A | * | * | 0.11 | 0.0249 | |
| 4. 05BA001 (95) | 41.9 | 1.48 | 1 | 15 mai -15 juil | 30 | A | A | A | 1.03 | 0.0653 | 1.337 |
| | | | | 16 juil-31 août | 12 | A | * | * | 0.41 | 0.1690 | |
| | | | | 01 sept-14 mai | 1 | * | * | * | 0.03 | 0.5882 | |
| 5. 05BB001 (96) | 150.0 | 1.5 | 1 | 01 mai -20 juil | 109 | A | A | R | 1.47 | 0.0172 | 0.817 |
| | | | | 21 juil-30 sept | 2 | * | * | * | 0.03 | 0.0476 | |
| | | | | 01 oct -30 avr | 0 | * | * | * | 0.00 | 0.0000 | |
| 6. 05BJ005 (97) | 43.0 | 1.02 | 1 | 01 avr -30 juin | 37 | A | A | A | 0.84 | 0.0307 | 1.034 |
| | | | | 01 juil-31 août | 7 | A | * | * | 0.16 | 0.0320 | |
| | | | | 01 sept-31 mars | 1 | * | * | * | 0.00 | 0.0000 | |
| 7. 05CE001 (98) | 286.0 | 0.97 | 1 | 20 mars-31 juil | 29 | A | A | A | 0.88 | 0.0040 | 0.762 |
| | | | | 01 août-30 sept | 3 | * | * | * | 0.09 | 0.0020 | |
| | | | | 01 oct -19 mars | 0 | * | * | * | 0.00 | 0.0000 | |

## Tableau E.1 - Suite

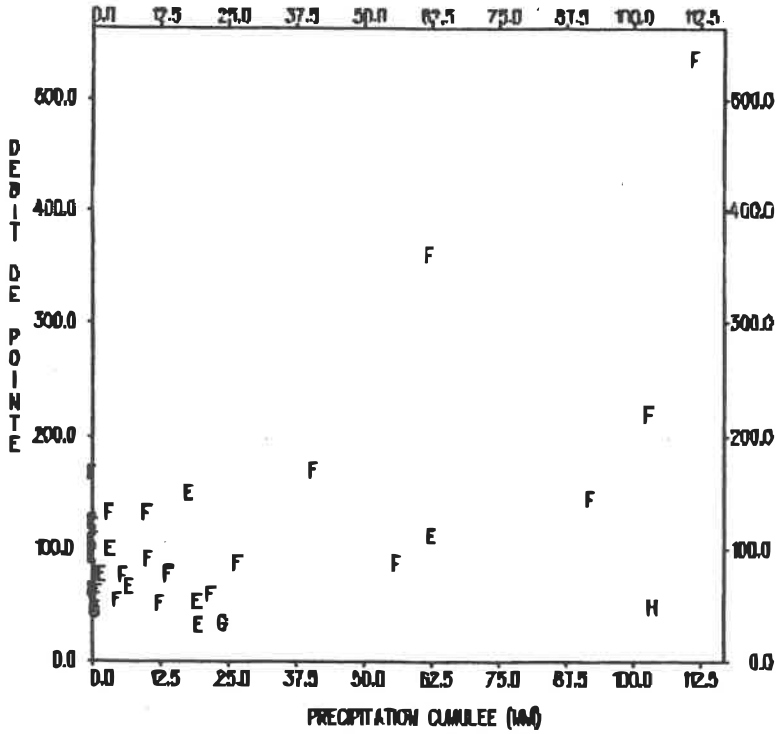
| No. Station | $Q_{base}$ | Nbr. moy. exc. | Découpage | | | Tests d'ajustement | | | $\lambda_k$ | $\beta_k$ | $C_v$ |
|---|---|---|---|---|---|---|---|---|---|---|---|
| | | | Type | Critères | Nbr. exc. | Exponentielle Kolmo. Smir. | Exponentielle $\chi^2$ | Poisson $\chi^2$ | | | |
| 8. 05DB001 | 115.0 | 0.97 | 1 | 01 mai -30 juin | 23 | A | A | A | 0.59 | 0.0076 | 1.464 |
| (99) | | | | 01 juil-30 sept | 15 | A | A | A | 0.38 | 0.0110 | |
| | | | | 01 oct -30 avr | 0 | * | * | * | 0.00 | 0.0000 | |
| 9. 06AD006 | 90.6 | 1.0 | 1 | 01 avr -31 mai | 16 | A | A | A | 0.55 | 0.0136 | 1.287 |
| (100) | | | | 01 juin-31 juil | 11 | A | * | * | 0.38 | 0.0094 | |
| | | | | 01 août-31 oct | 2 | * | * | * | 0.07 | 0.0230 | |
| | | | | 01 nov -31 mars | 0 | * | * | * | 0.00 | 0.0000 | |
| 10. 07AA002 | 388.0 | 1.5 | 1 | 15 mai -31 juil | 43 | A | A | A | 1.34 | 0.0111 | 0.959 |
| (101) | | | | 01 août-30 sept | 5 | A | * | * | 0.16 | 0.0215 | |
| | | | | 01 oct -14 mai | 0 | * | * | * | 0.00 | 0.0000 | |
| 11. 07AF002 | 122.0 | 1.0 | 1 | 01 mai -31 juil | 27 | A | A | A | 0.90 | 0.0069 | 1.372 |
| (102) | | | | 01 août-30 sept | 3 | * | * | * | 0.10 | 0.0035 | |
| | | | | 01 oct -30 avr | 0 | * | * | * | 0.00 | 0.0000 | |
| 12. 07AG001 | 274.0 | 1.0 | 1 | 15 avr -10 juil | 28 | A | A | A | 0.78 | 0.0037 | 1.175 |
| (103) | | | | 11 juil-30 sept | 8 | A | * | * | 0.22 | 0.0035 | |
| | | | | 01 oct -14 avr | 0 | * | * | * | 0.00 | 0.0000 | |
| 13. 07AG003 | 34.3 | 1.0 | 1 | 01 avr -31 mai | 10 | A | * | * | 0.33 | 0.0480 | 1.186 |
| (104) | | | | 01 juin-31 août | 20 | A | A | A | 0.67 | 0.0213 | |
| | | | | 01 sept-31 mars | 0 | * | * | * | 0.00 | 0.0000 | |
| 14. 07BB002 | 126.0 | 1.0 | 1 | 01 avr -15 juil | 33 | A | A | A | 0.87 | 0.0063 | 1.013 |
| (105) | | | | 16 juil-30 sept | 5 | A | * | * | 0.13 | 0.0074 | |
| | | | | 01 oct -31 mars | 0 | * | * | * | 0.00 | 0.0000 | |
| 15. 07BC002 | 158.0 | 1.48 | 1 | 01 avr -31 mai | 16 | A | A | A | 0.70 | 0.0067 | 0.983 |
| (106) | | | | 01 juin-31 août | 18 | A | A | A | 0.78 | 0.0056 | |
| | | | | 01 sept-31 mars | 0 | * | * | * | 0.00 | 0.0000 | |
| 16. 07BE001 | 1400.0 | 1.49 | 1 | 01 avr -31 mai | 12 | A | * | * | 0.24 | 0.0019 | 1.086 |
| (107) | | | | 01 juin-31 juil | 50 | A | A | R | 0.98 | 0.0012 | |
| | | | | 01 août-30 sept | 14 | A | * | * | 0.27 | 0.0031 | |
| | | | | 01 oct -31 mars | 0 | * | * | * | 0.00 | 0.0000 | |

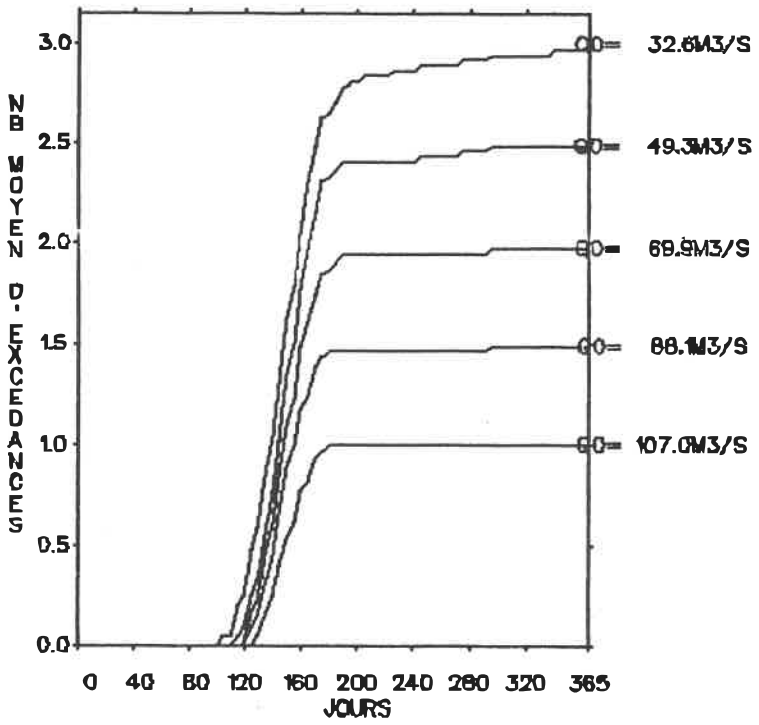
## Tableau E.1 - Suite

| No. Station | $Q_{base}$ | Nbr. moy. exc. | Découpage | | | Tests d'ajustement | | | $\lambda_k$ | $\beta_k$ | $C_v$ |
|---|---|---|---|---|---|---|---|---|---|---|---|
| | | | Type | Critères | Nbr. exc. | Exponentielle Kolmo. Smir. | Exponentielle $\chi^2$ | Poisson $\chi^2$ | | | |
| 17. 07BK006 | 175.0 | 1.0 | 1 | 01 avr -31 juil | 17 | A | R | A | 0.81 | 0.0323 | 0.572 |
| (108) | | | | 01 août-30 sept | 4 | * | * | * | 0.19 | 0.0466 | |
| | | | | 01 oct -31 mars | 0 | * | * | * | 0.00 | 0.0000 | |
| 18. 07CD001 | 291.0 | 1.48 | 1 | 01 avr -31 juil | 32 | A | A | A | 1.19 | 0.0060 | 0.886 |
| (109) | | | | 01 août-30 sept | 7 | A | * | * | 0.26 | 0.0086 | |
| | | | | 01 oct -31 mars | 1 | * | * | * | 0.04 | 0.0435 | |
| 19. 07GJ001 | 1850.0 | 1.0 | 1 | 01 avr -31 mai | 10 | A | * | * | 0.29 | 0.0016 | 1.147 |
| (110) | | | | 01 juin-31 août | 25 | A | A | A | 0.71 | 0.0007 | |
| | | | | 01 sept-31 mars | 1 | * | * | * | 0.00 | 0.0000 | |
| 20. 07HC001 | 106.0 | 1.43 | 1 | 01 avr -31 mai | 19 | A | A | A | 0.83 | 0.0077 | 0.890 |
| (111) | | | | 01 juin-31 juil | 12 | A | * | * | 0.52 | 0.0076 | |
| | | | | 01 août-31 mars | 2 | * | * | * | 0.09 | 0.0090 | |
| 21. 05FE001 | 19.8 | 1.5 | 1 | 01 avr -31 mai | 30 | A | A | R | 1.00 | 0.0132 | 1.258 |
| (112) | | | | 01 juin-31 août | 12 | A | * | * | 0.40 | 0.0423 | |
| | | | | 01 sept-30 nov | 2 | * | * | * | 0.07 | 0.0602 | |
| | | | | 01 déc -31 mars | 1 | * | * | * | 0.03 | 0.1351 | |
| 22. 05KG002 | 30.0 | 1.0 | 1 | 01 fév -31 mai | 4 | * | * | * | 0.16 | 0.0521 | 0.829 |
| (113) | | | | 01 juin-31 juil | 17 | A | A | R | 0.68 | 0.0260 | |
| | | | | 01 août-31 oct | 4 | * | * | * | 0.16 | 0.0107 | |
| | | | | 01 nov -31 jan | 0 | * | * | * | 0.00 | 0.0000 | |
| 23. 04AC005 | 150.0 | 0.73 | 1 | 01 juin-30 sept | 29 | A | A | R | 0.62 | 0.0095 | 0.694 |
| (114) | | | | 01 oct -28 fév | 5 | A | * | * | 0.11 | 0.0101 | |
| | | | | 01 mars-31 mai | 0 | * | * | * | 0.00 | 0.0000 | |
| 24. 05LC004 | 45.9 | 1.5 | 1 | 01 avr -31 juil | 25 | A | A | R | 1.14 | 0.0171 | 1.098 |
| (115) | | | | 01 août-30 nov | 8 | A | * | * | 0.36 | 0.1739 | |
| | | | | 01 déc -31 mars | 0 | * | * | * | 0.00 | 0.0000 | |

## Tableau E.1 - Suite et fin

| No. Station | $Q_{base}$ | Nbr. moy. exc. | Découpage | | | Tests d'ajustement | | | $\lambda_k$ | $\beta_k$ | $C_v$ |
|---|---|---|---|---|---|---|---|---|---|---|---|
| | | | Type | Critères | Nbr. exc. | Exponentielle Kolmo. Smir. | Exponentielle $\chi^2$ | Poisson $\chi^2$ | | | |
| 25. 05LE001 | 21.1 | 1.48 | 1 | 20 mars-31 mai | 23 | A | A | A | 0.85 | 0.0155 | 1.089 |
| (116) | | | | 01 juin-31 août | 13 | A | * | * | 0.48 | 0.0345 | |
| | | | | 01 sept-30 nov | 4 | * | * | * | 0.15 | 0.1231 | |
| | | | | 01 déc -19 mars | 0 | * | * | * | 0.00 | 0.0000 | |
| 26. 05MD005 | 11.6 | 1.0 | 1 | 20 mars-31 mai | 23 | A | A | A | 0.79 | 0.0860 | 1.052 |
| (117) | | | | 01 juin-31 juil | 6 | A | * | * | 0.21 | 0.0794 | |
| | | | | 01 août-19 mars | 0 | * | * | * | 0.00 | 0.0000 | |
| 27. 05OE004 | 11.8 | 1.0 | 1 | 20 mars-31 mai | 20 | A | A | A | 0.83 | 0.1672 | 0.891 |
| (118) | | | | 01 juin-31 juil | 3 | * | * | * | 0.13 | 0.2500 | |
| | | | | 01 août-31 oct | 1 | * | * | * | 0.04 | 0.7692 | |
| | | | | 01 nov -19 mars | 0 | * | * | * | 0.00 | 0.0000 | |
| 28. 05PH003 | 62.5 | 1.24 | 1 | 01 avr -31 mai | 22 | A | A | A | 0.92 | 0.0180 | 1.016 |
| (119) | | | | 01 juin-31 juil | 11 | A | * | * | 0.46 | 0.0509 | |
| | | | | 01 août-31 oct | 3 | * | * | * | 0.13 | 0.0703 | |
| | | | | 01 nov -31 mars | 0 | * | * | * | 0.00 | 0.0000 | |
| 29. 05TB002 | 11.6 | 1.48 | 1 | 01 mai -31 juil | 27 | A | A | A | 1.00 | 0.0846 | 0.781 |
| (120) | | | | 01 août-30 nov | 11 | A | * | * | 0.41 | 0.1419 | |
| | | | | 01 déc -30 avr | 2 | * | * | * | 0.07 | 1.2500 | |
| 30. 05TD001 | 99.1 | 1.0 | 1 | 01 mai -31 juil | 19 | A | R | A | 0.76 | 0.0225 | 0.976 |
| (121) | | | | 01 août-30 nov | 4 | * | * | * | 0.16 | 0.0939 | |
| | | | | 01 déc -30 avr | 2 | * | * | * | 0.08 | 0.2941 | |

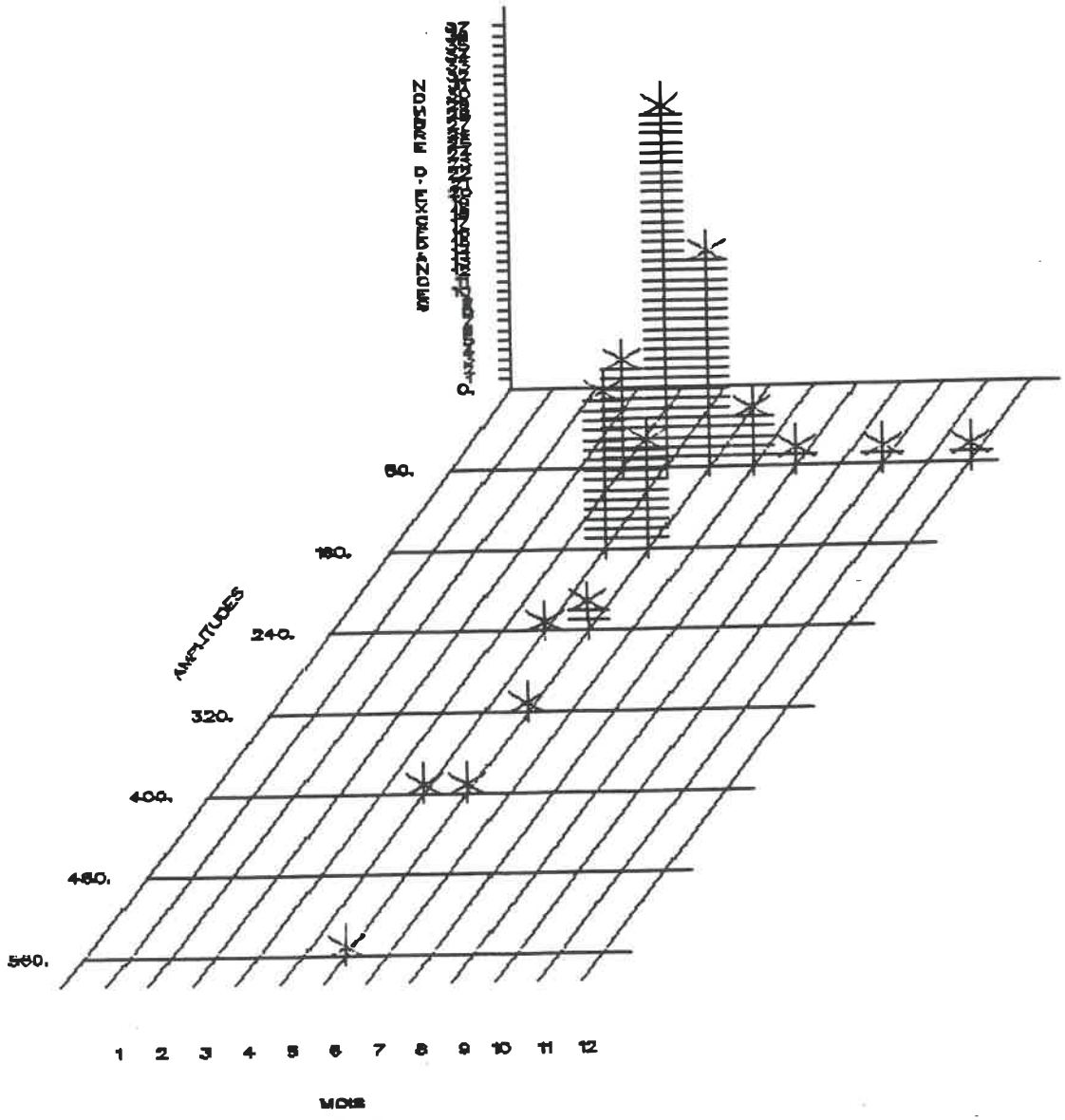


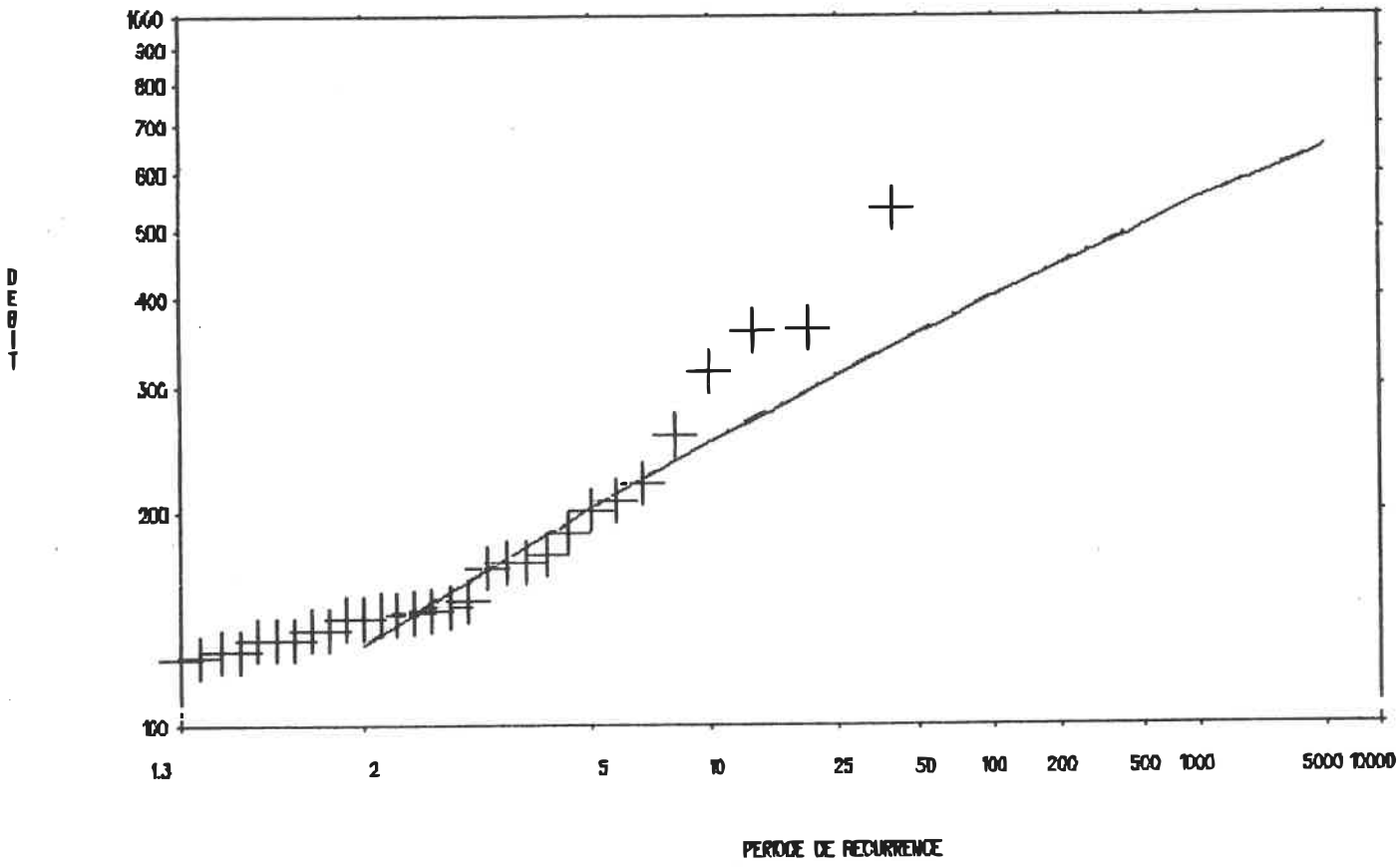

E1.a - Graphe du débit de pointe ($m^3/s$) en fonction de la précipitation cumulée (mm)

E1.b - Graphe du nombre moyen d'excédances en fonction du temps pour différents débits de base

Figure E1 - Station 05AA022



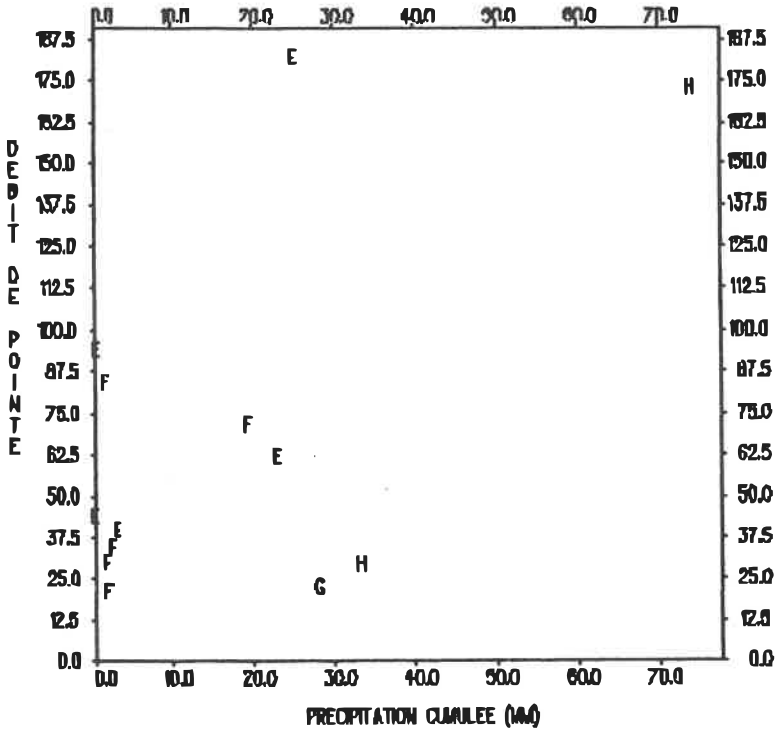

E1.c - Histogramme du nombre d'excédances en fonction de l'amplitude ($m^3/s$) et du mois



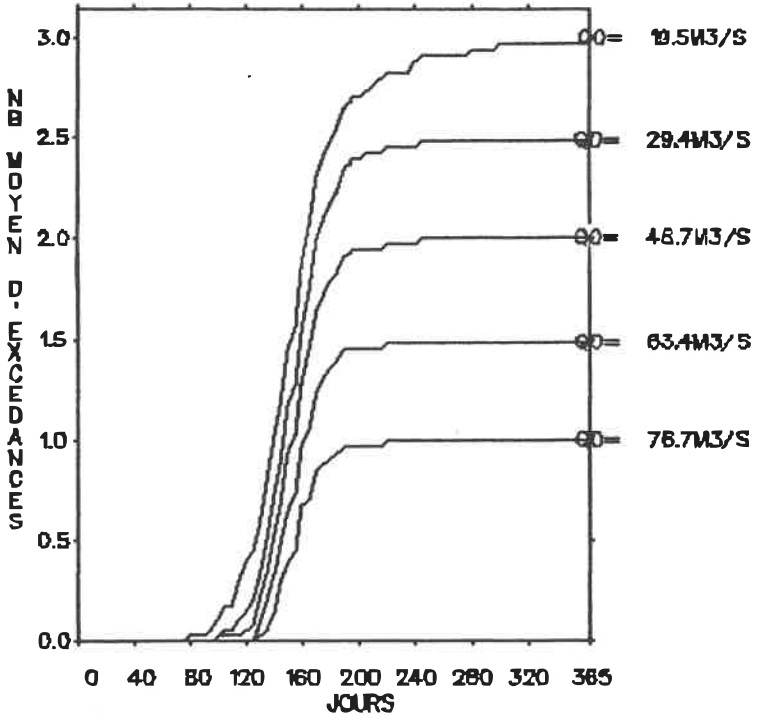

E1.d - Graphe du débit de pointe ($m^3/s$) en fonction du nombre d'années de récurrence

—— découpage en périodes homogènes

—·—· analyse annuelle

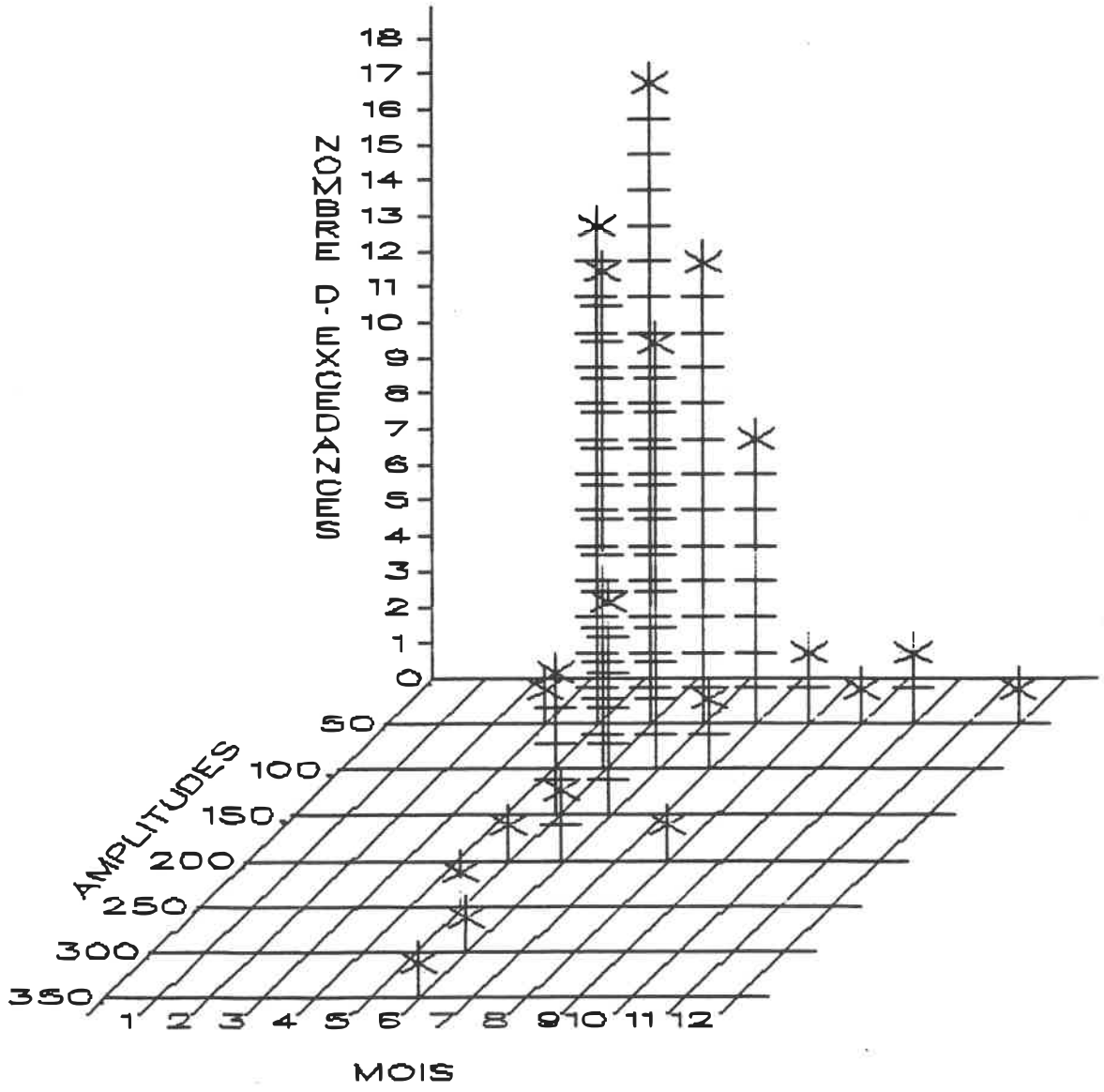



E2.a - Graphe du débit de pointe ($m^3/s$) en fonction de la précipitation cumulée (mm)

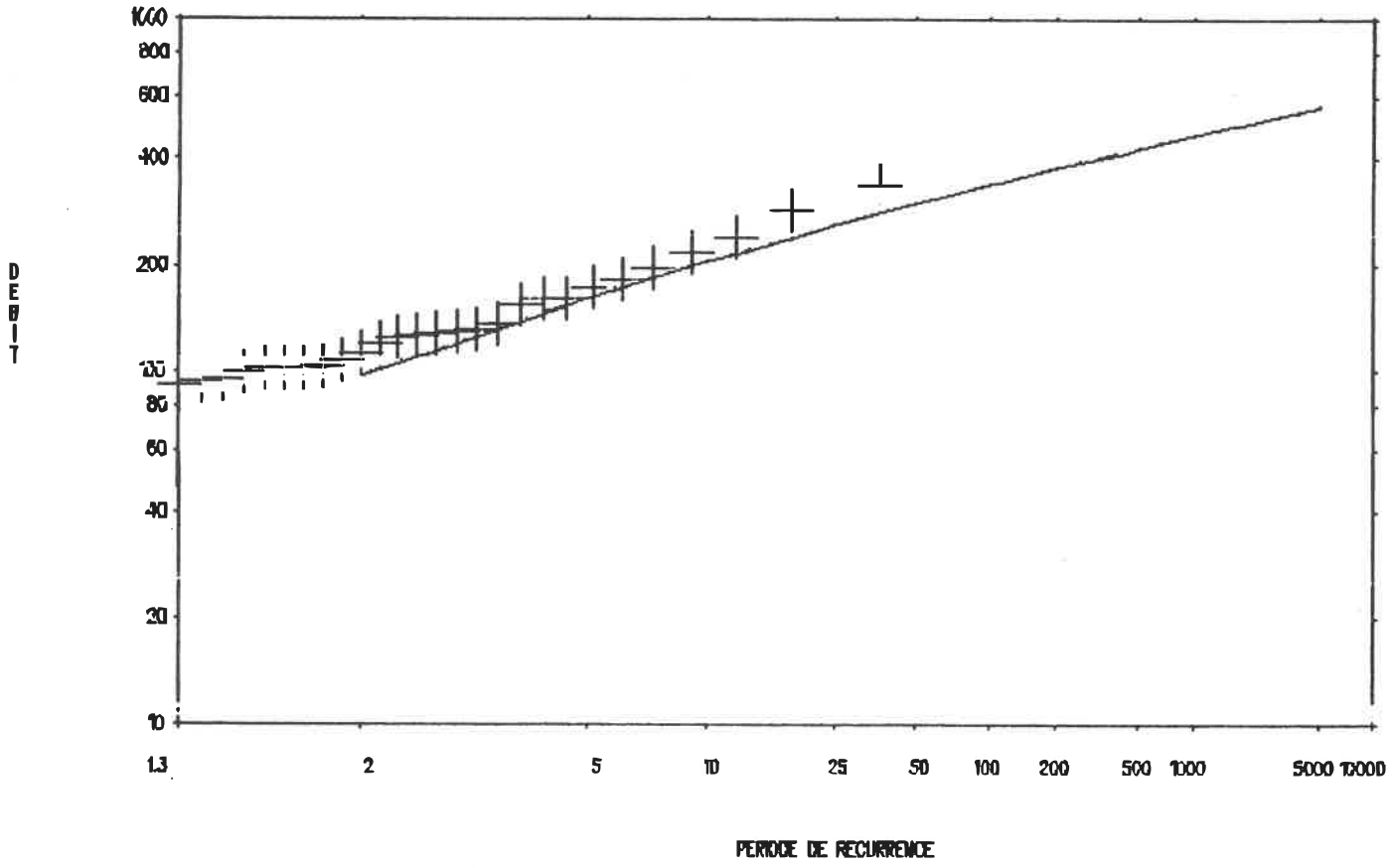



E2.b - Graphe du nombre moyen d'excédances en fonction du temps pour différents débits de base

Figure E2 - Station 05AA023



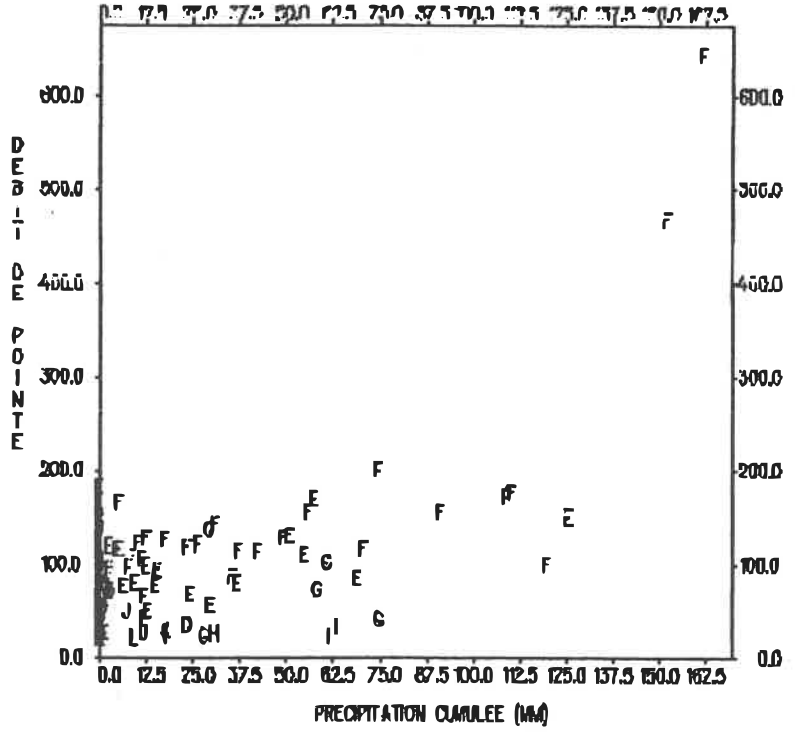

E2.c - Histogramme du nombre d'excédances en fonction de l'amplitude ($m^3/s$) et du mois

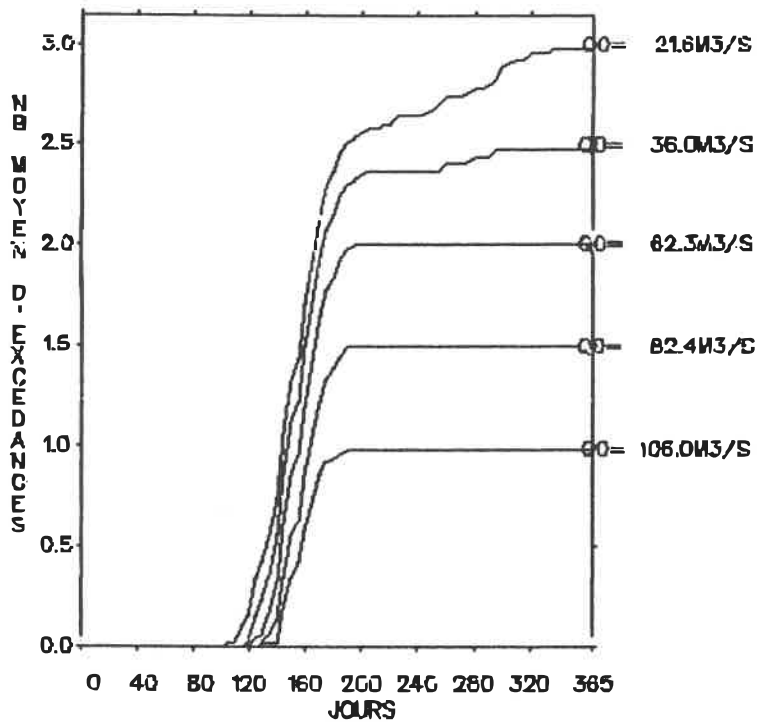



E2.d - Graphe du débit de pointe ($m^3/s$) en fonction du nombre d'années de récurrence

——— découpage en périodes homogènes

—·—· analyse annuelle

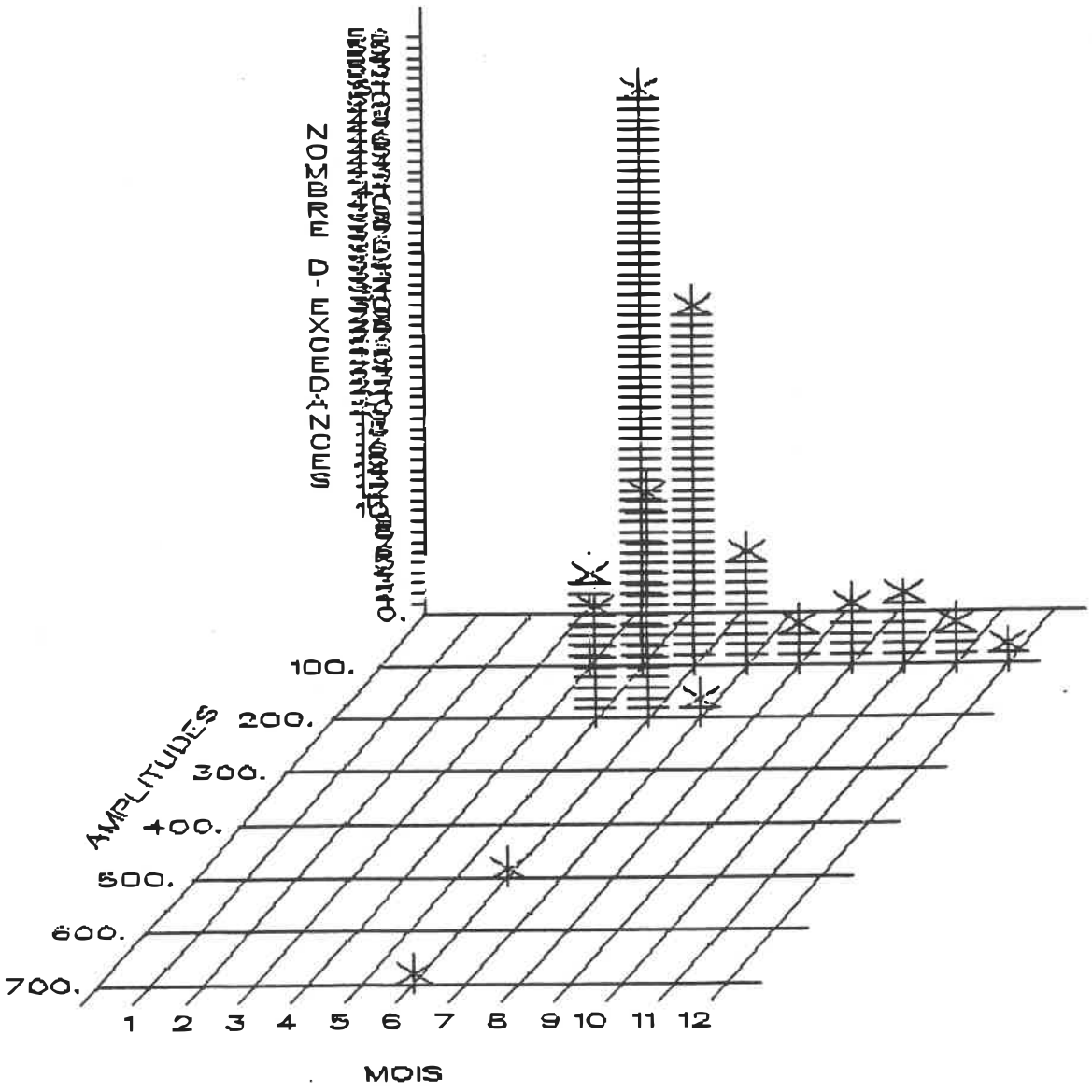


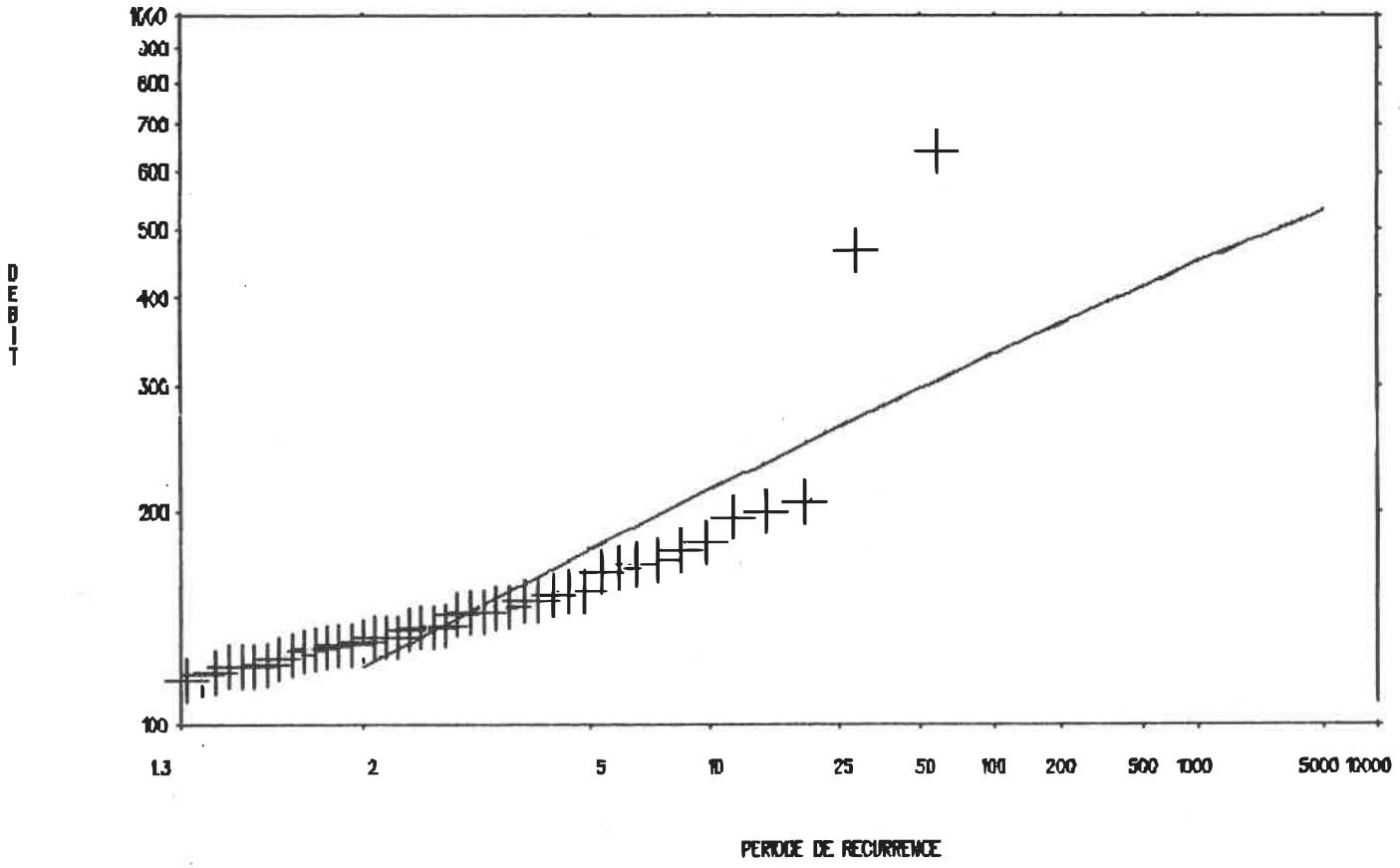

E3.a - Graphe du débit de pointe ($m^3/s$) en fonction de la précipitation cumulée (mm)

E3.b - Graphe du nombre moyen d'excédances en fonction du temps pour différents débits de base

Figure E3 - Station 05AD003



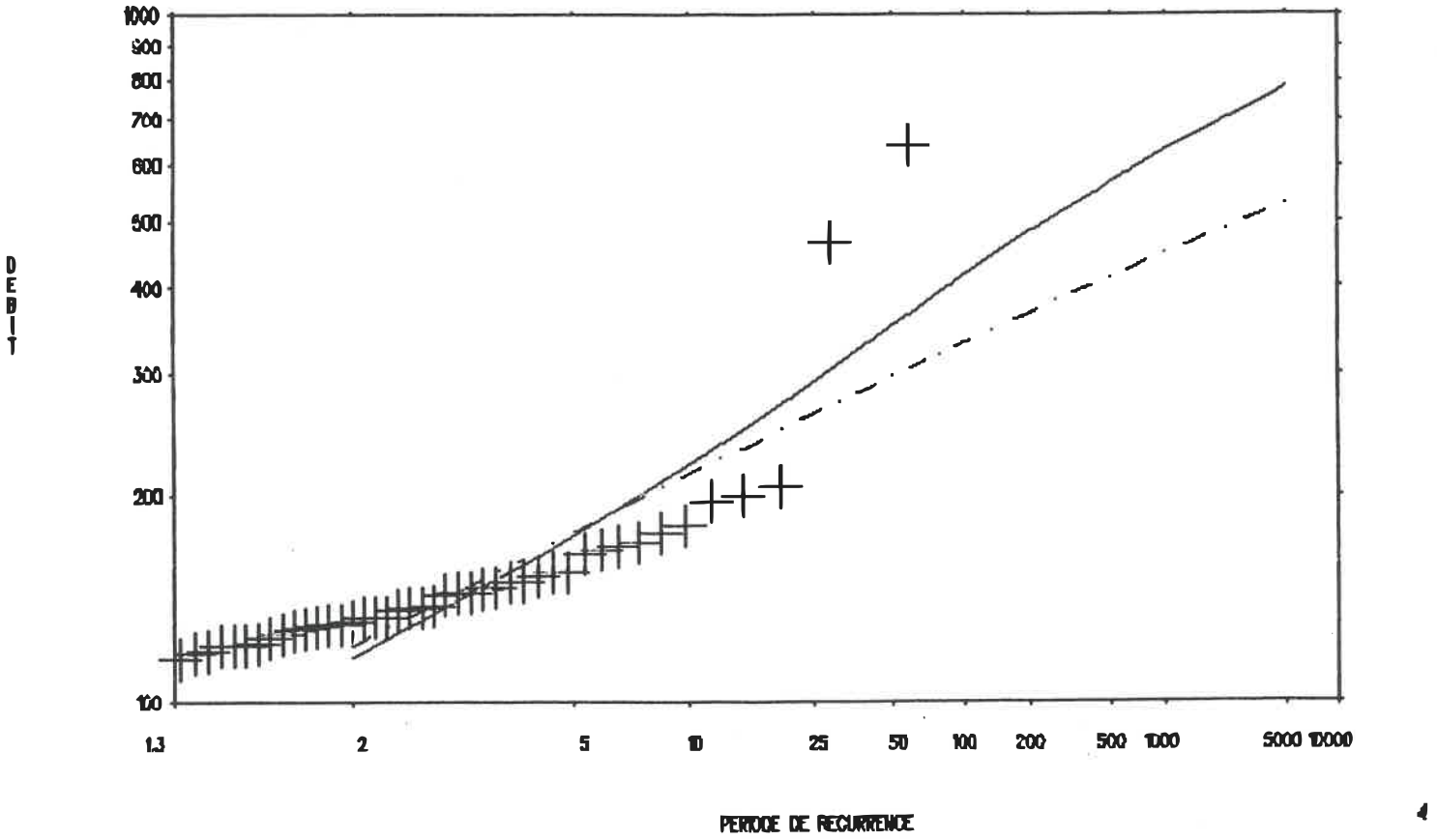

E3.c - Histogramme du nombre d'excédances en fonction de l'amplitude ($m^3/s$) et du mois




E3.d - Graphe du débit de pointe ($m^3/s$) en fonction du nombre d'années de récurrence

——— découpage en périodes homogènes

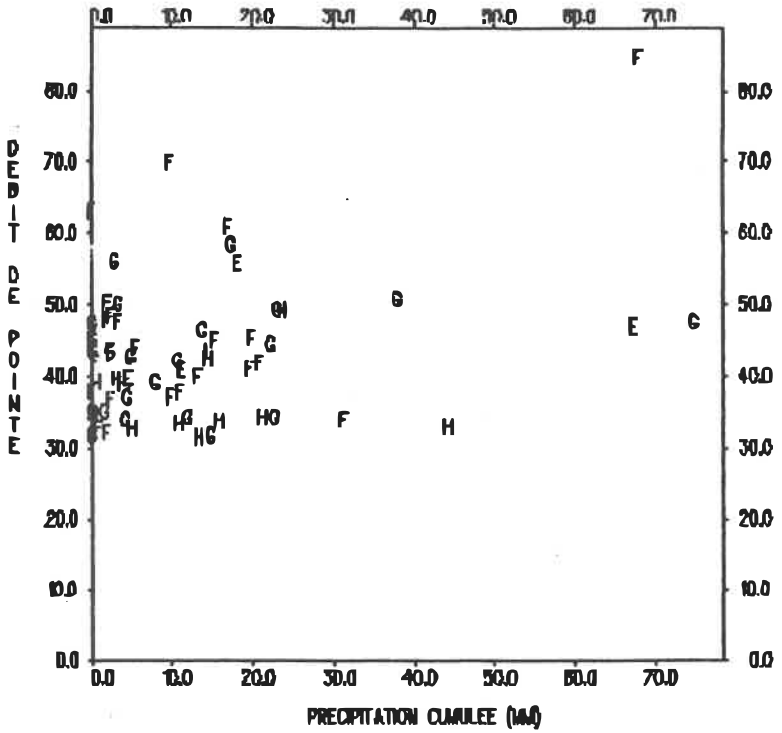
—·—· analyse annuelle

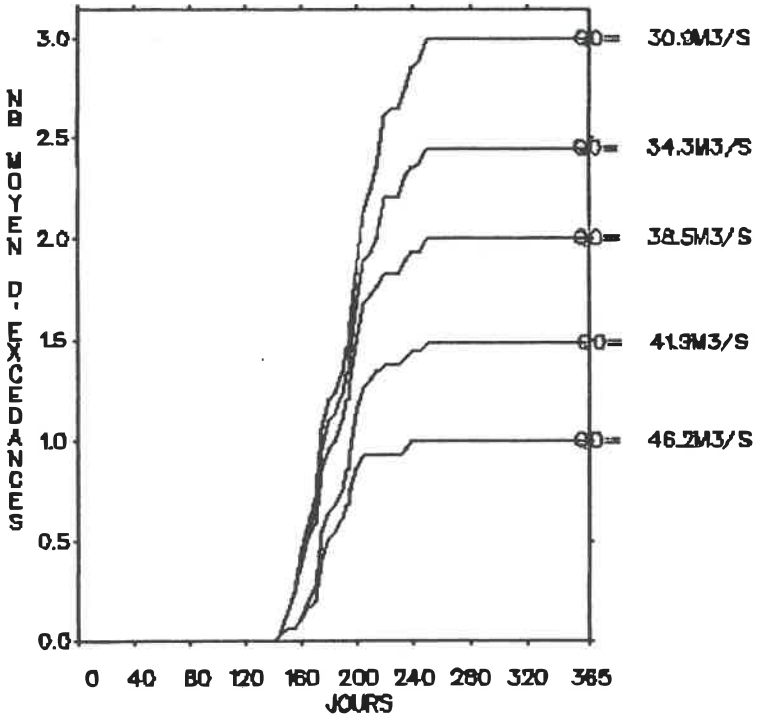



E3.e - Graphe du débit de pointe ($m^3/s$) en fonction du nombre d'années de récurrence

—— découpage selon les phénomènes générateurs

– – analyse annuelle

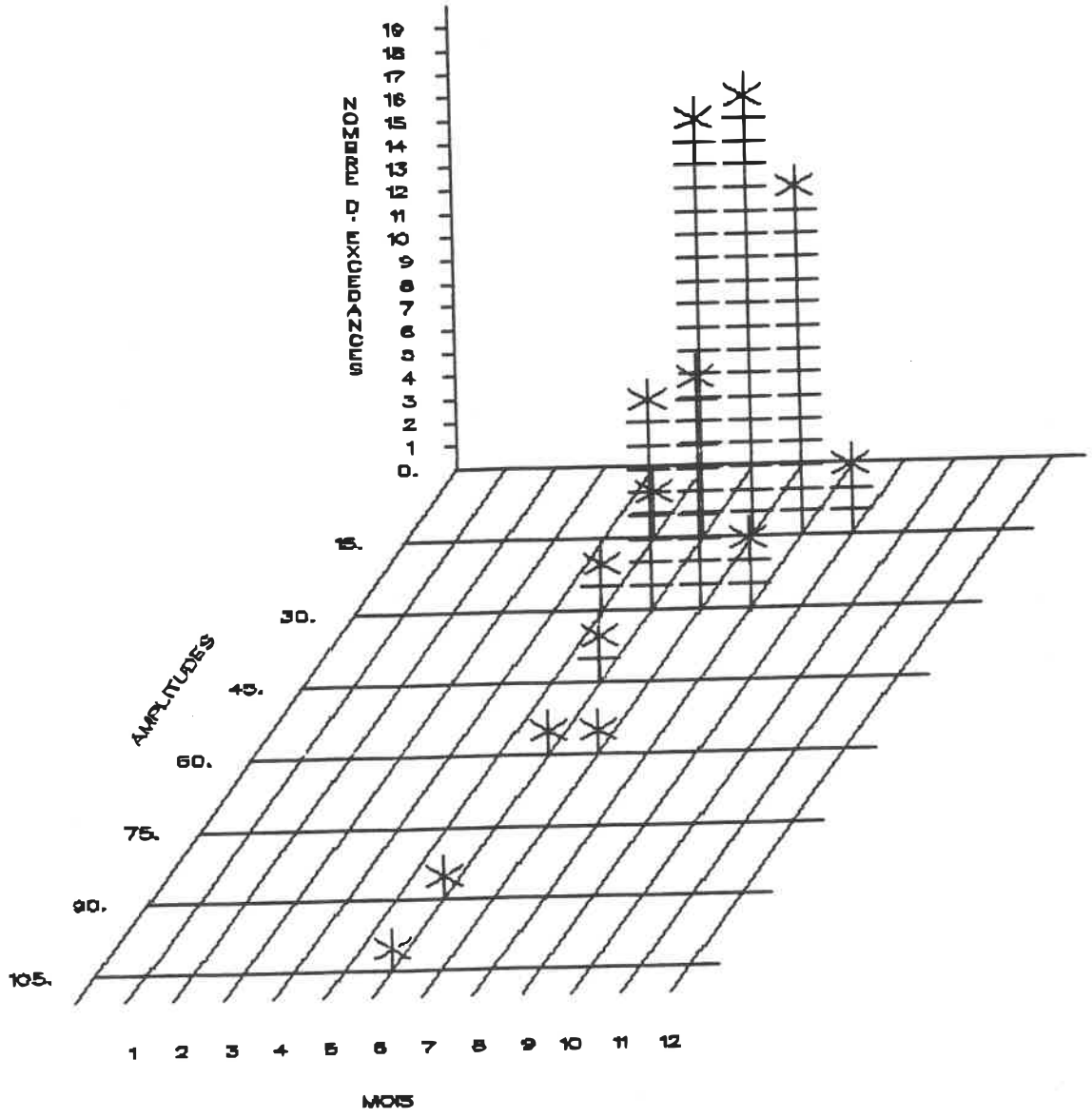


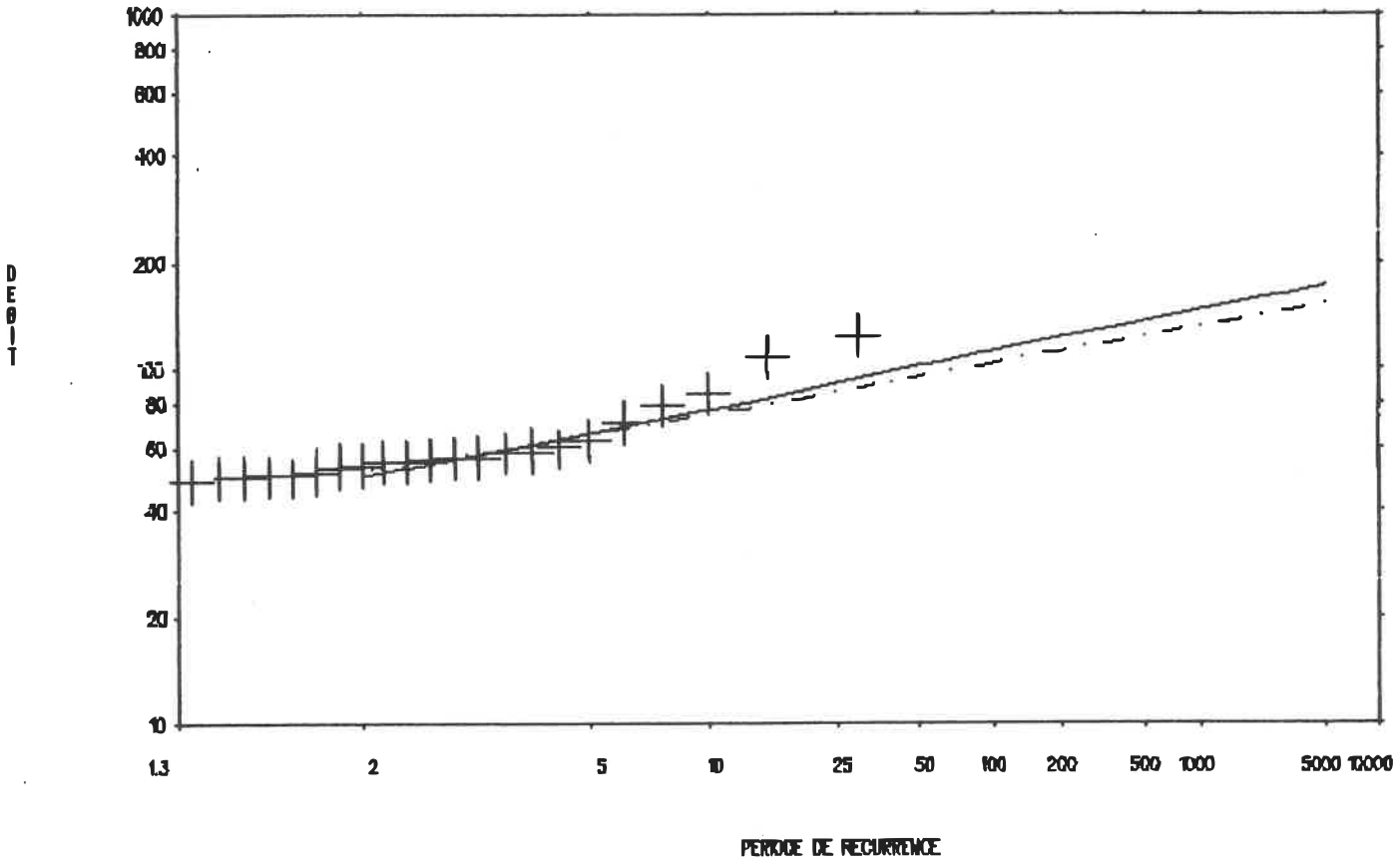

E4.a - Graphe du débit de pointe ($m^3/s$) en fonction de la précipitation cumulée (mm)

E4.b - Graphe du nombre moyen d'excédances en fonction du temps pour différents débits de base

Figure E4 - Station 05BA001



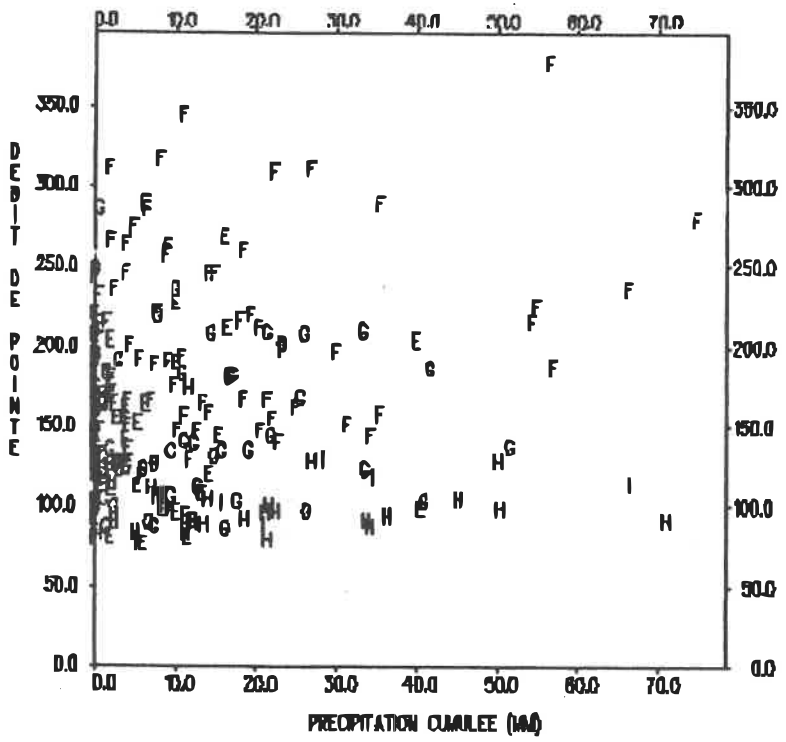

E4.c - Histogramme du nombre d'excédances en fonction de l'amplitude ($m^3/s$) et du mois



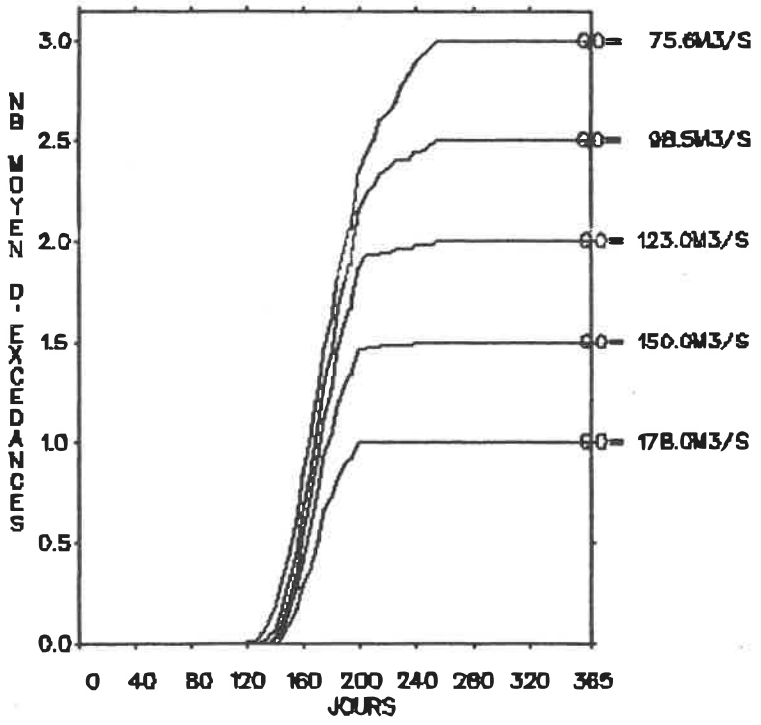

E4.d - Graphe du débit de pointe ($m^3/s$) en fonction du nombre d'années de récurrence

—— découpage en périodes homogènes

—·—· analyse annuelle

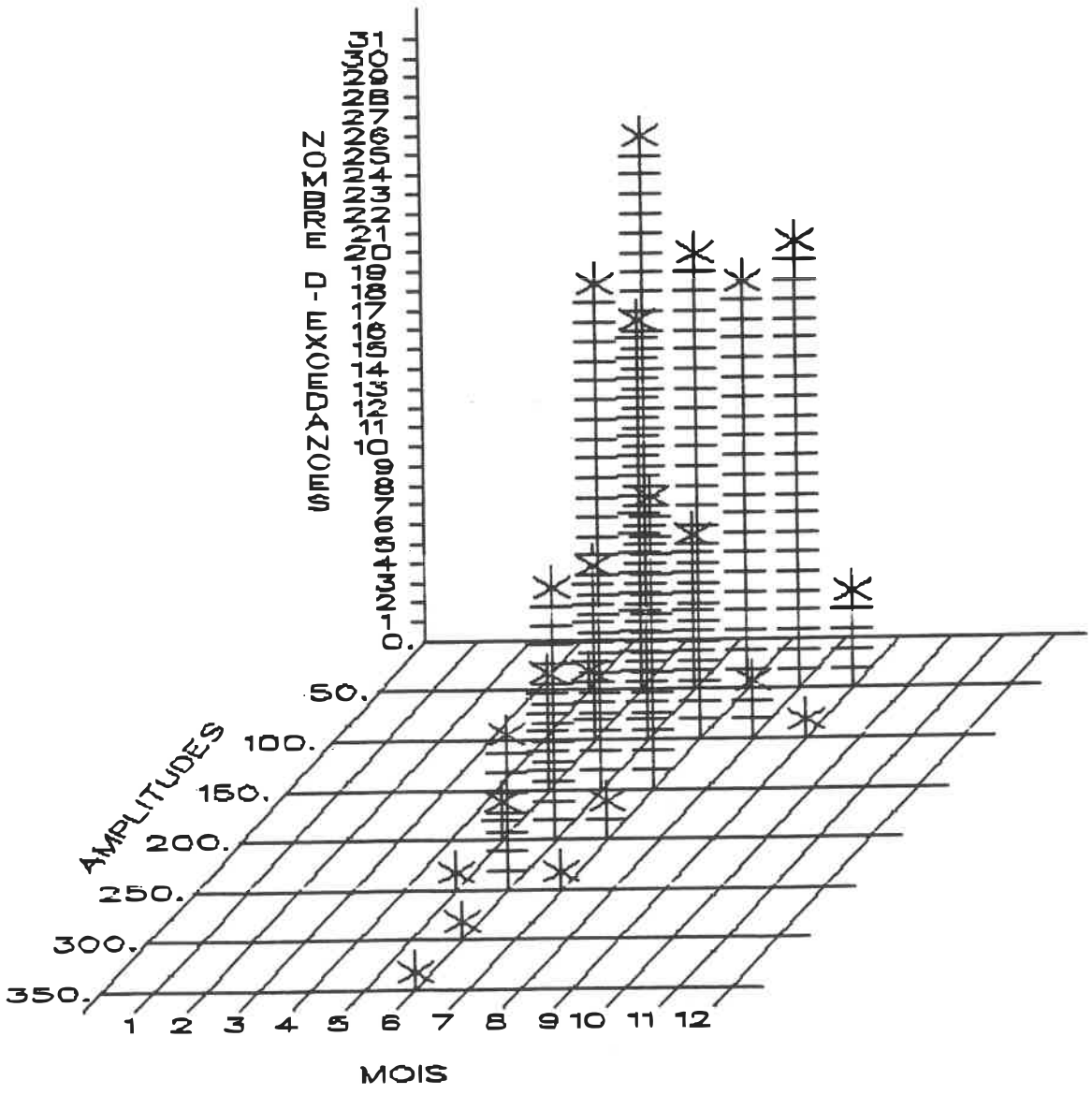



E5.a - Graphe du débit de pointe ($m^3/s$) en fonction de la précipitation cumulée (mm)

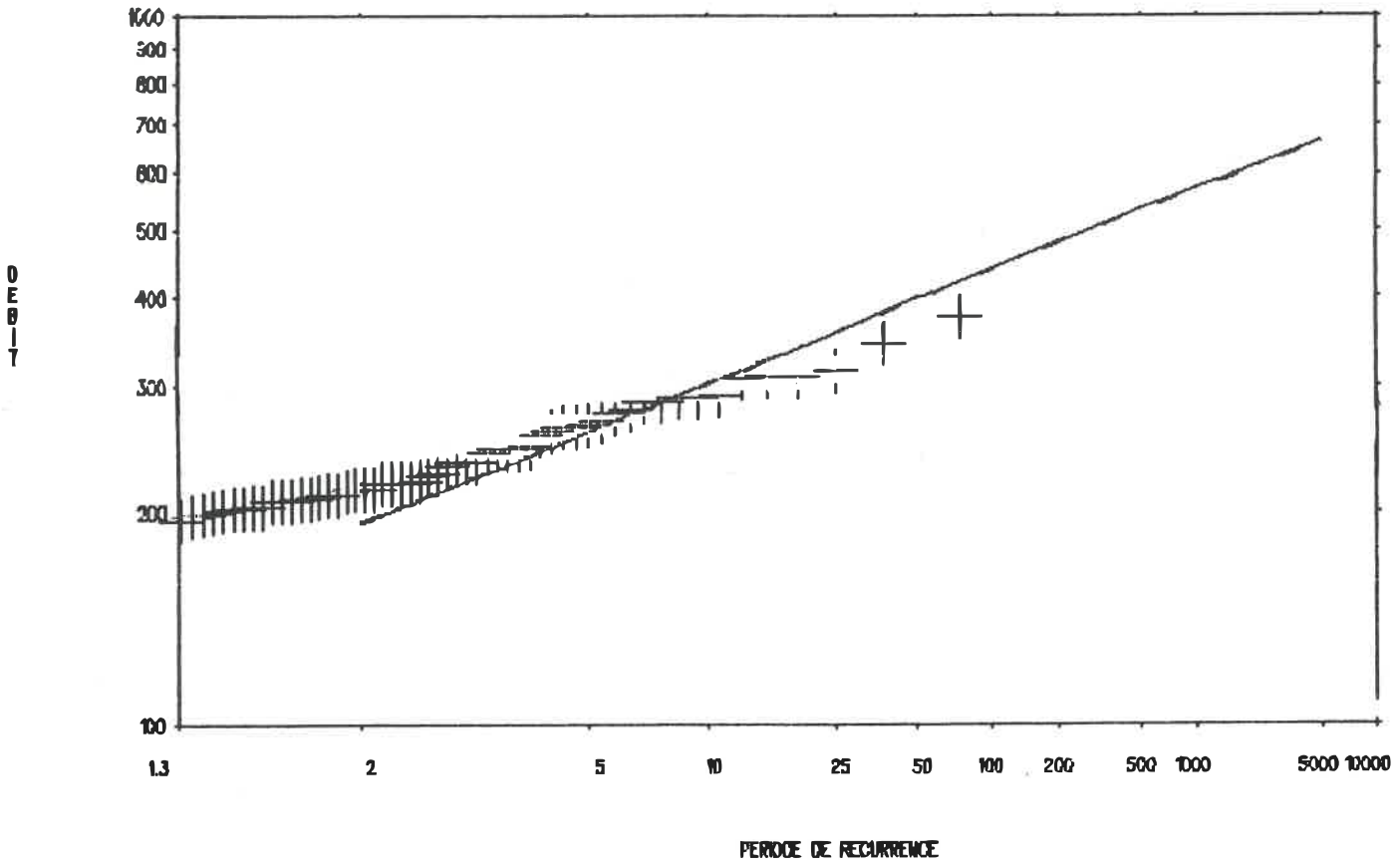



E5.b - Graphe du nombre moyen d'excédances en fonction du temps pour différents débits de base

Figure E5 - Station 05BB001



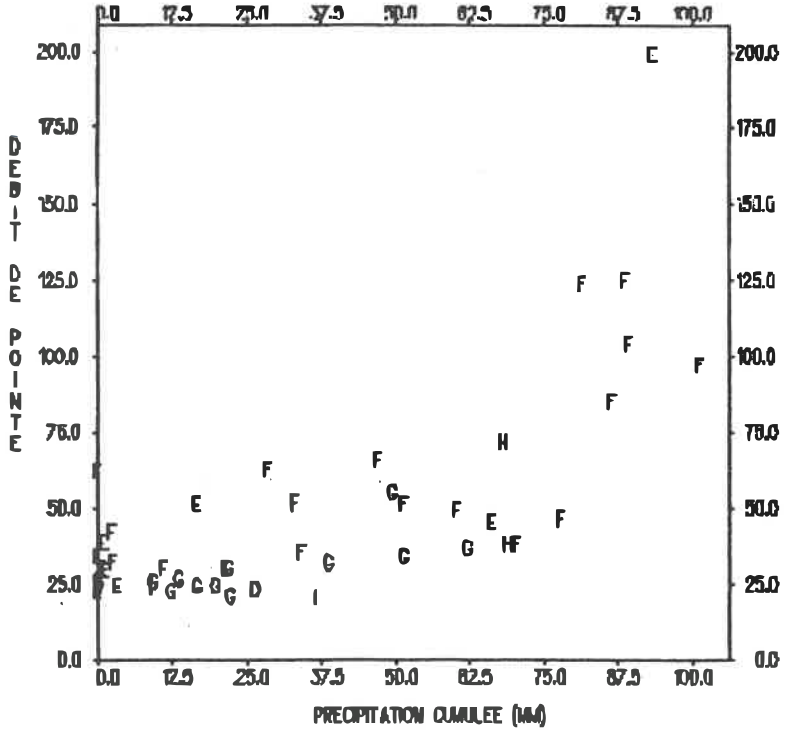

E5.c - Histogramme du nombre d'excédances en fonction de l'amplitude ($m^3/s$) et du mois



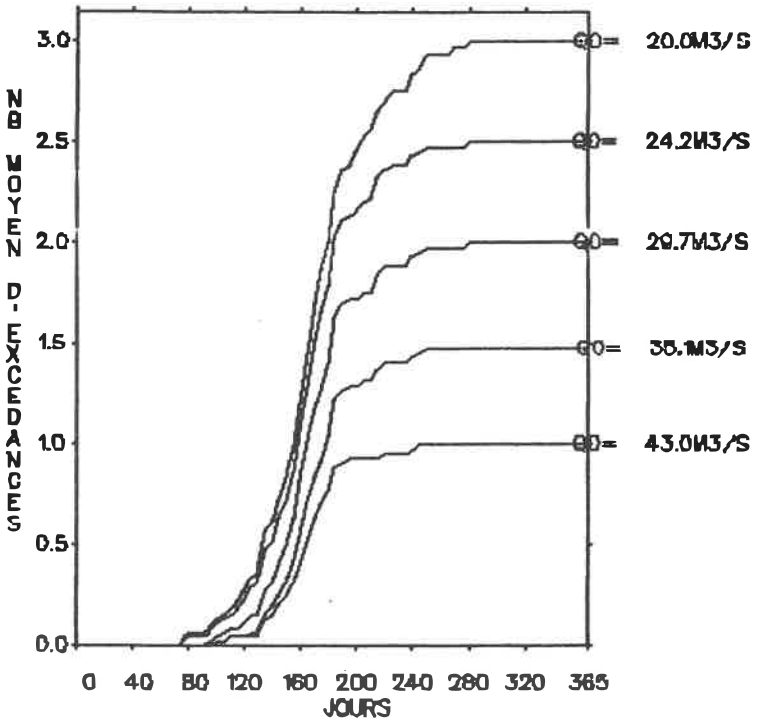

E5.d - Graphe du débit de pointe ($m^3/s$) en fonction du nombre d'années de récurrence

—— découpage en périodes homogènes

—·—· analyse annuelle

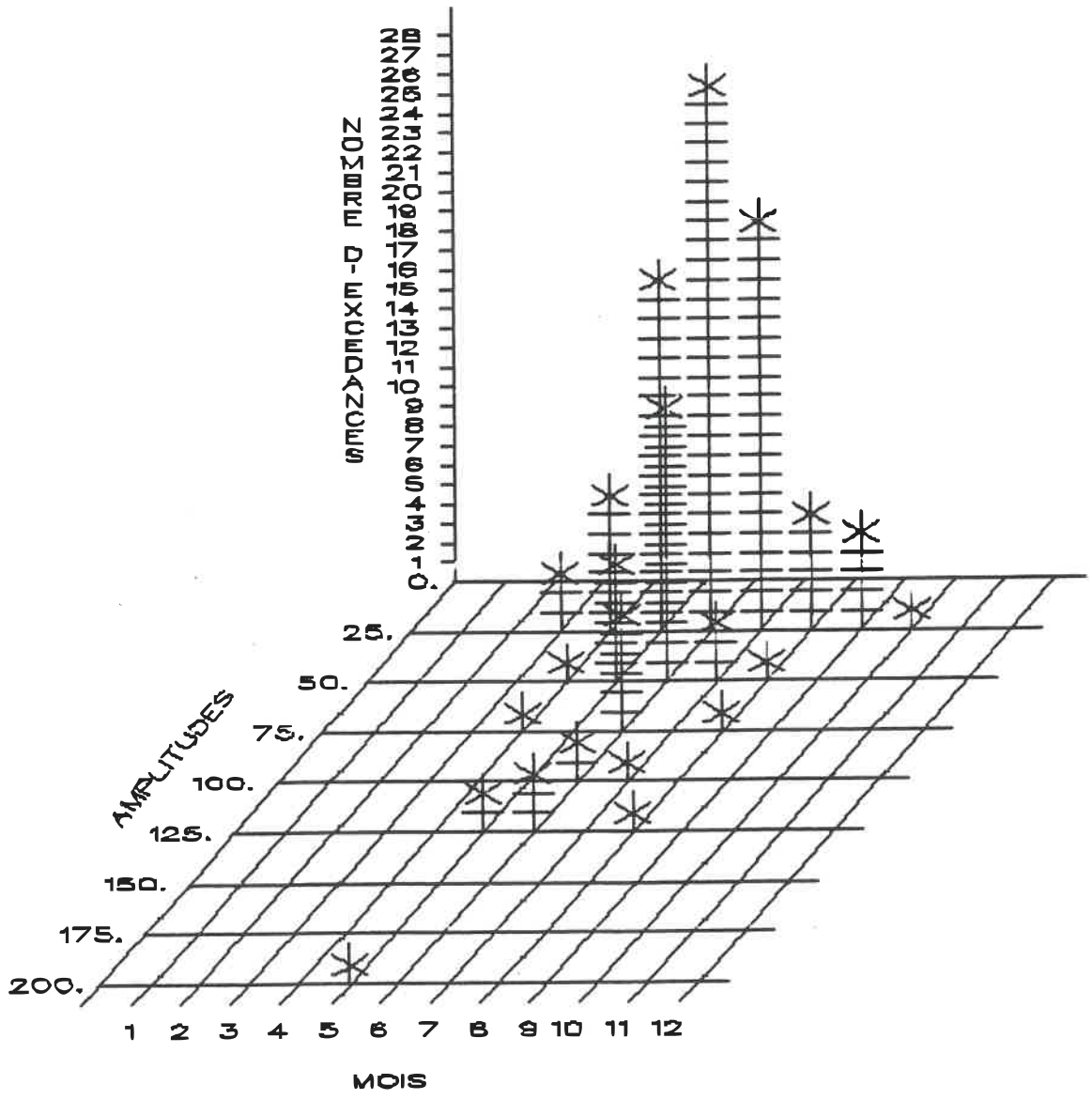



E6.a - Graphe du débit de pointe ($m^3/s$) en fonction de la précipitation cumulée (mm)

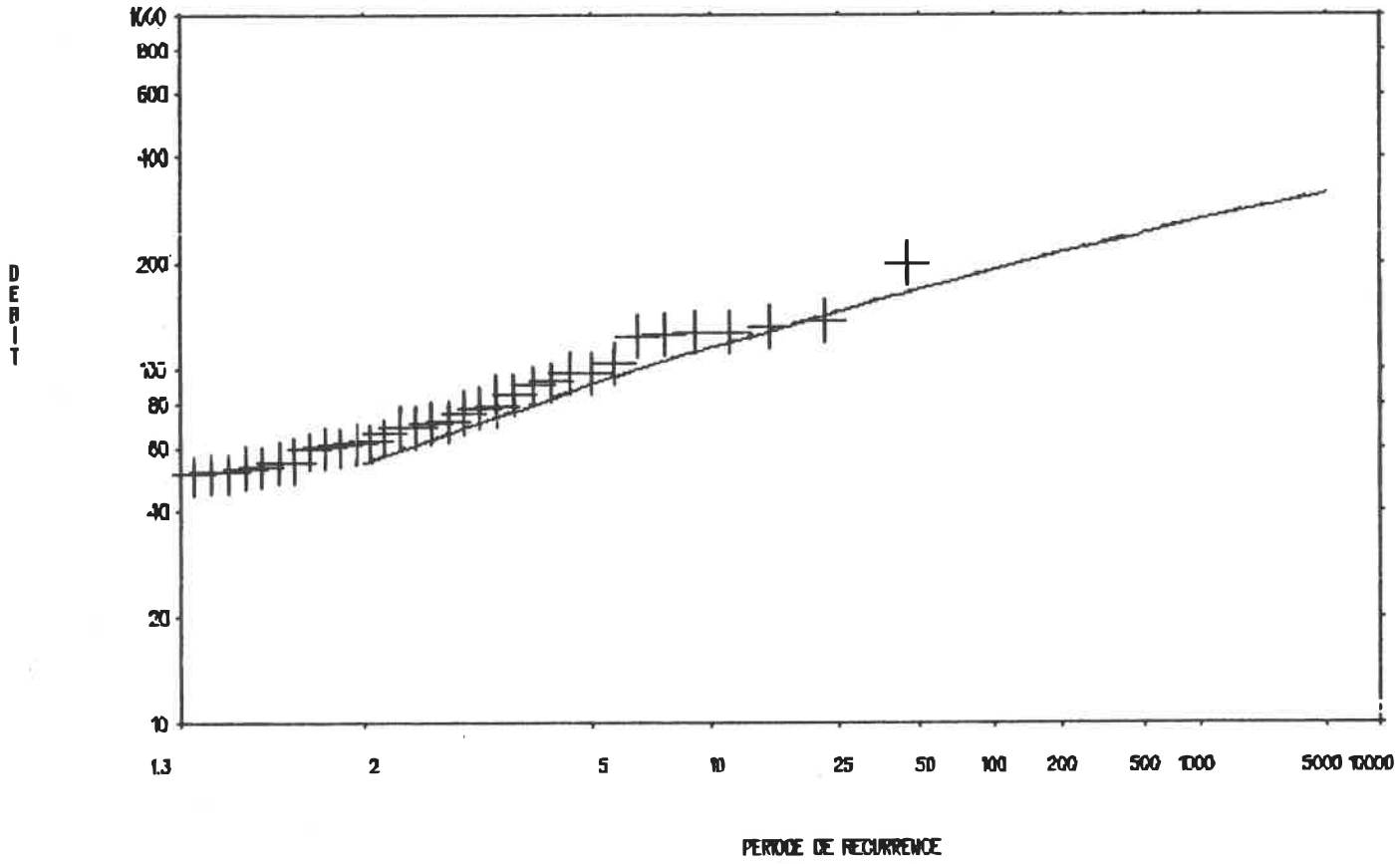



E6.b - Graphe du nombre moyen d'excédances en fonction du temps pour différents débits de base

Figure E6 - Station 05BJ005



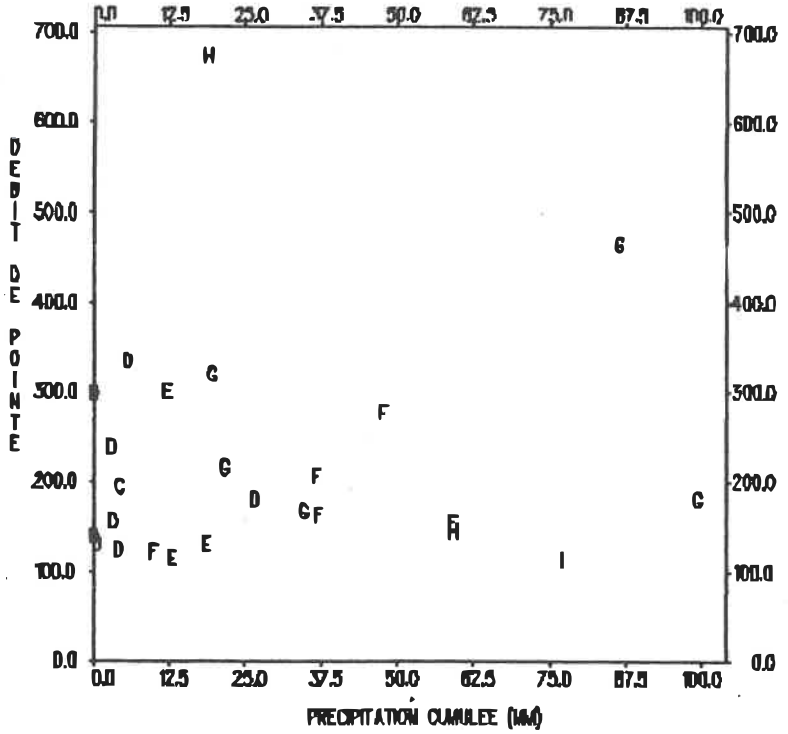

E6.c - Histogramme du nombre d'excédances en fonction de l'amplitude ($m^3/s$) et du mois



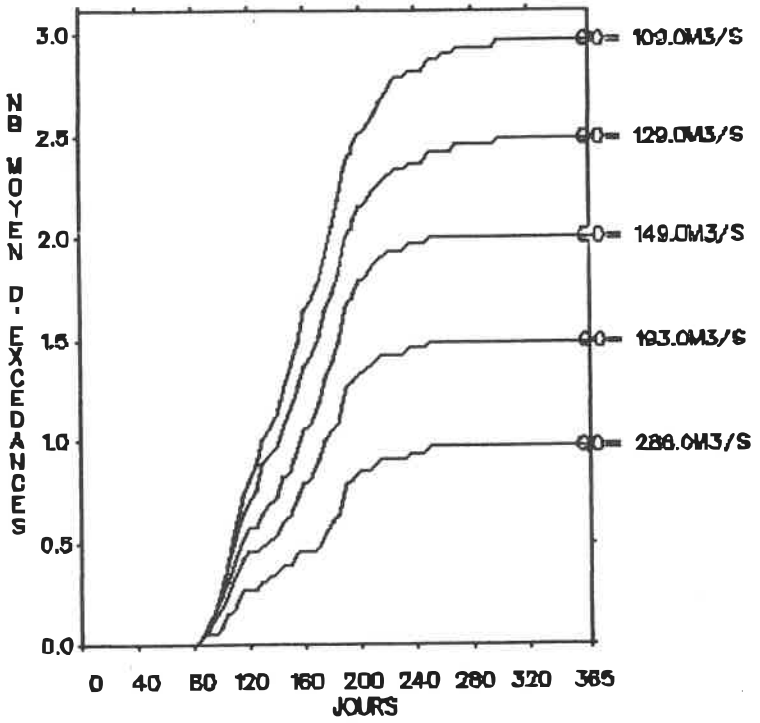

E6.d - Graphe du débit de pointe ($m^3/s$) en fonction du nombre d'années de récurrence

—— découpage en périodes homogènes

—·—· analyse annuelle

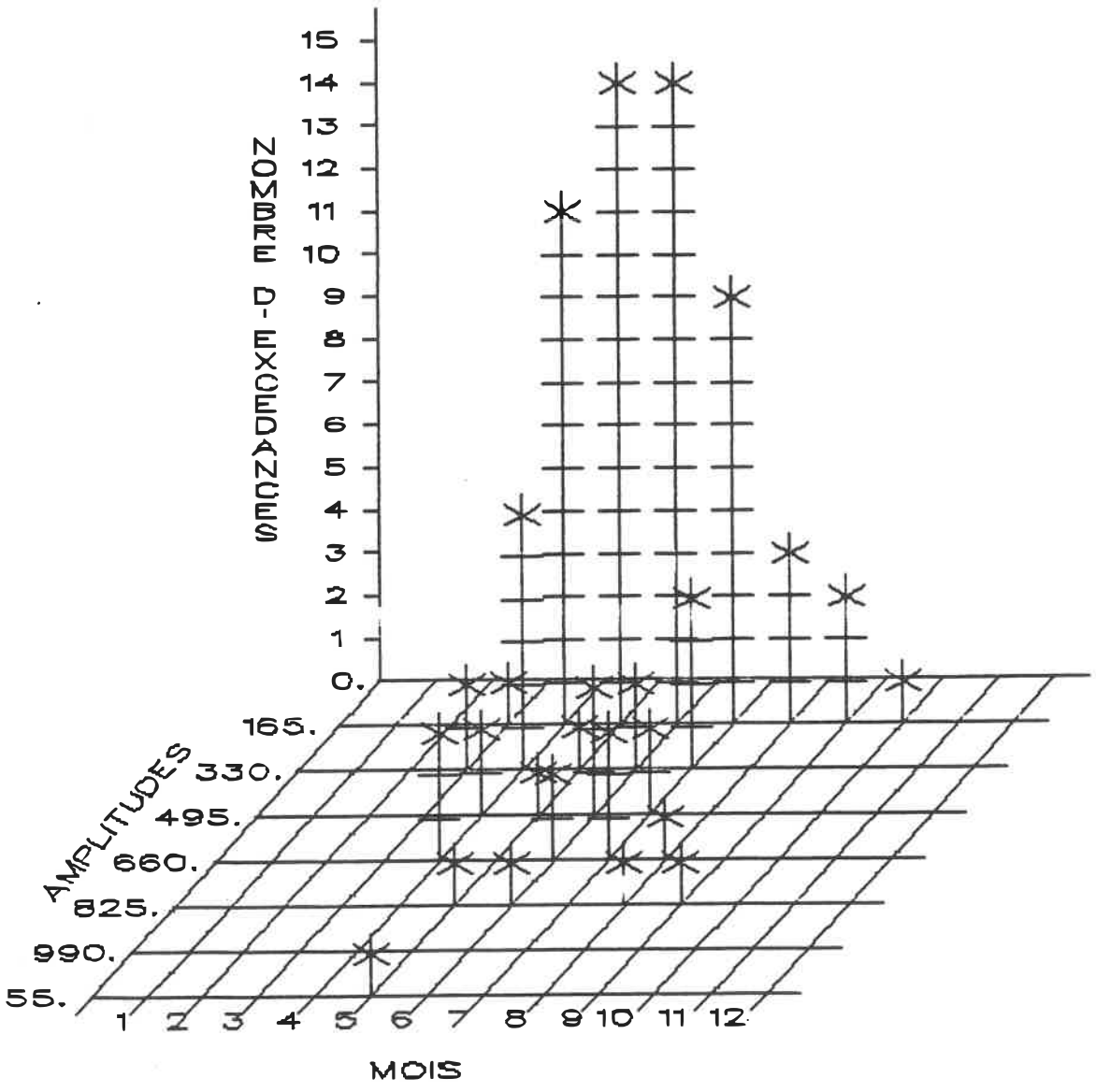



E7.a - Graphe du débit de pointe ($m^3/s$) en fonction de la précipitation cumulée (mm)

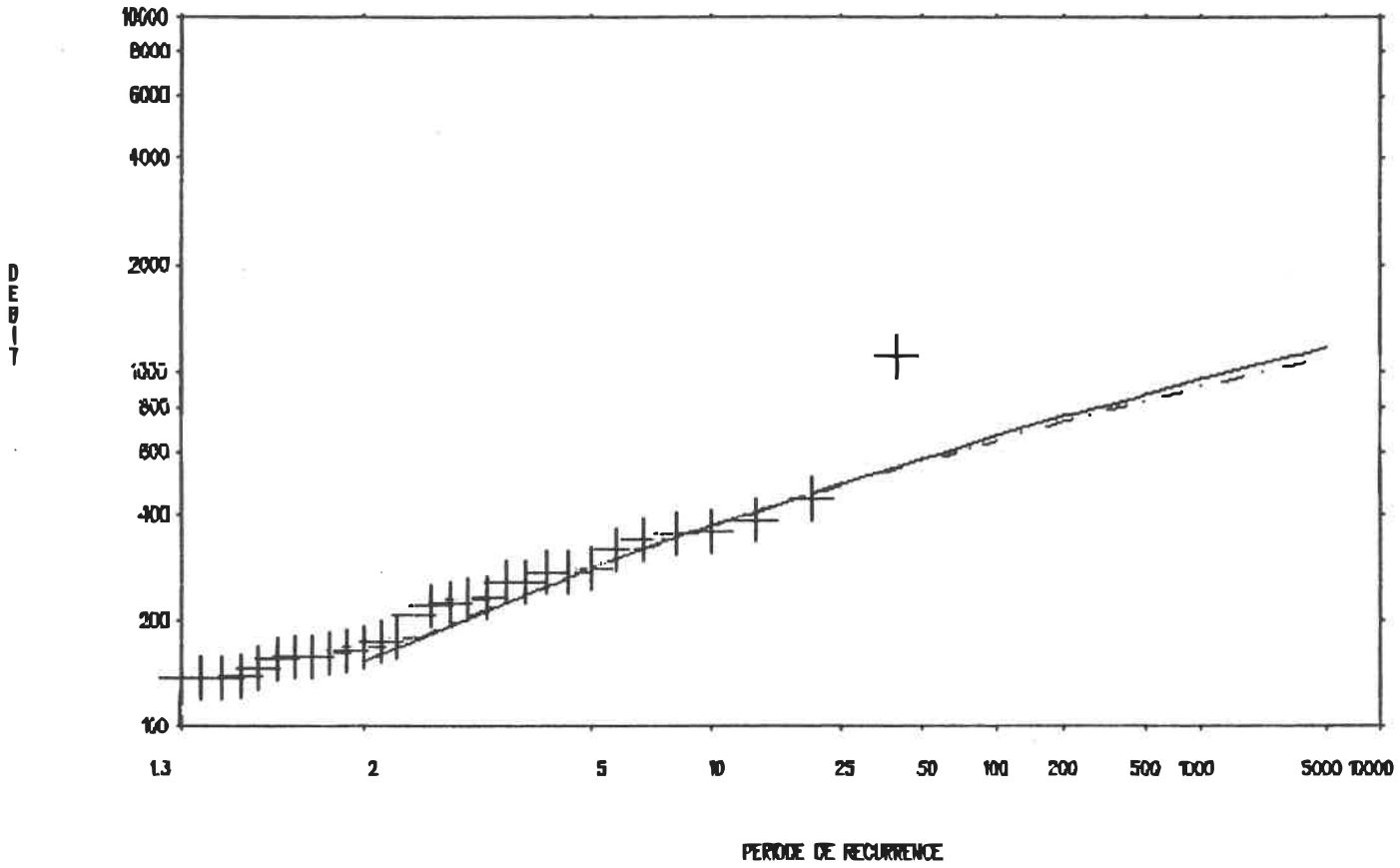



E7.b - Graphe du nombre moyen d'excédances en fonction du temps pour différents débits de base

Figure E7 - Station 05CE001



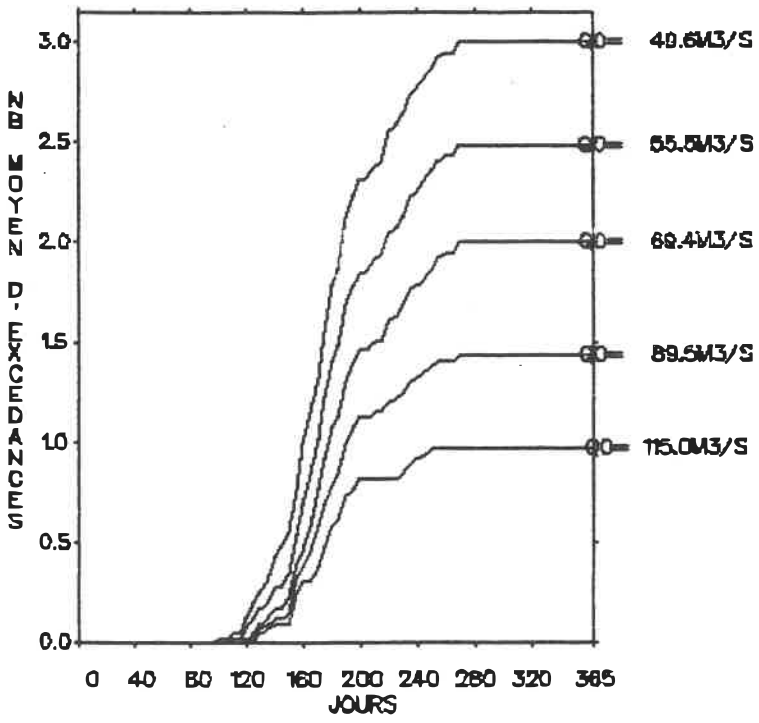

E7.c - Histogramme du nombre d'excédances en fonction de l'amplitude ($m^3/s$) et du mois




E7.d - Graphe du débit de pointe ($m^3/s$) en fonction du nombre d'années de récurrence

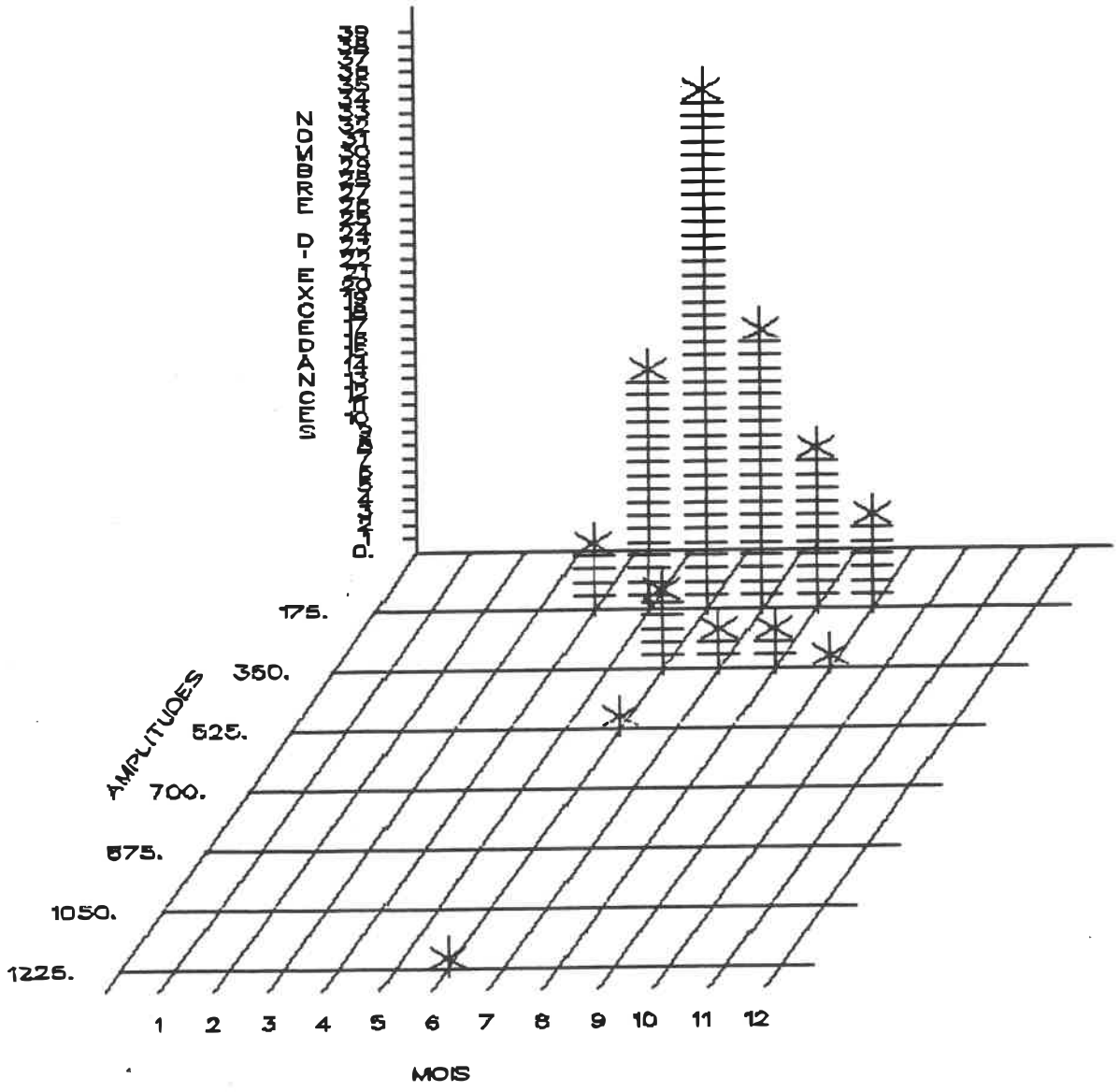
—— découpage en périodes homogènes

—·—· analyse annuelle

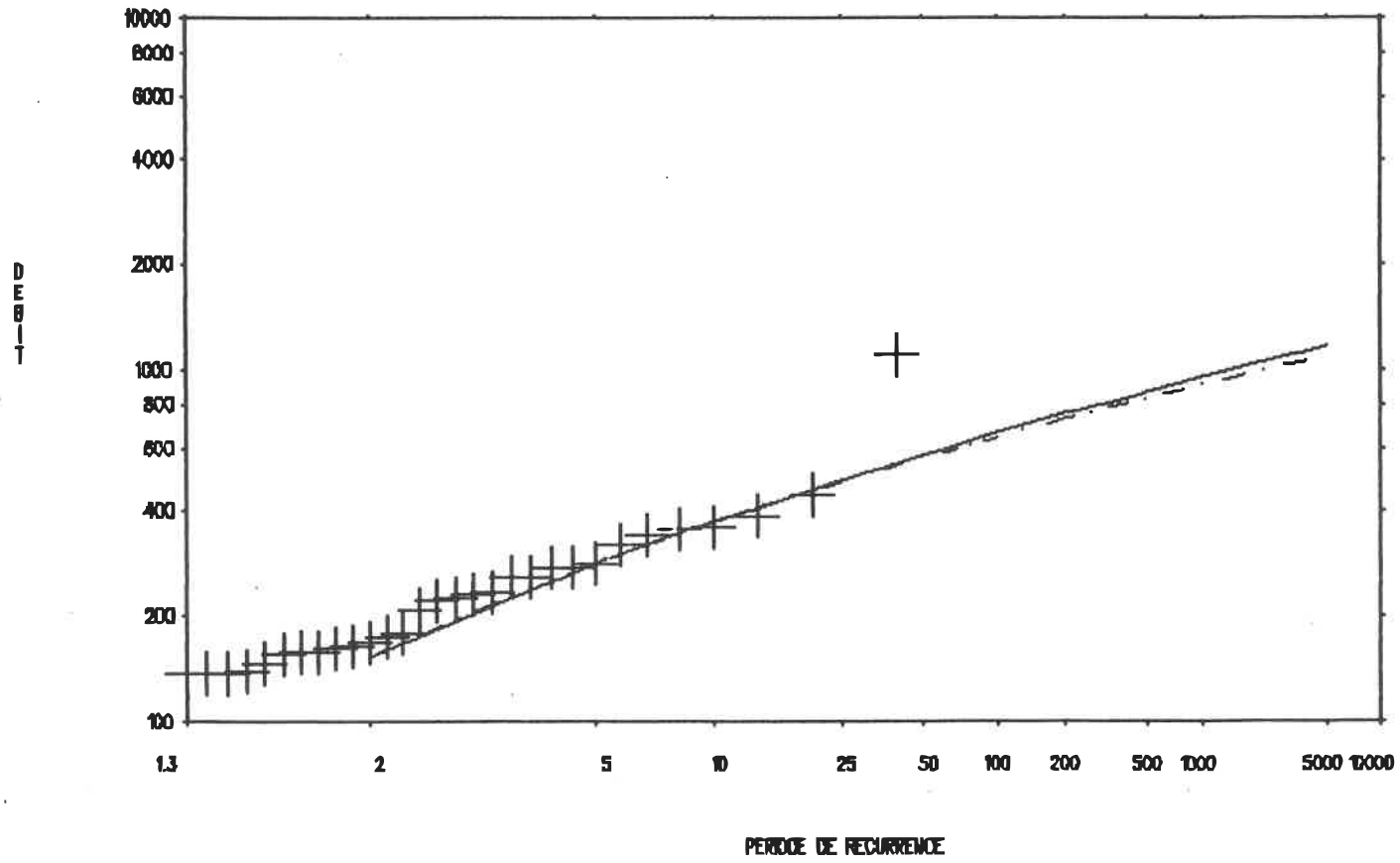



E8.a - Graphe du nombre moyen d'excédances en fonction du temps pour différents débits de base

Figure E8 - Station 05DB001



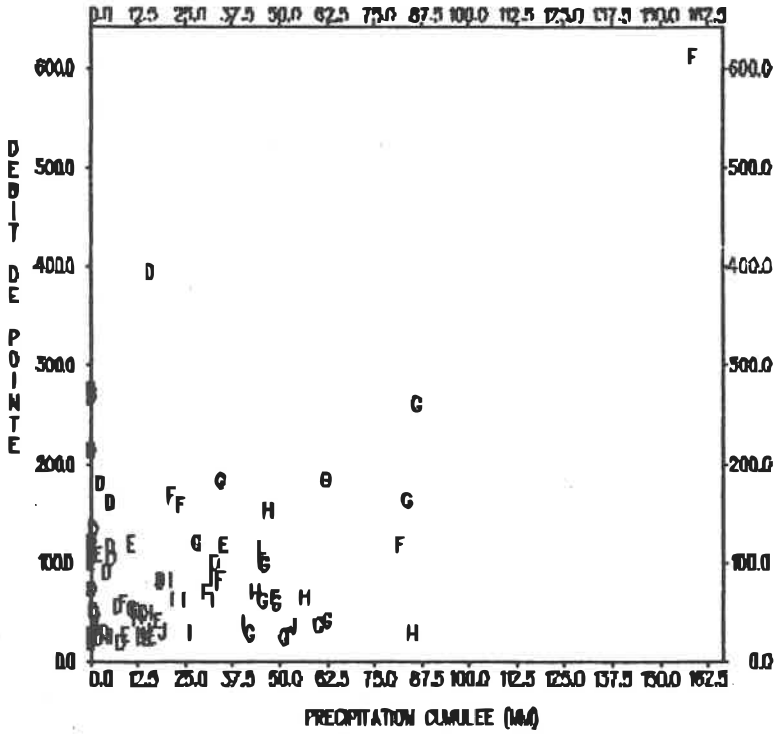

E8.b - Histogramme du nombre d'excédances en fonction de l'amplitude ($m^3/s$) et du mois



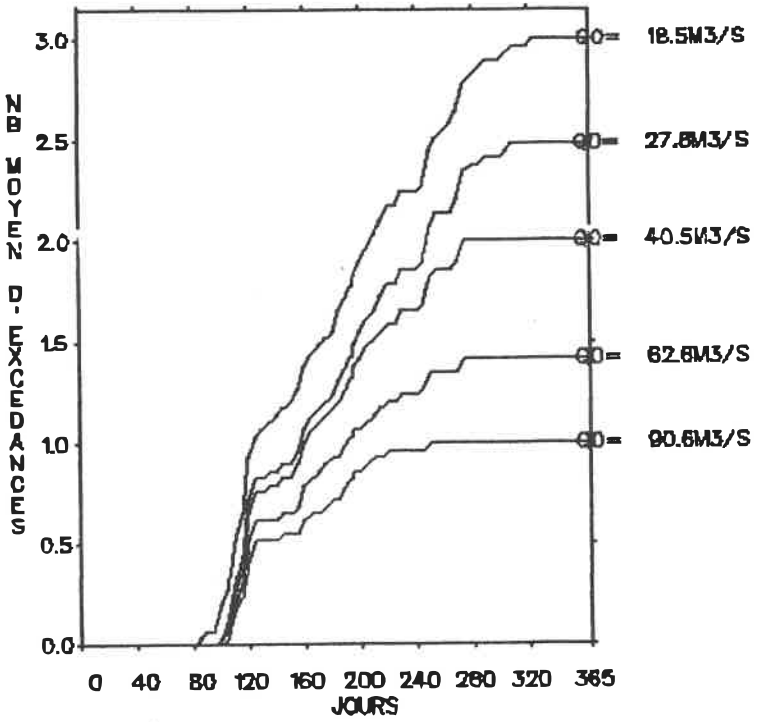

E8.c - Graphe du débit de pointe ($m^3/s$) en fonction du nombre d'années de récurrence

—— découpage en périodes homogènes

—·—· analyse annuelle

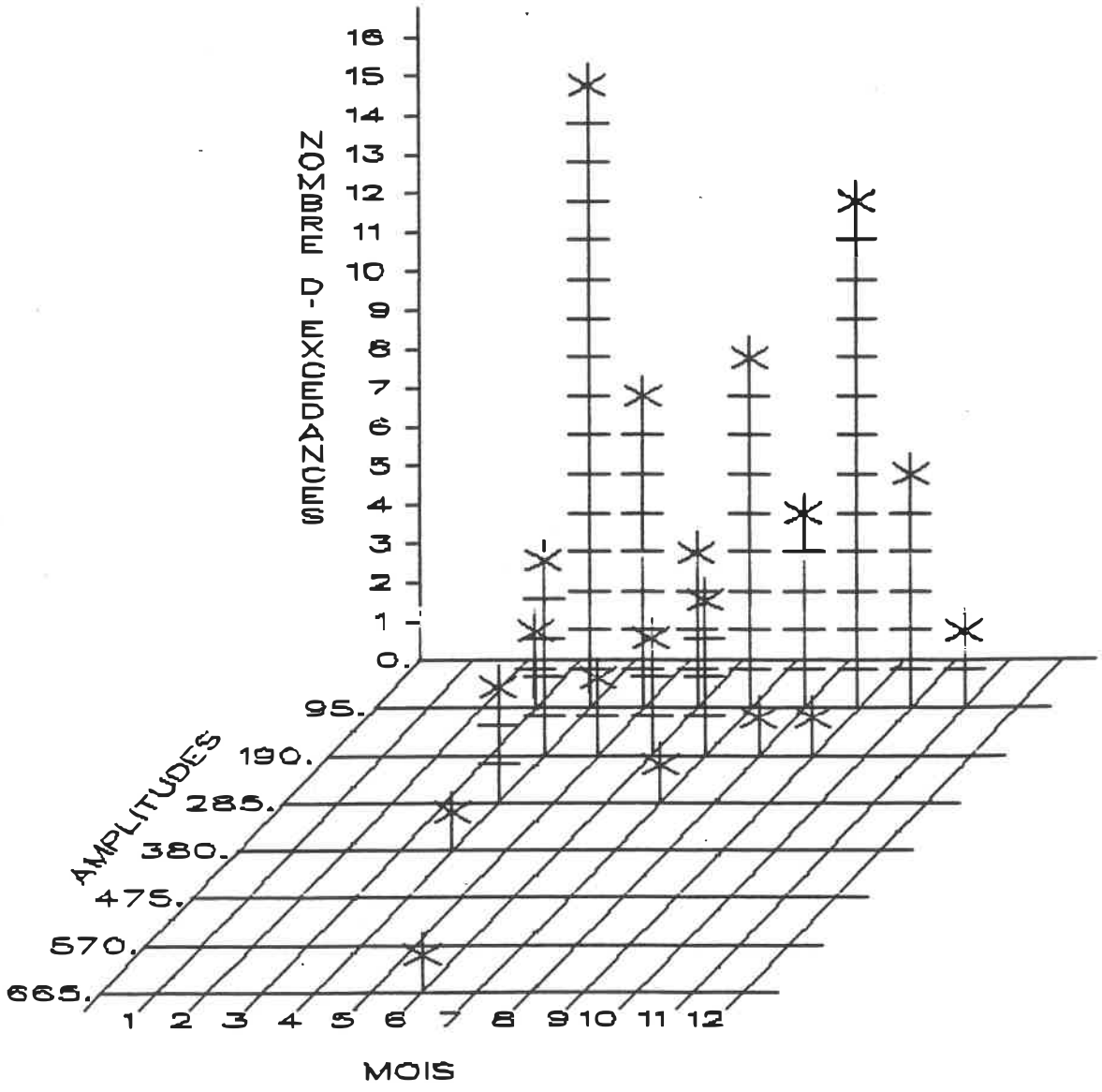



E9.a - Graphe du débit de pointe ($m^3/s$) en fonction de la précipitation cumulée (mm)

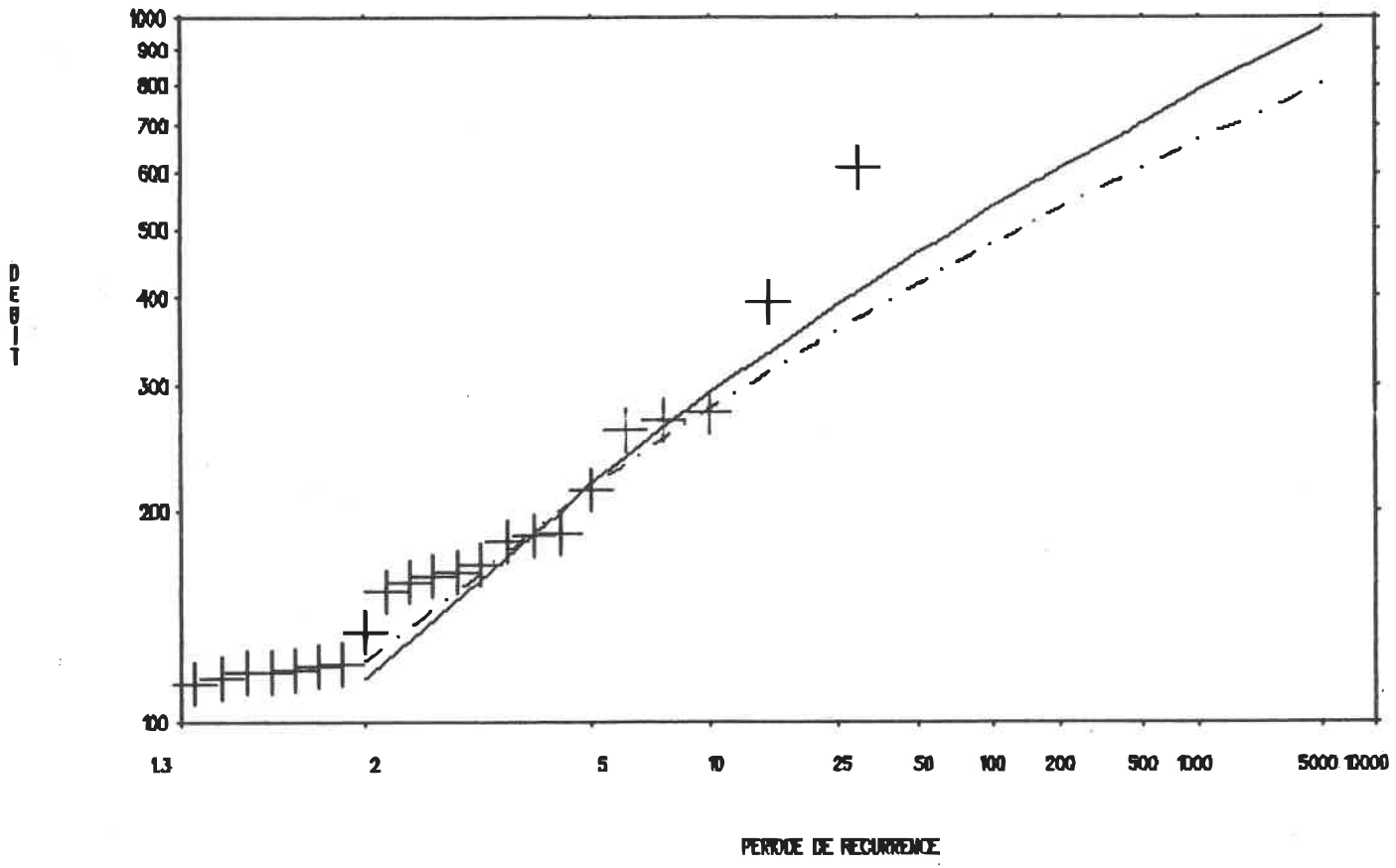



E9.b - Graphe du nombre moyen d'excédances en fonction du temps pour différents débits de base

Figure E9 - Station 06AD006



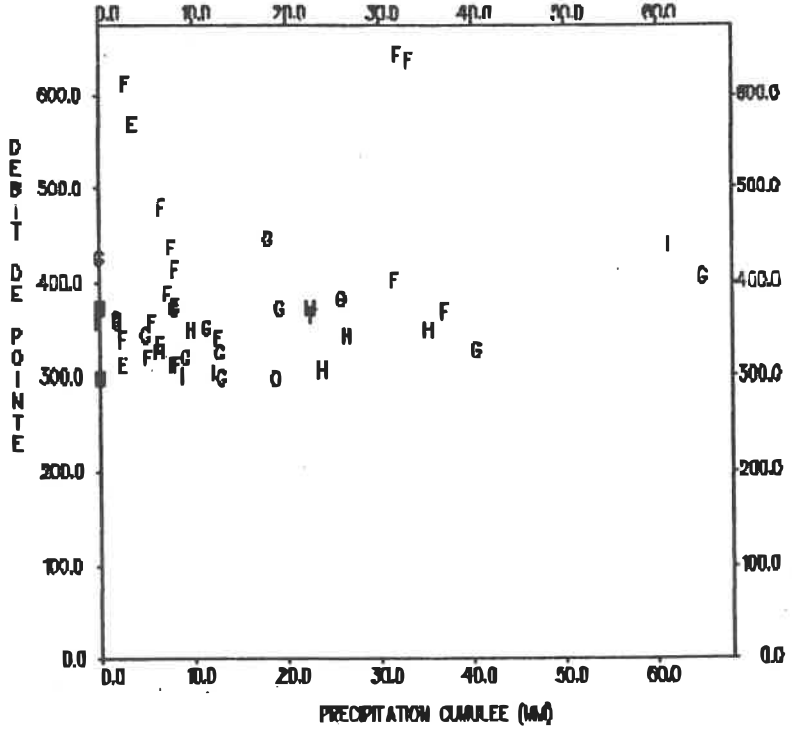

E9.c - Histogramme du nombre d'excédances en fonction de l'amplitude ($m^3/s$) et du mois



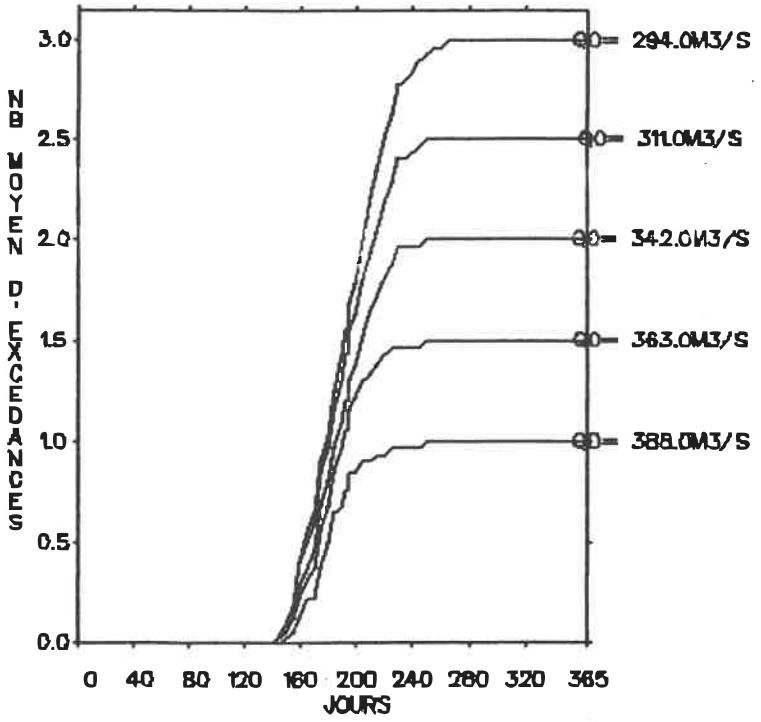

E9.d - Graphe du débit de pointe ($m^3/s$) en fonction du nombre d'années de récurrence

—— découpage en périodes homogènes

—·—· analyse annuelle

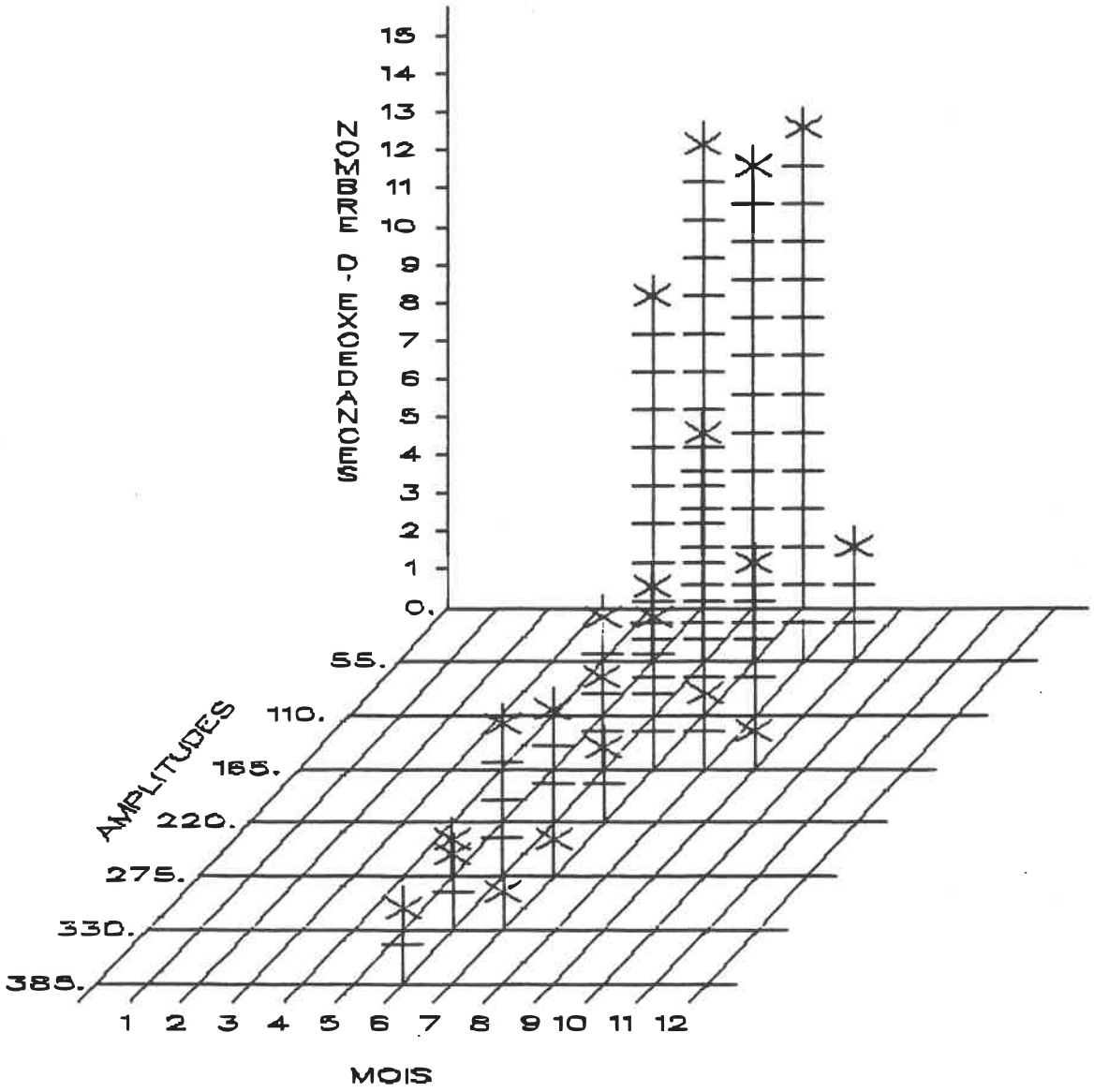



E10.a - Graphe du débit de pointe ($m^3/s$) en fonction de la précipitation cumulée (mm)

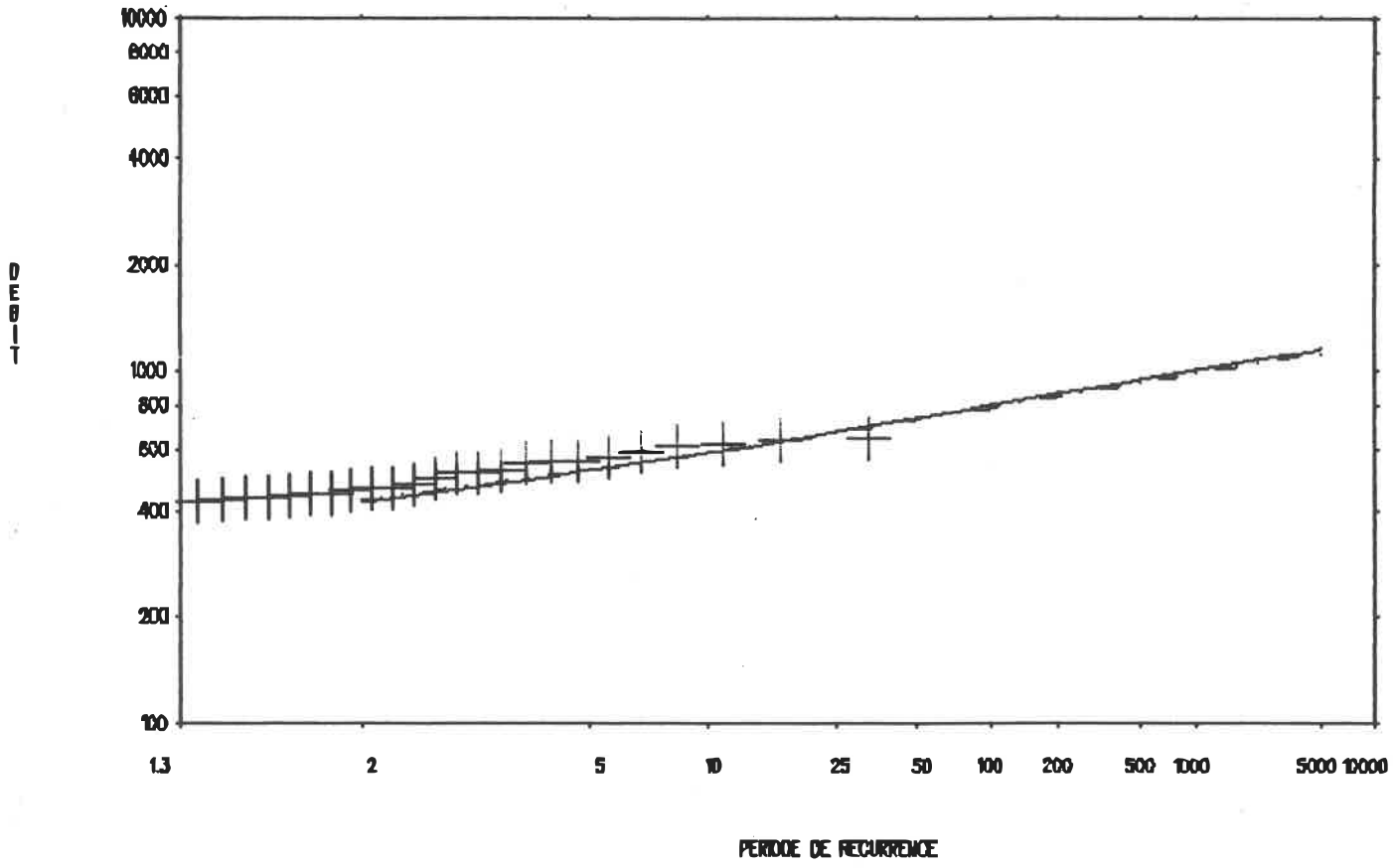



E10.b - Graphe du nombre moyen d'excédances en fonction du temps pour différents débits de base

Figure E10 - Station 07AA002



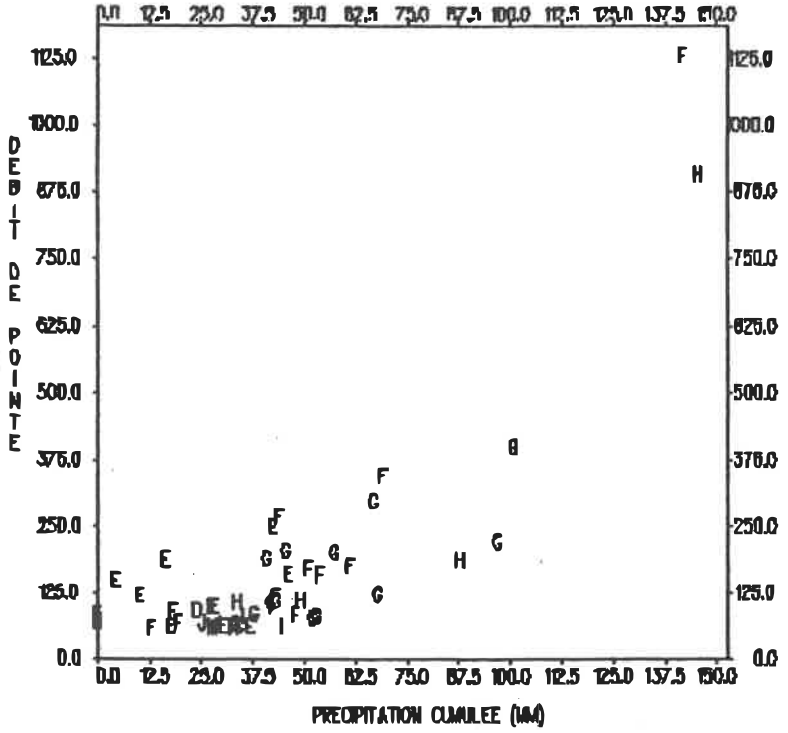

E10.c - Histogramme du nombre d'excédances en fonction de l'amplitude ($m^3/s$) et du mois

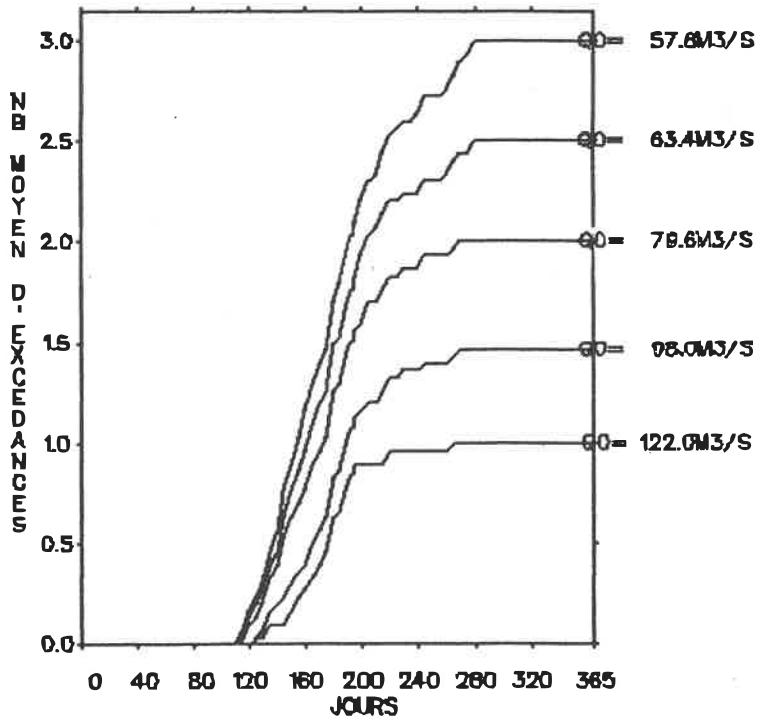



E10.d - Graphe du débit de pointe ($m^3/s$) en fonction du nombre d'années de récurrence

——— découpage en périodes homogènes

—·—· analyse annuelle

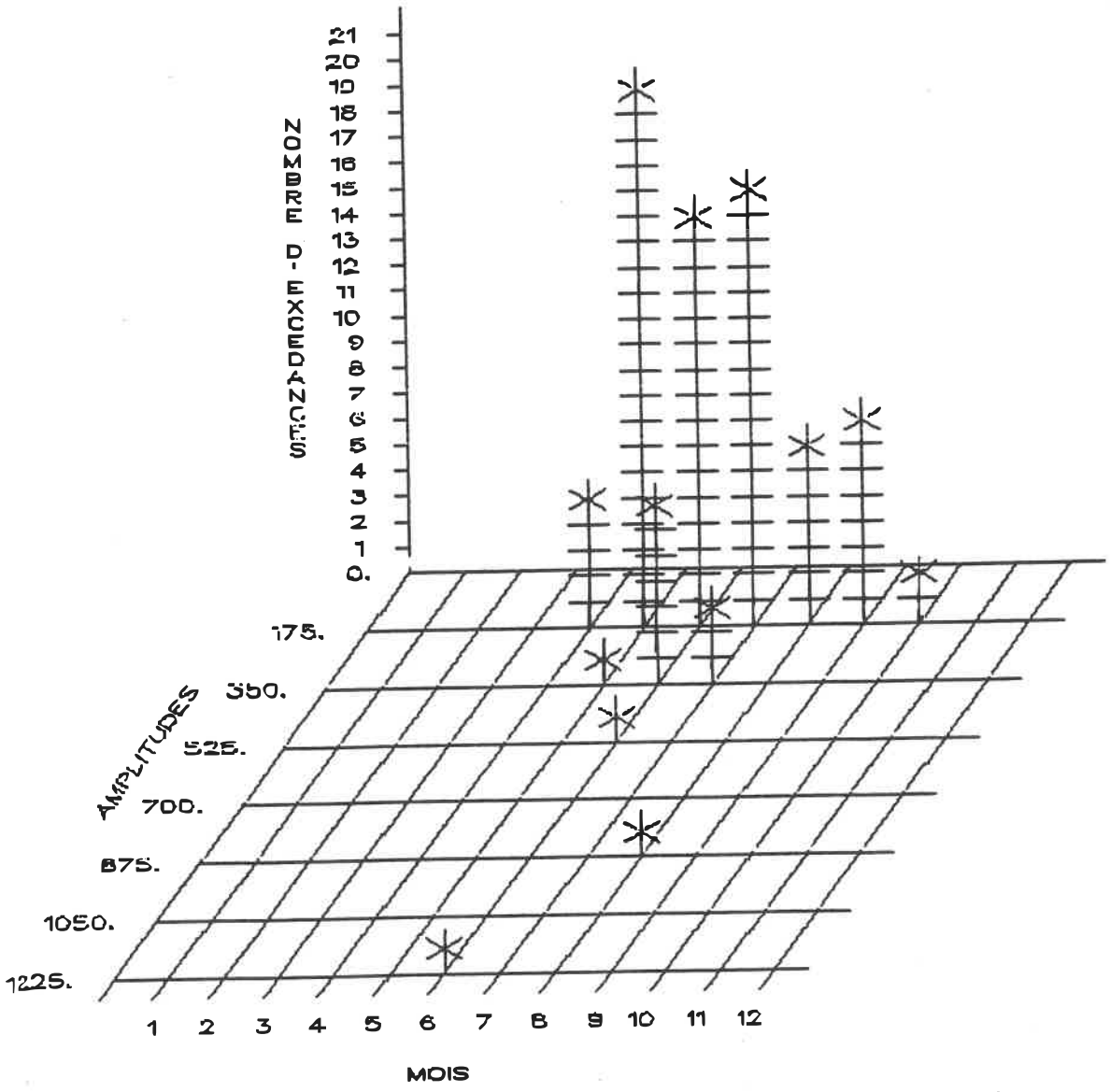


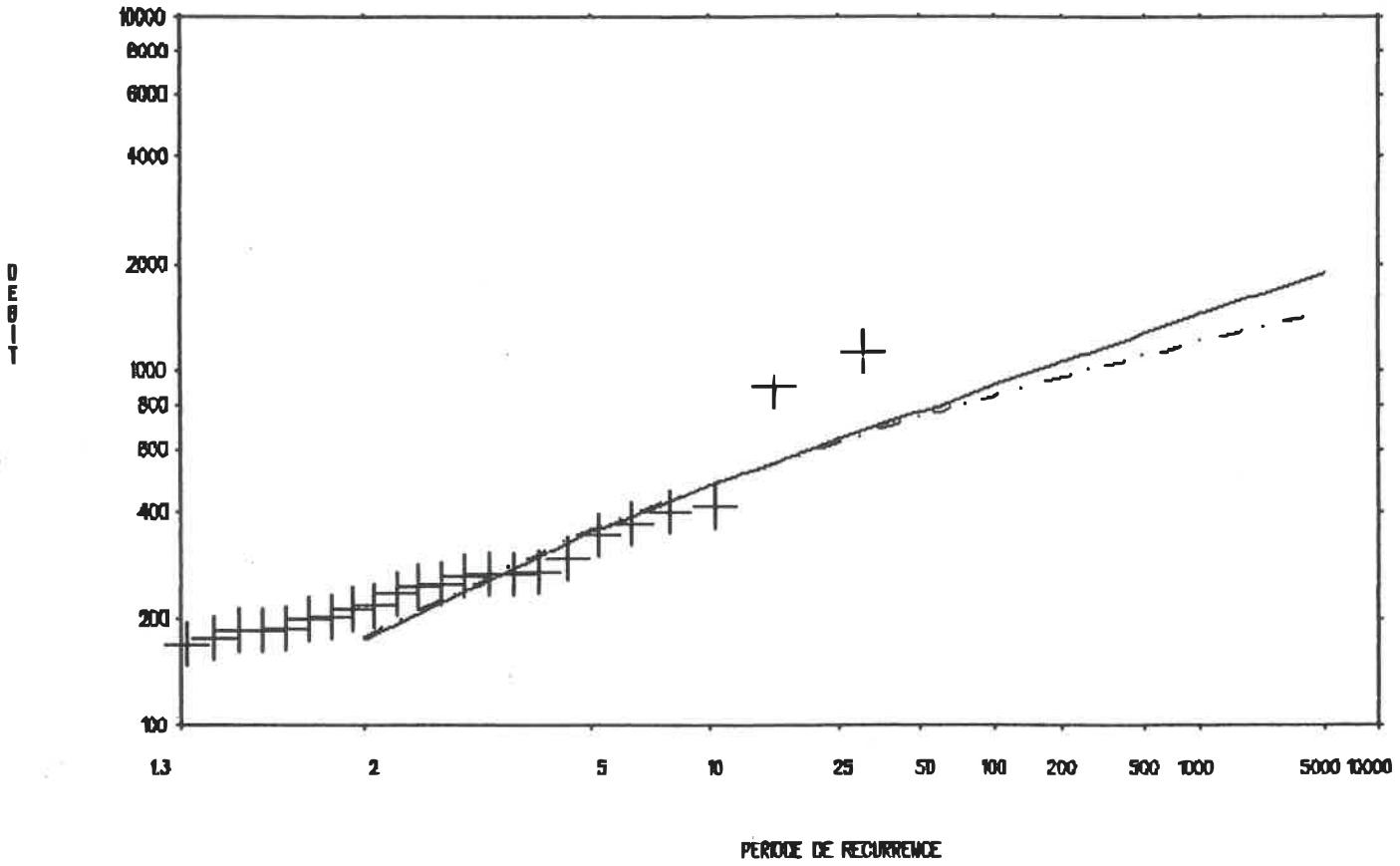

E11.a - Graphe du débit de pointe ($m^3/s$) en fonction de la précipitation cumulée (mm)

E11.b - Graphe du nombre moyen d'excédances en fonction du temps pour différents débits de base

Figure E11 - Station 07AF002



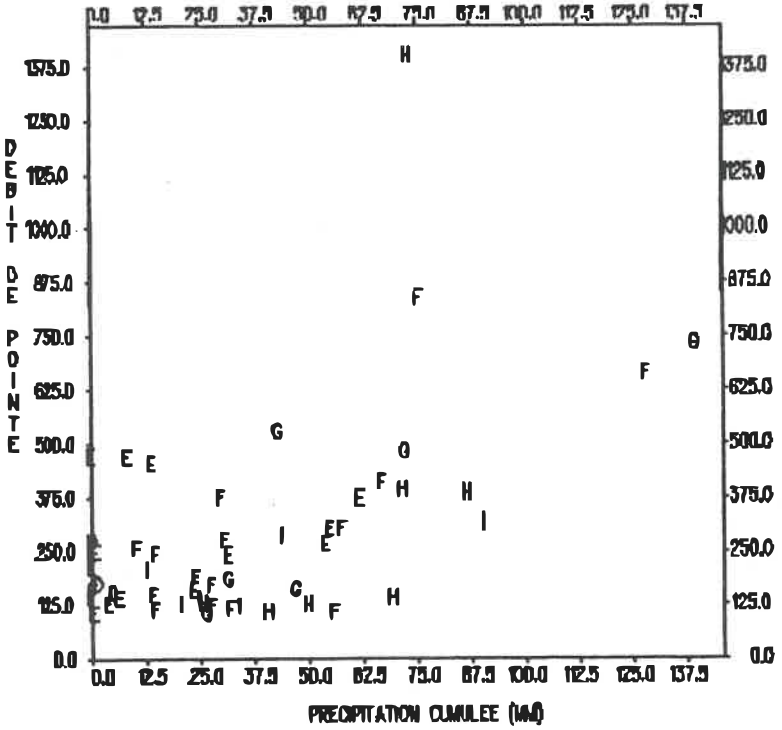

E11.c - Histogramme du nombre d'excédances en fonction de l'amplitude ($m^3/s$) et du mois



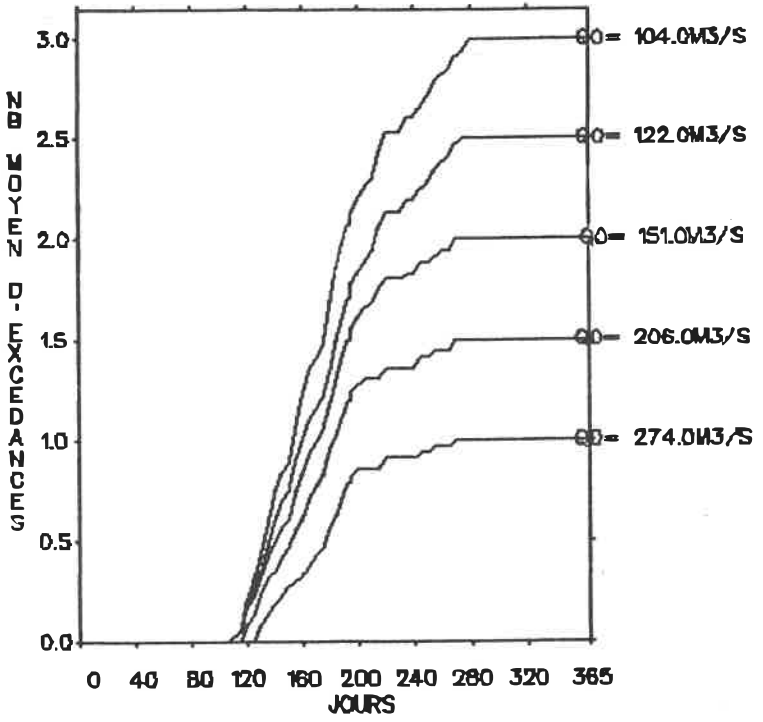

E11.d - Graphe du débit de pointe ($m^3/s$) en fonction du nombre d'années de récurrence

—— découpage en périodes homogènes

—·—· analyse annuelle

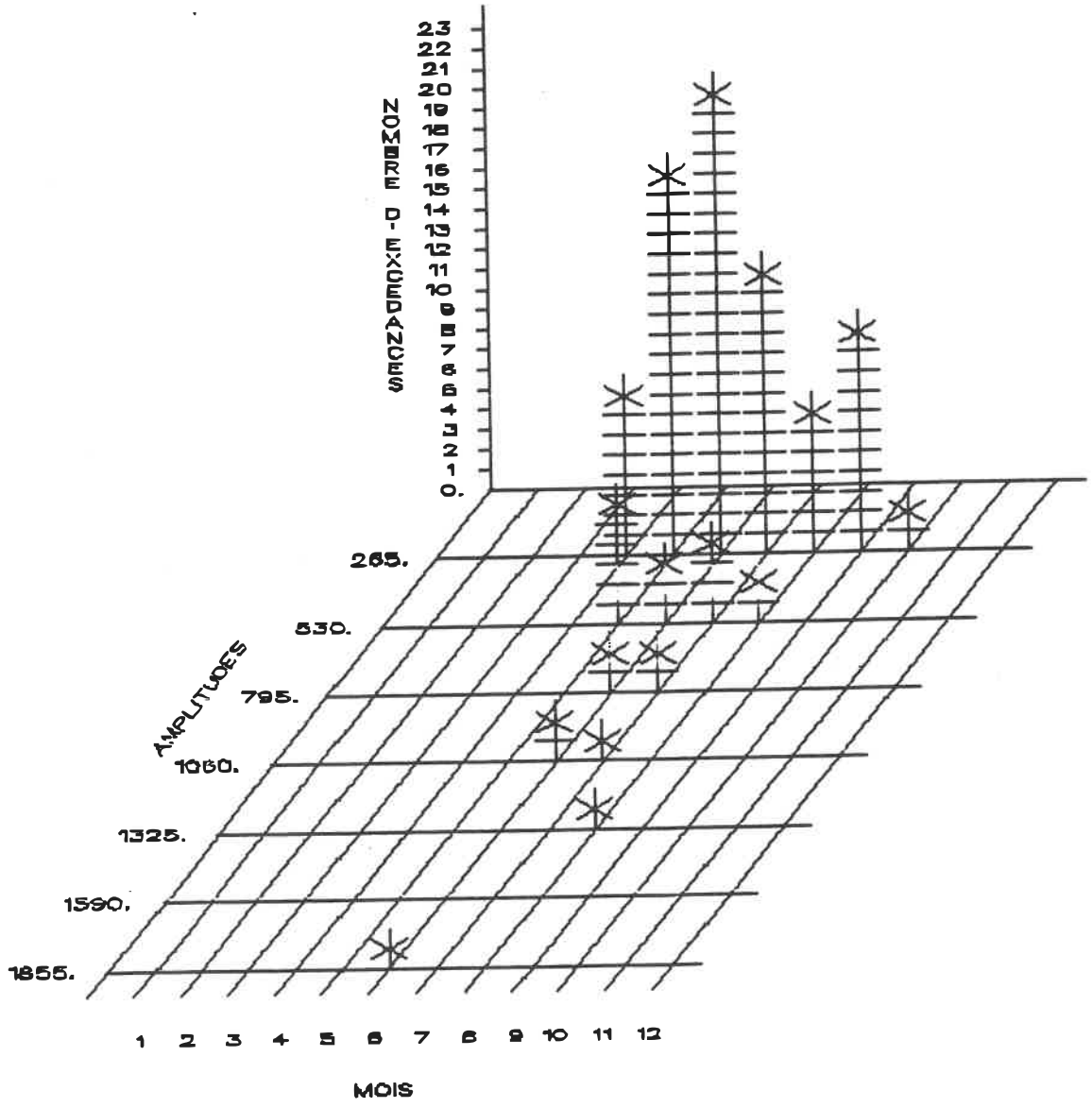



E12.a - Graphe du débit de pointe ($m^3/s$) en fonction de la précipitation cumulée (mm)

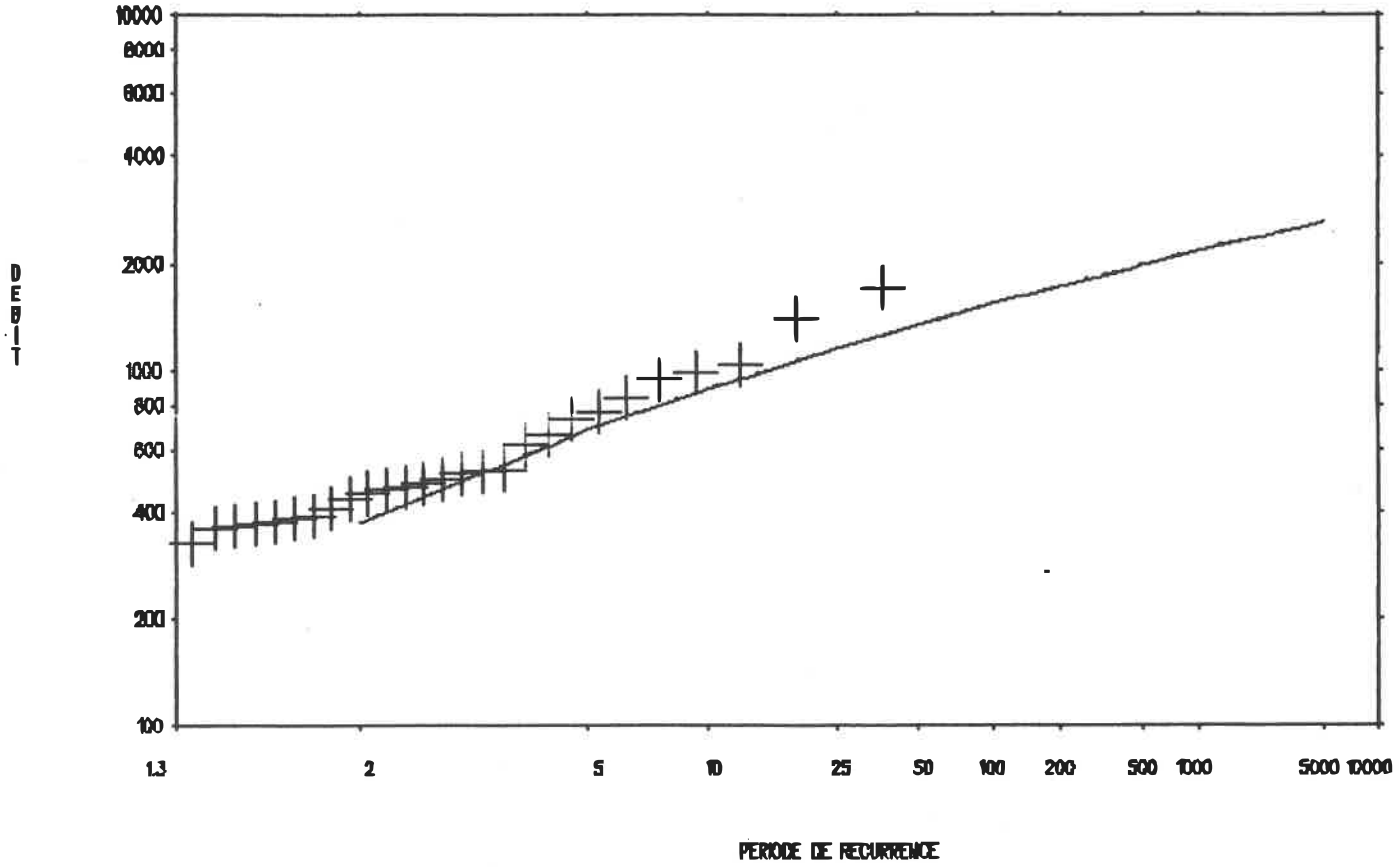



E12.b - Graphe du nombre moyen d'excédances en fonction du temps pour différents débits de base

Figure E12 - Station 07AG001



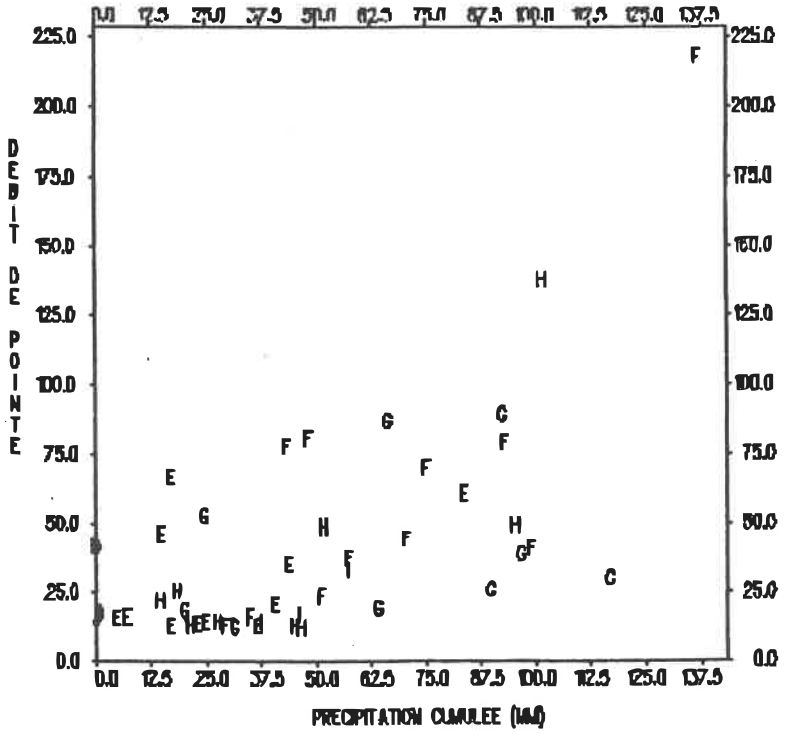

E12.c - Histogramme du nombre d'excédances en fonction de l'amplitude ($m^3/s$) et du mois



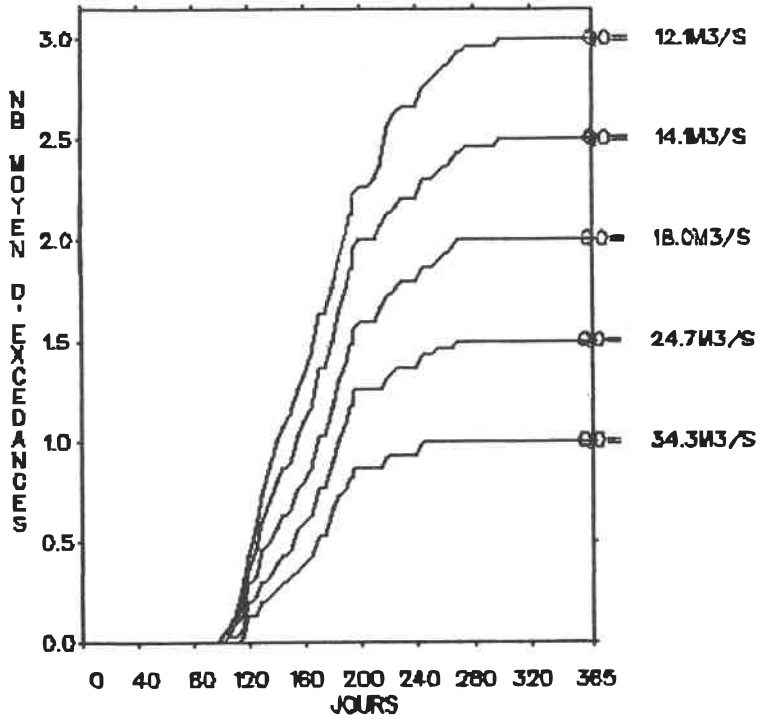

E12.d - Graphe du débit de pointe ($m^3/s$) en fonction du nombre d'années de récurrence

—— découpage en périodes homogènes

—·—· analyse annuelle

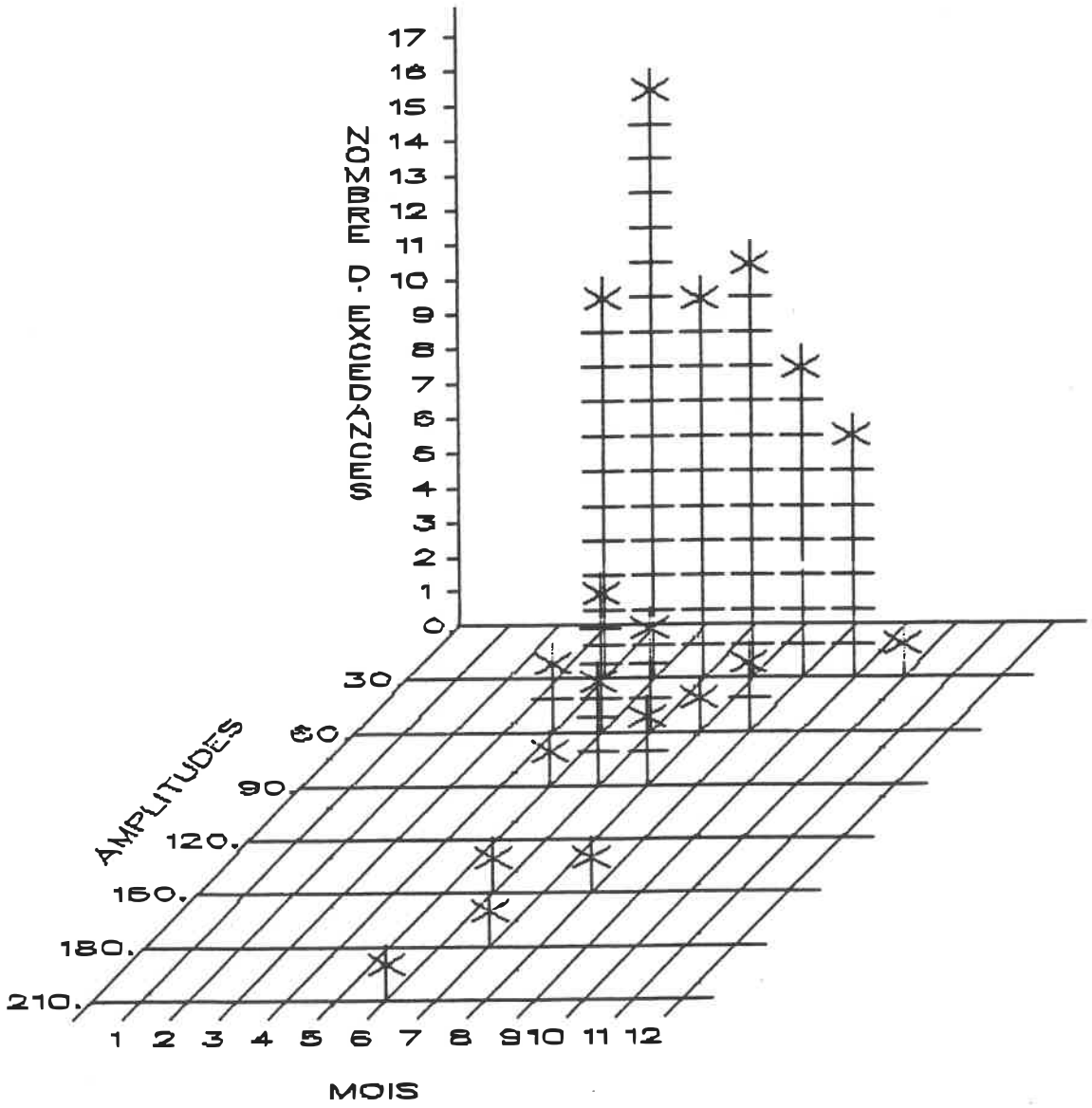



E13.a - Graphe du débit de pointe ($m^3/s$) en fonction de la précipitation cumulée (mm)

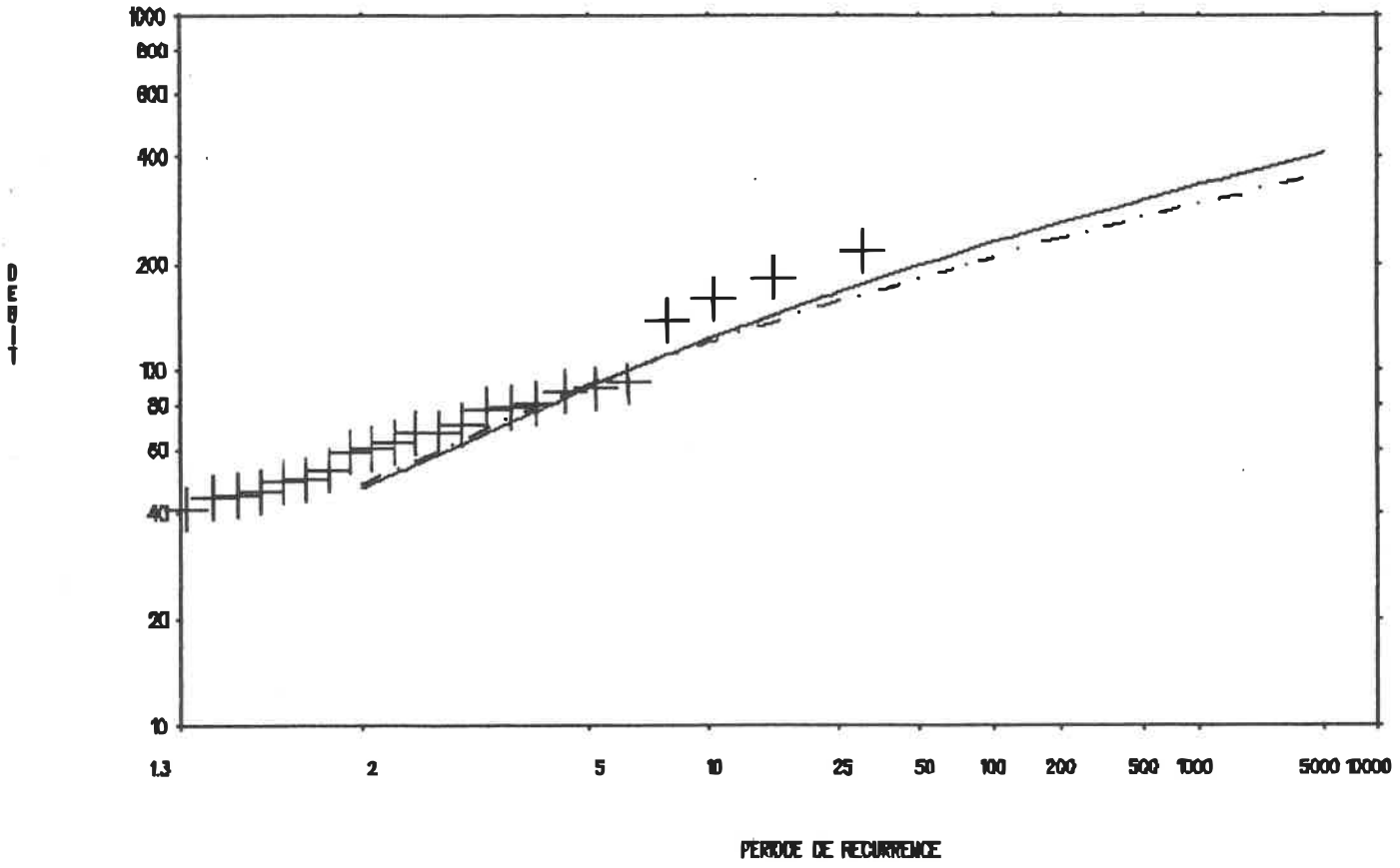



E13.b - Graphe du nombre moyen d'excédances en fonction du temps pour différents débits de base

Figure E13 - Station 07AG003



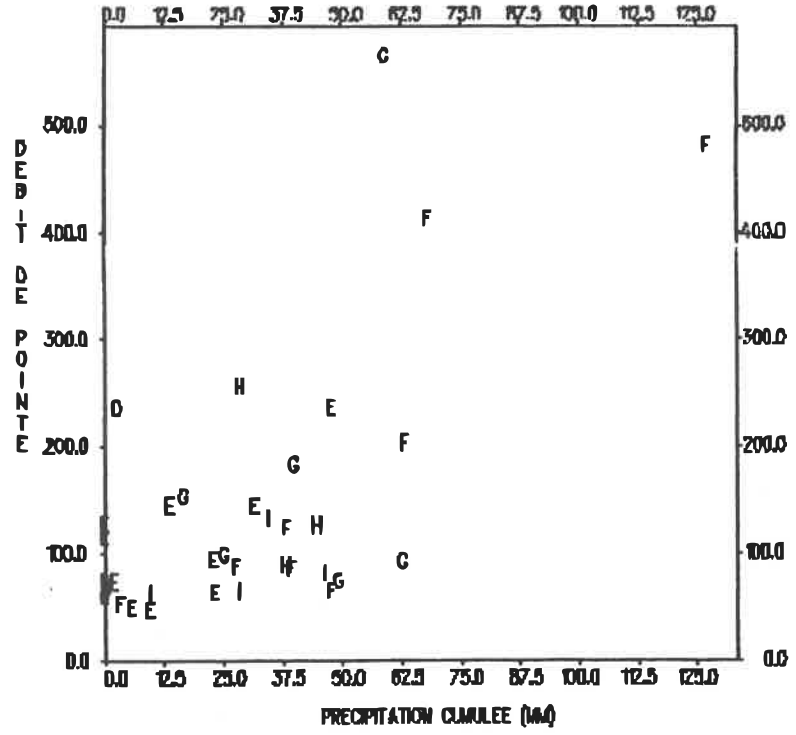

E13.c - Histogramme du nombre d'excédances en fonction de l'amplitude ($m^3/s$) et du mois



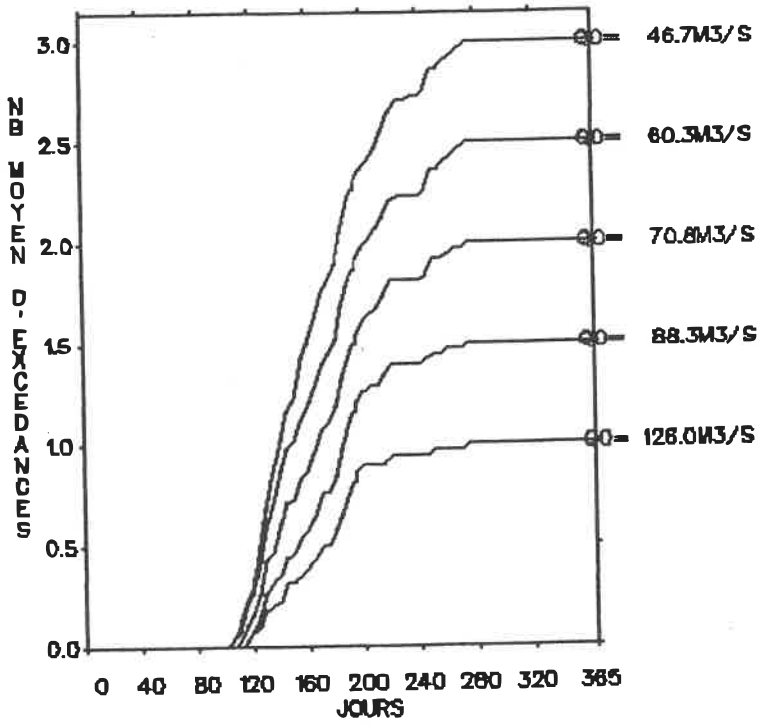

E13.d - Graphe du débit de pointe ($m^3/s$) en fonction du nombre d'années de récurrence

—— découpage en périodes homogènes

—·—· analyse annuelle

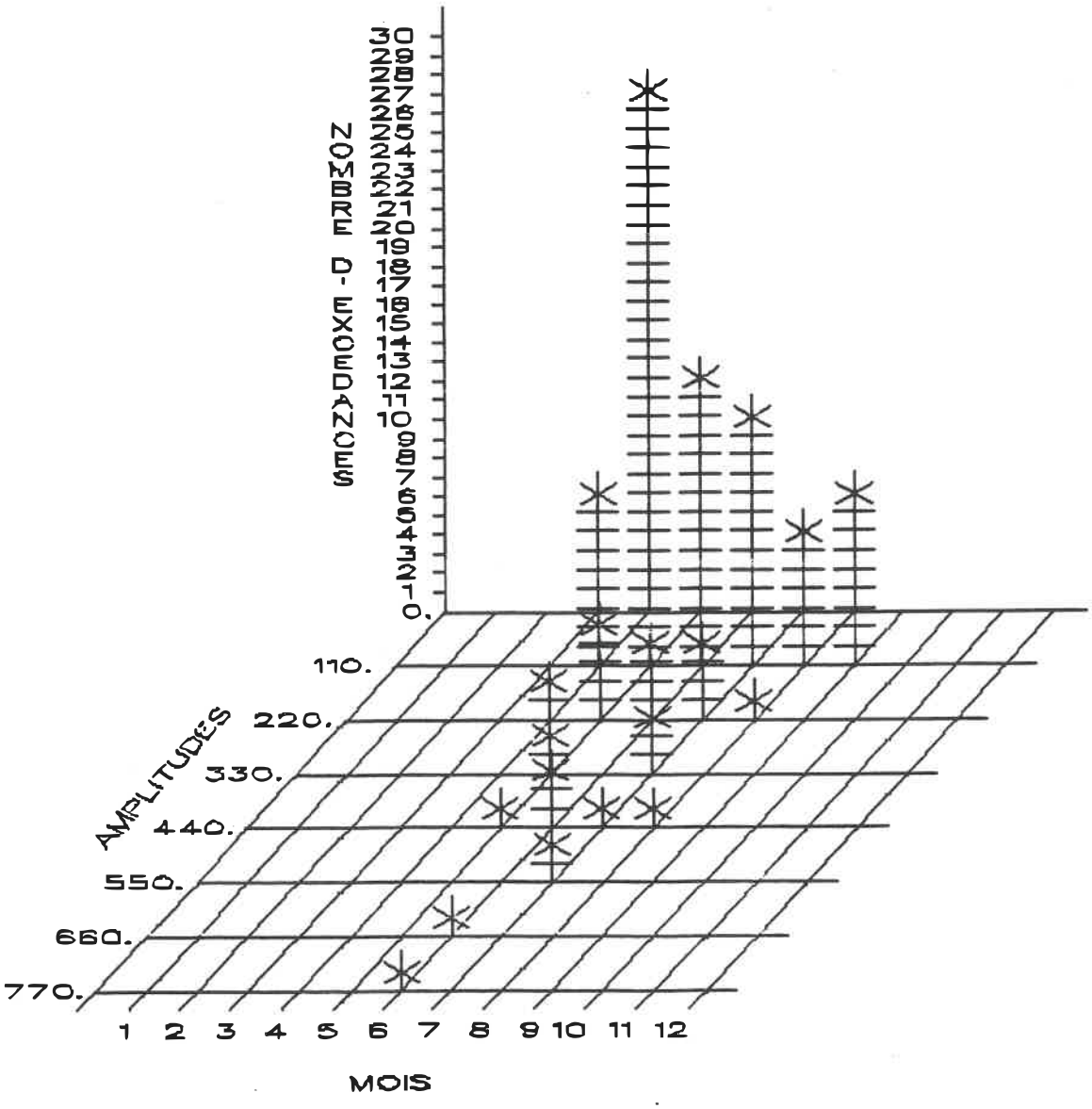



E14.a - Graphe du débit de pointe ($m^3/s$) en fonction de la précipitation cumulée (mm)

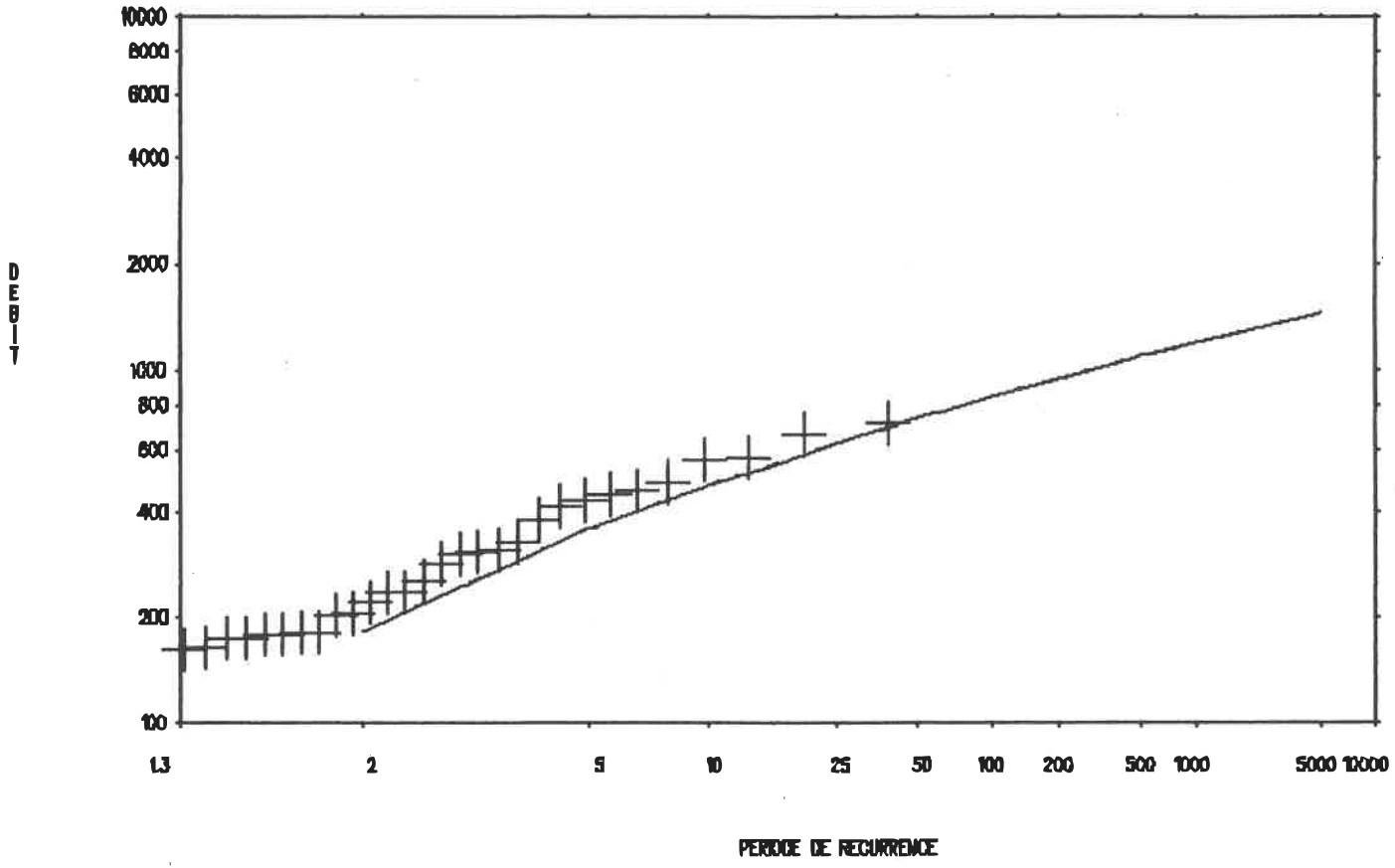



E14.b - Graphe du nombre moyen d'excédances en fonction du temps pour différents débits de base

Figure E14 - Station 07BB002



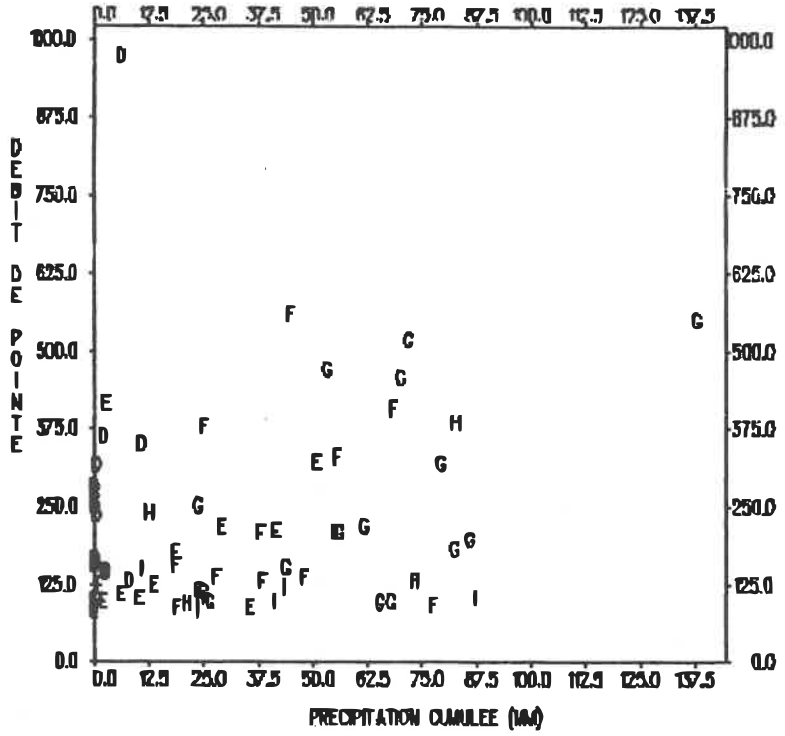

E14.c - Histogramme du nombre d'excédances en fonction de l'amplitude ($m^3/s$) et du mois



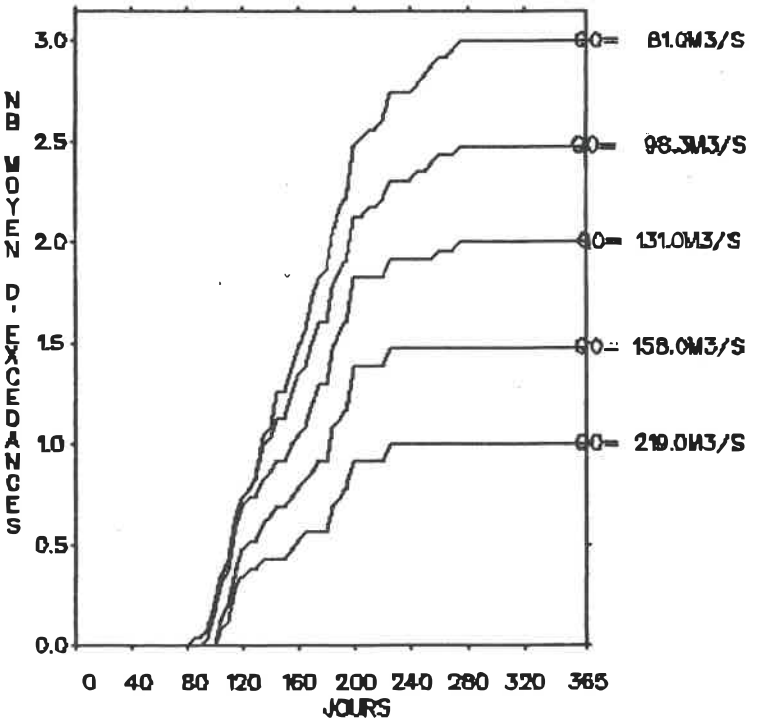

E14.d - Graphe du débit de pointe ($m^3/s$) en fonction du nombre d'années de récurrence

——— découpage en périodes homogènes

—·—· analyse annuelle

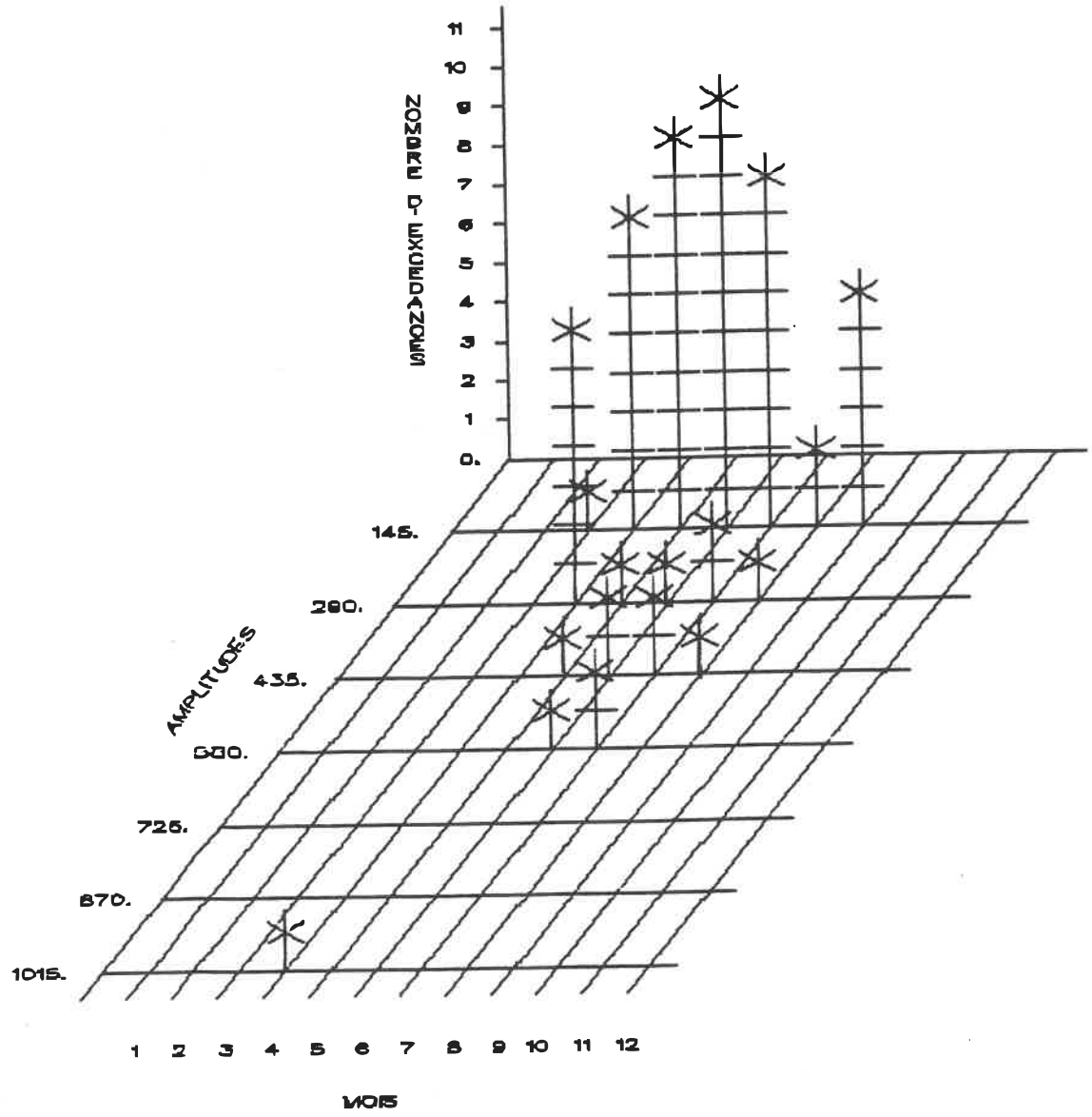



E15.a - Graphe du débit de pointe ($m^3/s$) en fonction de la précipitation cumulée (mm)

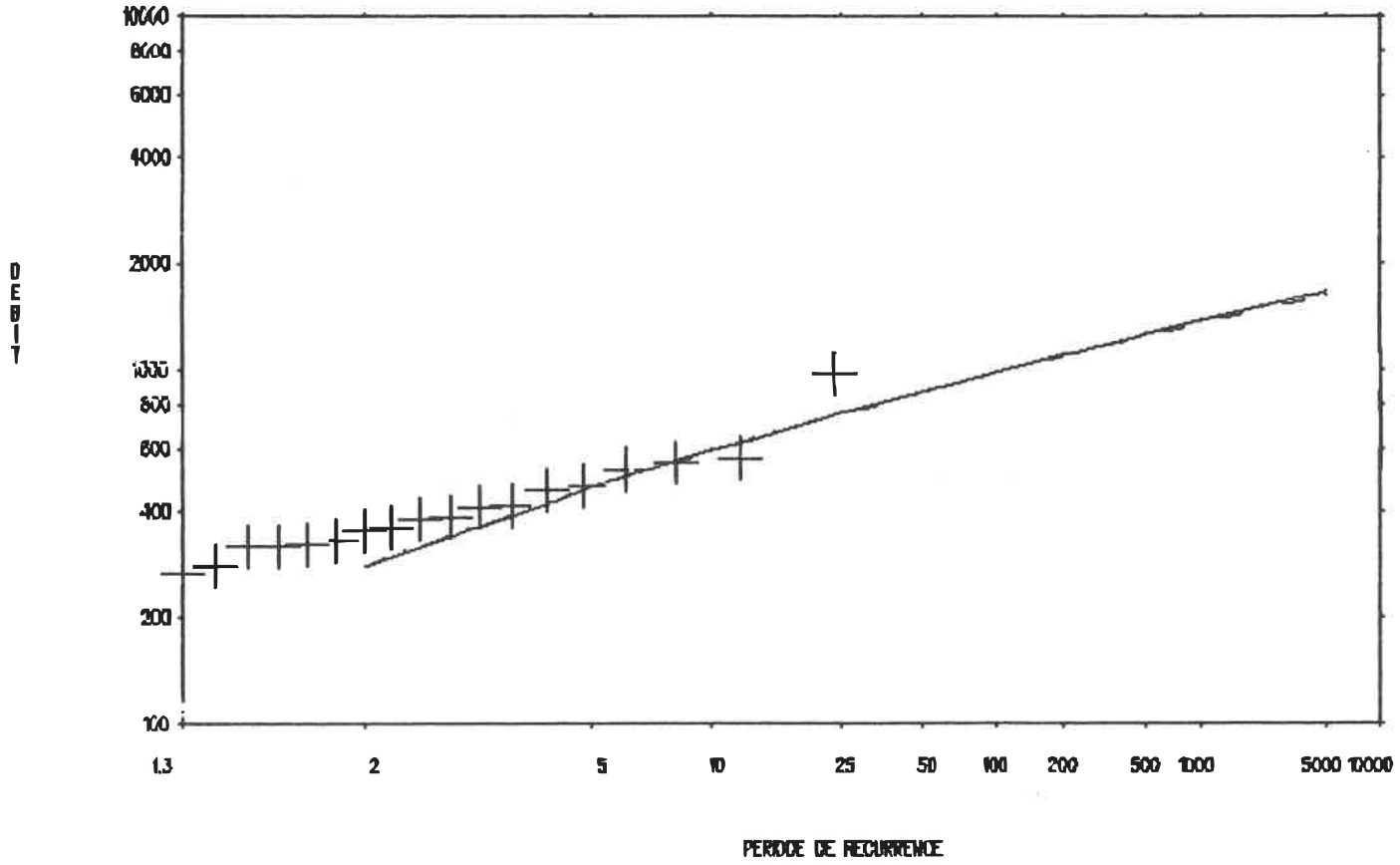



E15.b - Graphe du nombre moyen d'excédances en fonction du temps pour différents débits de base

Figure E15 - Station 07BC002



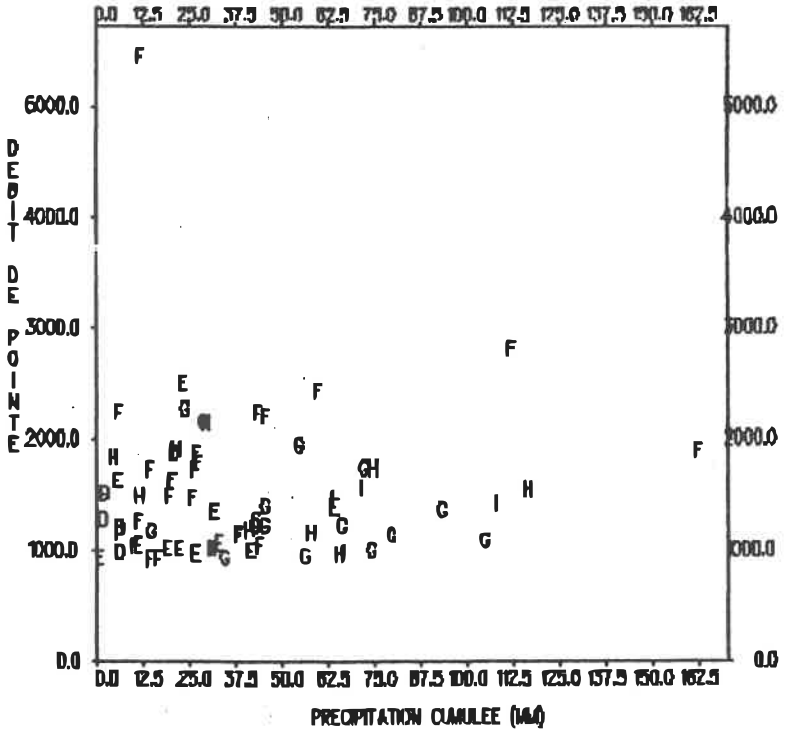

E15.c - Histogramme du nombre d'excédances en fonction de l'amplitude ($m^3/s$) et du mois



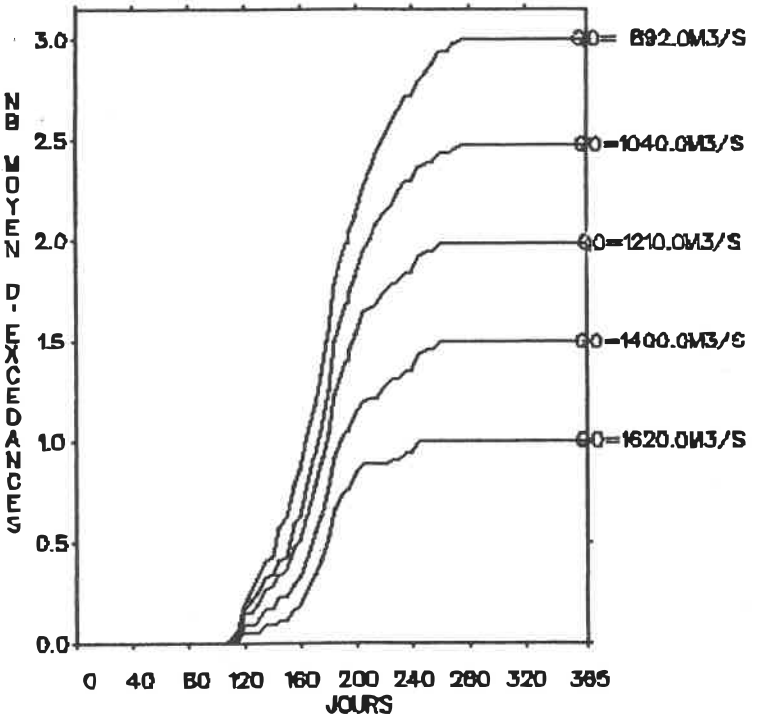

E15.d - Graphe du débit de pointe ($m^3/s$) en fonction du nombre d'années de récurrence

——— découpage en périodes homogènes

—·—· analyse annuelle

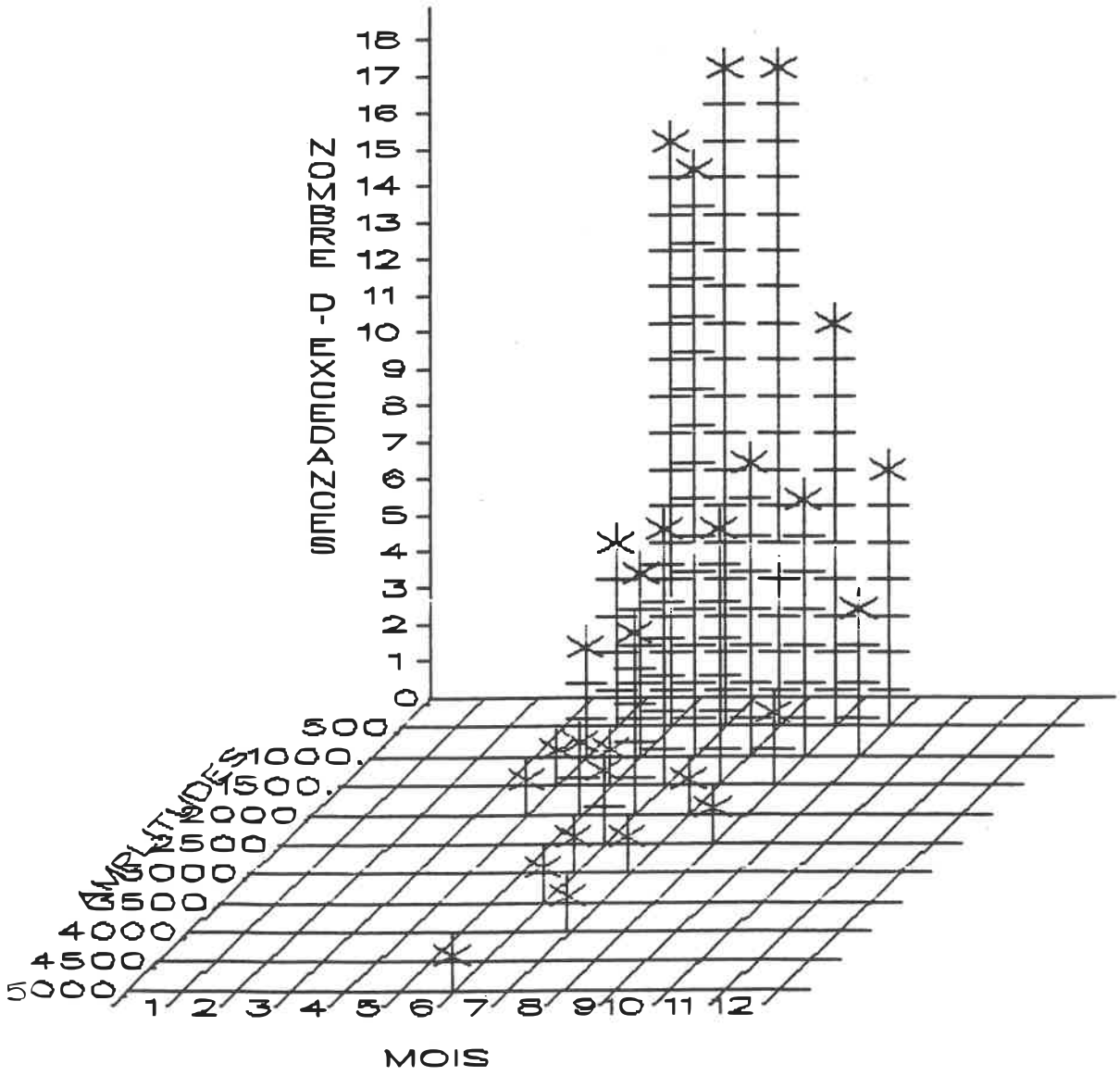



E16.a - Graphe du débit de pointe ($m^3/s$) en fonction de la précipitation cumulée (mm)

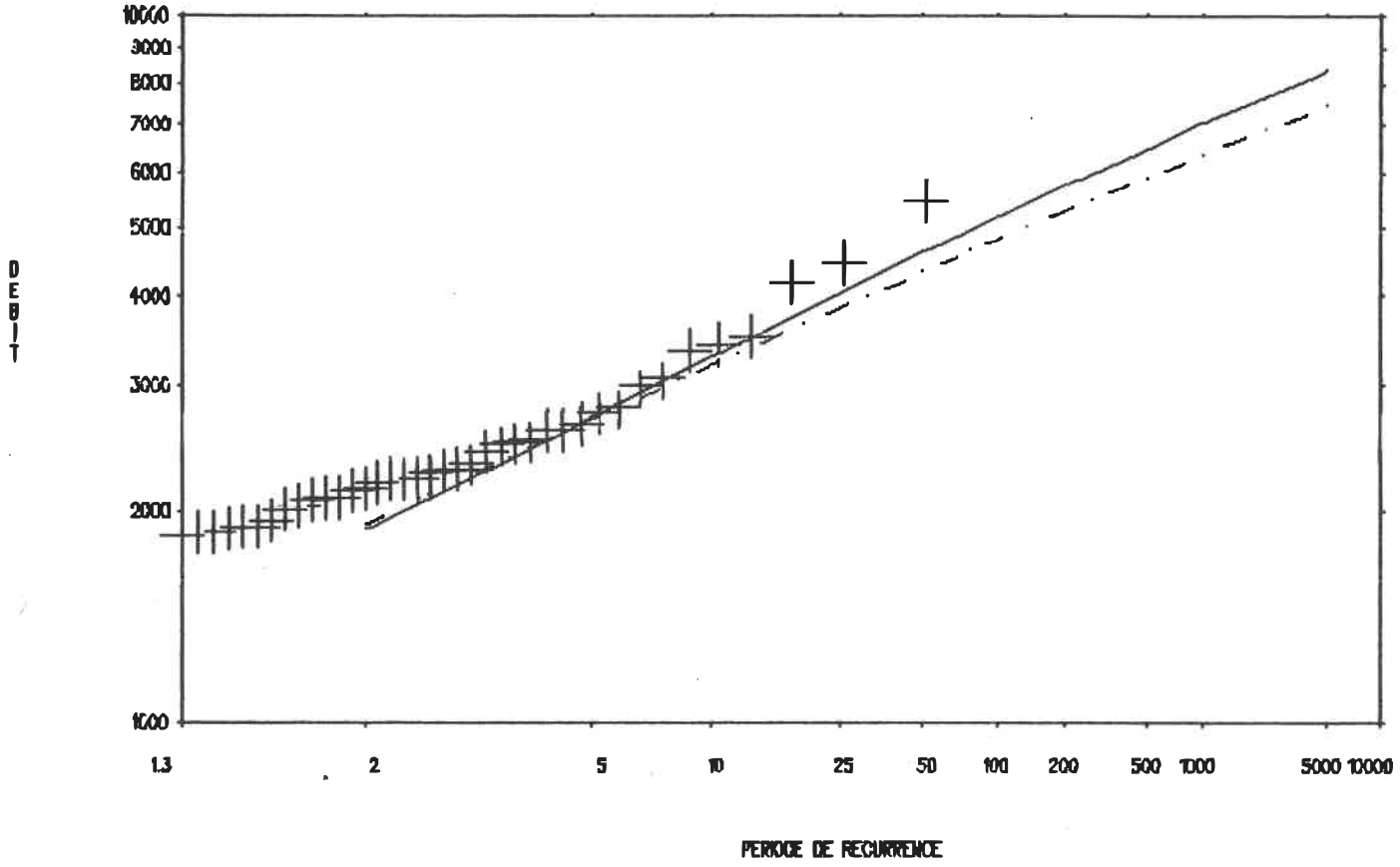



E16.b - Graphe du nombre moyen d'excédances en fonction du temps pour différents débits de base

Figure E16 - Station 07BE001



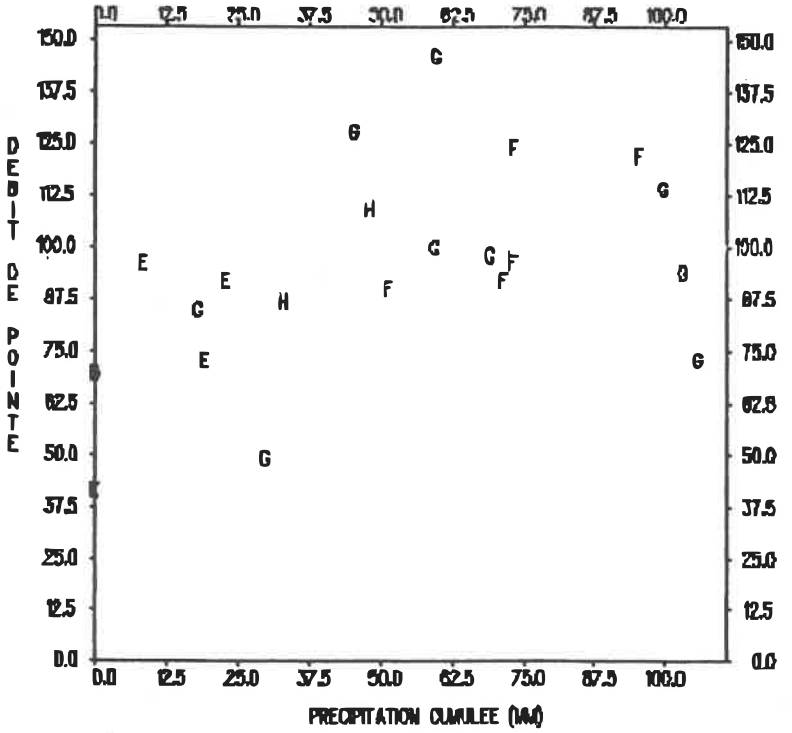

E16.c - Histogramme du nombre d'excédances en fonction de l'amplitude ($m^3/s$) et du mois



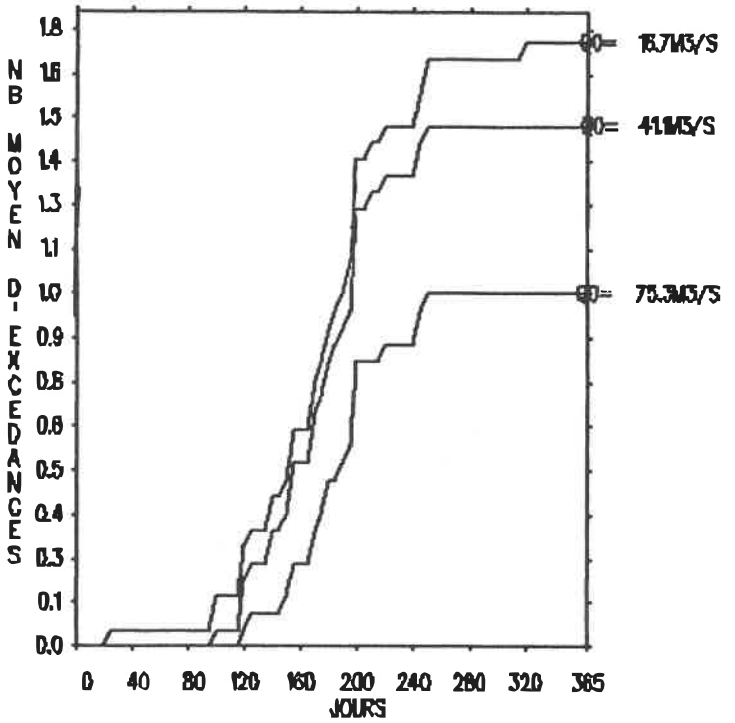

E16.d - Graphe du débit de pointe ($m^3/s$) en fonction du nombre d'années de récurrence

——— découpage en périodes homogènes

—·—· analyse annuelle

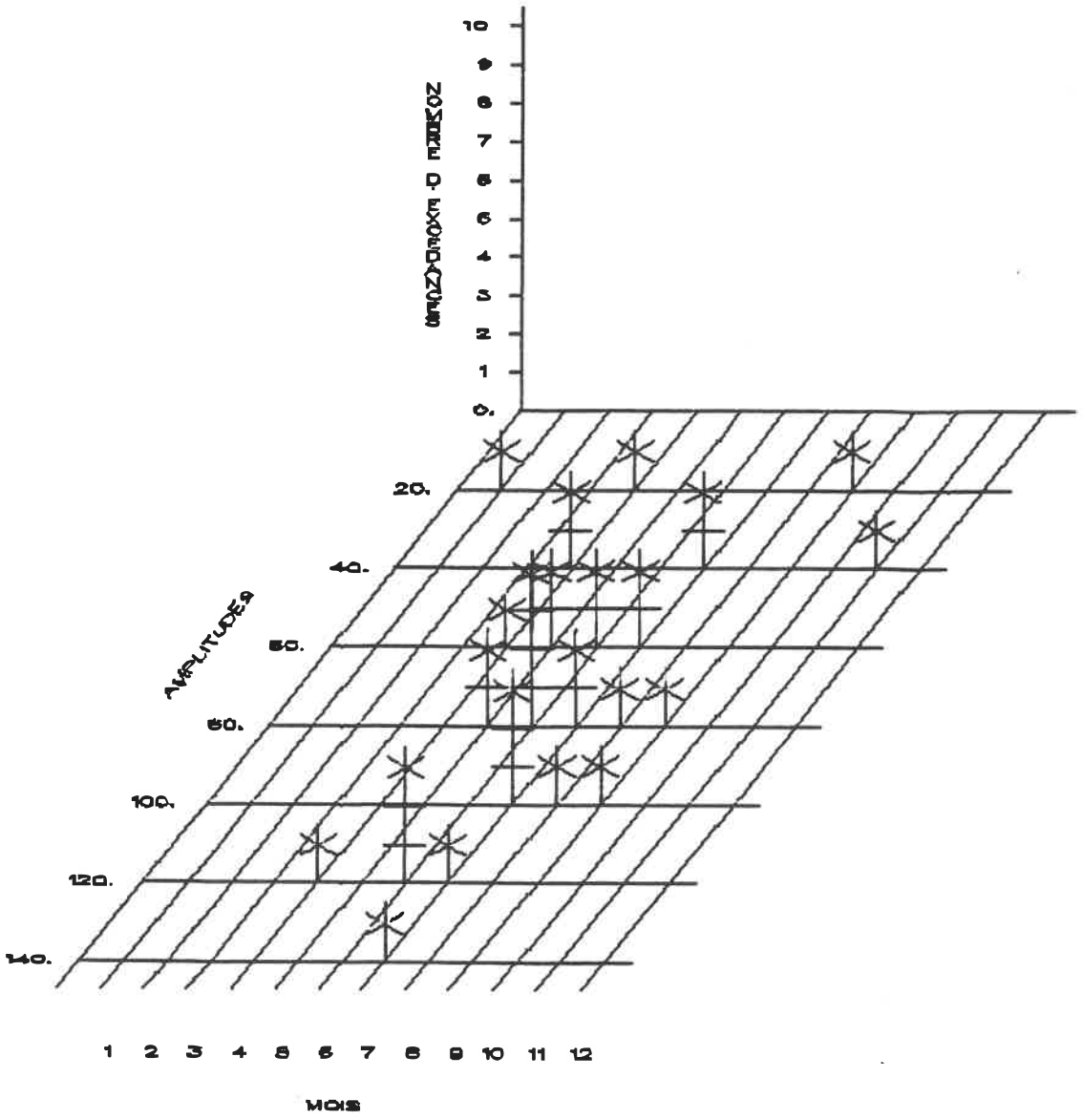



E17.a - Graphe du débit de pointe ($m^3/s$) en fonction de la précipitation cumulée (mm)

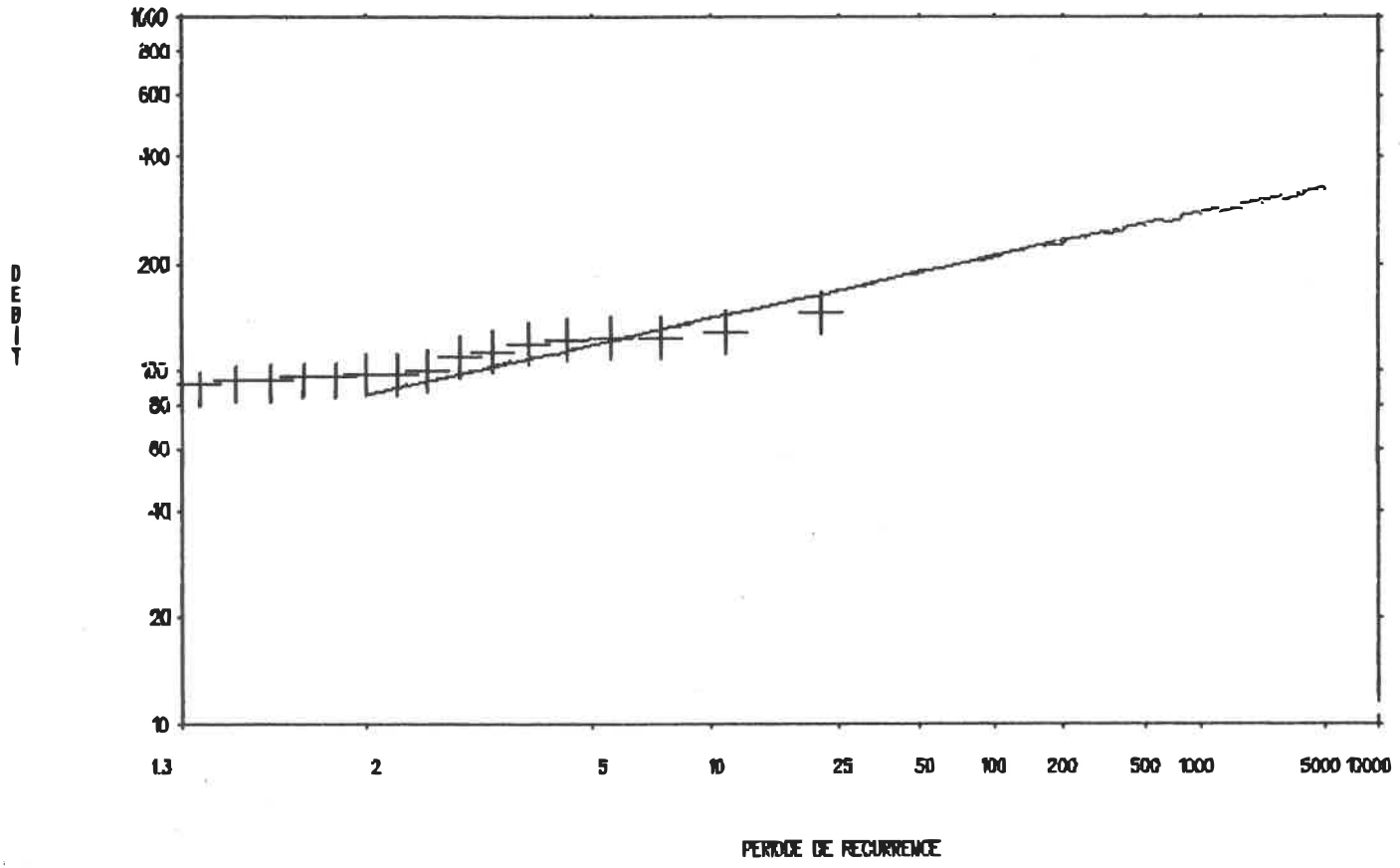



E17.b - Graphe du nombre moyen d'excédances en fonction du temps pour différents débits de base

Figure E17 - Station 07BK006



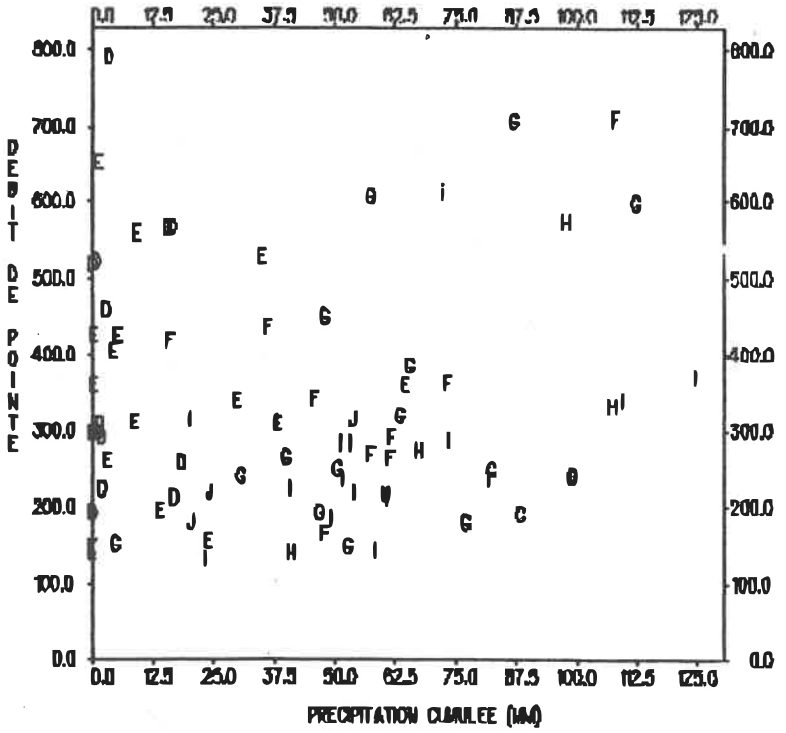

E17.c - Histogramme du nombre d'excédances en fonction de l'amplitude ($m^3/s$) et du mois

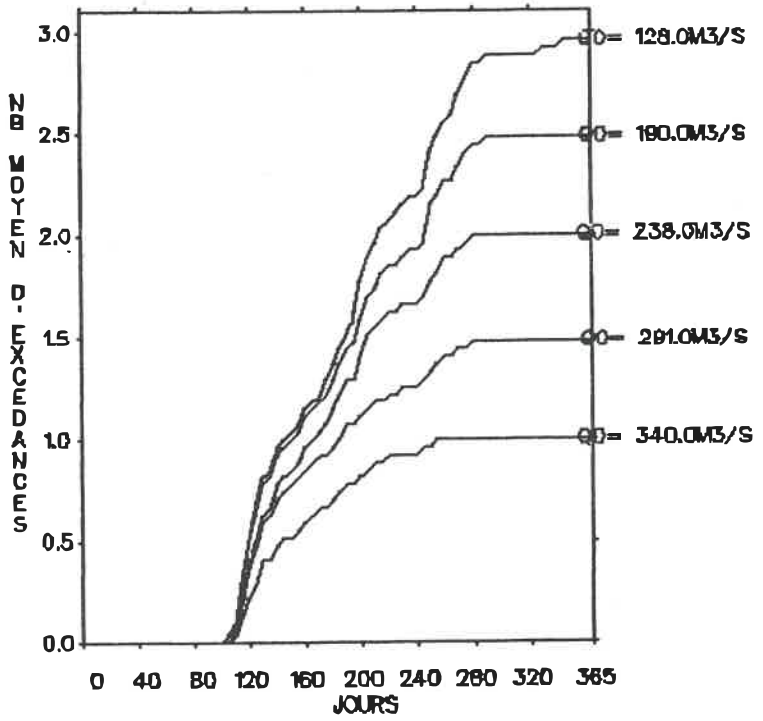



E17.d - Graphe du débit de pointe ($m^3/s$) en fonction du nombre d'années de récurrence

——— découpage en périodes homogènes

—·—· analyse annuelle

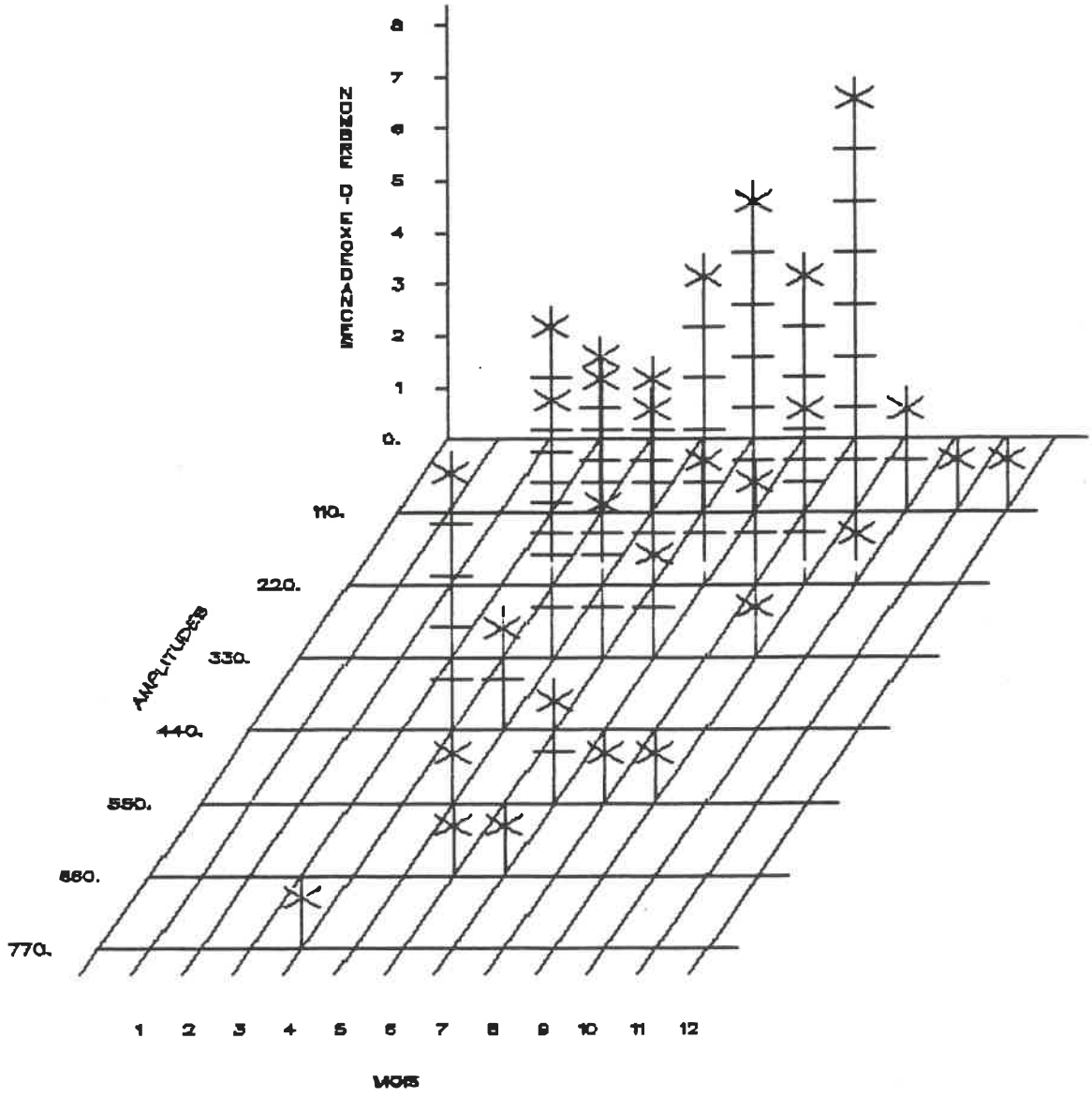


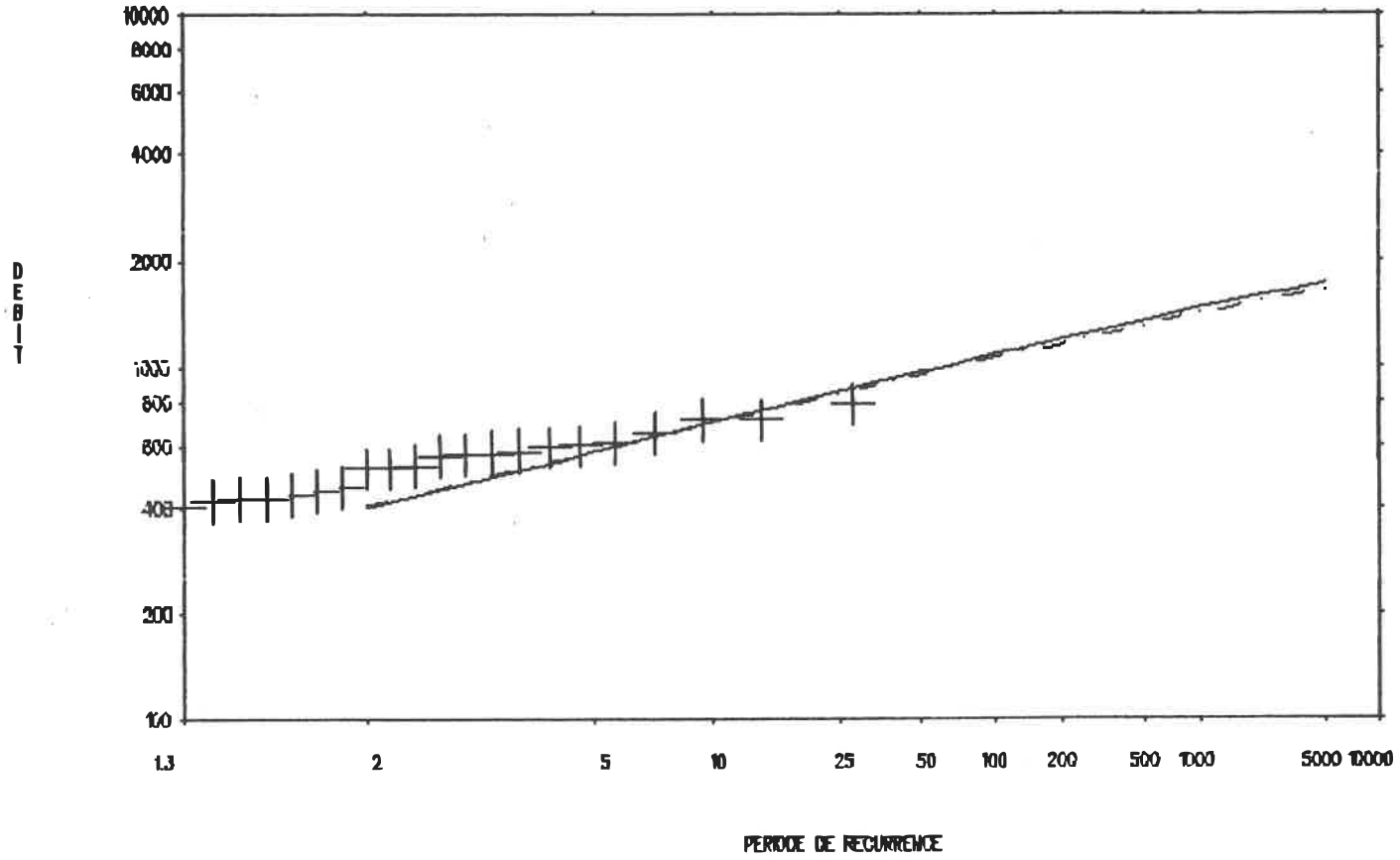

E18.a - Graphe du débit de pointe ($m^3/s$) en fonction de la précipitation cumulée (mm)

E18.b - Graphe du nombre moyen d'excédances en fonction du temps pour différents débits de base

Figure E18 - Station 07CD001



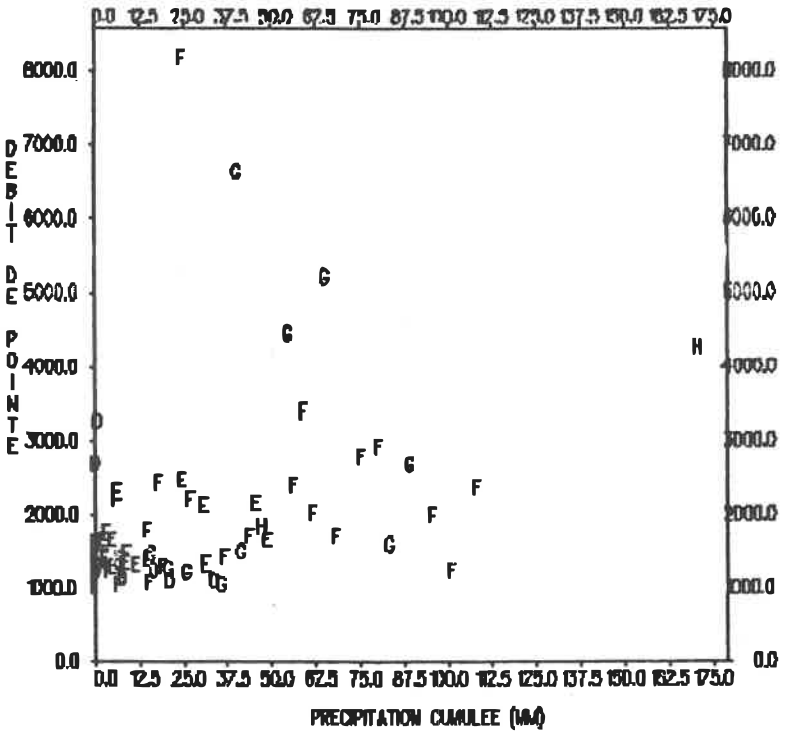

E18.c - Histogramme du nombre d'excédances en fonction de l'amplitude ($m^3/s$) et du mois

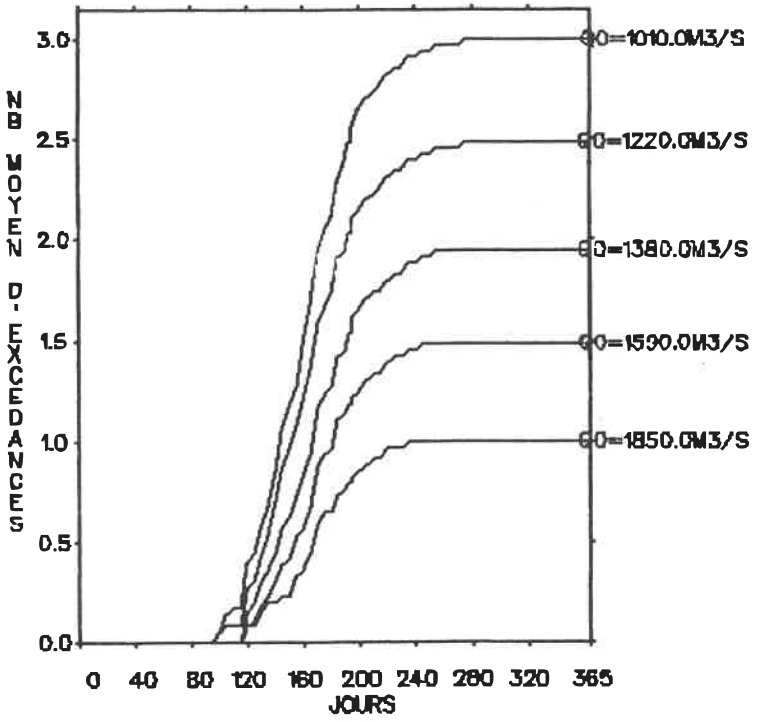



E18.d - Graphe du débit de pointe ($m^3/s$) en fonction du nombre d'années de récurrence

——— découpage en périodes homogènes

—·—· analyse annuelle

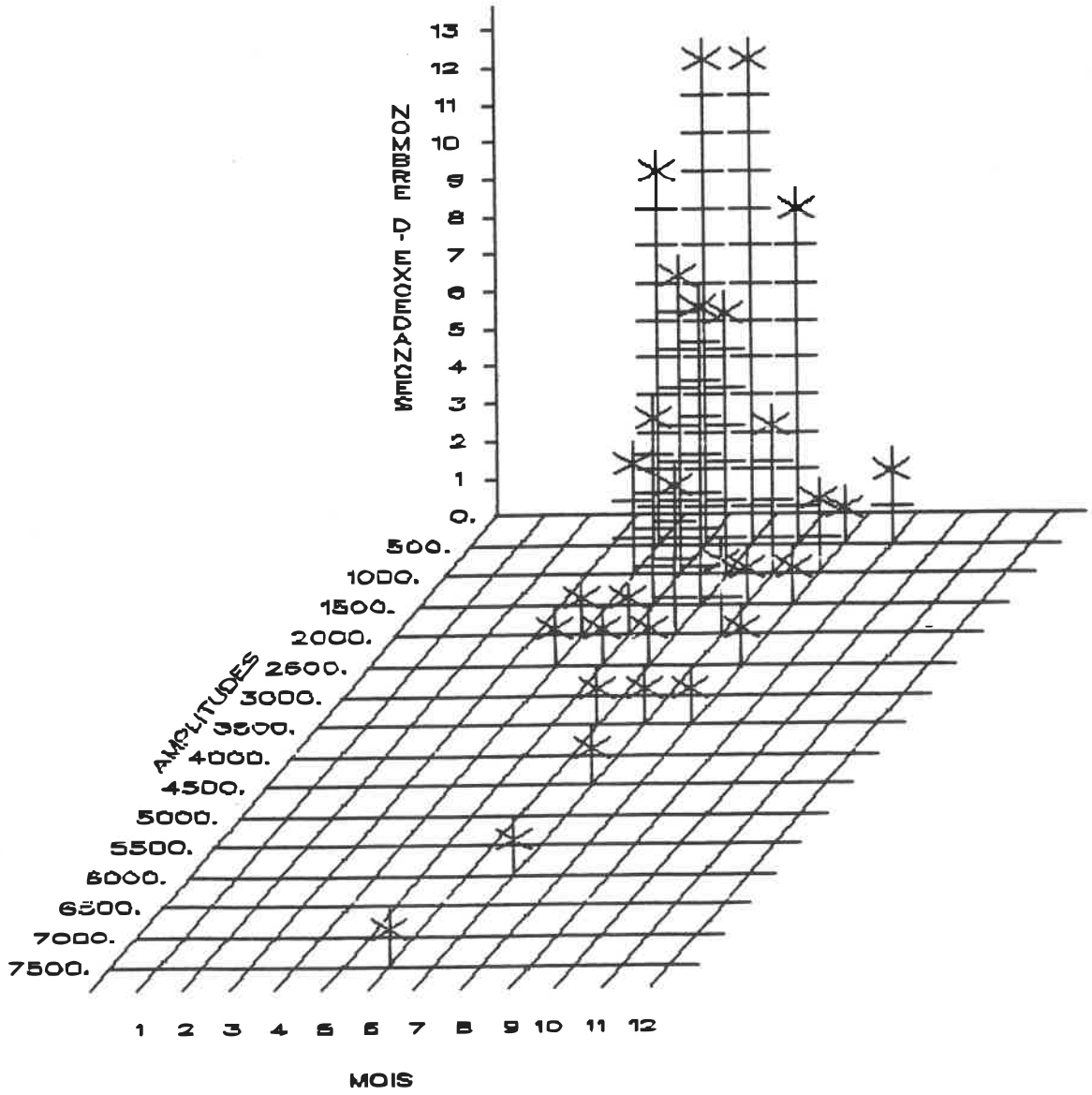


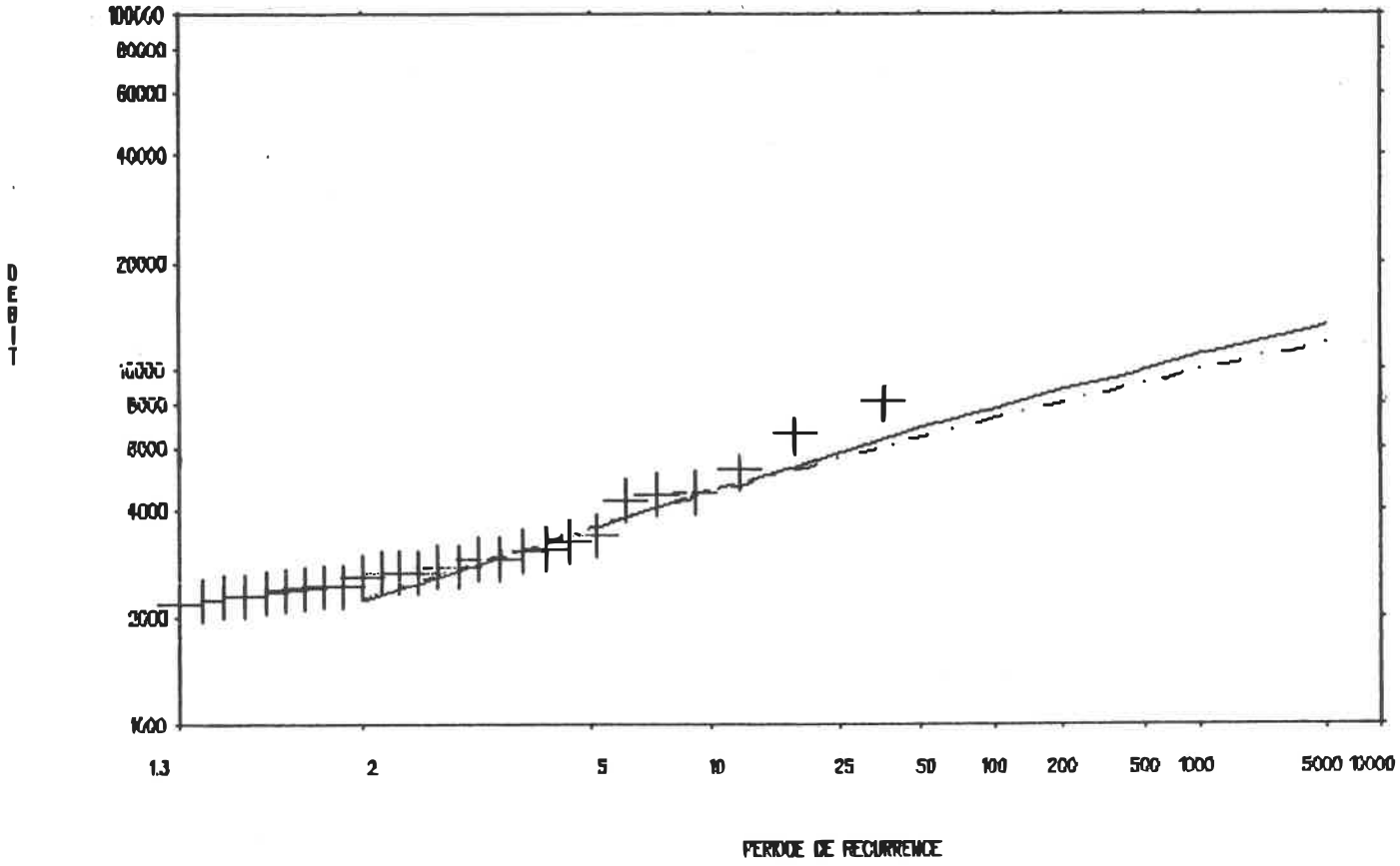

E19.a - Graphe du débit de pointe ($m^3/s$) en fonction de la précipitation cumulée (mm)

E19.b - Graphe du nombre moyen d'excédances en fonction du temps pour différents débits de base

Figure E19 - Station 07GJ001



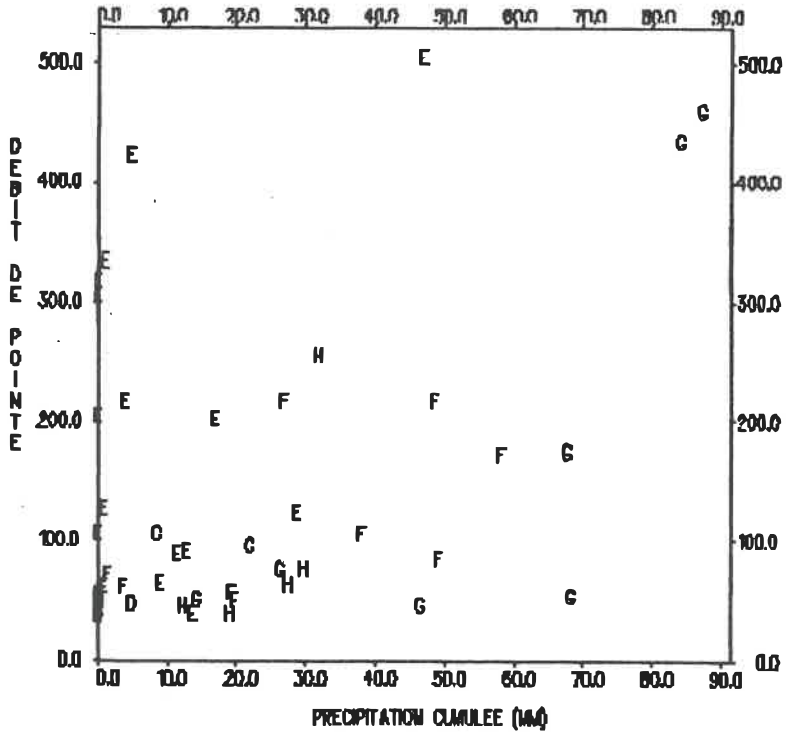

E19.c - Histogramme du nombre d'excédances en fonction de l'amplitude ($m^3/s$) et du mois



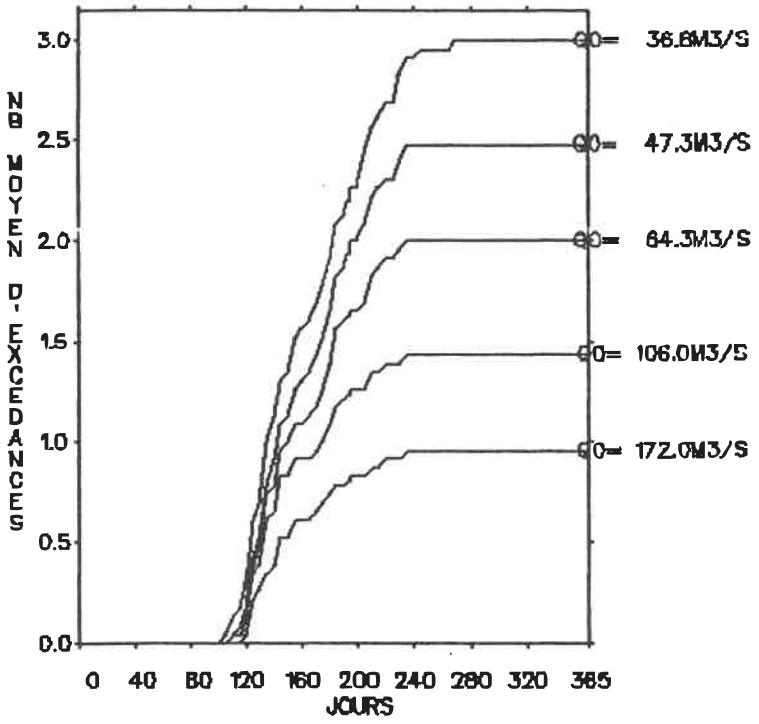

E19.d - Graphe du débit de pointe ($m^3/s$) en fonction du nombre d'années de récurrence

—— découpage en périodes homogènes

—·—· analyse annuelle

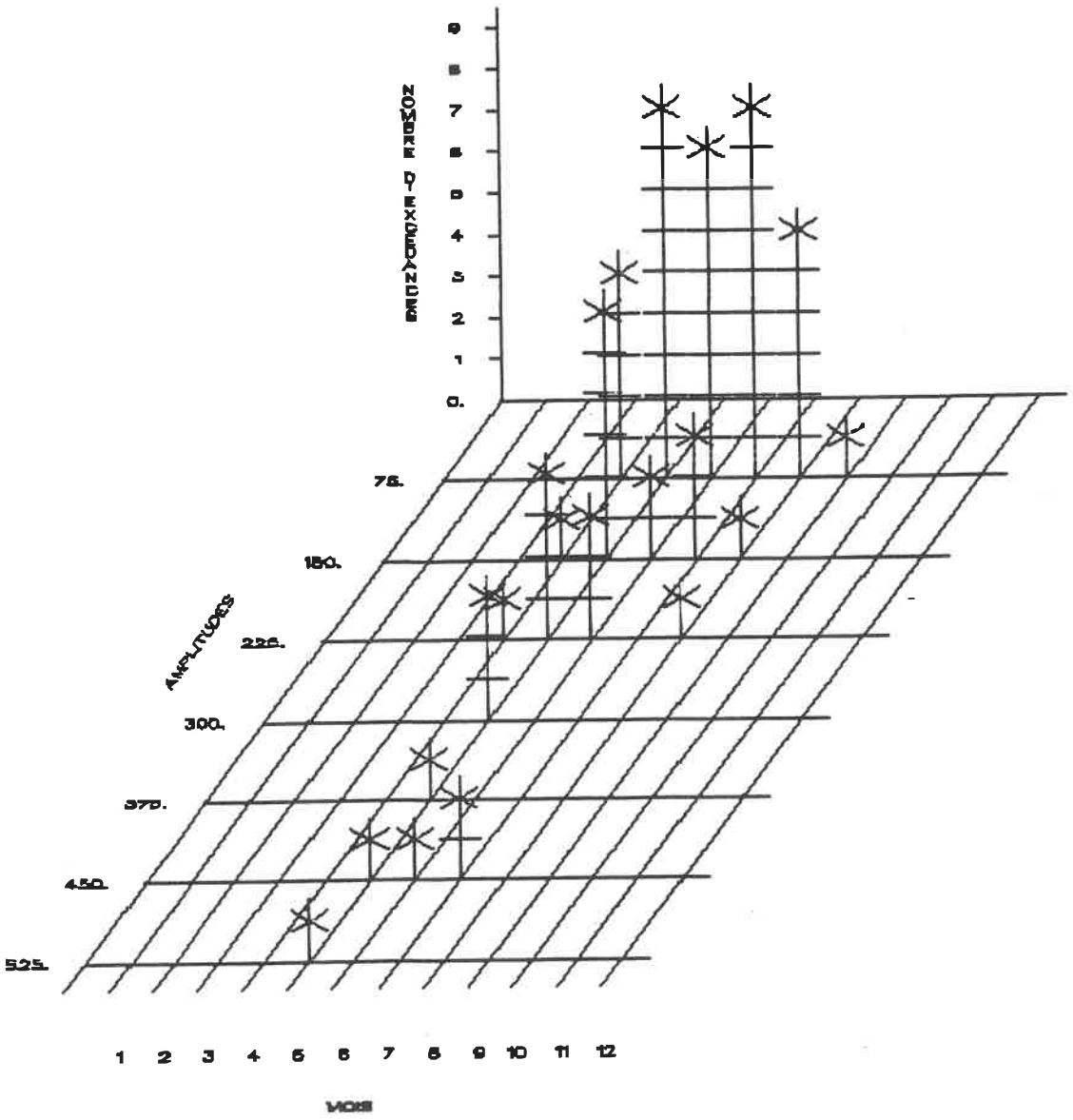



E20.a - Graphe du débit de pointe ($m^3/s$) en fonction de la précipitation cumulée (mm)

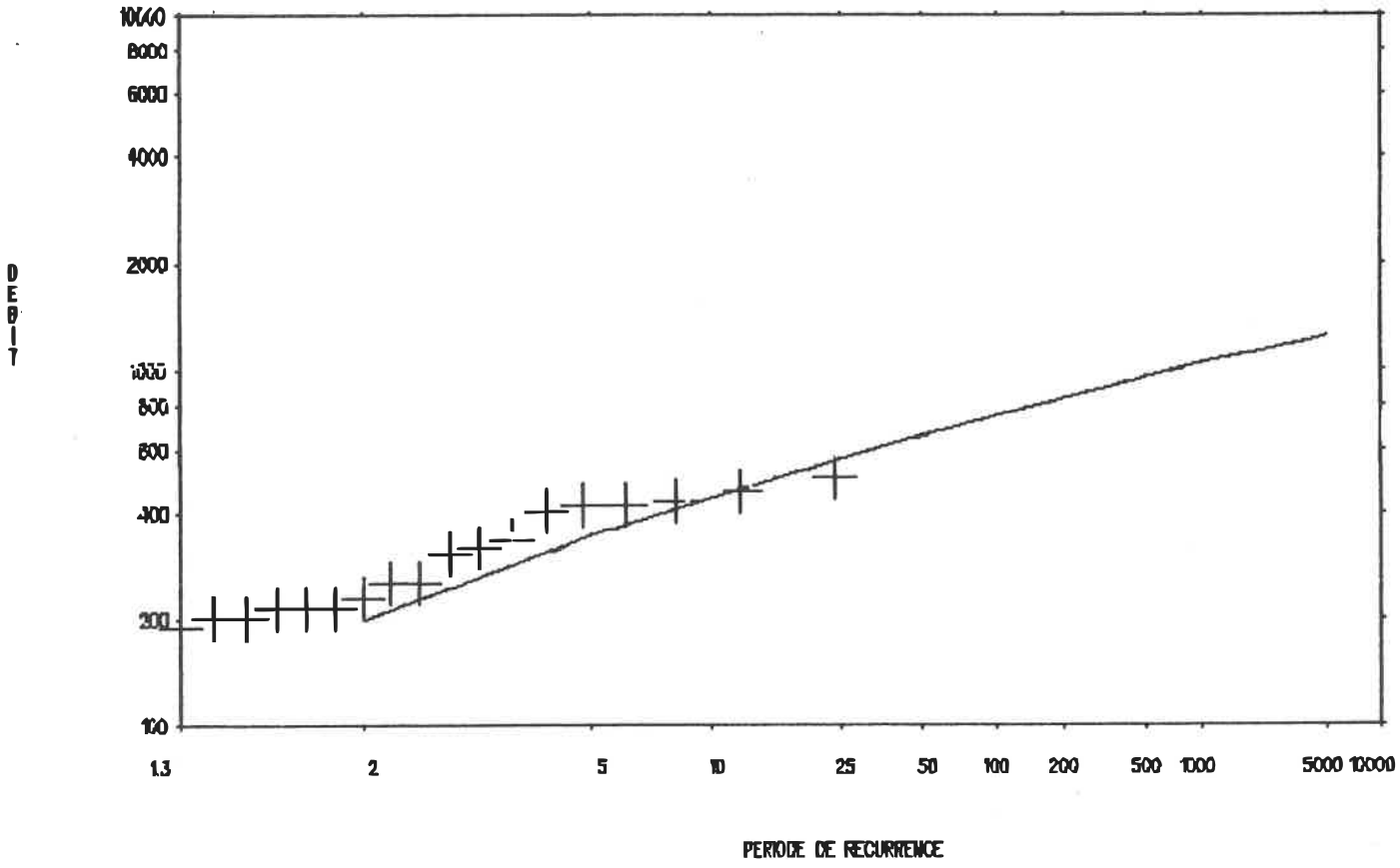



E20.b - Graphe du nombre moyen d'excédances en fonction du temps pour différents débits de base

Figure E20 - Station 07HC001



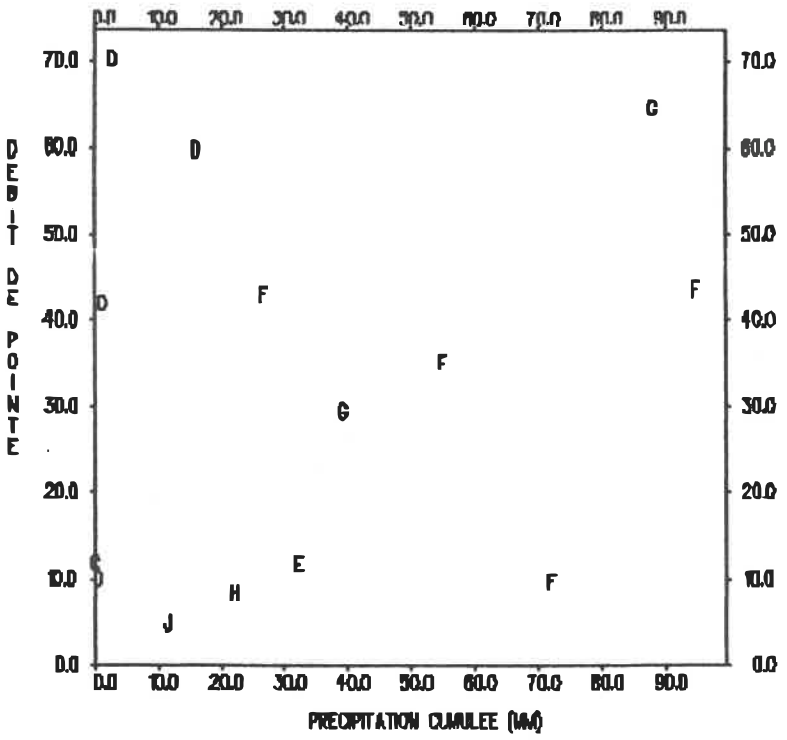

E20.c - Histogramme du nombre d'excédances en fonction de l'amplitude ($m^3/s$) et du mois



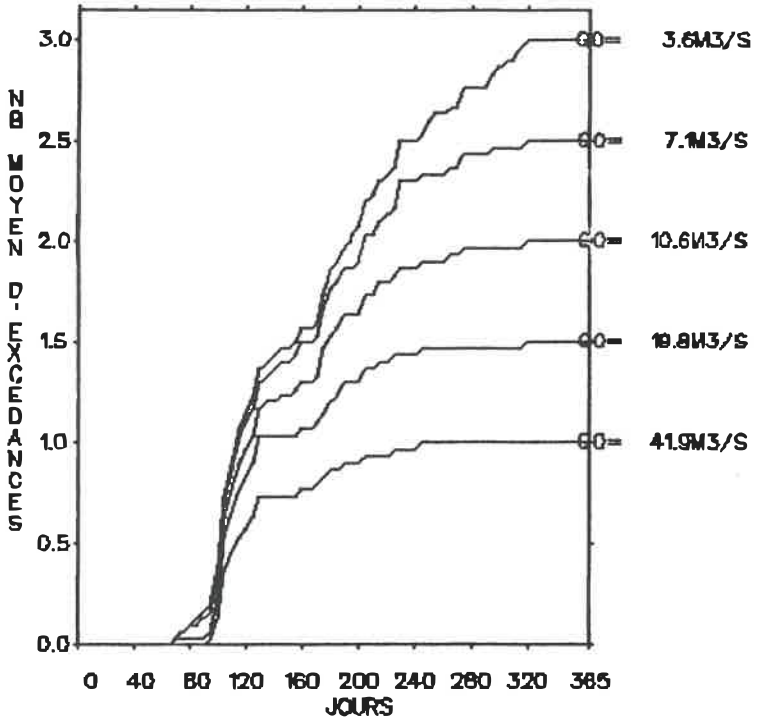

E20.d - Graphe du débit de pointe ($m^3/s$) en fonction du nombre d'années de récurrence

——— découpage en périodes homogènes

—·—· analyse annuelle

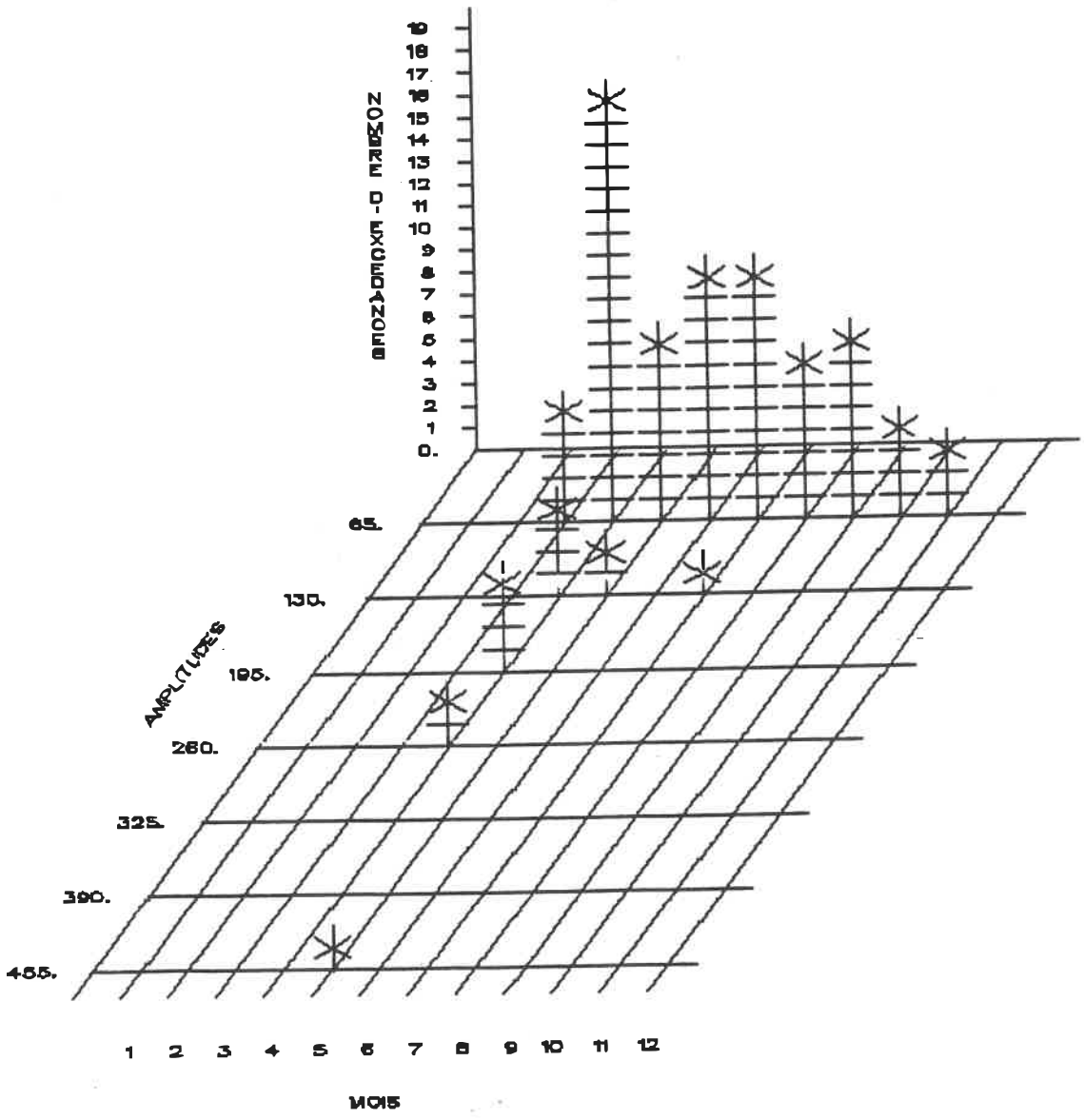



E21.a - Graphe du débit de pointe ($m^3/s$) en fonction de la précipitation cumulée (mm)

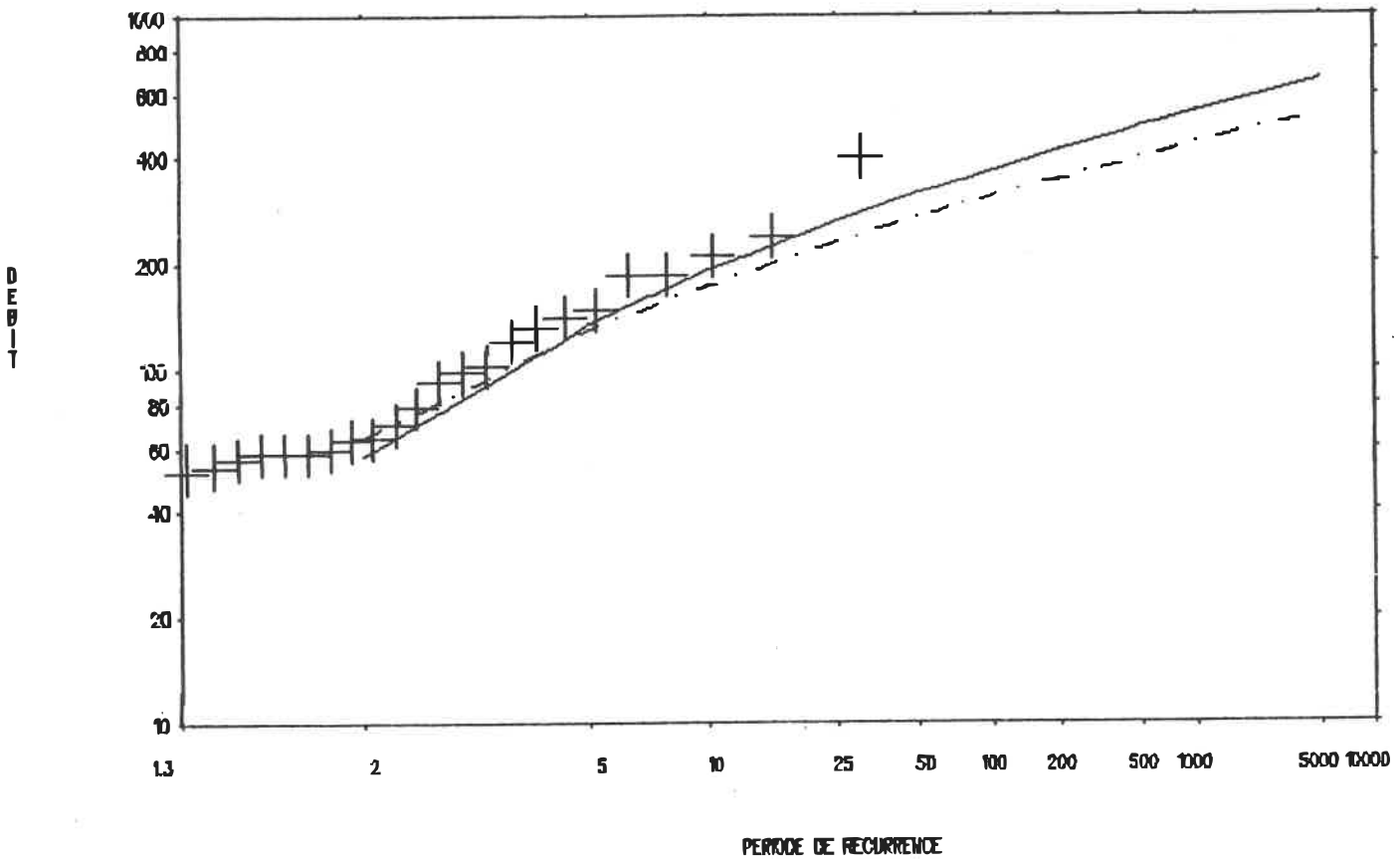



E21.b - Graphe du nombre moyen d'excédances en fonction du temps pour différents débits de base

Figure E21 - Station 05FE001



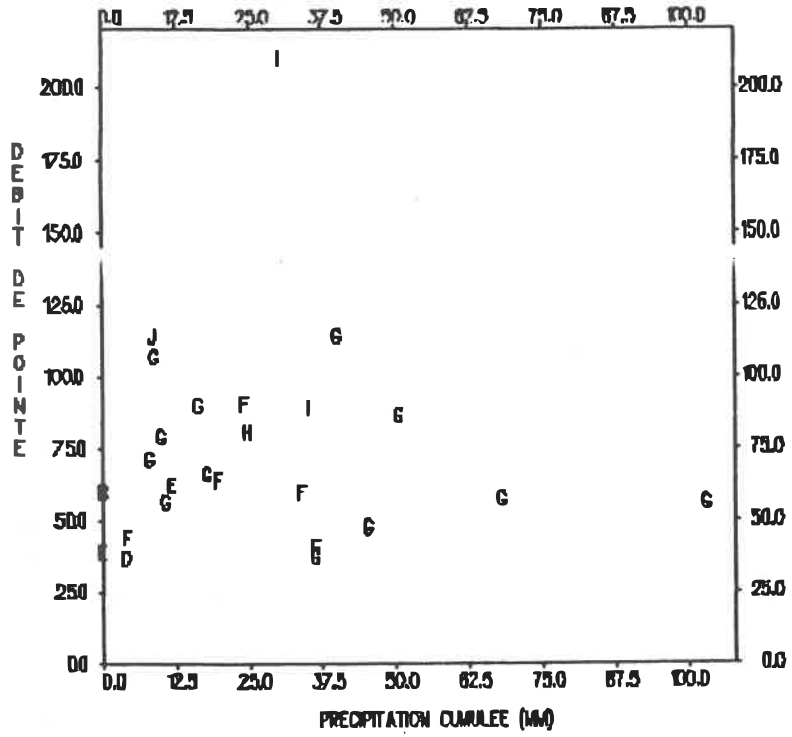

E21.c - Histogramme du nombre d'excédances en fonction de l'amplitude ($m^3/s$) et du mois



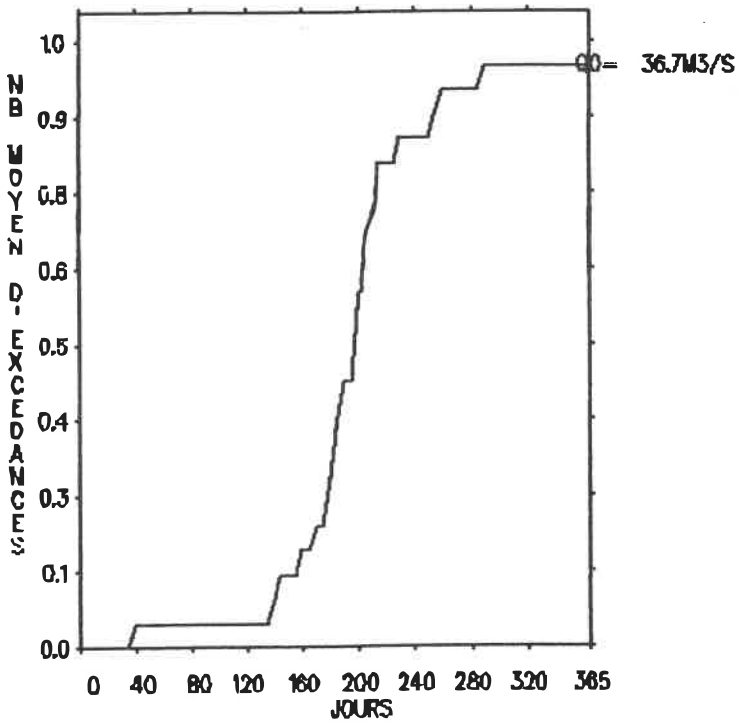

E21.d - Graphe du débit de pointe ($m^3/s$) en fonction du nombre d'années de récurrence

—— découpage en périodes homogènes

—·—· analyse annuelle

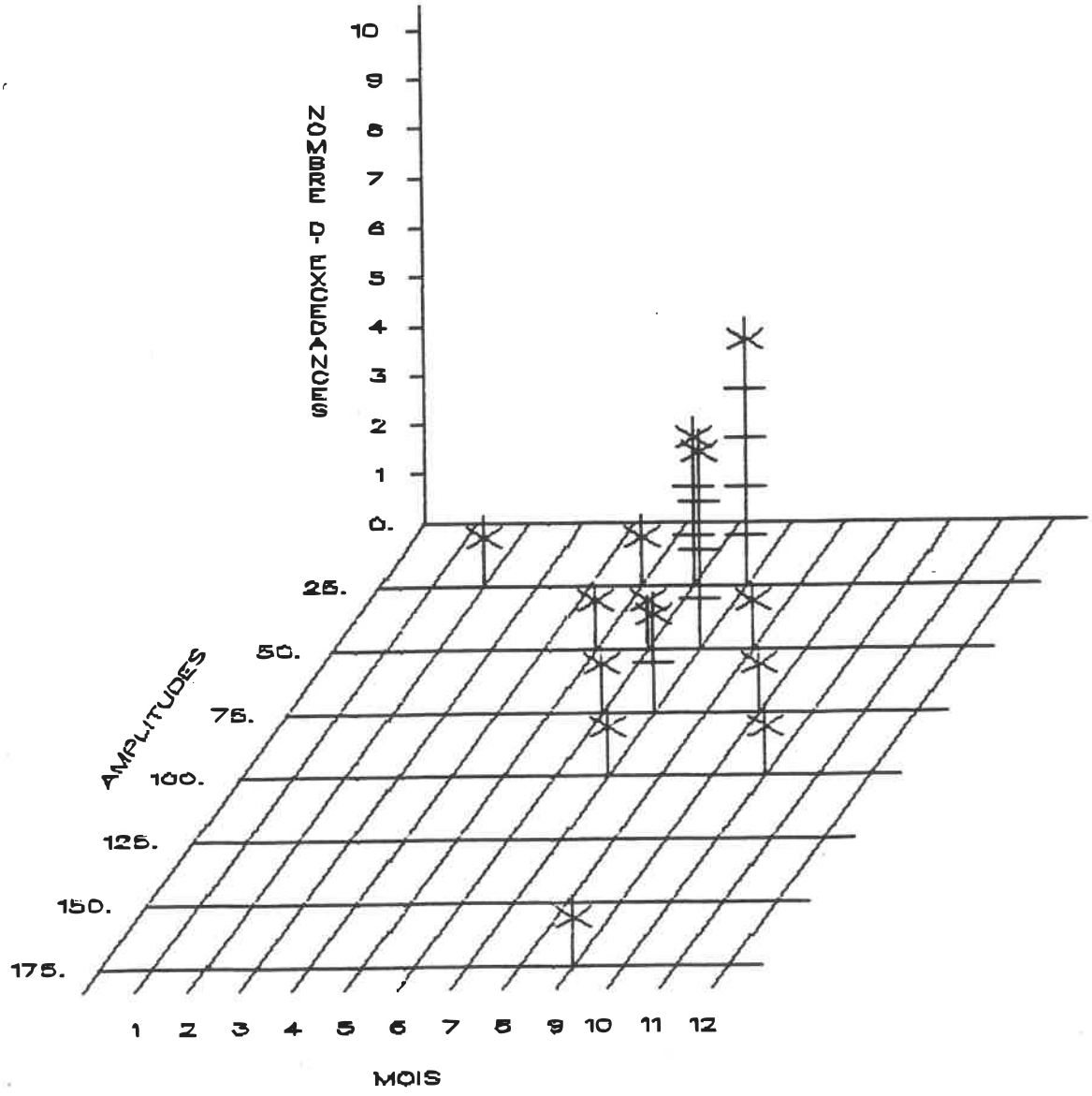



E22.a - Graphe du débit de pointe ($m^3/s$) en fonction de la précipitation cumulée (mm)

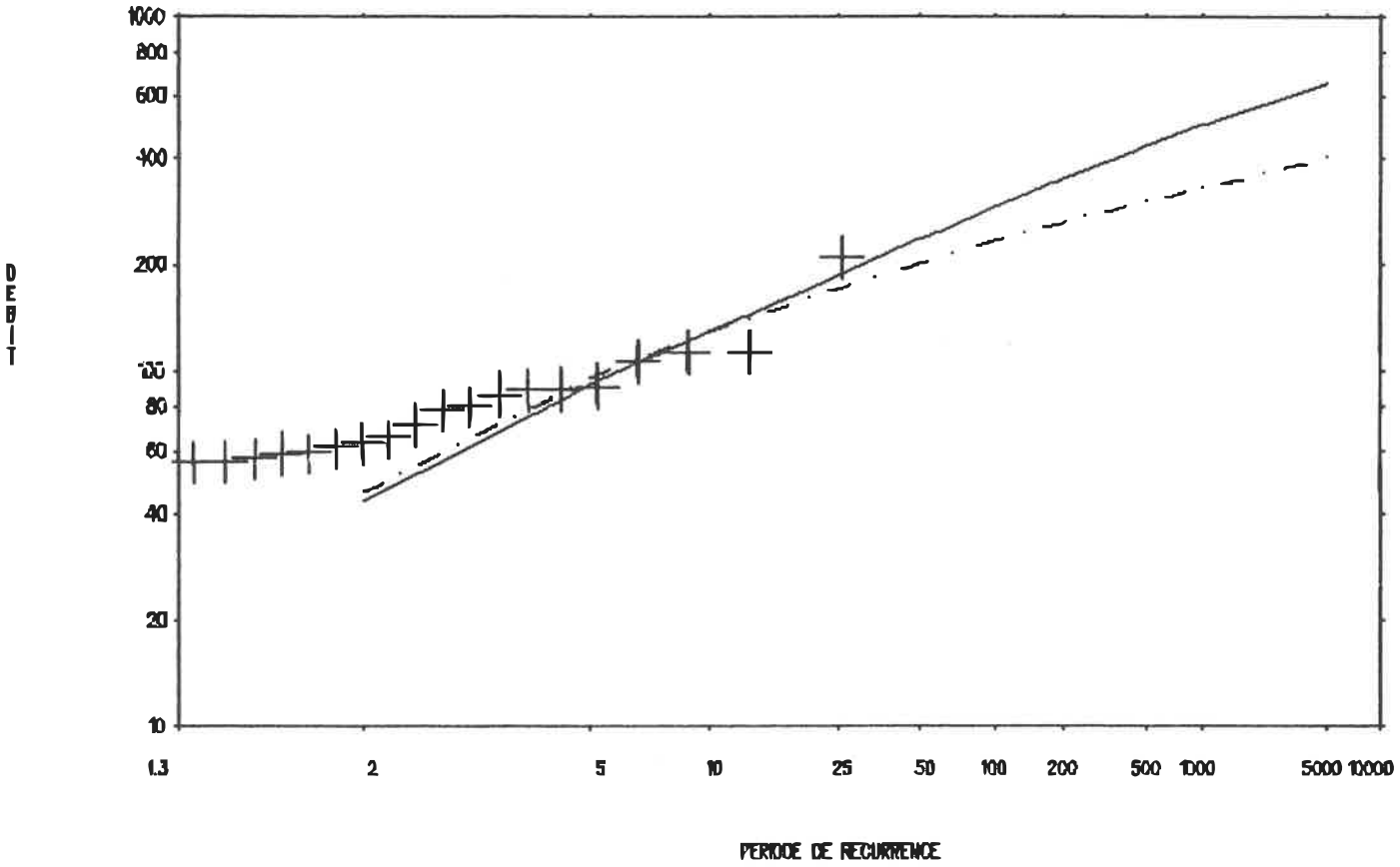



E22.b - Graphe du nombre moyen d'excédances en fonction du temps pour différents débits de base

Figure E22 - Station 05KG002



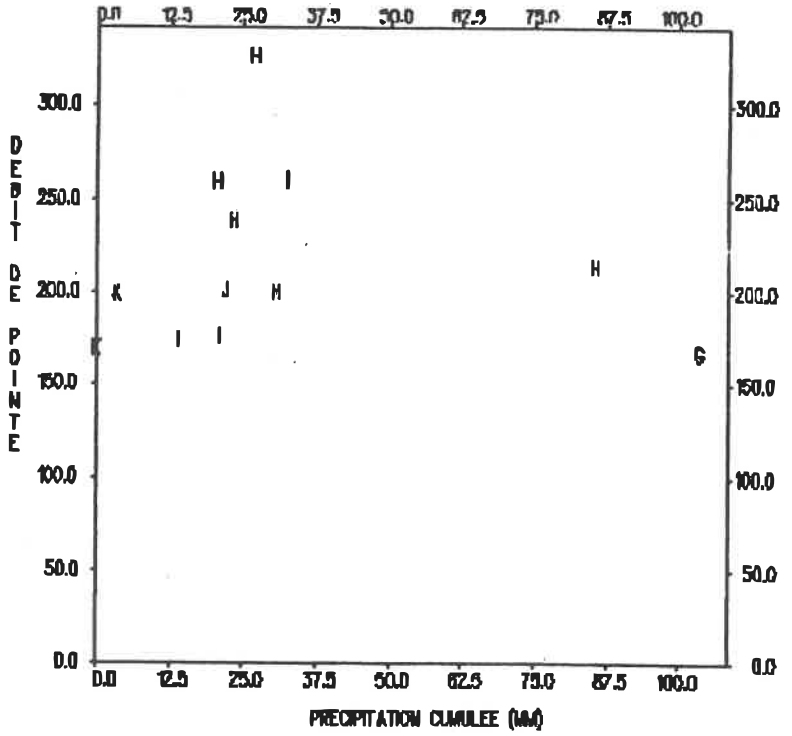

E22.c - Histogramme du nombre d'excédances en fonction de l'amplitude ($m^3/s$) et du mois



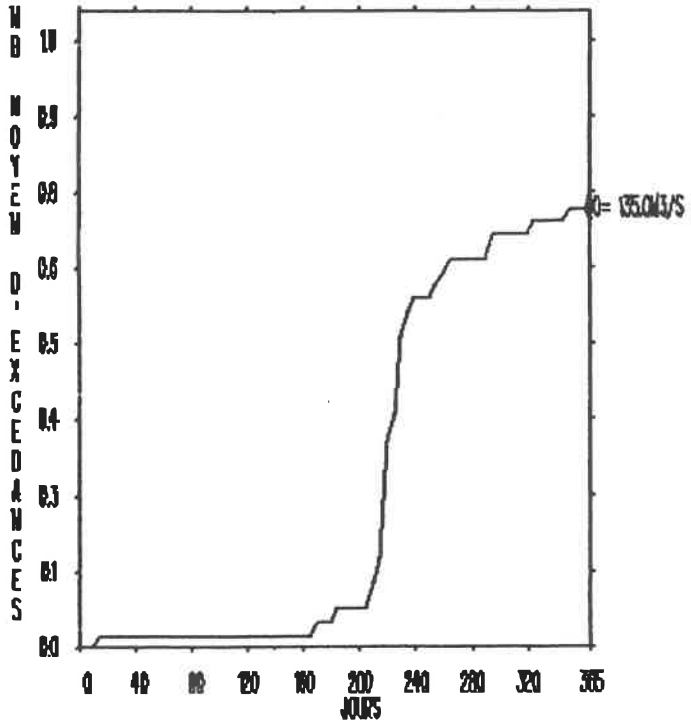

E22.d - Graphe du débit de pointe ($m^3/s$) en fonction du nombre d'années de récurrence

—— découpage en périodes homogènes

—·—· analyse annuelle

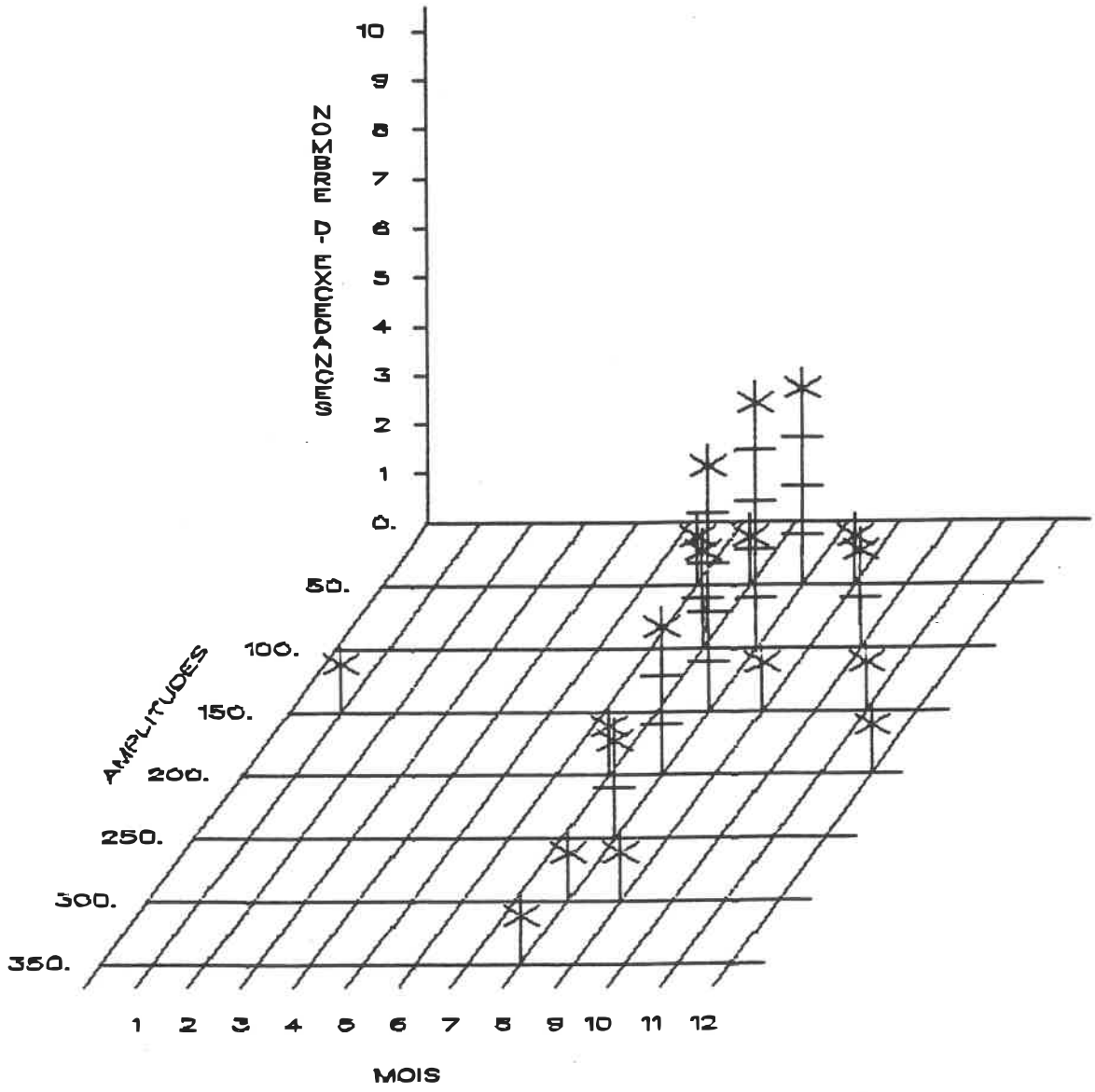



E23.a - Graphe du débit de pointe ($m^3/s$) en fonction de la précipitation cumulée (mm)

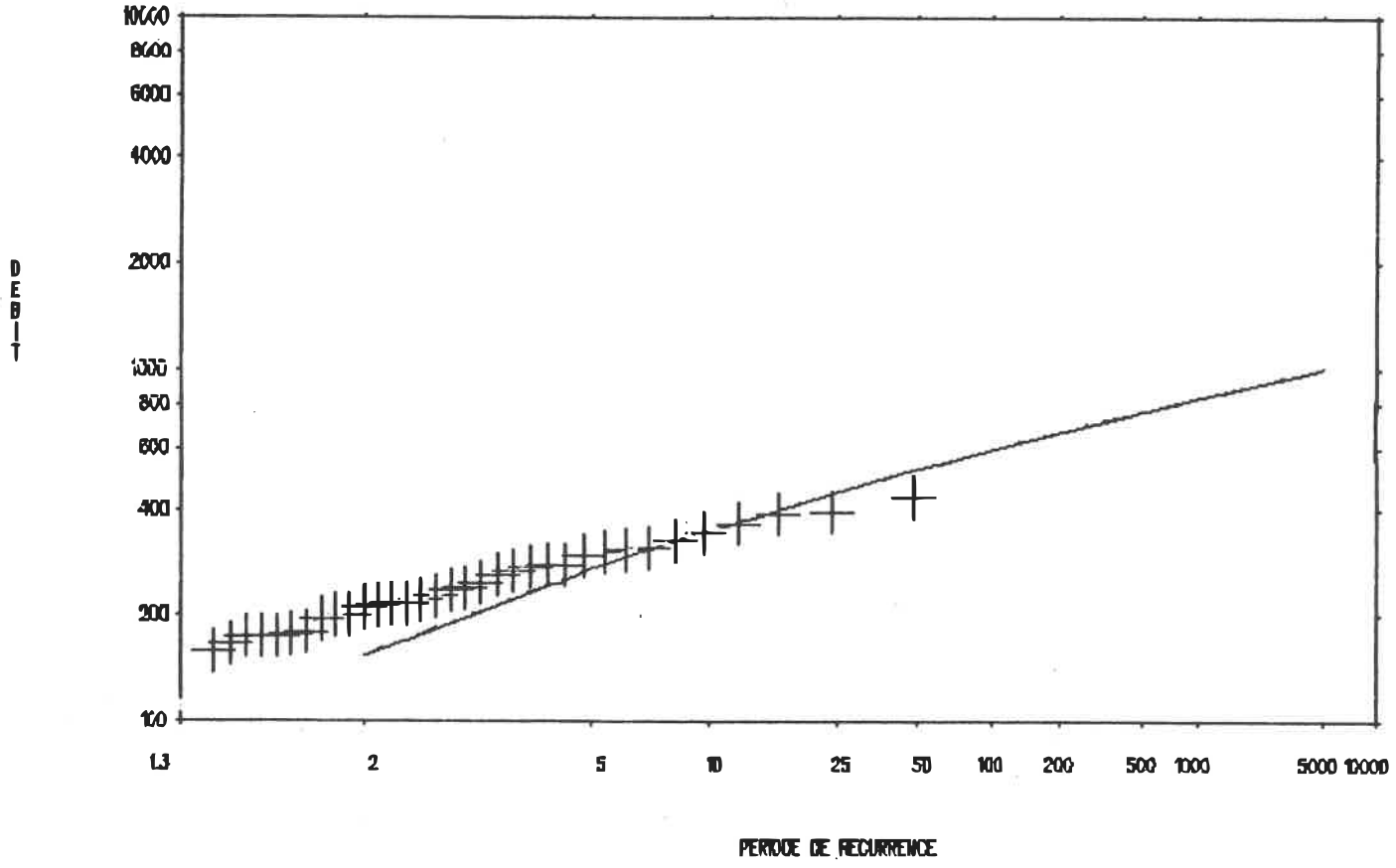



E23.b - Graphe du nombre moyen d'excédances en fonction du temps pour différents débits de base

Figure E23 - Station 04AC005



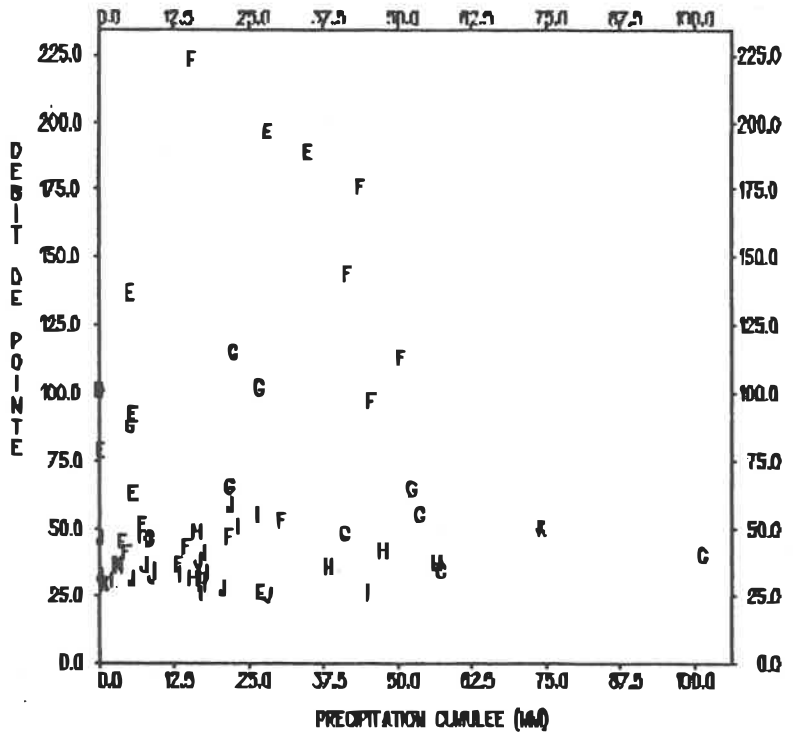

E23.c - Histogramme du nombre d'excédances en fonction de l'amplitude ($m^3/s$) et du mois



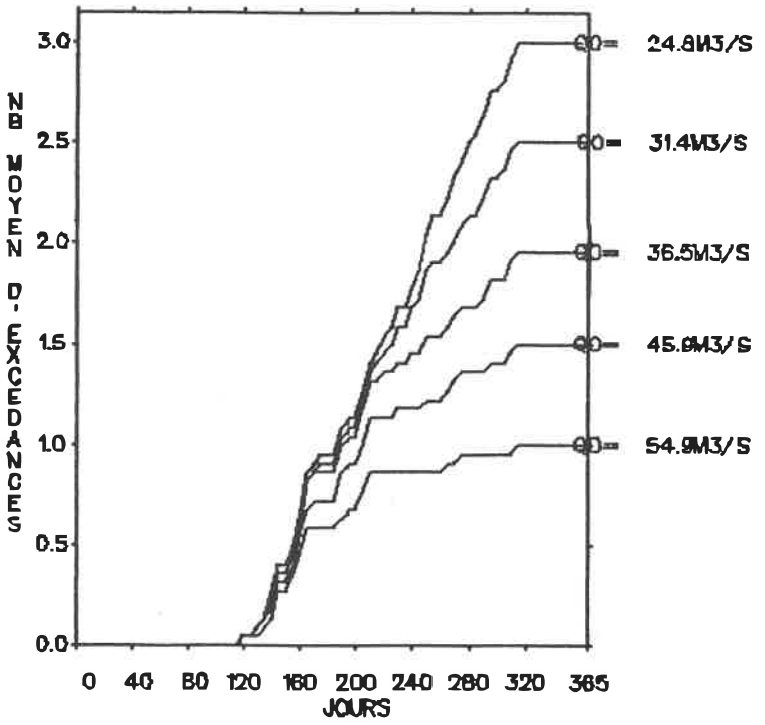

E23.d - Graphe du débit de pointe ($m^3/s$) en fonction du nombre d'années de récurrence

——— découpage en périodes homogènes

—·—· analyse annuelle

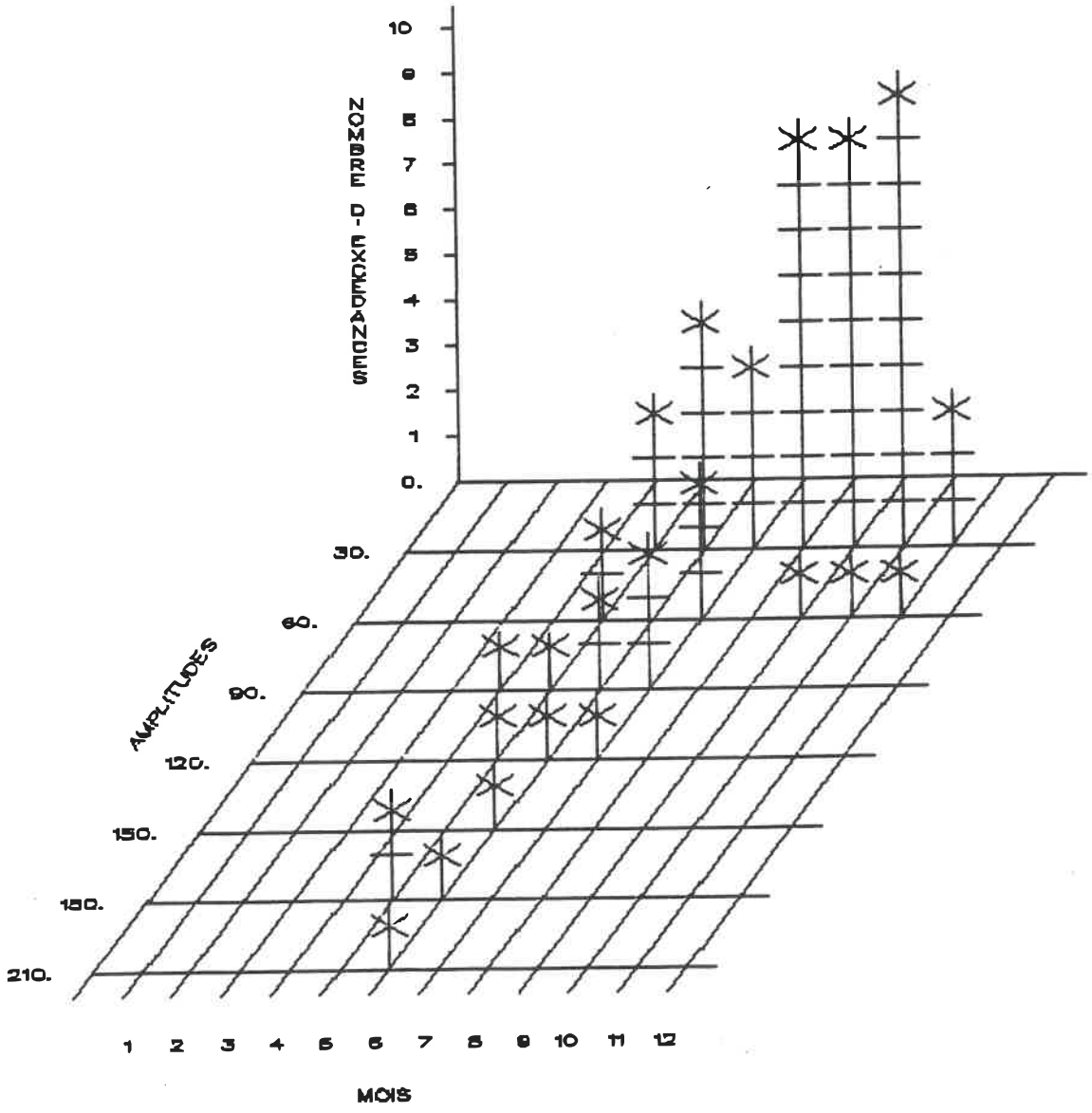



E24.a - Graphe du débit de pointe ($m^3/s$) en fonction de la précipitation cumulée (mm)

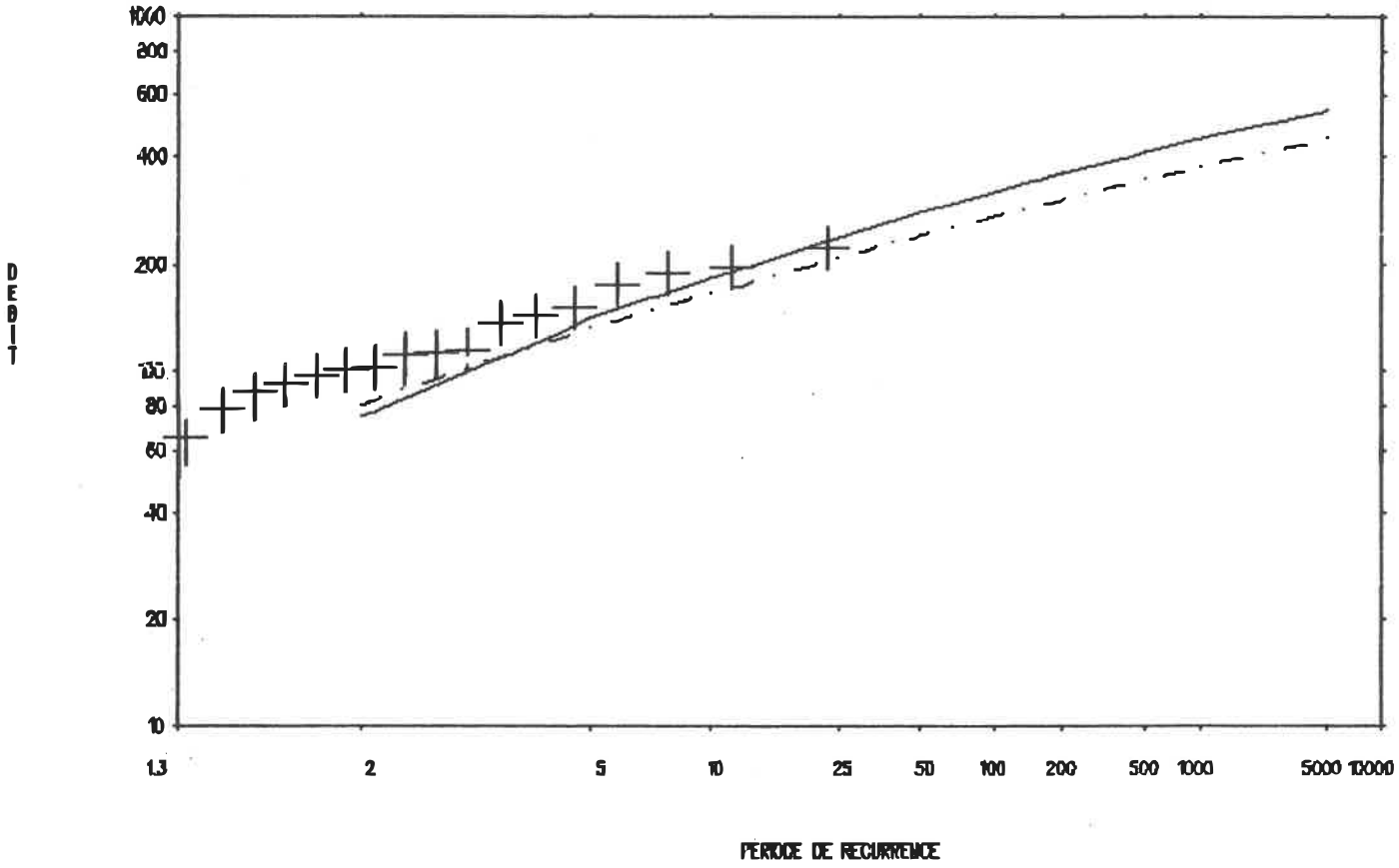



E24.b - Graphe du nombre moyen d'excédances en fonction du temps pour différents débits de base

Figure E24 - Station 05LC004



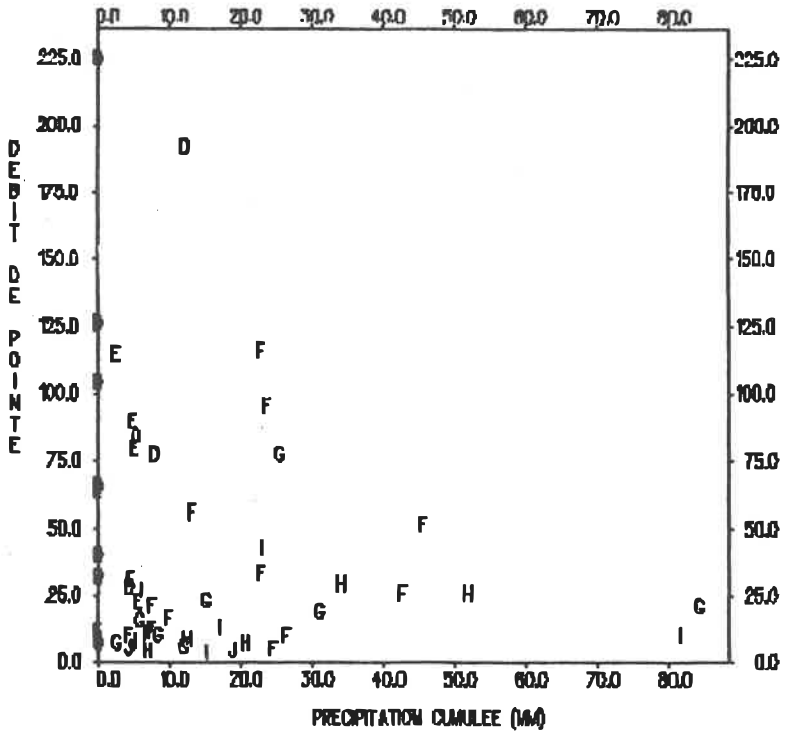

E24.c - Histogramme du nombre d'excédances en fonction de l'amplitude ($m^3/s$) et du mois

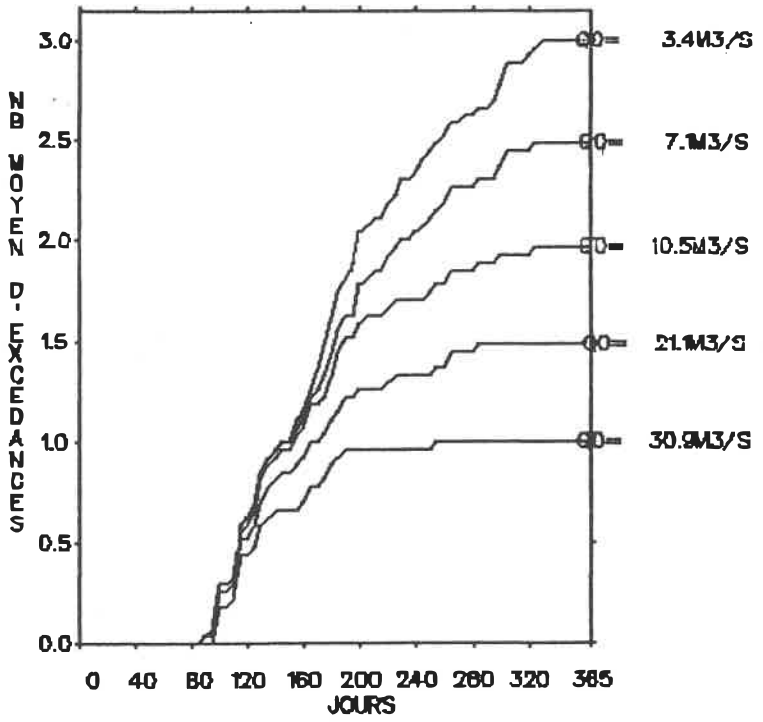



E24.d - Graphe du débit de pointe ($m^3/s$) en fonction du nombre d'années de récurrence

——— découpage en périodes homogènes

—·—· analyse annuelle

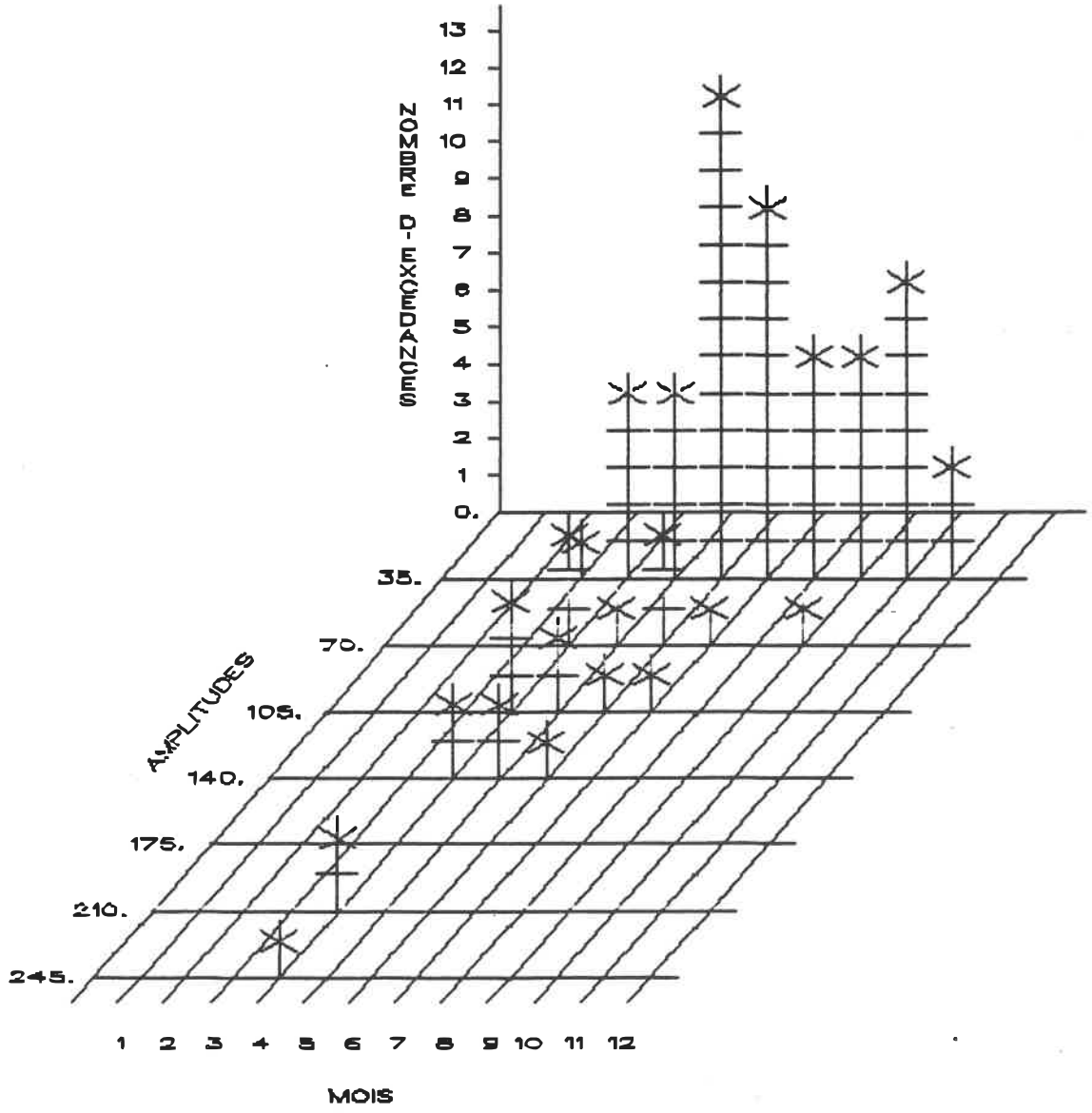


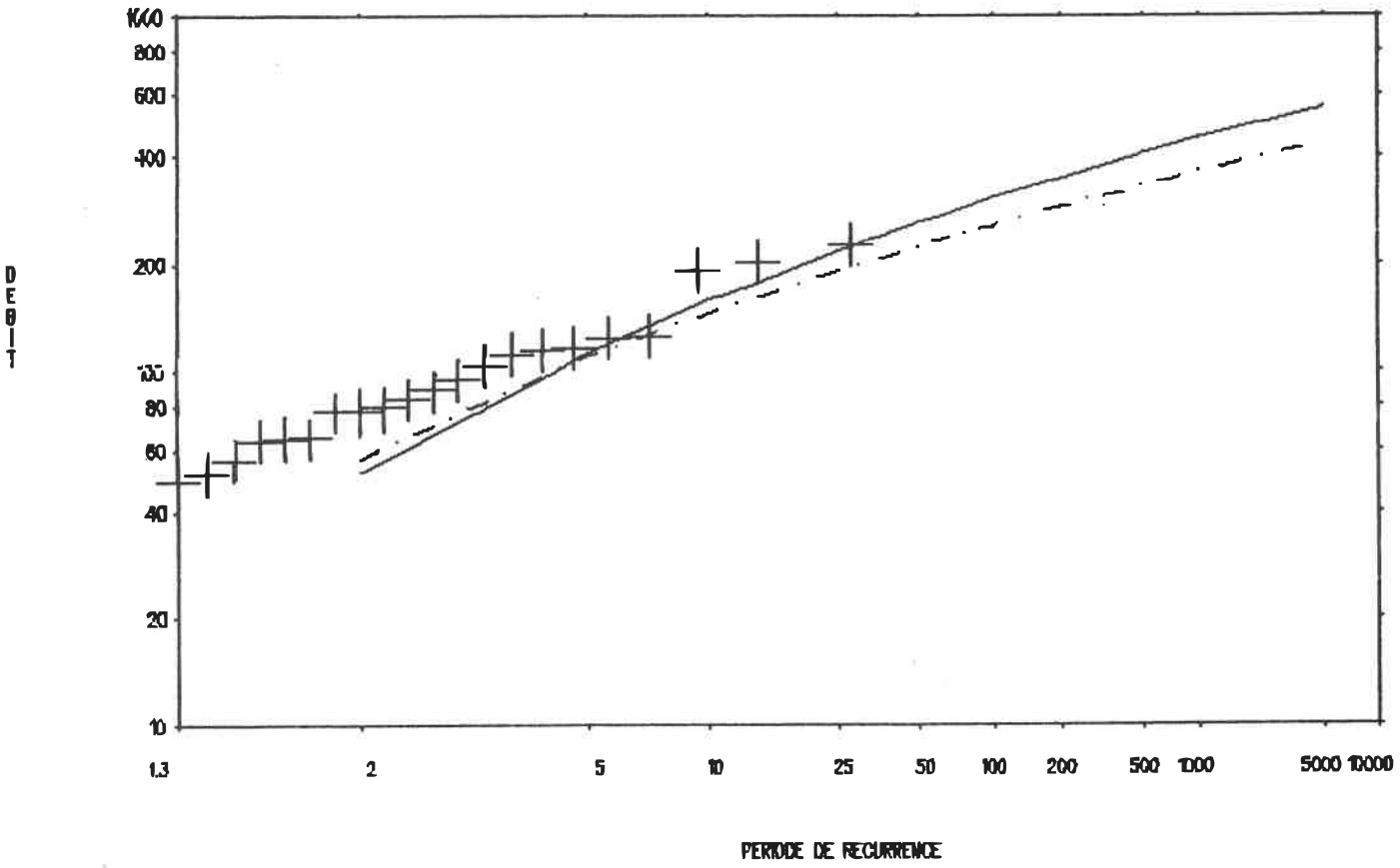

E25.a - Graphe du débit de pointe ($m^3/s$) en fonction de la précipitation cumulée (mm)

E25.b - Graphe du nombre moyen d'excédances en fonction du temps pour différents débits de base

Figure E25 - Station 05LE001



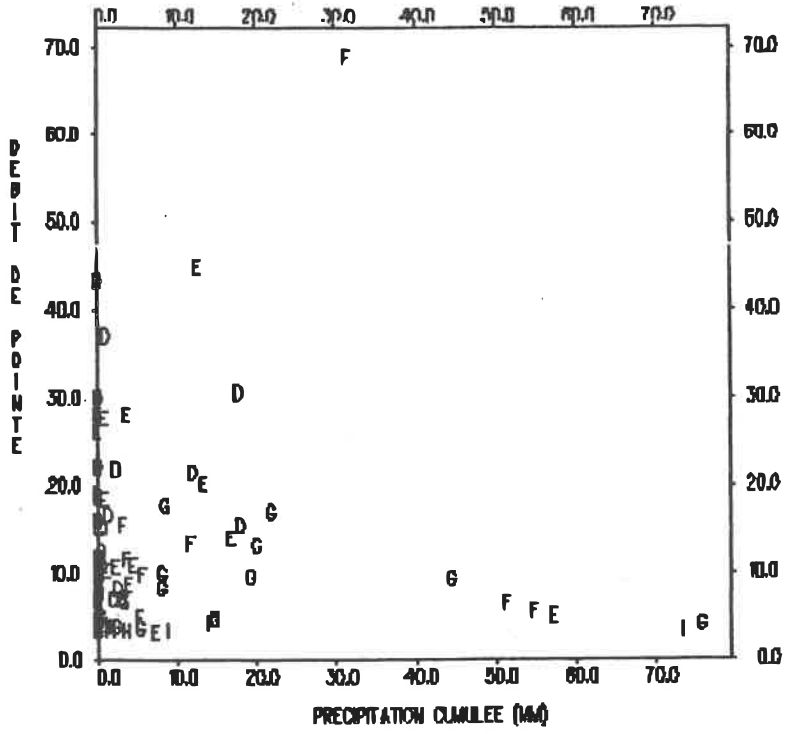

E25.c - Histogramme du nombre d'excédances en fonction de l'amplitude ($m^3/s$) et du mois



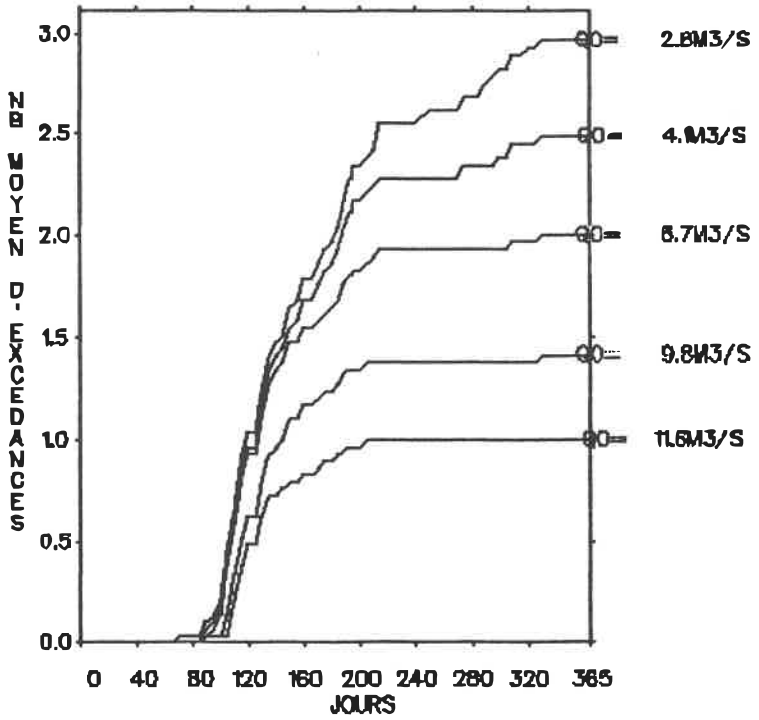

E25.d - Graphe du débit de pointe ($m^3/s$) en fonction du nombre d'années de récurrence

——— découpage en périodes homogènes

—·—· analyse annuelle

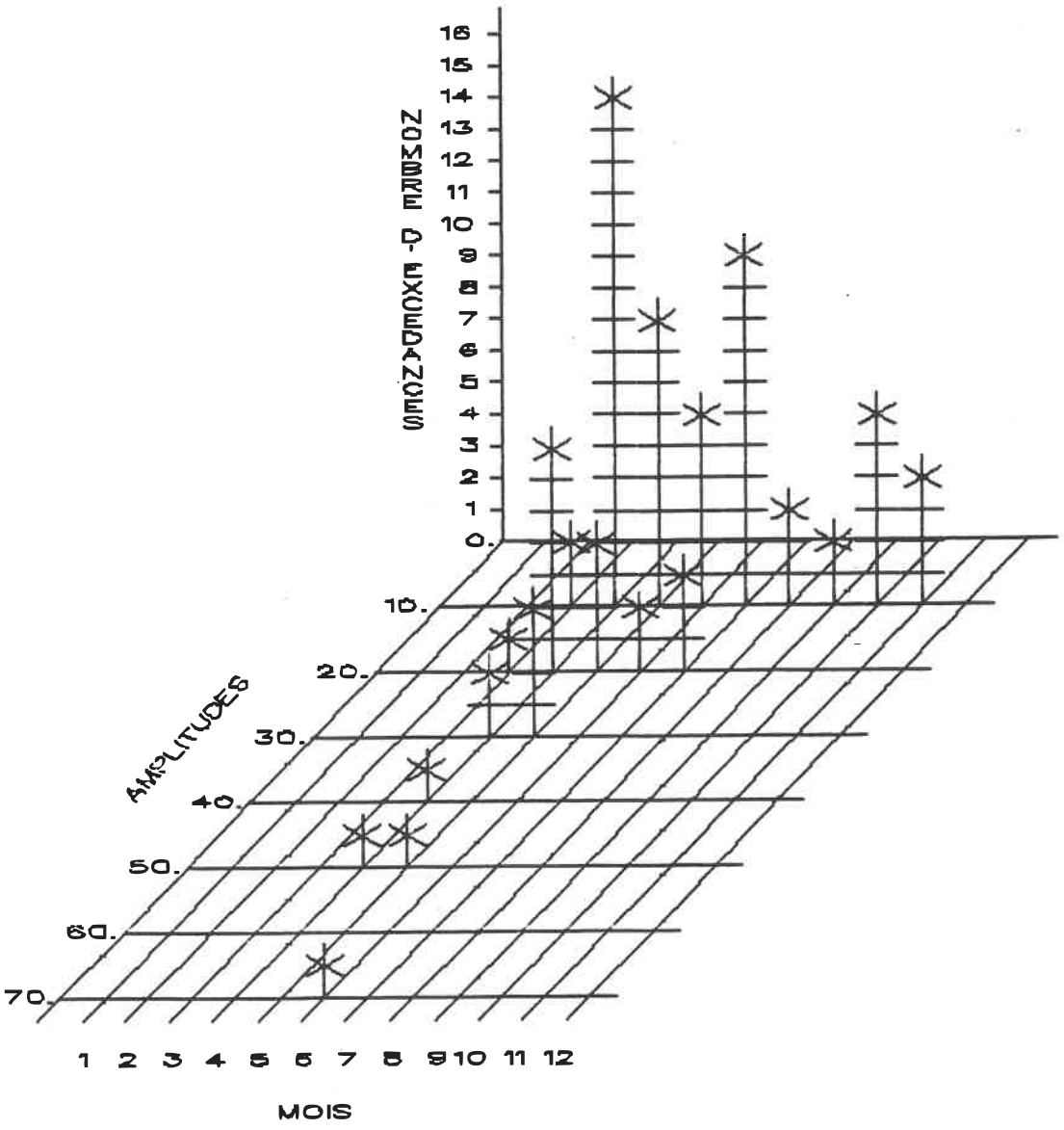



E26.a - Graphe du débit de pointe ($m^3/s$) en fonction de la précipitation cumulée (mm)

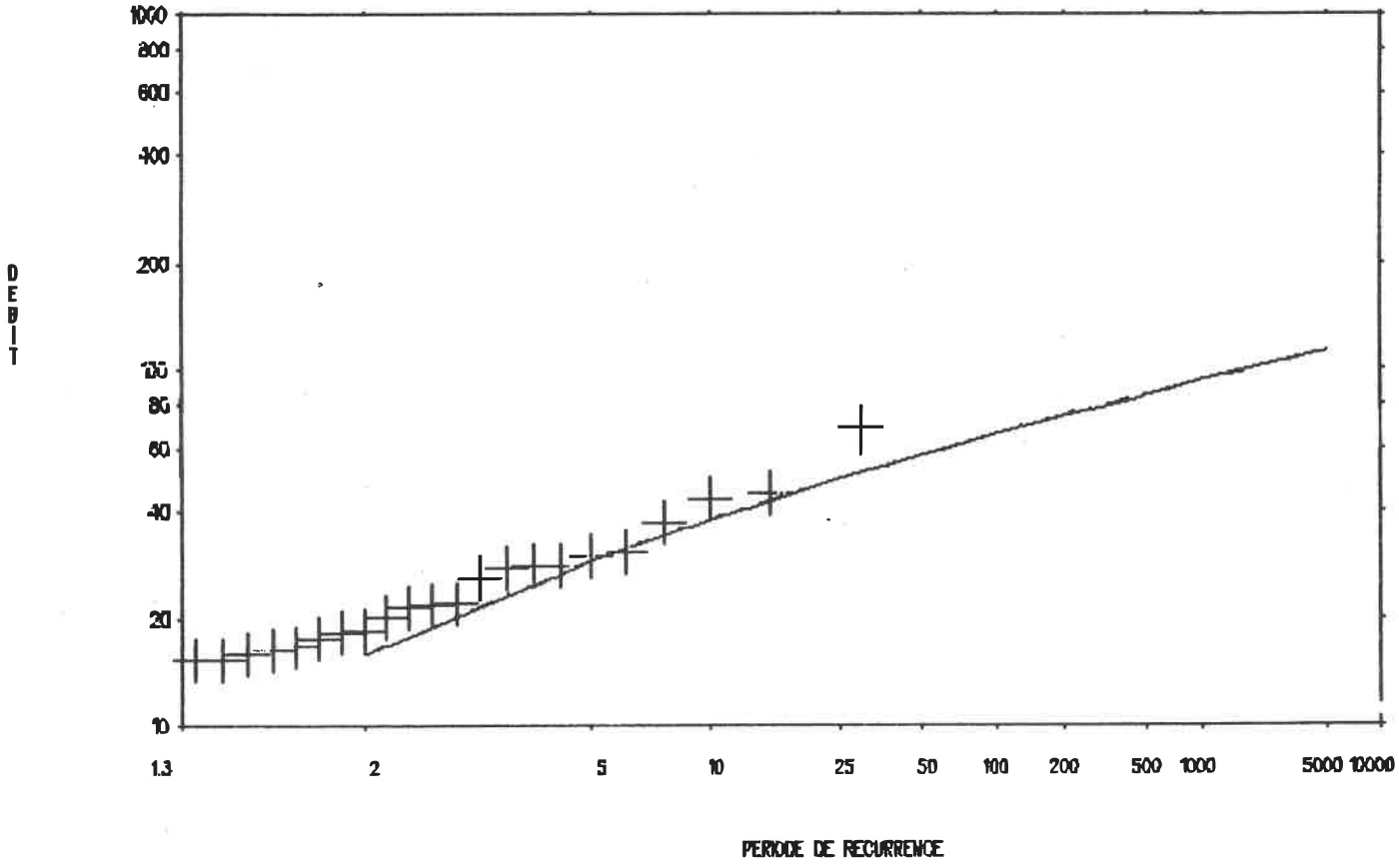



E26.b - Graphe du nombre moyen d'excédances en fonction du temps pour différents débits de base

Figure E26 - Station 05MD005



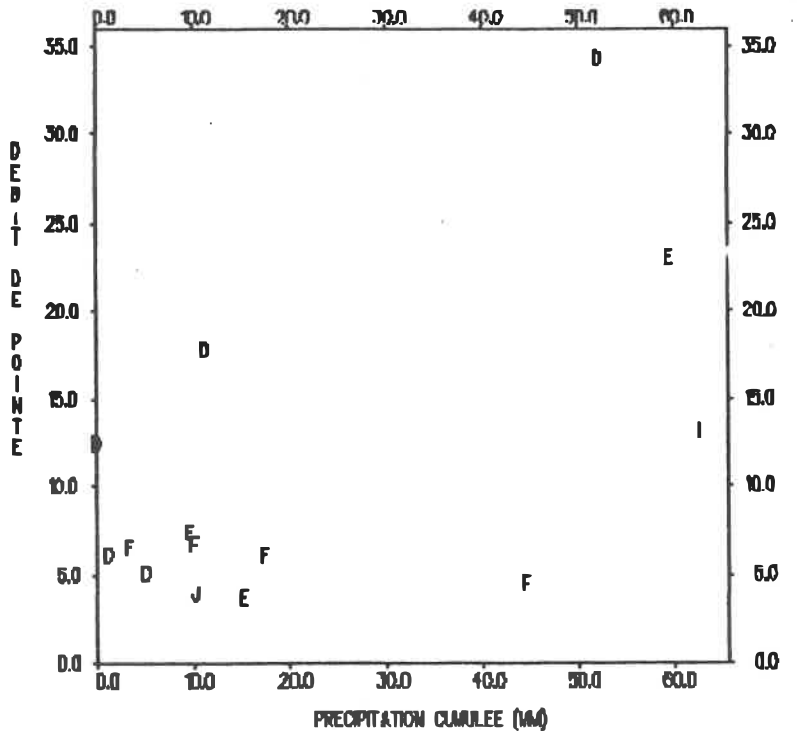

E26.c - Histogramme du nombre d'excédances en fonction de l'amplitude ($m^3/s$) et du mois



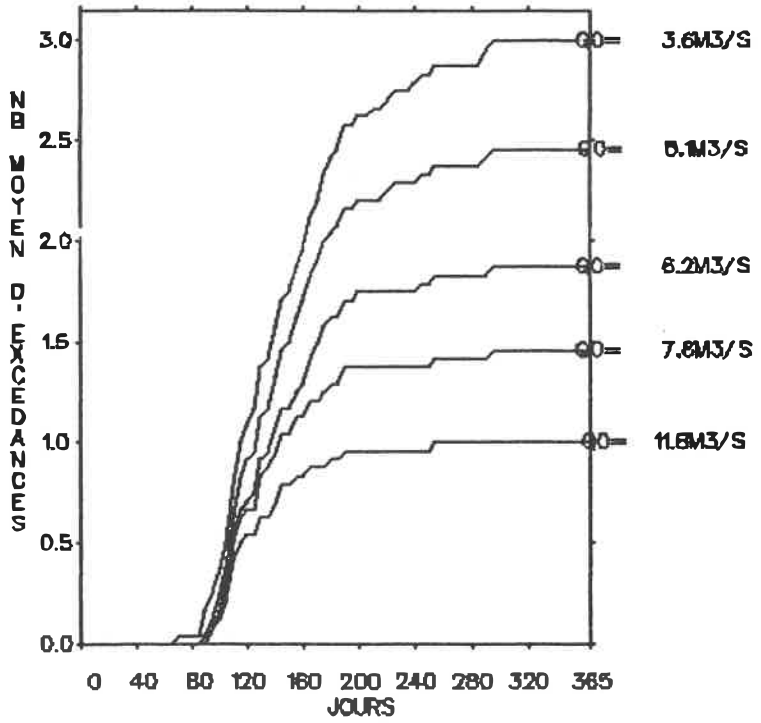

E26.d - Graphe du débit de pointe ($m^3/s$) en fonction du nombre d'années de récurrence

—— découpage en périodes homogènes

—·—· analyse annuelle

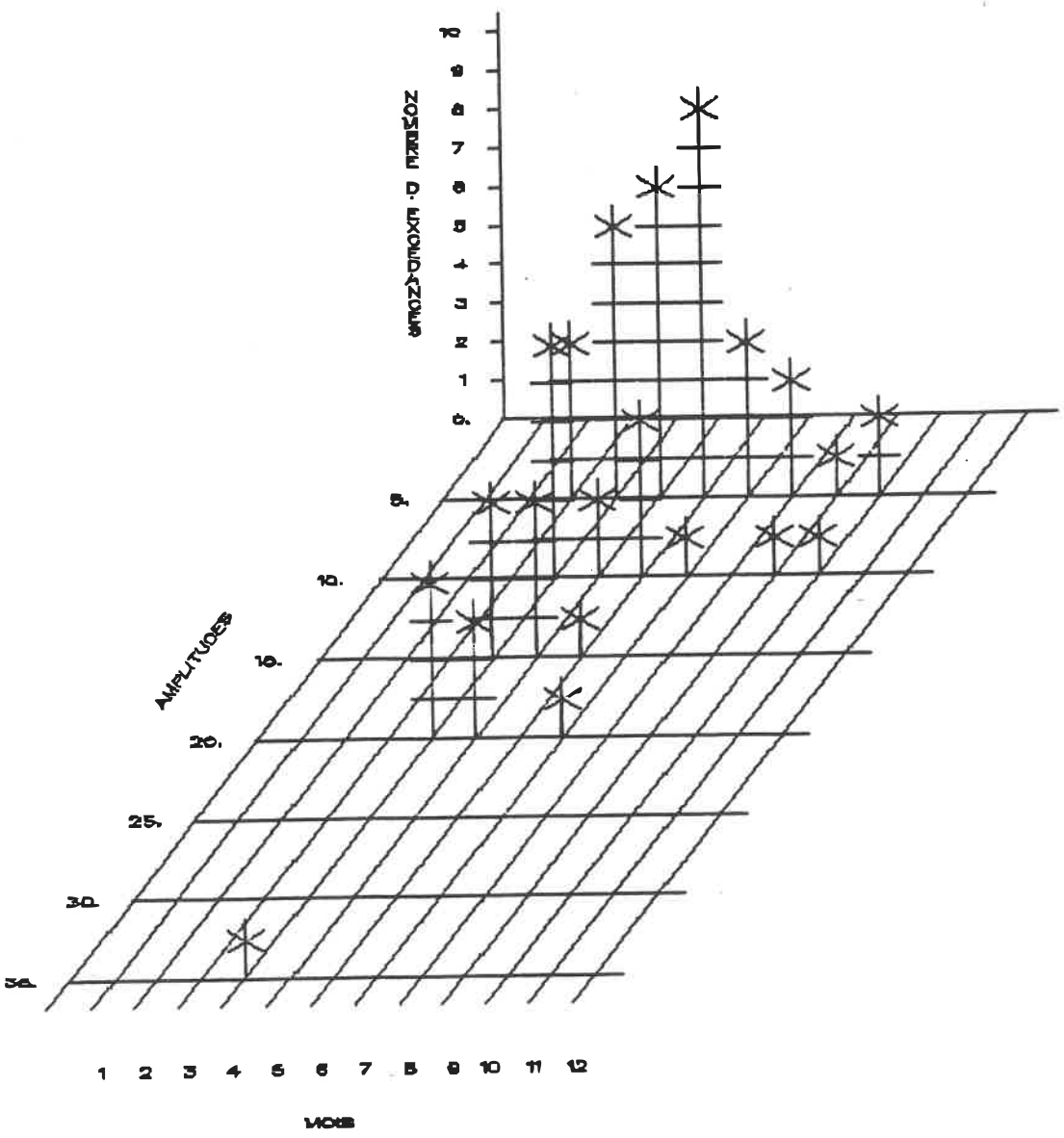



E27.a - Graphe du débit de pointe ($m^3/s$) en fonction de la précipitation cumulée (mm)

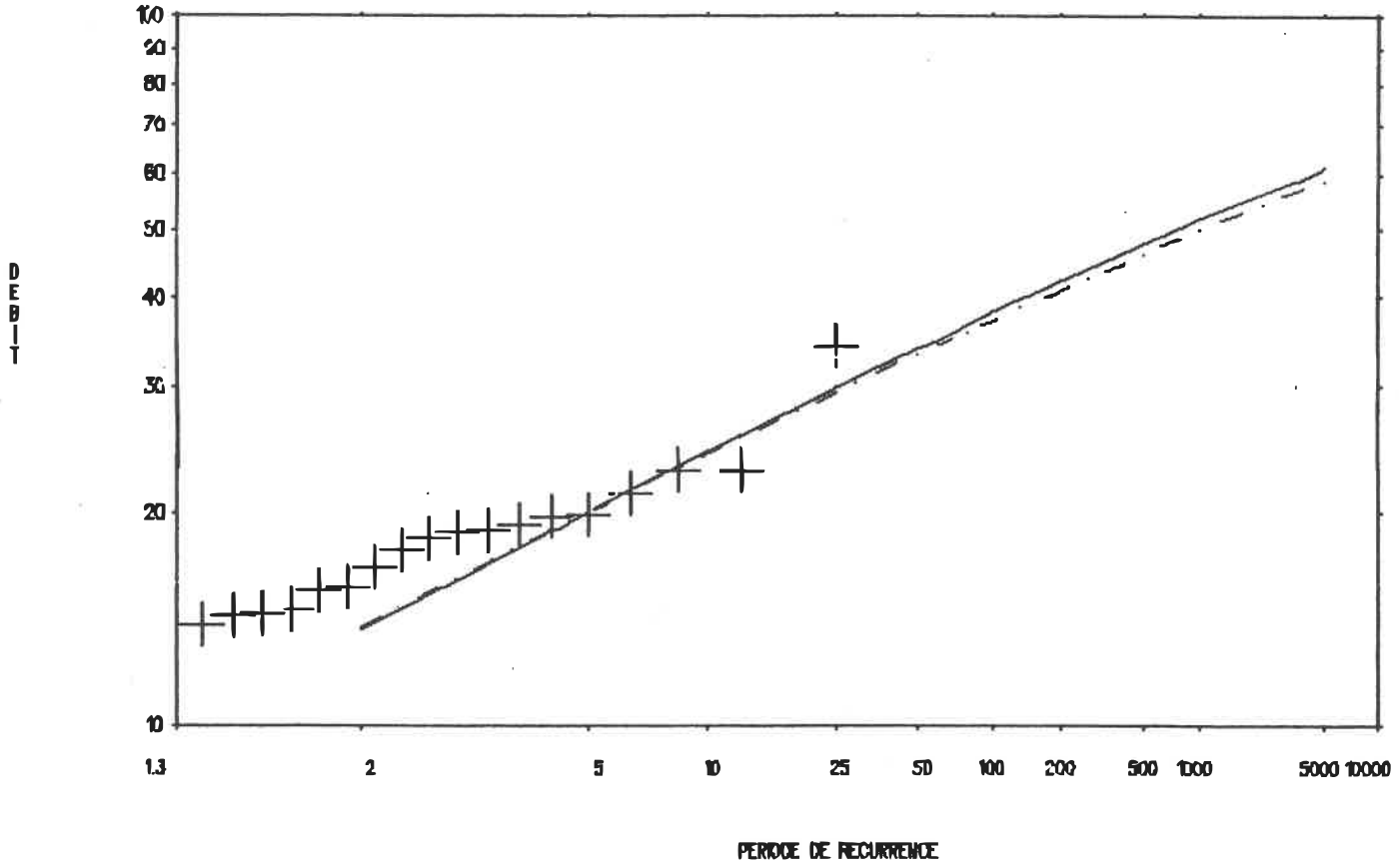



E27.b - Graphe du nombre moyen d'excédances en fonction du temps pour différents débits de base

Figure E27 - Station 050E004



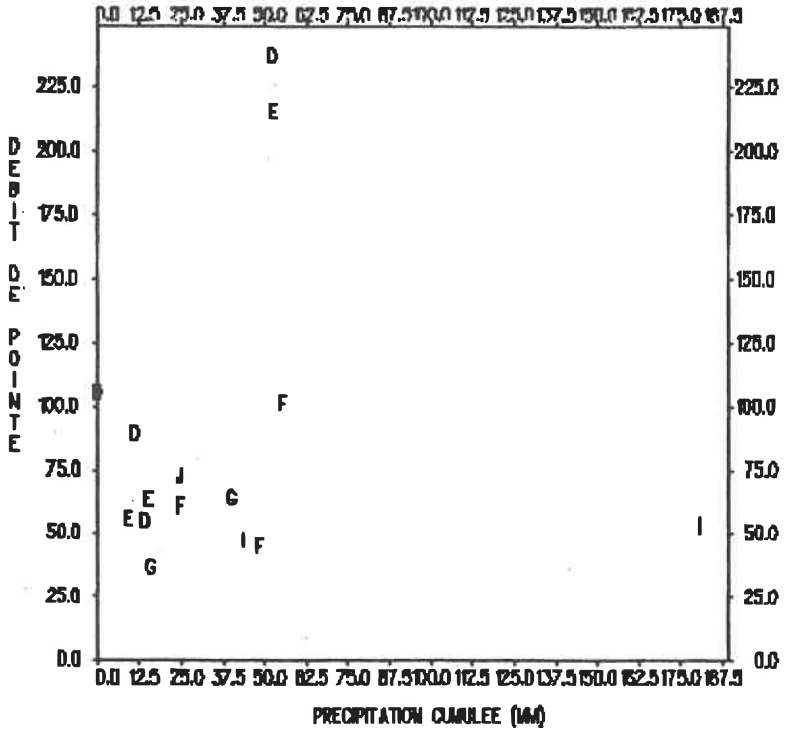

E27.c - Histogramme du nombre d'excédances en fonction de l'amplitude ($m^3/s$) et du mois



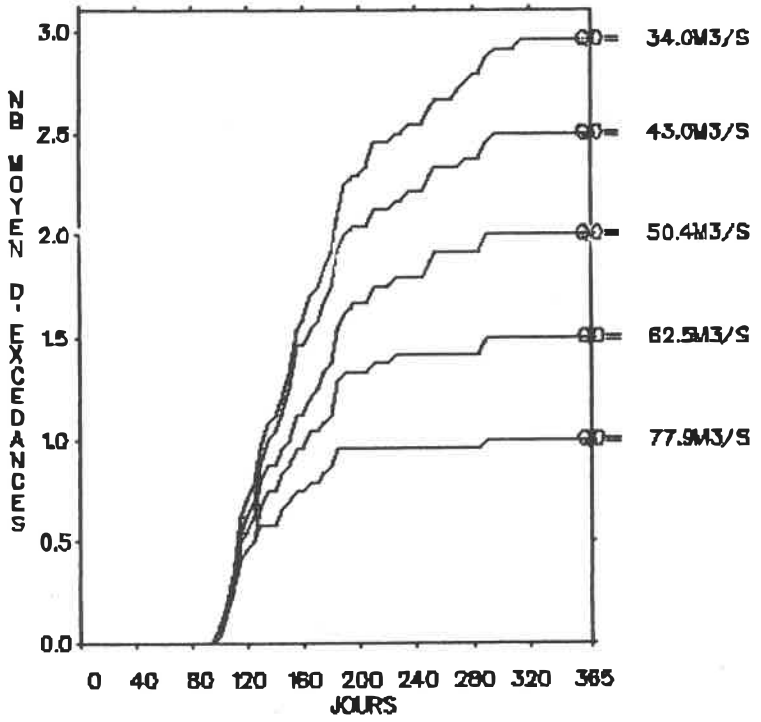

E27.d - Graphe du débit de pointe ($m^3/s$) en fonction du nombre d'années de récurrence

—— découpage en périodes homogènes

—·—· analyse annuelle

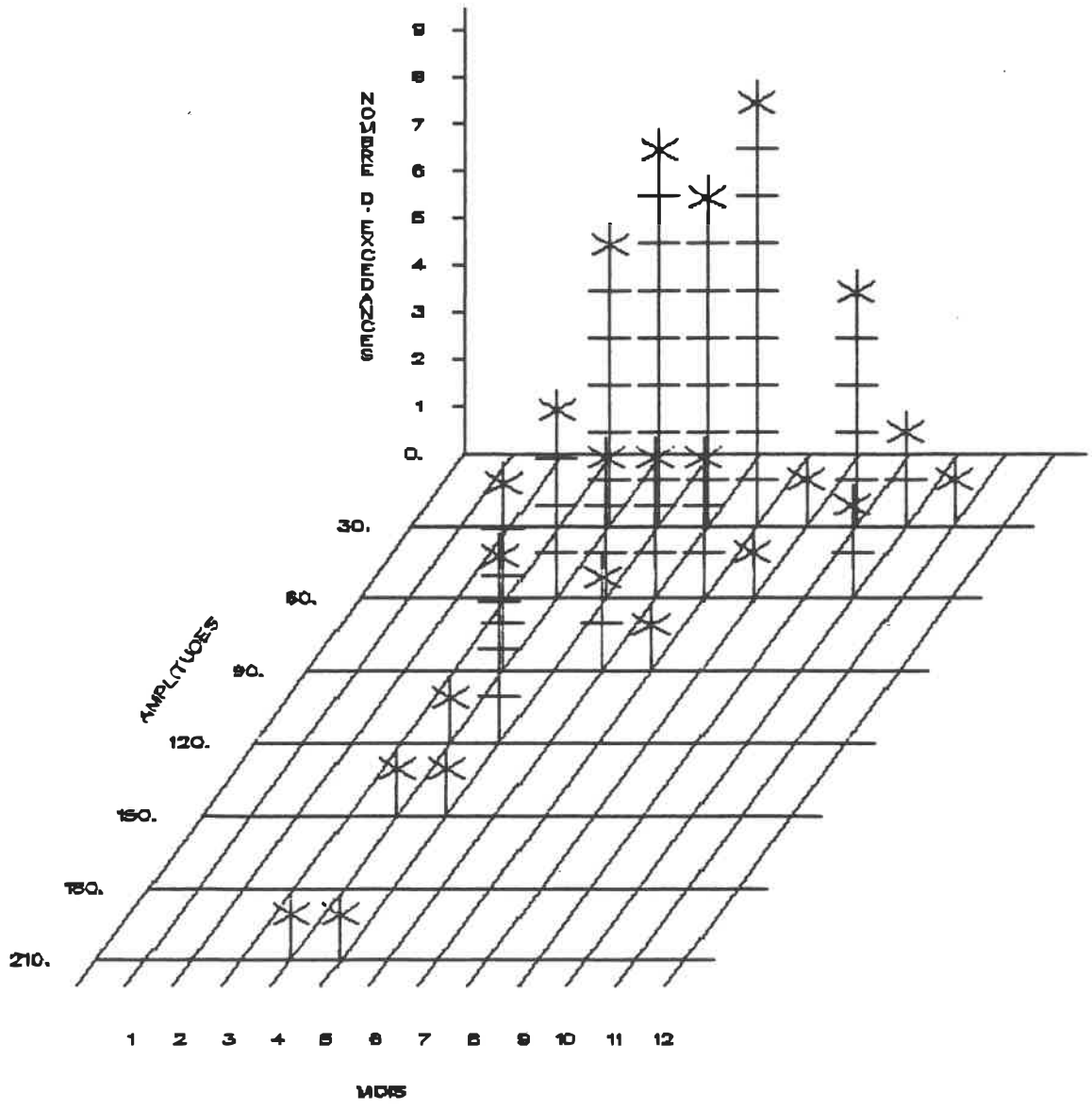



E28.a - Graphe du débit de pointe ($m^3/s$) en fonction de la précipitation cumulée (mm)

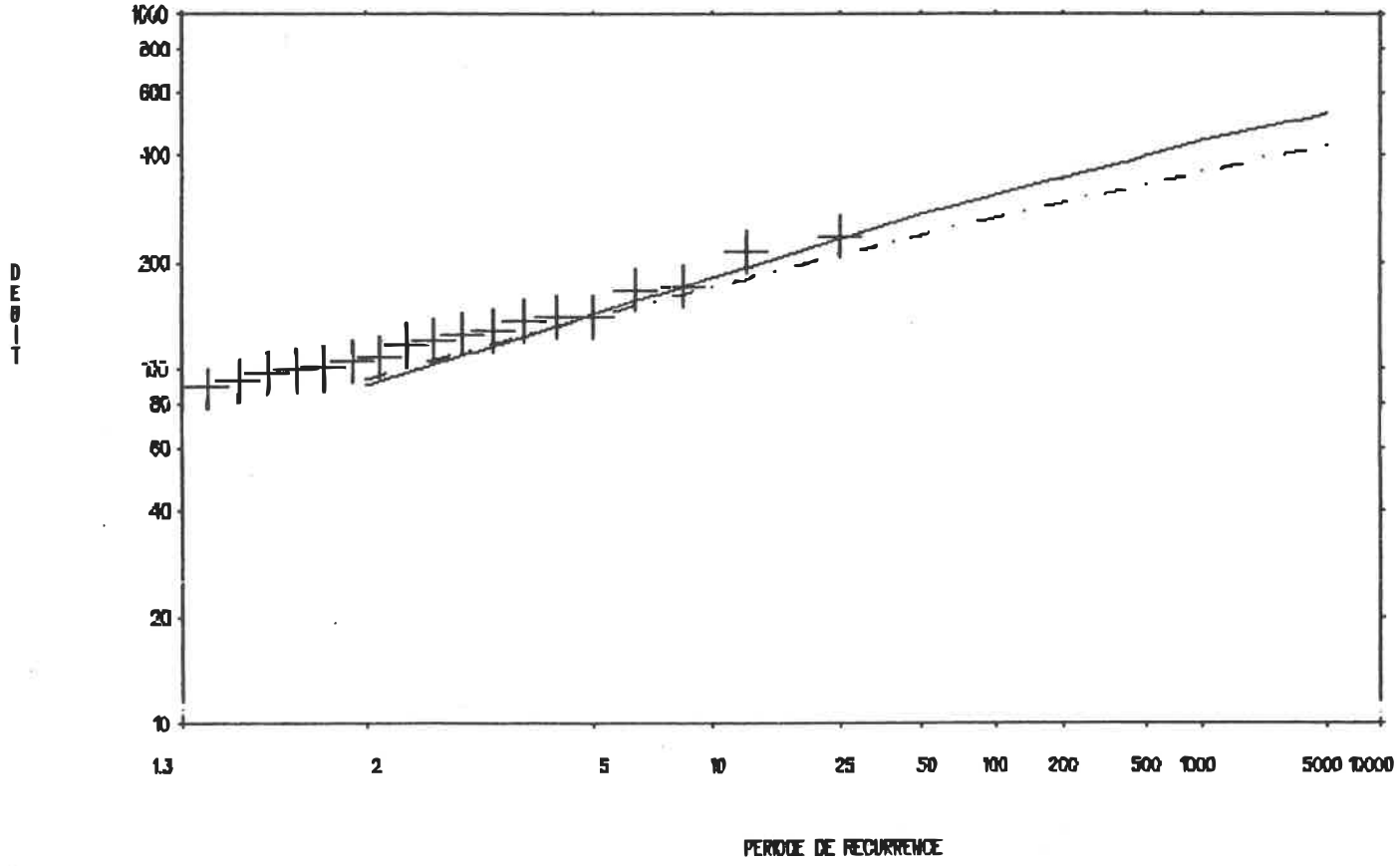



E28.b - Graphe du nombre moyen d'excédances en fonction du temps pour différents débits de base

Figure E28 - Station 05PH003



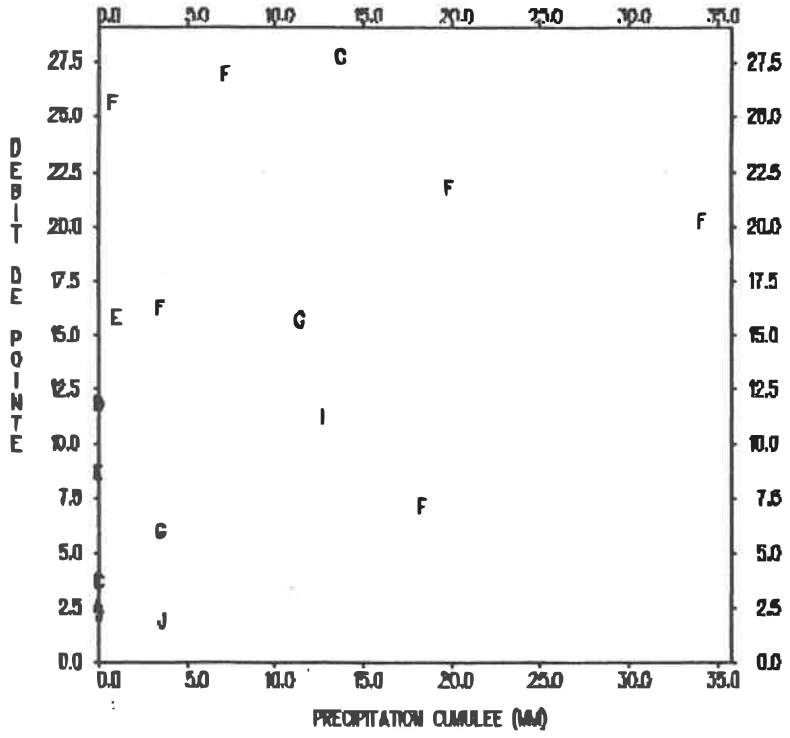

E28.c - Histogramme du nombre d'excédances en fonction de l'amplitude ($m^3/s$) et du mois

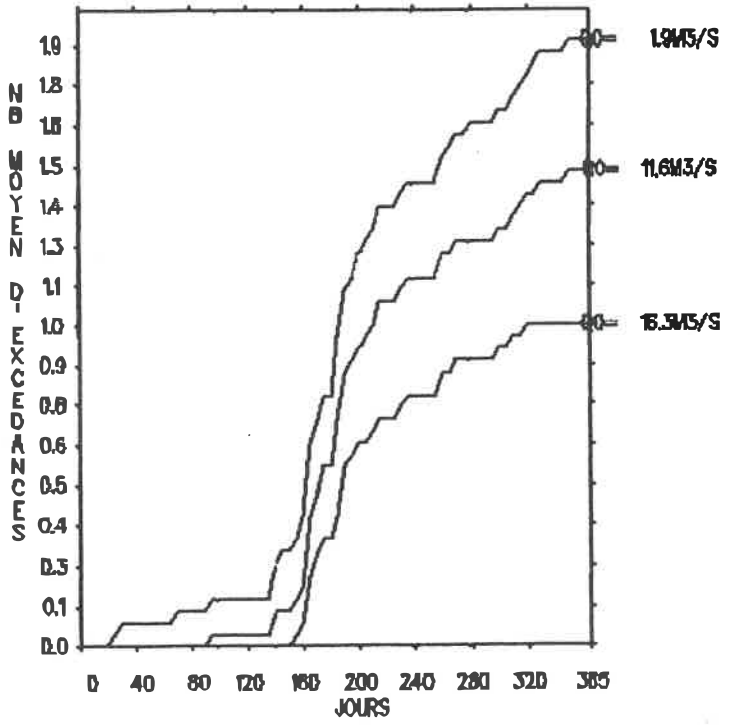



E28.d - Graphe du débit de pointe ($m^3/s$) en fonction du nombre d'années de récurrence

——— découpage en périodes homogènes

—·—· analyse annuelle

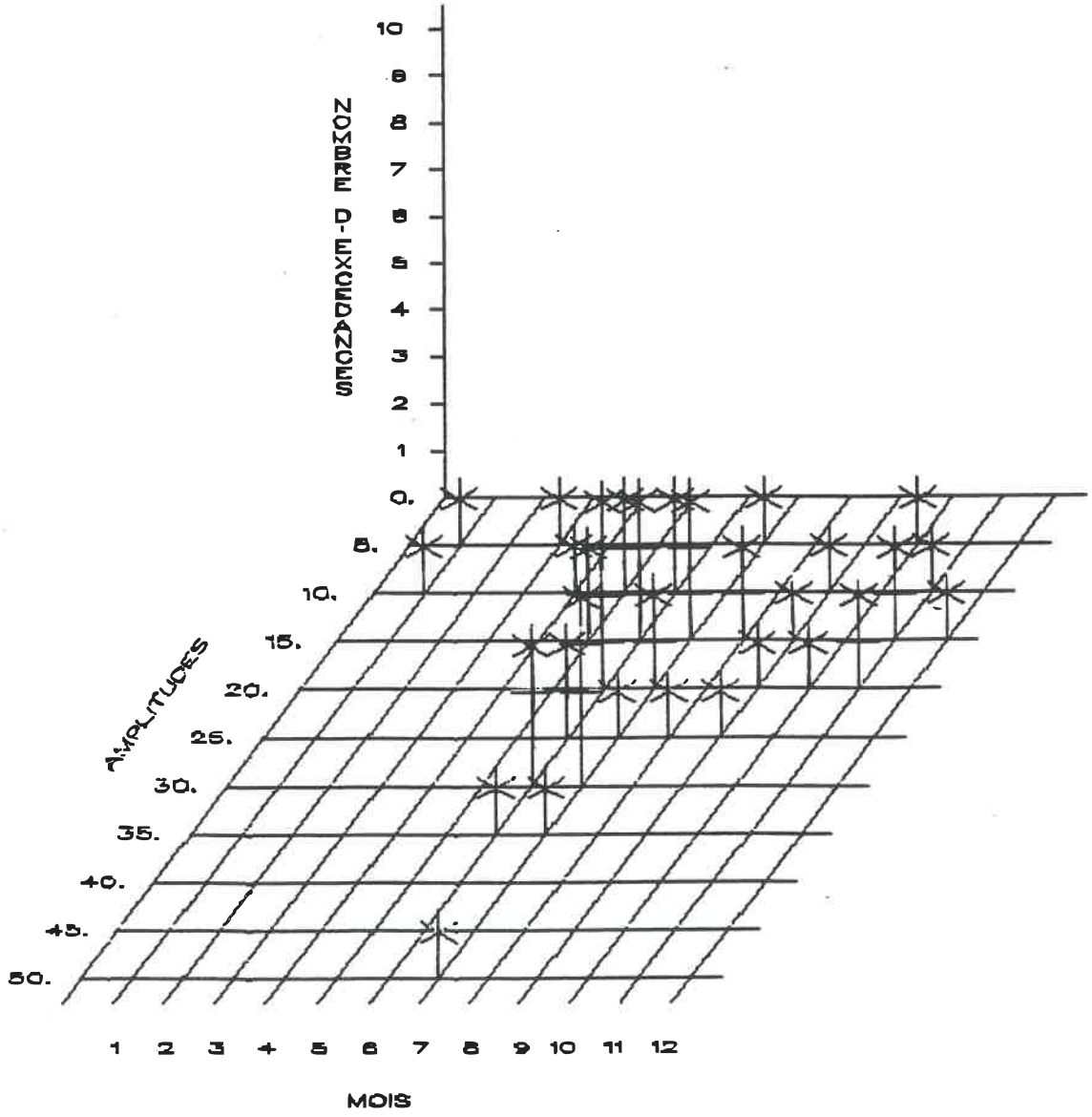


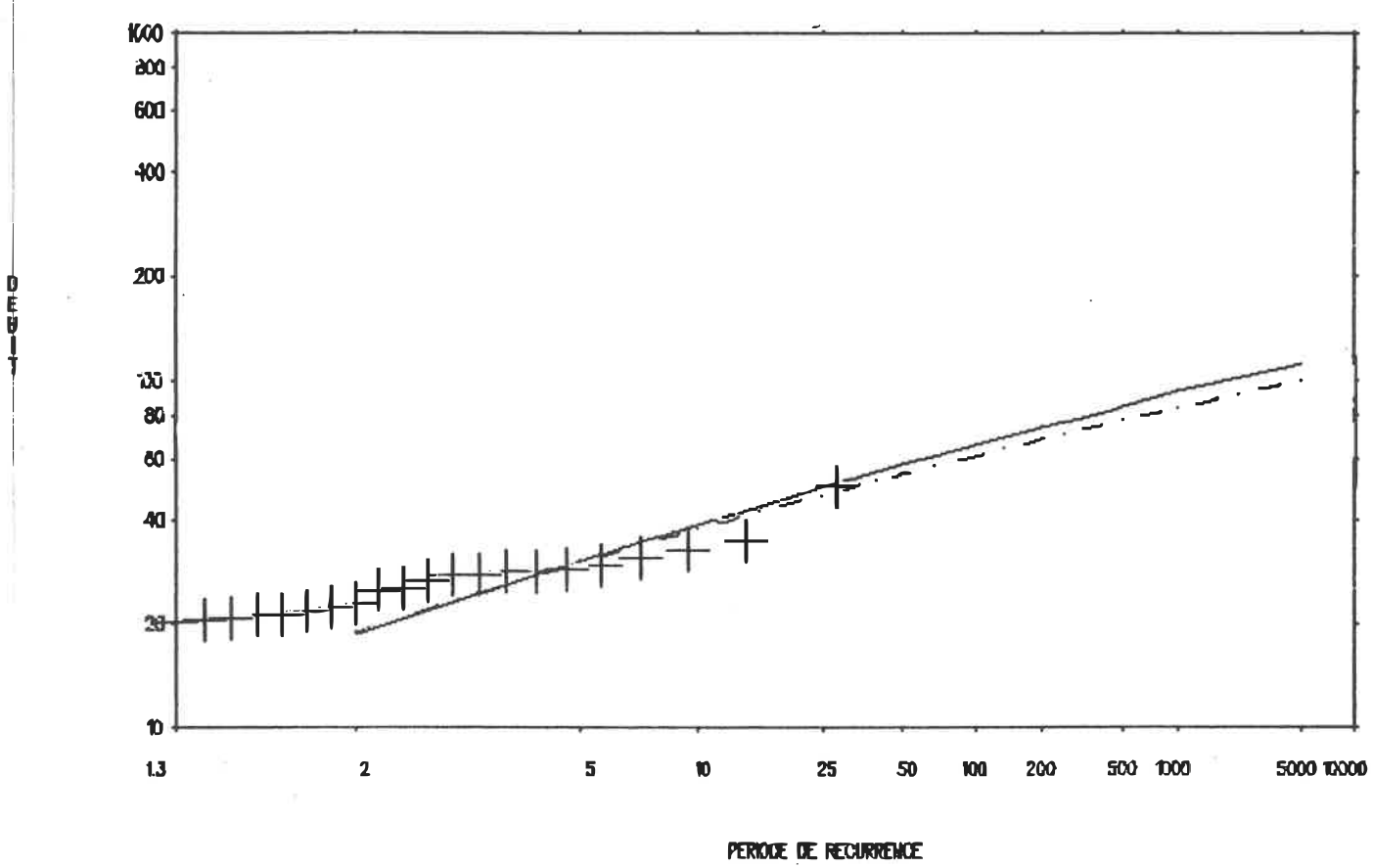

E29.a - Graphe du débit de pointe ($m^3/s$) en fonction de la précipitation cumulée (mm)

E29.b - Graphe du nombre moyen d'excédances en fonction du temps pour différents débits de base

Figure E29 - Station 05TB002



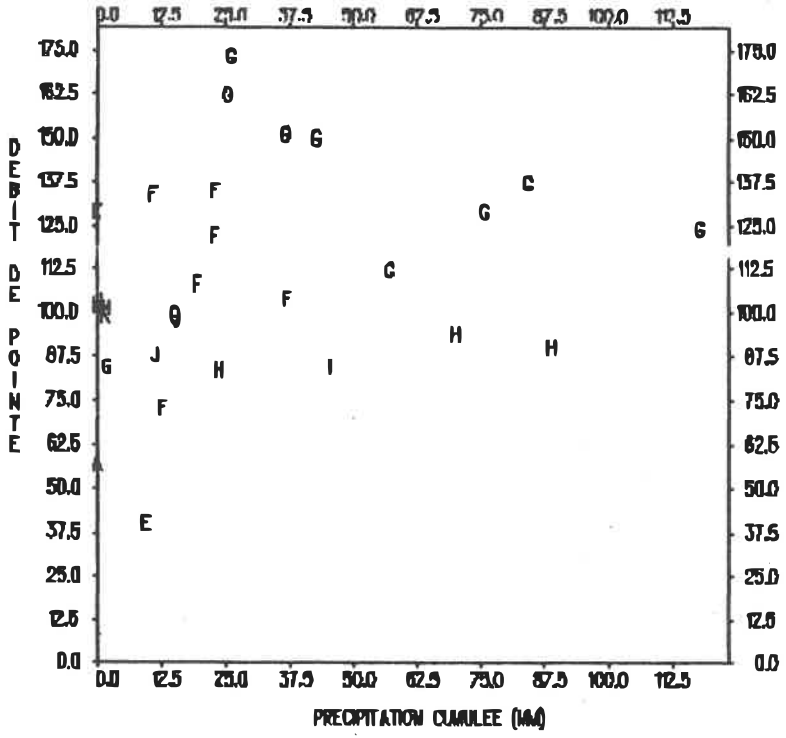

E29.c - Histogramme du nombre d'excédances en fonction de l'amplitude ($m^3/s$) et du mois



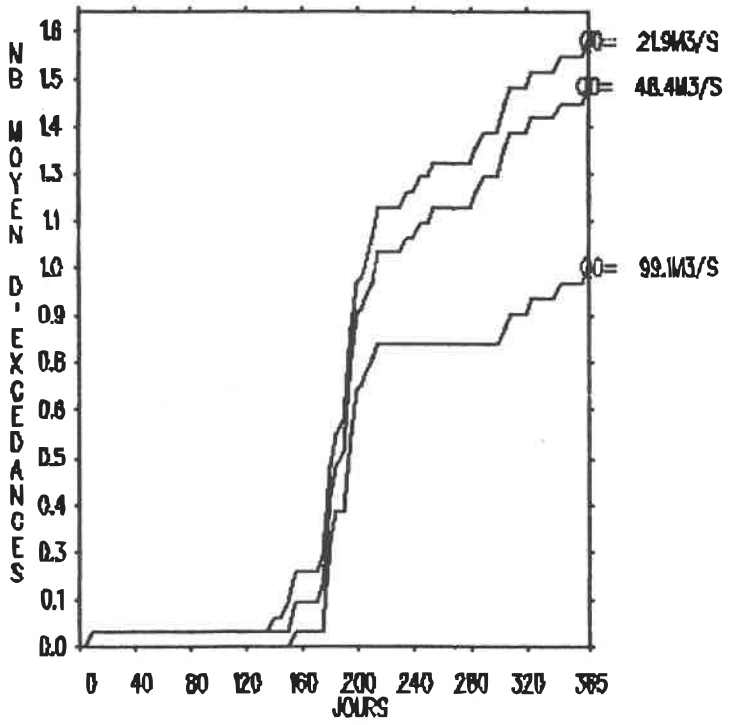

E29.d - Graphe du débit de pointe ($m^3/s$) en fonction du nombre d'années de récurrence

——— découpage en périodes homogènes

—·—· analyse annuelle

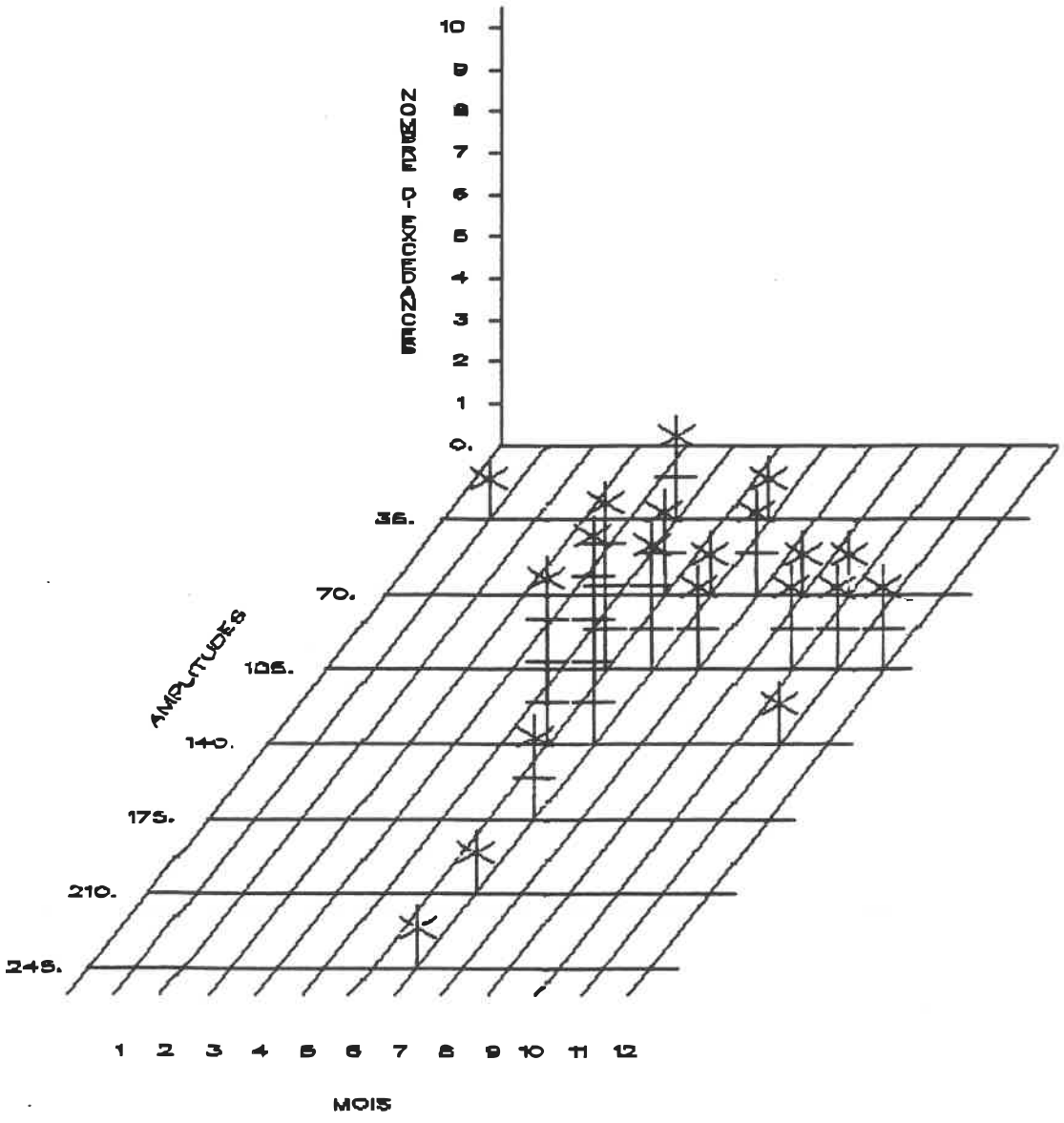



E30.a - Graphe du débit de pointe ($m^3/s$) en fonction de la précipitation cumulée (mm)

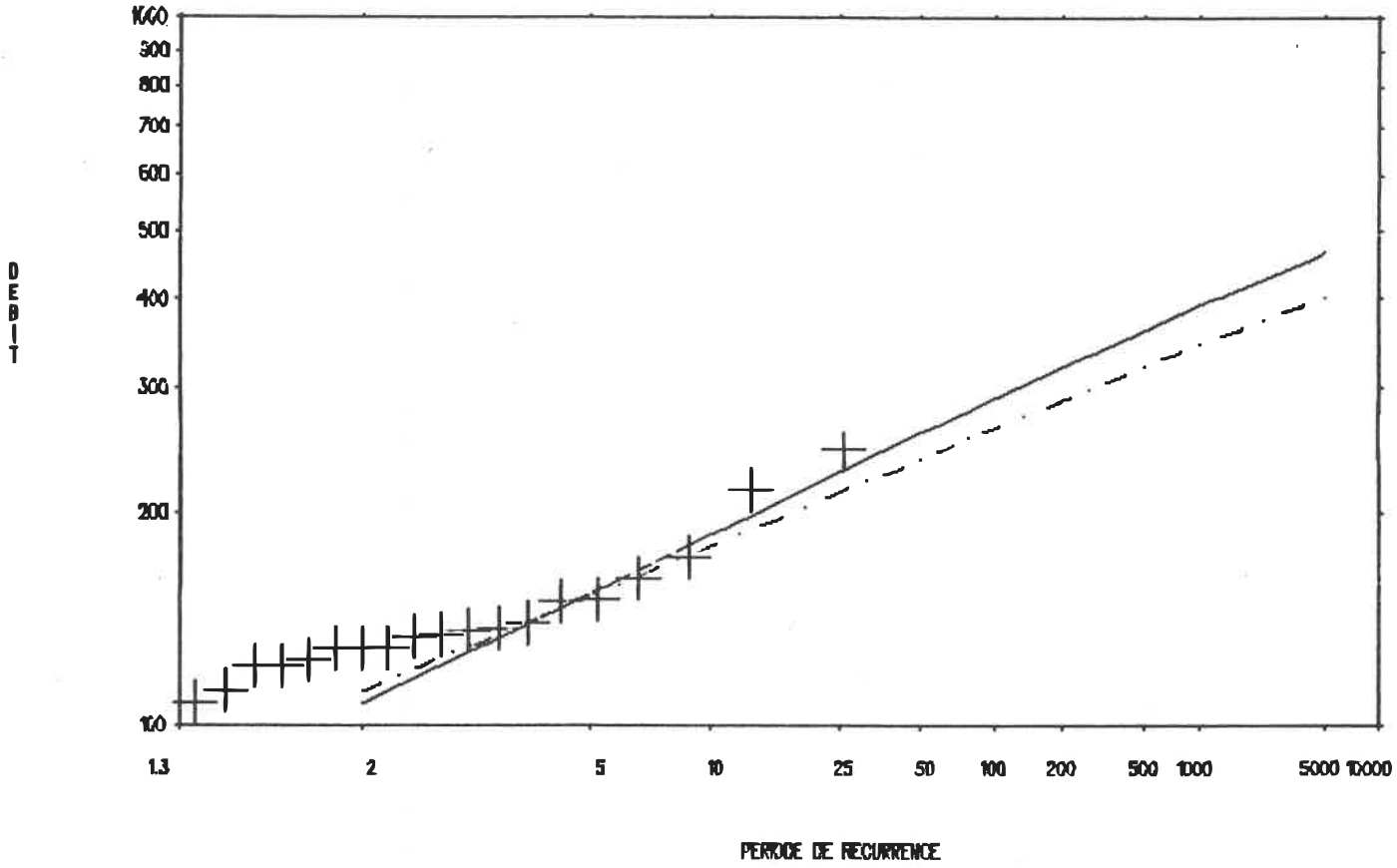



E30.b - Graphe du nombre moyen d'excédances en fonction du temps pour différents débits de base

Figure E30 - Station 05TD001




E30.c - Histogramme du nombre d'excédances en fonction de l'amplitude ($m^3/s$) et du mois




E30.d - Graphe du débit de pointe ($m^3/s$) en fonction du nombre d'années de récurrence

——— découpage en périodes homogènes

—·—· analyse annuelle

# A N N E X E  F

Résultats de l'analyse saisonnière et de l'analyse de fréquence des stations hydrométriques considérées en Colombie-Britannique

Tableau F.1 - Résultats de l'analyse de fréquence des stations hydrométriques considérées en Colombie-Britannique

| No. Station | $Q_{base}$ | Nbr. moy. exc. | Découpage: Type | Découpage: Critères | Découpage: Nbr. exc. | Tests d'ajustement: Exponentielle Kolmo. Smir. | Tests d'ajustement: Exponentielle $\chi^2$ | Tests d'ajustement: Poisson $\chi^2$ | $\lambda_k$ | $\beta_k$ | $C_v$ |
|---|---|---|---|---|---|---|---|---|---|---|---|
| 1. 08EE004 | 493.0 | 1.0 | 1 | 20 avr -20 juil | 38 | A | A | A | 0.95 | 0.0074 | 0.880 |
| (122) | | | | 21 juil-15 oct | 1 | * | * | * | 0.02 | 0.2000 | |
| | | | | 16 oct -15 nov | 1 | * | * | * | 0.02 | 0.0185 | |
| | | | | 16 nov -19 avr | 0 | * | * | * | 0.00 | 0.0000 | |
| 2. 08HB014 | 169.0 | 1.97 | 1 | 01 oct -31 jan | 50 | A | A | A | 1.56 | 0.0077 | 0.995 |
| (123) | | | | 01 fév -30 avr | 13 | A | * | * | 0.41 | 0.0130 | |
| | | | | 01 mai -30 sept | 0 | * | * | * | 0.00 | 0.0000 | |
| 3. 08JB002 | 8.2 | 2.0 | 1 | 01 mai -30 juin | 38 | A | R | R | 1.06 | 0.0161 | 0.957 |
| (124) | | | | 01 juil-31 août | 8 | A | * | * | 0.22 | 0.0254 | |
| | | | | 01 sept-30 avr | 26 | A | A | A | 0.72 | 0.1360 | |
| 4. 08KA004 | 1660.0 | 1.5 | 1 | 01 mai -15 juil | 45 | A | A | A | 1.41 | 0.0029 | 0.838 |
| (125) | | | | 16 juil-30 sept | 3 | * | * | * | 0.09 | 0.0067 | |
| | | | | 01 oct -30 avr | 0 | * | * | * | 0.00 | 0.0000 | |
| | 1660.0 | 1.5 | 2 | Fonte de neige | 15 | A | A | A | 0.47 | 0.0028 | 0.838 |
| | | | | 01 avr -30 juin | | | | | | | |
| | | | | Pcum ≤ 20 mm | | | | | | | |
| | | | | Fonte et pluie | 21 | A | A | A | 0.66 | 0.0025 | |
| | | | | 01 avr -30 juin | | | | | | | |
| | | | | Pcum > 20 mm | | | | | | | |
| | | | | Pluie | 12 | A | * | * | 0.38 | 0.0055 | |
| | | | | 01 juil-31 mars | | | | | | | |
| 5. 08KB001 | 2770.0 | 1.5 | 1 | 01 mai -30 juin | 42 | A | A | A | 1.24 | 0.0020 | 0.877 |
| (126) | | | | 01 juil-30 sept | 9 | A | * | * | 0.26 | 0.0033 | |
| | | | | 01 oct -30 avr | 0 | * | * | * | 0.00 | 0.0000 | |
| 6. 08KH003 | 326.0 | 1.0 | 1 | 01 mai -15 juil | 49 | A | A | R | 0.98 | 0.0136 | 0.921 |
| (127) | | | | 16 juil-31 août | 1 | * | * | * | 0.02 | 0.0145 | |
| | | | | 01 sept-30 avr | 0 | * | * | * | 0.00 | 0.0000 | |

## Tableau F.1 - Suite

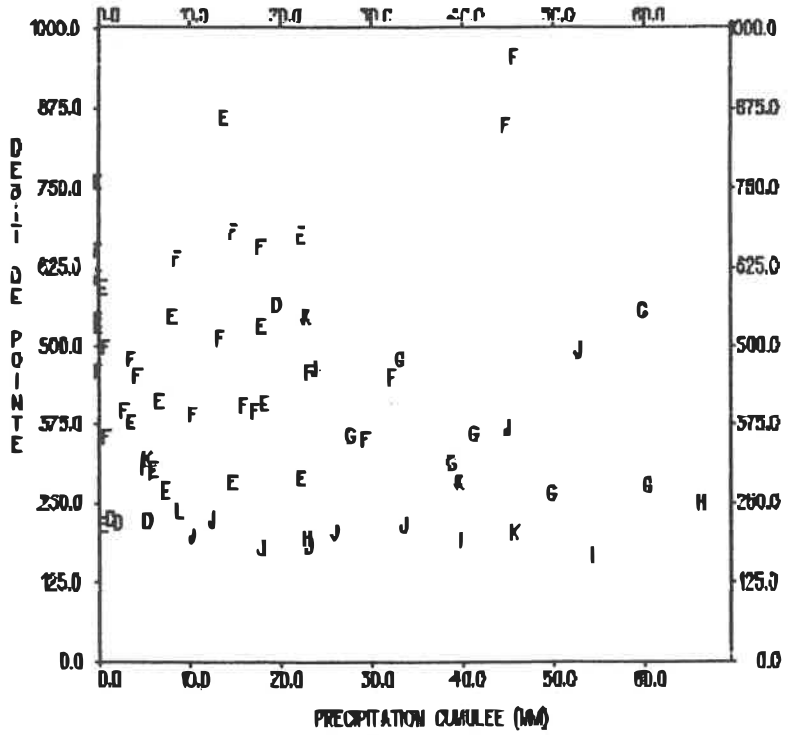
| No. Station | $Q_{base}$ | Nbr. moy. exc. | Découpage Type | Découpage Critères | Découpage Nbr. exc. | Tests d'ajustement Exponentielle Kolmo. Smir. | Tests d'ajustement Exponentielle $\chi^2$ | Tests d'ajustement Poisson $\chi^2$ | $\lambda_k$ | $\beta_k$ | $C_v$ |
|---|---|---|---|---|---|---|---|---|---|---|---|
| 7. 08KH006 | 657.0 | 0.98 | 1 | 01 mai -31 juil | 37 | A | A | R | 0.92 | 0.0057 | 0.736 |
| (128) | | | | 01 août-30 sept | 2 | * | * | * | 0.05 | 0.0111 | |
| | | | | 01 oct -30 avr | 0 | * | * | * | 0.00 | 0.0000 | |
| | 657.0 | 0.98 | 2 | Fonte de neige | 14 | A | * | * | 0.35 | 0.0055 | 0.736 |
| | | | | 01 avr -30 juin | | | | | | | |
| | | | | Pcum ≤ 20 mm | | | | | | | |
| | | | | Fonte et pluie | 16 | A | A | A | 0.40 | 0.0060 | |
| | | | | 01 avr -30 juin | | | | | | | |
| | | | | Pcum > 20 mm | | | | | | | |
| | | | | Pluie | 9 | A | * | * | 0.22 | 0.0062 | |
| | | | | 01 juil-31 mars | | | | | | | |
| 8. 08LA001 | 807.0 | 1.0 | 1 | 01 mai -15 juil | 45 | A | A | R | 1.00 | 0.0049 | 0.742 |
| (129) | | | | 16 juil-30 avr | 0 | * | * | * | 0.00 | 0.0000 | |
| 9. 08LA004 | 137.0 | 1.0 | 1 | 01 mai -30 juin | 30 | A | A | R | 0.94 | 0.0165 | 0.678 |
| (130) | | | | 01 juil-31 août | 2 | * | * | * | 0.06 | 0.0250 | |
| | | | | 01 sept-30 avr | 0 | * | * | * | 0.00 | 0.0000 | |
| 10. 08LB022 | 1350.0 | 1.48 | 1 | 20 avr -31 juil | 62 | A | A | R | 1.48 | 0.0027 | 0.792 |
| (131) | | | | 01 août-19 avr | 0 | * | * | * | 0.00 | 0.0000 | |
| 11. 08LF051 | 2530.0 | 1.0 | 1 | 01 mai -20 juil | 33 | A | A | A | 1.00 | 0.0020 | 0.739 |
| (132) | | | | 21 juil-30 avr | 0 | * | * | * | 0.00 | 0.0000 | |
| 12. 08MA002 | 104.0 | 1.0 | 1 | 01 juin-10 sept | 32 | A | R | R | 1.00 | 0.0298 | 0.628 |
| (133) | | | | 11 sept-31 mai | 0 | * | * | * | 0.00 | 0.0000 | |
| 13. 08MG003 | 142.0 | 3.0 | 1 | 01 fév -31 mars | 0 | * | * | * | 0.00 | 0.0000 | 1.001 |
| (134) | | | | 01 avr -31 juil | 77 | A | A | A | 2.14 | 0.0298 | |
| | | | | 01 août-31 jan | 31 | A | A | A | 0.86 | 0.0157 | |
| 14. 08MG005 | 354.0 | 2.98 | 1 | 01 jan -20 mai | 2 | * | * | * | 0.03 | 0.0357 | 0.938 |
| (135) | | | | 21 mail-20 juil | 95 | A | A | R | 1.51 | 0.0088 | |
| | | | | 21 juil-30 sept | 72 | A | A | R | 1.14 | 0.0128 | |
| | | | | 01 oct -31 déc | 19 | A | A | A | 0.30 | 0.0045 | |

## Tableau F.1 - Suite

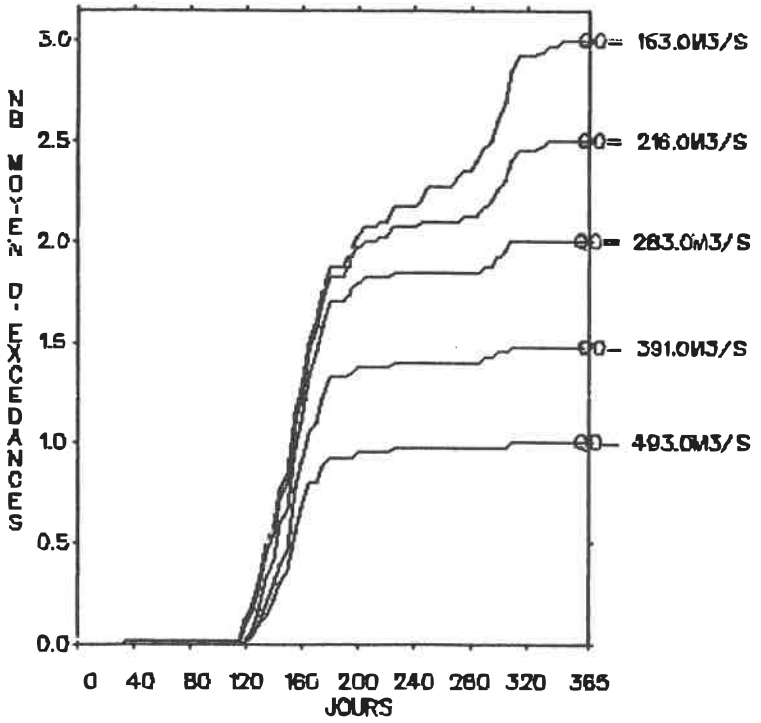
| No. Station | $Q_{base}$ | Nbr. moy. exc. | Découpage | | | Tests d'ajustement | | | $\lambda_k$ | $\beta_k$ | $C_v$ |
|---|---|---|---|---|---|---|---|---|---|---|---|
| | | | Type | Critères | Nbr. exc. | Exponentielle Kolmo. Smir. | Exponentielle $\chi^2$ | Poisson $\chi^2$ | | | |
| 15. 08NA002 | 328.0 | 1.0 | 1 | 01 juin-31 juil | 66 | A | A | R | 0.99 | 0.0081 | 0.766 |
| (136) | | | | 01 août-31 mai | 1 | * | * | * | 0.01 | 0.0088 | |
| 16. 08NB005 | 597.0 | 1.0 | 1 | 01 mai -31 juil | 40 | A | A | R | 1.00 | 0.0064 | 0.935 |
| (137) | | | | 01 août-15 sept | 0 | * | * | * | 0.00 | 0.0000 | |
| | | | | 16 sept-30 avr | 0 | * | * | * | 0.00 | 0.0000 | |
| 17. 08NE001 | 193.0 | 2.5 | 1 | 01 juin-31 juil | 61 | A | A | A | 1.91 | 0.0132 | 1.070 |
| (138) | | | | 01 août-30 sept | 7 | A | * | * | 0.22 | 0.0258 | |
| | | | | 01 oct -31 mars | 0 | * | * | * | 0.00 | 0.0000 | |
| | | | | 01 avr -31 mai | 12 | A | * | * | 0.38 | 0.0330 | |
| 18. 08NE008 | 9.4 | 1.5 | 1 | 01 mai -31 juil | 48 | A | A | R | 1.50 | 0.2715 | 0.884 |
| (139) | | | | 01 août-30 avr | 0 | * | * | * | 0.00 | 0.0000 | |
| 19. 08NE039 | 34.5 | 1.5 | 1 | 01 avr -15 juin | 54 | A | A | A | 1.50 | 0.0720 | 0.689 |
| (140) | | | | 16 juin-31 mars | 0 | * | * | * | 0.00 | 0.0000 | |
| 20. 08NF001 | 24.7 | 1.5 | 1 | 01 mai -31 juil | 54 | A | A | A | 1.50 | 0.1215 | 0.842 |
| (141) | | | | 01 août-30 avr | 0 | * | * | * | 0.00 | 0.0000 | |
| 21. 08NG005 | 994.0 | 1.0 | 1 | 16 avr -31 juil | 56 | A | A | R | 1.00 | 0.0035 | 0.724 |
| (142) | | | | 01 août-15 avr | 0 | * | * | * | 0.00 | 0.0000 | |
| 22. 08NG012 | 319.0 | 1.0 | 1 | 01 mai -20 juil | 37 | A | A | A | 1.00 | 0.0105 | 0.855 |
| (143) | | | | 21 juil-30 avr | 0 | * | * | * | 0.00 | 0.0000 | |
| 23. 08NG042 | 1330.0 | 0.95 | 1 | 16 avr -20 juil | 39 | A | R | A | 0.95 | 0.0021 | 0.671 |
| (144) | | | | 21 juil-15 avr | 0 | * | * | * | 0.00 | 0.0001 | |
| 24. 08NG046 | 250.0 | 1.0 | 1 | 20 avr -20 juil | 27 | A | A | R | 1.00 | 0.0154 | 0.856 |
| (145) | | | | 21 juil-19 avr | 0 | * | * | * | 0.00 | 0.0000 | |
| 25. 08NG053 | 552.0 | 1.0 | 1 | 01 mai -20 juil | 35 | A | A | R | 1.00 | 0.0069 | 0.888 |
| (146) | | | | 21 juil-30 avr | 0 | * | * | * | 0.00 | 0.0000 | |

## Tableau F.1 - Suite et fin

| No. Station | $Q_{base}$ | Nbr. moy. exc. | Découpage | | | Tests d'ajustement | | | $\lambda_k$ | $\beta_k$ | $C_v$ |
|---|---|---|---|---|---|---|---|---|---|---|---|
| | | | Type | Critères | Nbr. exc. | Exponentielle Kolmo. Smir. | Exponentielle $\chi^2$ | Poisson $\chi^2$ | | | |
| 26. 08NH001 | 351.0 | 0.92 | 1 | 10 mai -31 juil | 34 | A | A | A | 0.92 | 0.0108 | 0.746 |
| (147) | | | | 01 août-09 mai | 0 | * | * | * | 0.00 | 0.0000 | |
| 27. 08NH006 | 125.0 | 1.0 | 1 | 01 avr -30 juin | 56 | A | A | A | 1.00 | 0.0259 | 0.821 |
| (148) | | | | 01 juil-31 mars | 0 | * | * | * | 0.00 | 0.0000 | |
| 28. 08NH007 | 244.0 | 1.0 | 1 | 01 mai -31 juil | 40 | A | R | A | 1.00 | 0.0198 | 0.838 |
| (149) | | | | 01 août-30 avr | 0 | * | * | * | 0.00 | 0.0000 | |
| 29. 08NJ013 | 360.0 | 1.0 | 1 | 01 avr -31 juil | 61 | A | A | R | 1.00 | 0.0101 | 0.943 |
| (150) | | | | 01 août-31 mars | 0 | * | * | * | 0.00 | 0.0000 | |
| 30. 08NJ014 | 197.0 | 1.0 | 1 | 10 mai -15 juil | 30 | A | A | R | 1.00 | 0.0189 | 0.810 |
| (151) | | | | 16 juil-09 mai | 0 | * | * | * | 0.00 | 0.0000 | |
| 31. 08NL007 | 130.0 | 1.49 | 1 | 15 avr -31 juil | 63 | A | A | A | 1.40 | 0.0113 | 0.870 |
| (152) | | | | 01 août-20 oct | 0 | * | * | * | 0.00 | 0.0000 | |
| | | | | 21 oct -10 jan | 4 | * | * | * | 0.09 | 0.0184 | |
| | | | | 11 jan -14 avr | 0 | * | * | * | 0.00 | 0.0000 | |
| 32. 08NP001 | 176.0 | 1.0 | 1 | 15 avr -30 juin | 32 | A | A | A | 1.00 | 0.0155 | 0.872 |
| (153) | | | | 01 juil-14 avr | 0 | * | * | * | 0.00 | 0.0000 | |
| 33. 09AA006 | 175.0 | 0.88 | 1 | 01 août-30 sept | 30 | A | A | R | 0.88 | 0.0176 | 0.631 |
| (154) | | | | 01 oct -31 juil | 0 | * | * | * | 0.00 | 0.0000 | |
| 34. 10BE001 | 3370.0 | 1.48 | 1 | 01 mai -31 juil | 48 | A | R | A | 1.45 | 0.0006 | 0.702 |
| (155) | | | | 01 août-30 sept | 1 | * | * | * | 0.03 | 0.0010 | |
| | | | | 01 oct -30 avr | 0 | * | * | * | 0.00 | 0.0000 | |
| 35. 10CB001 | 131.0 | 1.0 | 1 | 15 avr -30 juin | 18 | A | A | A | 0.60 | 0.0094 | 0.995 |
| (156) | | | | 01 juil-10 sept | 12 | A | A | A | 0.40 | 0.0140 | |
| | | | | 11 sept-14 avr | 0 | * | * | * | 0.00 | 0.0000 | |

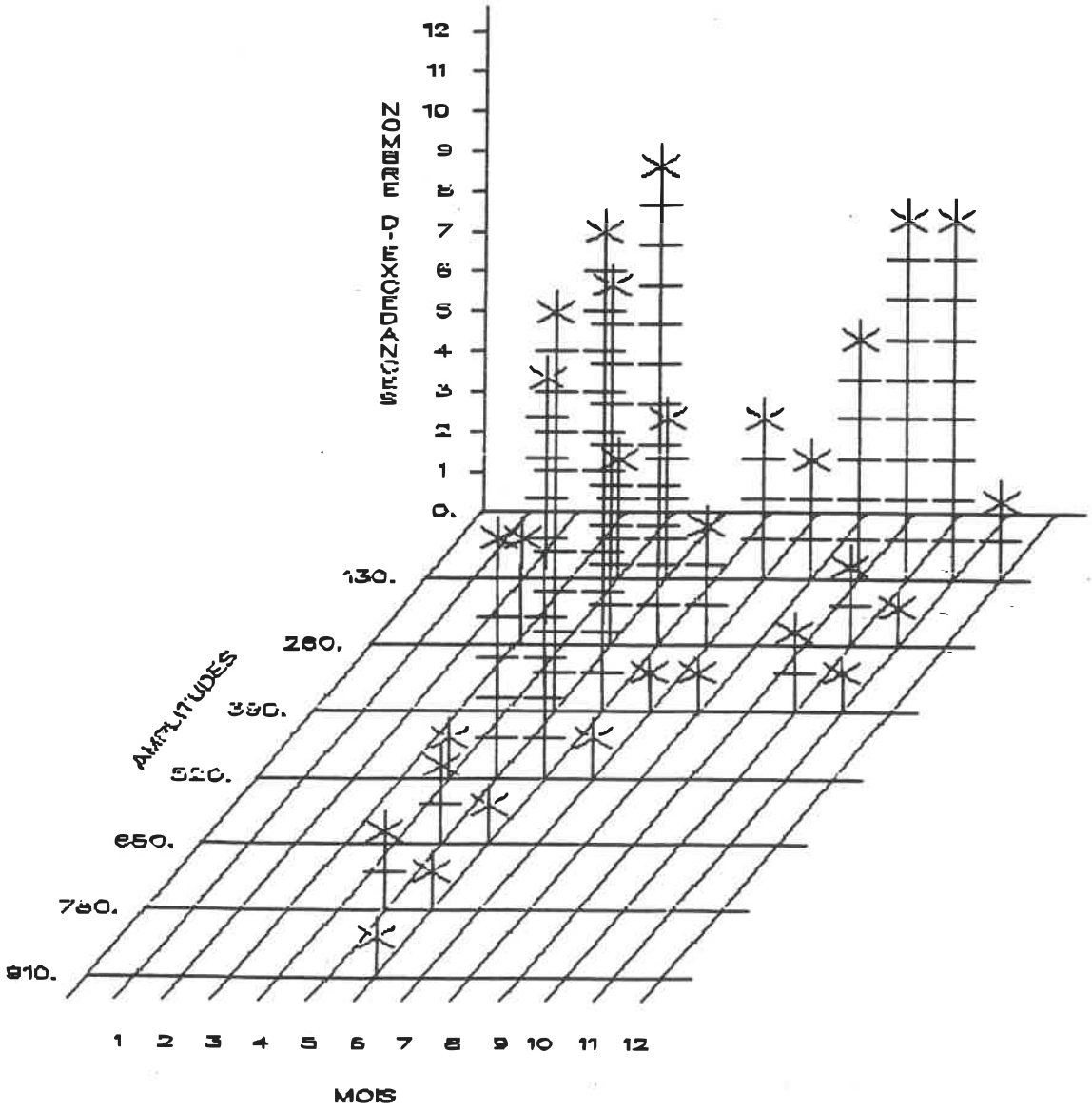



F1.a - Graphe du débit de pointe ($m^3/s$) en fonction de la précipitation cumulée (mm)

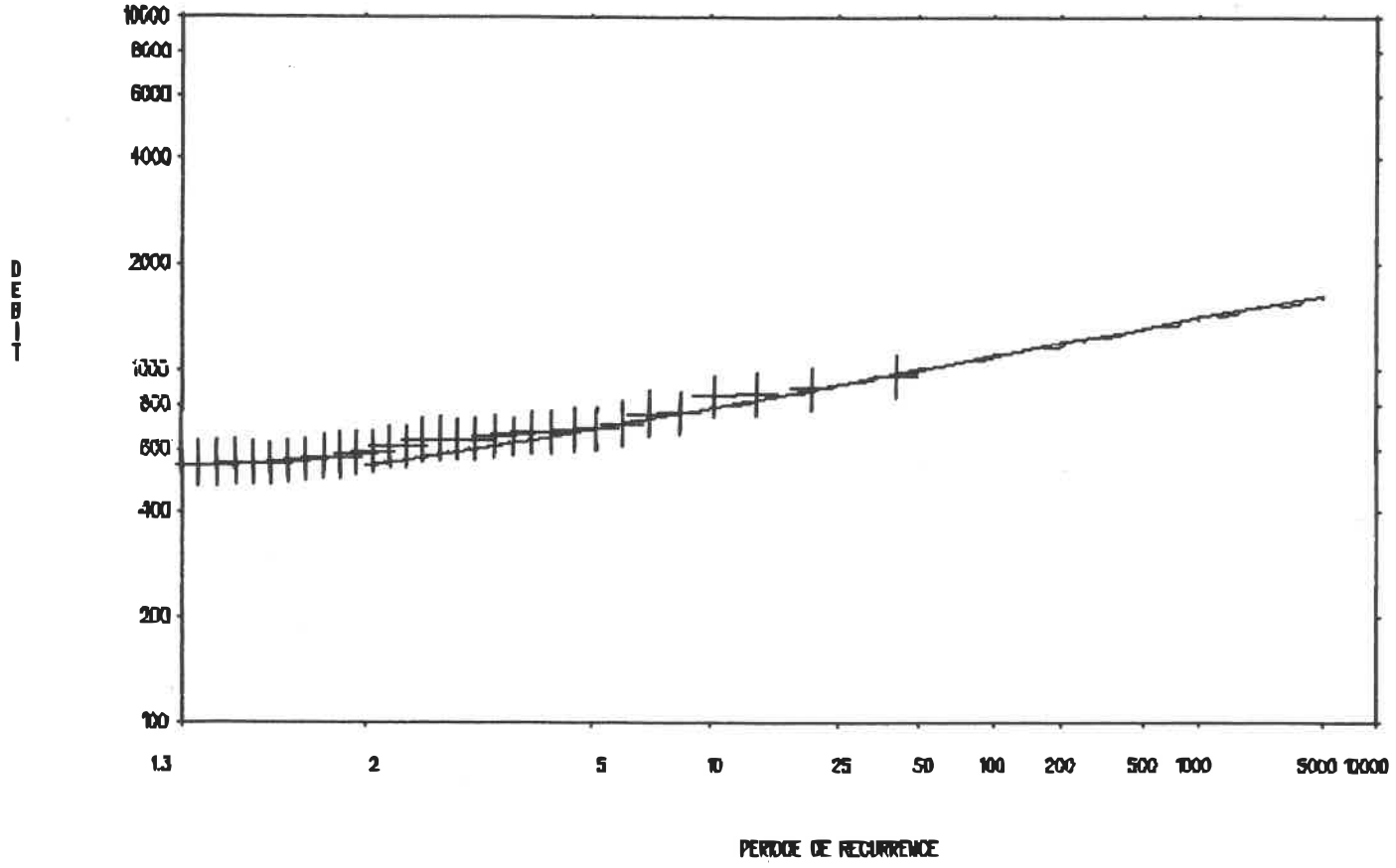



F1.b - Graphe du nombre moyen d'excédances en fonction du temps pour différents débits de base

Figure F1 - Station 08EE004



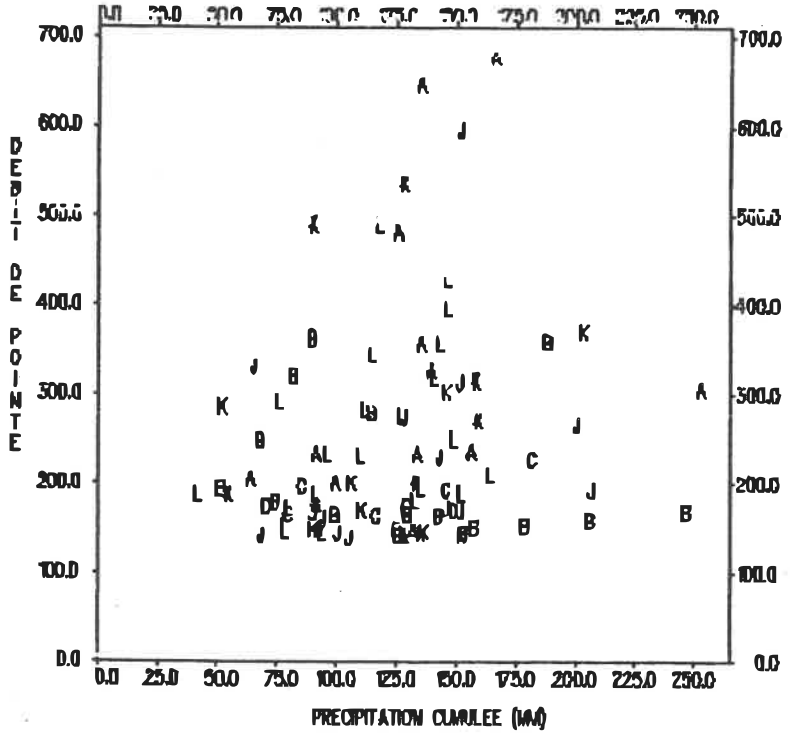

F1.c - Histogramme du nombre d'excédances en fonction de l'amplitude ($m^3/s$) et du mois



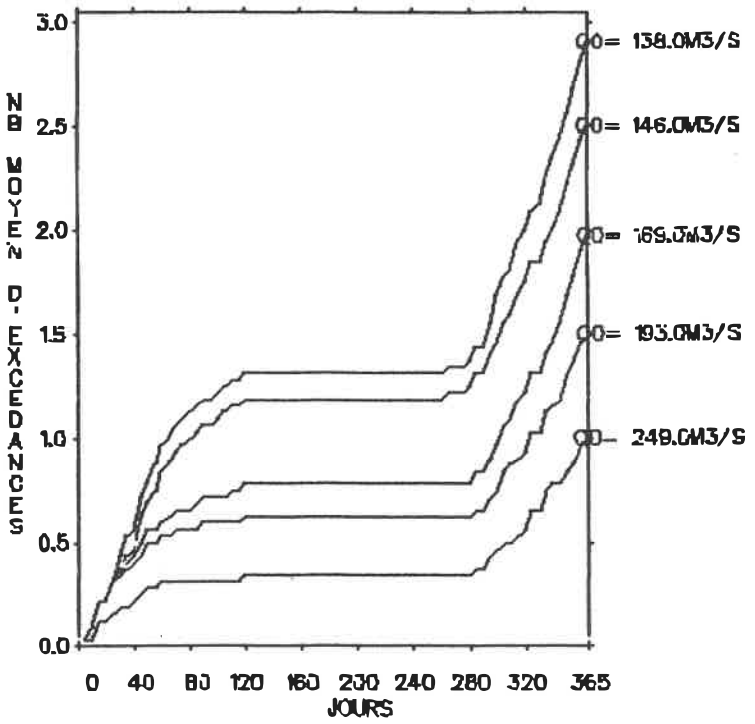

F1.d - Graphe du débit de pointe ($m^3/s$) en fonction du nombre d'années de récurrence

—— découpage en périodes homogènes

—·—· analyse annuelle

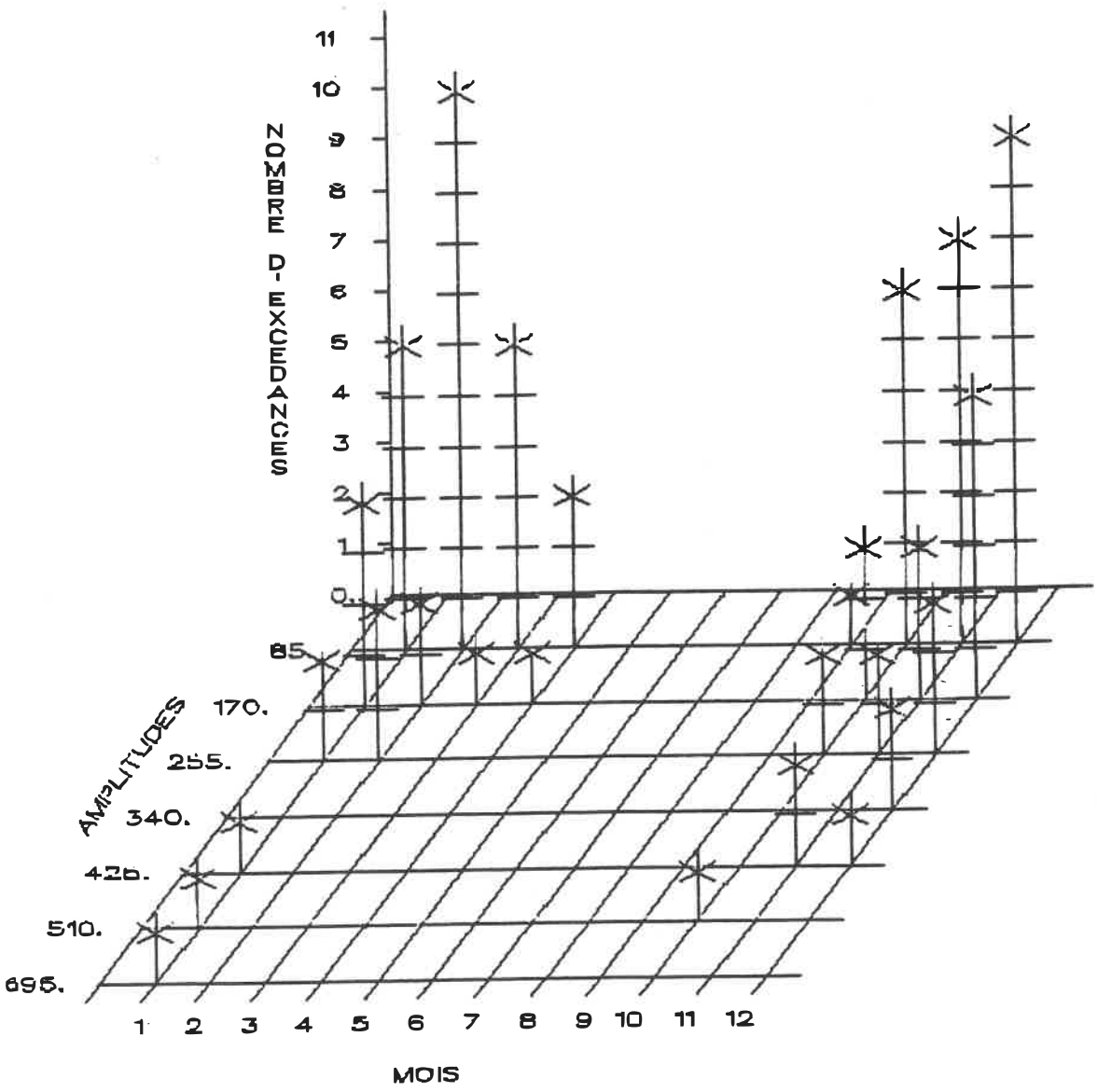



F2.a - Graphe du débit de pointe ($m^3/s$) en fonction de la précipitation cumulée (mm)

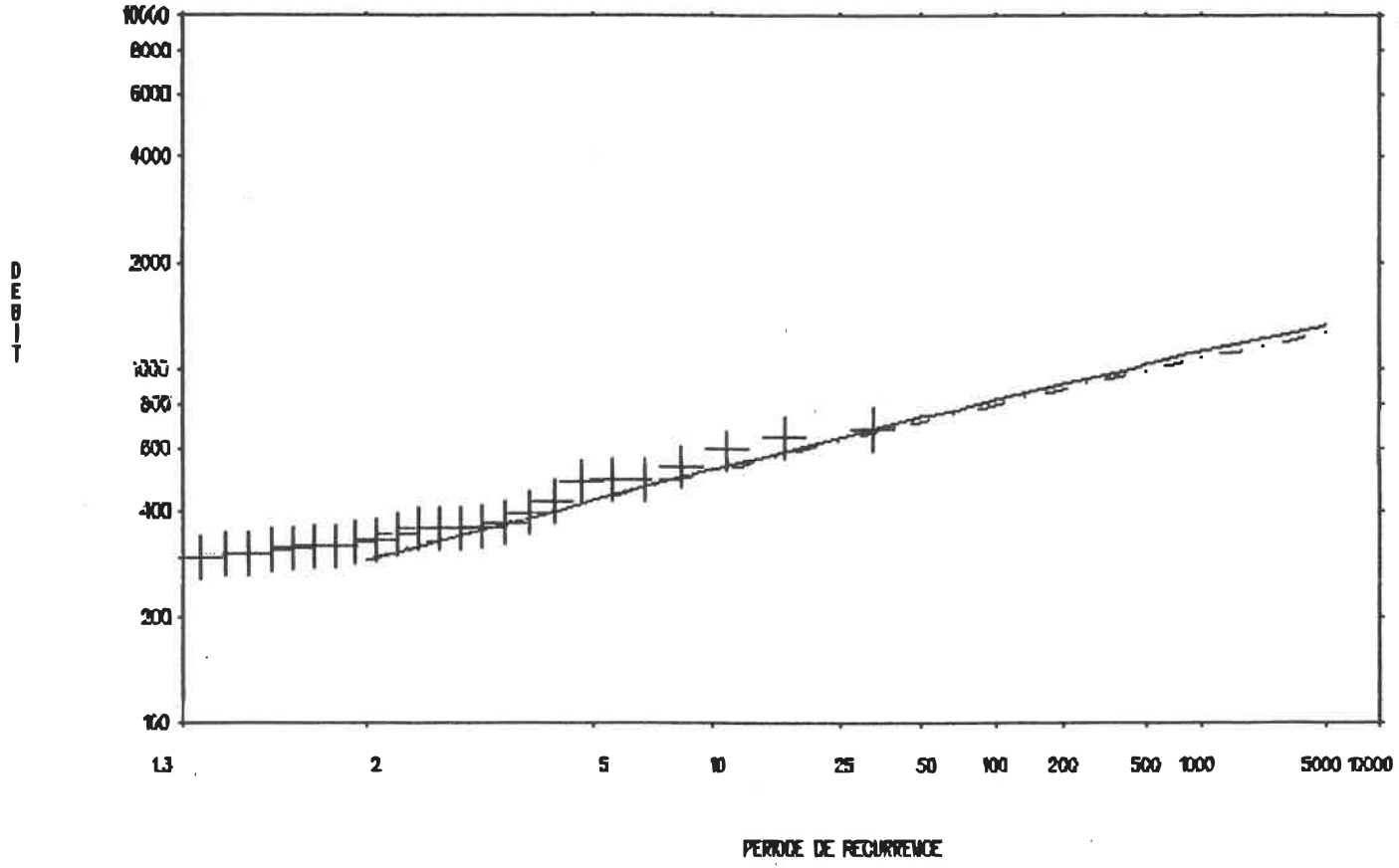



F2.b - Graphe du nombre moyen d'excédances en fonction du temps pour différents débits de base

Figure F2 - Station 08HB014



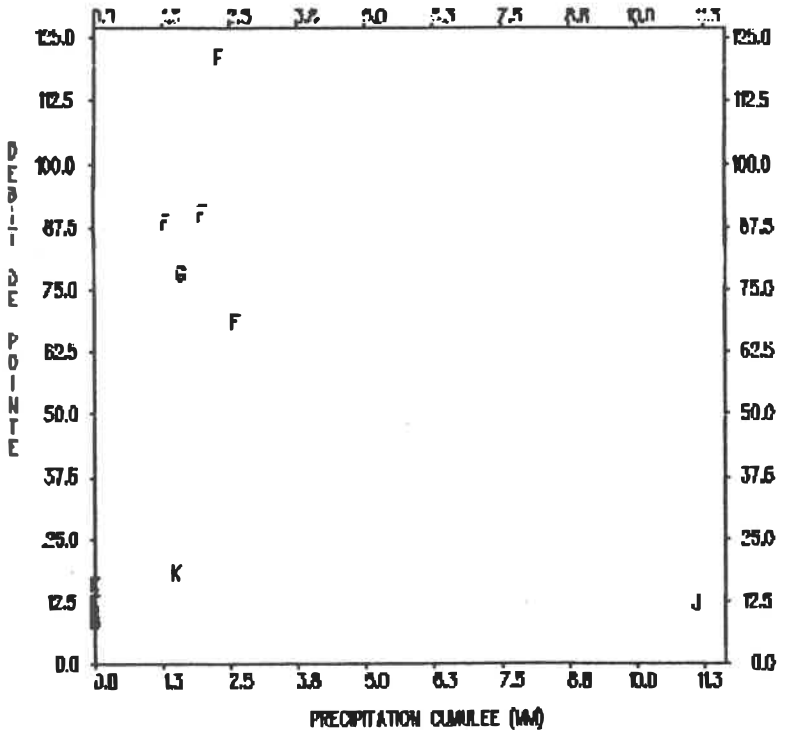

F2.c - Histogramme du nombre d'excédances en fonction de l'amplitude ($m^3/s$) et du mois



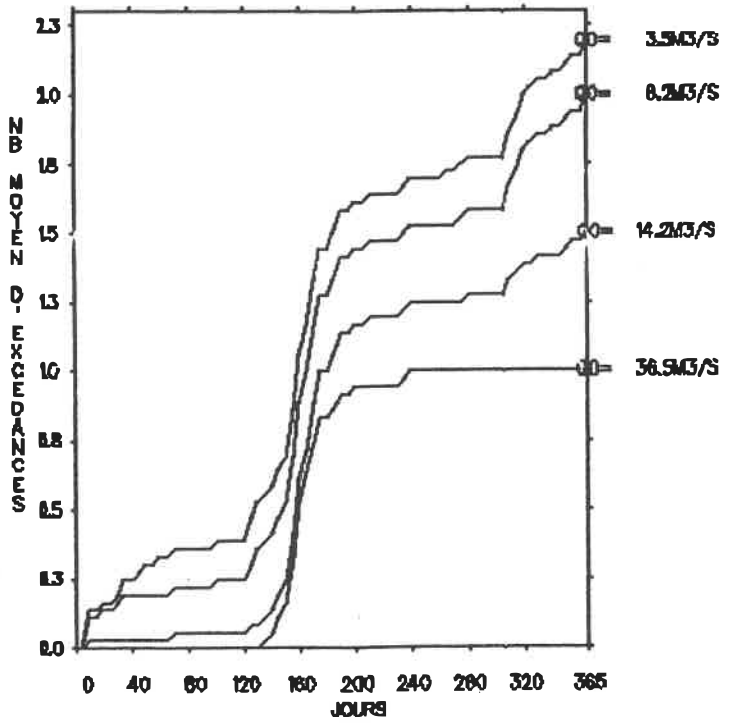

F2.d - Graphe du débit de pointe ($m^3/s$) en fonction du nombre d'années de récurrence

——— découpage en périodes homogènes

—·—· analyse annuelle

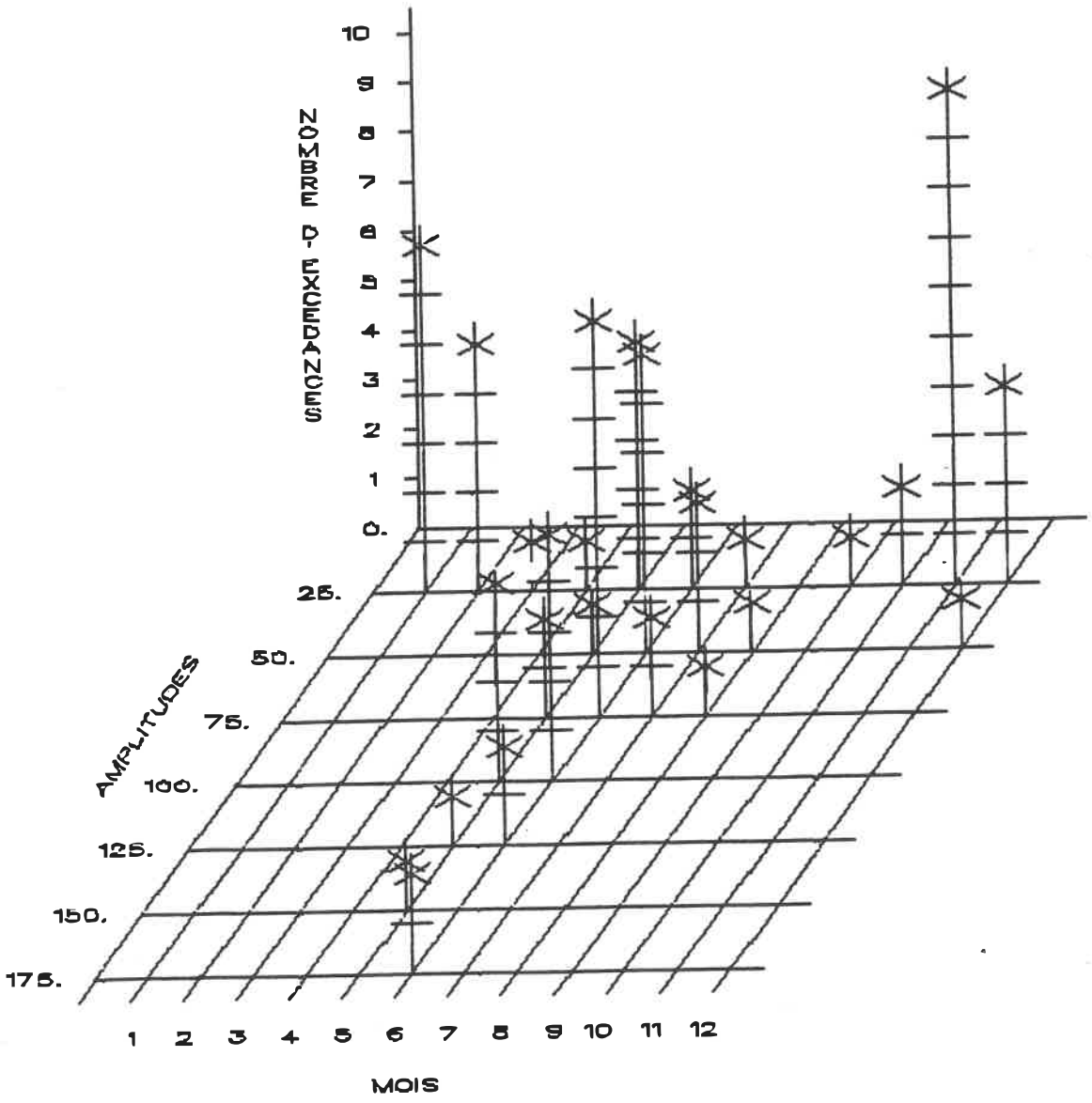



F3.a - Graphe du débit de pointe ($m^3/s$) en fonction de la précipitation cumulée (mm)

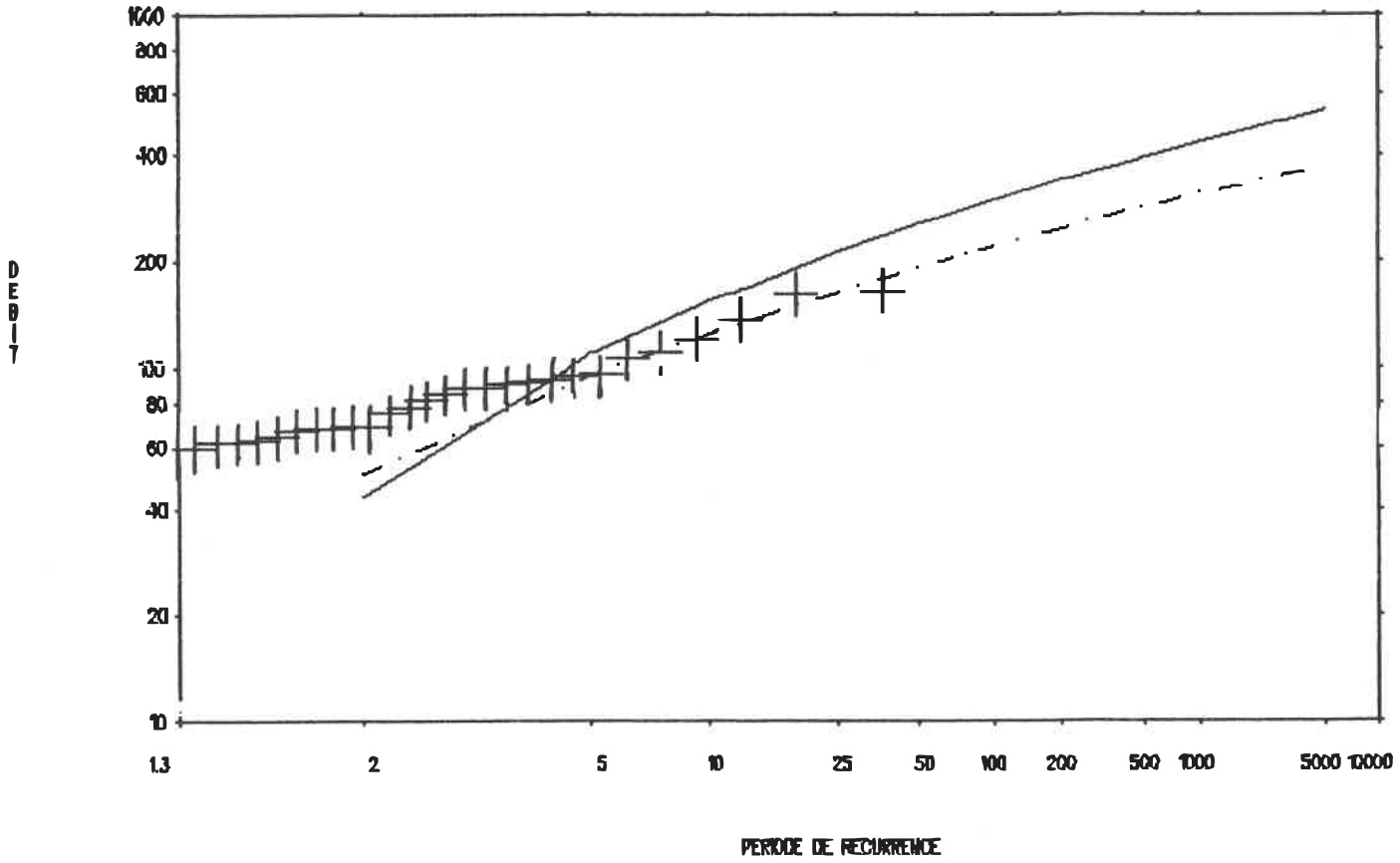



F3.b - Graphe du nombre moyen d'excédances en fonction du temps pour différents débits de base

Figure F3 - Station 08JB002



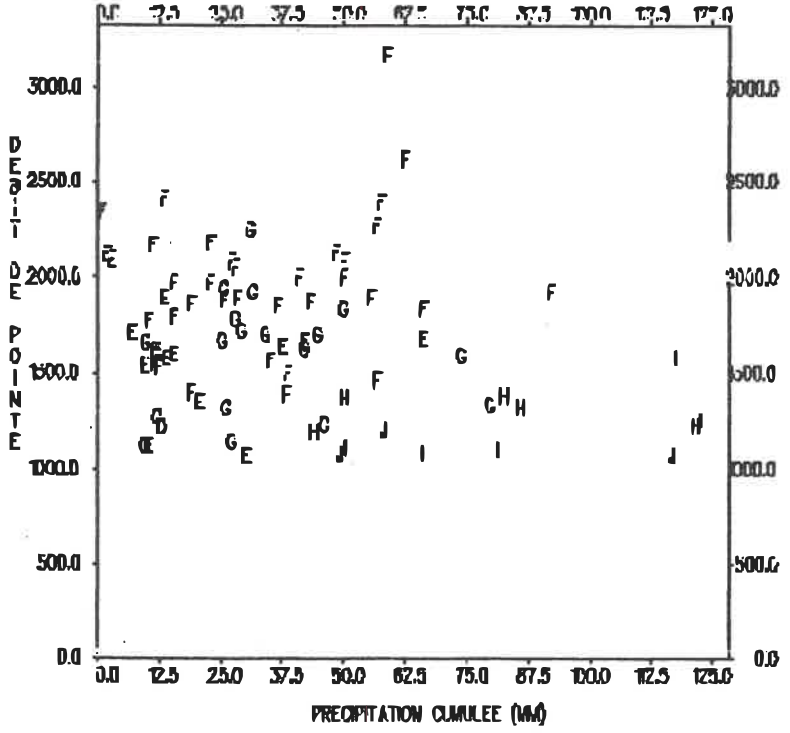

F3.c - Histogramme du nombre d'excédances en fonction de l'amplitude ($m^3/s$) et du mois



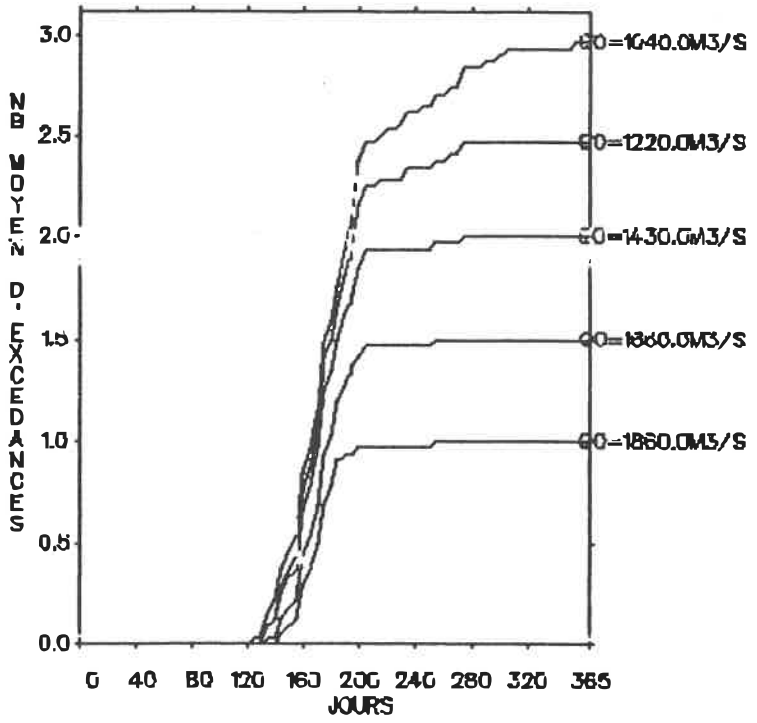

F3.d - Graphe du débit de pointe ($m^3/s$) en fonction du nombre d'années de récurrence

—— découpage en périodes homogènes

—·— analyse annuelle

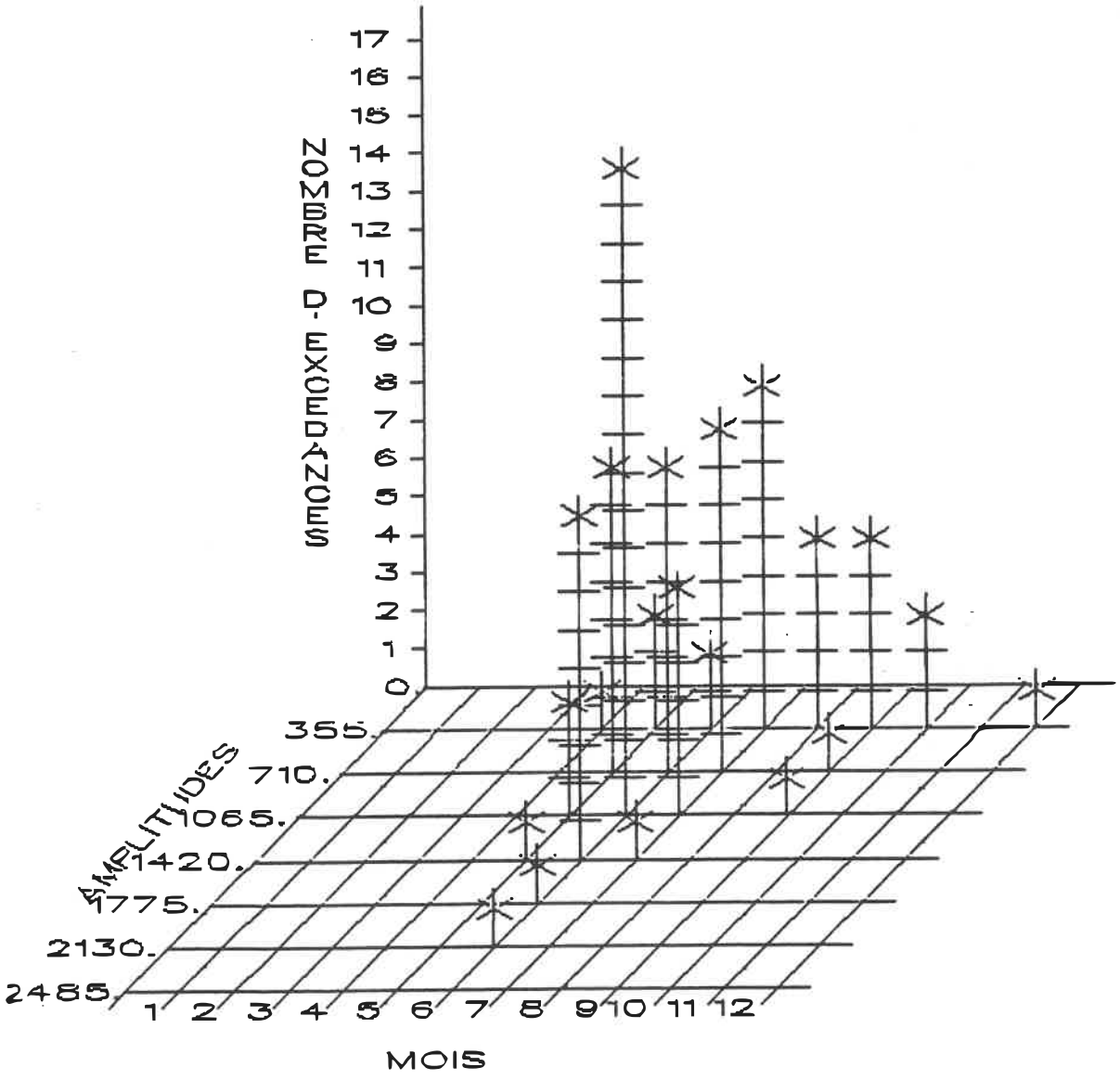



F4.a - Graphe du débit de pointe ($m^3/s$) en fonction de la précipitation cumulée (mm)

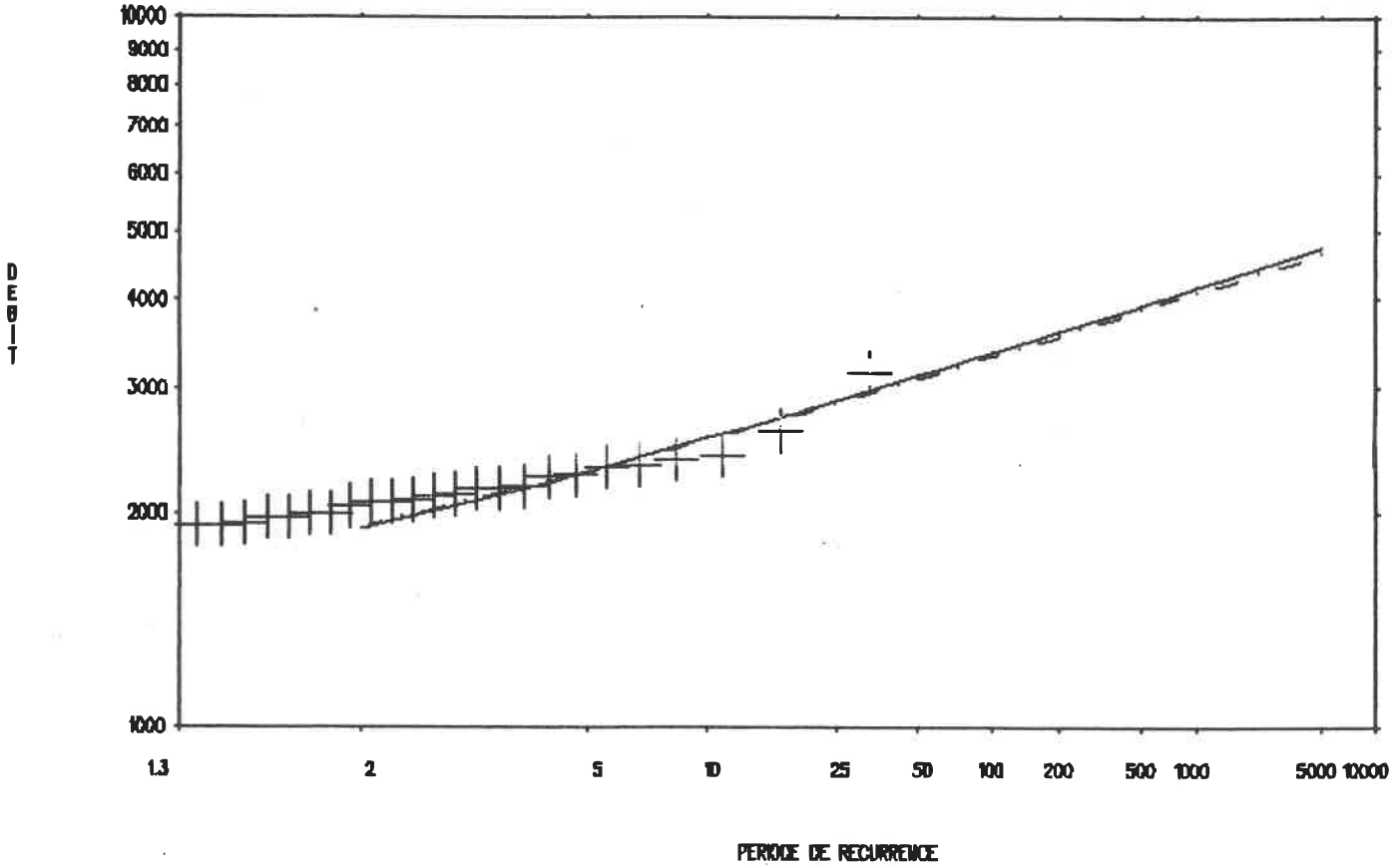



F4.b - Graphe du nombre moyen d'excédances en fonction du temps pour différents débits de base

Figure F4 - Station 08KA004



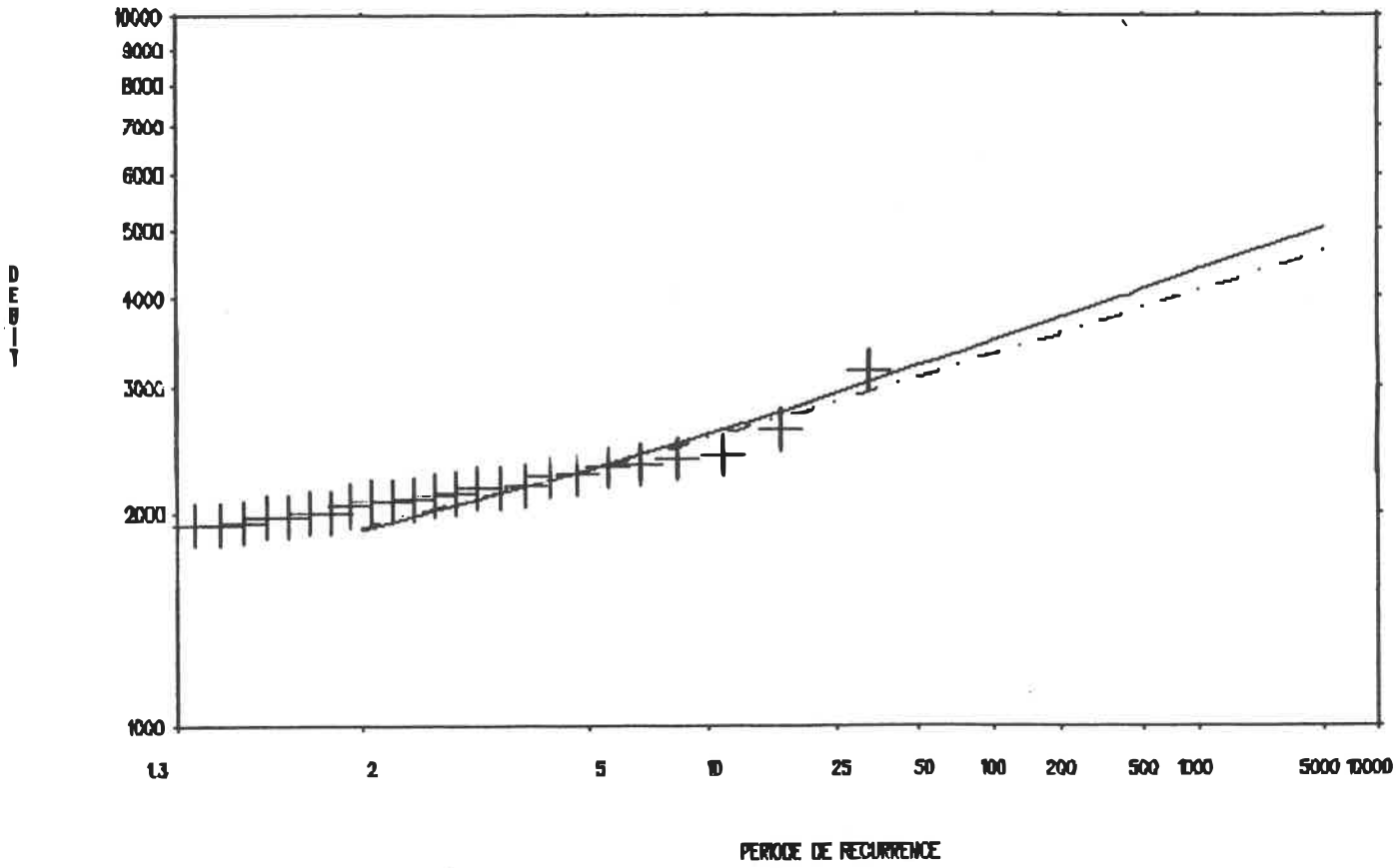

F4.c - Histogramme du nombre d'excédances en fonction de l'amplitude ($m^3/s$) et du mois




F4.d - Graphe du débit de pointe ($m^3/s$) en fonction du nombre d'années de récurrence

——— découpage en périodes homogènes

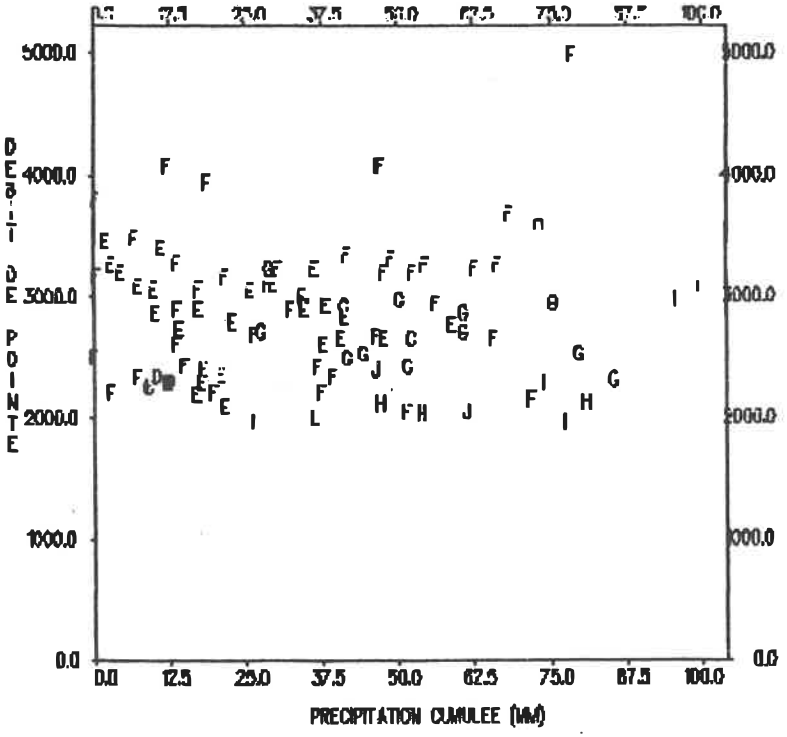
—·—· analyse annuelle



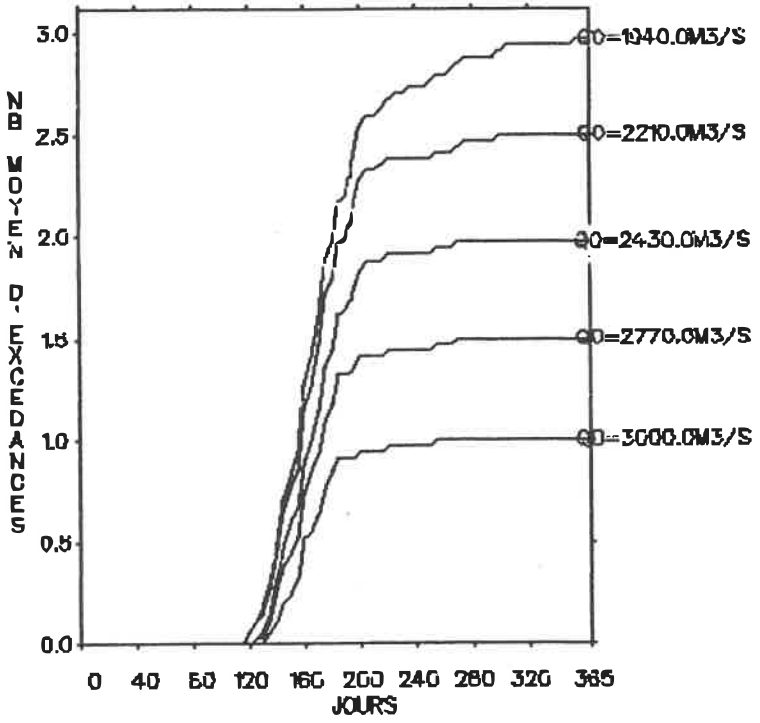

F4.e - Graphe du débit de pointe ($m^3/s$) en fonction du nombre d'années de récurrence

—— découpage selon les phénomènes générateurs

– – analyse annuelle

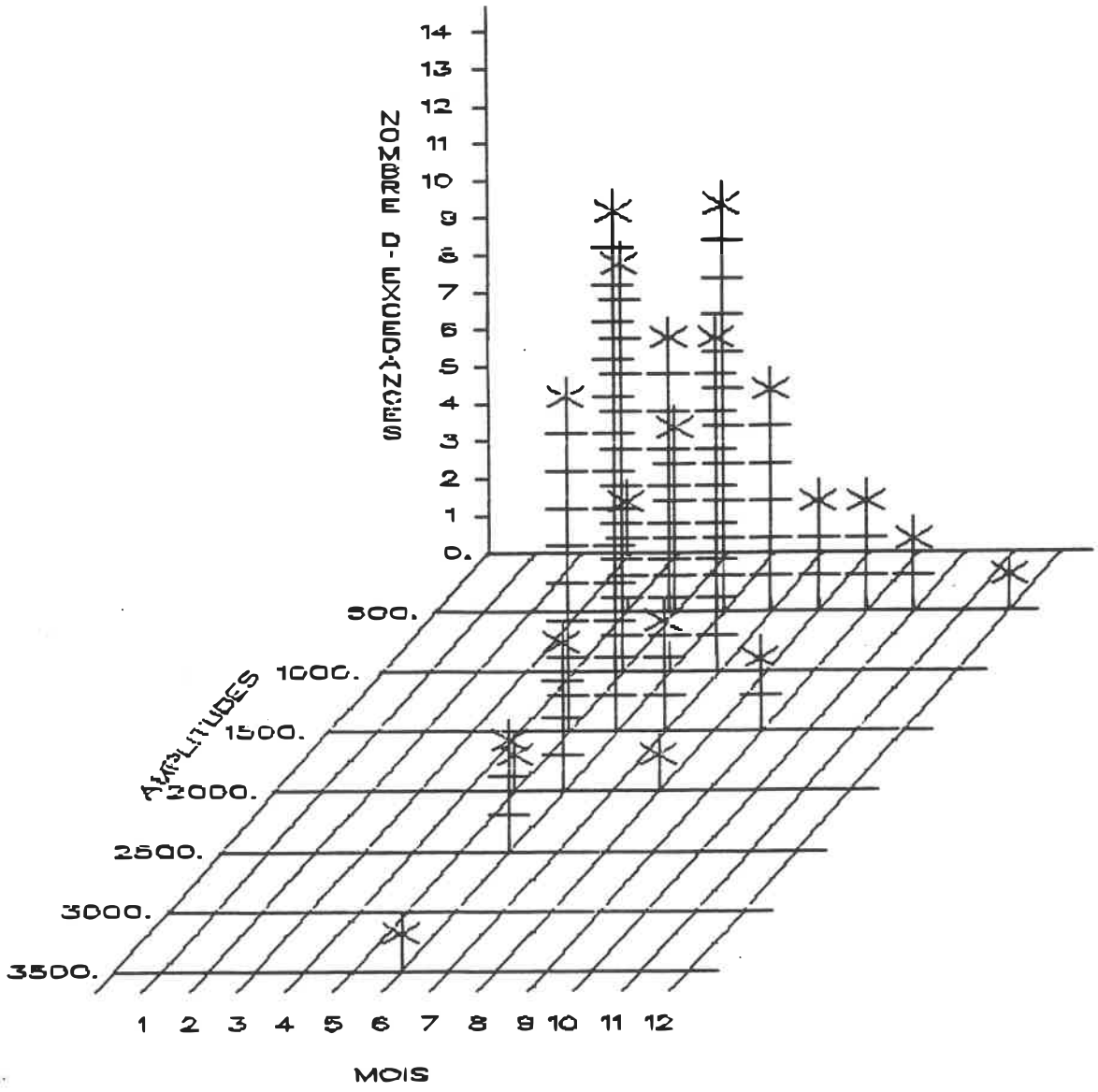



F5.a - Graphe du débit de pointe ($m^3/s$) en fonction de la précipitation cumulée (mm)

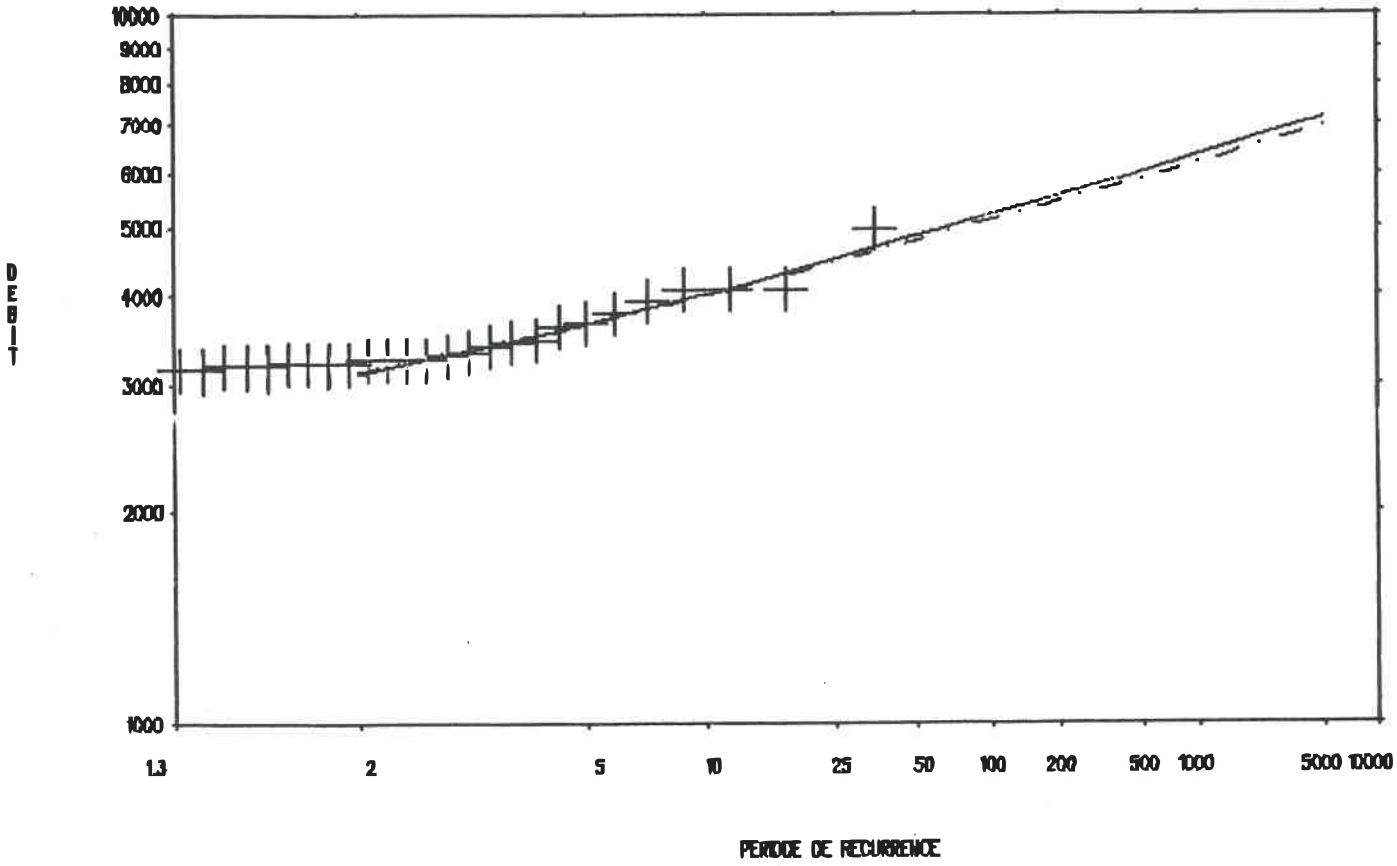



F5.b - Graphe du nombre moyen d'excédances en fonction du temps pour différents débits de base

Figure F5 - Station 08KB001



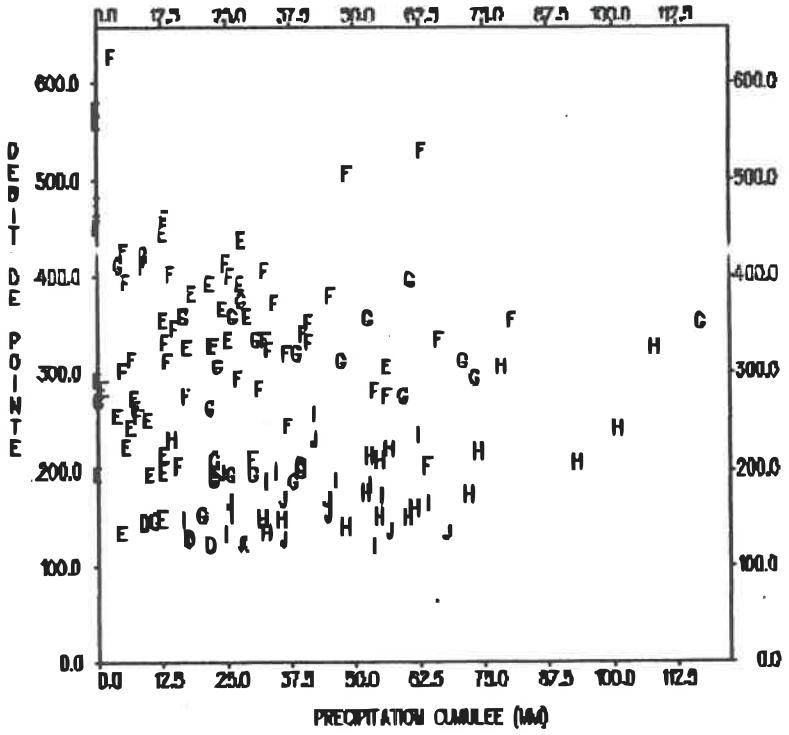

F5.c - Histogramme du nombre d'excédances en fonction de l'amplitude ($m^3/s$) et du mois



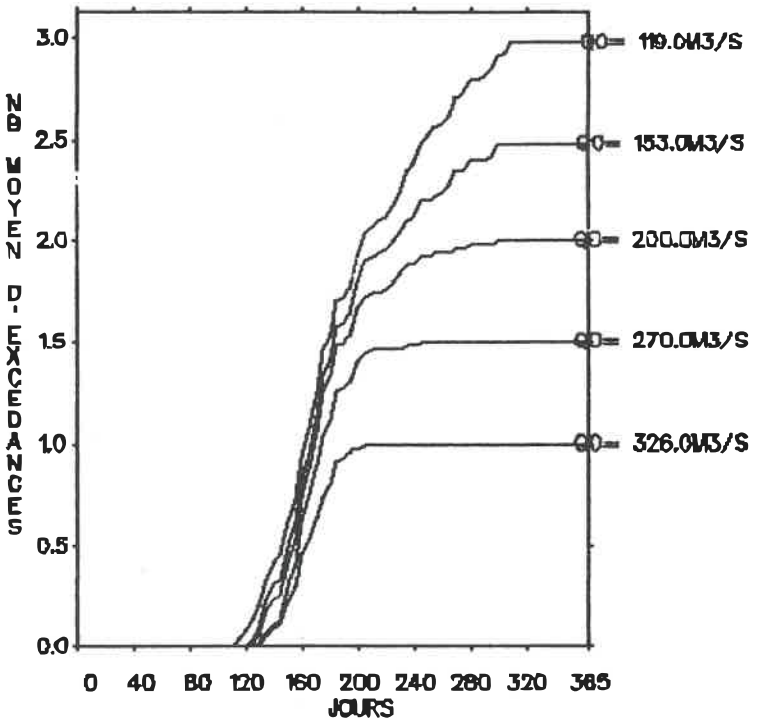

F5.d - Graphe du débit de pointe ($m^3/s$) en fonction du nombre d'années de récurrence

—— découpage en périodes homogènes

—·—· analyse annuelle

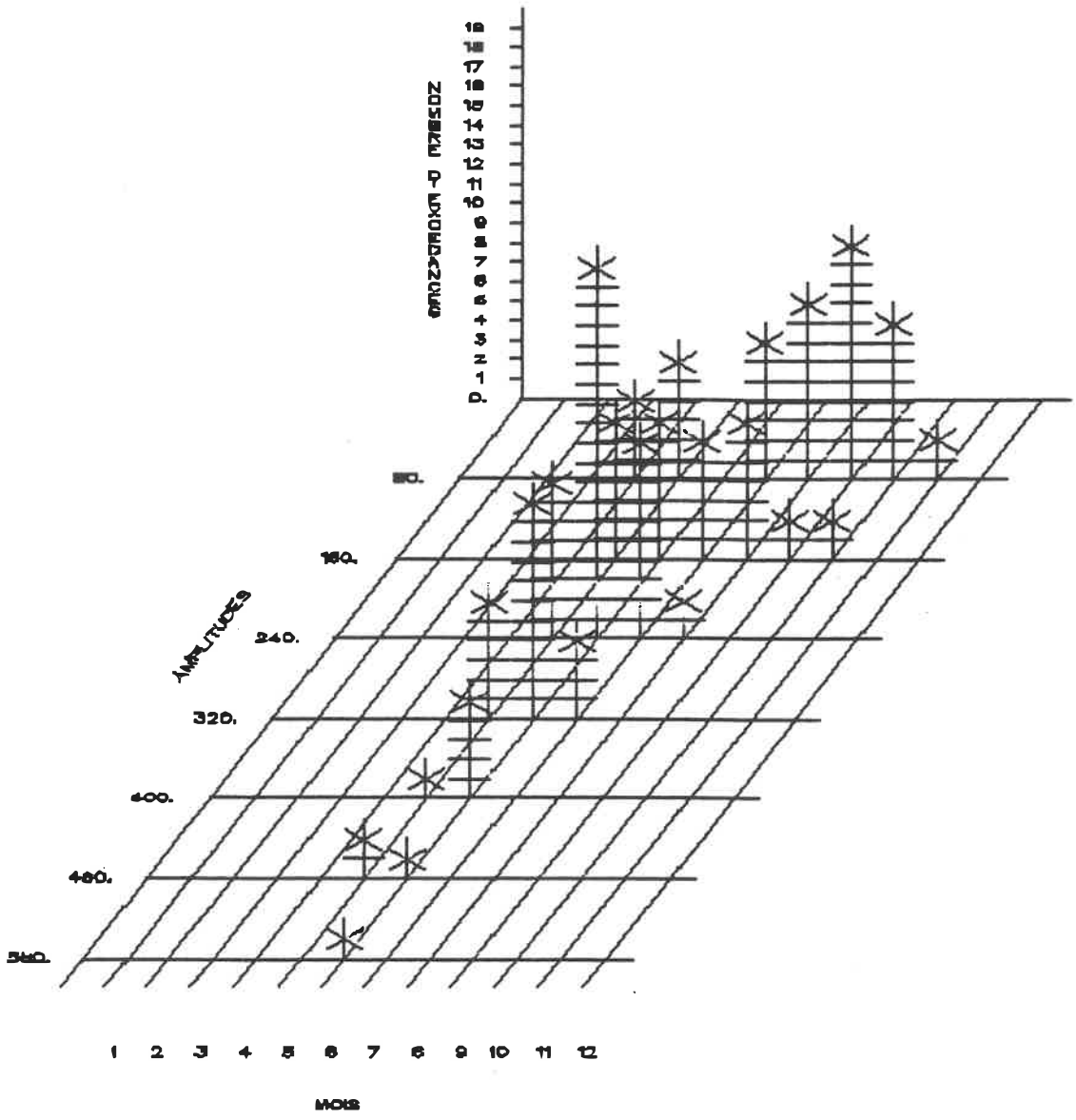



F6.a - Graphe du débit de pointe ($m^3/s$) en fonction de la précipitation cumulée (mm)

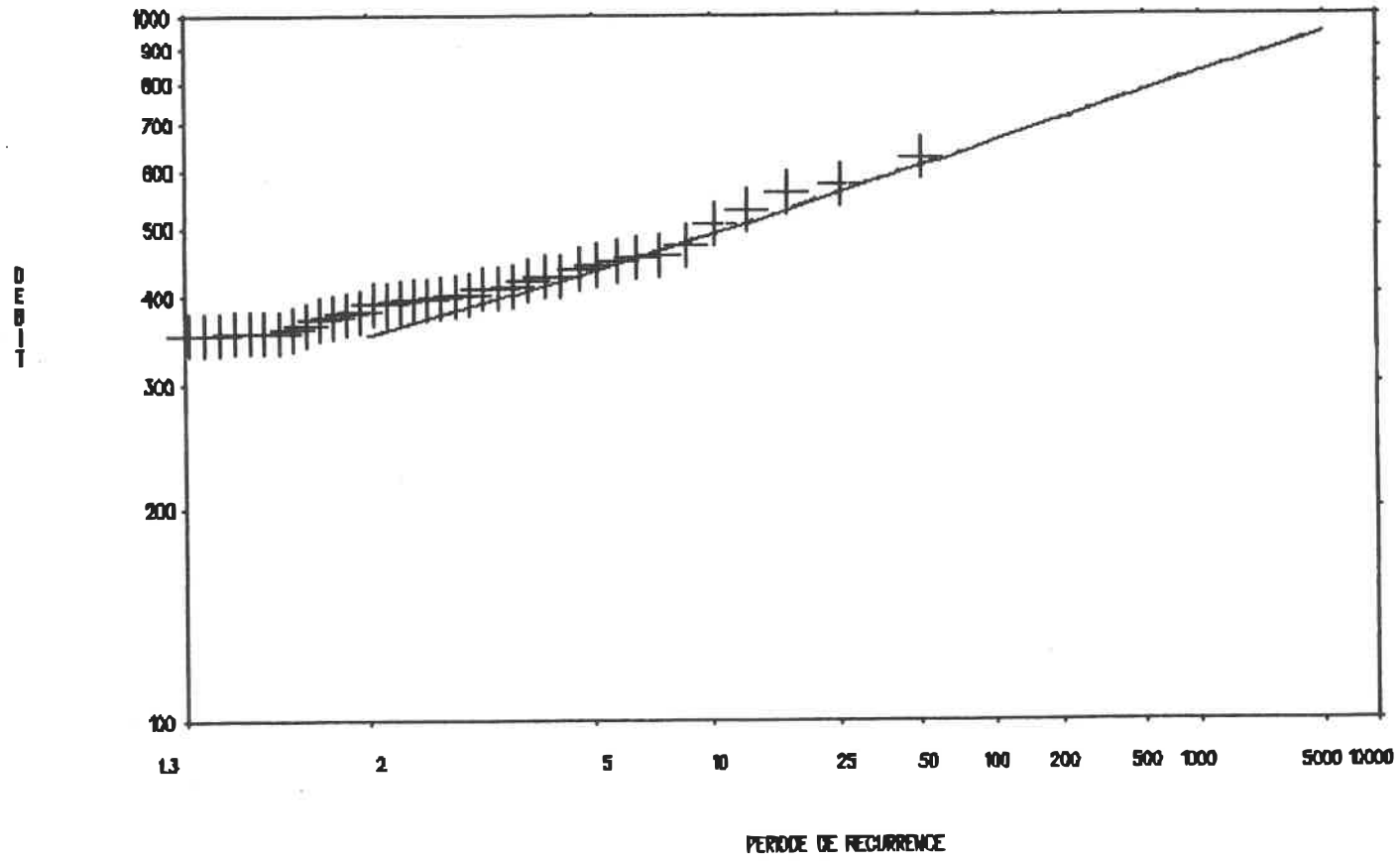



F6.b - Graphe du nombre moyen d'excédances en fonction du temps pour différents débits de base

Figure F6 - Station 08KH003



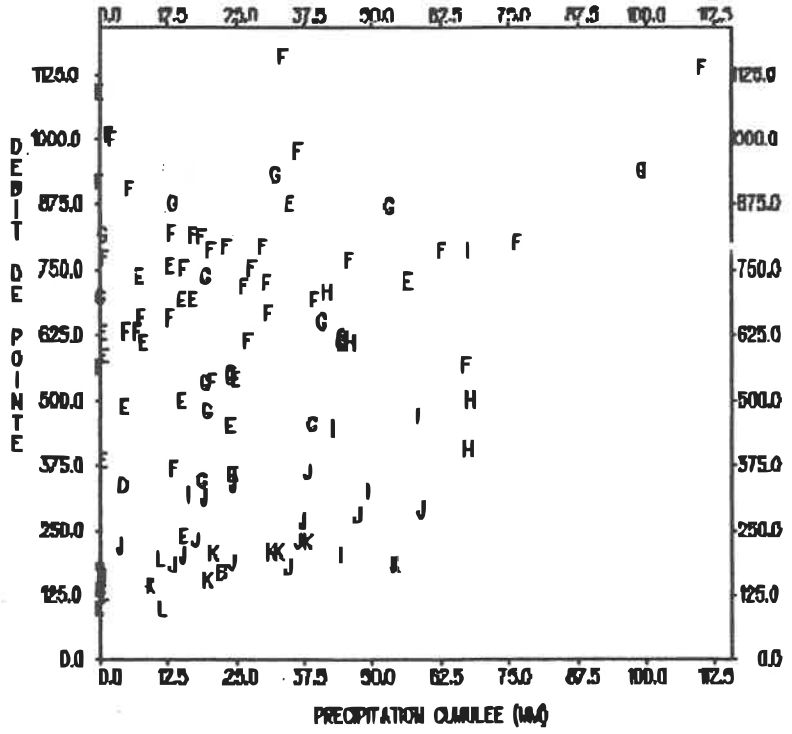

F6.c - Histogramme du nombre d'excédances en fonction de l'amplitude ($m^3/s$) et du mois



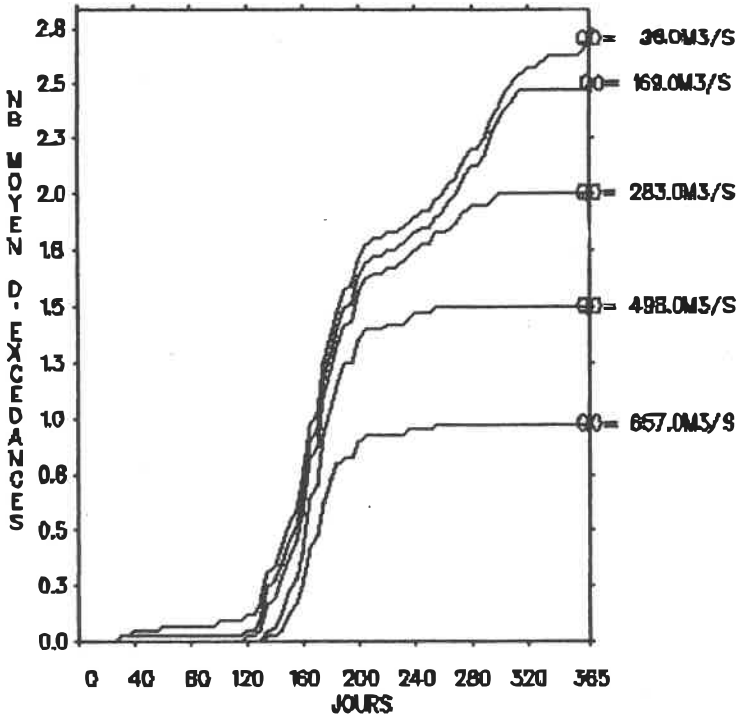

F6.d - Graphe du débit de pointe ($m^3/s$) en fonction du nombre d'années de récurrence

——— découpage en périodes homogènes

—·—· analyse annuelle

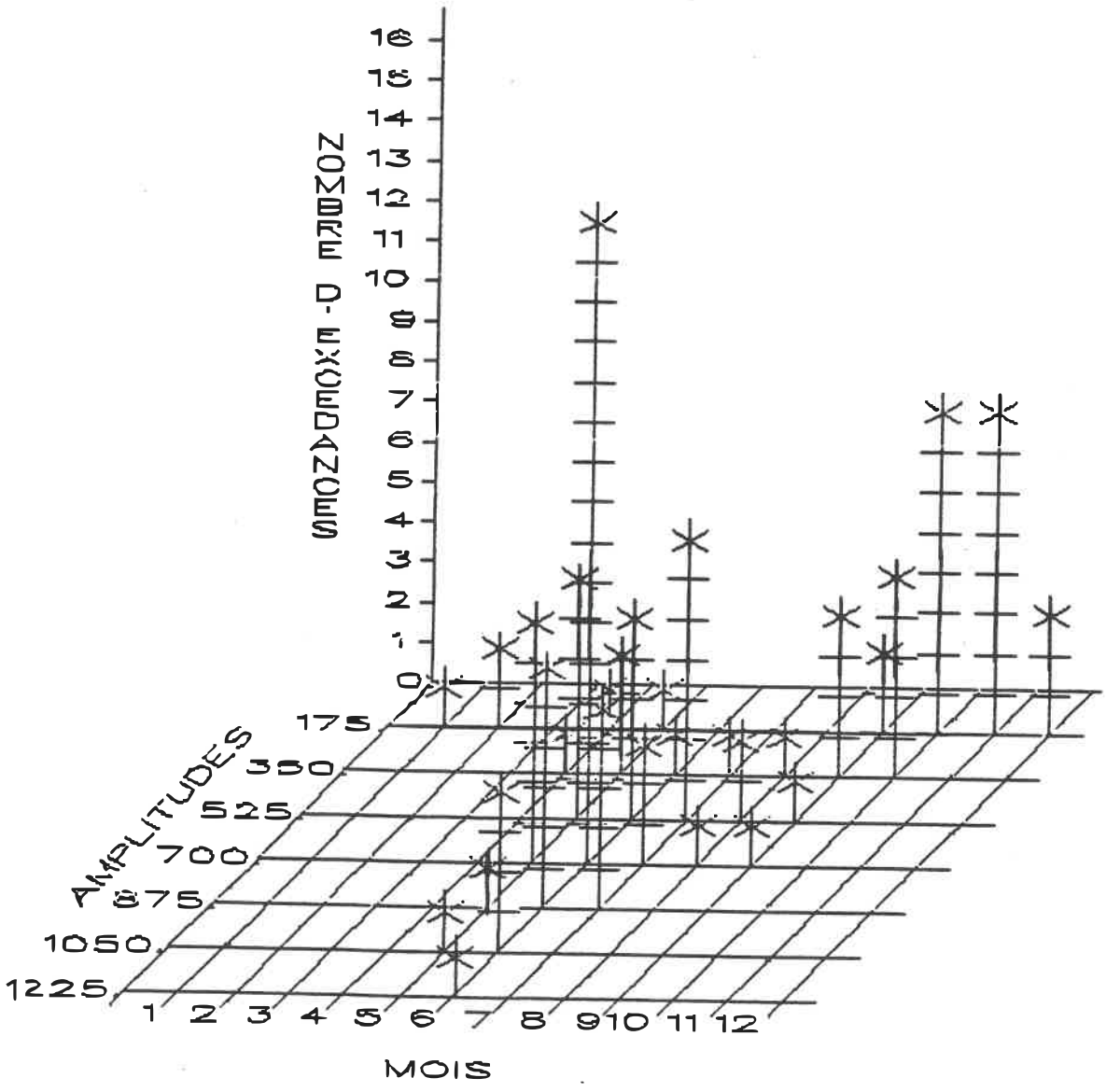



F7.a - Graphe du débit de pointe ($m^3/s$) en fonction de la précipitation cumulée (mm)

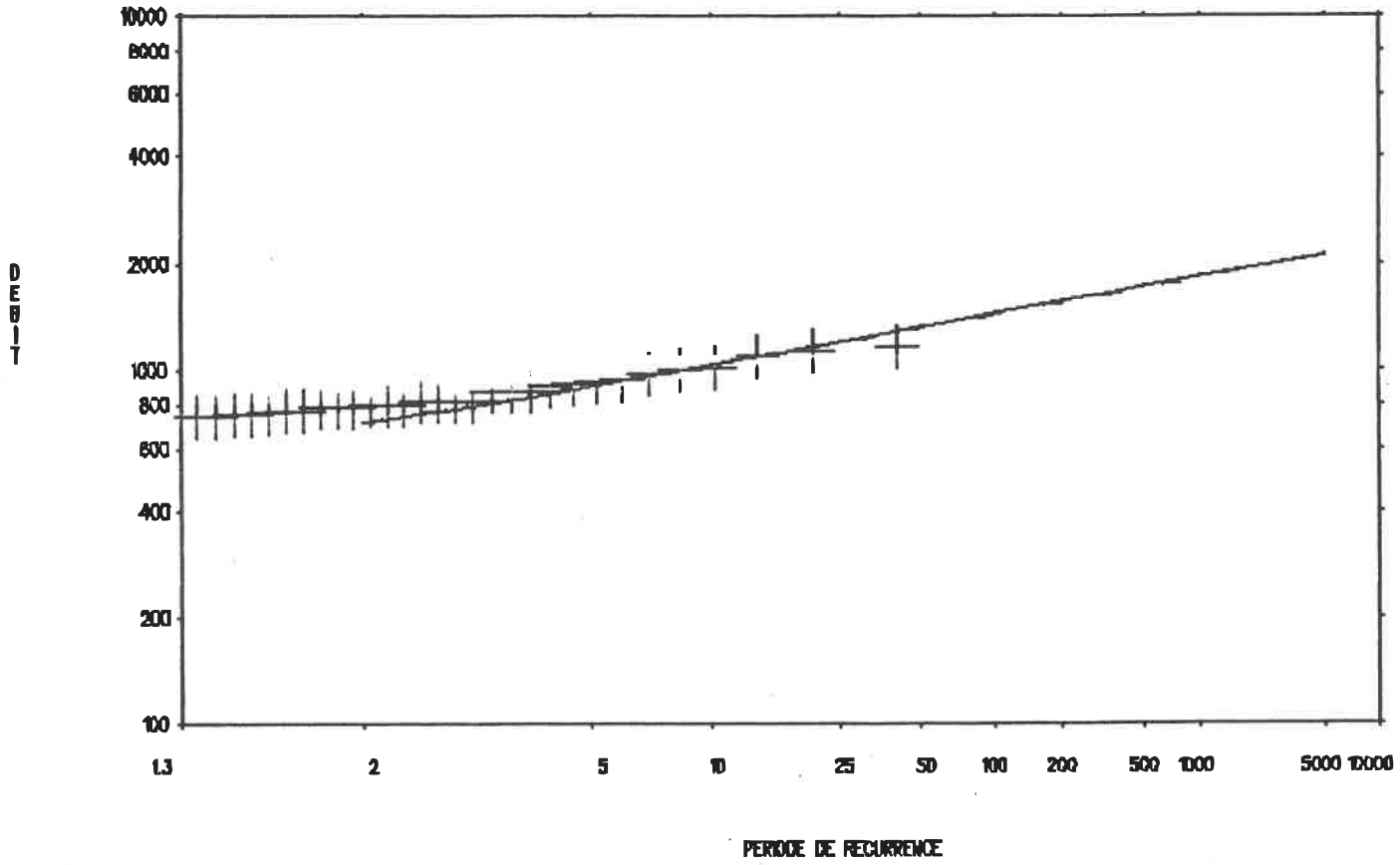



F7.b - Graphe du nombre moyen d'excédances en fonction du temps pour différents débits de base

Figure F7 - Station 08KH006



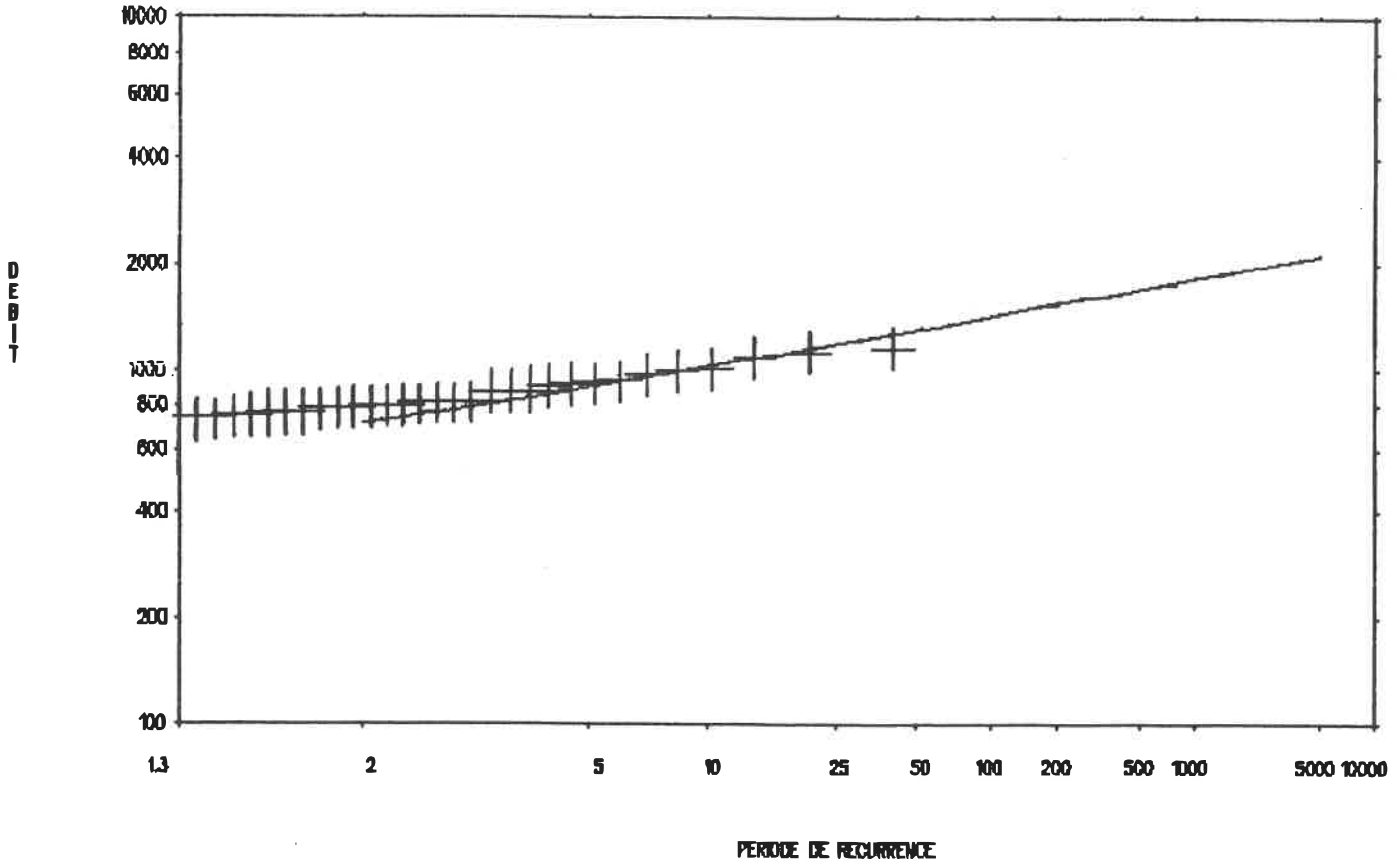

F7.c - Histogramme du nombre d'excédances en fonction de l'amplitude ($m^3/s$) et du mois




F7.d - Graphe du débit de pointe ($m^3/s$) en fonction du nombre d'années de récurrence

——— découpage en périodes homogènes

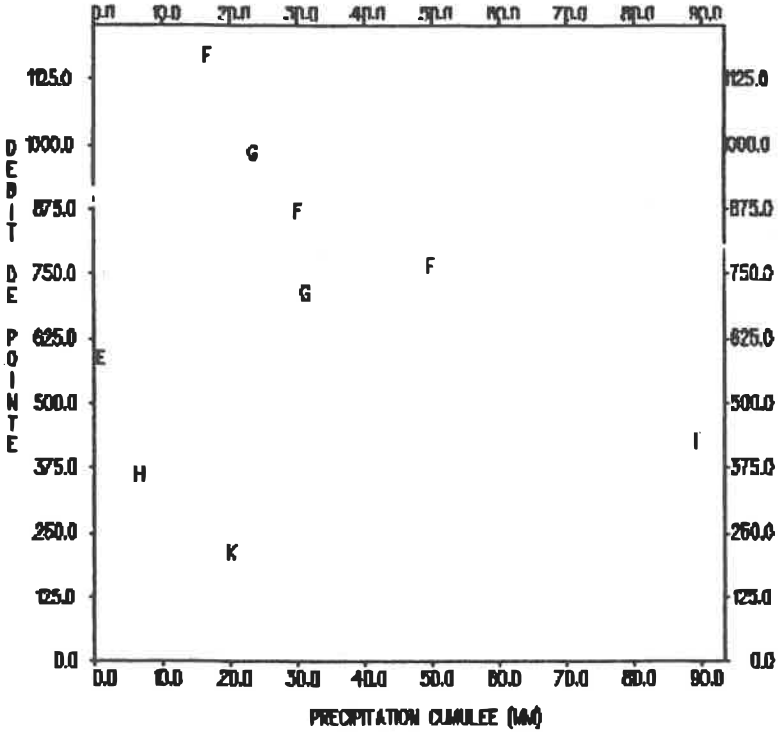
—·—· analyse annuelle



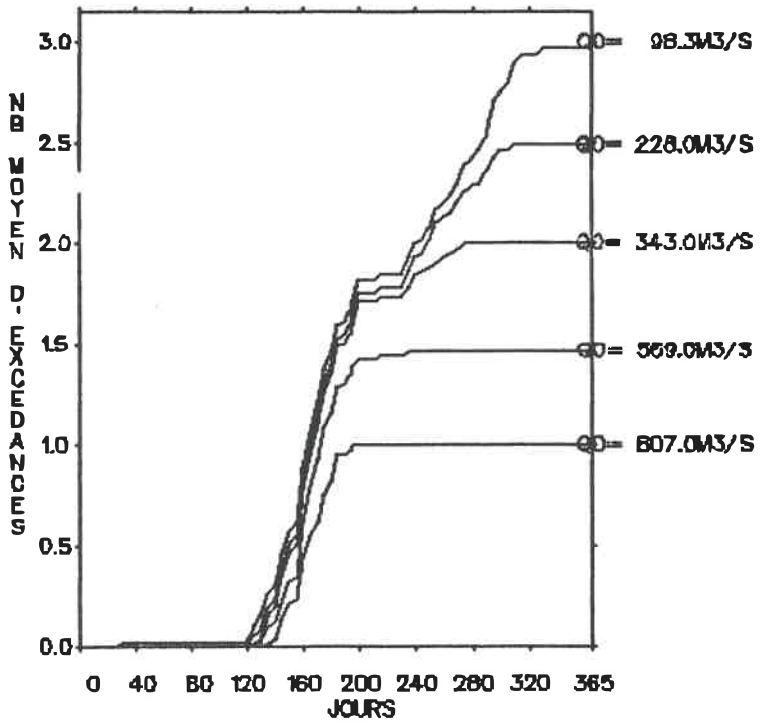

F7.e - Graphe du débit de pointe ($m^3/s$) en fonction du nombre d'années de récurrence

—— découpage selon les phénomènes générateurs

– – analyse annuelle

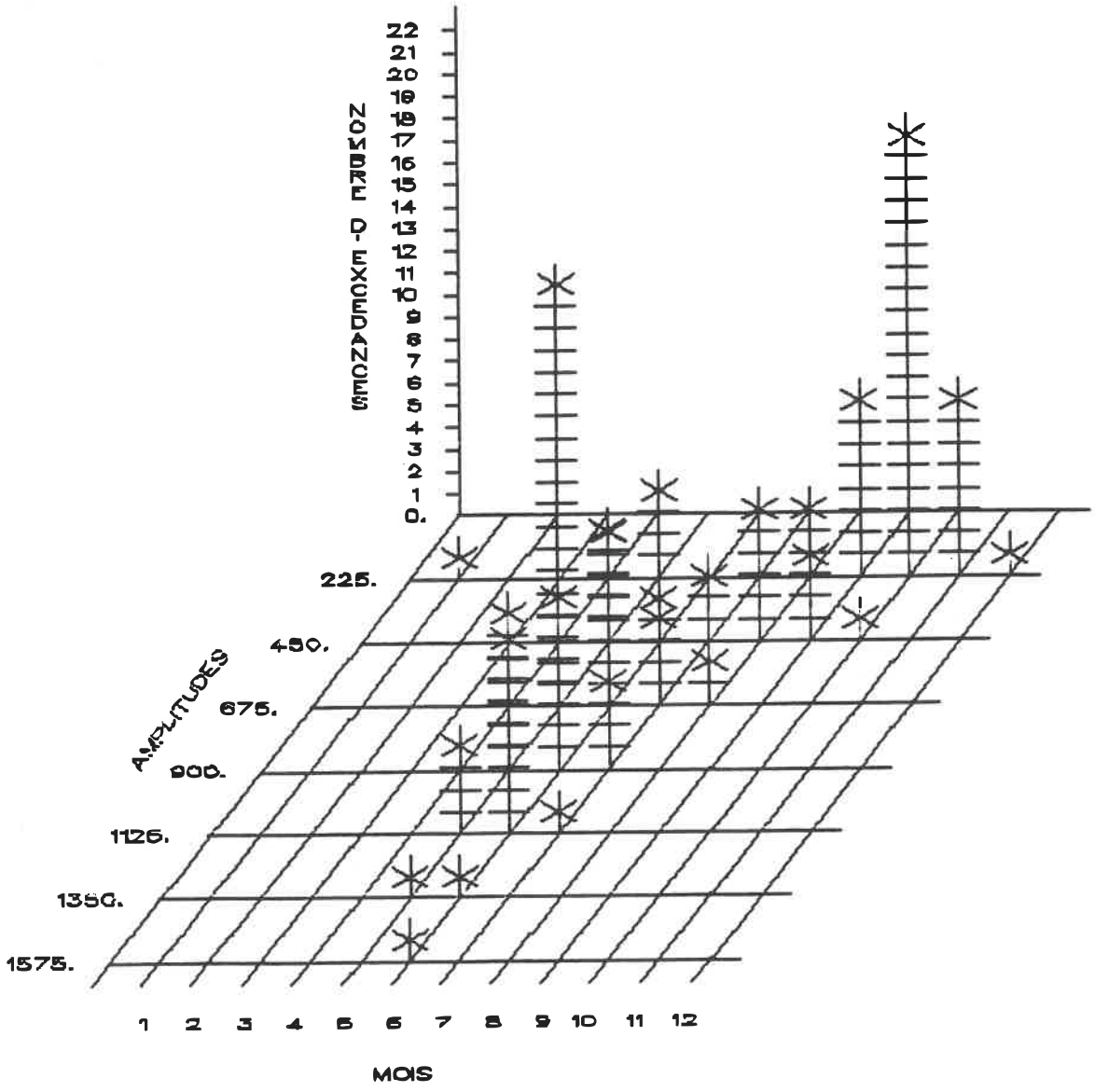



F8.a - Graphe du débit de pointe ($m^3/s$) en fonction de la précipitation cumulée (mm)

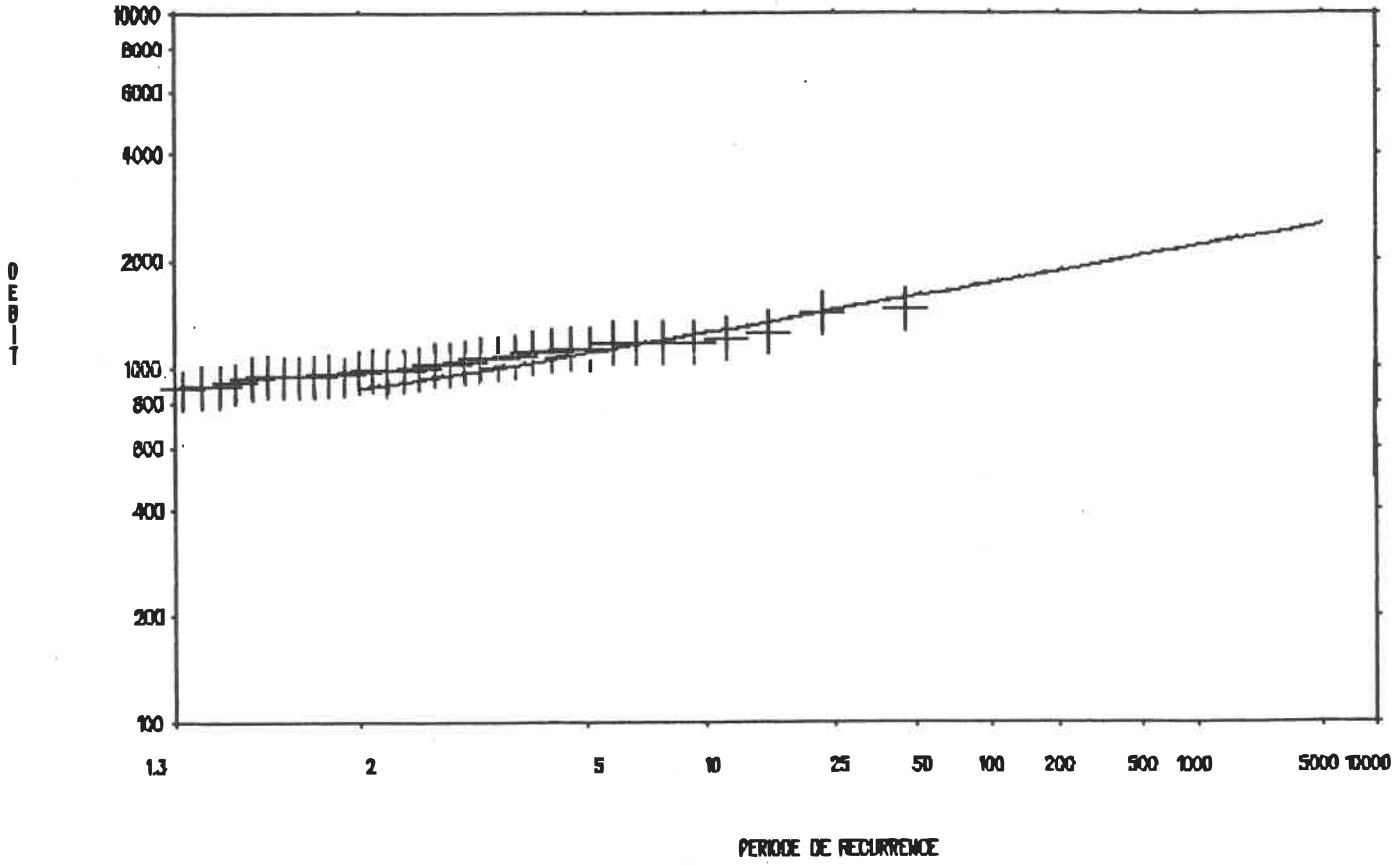



F8.b - Graphe du nombre moyen d'excédances en fonction du temps pour différents débits de base

Figure F8 - Station 08LA001



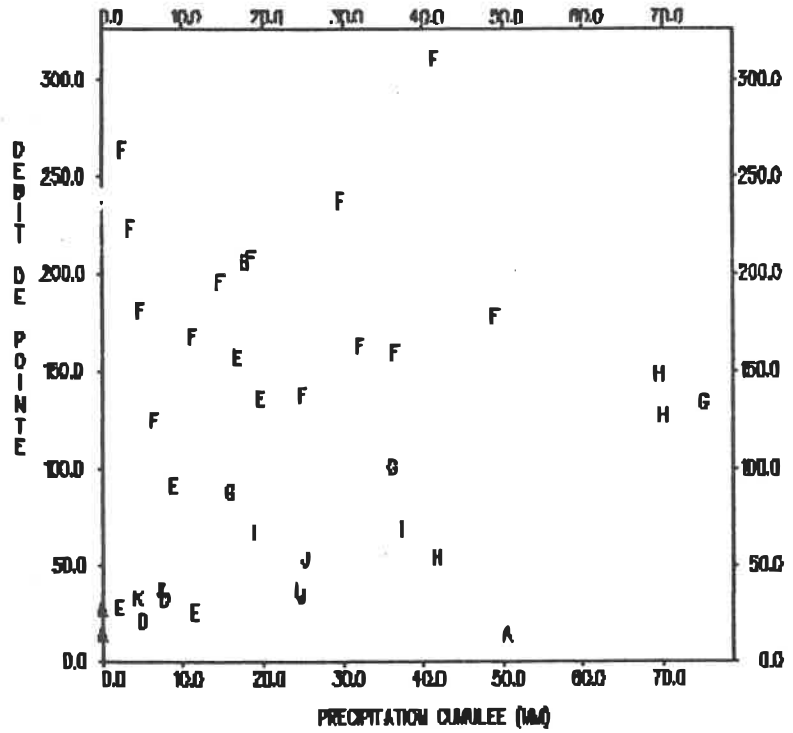

F8.c - Histogramme du nombre d'excédances en fonction de l'amplitude ($m^3/s$) et du mois



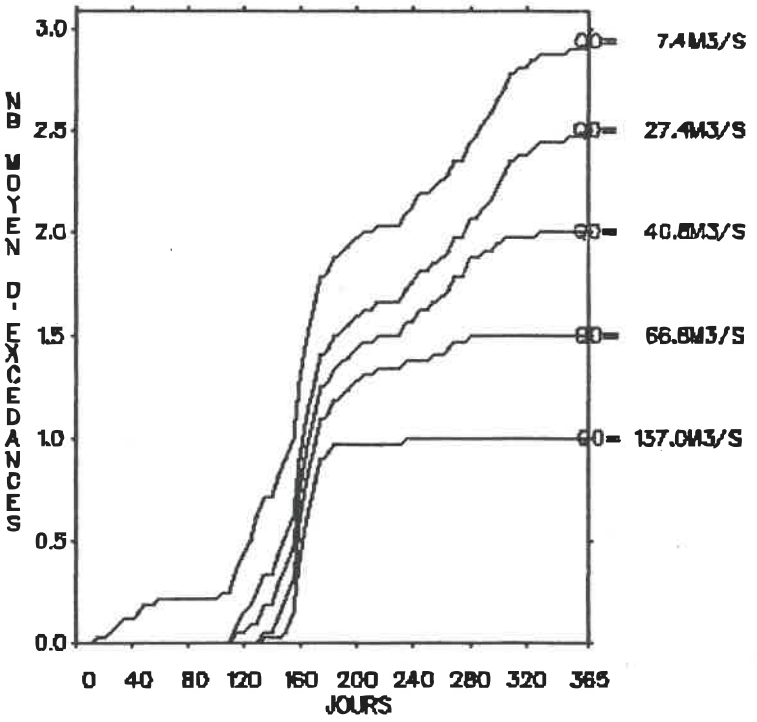

Fθ.d - Graphe du débit de pointe ($m^3/s$) en fonction du nombre d'années de récurrence

—— découpage en périodes homogènes

—·—· analyse annuelle

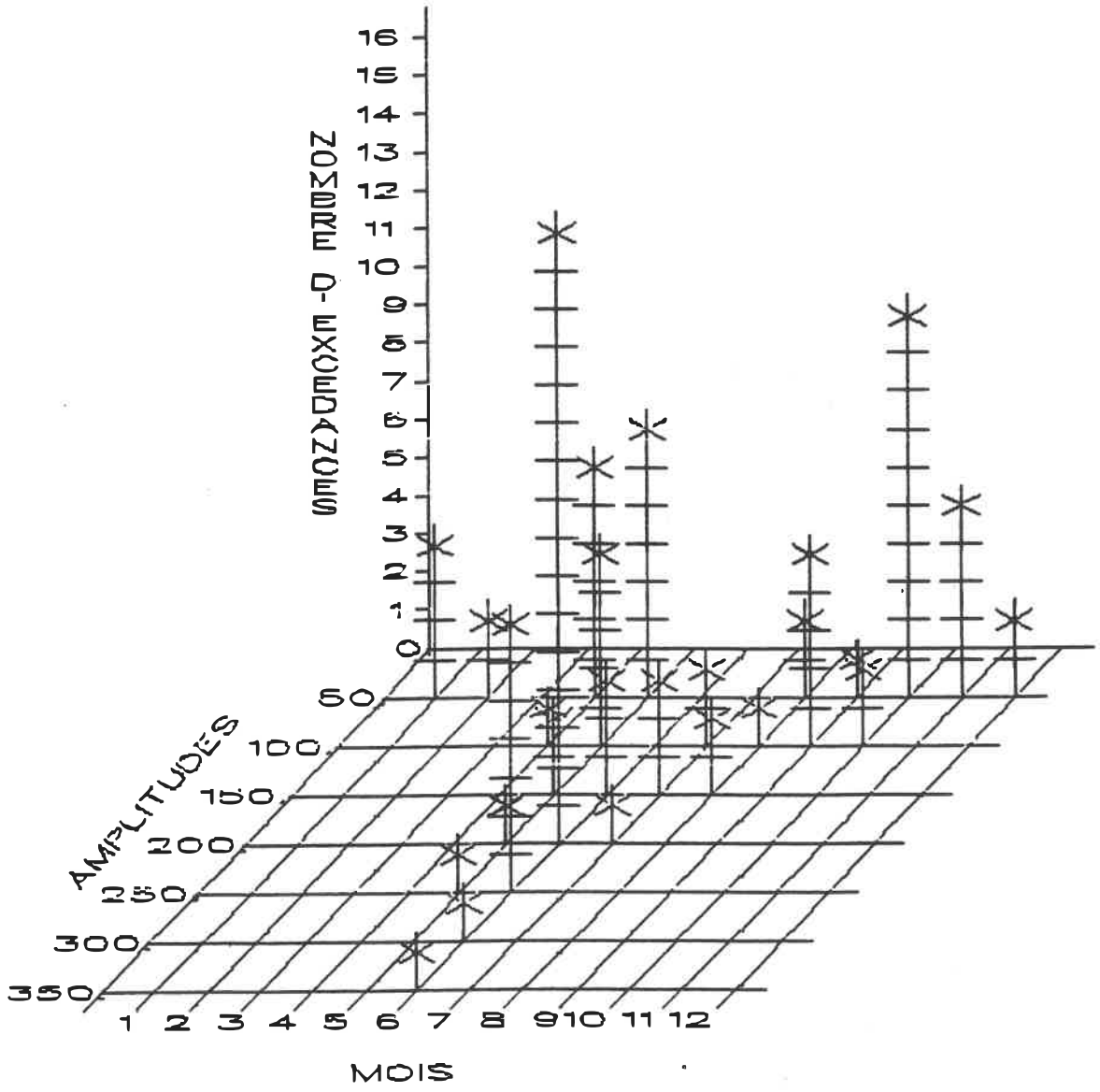



F9.a - Graphe du débit de pointe ($m^3/s$) en fonction de la précipitation cumulée (mm)

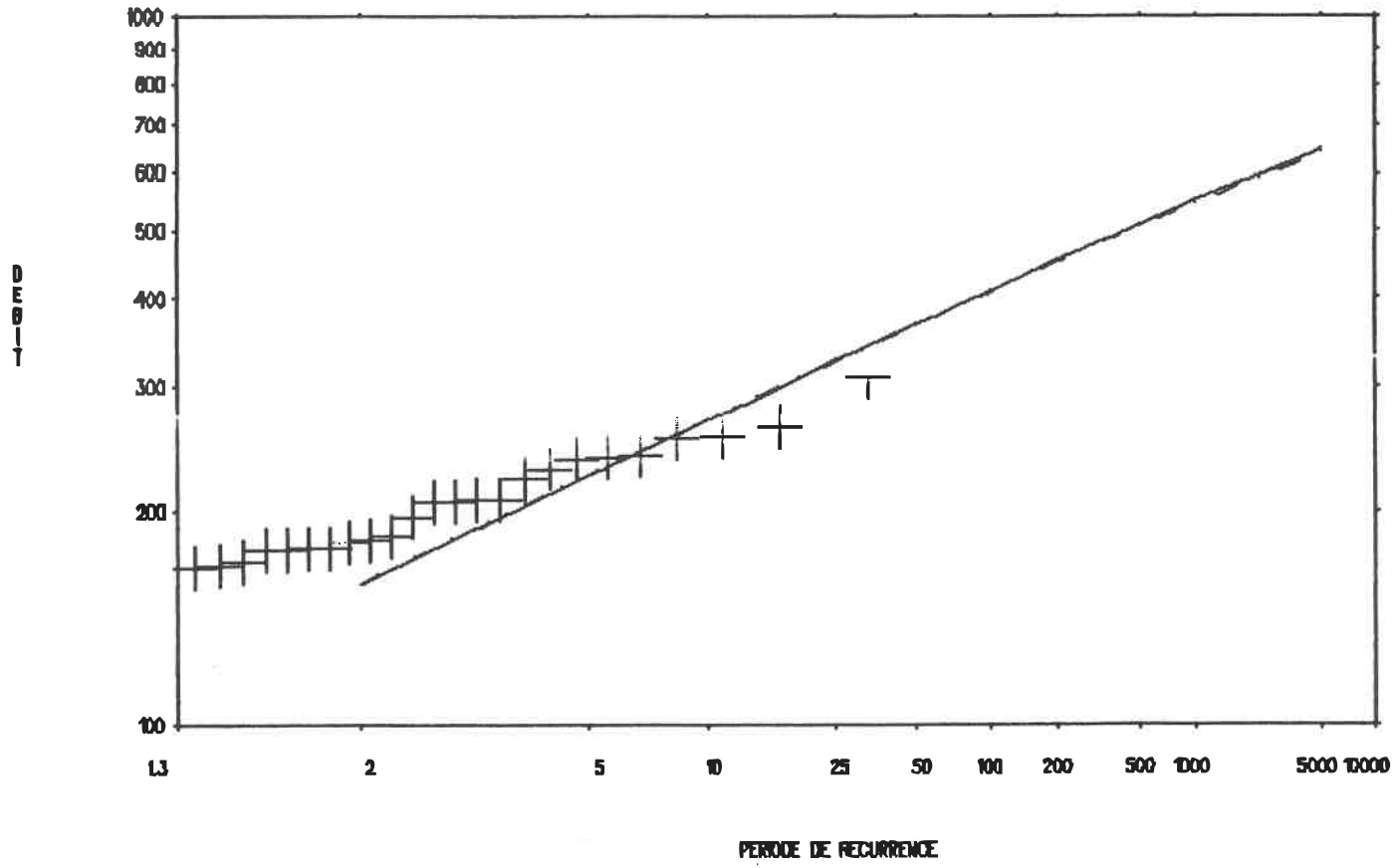



F9.b - Graphe du nombre moyen d'excédances en fonction du temps pour différents débits de base

Figure F9 - Station 08LA004



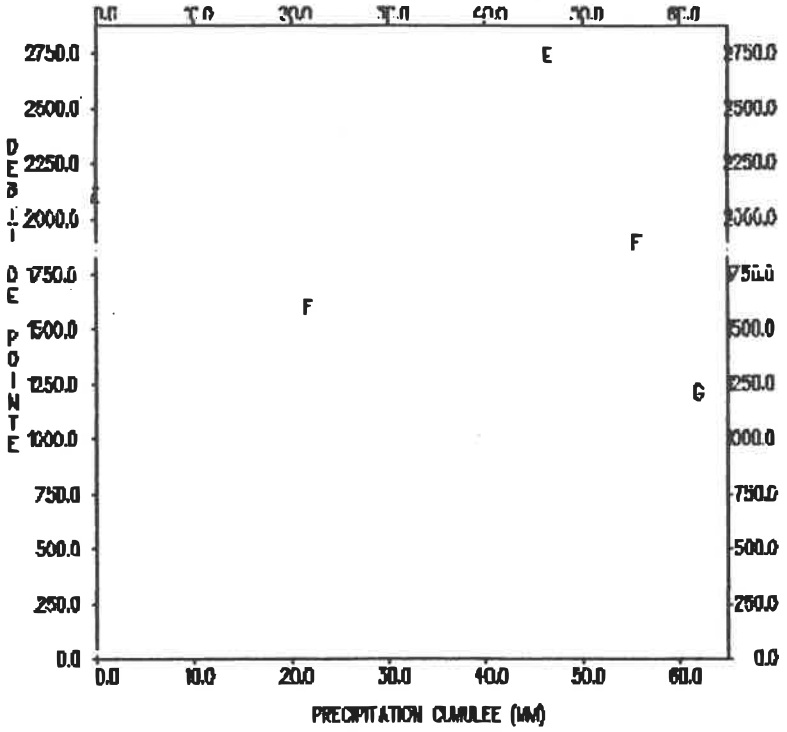

F9.c - Histogramme du nombre d'excédances en fonction de l'amplitude ($m^3/s$) et du mois



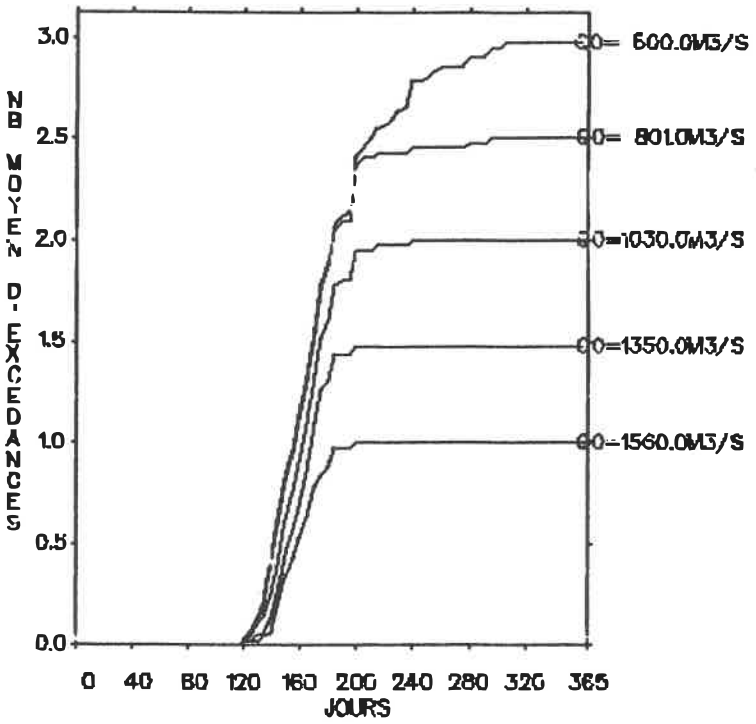

F9.d - Graphe du débit de pointe ($m^3/s$) en fonction du nombre d'années de récurrence

—— découpage en périodes homogènes

—·—· analyse annuelle

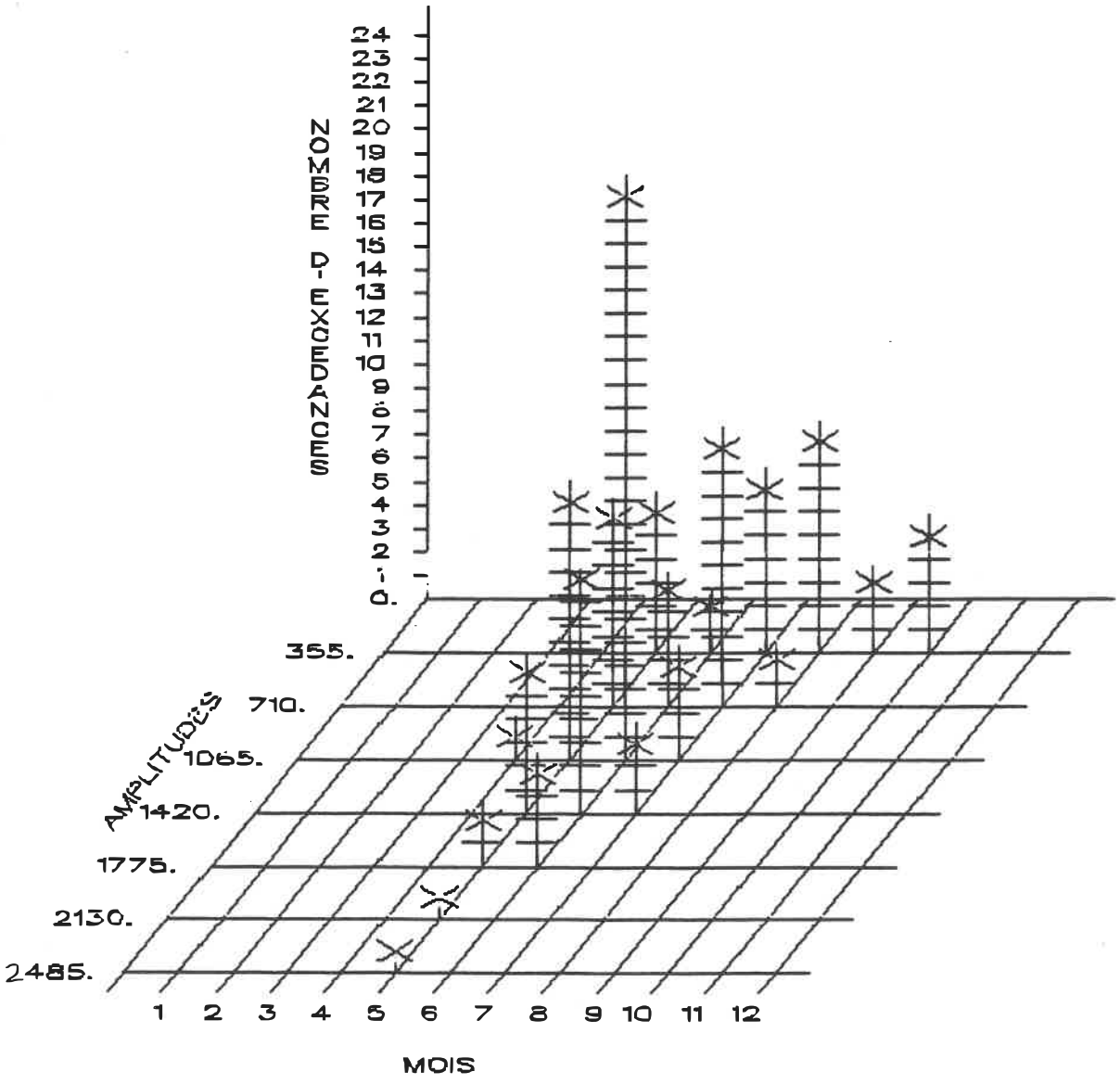



F10.a - Graphe du débit de pointe ($m^3/s$) en fonction de la précipitation cumulée (mm)

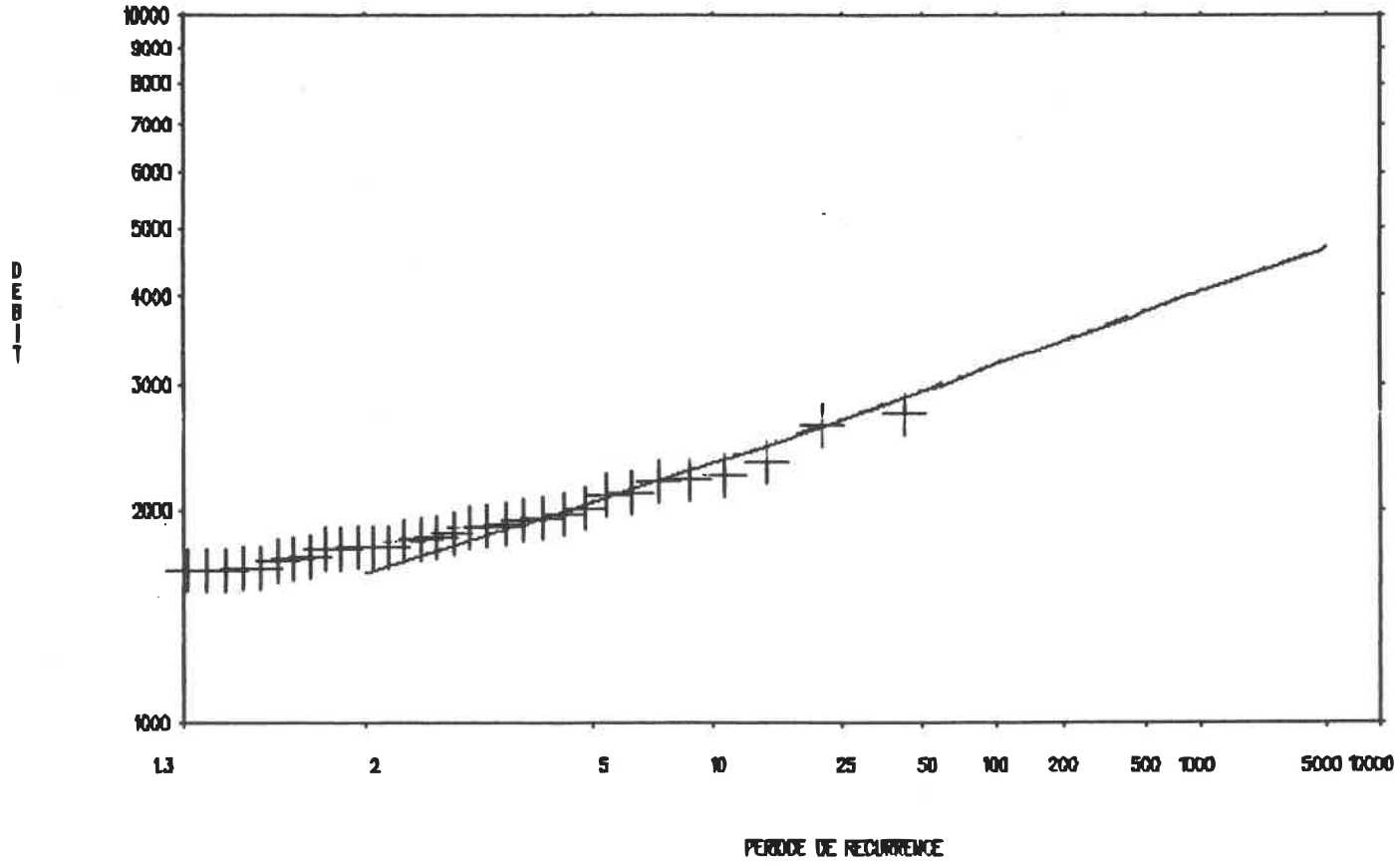



F10.b - Graphe du nombre moyen d'excédances en fonction du temps pour différents débits de base

Figure F10 - Station 08LB022



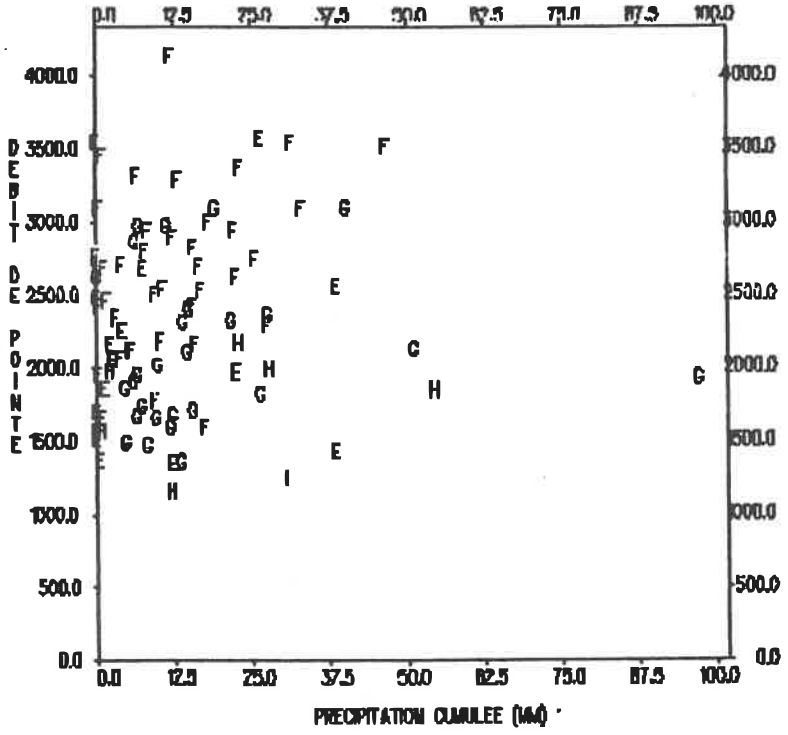

F10.c - Histogramme du nombre d'excédances en fonction de l'amplitude ($m^3/s$) et du mois



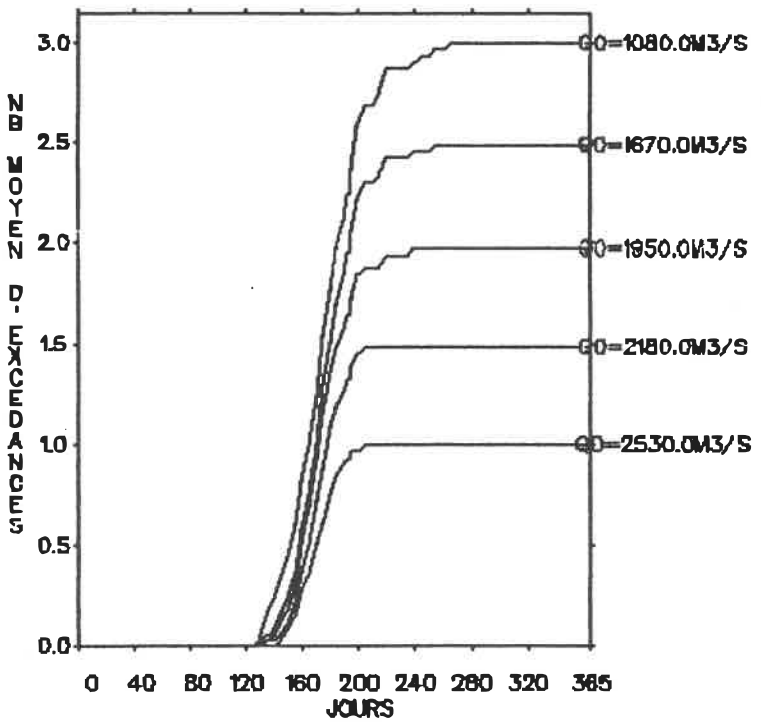

F10.d - Graphe du débit de pointe ($m^3/s$) en fonction du nombre d'années de récurrence

—— découpage en périodes homogènes

—·—· analyse annuelle

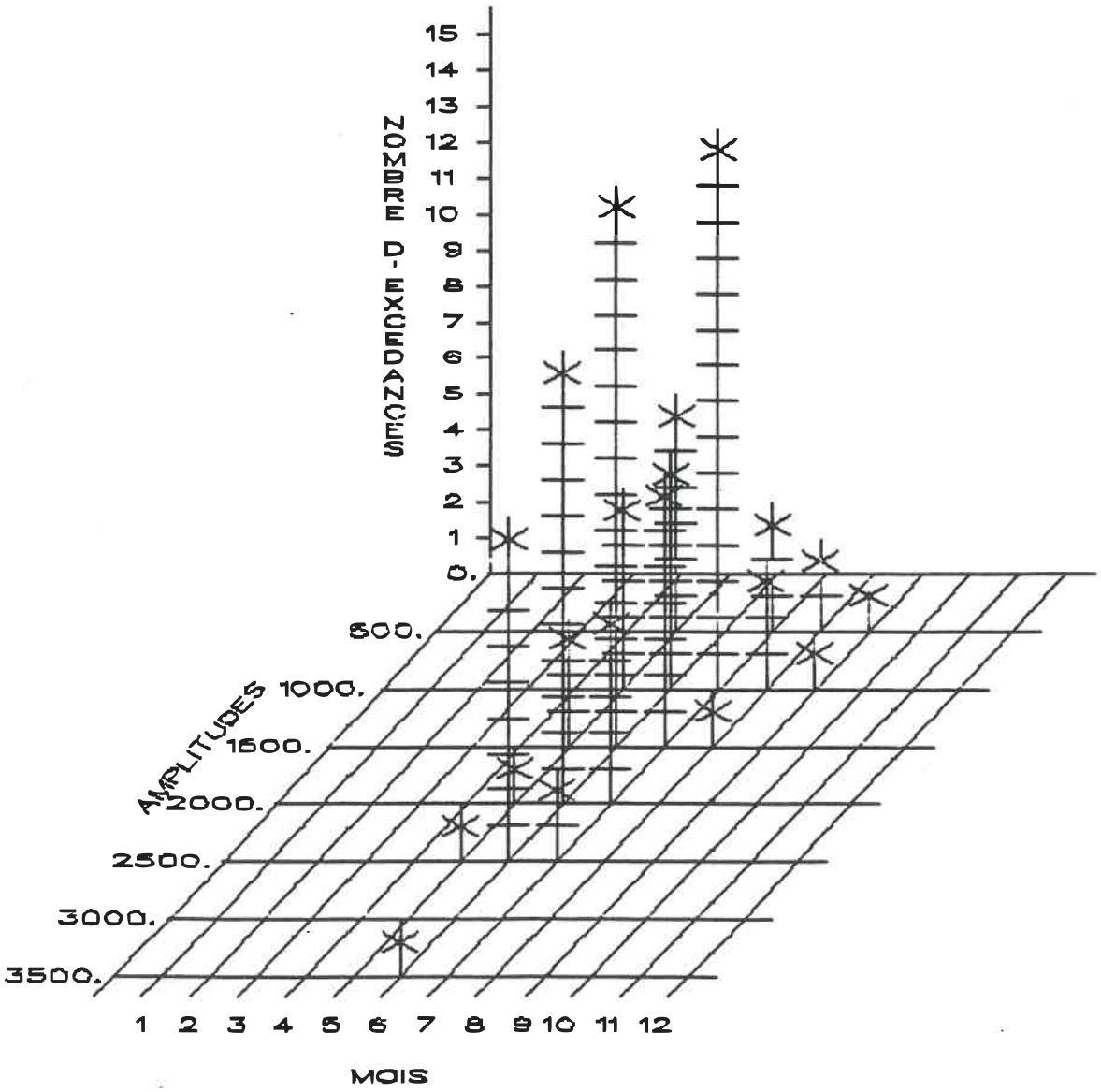



F11.a - Graphe du débit de pointe ($m^3/s$) en fonction de la précipitation cumulée (mm)

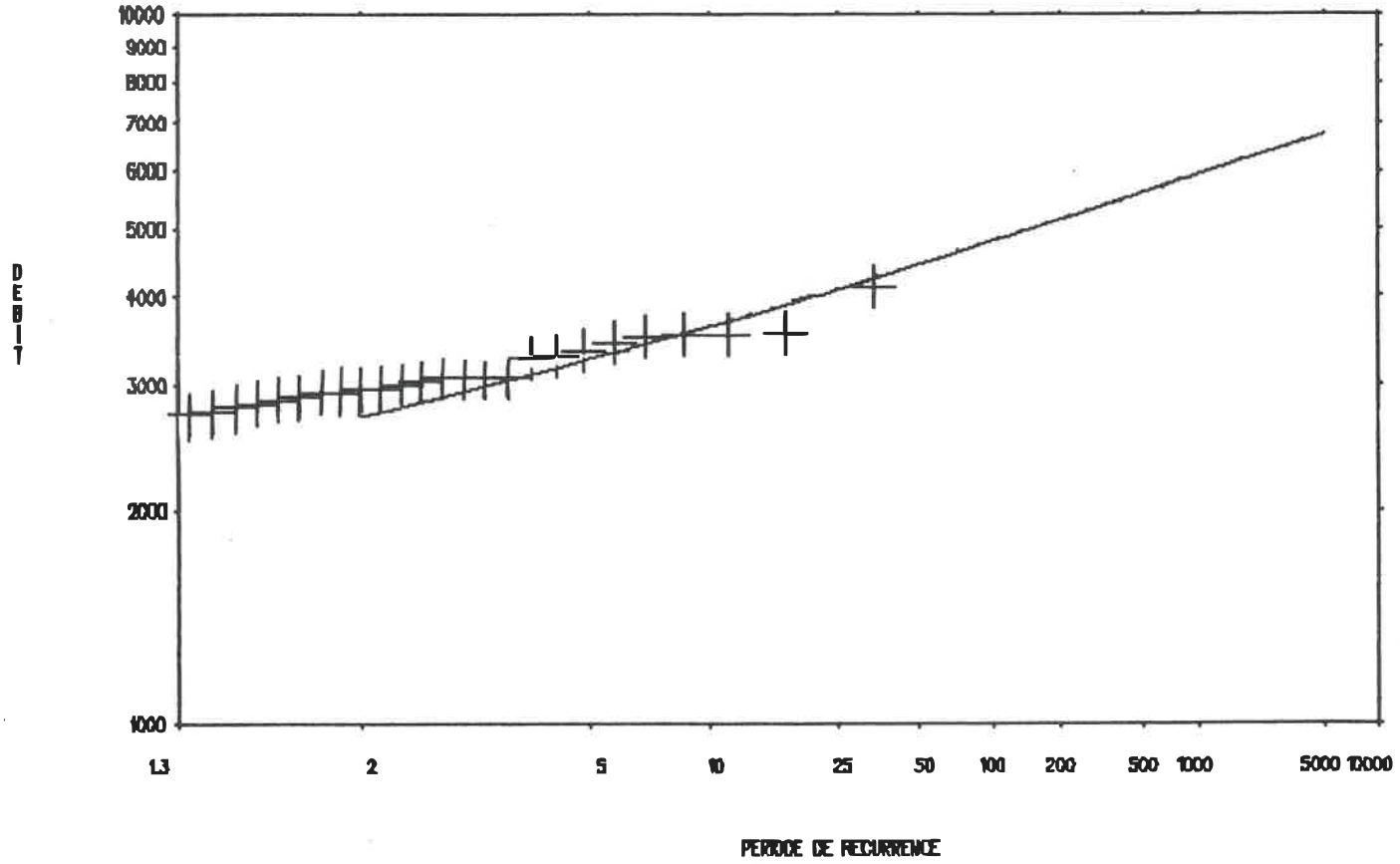



F11.b - Graphe du nombre moyen d'excédances en fonction du temps pour différents débits de base

Figure F11 - Station 08LF051



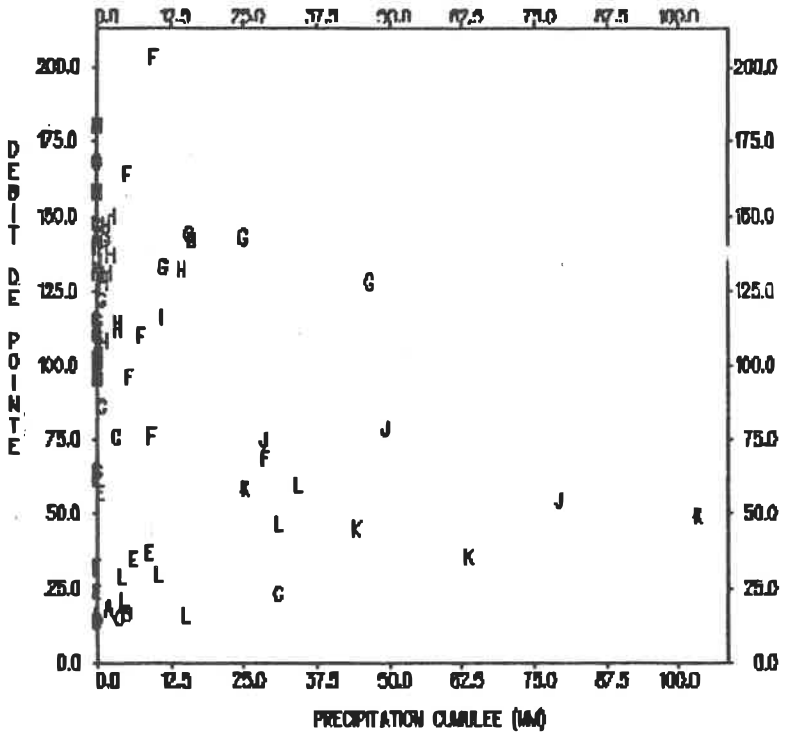

F11.c - Histogramme du nombre d'excédances en fonction de l'amplitude ($m^3/s$) et du mois



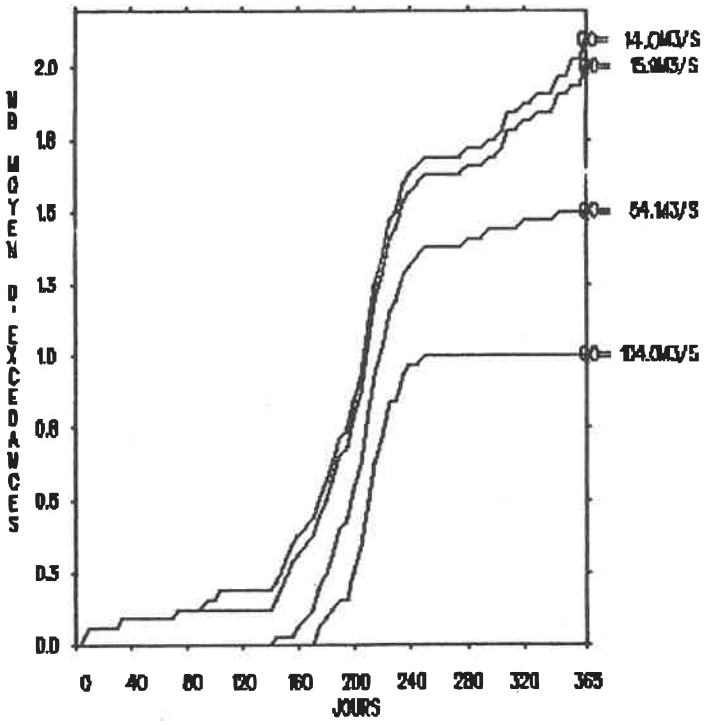

F11.d - Graphe du débit de pointe ($m^3/s$) en fonction du nombre d'années de récurrence

—— découpage en périodes homogènes

—·— analyse annuelle

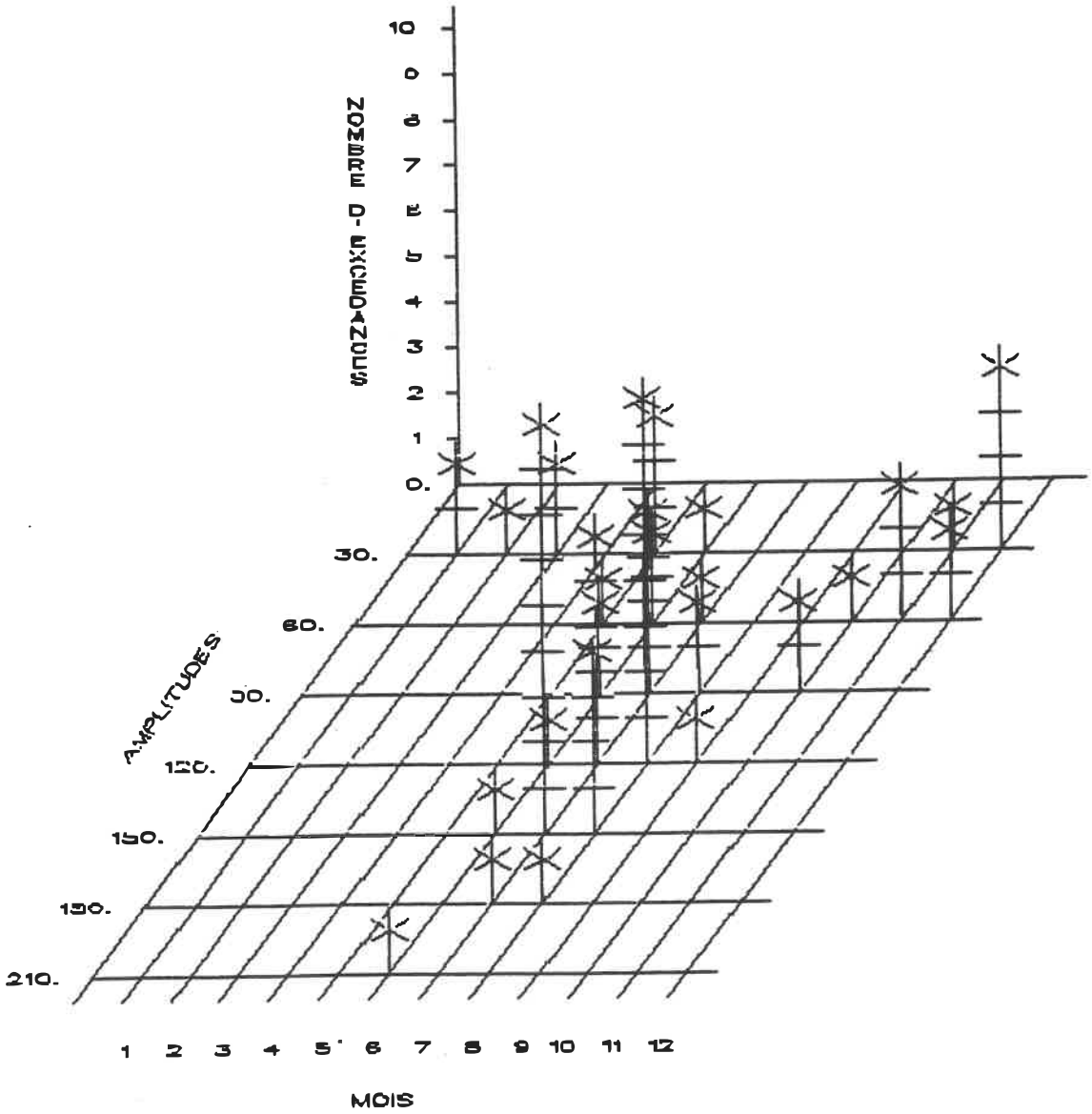



F12.a - Graphe du débit de pointe ($m^3/s$) en fonction de la précipitation cumulée (mm)

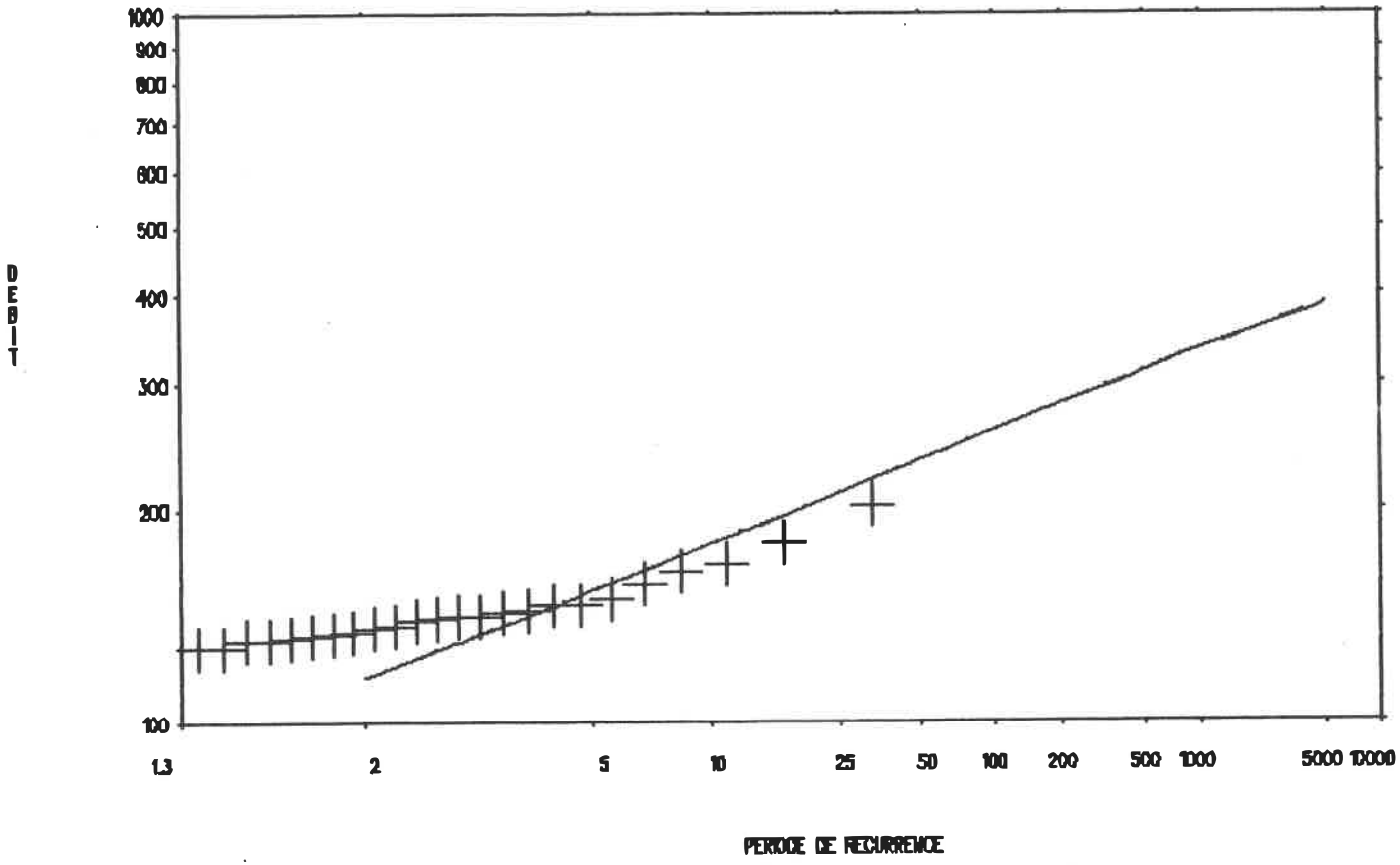



F12.b - Graphe du nombre moyen d'excédances en fonction du temps pour différents débits de base

Figure F12 - Station 08MA002



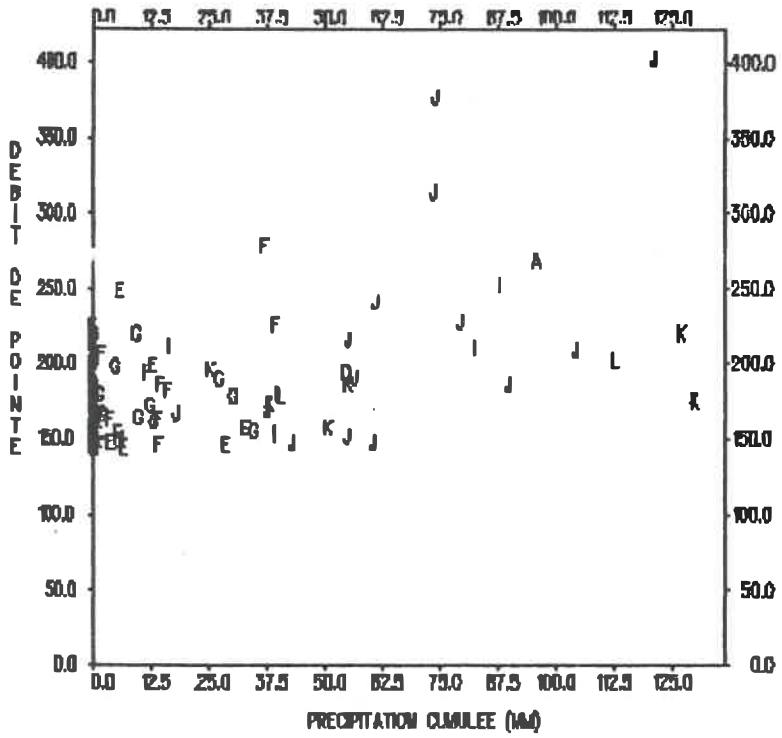

F12.c - Histogramme du nombre d'excédances en fonction de l'amplitude ($m^3/s$) et du mois



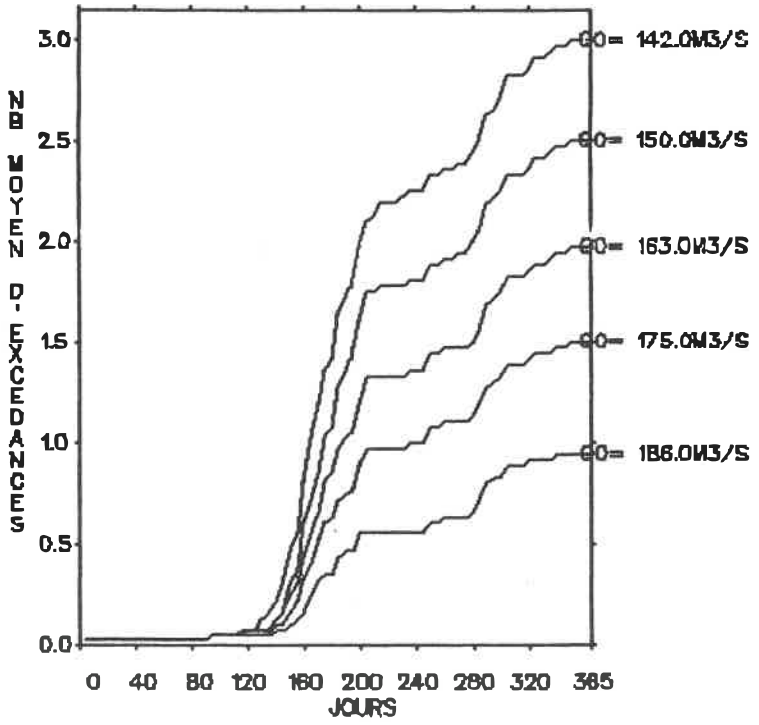

F12.d - Graphe du débit de pointe ($m^3/s$) en fonction du nombre d'années de récurrence

—— découpage en périodes homogènes

—·—· analyse annuelle

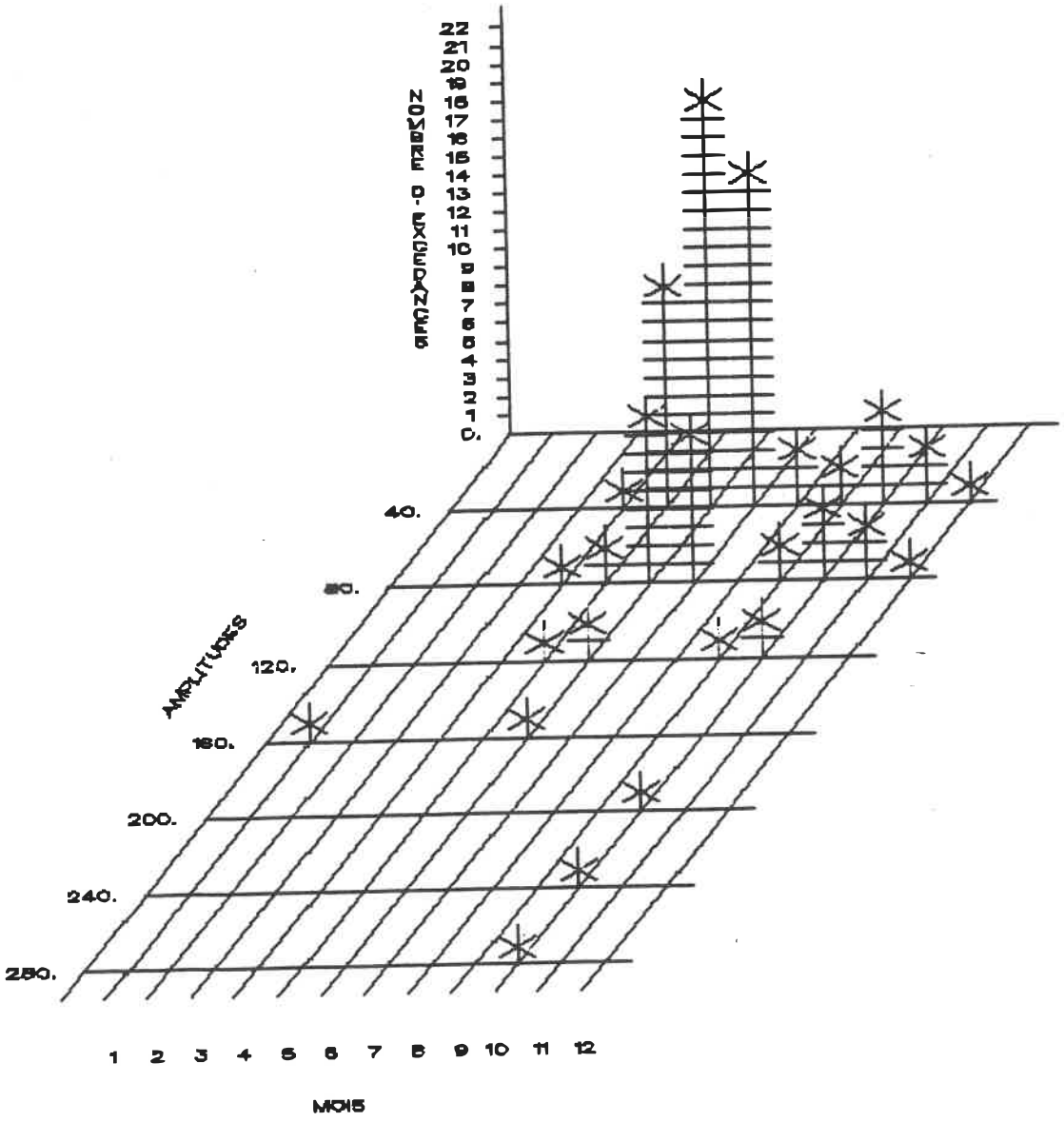



F13.a - Graphe du débit de pointe ($m^3/s$) en fonction de la précipitation cumulée (mm)

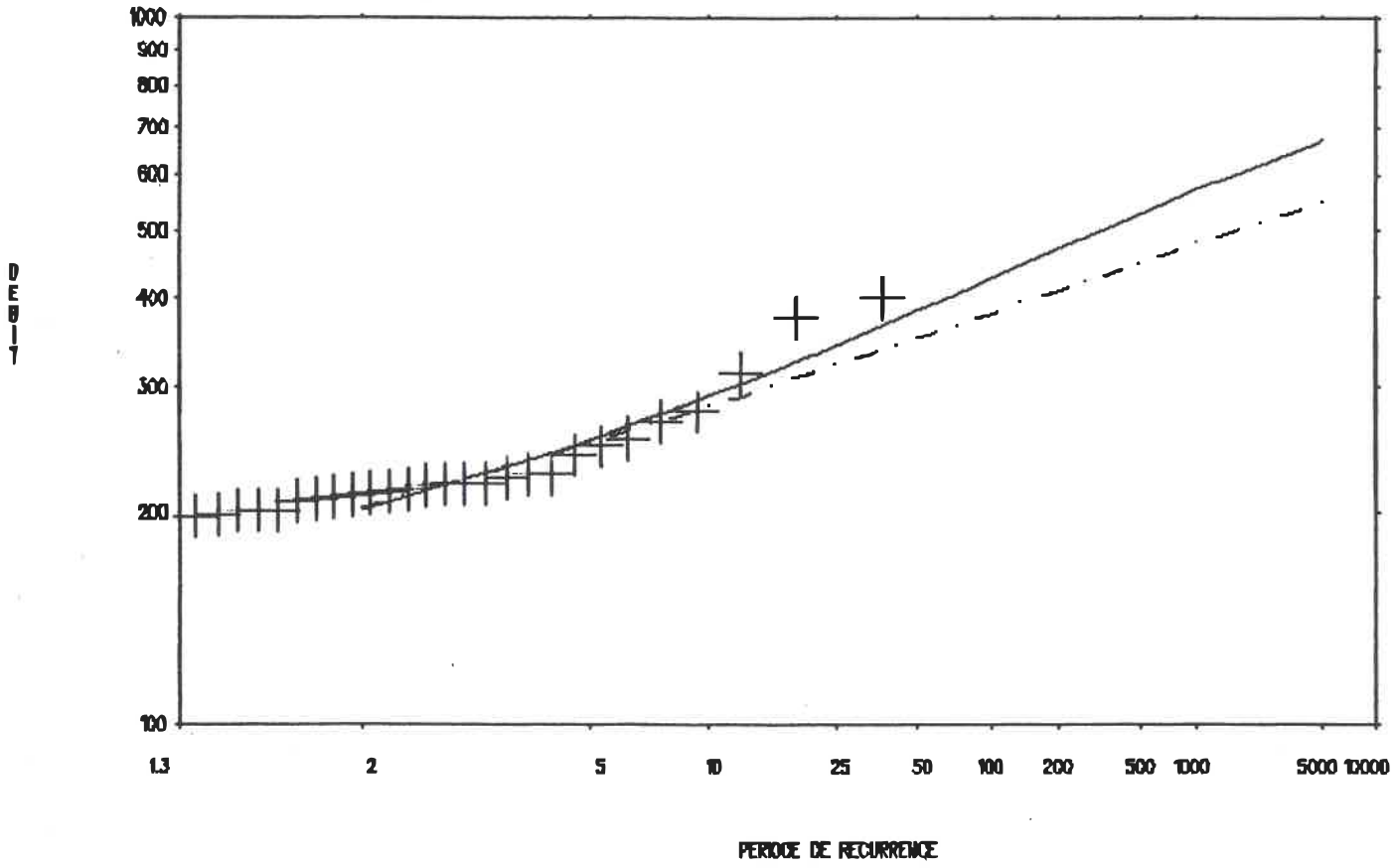



F13.b - Graphe du nombre moyen d'excédances en fonction du temps pour différents débits de base

Figure F13 - Station 08MG003



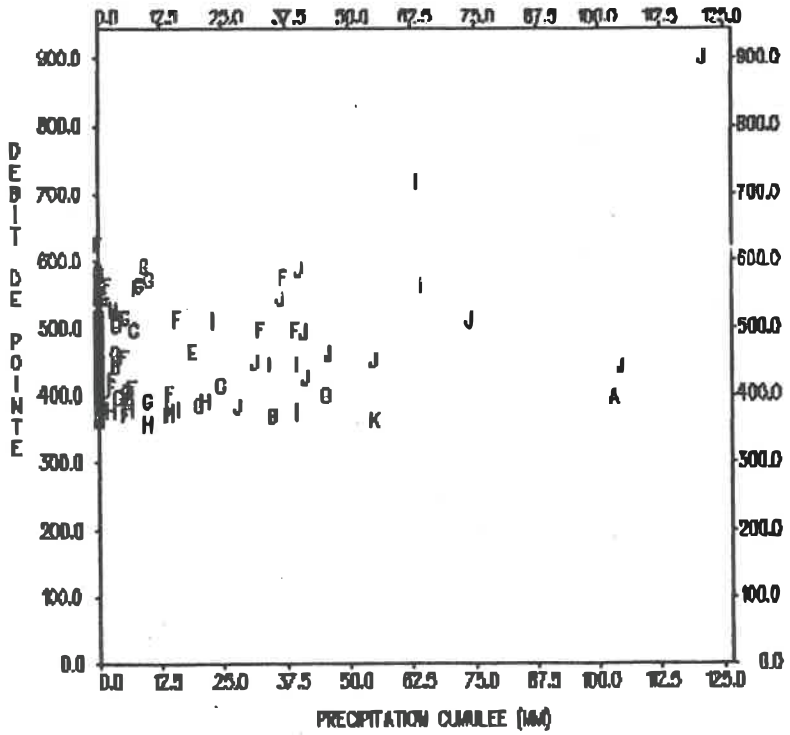

F13.c - Histogramme du nombre d'excédances en fonction de l'amplitude ($m^3/s$) et du mois



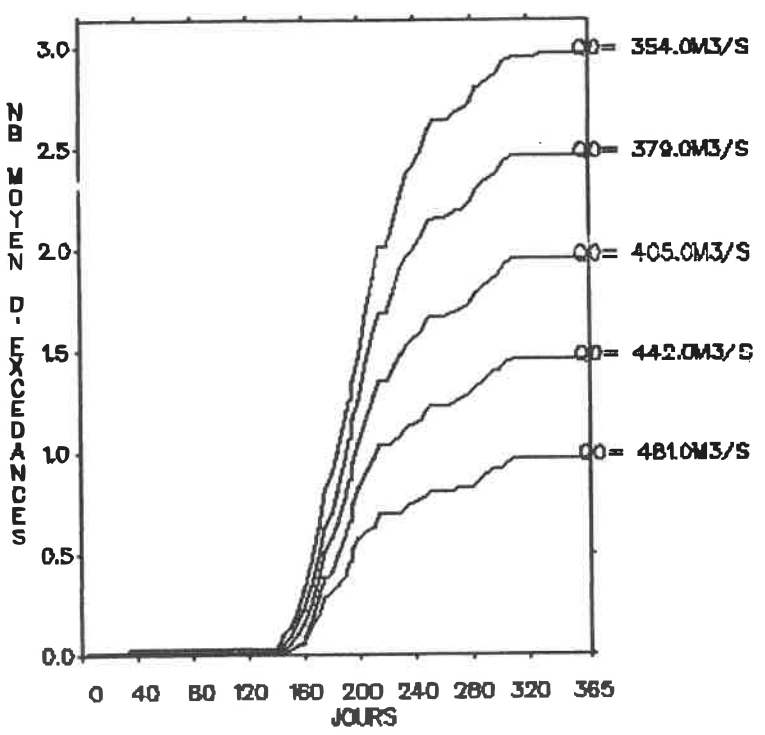

F13.d - Graphe du débit de pointe ($m^3/s$) en fonction du nombre d'années de récurrence

——— découpage en périodes homogènes

– – – analyse annuelle

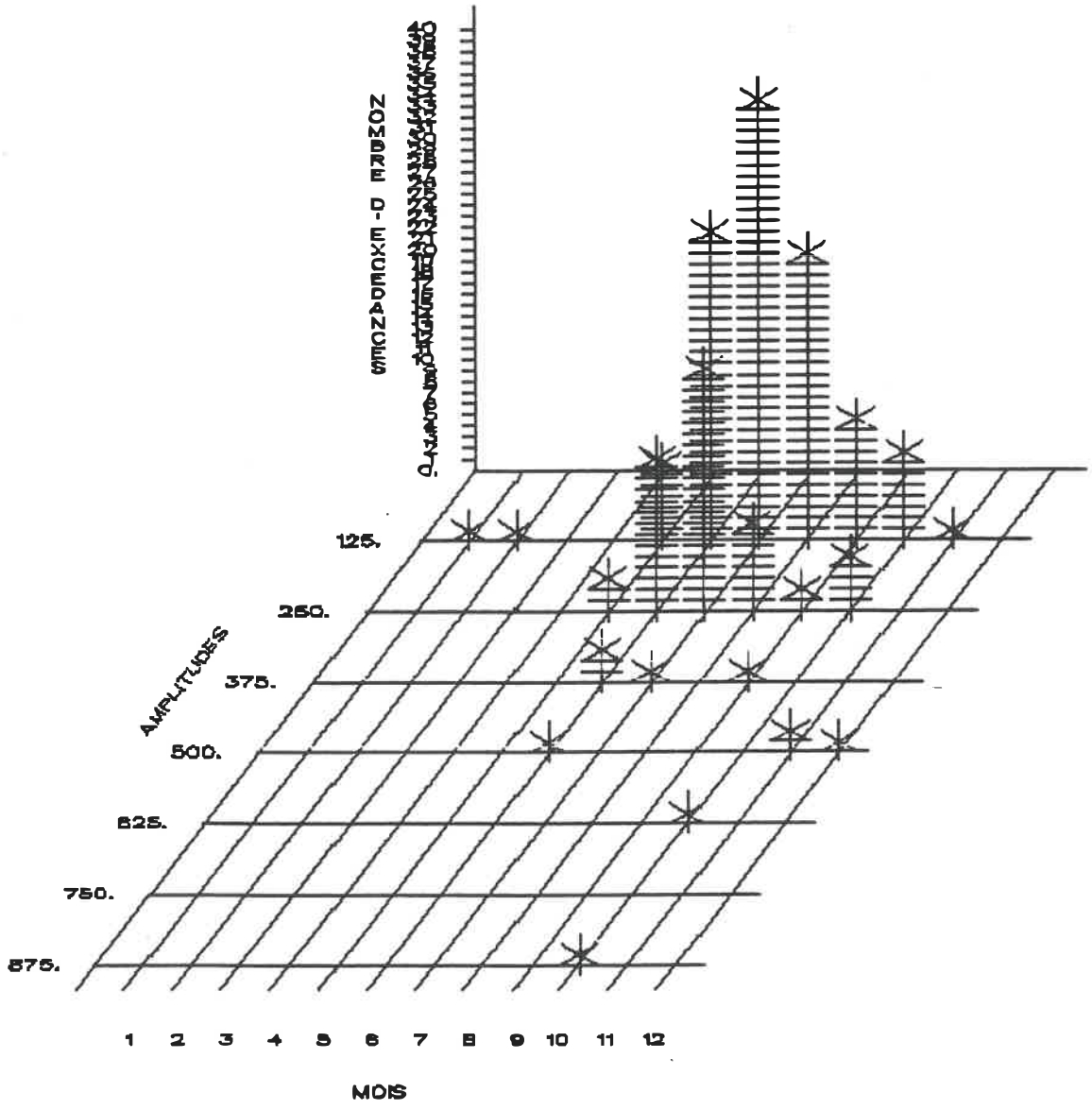



F14.a - Graphe du débit de pointe ($m^3/s$) en fonction de la précipitation cumulée (mm)

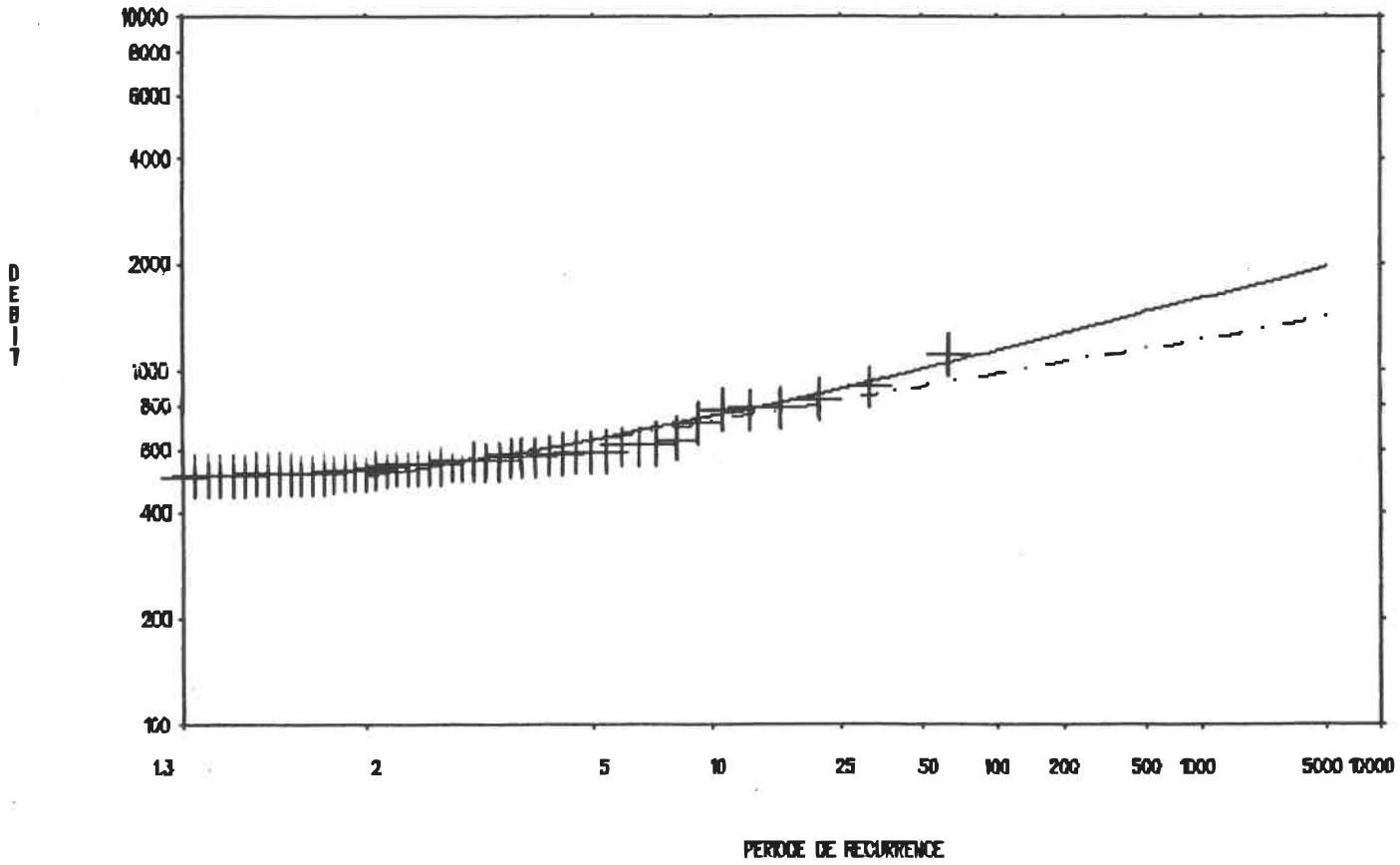



F14.b - Graphe du nombre moyen d'excédances en fonction du temps pour différents débits de base

Figure F14 - Station 08MG005



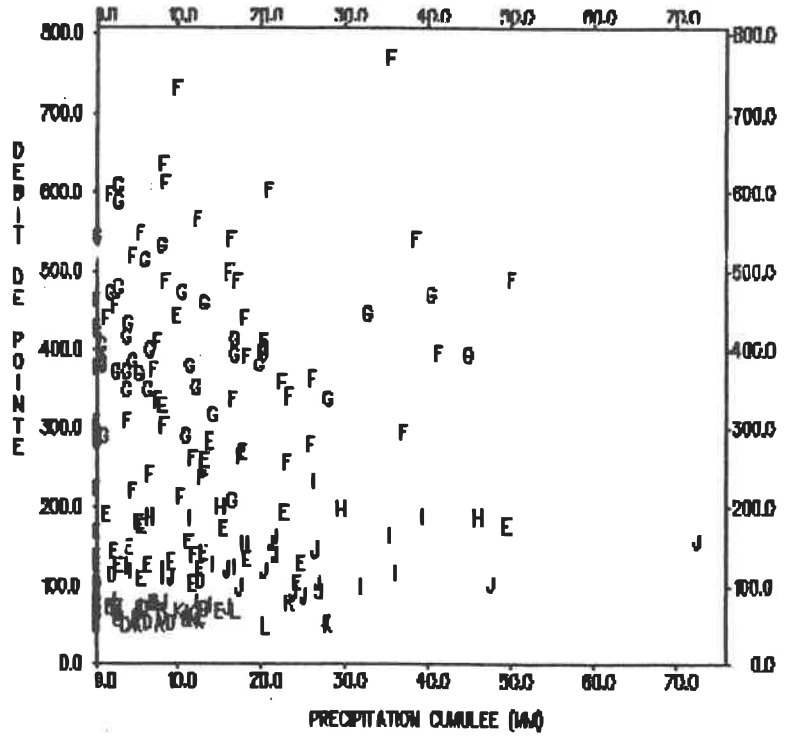

F14.c - Histogramme du nombre d'excédances en fonction de l'amplitude ($m^3/s$) et du mois



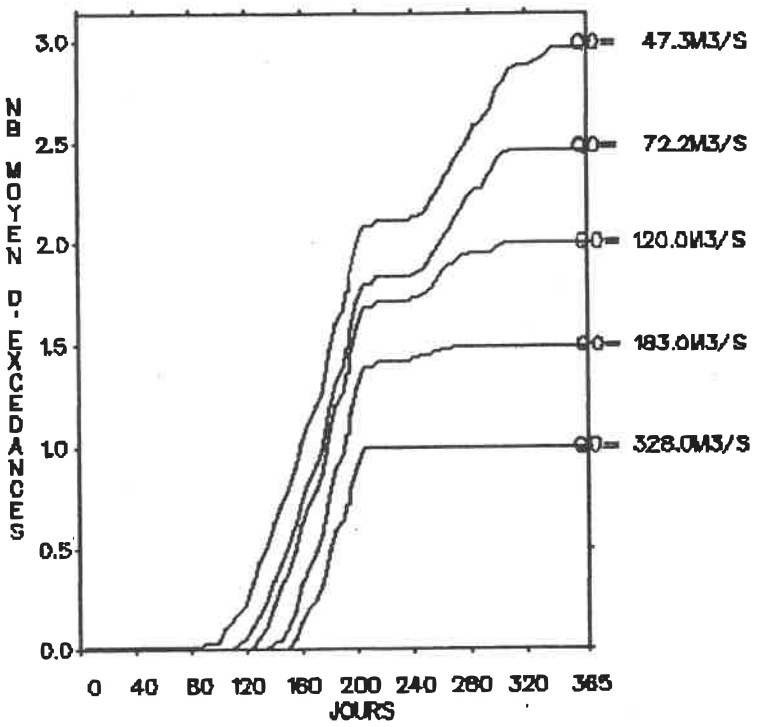

F14.d - Graphe du débit de pointe ($m^3/s$) en fonction du nombre d'années de récurrence

—— découpage en périodes homogènes

– – analyse annuelle

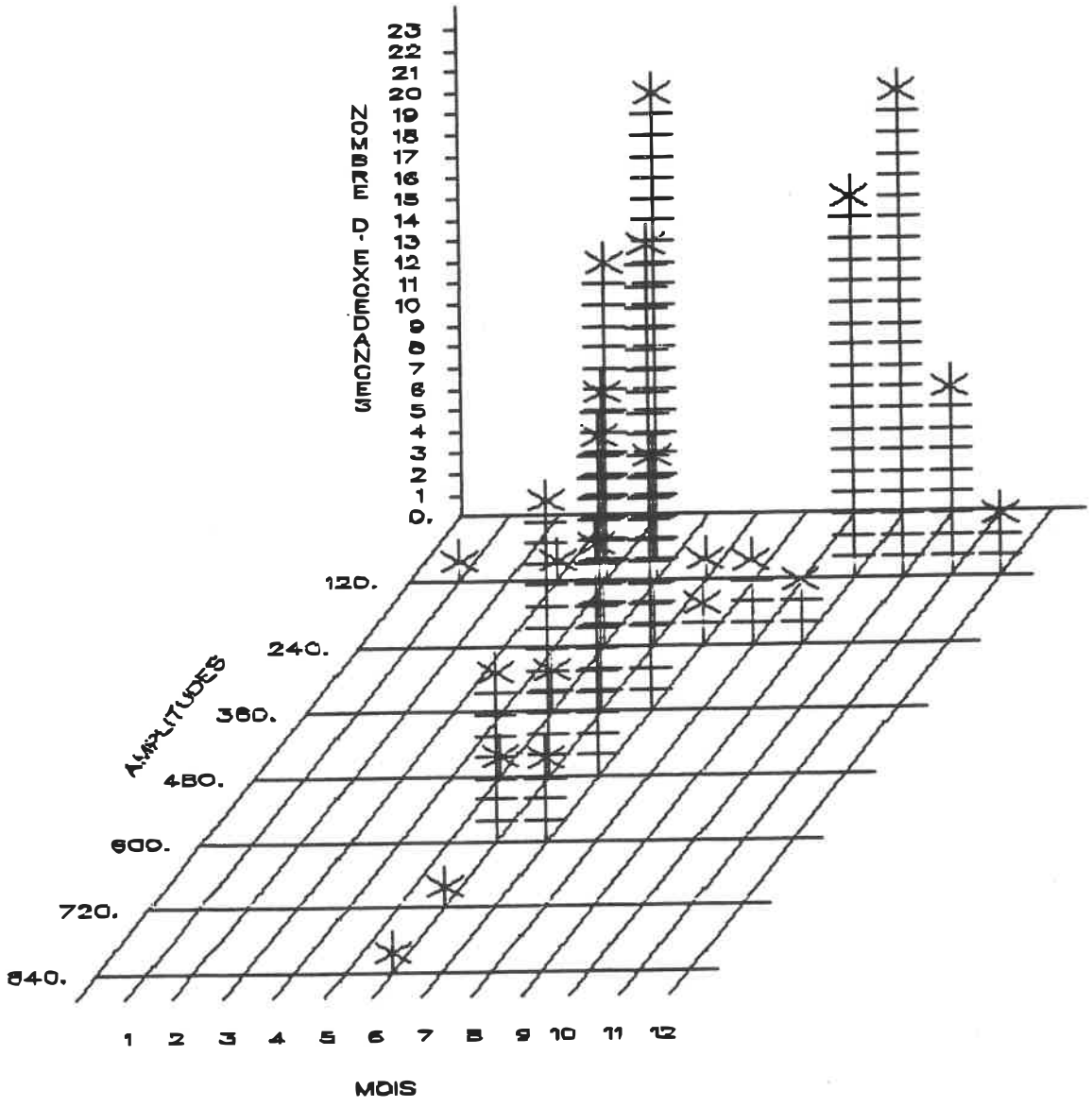



F15.a - Graphe du débit de pointe ($m^3/s$) en fonction de la précipitation cumulée (mm)

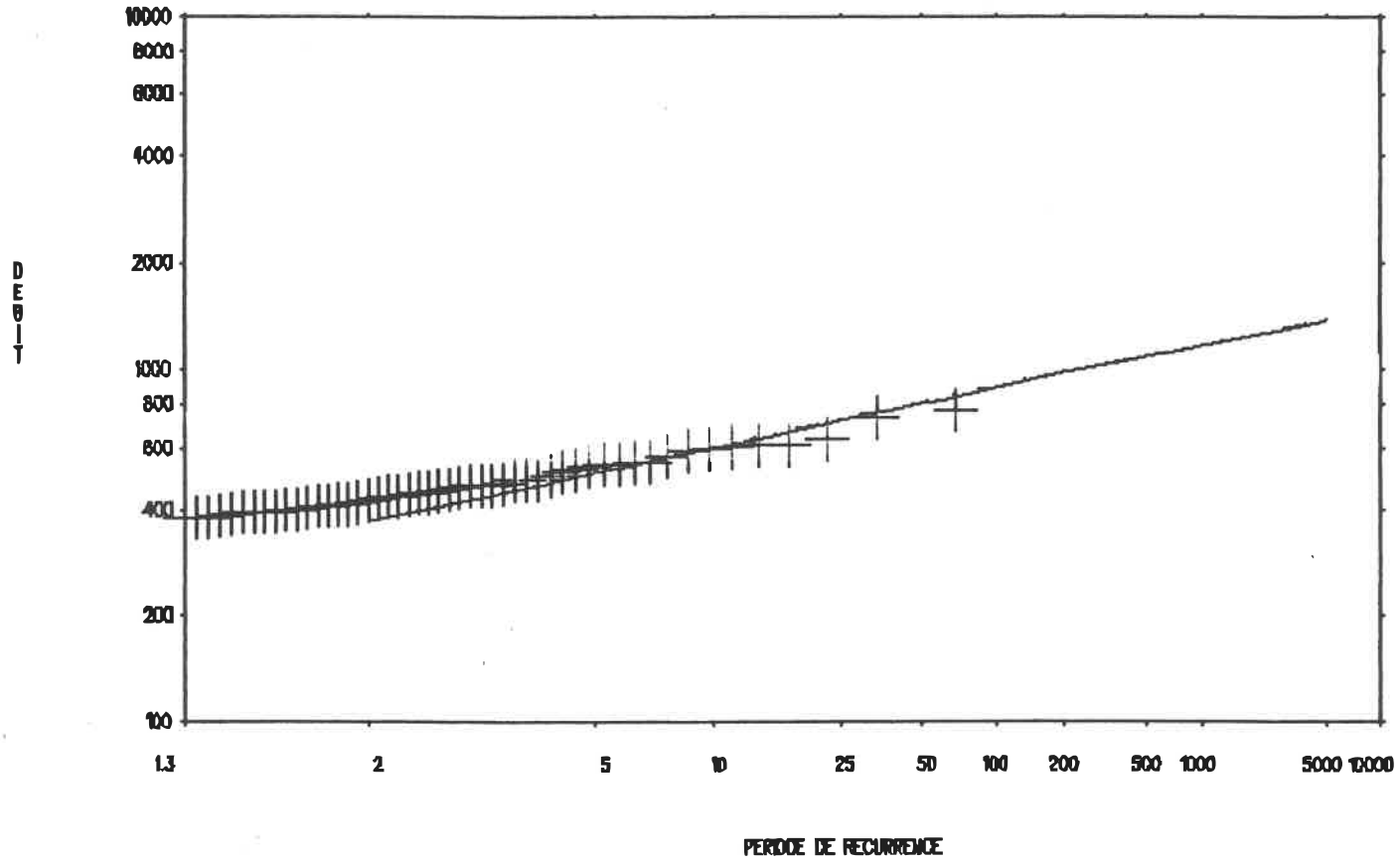



F15.b - Graphe du nombre moyen d'excédances en fonction du temps pour différents débits de base

Figure F15 - Station 08NA002



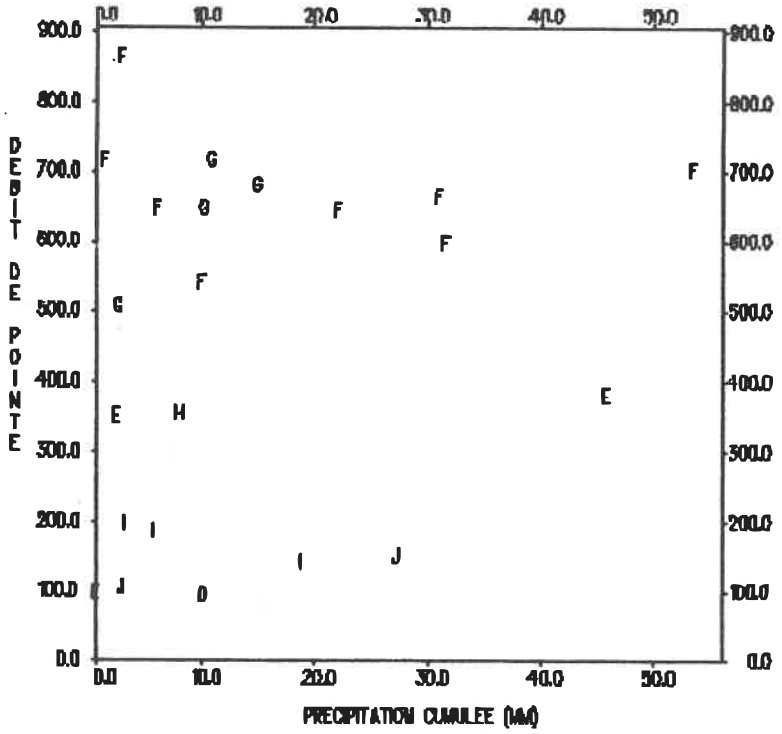

F15.c - Histogramme du nombre d'excédances en fonction de l'amplitude ($m^3/s$) et du mois



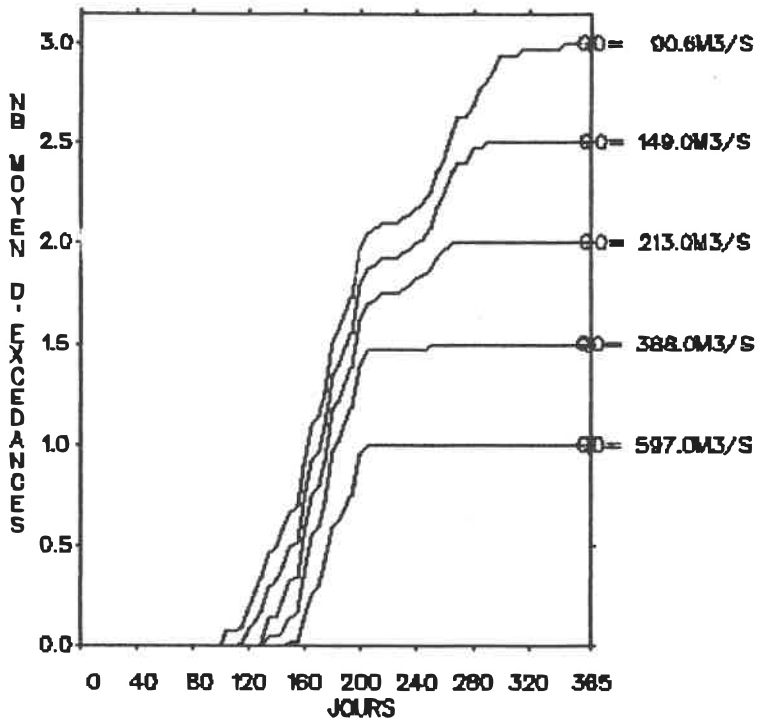

F15.d - Graphe du débit de pointe ($m^3/s$) en fonction du nombre d'années de récurrence

——— découpage en périodes homogènes

—·—· analyse annuelle

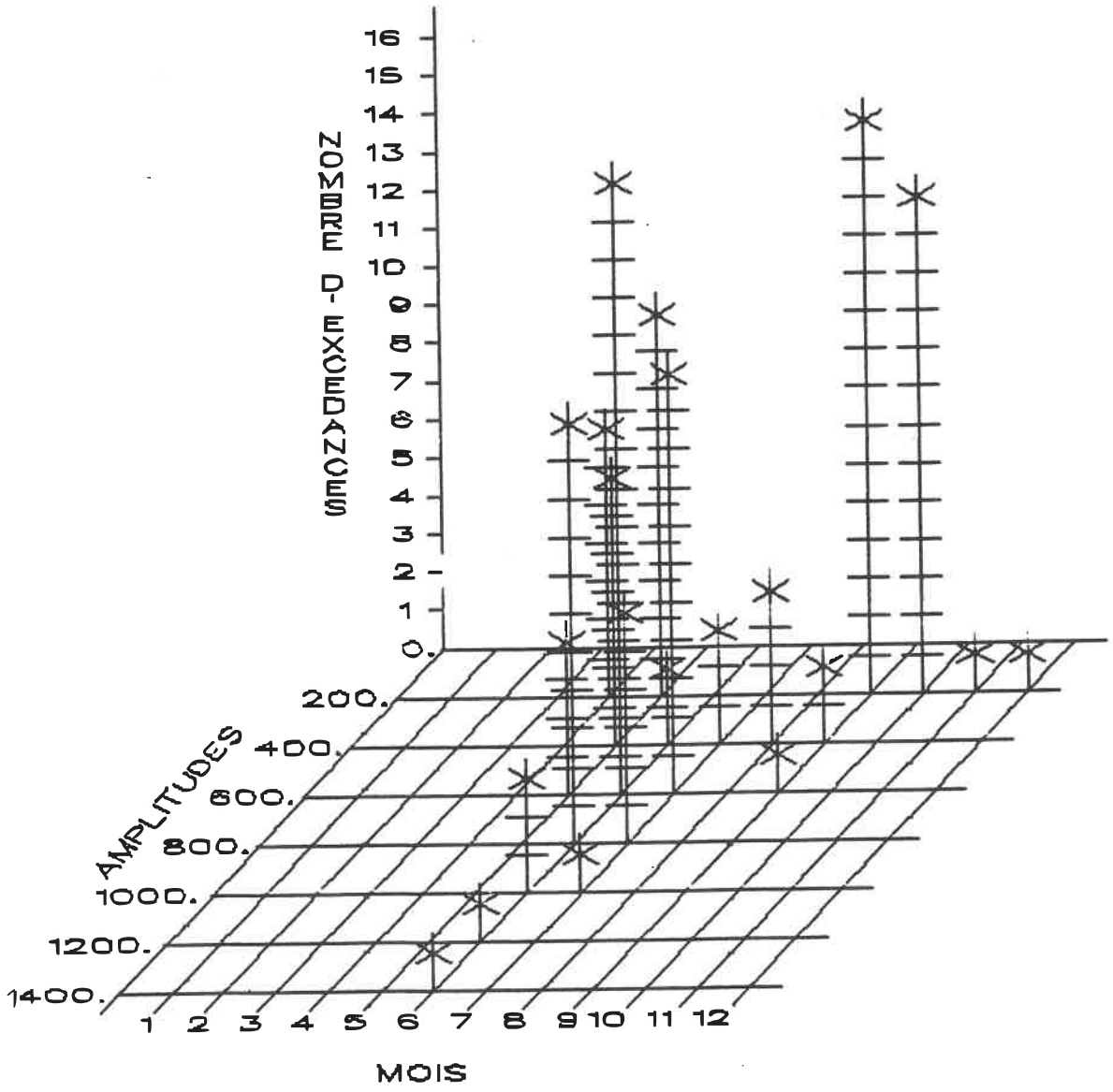



F16.a - Graphe du débit de pointe ($m^3/s$) en fonction de la précipitation cumulée (mm)

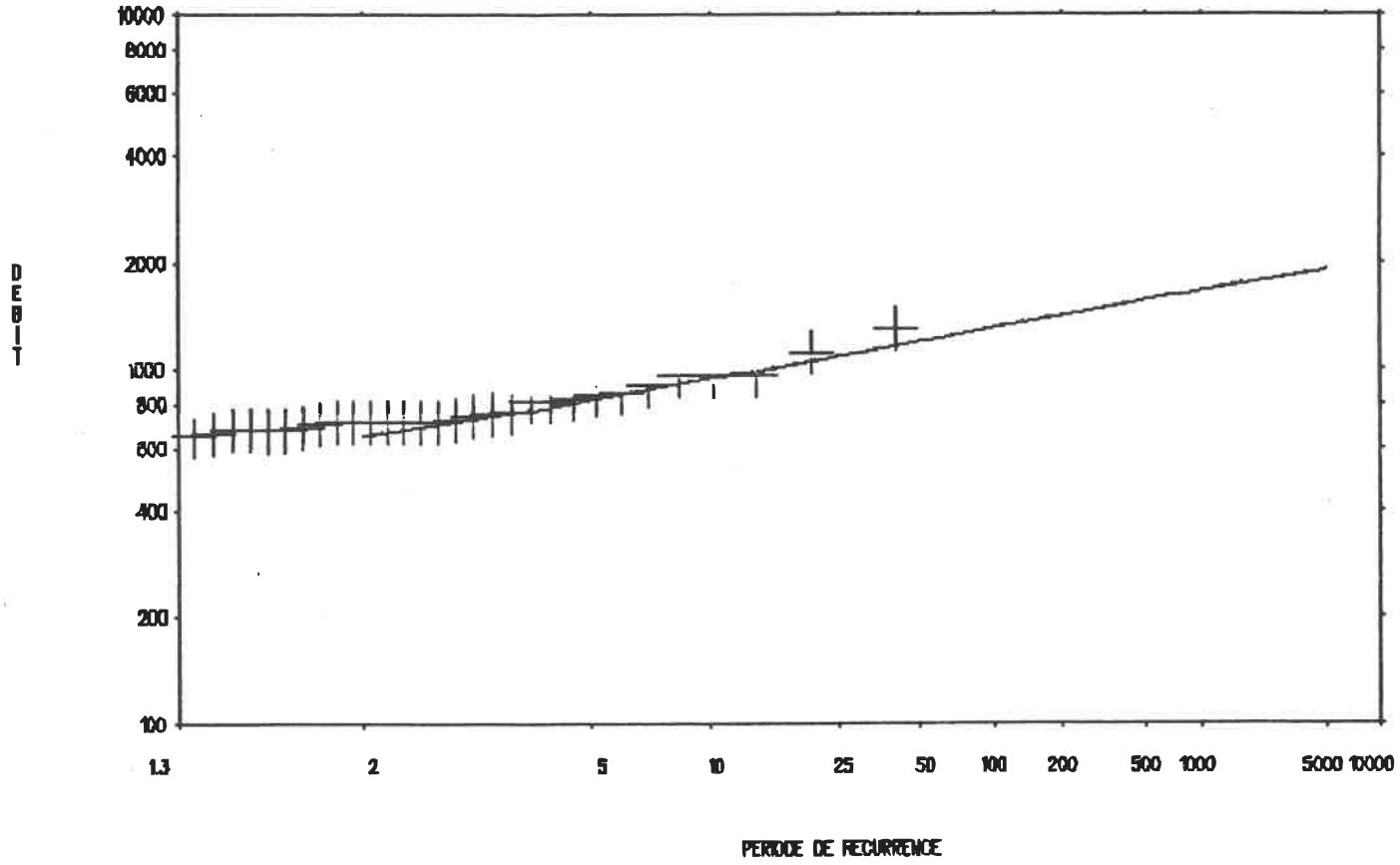



F16.b - Graphe du nombre moyen d'excédances en fonction du temps pour différents débits de base

Figure F16 - Station 08NB005



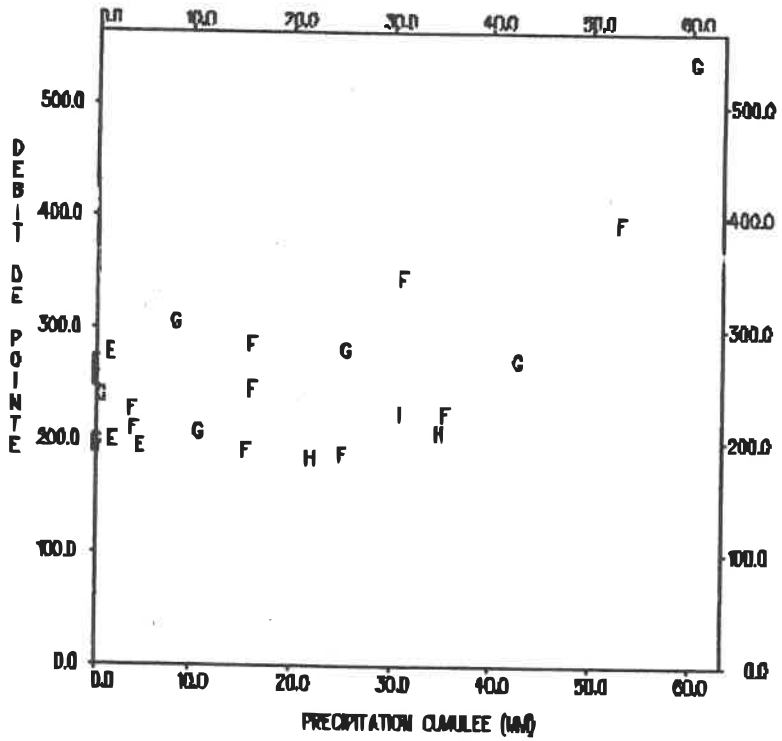

F16.c - Histogramme du nombre d'excédances en fonction de l'amplitude ($m^3/s$) et du mois



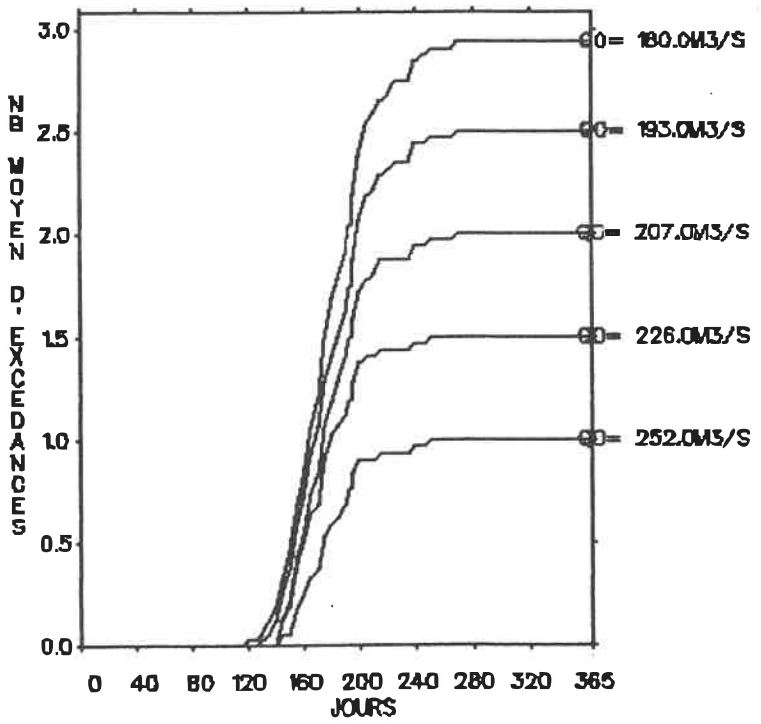

F16.d - Graphe du débit de pointe ($m^3/s$) en fonction du nombre d'années de récurrence

——— découpage en périodes homogènes

—·—· analyse annuelle

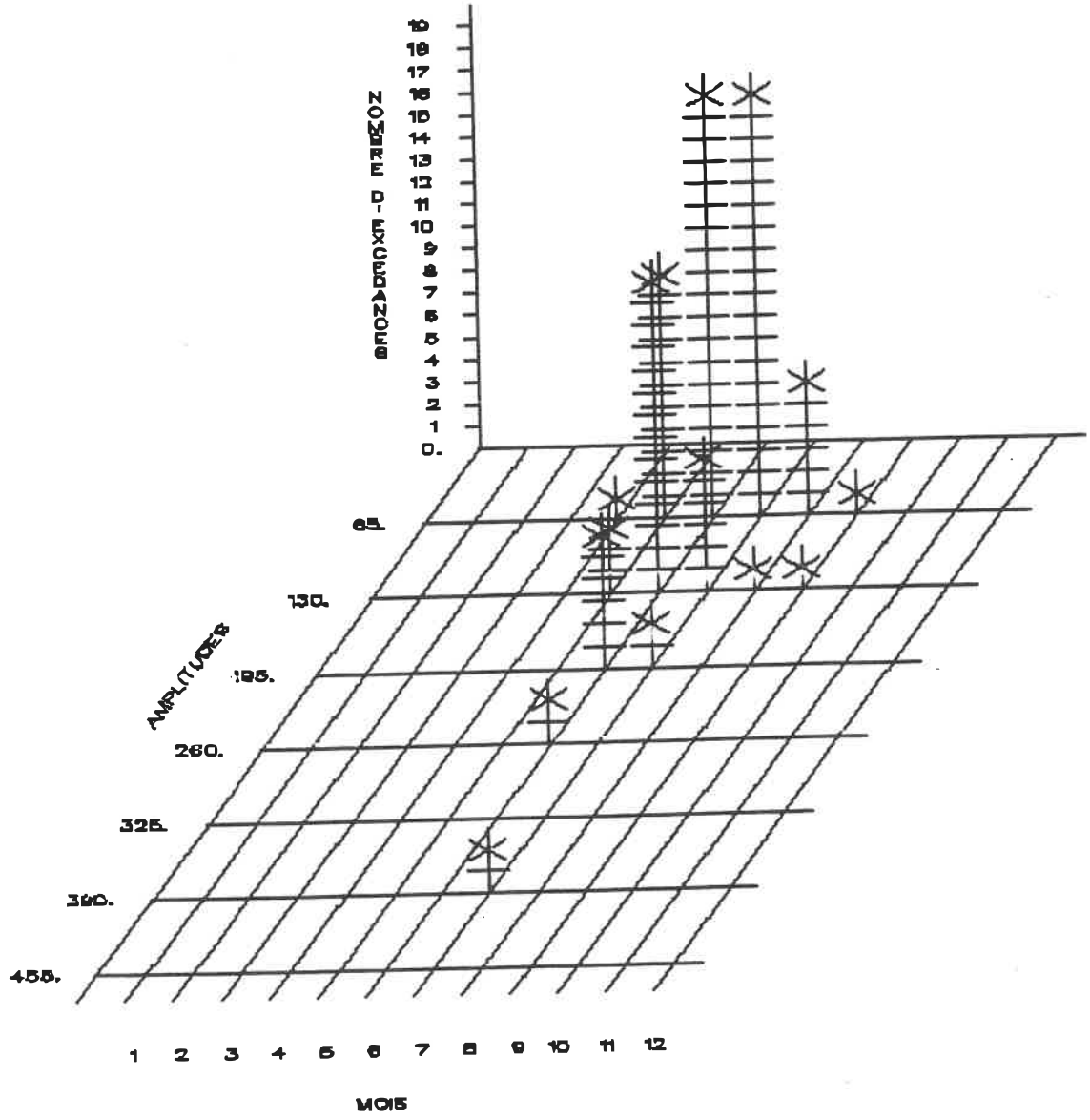



F17.a - Graphe du débit de pointe ($m^3/s$) en fonction de la précipitation cumulée (mm)

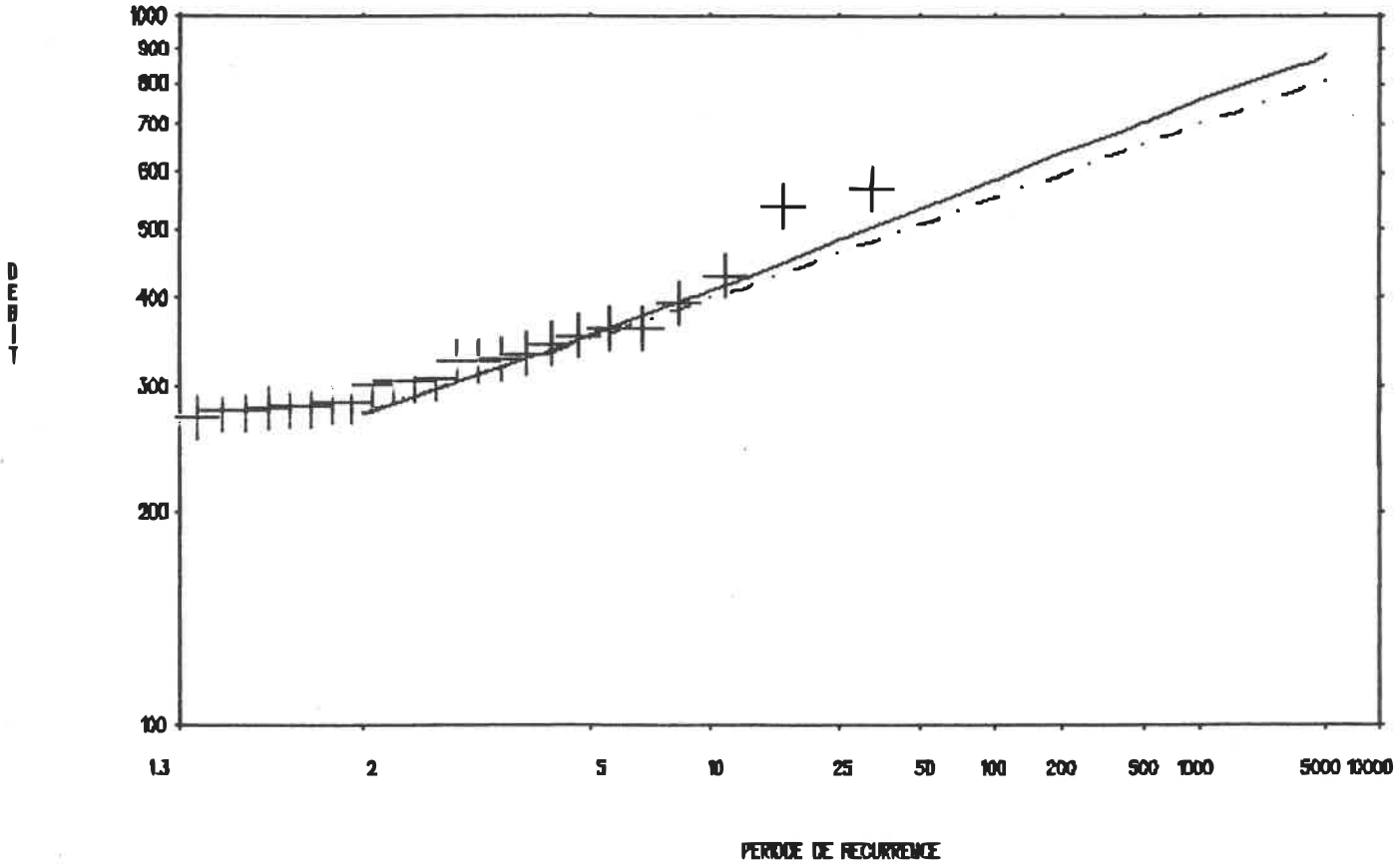



F17.b - Graphe du nombre moyen d'excédances en fonction du temps pour différents débits de base

Figure F17 - Station 08NE001



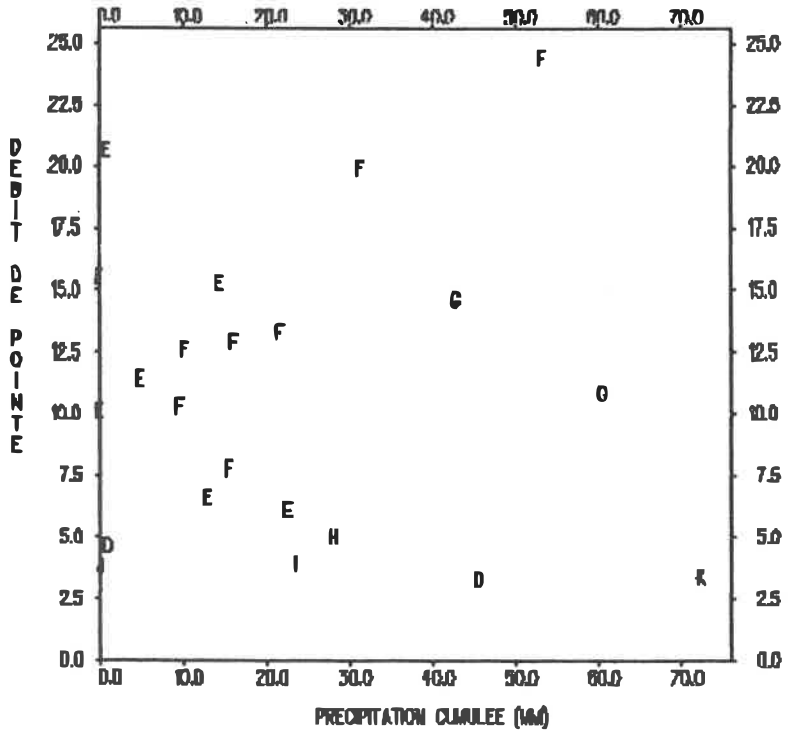

F17.c - Histogramme du nombre d'excédances en fonction de l'amplitude ($m^3/s$) et du mois



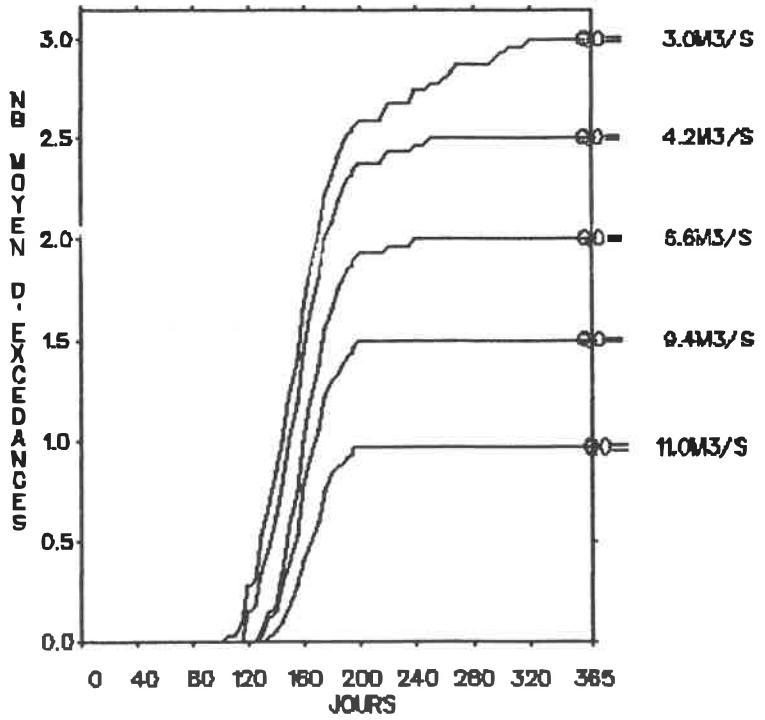

F17.d - Graphe du débit de pointe ($m^3/s$) en fonction du nombre d'années de récurrence

—— découpage en périodes homogènes

—·— analyse annuelle

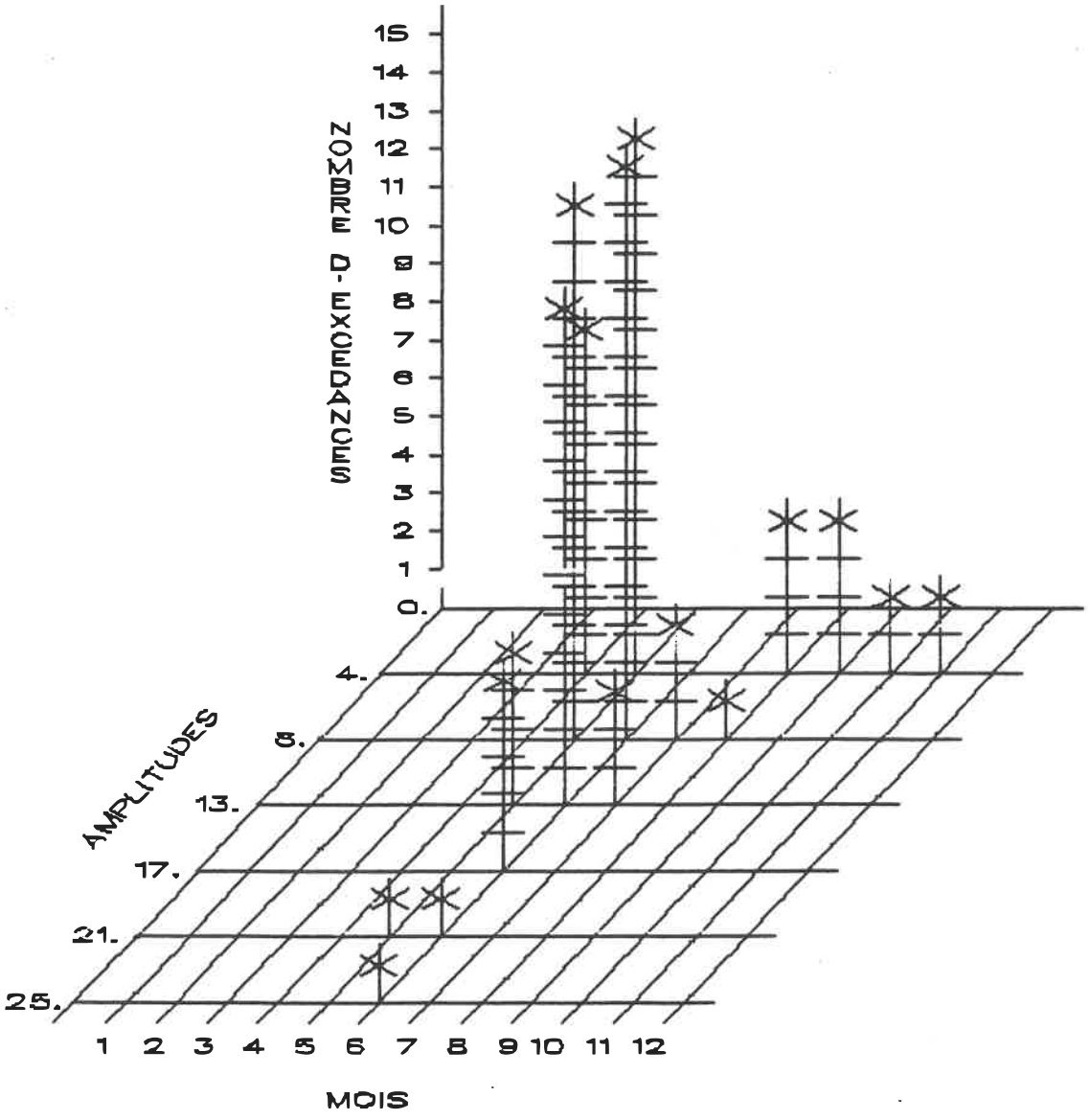



F18.a - Graphe du débit de pointe ($m^3/s$) en fonction de la précipitation cumulée (mm)

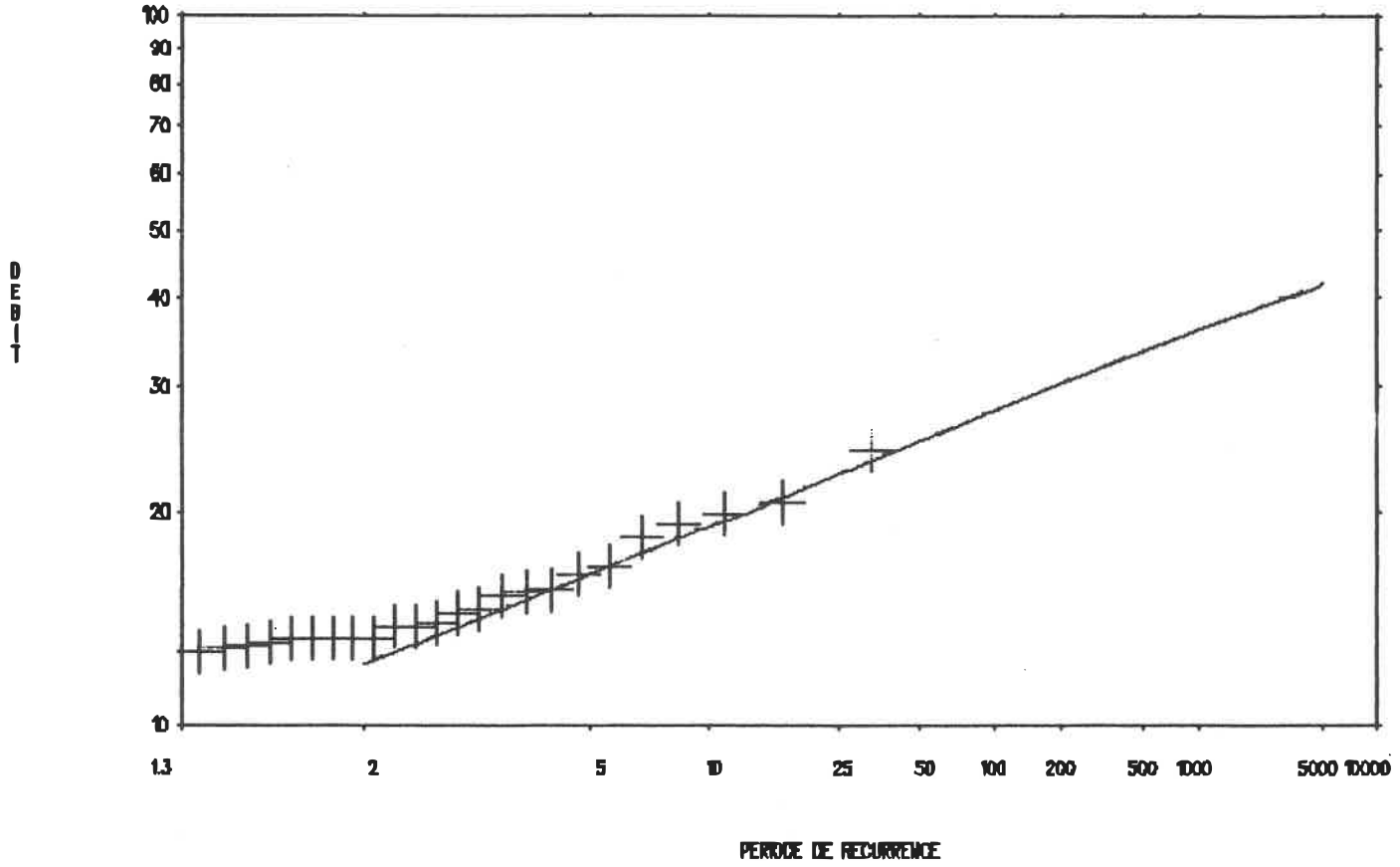



F18.b - Graphe du nombre moyen d'excédances en fonction du temps pour différents débits de base

Figure F18 - Station 08NE008



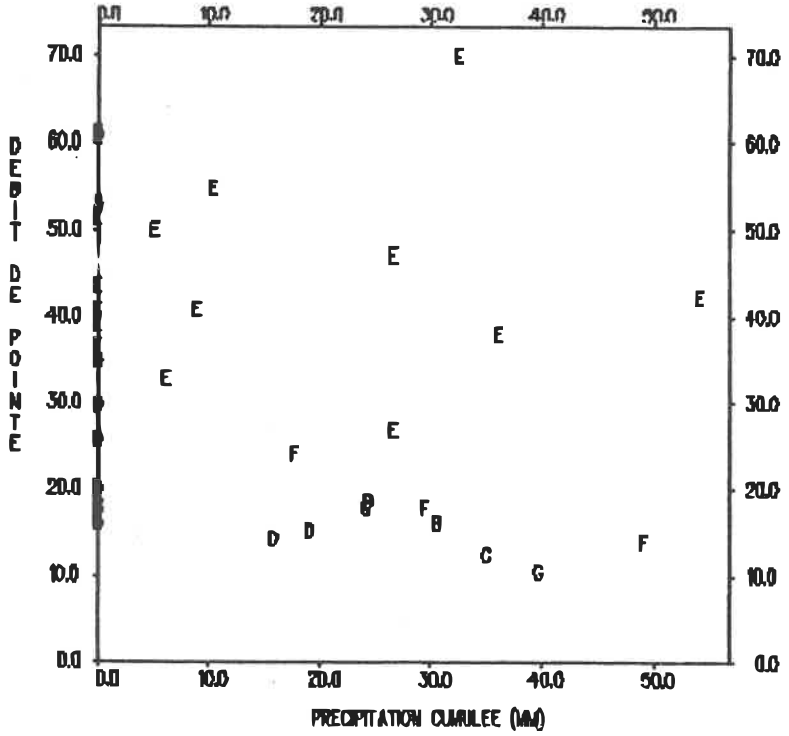

F18.c - Histogramme du nombre d'excédances en fonction de l'amplitude ($m^3/s$) et du mois



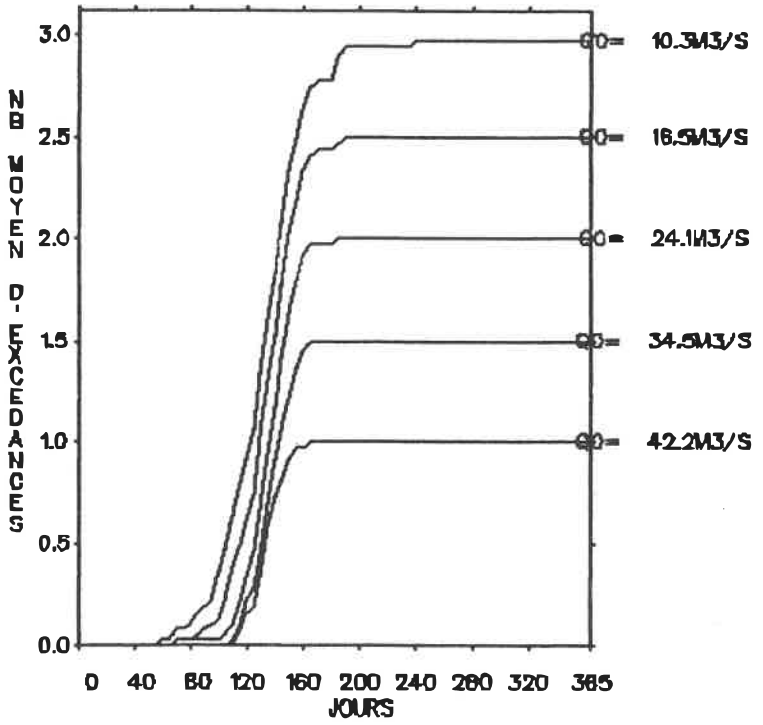

F18.d - Graphe du débit de pointe ($m^3/s$) en fonction du nombre d'années de récurrence

——— découpage en périodes homogènes

—·—· analyse annuelle

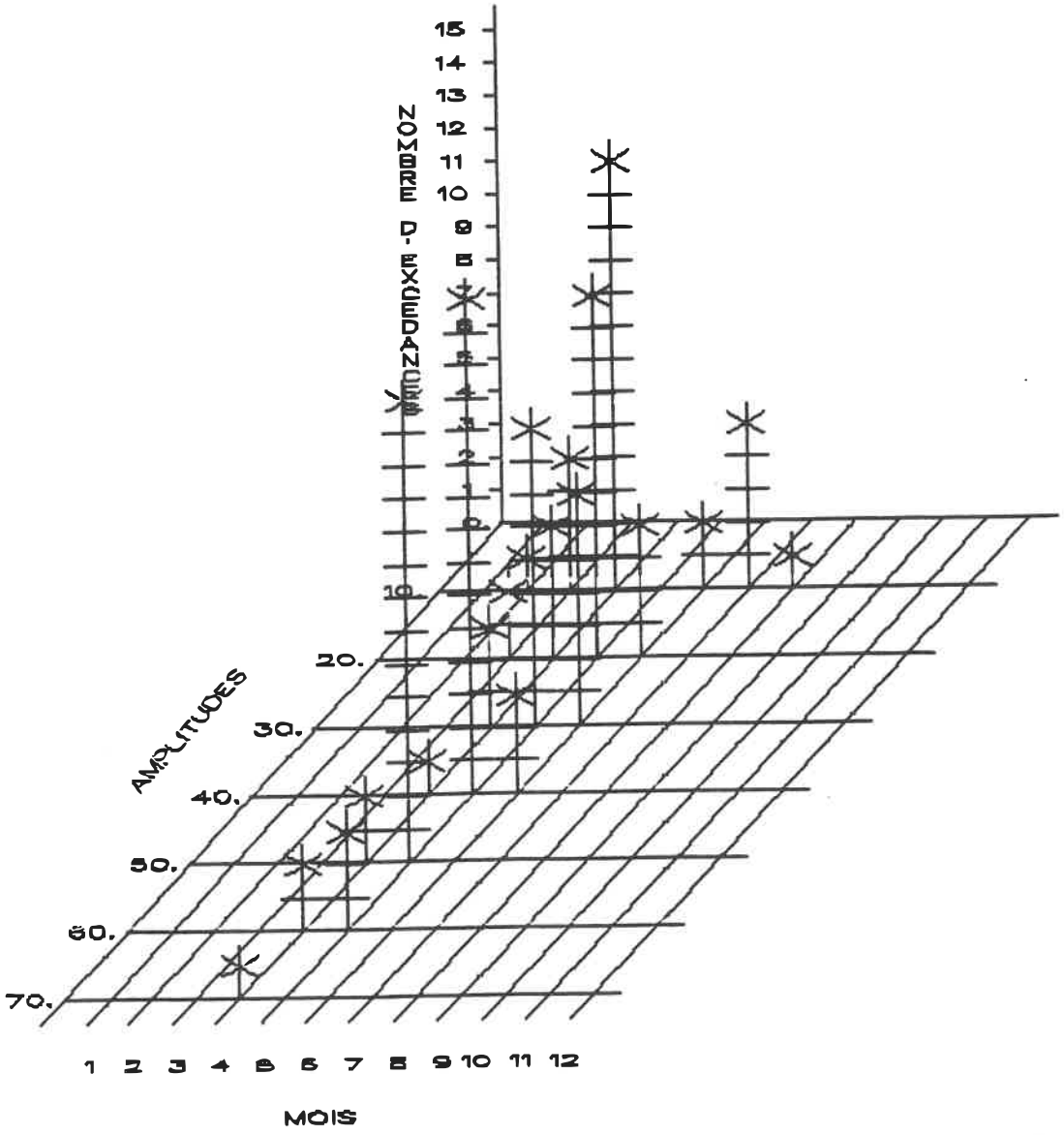



F19.a - Graphe du débit de pointe ($m^3/s$) en fonction de la précipitation cumulée (mm)

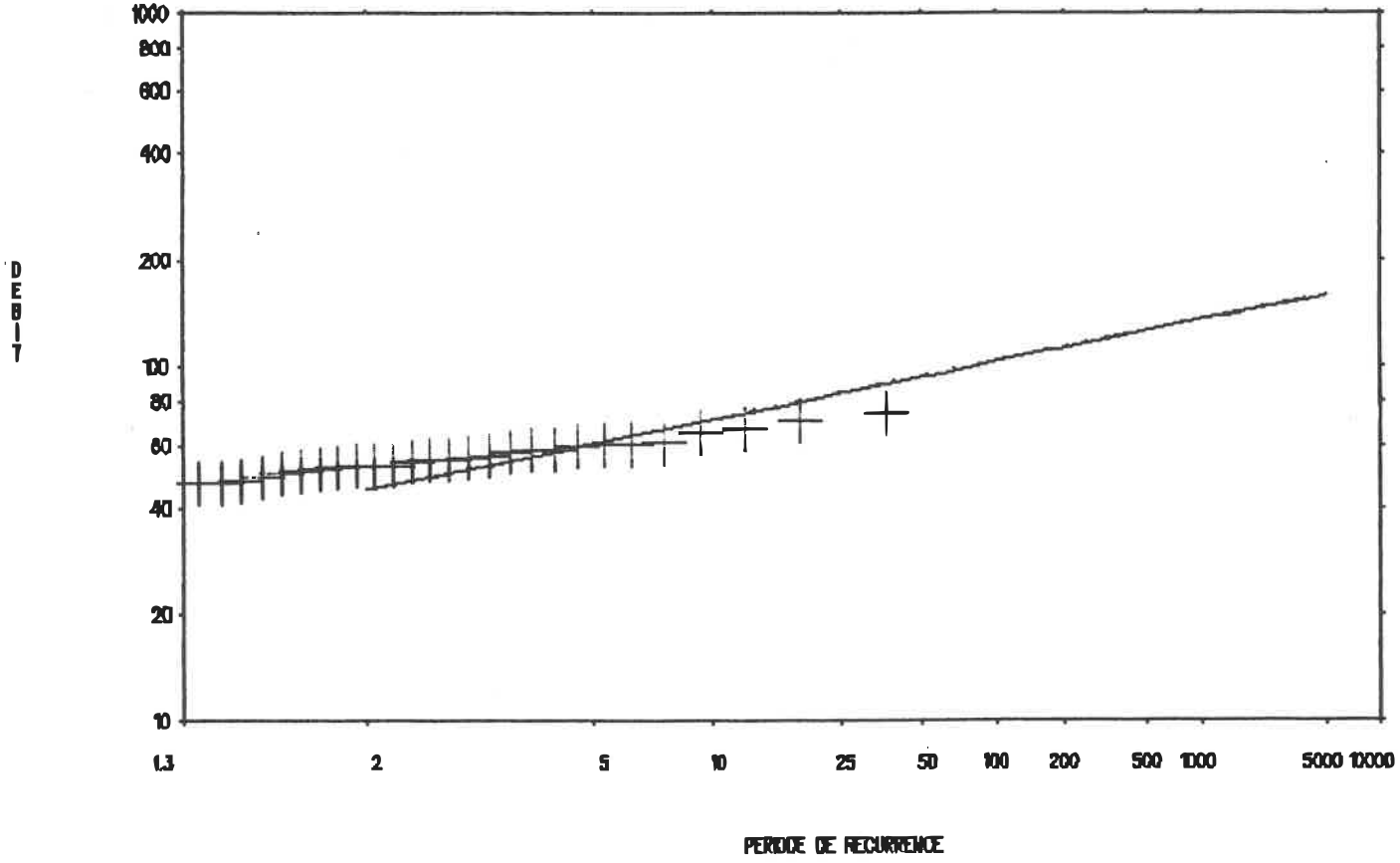



F19.b - Graphe du nombre moyen d'excédances en fonction du temps pour différents débits de base

Figure F19 - Station 08NE039



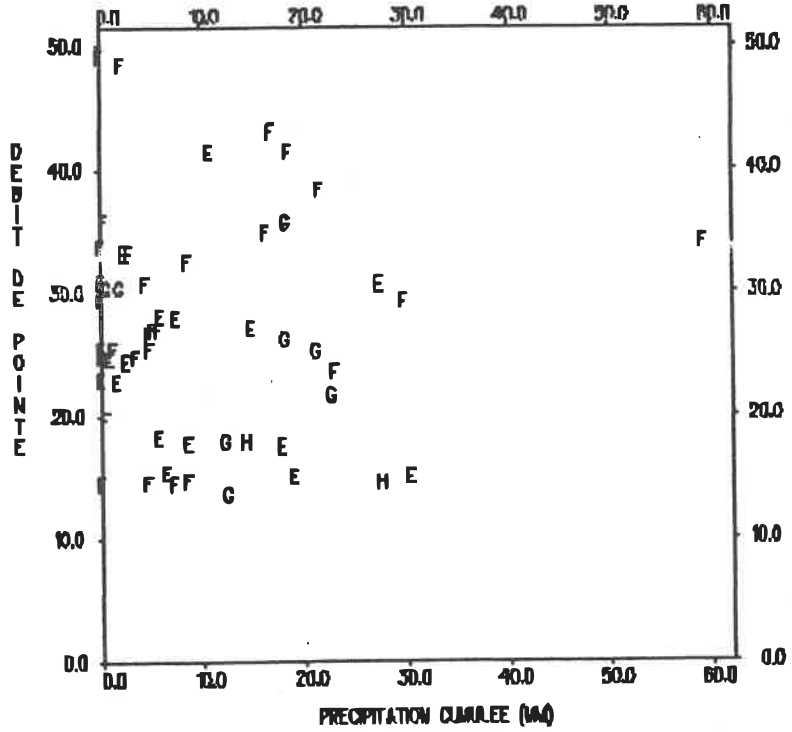

F19.c - Histogramme du nombre d'excédances en fonction de l'amplitude ($m^3/s$) et du mois



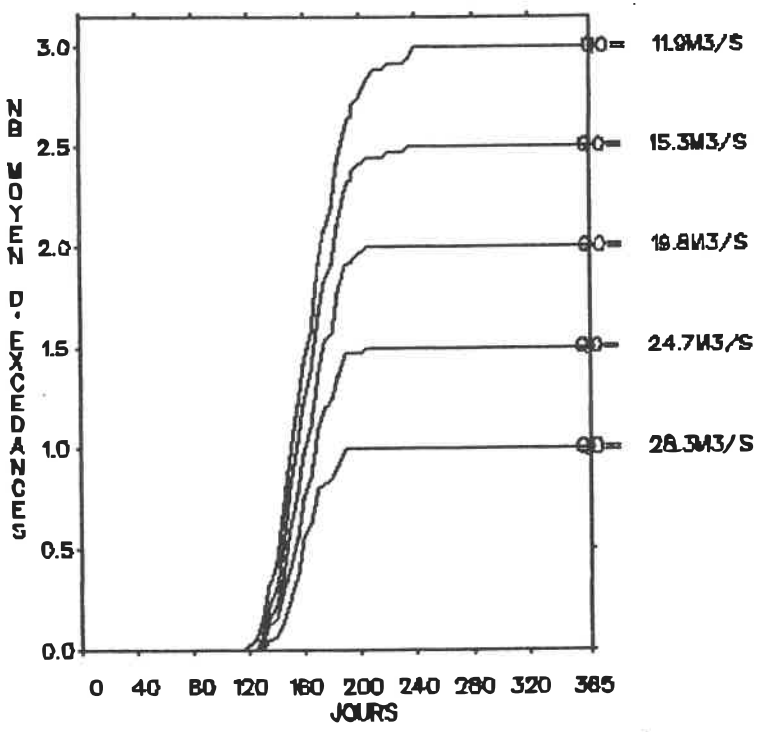

F19.d - Graphe du débit de pointe ($m^3/s$) en fonction du nombre d'années de récurrence

—— découpage en périodes homogènes

—·—· analyse annuelle

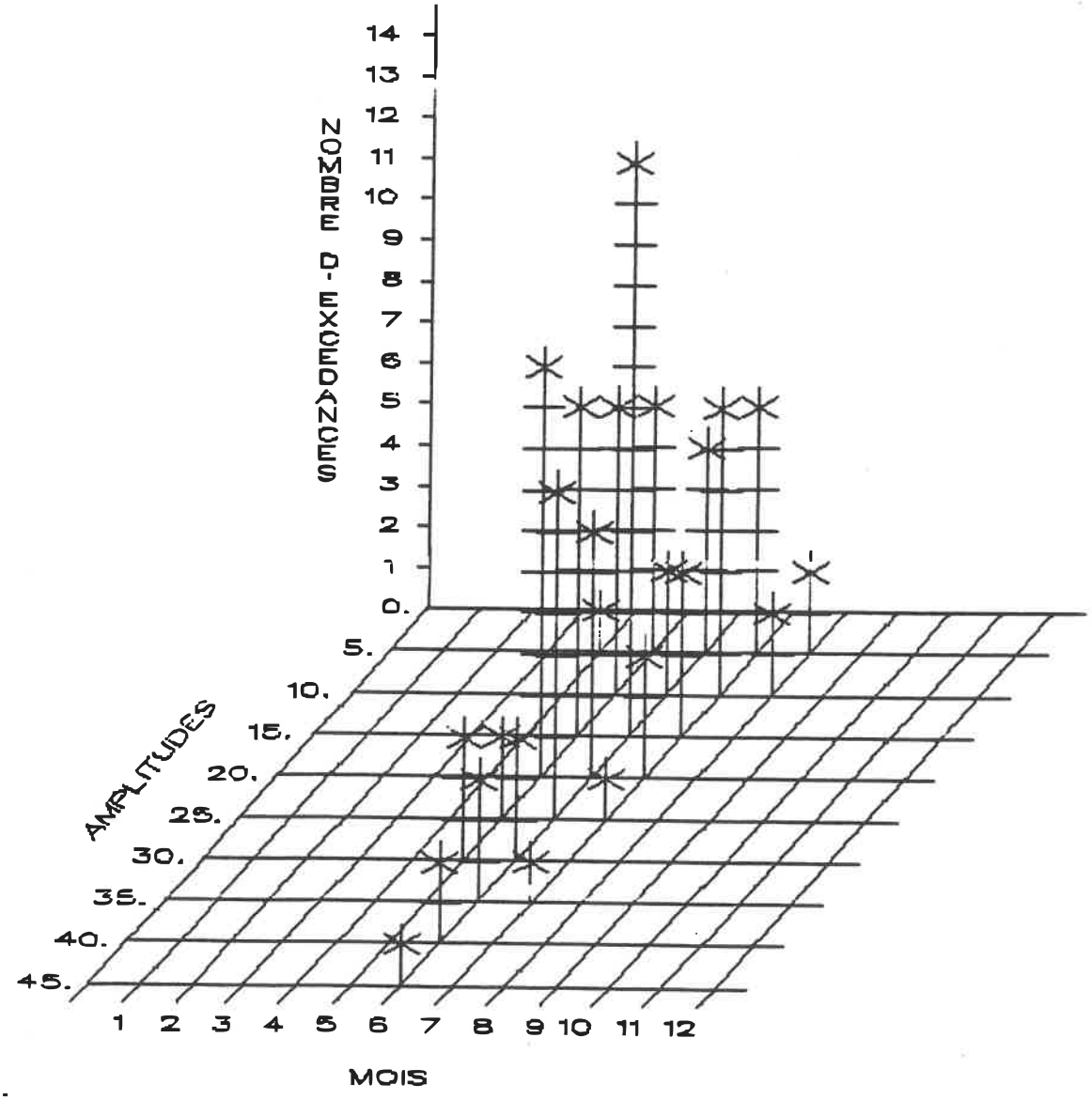



F20.a - Graphe du débit de pointe ($m^3/s$) en fonction de la précipitation cumulée (mm)

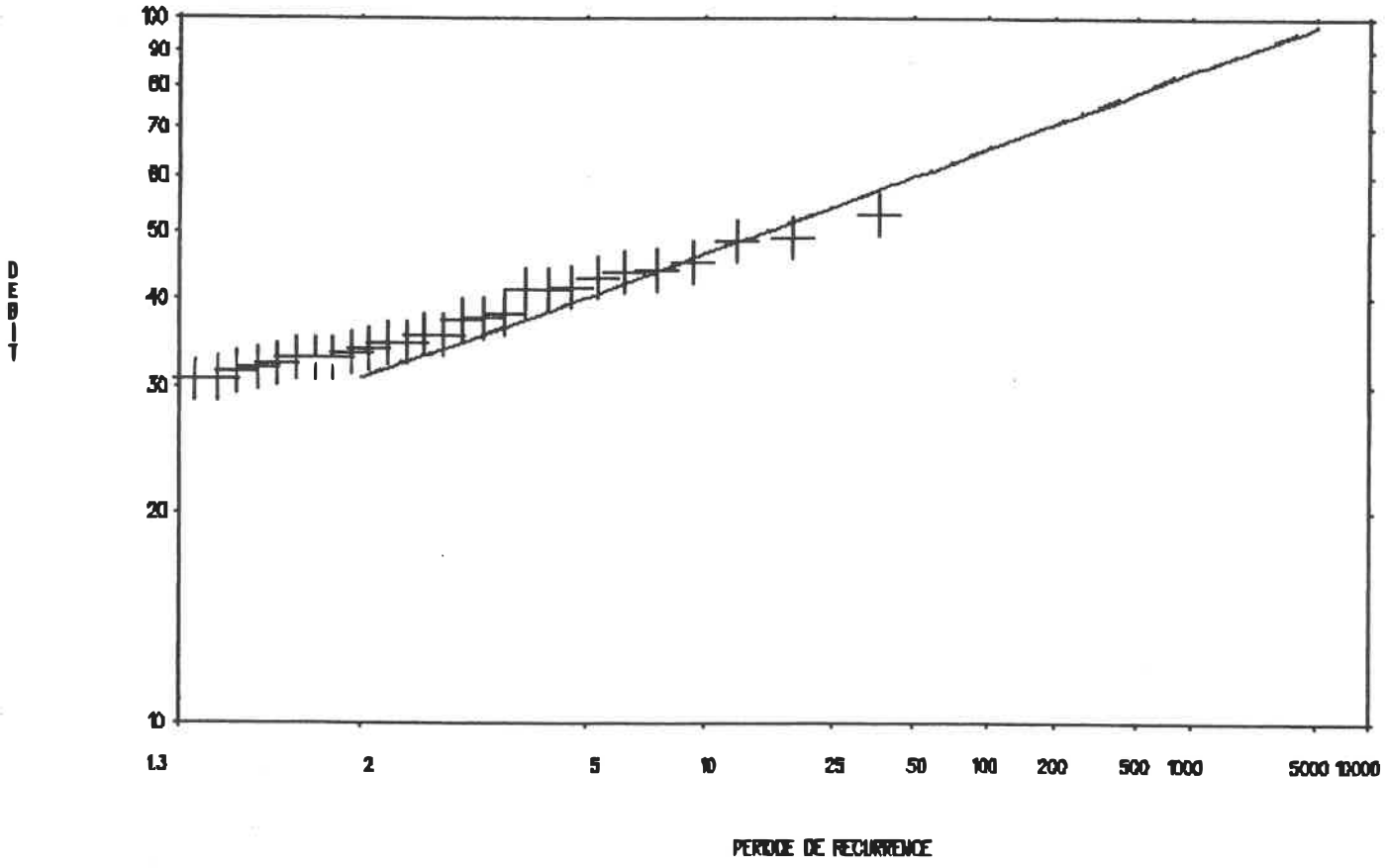



F20.b - Graphe du nombre moyen d'excédances en fonction du temps pour différents débits de base

Figure F20 - Station 08NF001



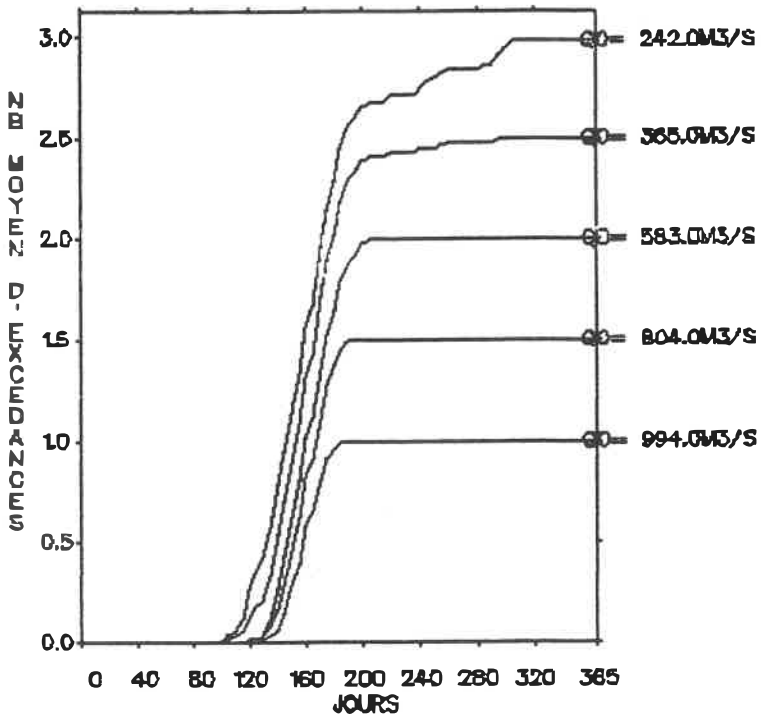

F20.c - Histogramme du nombre d'excédances en fonction de l'amplitude ($m^3/s$) et du mois




F20.d - Graphe du débit de pointe ($m^3/s$) en fonction du nombre d'années de récurrence

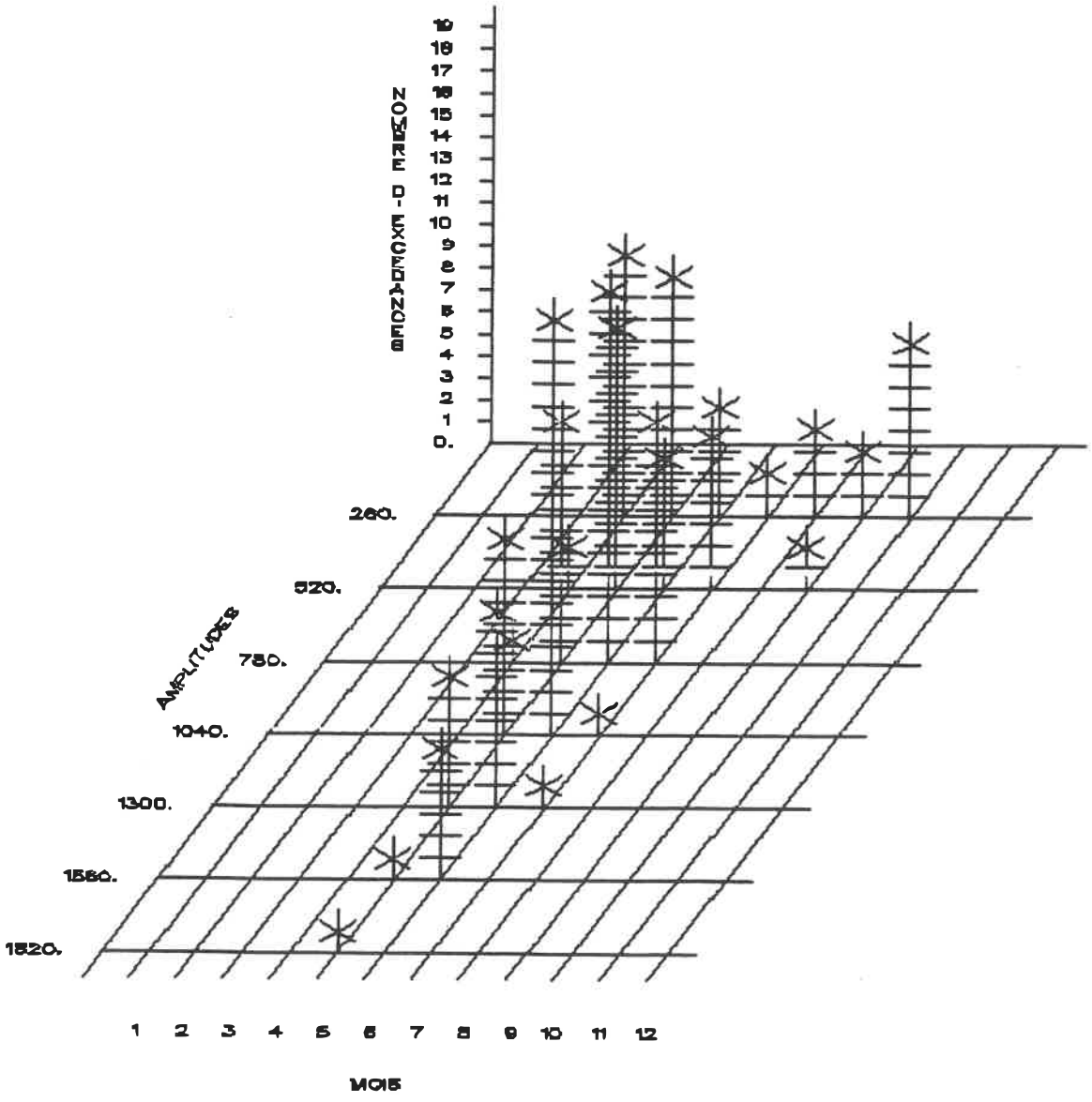
—— découpage en périodes homogènes

—·—· analyse annuelle

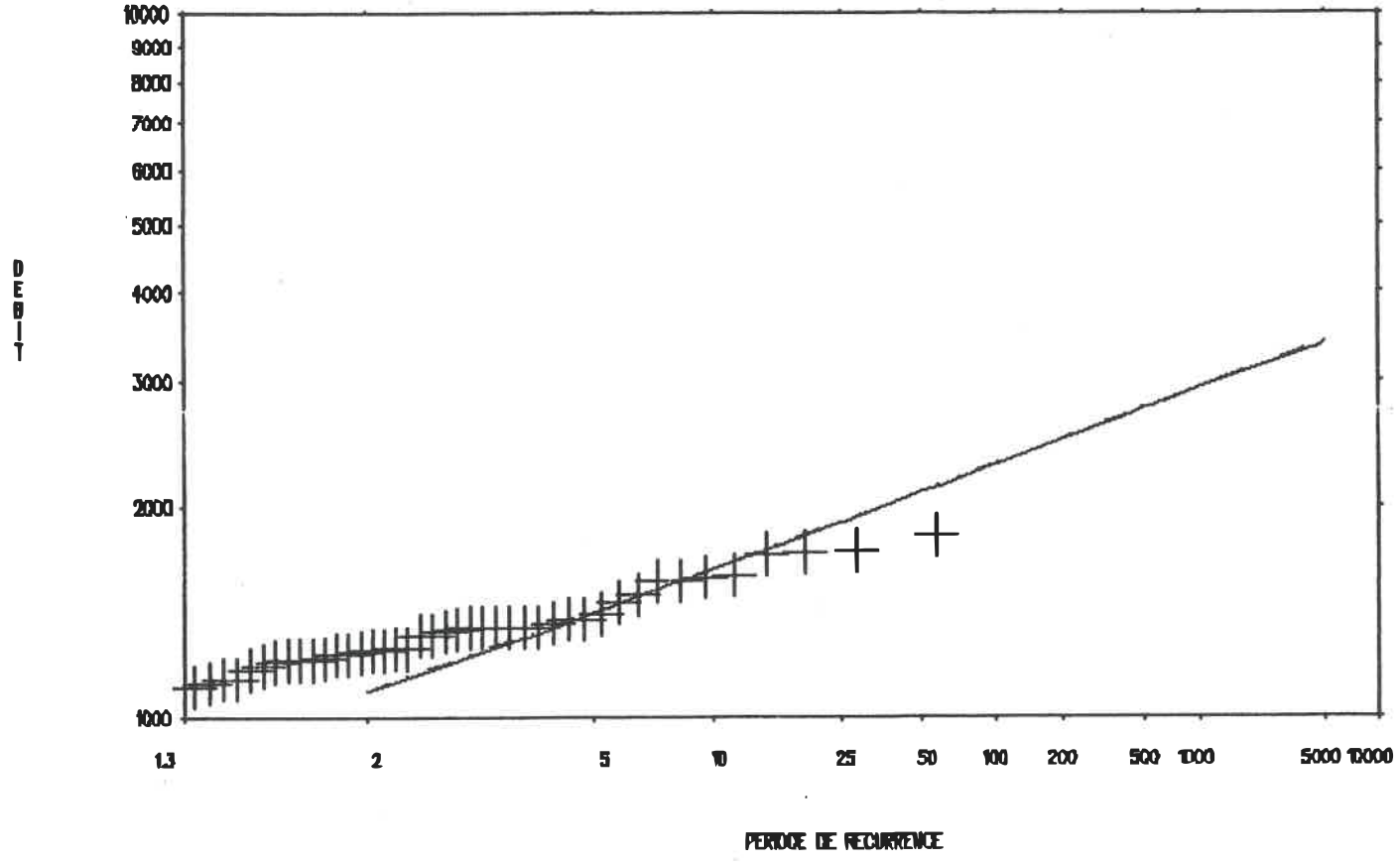



F21.a - Graphe du nombre moyen d'excédances en fonction du temps pour différents débits de base

Figure F21 - Station 08NG005



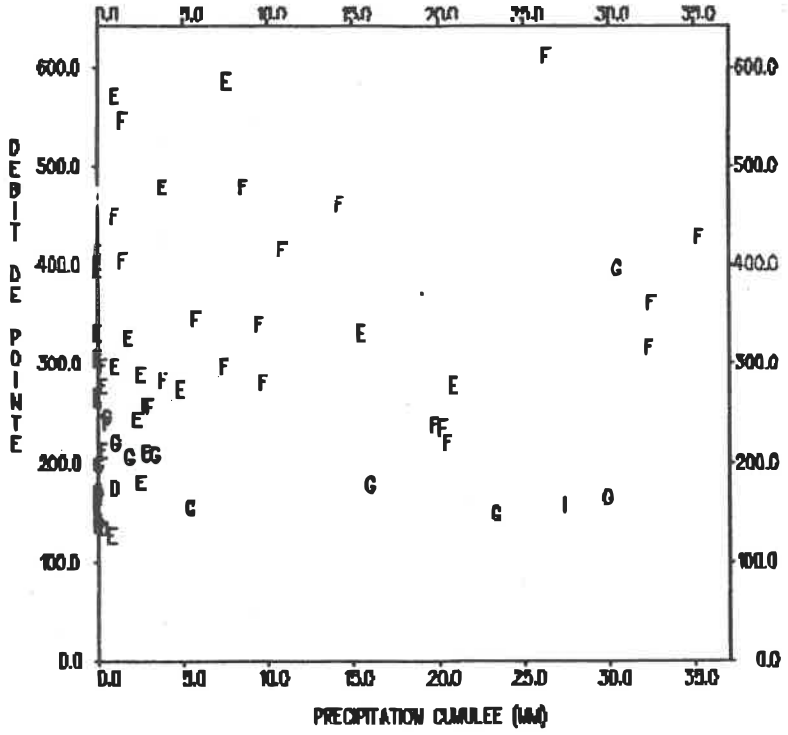

F21.b - Histogramme du nombre d'excédances en fonction de l'amplitude ($m^3/s$) et du mois



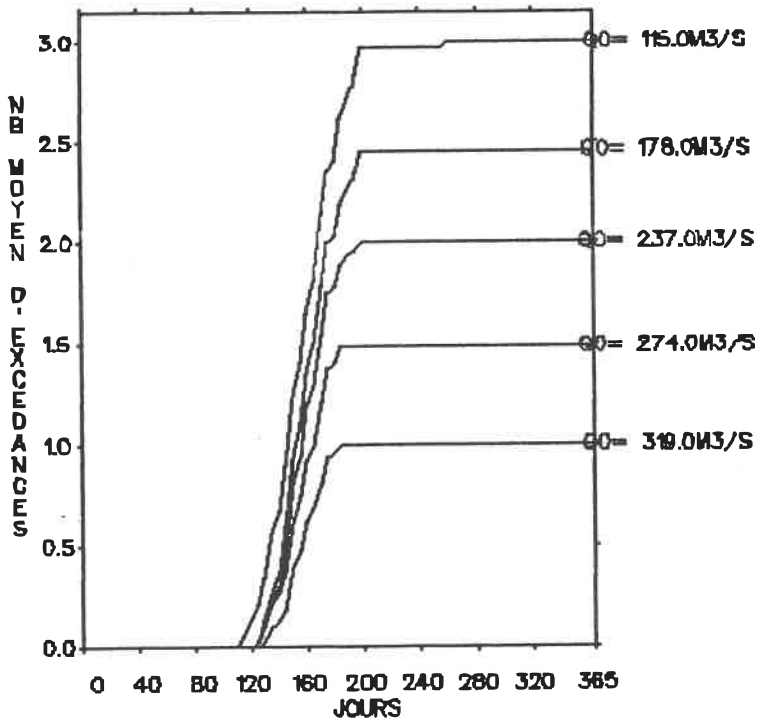

F21.c - Graphe du débit de pointe ($m^3/s$) en fonction du nombre d'années de récurrence

—— découpage en périodes homogènes

—·—· analyse annuelle

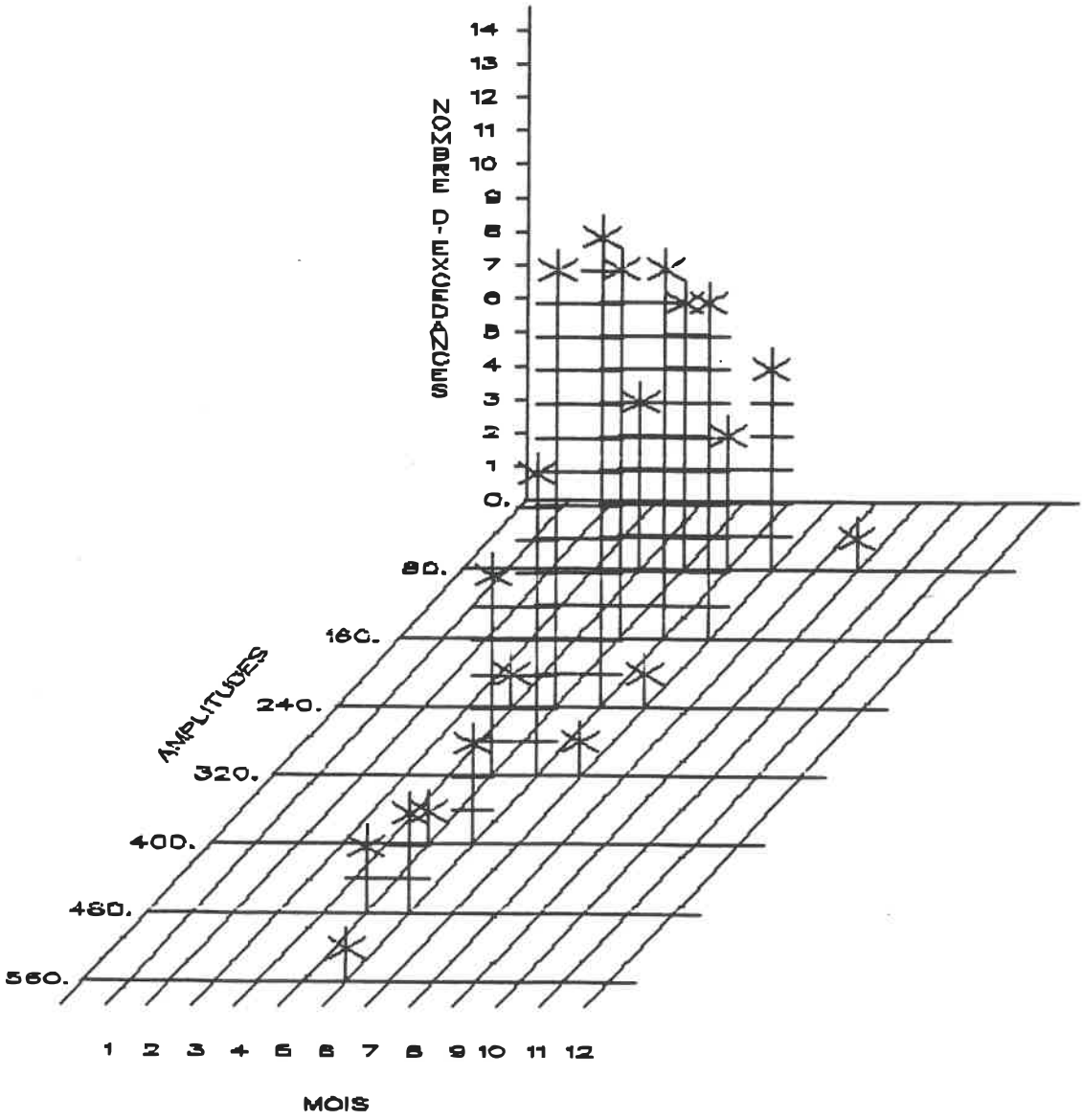



F22.a - Graphe du débit de pointe ($m^3/s$) en fonction de la précipitation cumulée (mm)

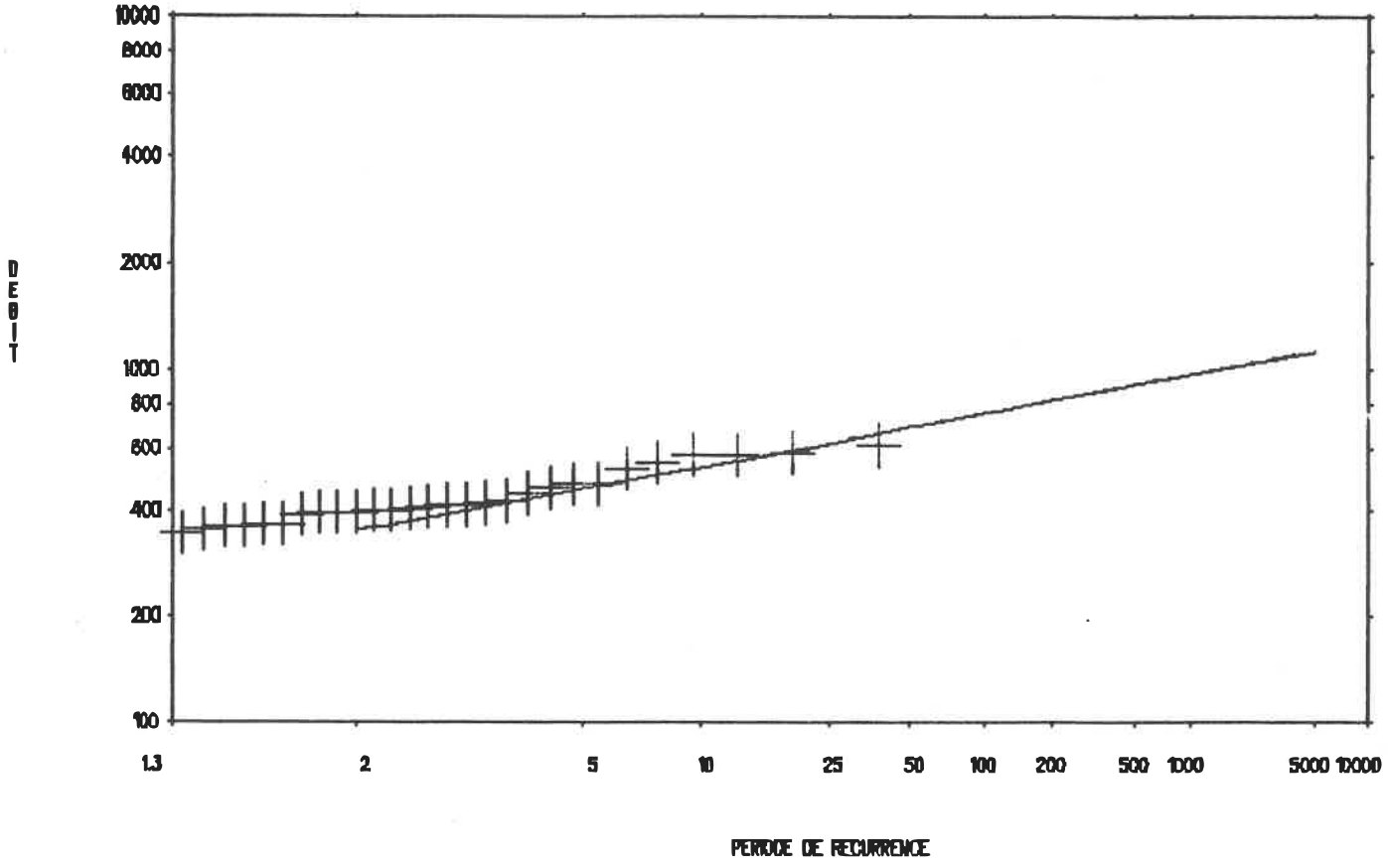



F22.b - Graphe du nombre moyen d'excédances en fonction du temps pour différents débits de base

Figure F22 - Station 08NG012



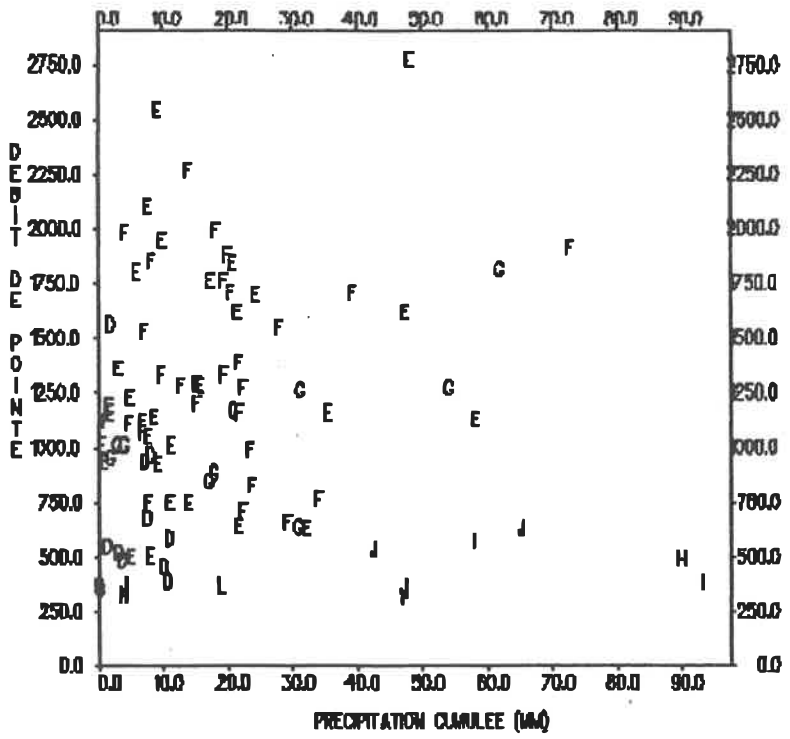

F22.c - Histogramme du nombre d'excédances en fonction de l'amplitude ($m^3/s$) et du mois



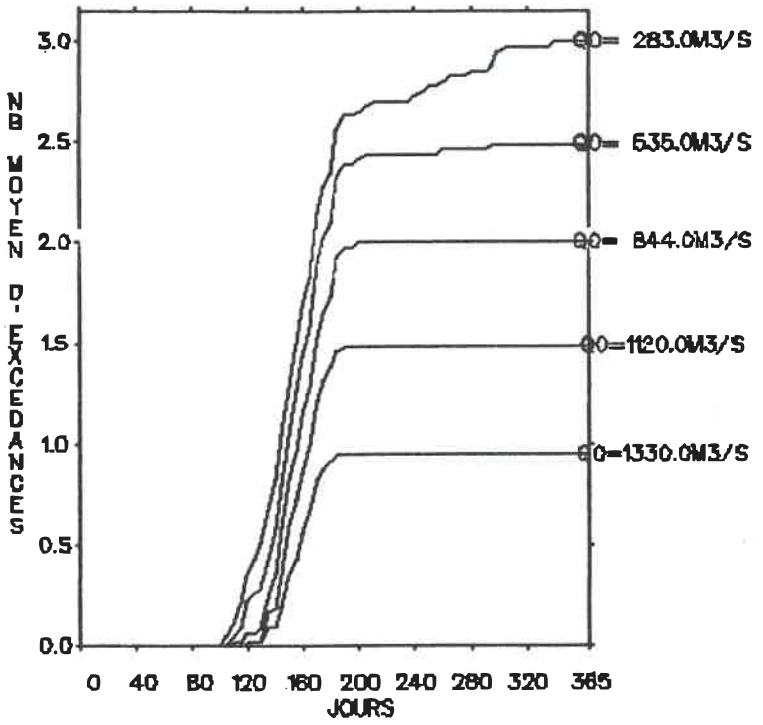

F22.d - Graphe du débit de pointe ($m^3/s$) en fonction du nombre d'années de récurrence

——— découpage en périodes homogènes

—·—· analyse annuelle

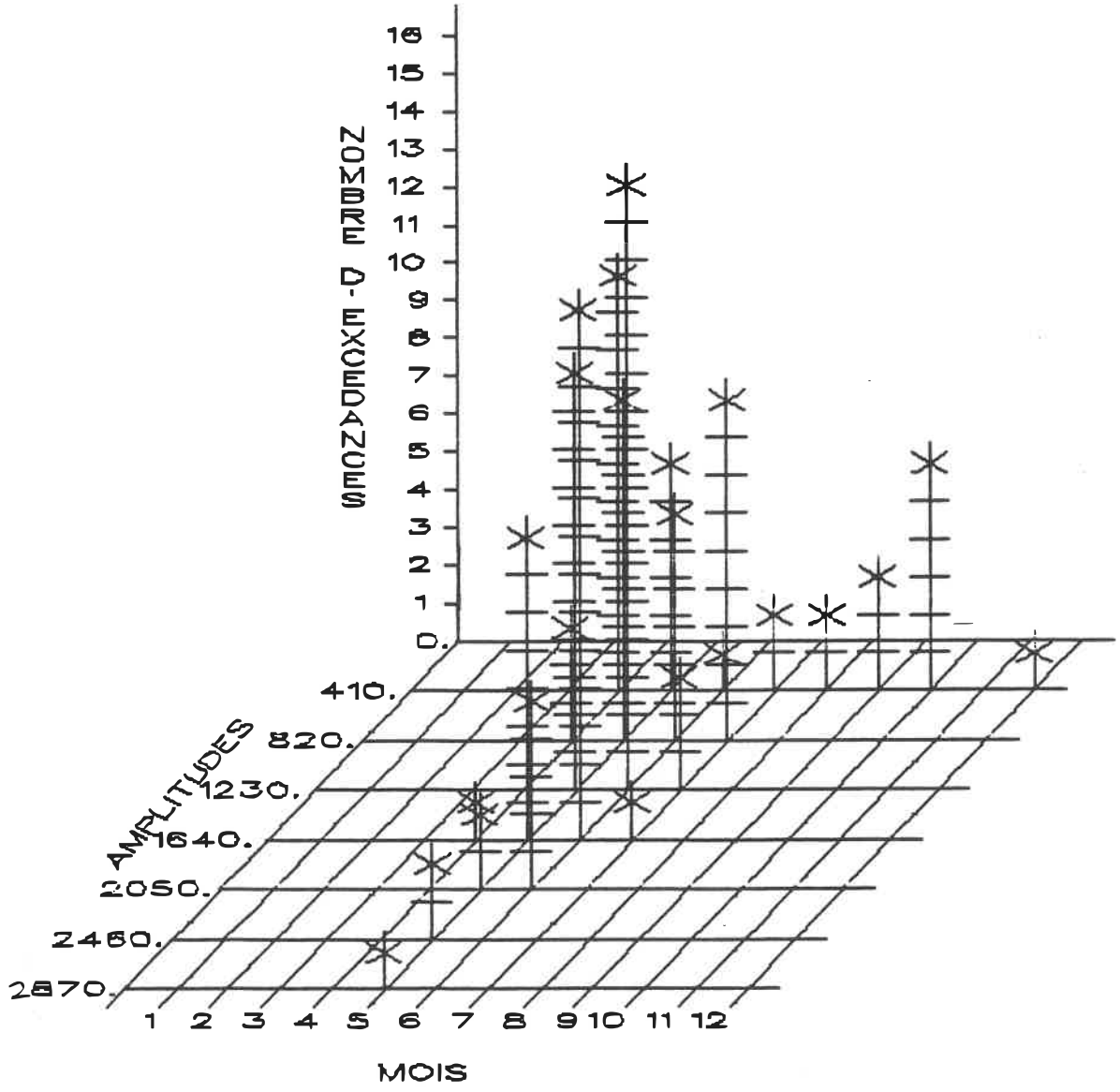



F23.a - Graphe du débit de pointe ($m^3/s$) en fonction de la précipitation cumulée (mm)

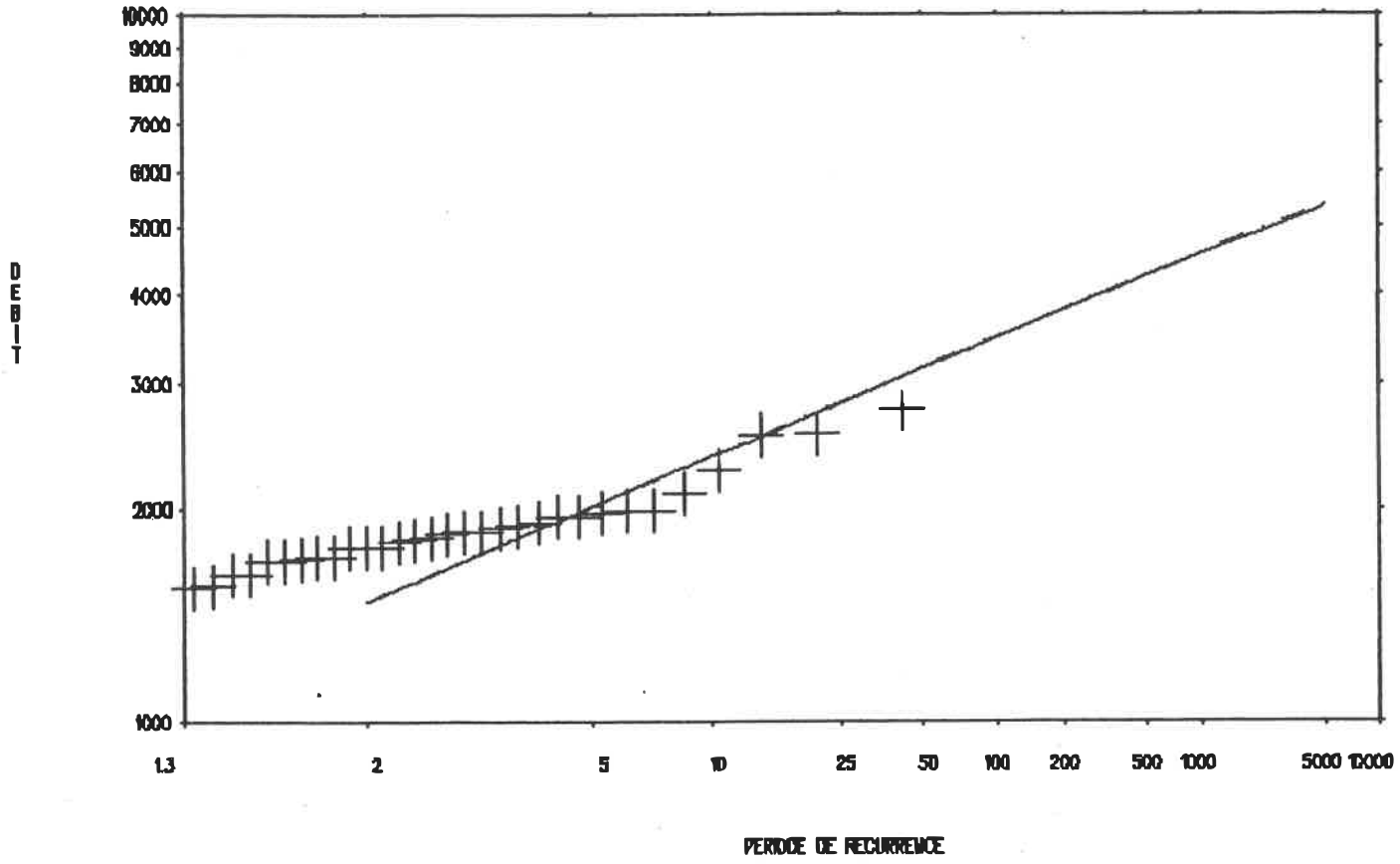



F23.b - Graphe du nombre moyen d'excédances en fonction du temps pour différents débits de base

Figure F23 - Station 08NG042



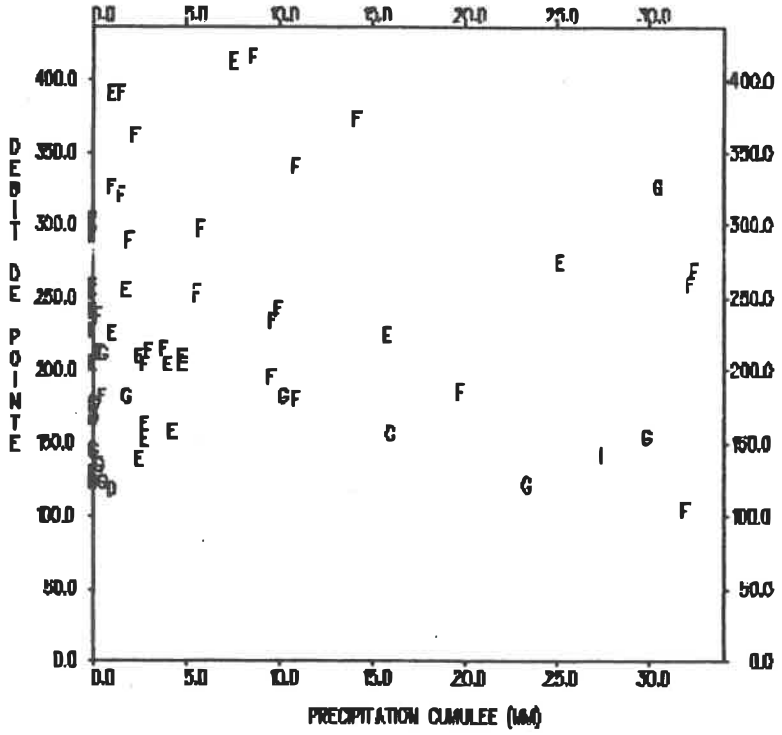

F23.c - Histogramme du nombre d'excédances en fonction de l'amplitude ($m^3/s$) et du mois



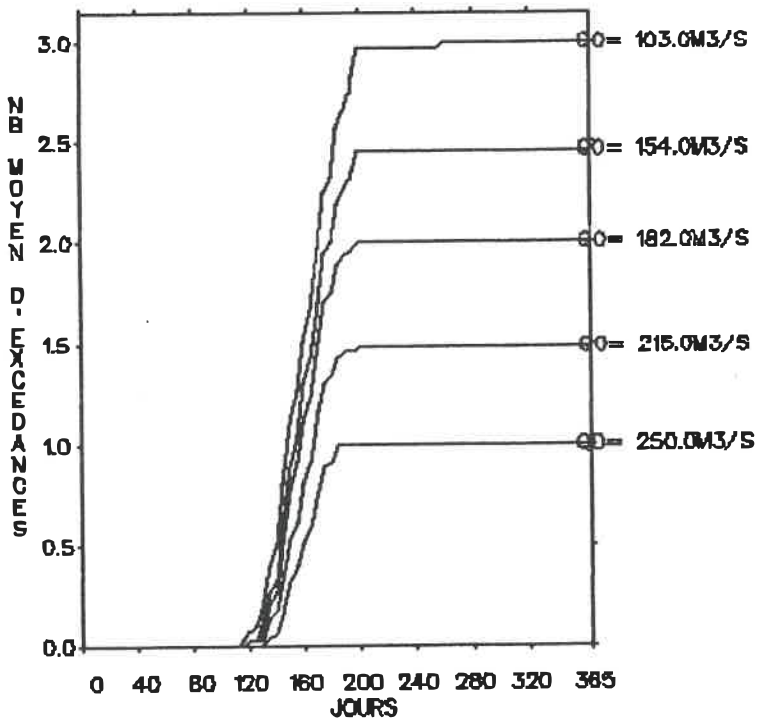

F23.d - Graphe du débit de pointe ($m^3/s$) en fonction du nombre d'années de récurrence

—— découpage en périodes homogènes

—·—· analyse annuelle

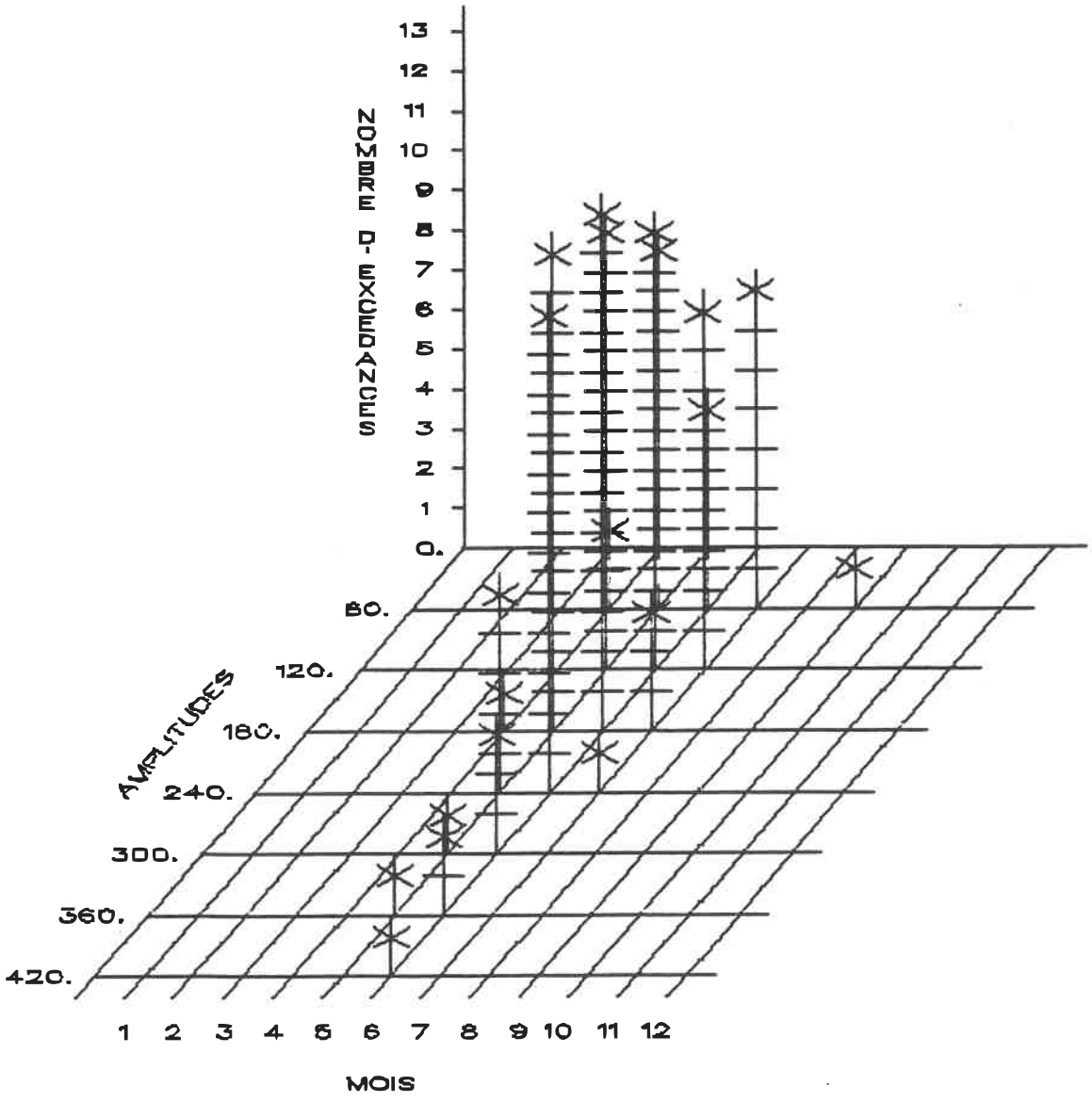



F24.a - Graphe du débit de pointe ($m^3/s$) en fonction de la précipitation cumulée (mm)

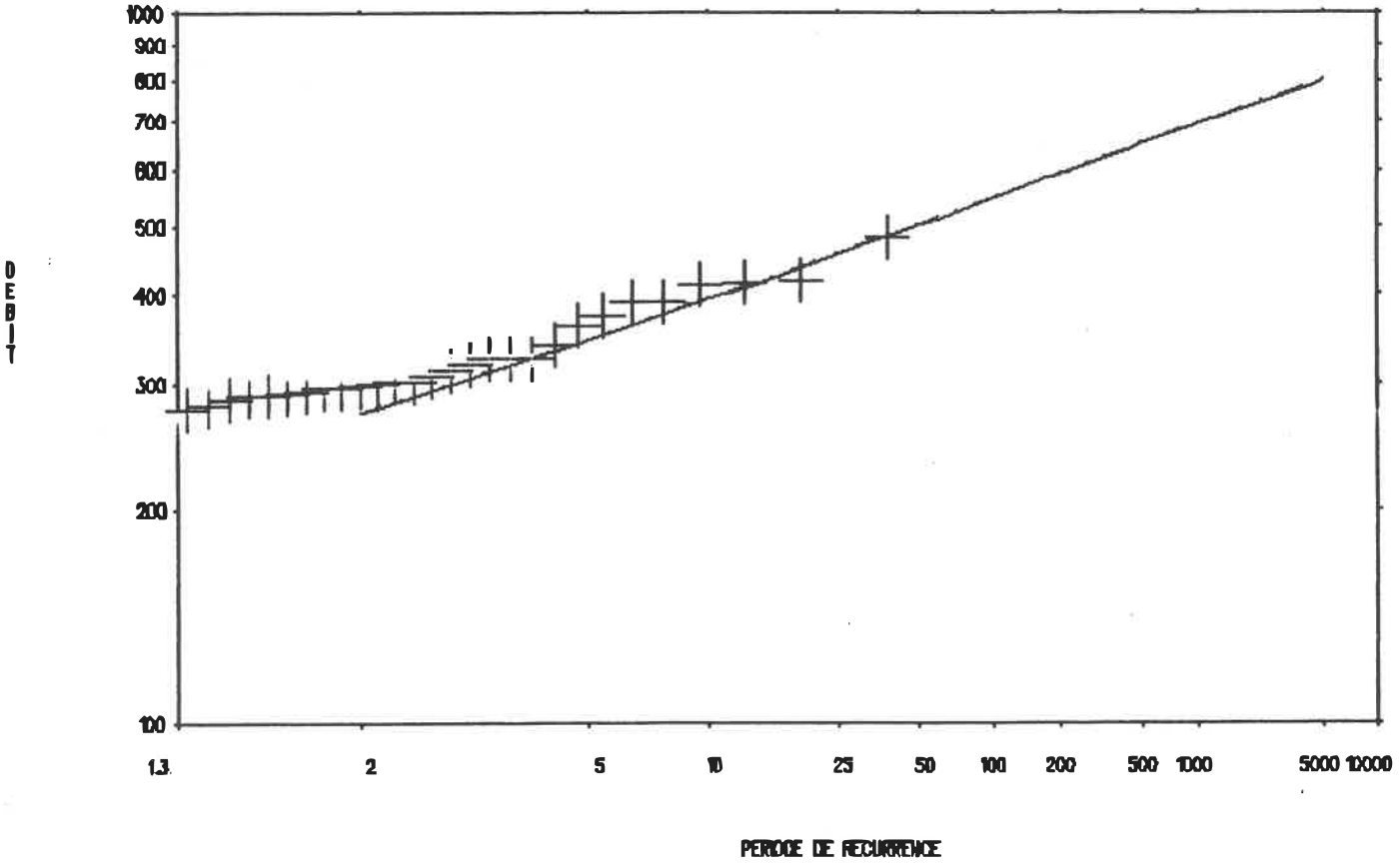



F24.b - Graphe du nombre moyen d'excédances en fonction du temps pour différents débits de base

Figure F24 - Station 08NG046



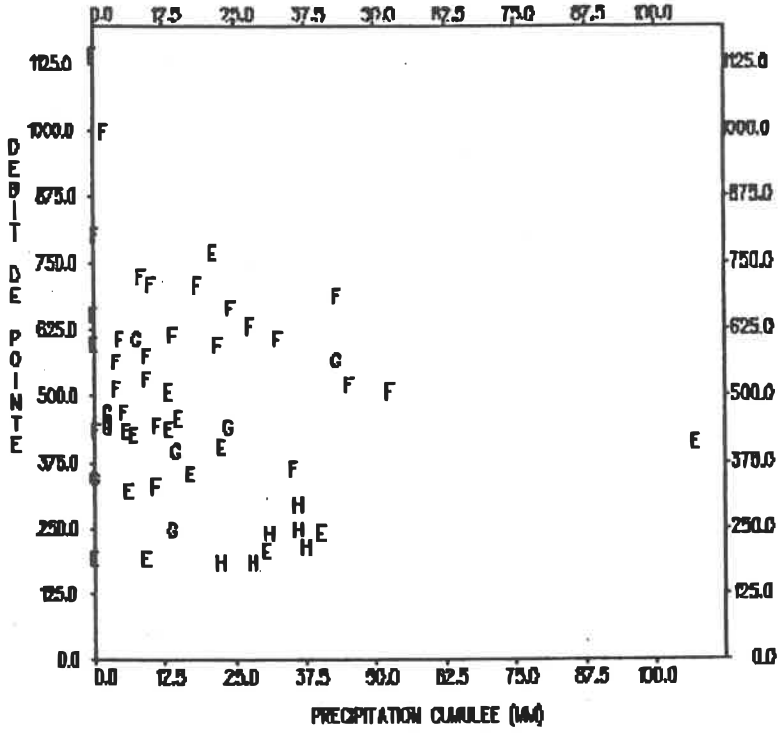

F24.c - Histogramme du nombre d'excédances en fonction de l'amplitude ($m^3/s$) et du mois

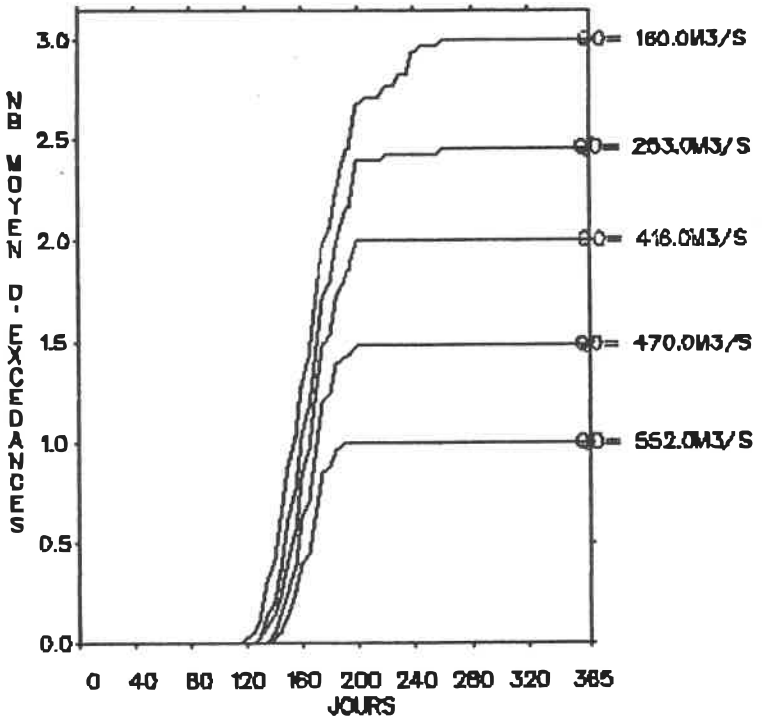



F24.d - Graphe du débit de pointe ($m^3/s$) en fonction du nombre d'années de récurrence

——— découpage en périodes homogènes

—·—· analyse annuelle

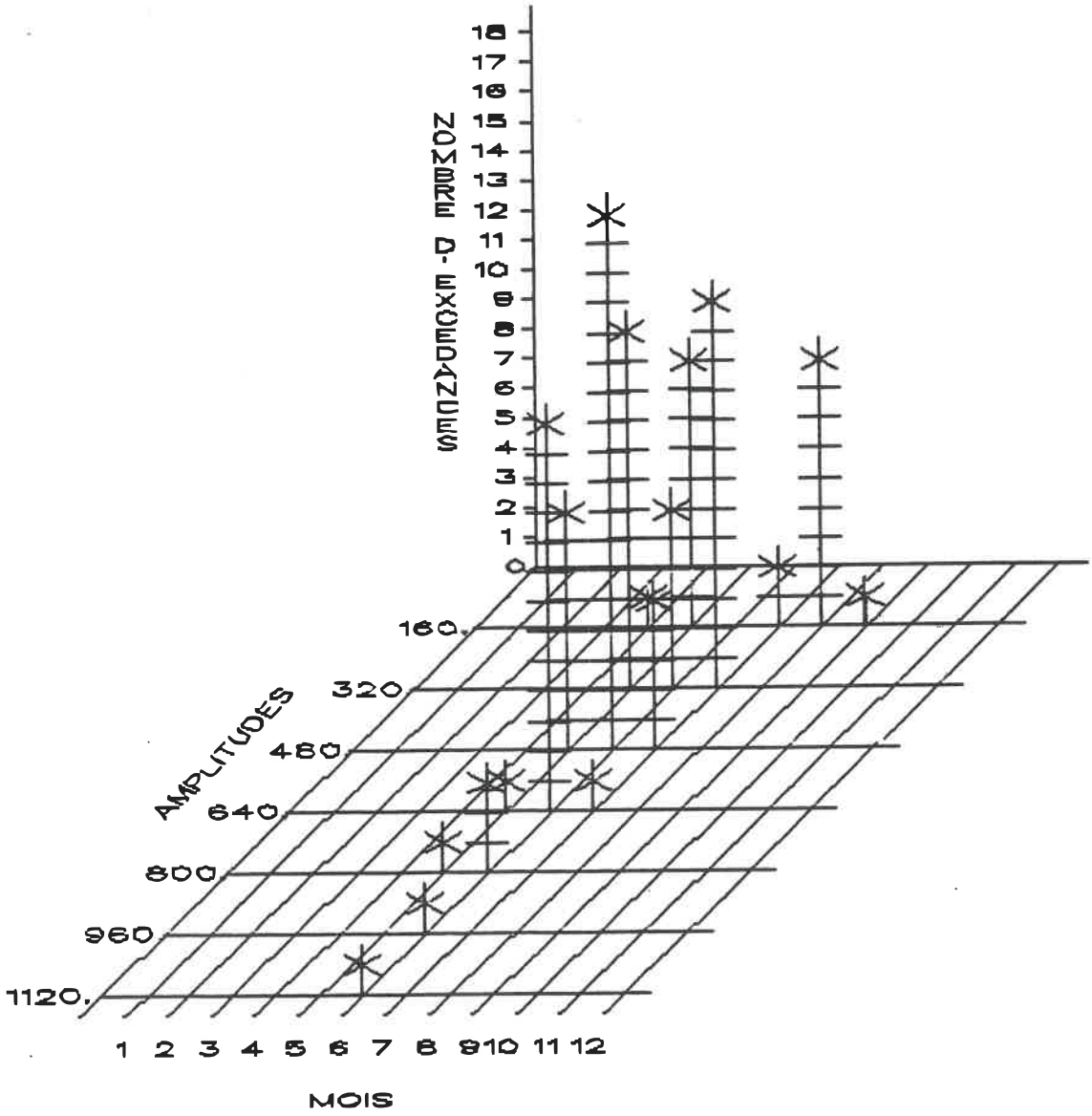


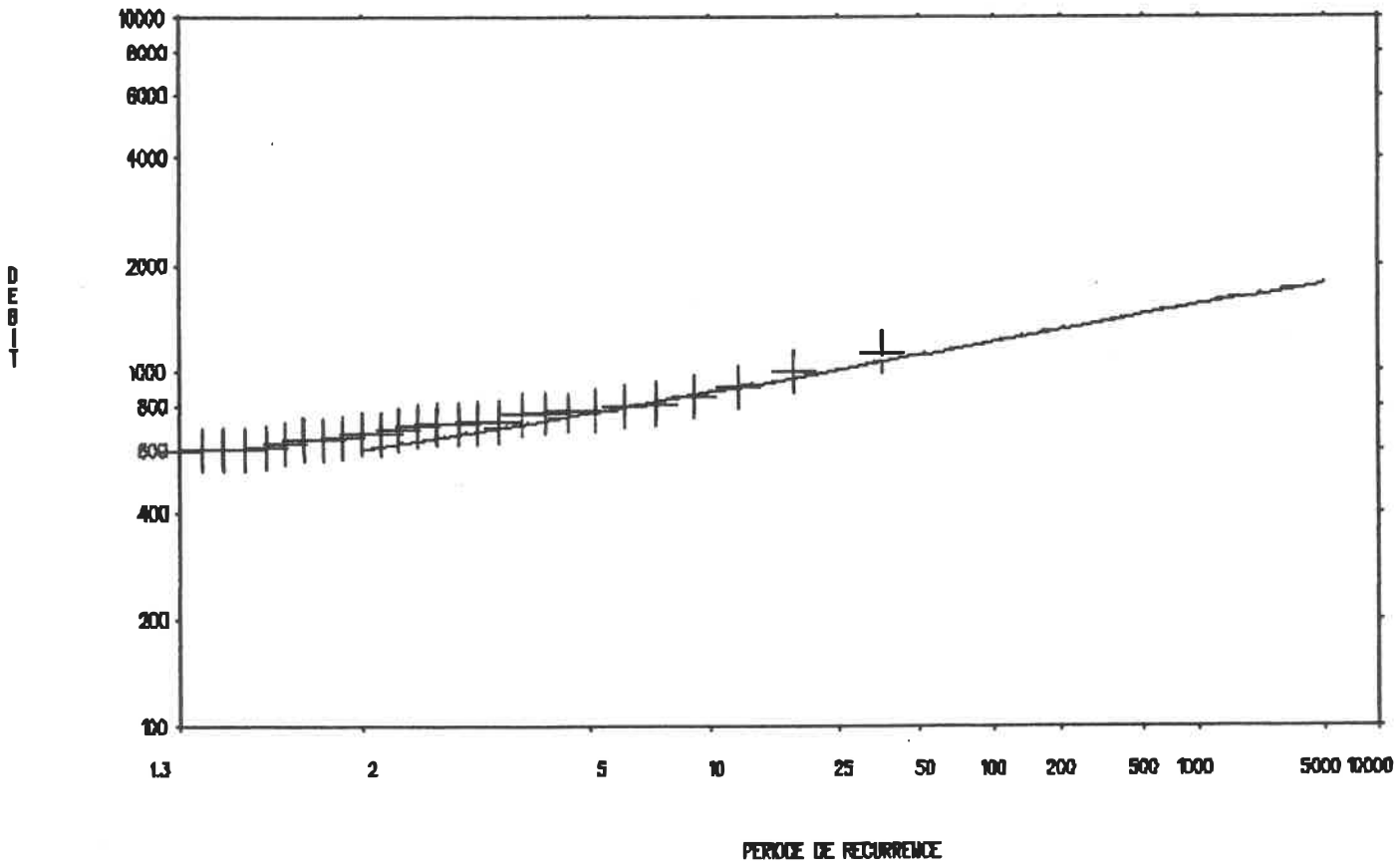

F25.a - Graphe du débit de pointe ($m^3/s$) en fonction de la précipitation cumulée (mm)

F25.b - Graphe du nombre moyen d'excédances en fonction du temps pour différents débits de base

Figure F25 - Station 08NG053



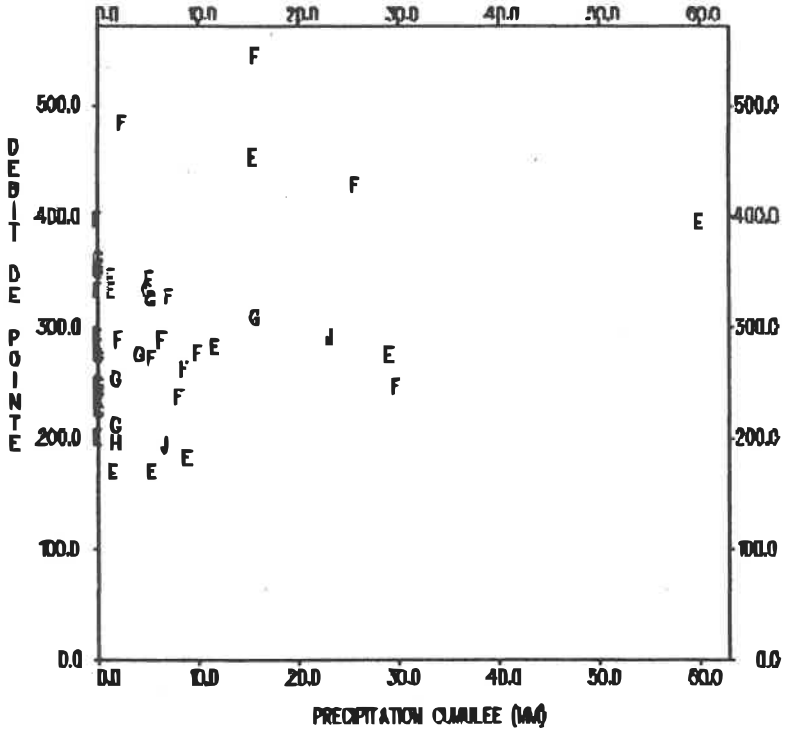

F25.c - Histogramme du nombre d'excédances en fonction de l'amplitude ($m^3/s$) et du mois



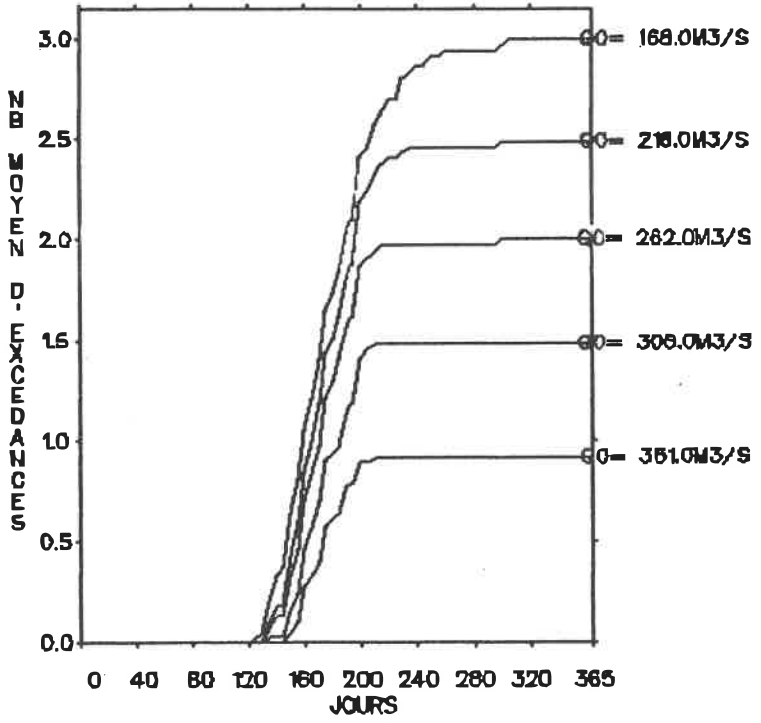

F25.d - Graphe du débit de pointe ($m^3/s$) en fonction du nombre d'années de récurrence

——— découpage en périodes homogènes

—·—· analyse annuelle

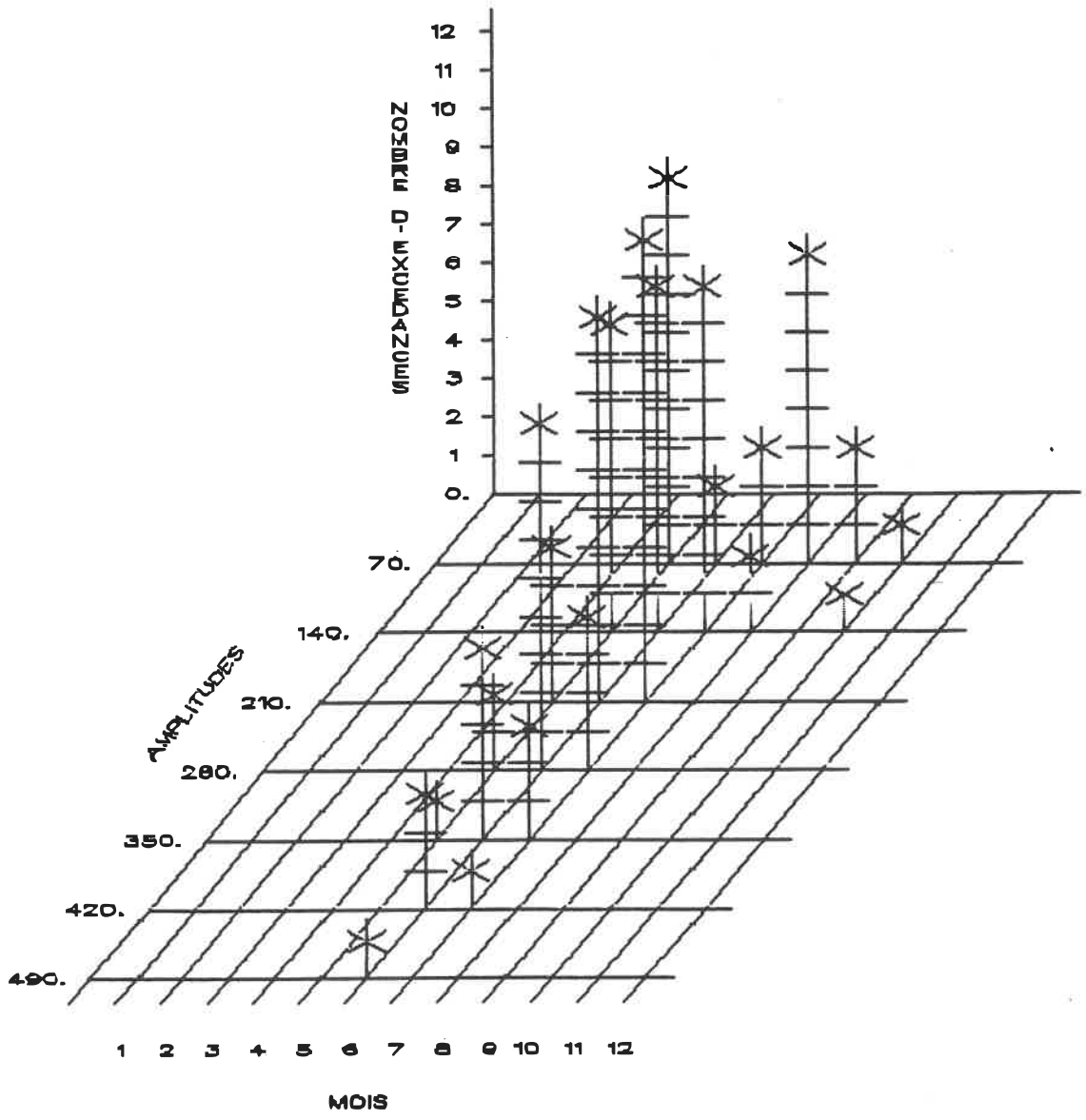



F26.a - Graphe du débit de pointe ($m^3/s$) en fonction de la précipitation cumulée (mm)

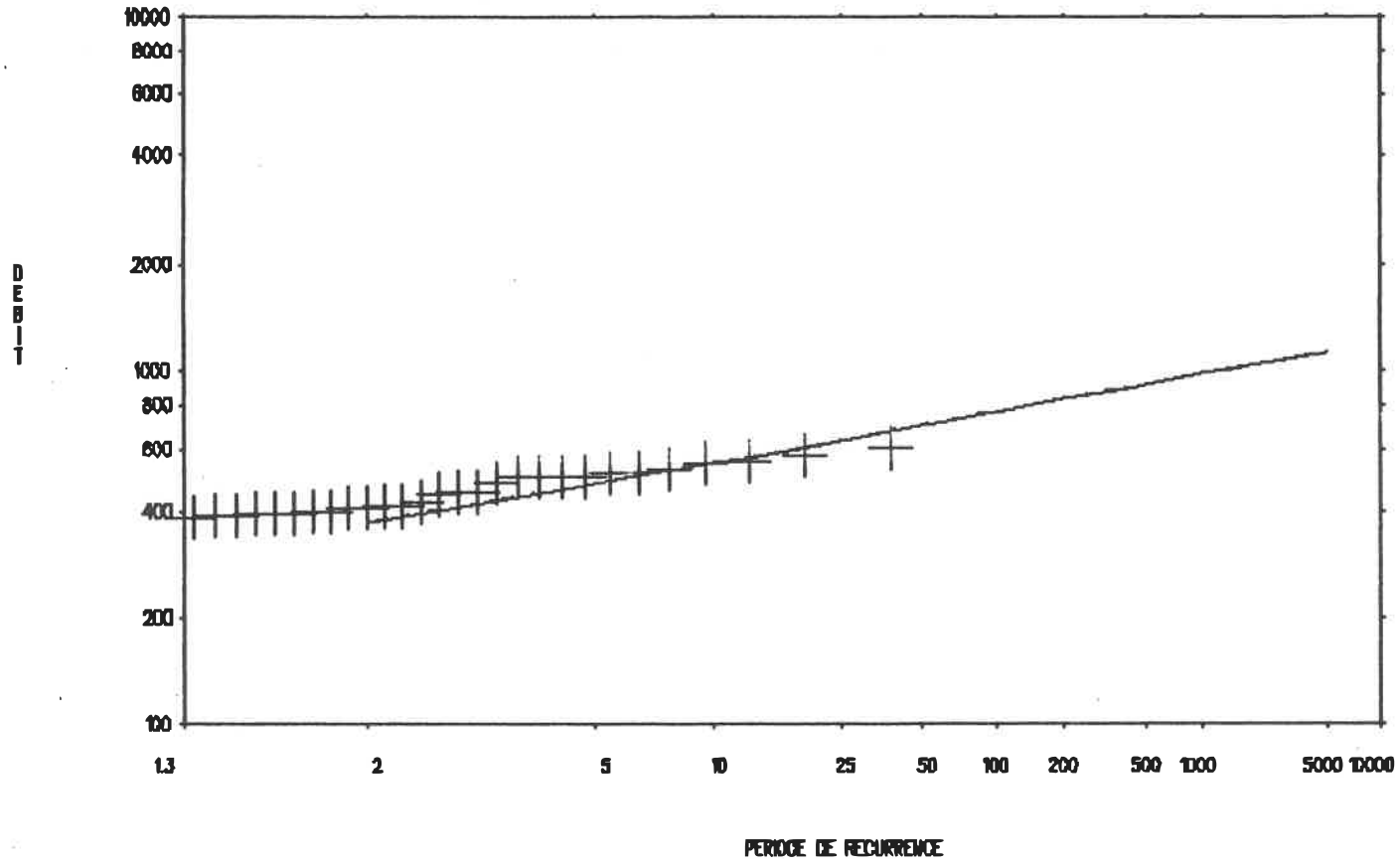



F26.b - Graphe du nombre moyen d'excédances en fonction du temps pour différents débits de base

Figure F26 - Station 08NH001



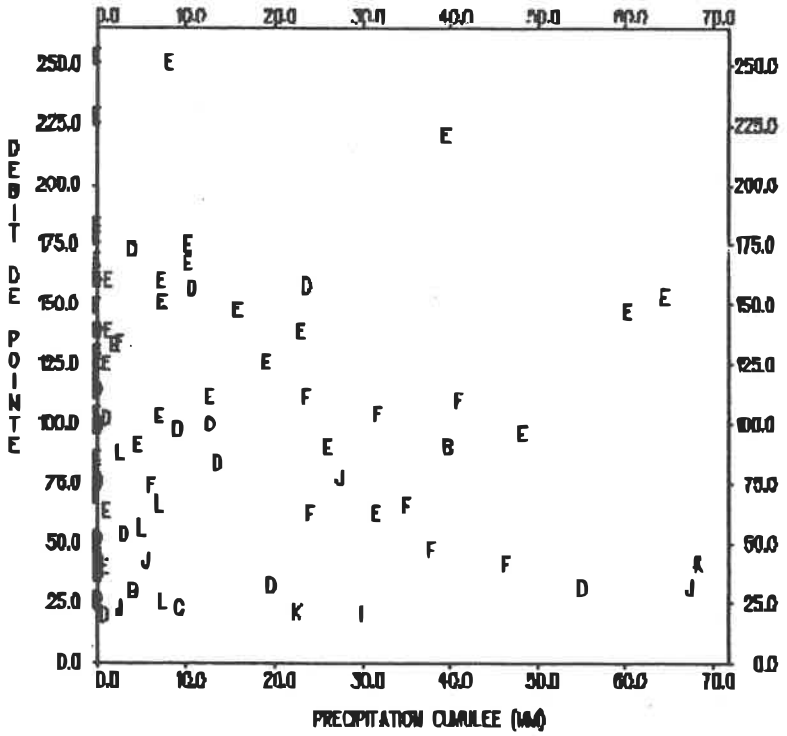

F26.c - Histogramme du nombre d'excédances en fonction de l'amplitude ($m^3/s$) et du mois



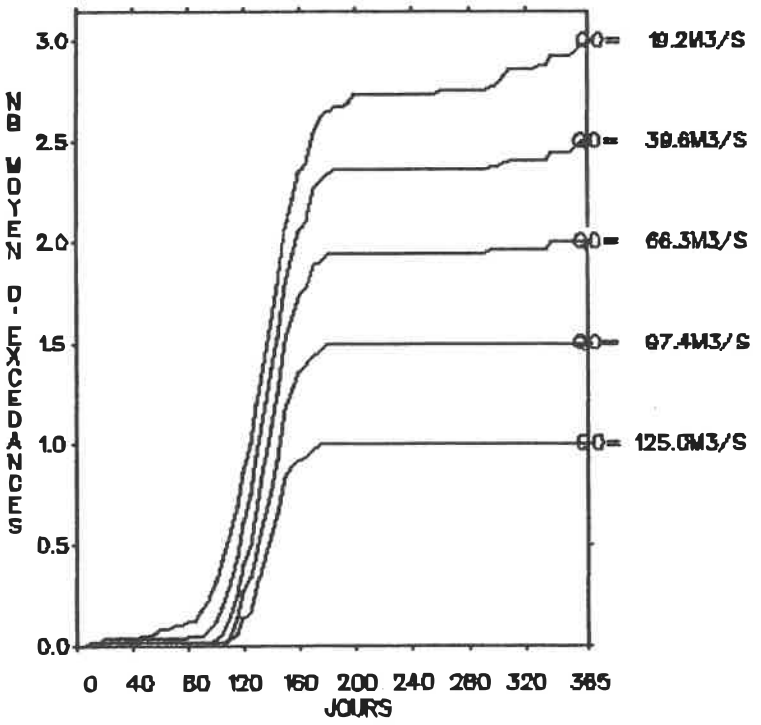

F26.d - Graphe du débit de pointe ($m^3/s$) en fonction du nombre d'années de récurrence

——— découpage en périodes homogènes

—·—· analyse annuelle

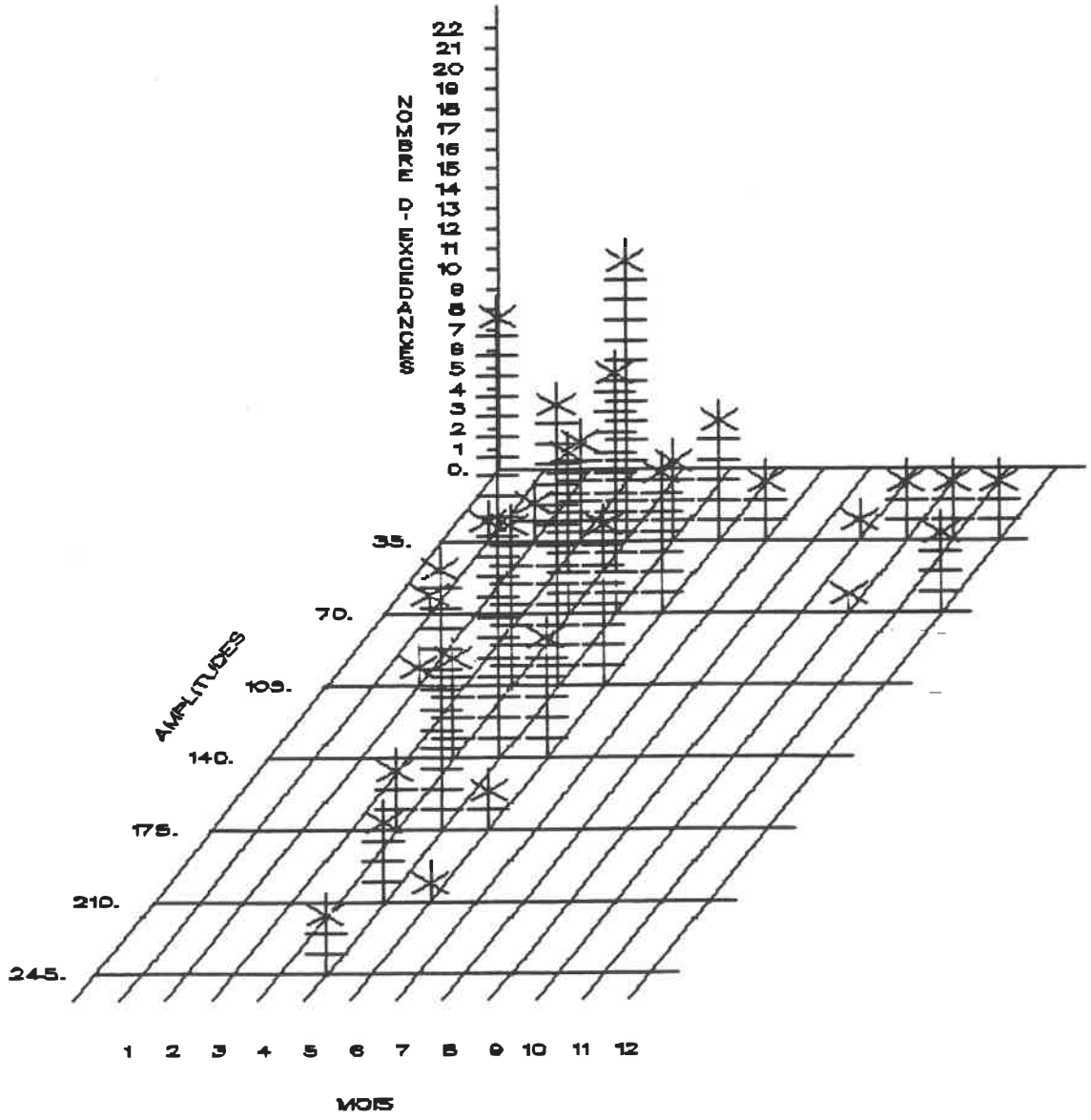



F27.a - Graphe du débit de pointe ($m^3/s$) en fonction de la précipitation cumulée (mm)

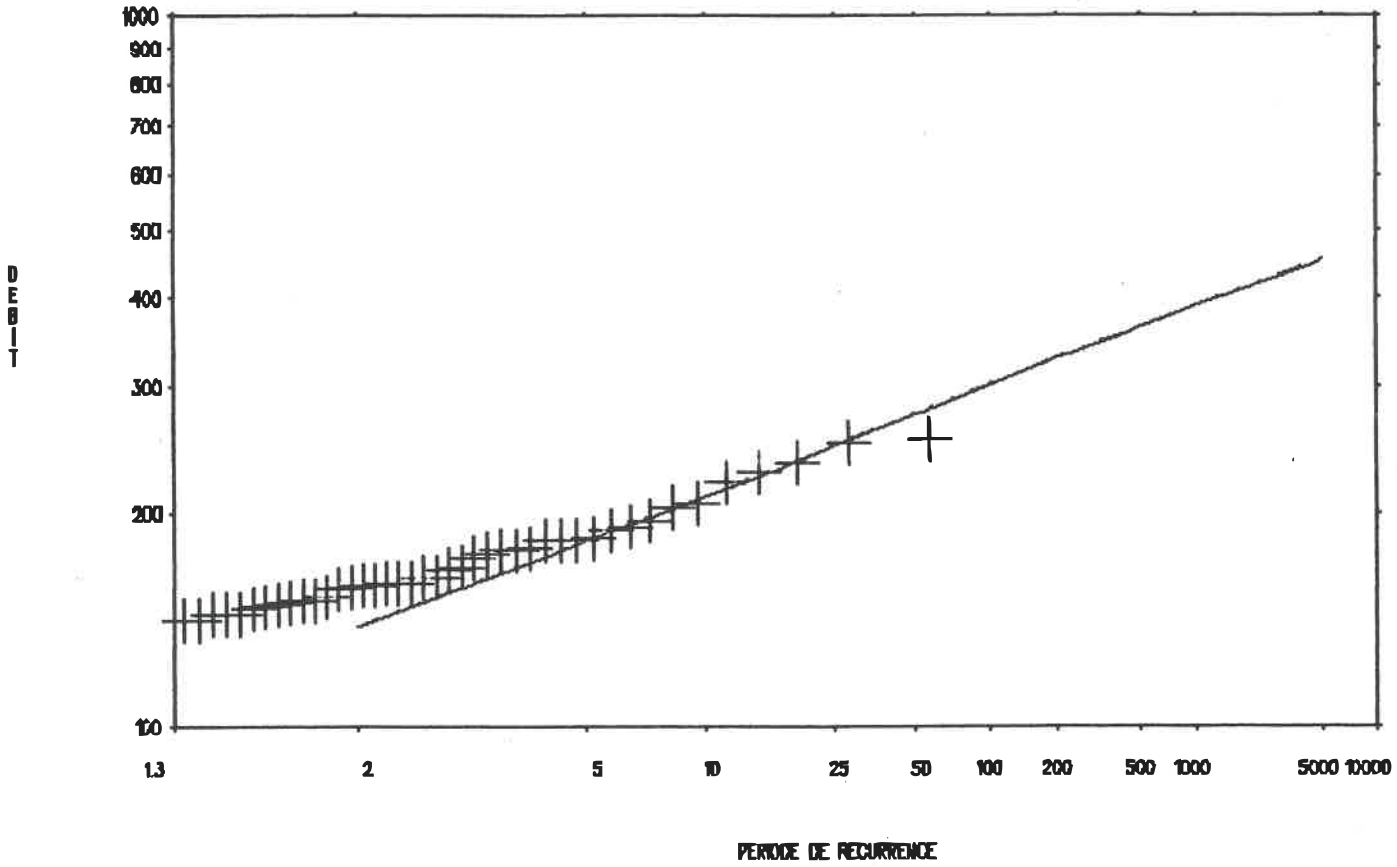



F27.b - Graphe du nombre moyen d'excédances en fonction du temps pour différents débits de base

Figure F27 - Station 08NH006



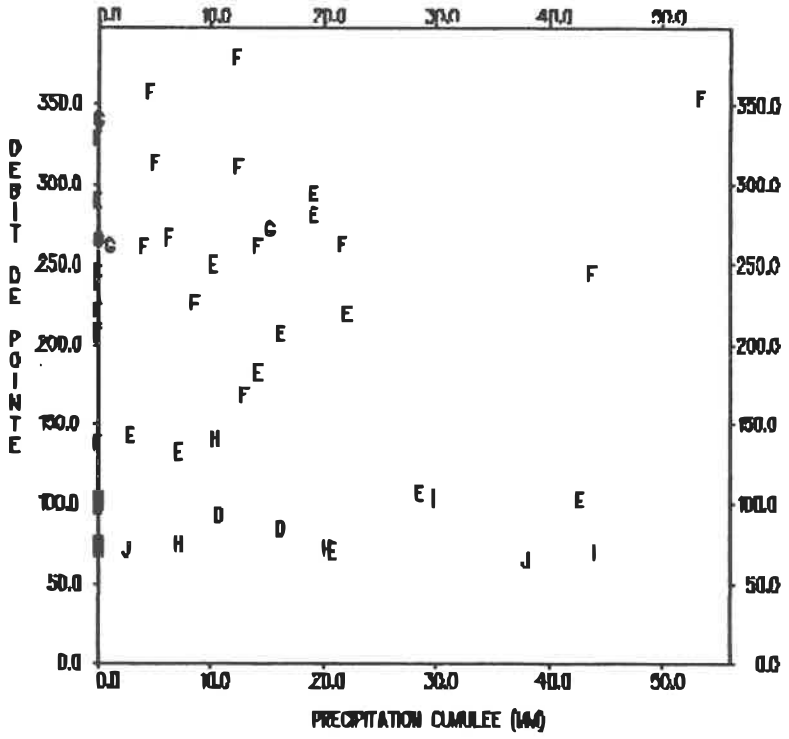

F27.c - Histogramme du nombre d'excédances en fonction de l'amplitude ($m^3/s$) et du mois



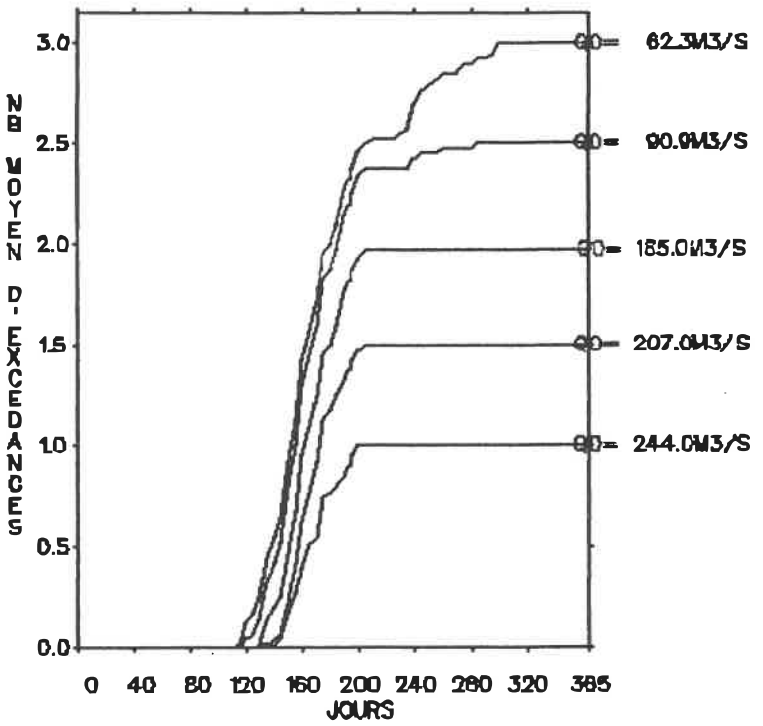

F27.d - Graphe du débit de pointe ($m^3/s$) en fonction du nombre d'années de récurrence

—— découpage en périodes homogènes

—·—· analyse annuelle

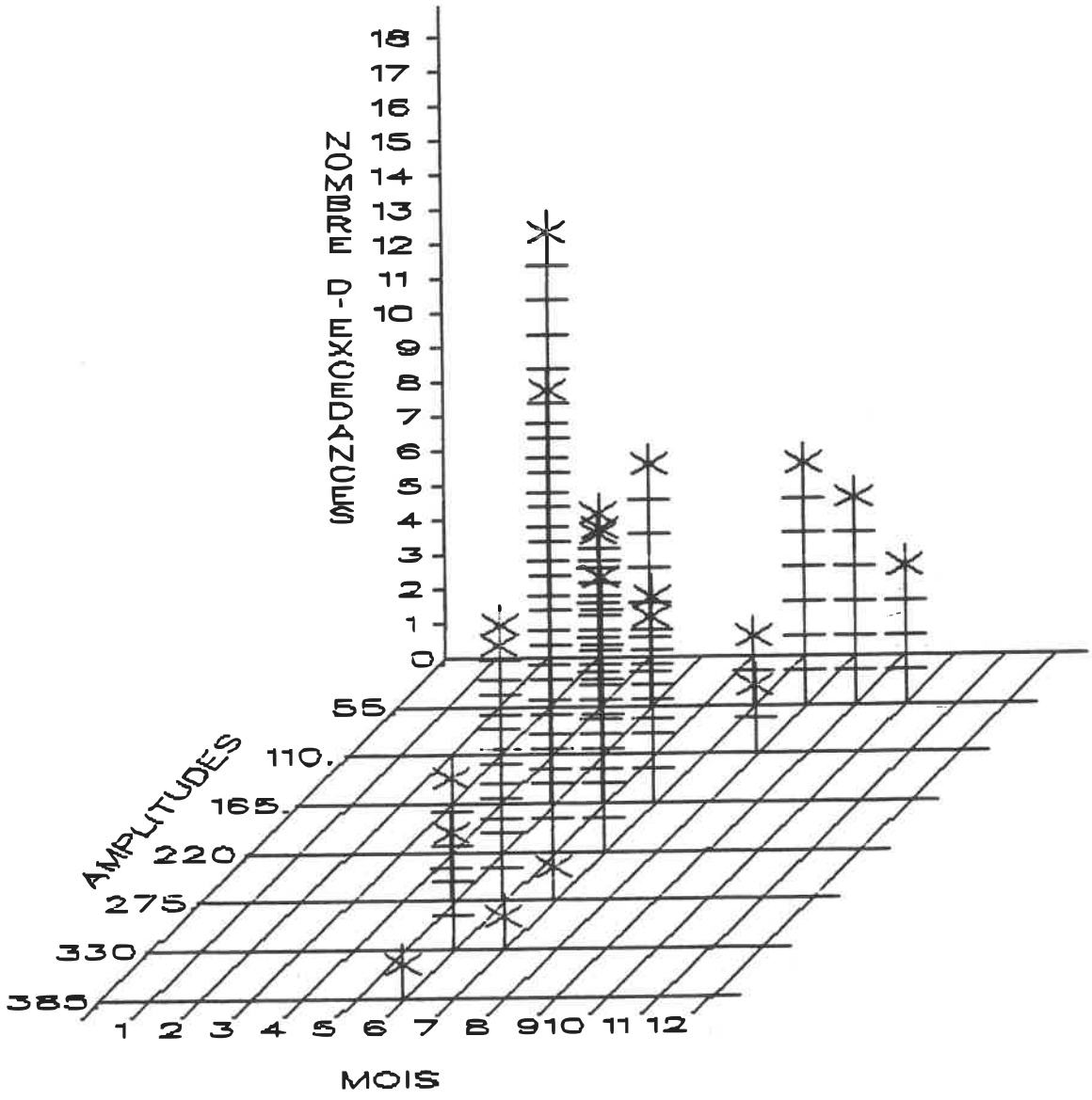



F28.a - Graphe du débit de pointe ($m^3/s$) en fonction de la précipitation cumulée (mm)

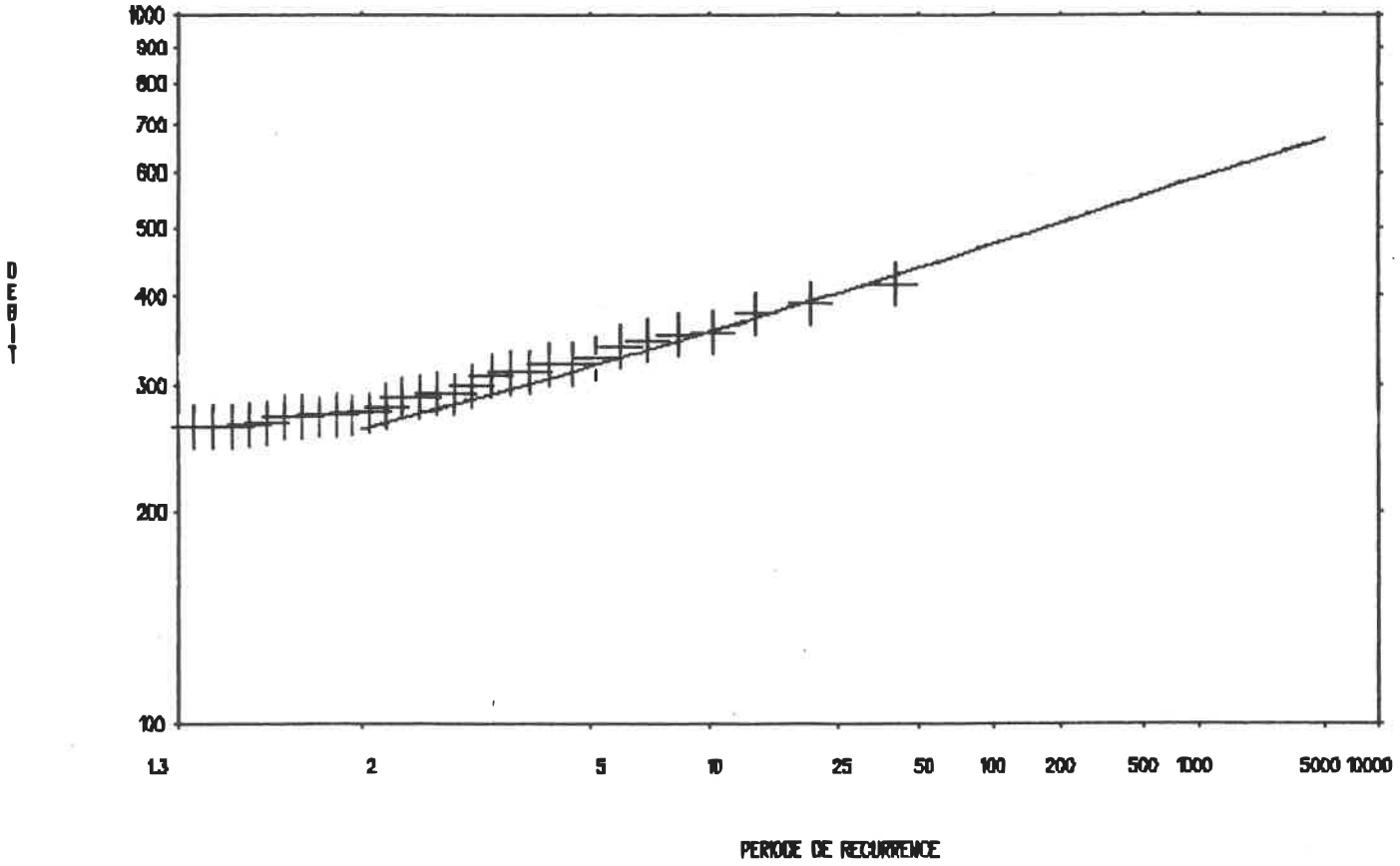



F28.b - Graphe du nombre moyen d'excédances en fonction du temps pour différents débits de base

Figure F28 - Station 08NH007



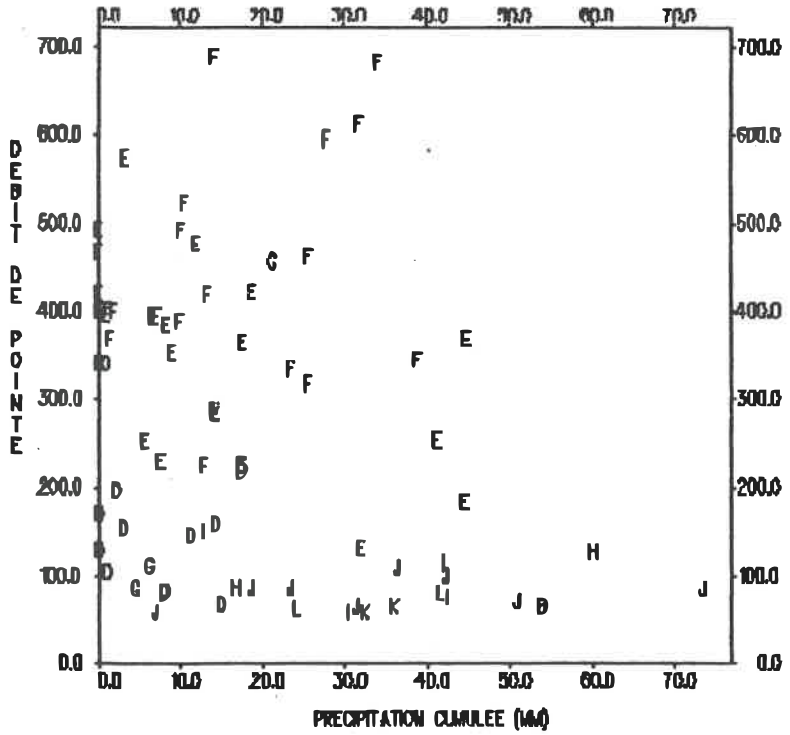

F28.c - Histogramme du nombre d'excédances en fonction de l'amplitude ($m^3/s$) et du mois



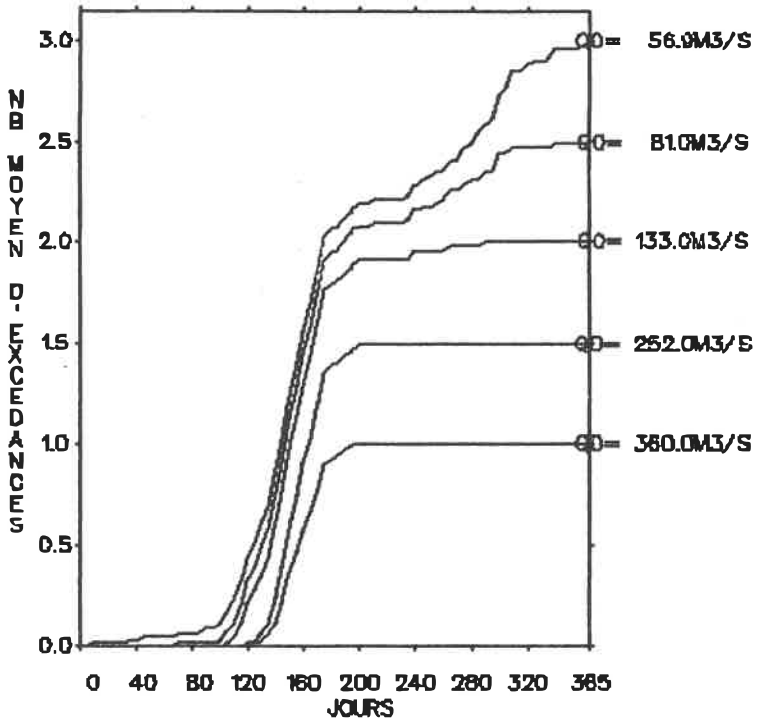

F28.d - Graphe du débit de pointe ($m^3/s$) en fonction du nombre d'années de récurrence

——— découpage en périodes homogènes

—·—· analyse annuelle

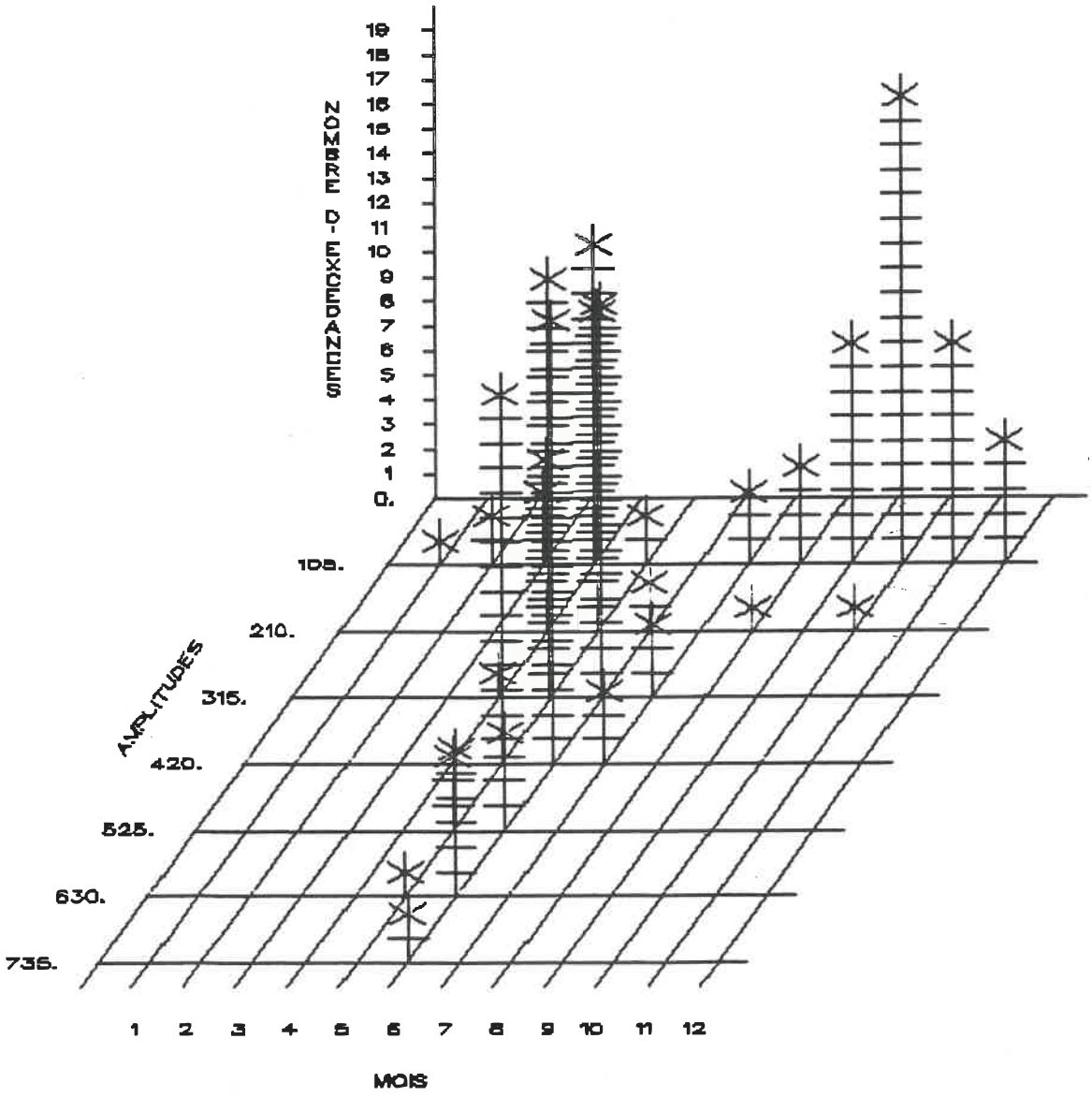



F29.a - Graphe du débit de pointe ($m^3/s$) en fonction de la précipitation cumulée (mm)

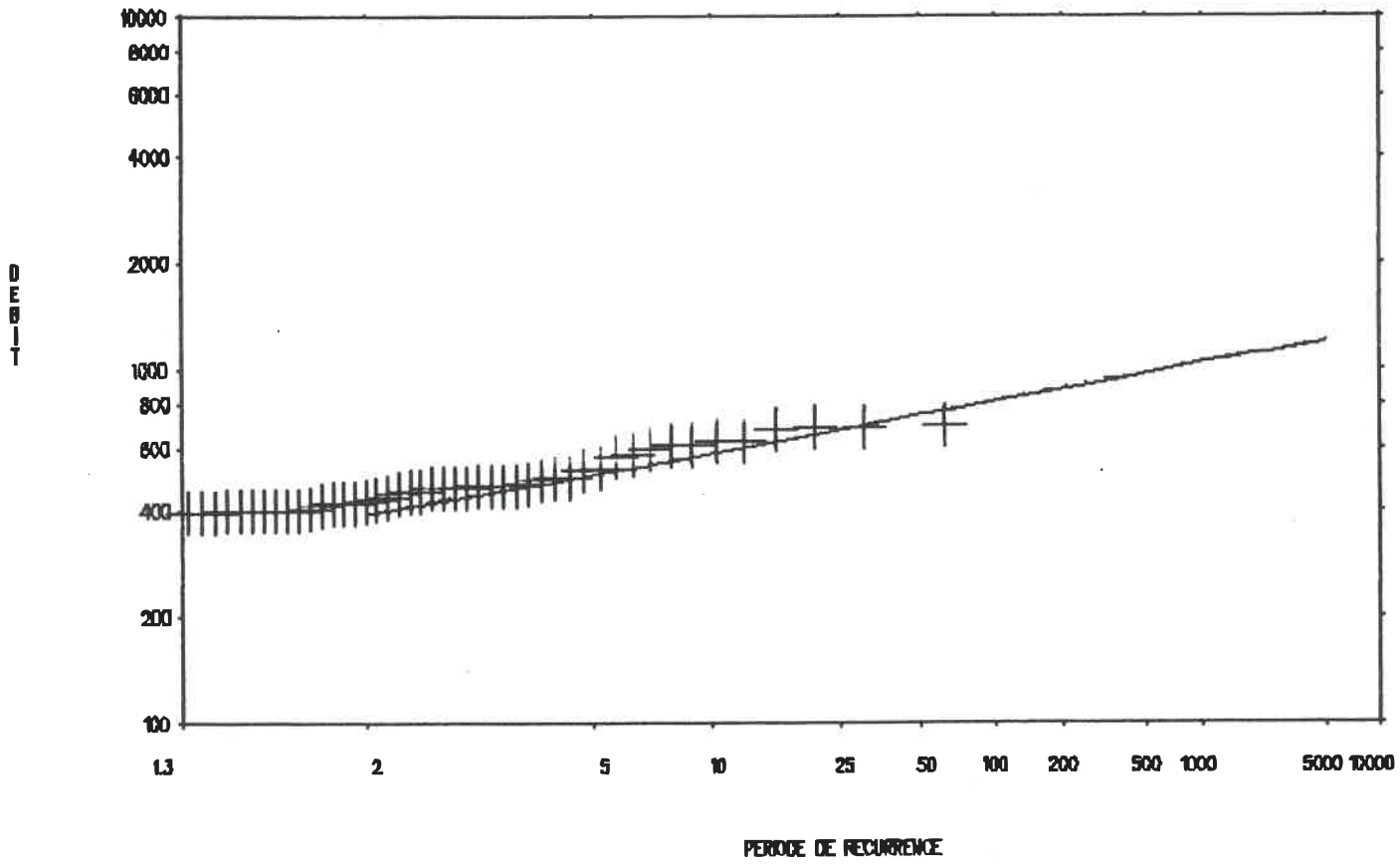



F29.b - Graphe du nombre moyen d'excédances en fonction du temps pour différents débits de base

Figure F29 - Station 08NJ013



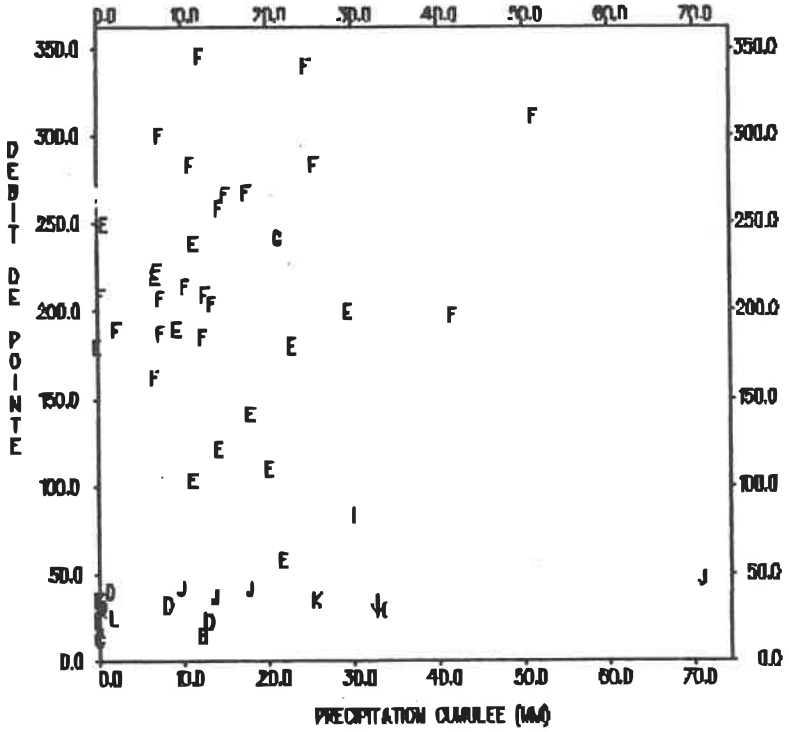

F29.c - Histogramme du nombre d'excédances en fonction de l'amplitude ($m^3/s$) et du mois



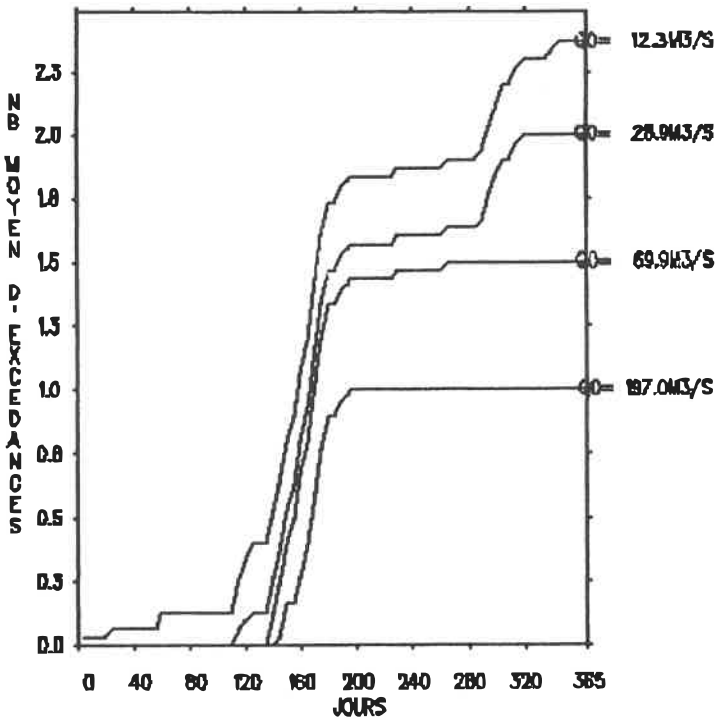

F29.d - Graphe du débit de pointe ($m^3/s$) en fonction du nombre d'années de récurrence

—— découpage en périodes homogènes

—·—· analyse annuelle

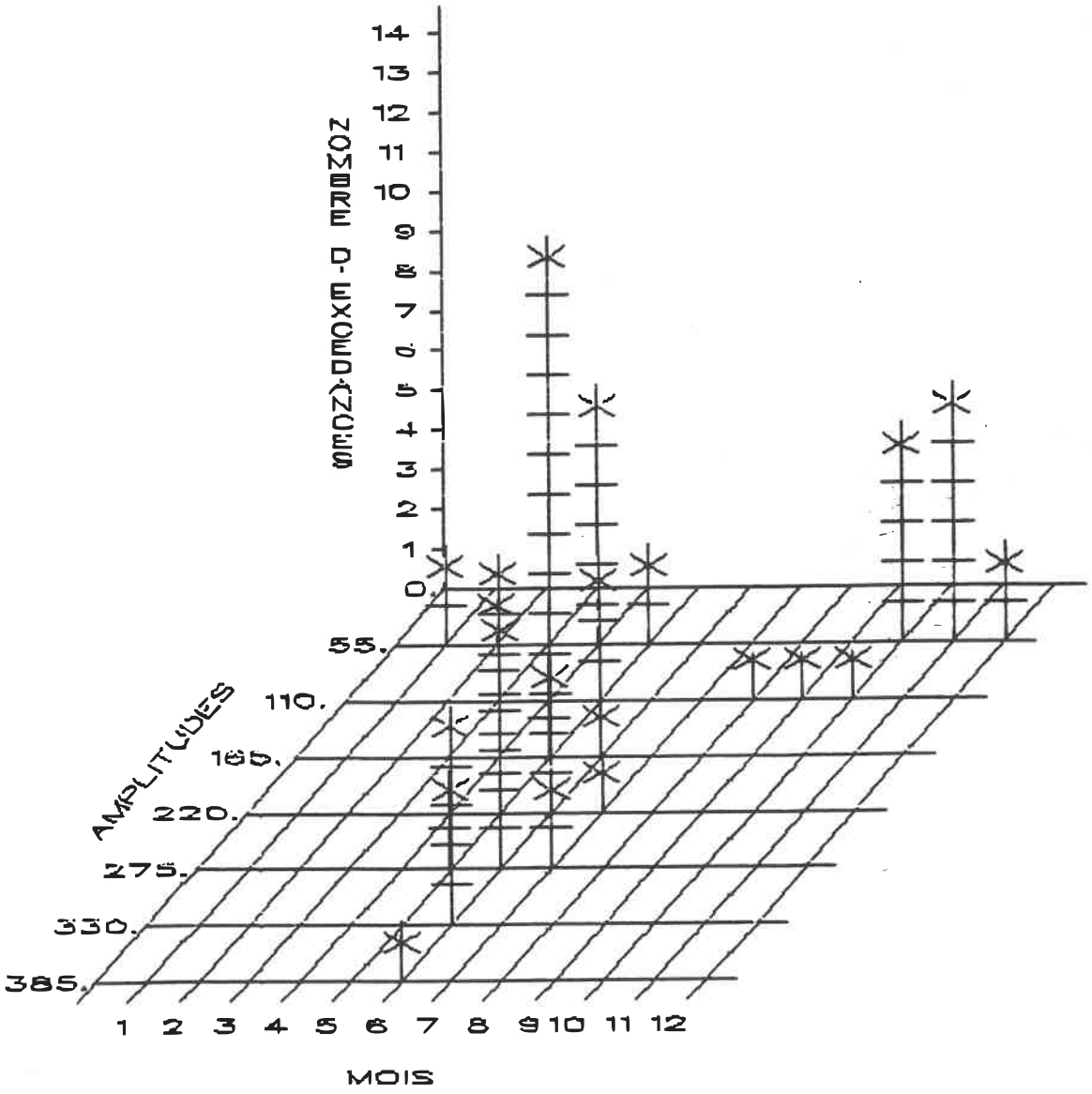



F30.a - Graphe du débit de pointe ($m^3/s$) en fonction de la précipitation cumulée (mm)

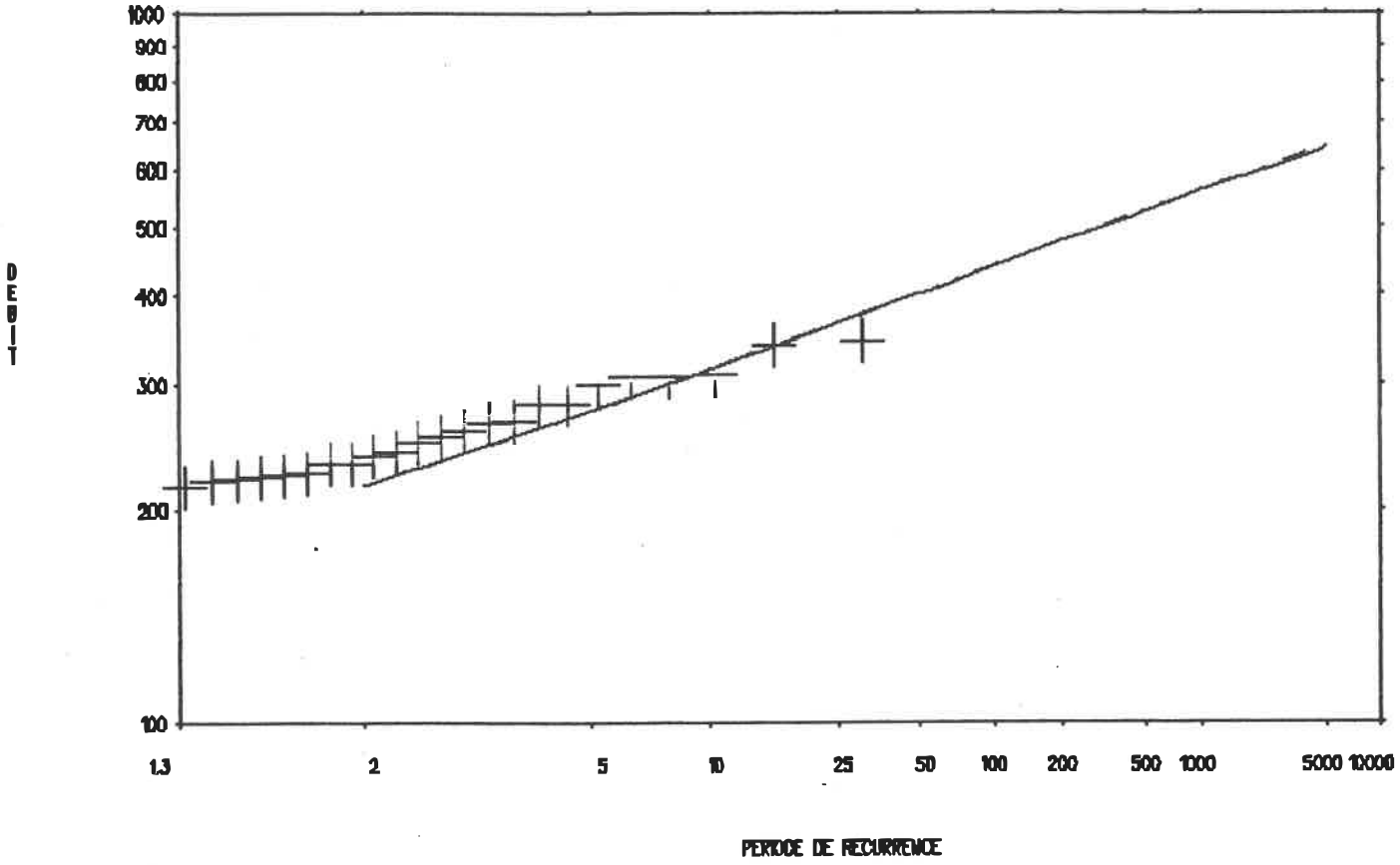



F30.b - Graphe du nombre moyen d'excédances en fonction du temps pour différents débits de base

Figure F30 - Station 08NJ014



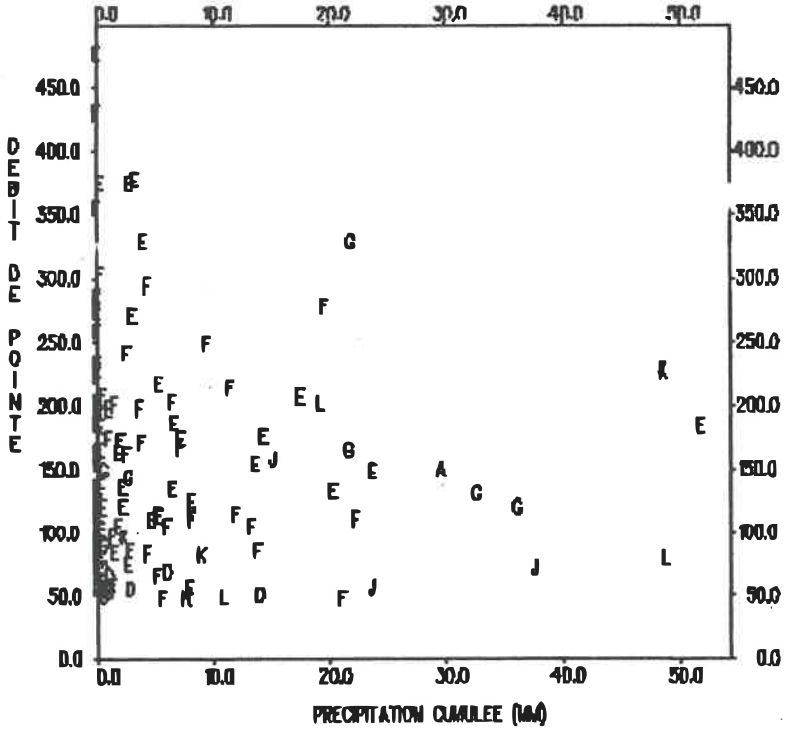

F30.c - Histogramme du nombre d'excédances en fonction de l'amplitude ($m^3/s$) et du mois



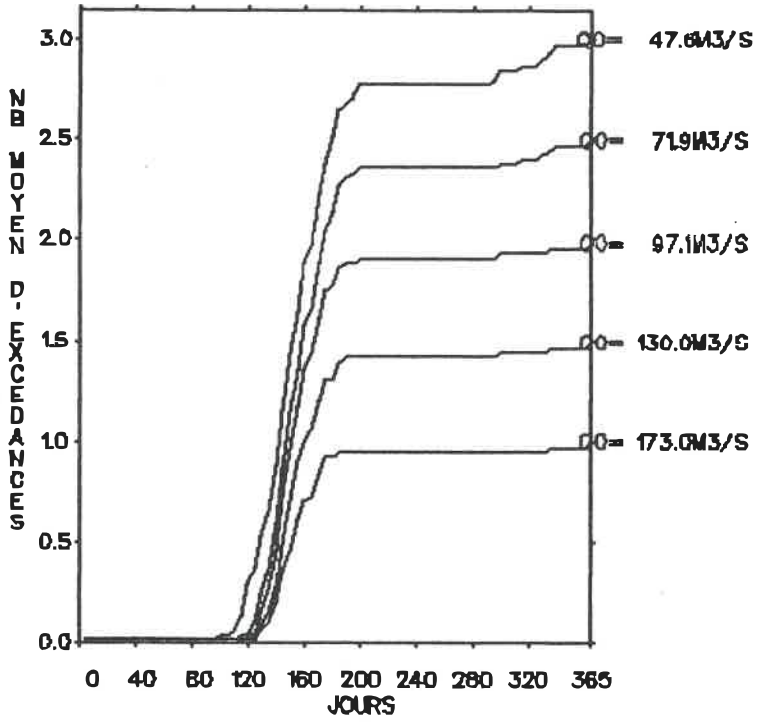

F30.d - Graphe du débit de pointe ($m^3/s$) en fonction du nombre d'années de récurrence

——— découpage en périodes homogènes

—·—· analyse annuelle

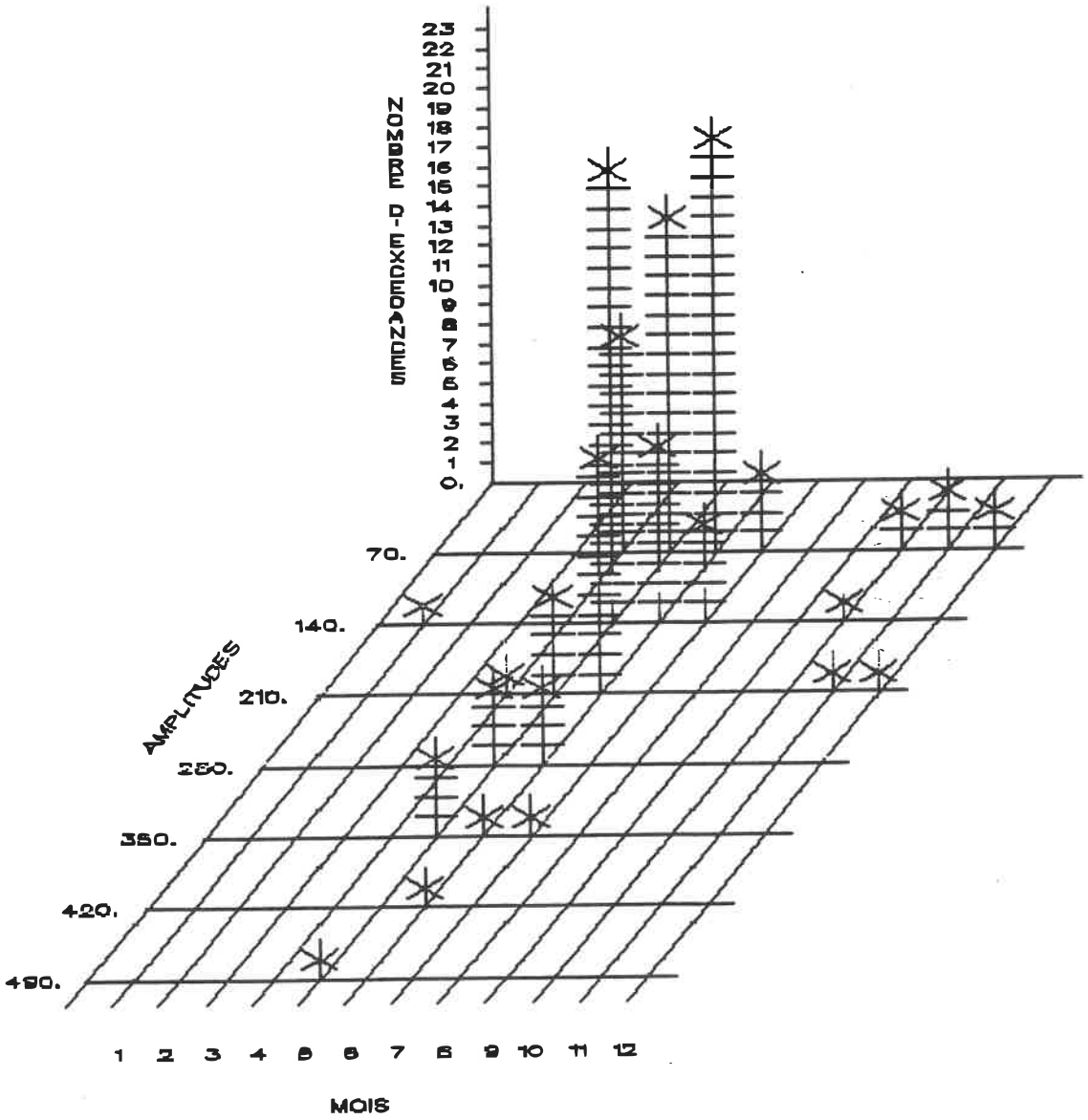



F31.a - Graphe du débit de pointe ($m^3/s$) en fonction de la précipitation cumulée (mm)

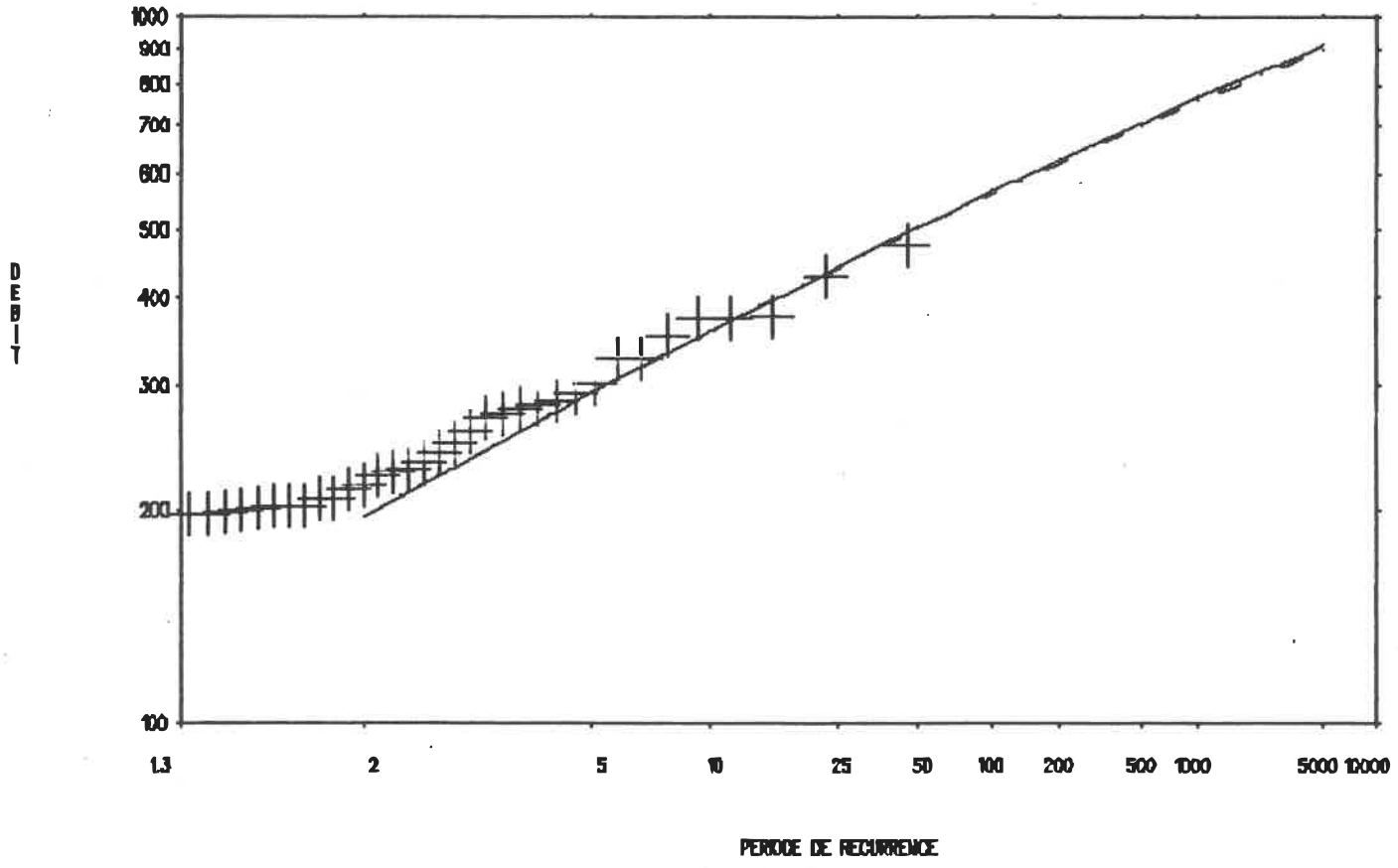



F31.b - Graphe du nombre moyen d'excédances en fonction du temps pour différents débits de base

Figure F31 - Station 08NL007



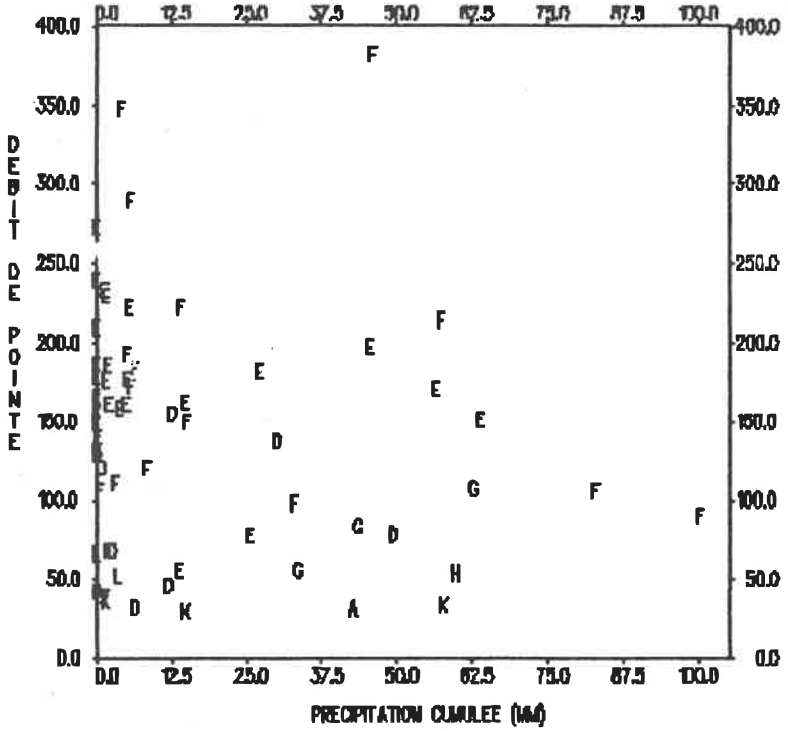

F31.c - Histogramme du nombre d'excédances en fonction de l'amplitude ($m^3/s$) et du mois



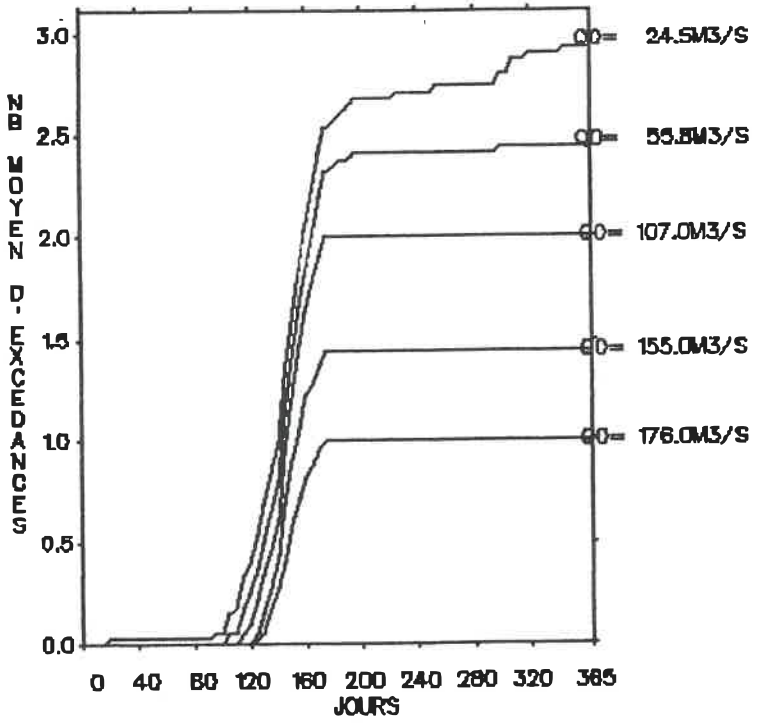

F31.d - Graphe du débit de pointe ($m^3/s$) en fonction du nombre d'années de récurrence

—— découpage en périodes homogènes

—·—· analyse annuelle

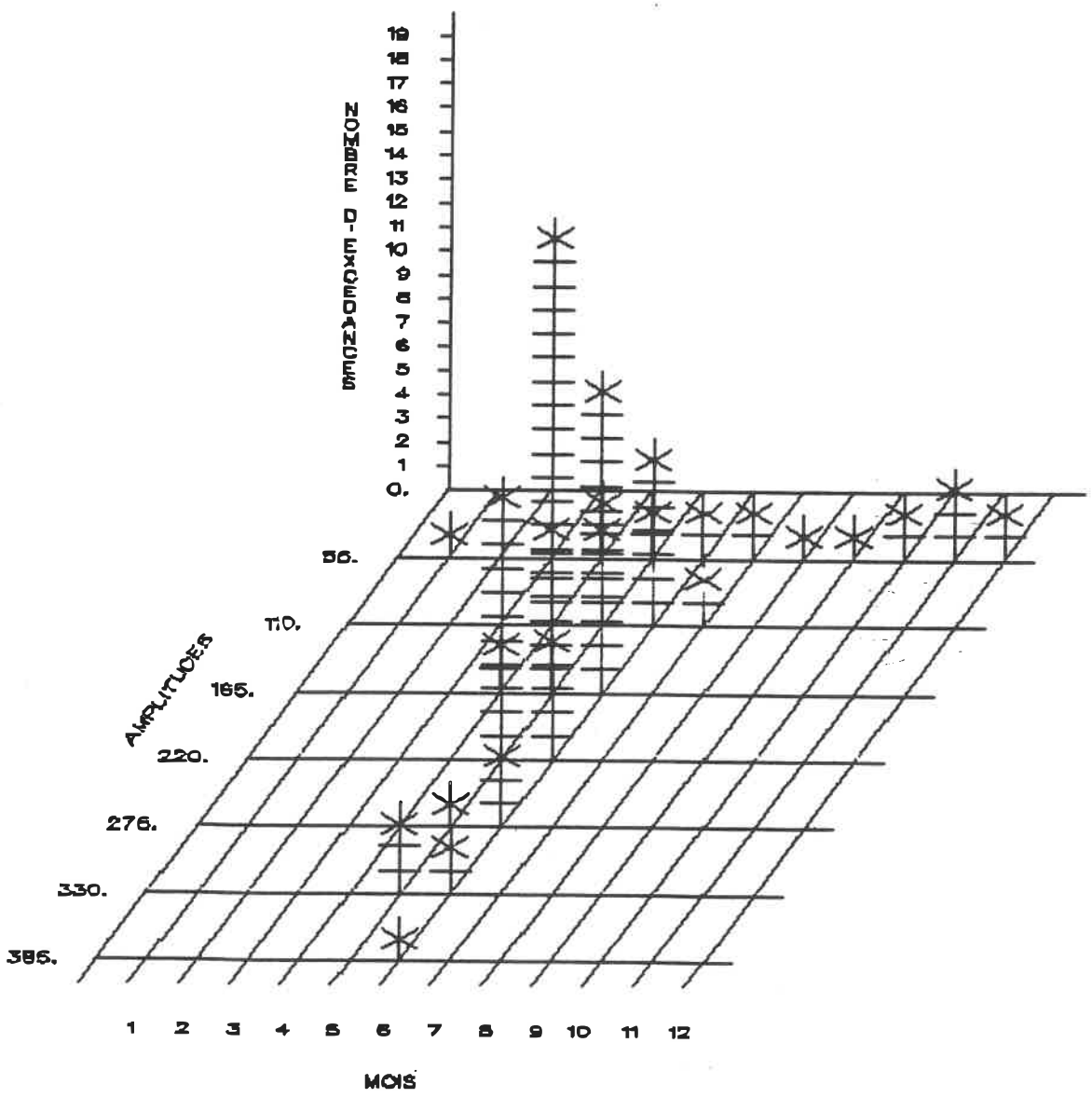



F32.a - Graphe du débit de pointe ($m^3/s$) en fonction de la précipitation cumulée (mm)

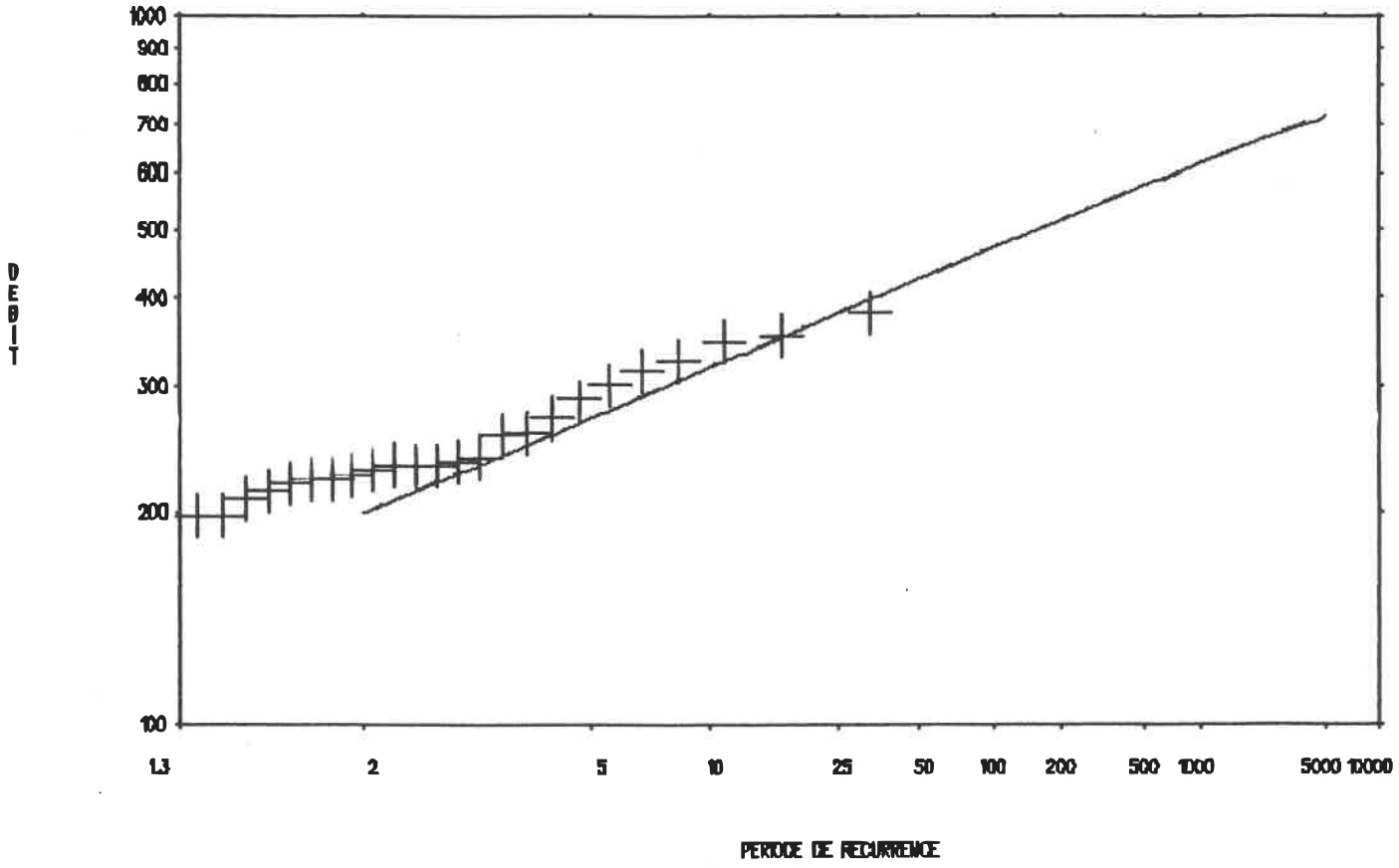



F32.b - Graphe du nombre moyen d'excédances en fonction du temps pour différents débits de base

Figure F32 - Station 08NP001



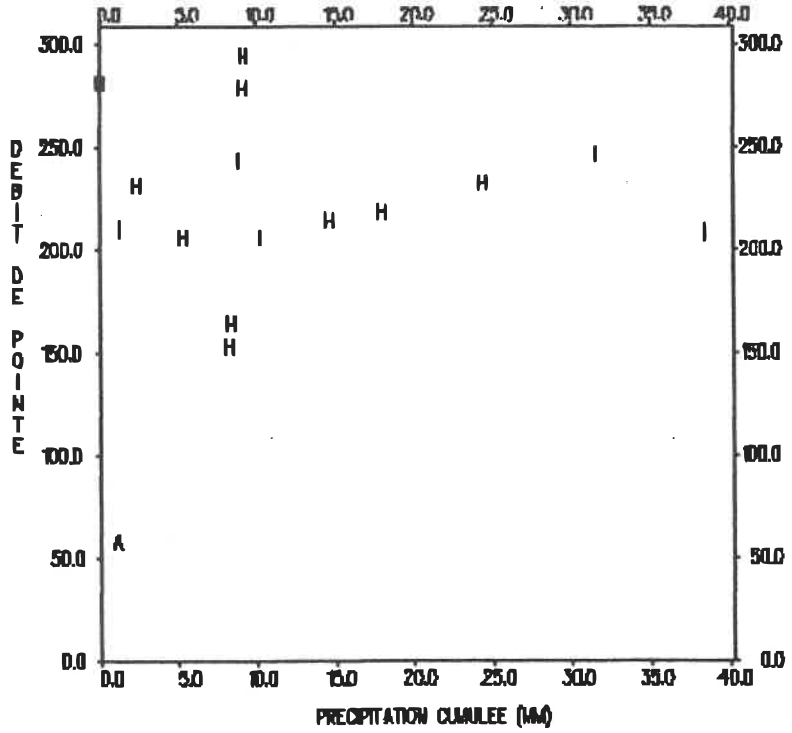

F32.c - Histogramme du nombre d'excédances en fonction de l'amplitude ($m^3/s$) et du mois



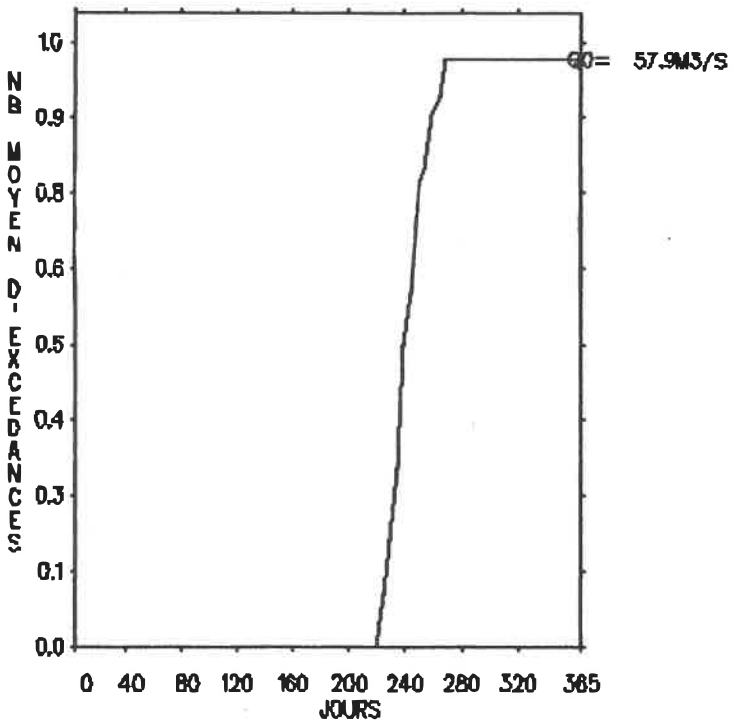

F32.d - Graphe du débit de pointe ($m^3/s$) en fonction du nombre d'années de récurrence

—— découpage en périodes homogènes

—·— analyse annuelle

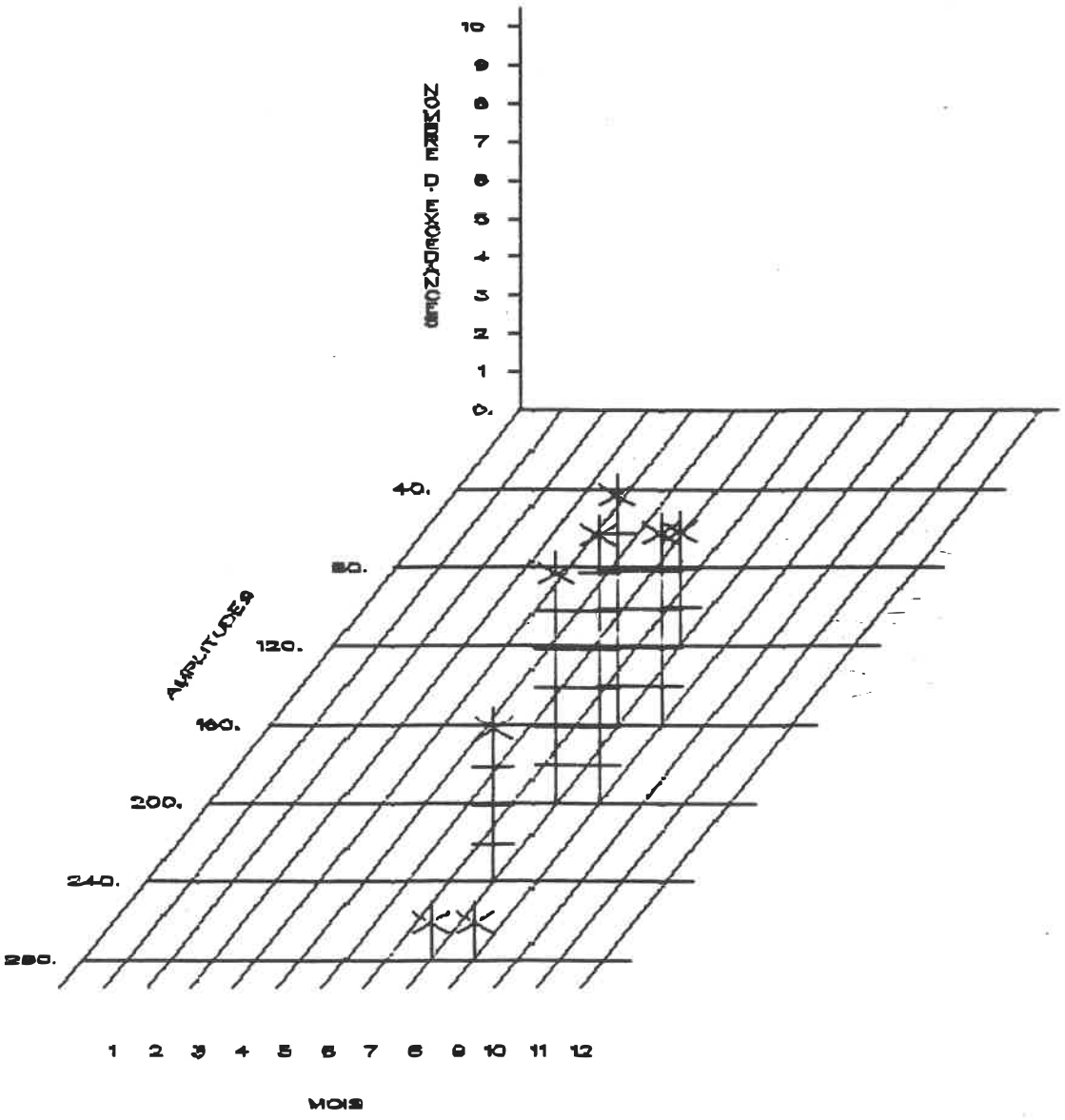



F33.a - Graphe du débit de pointe ($m^3/s$) en fonction de la précipitation cumulée (mm)

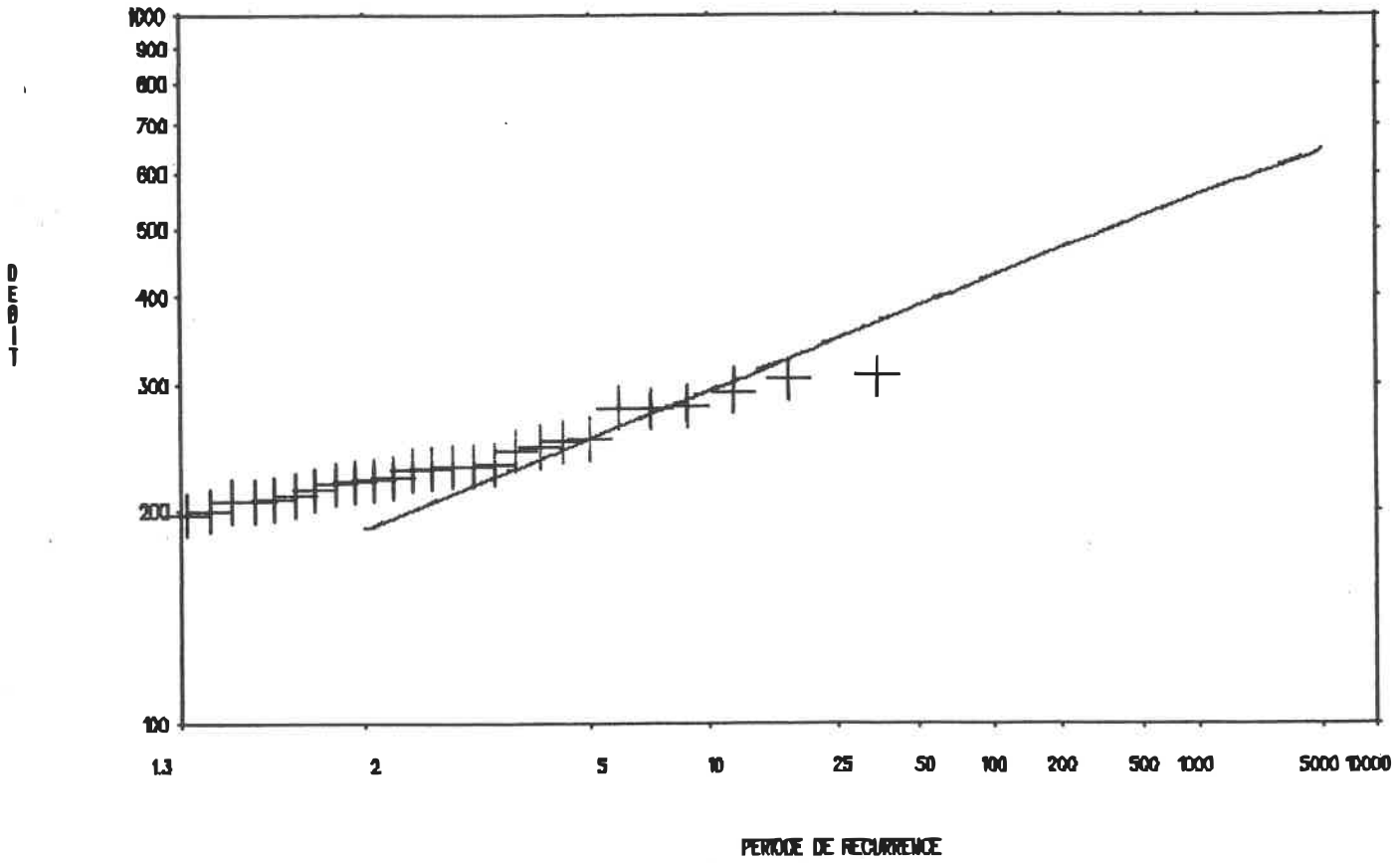



F33.b - Graphe du nombre moyen d'excédances en fonction du temps pour différents débits de base

Figure F33 - Station 09AA006



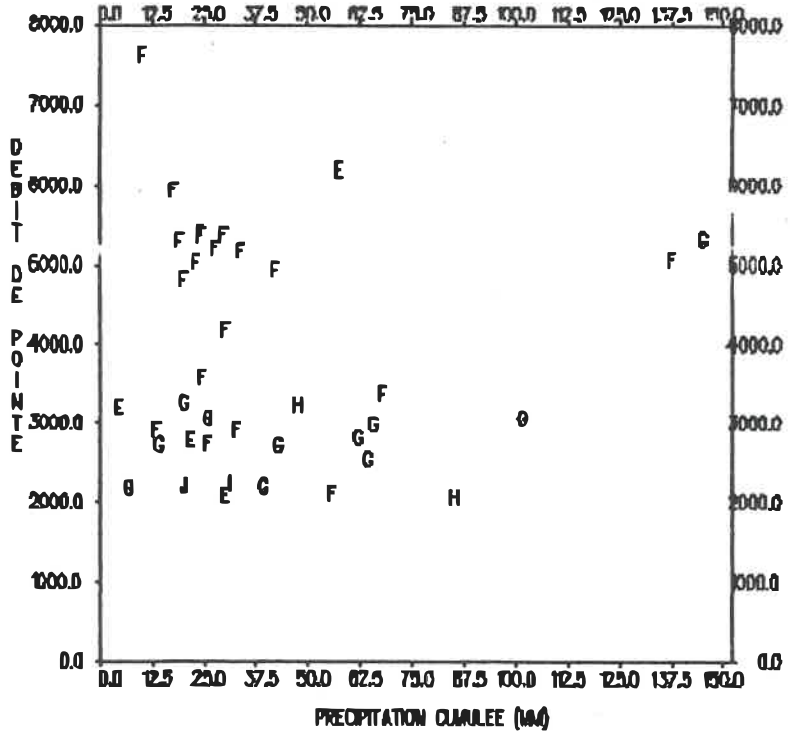

F33.c - Histogramme du nombre d'excédances en fonction de l'amplitude ($m^3/s$) et du mois



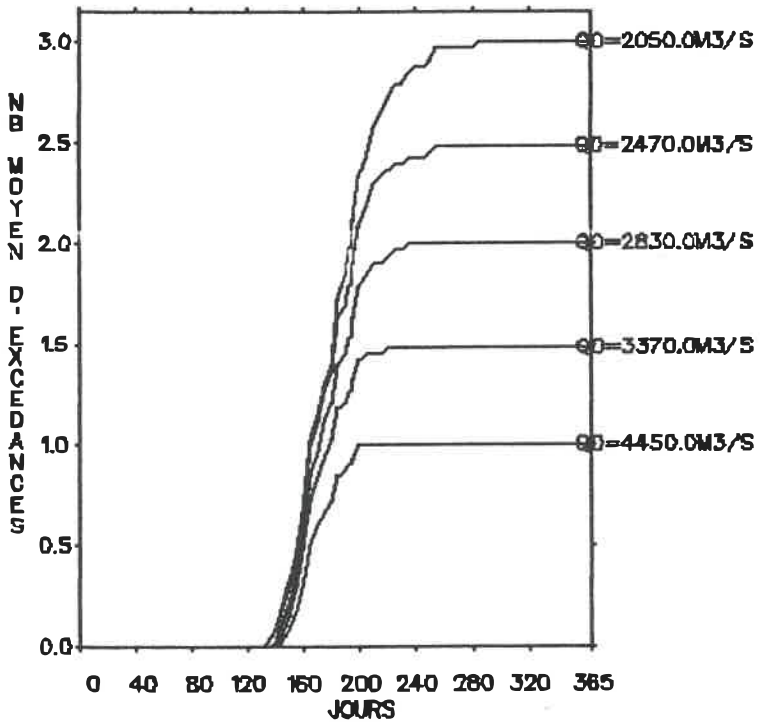

F33.d - Graphe du débit de pointe ($m^3/s$) en fonction du nombre d'années de récurrence

—— découpage en périodes homogènes

—·—· analyse annuelle

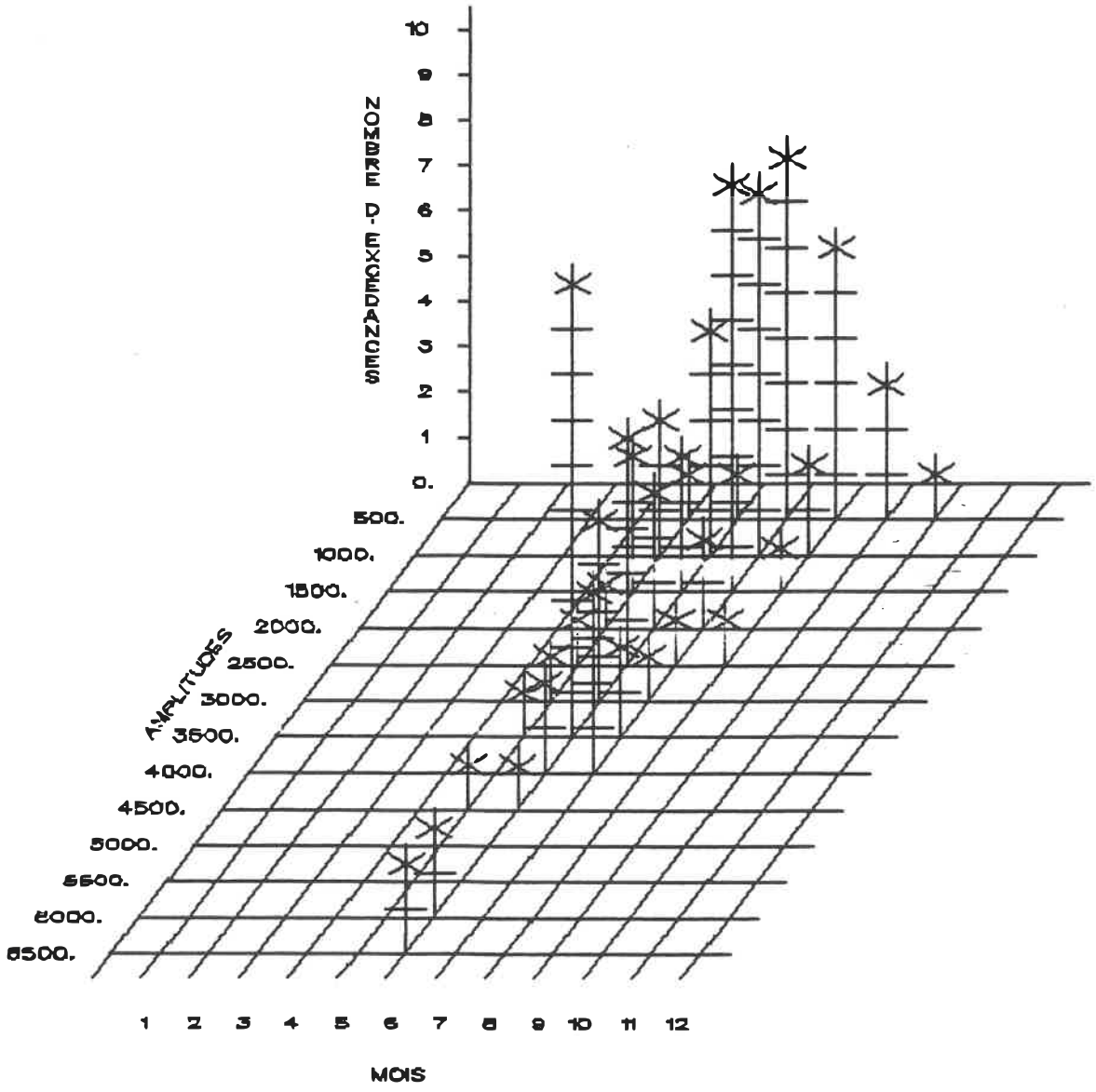



F34.a - Graphe du débit de pointe ($m^3/s$) en fonction de la précipitation cumulée (mm)

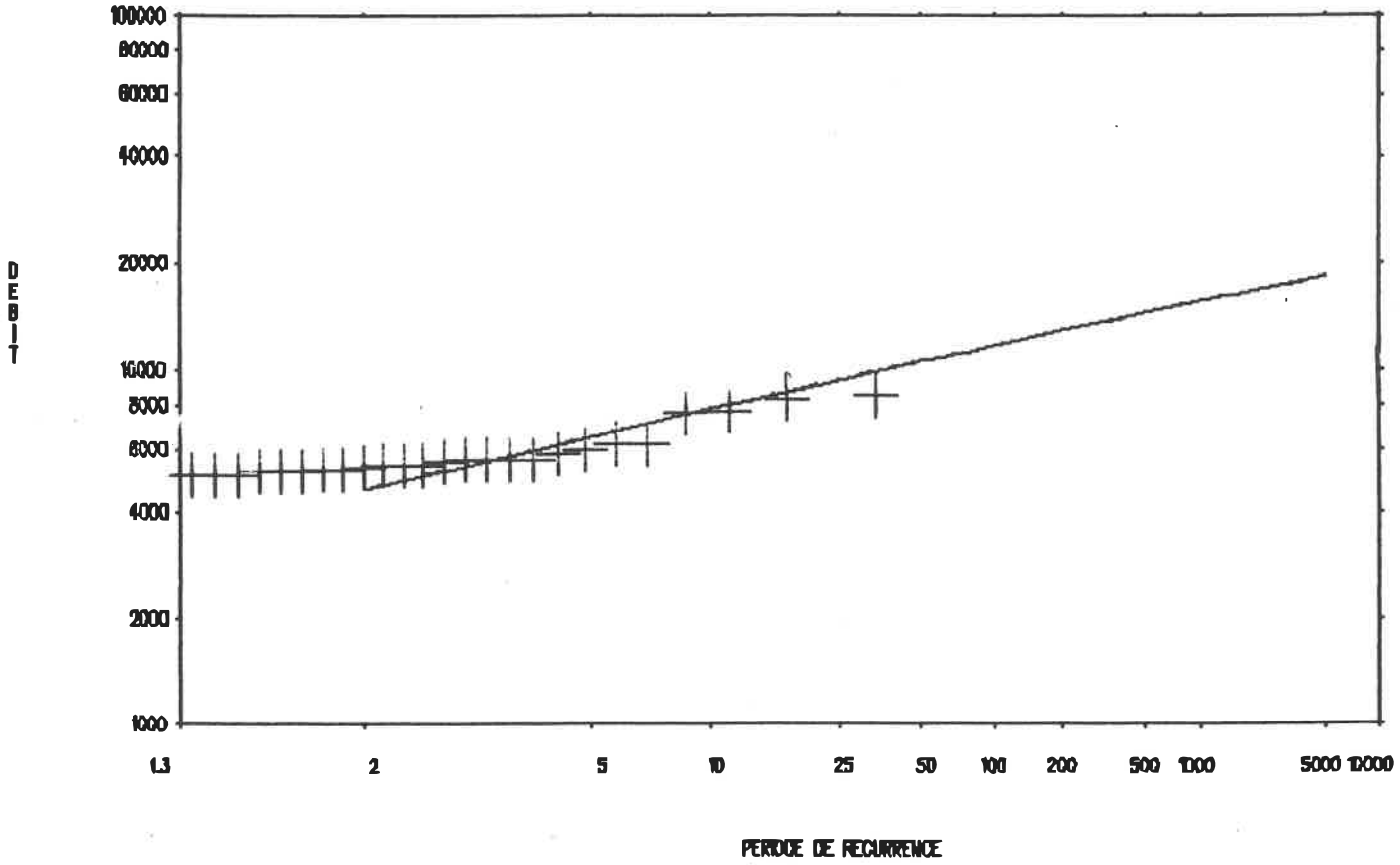



F34.b - Graphe du nombre moyen d'excédances en fonction du temps pour différents débits de base

Figure F34 - Station 10BE001



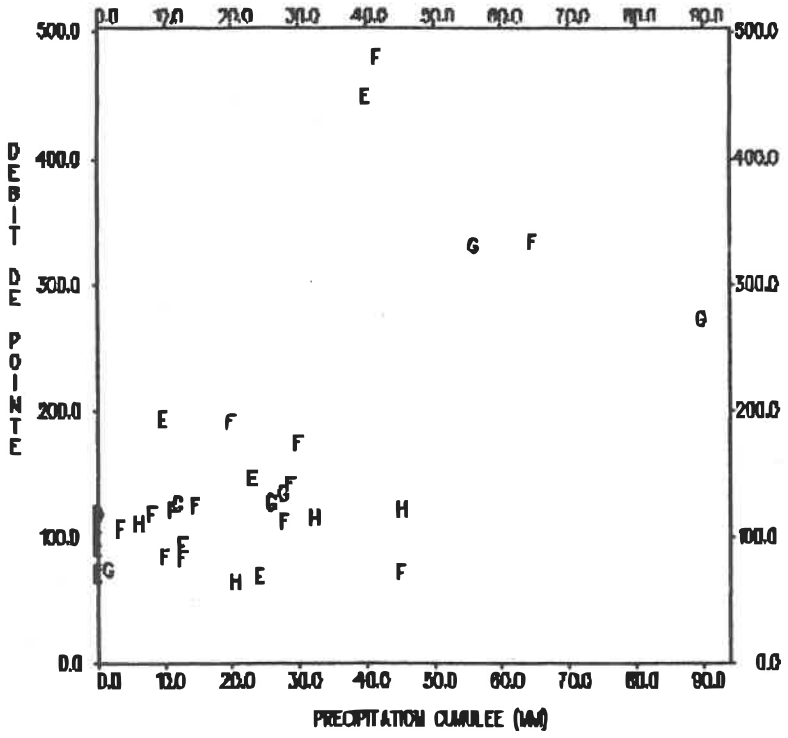

F34.c - Histogramme du nombre d'excédances en fonction de l'amplitude ($m^3/s$) et du mois



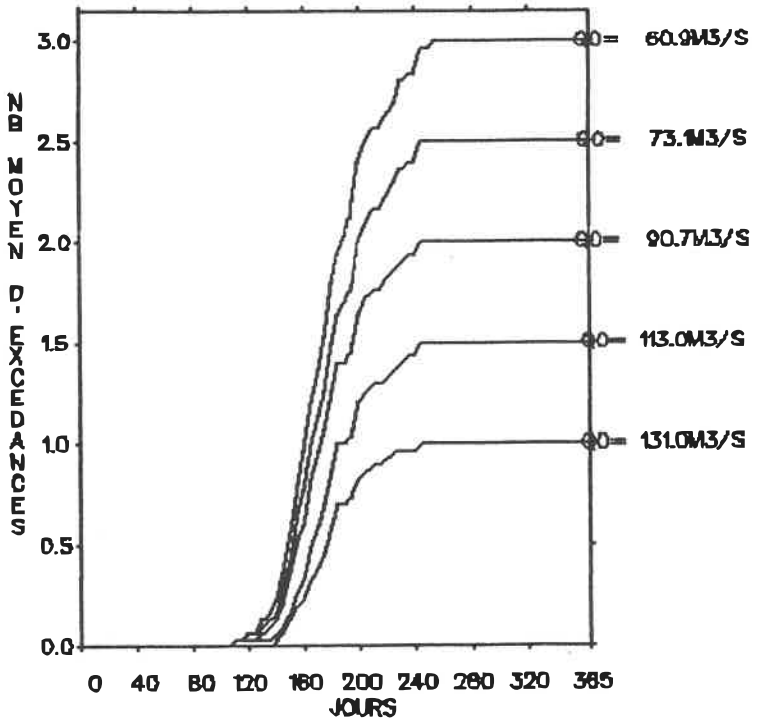

F34.d - Graphe du débit de pointe ($m^3/s$) en fonction du nombre d'années de récurrence

——— découpage en périodes homogènes

—·—· analyse annuelle

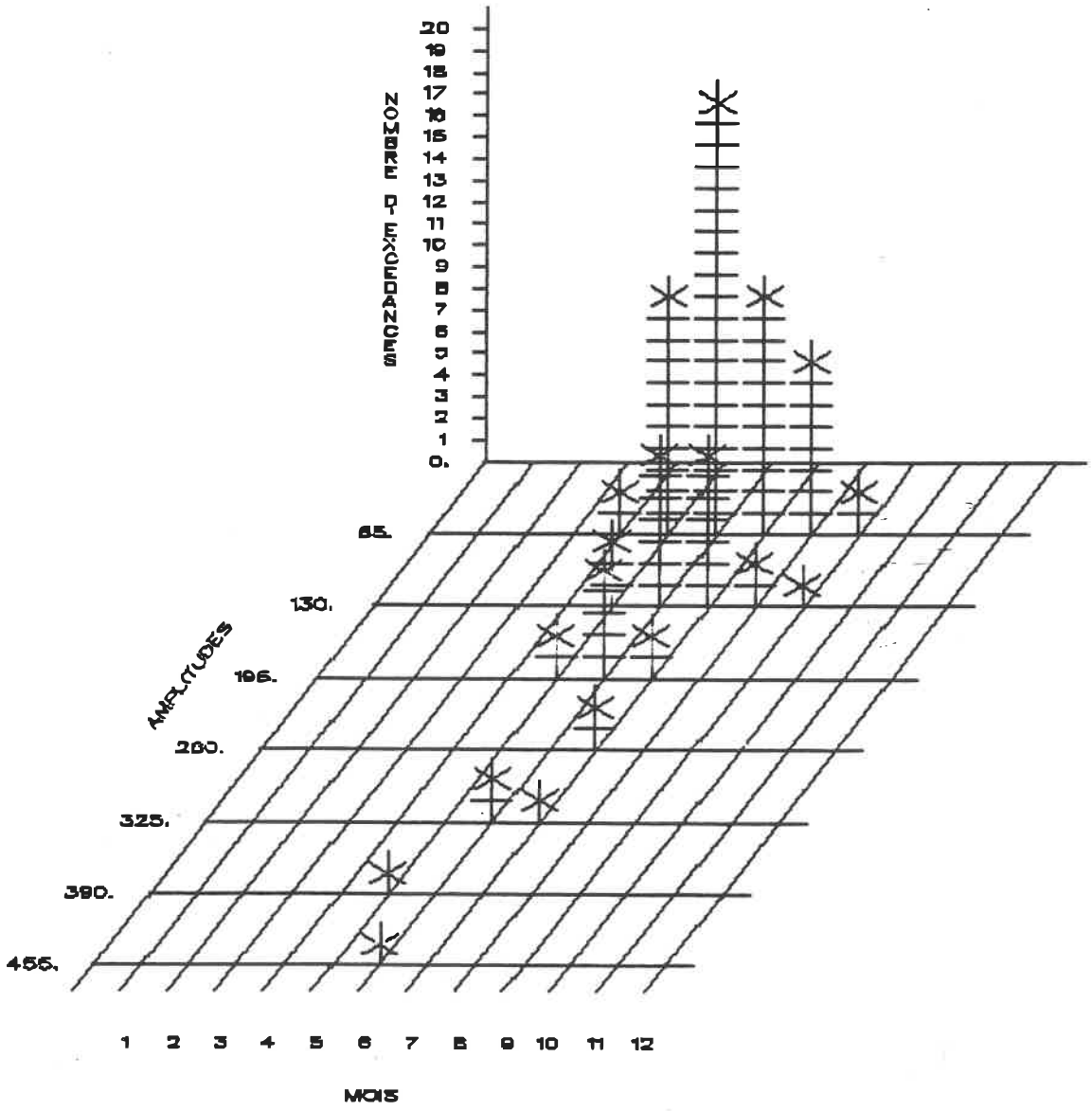



F35.a - Graphe du débit de pointe ($m^3/s$) en fonction de la précipitation cumulée (mm)

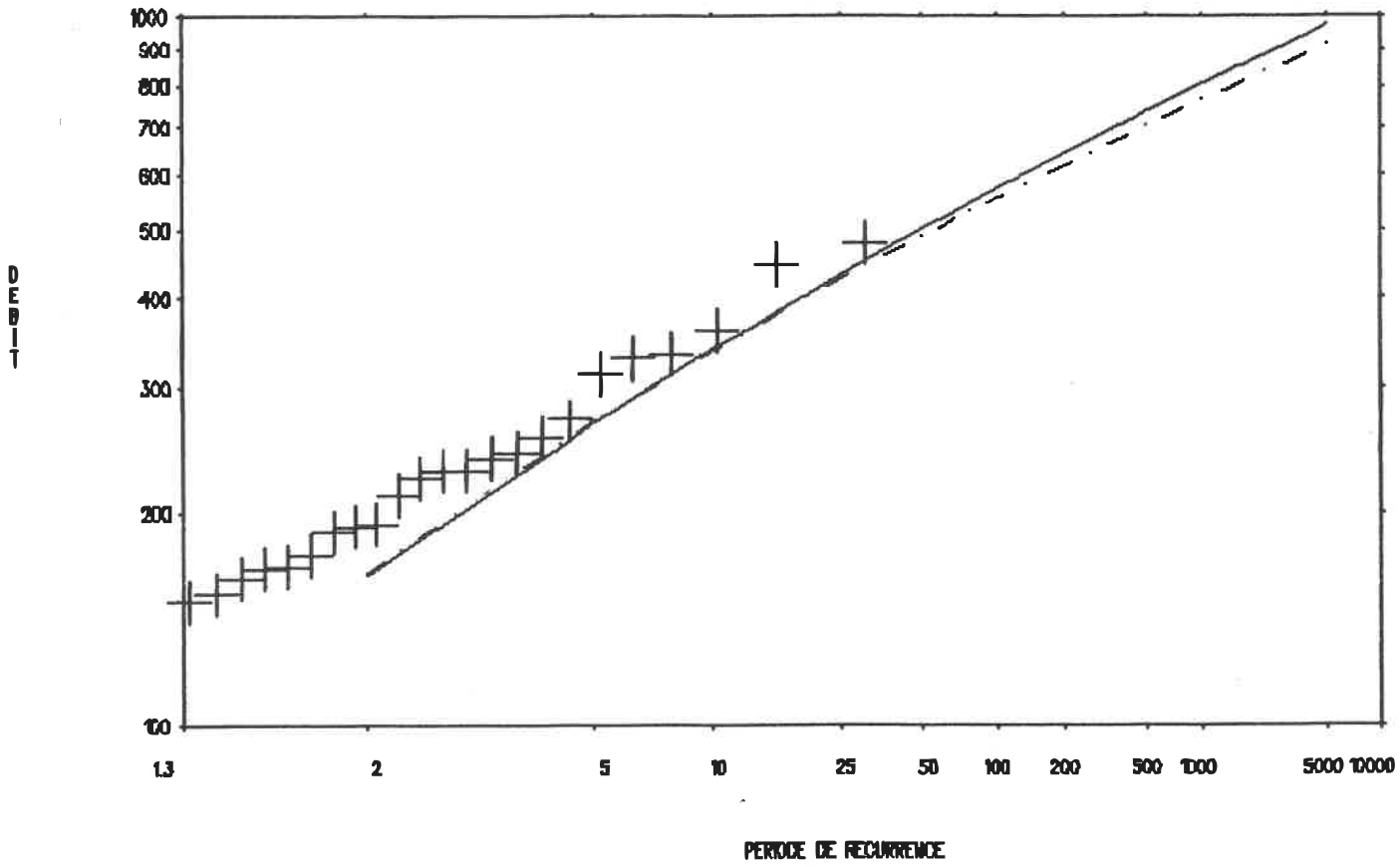



F35.b - Graphe du nombre moyen d'excédances en fonction du temps pour différents débits de base

Figure F35 - Station 10CB001




F35.c - Histogramme du nombre d'excédances en fonction de l'amplitude ($m^3/s$) et du mois




F35.d - Graphe du débit de pointe ($m^3/s$) en fonction du nombre d'années de récurrence

—— découpage en périodes homogènes

– – analyse annuelle

# A N N E X E  G

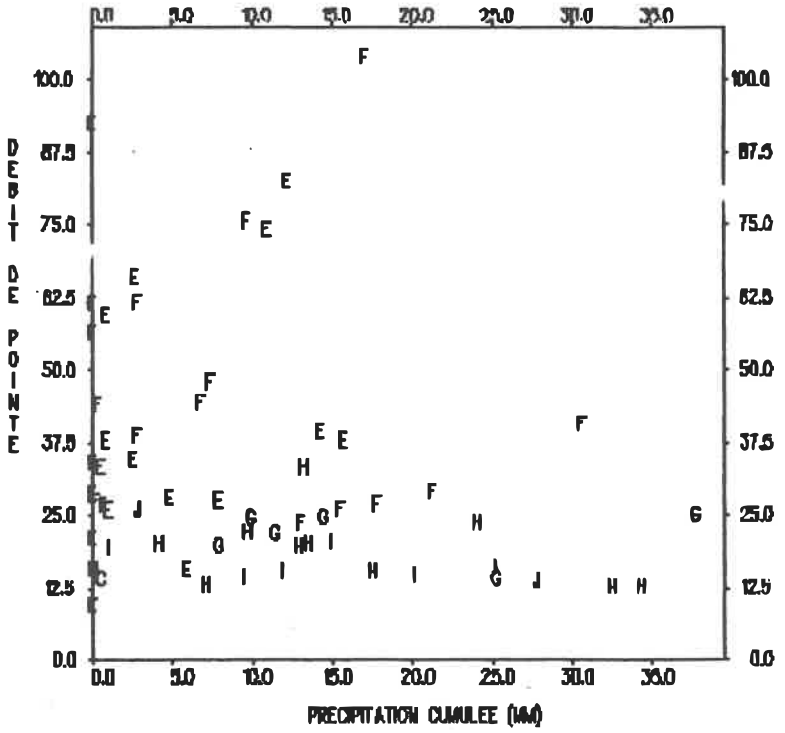
Résultats de l'analyse saisonnière et de l'analyse de fréquence

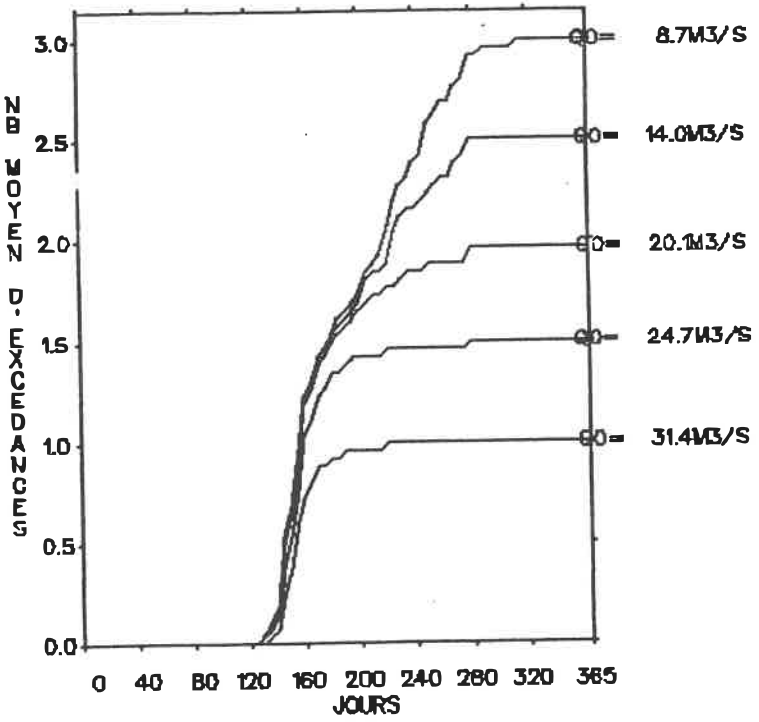
des stations hydrométriques considérées

dans les territoires du Yukon et du Nord-Ouest

Tableau G.1 - Résultats de l'analyse de fréquence des stations hydrométriques considérées dans les territoires du Yukon et du Nord-Ouest

| No. Station | $Q_{base}$ | Nbr. moy. exc. | Découpage | | | Tests d'ajustement | | | $\lambda_k$ | $\beta_k$ | $C_v$ |
|---|---|---|---|---|---|---|---|---|---|---|---|
| | | | Type | Critères | Nbr. exc. | Exponentielle Kolmo. Smir. | Exponentielle $\chi^2$ | Poisson $\chi^2$ | | | |
| 1. 09AB008 | 24.7 | 1.5 | 1 | 01 mai -30 juin | 35 | A | A | R | 1.35 | 0.0470 | 1.003 |
| (157) | | | | 01 juil-31 oct | 4 | * | * | * | 0.15 | 0.1338 | |
| | | | | 01 nov -30 avr | 0 | * | * | * | 0.00 | 0.0000 | |
| 2. 09AE001 | 700.0 | 0.95 | 1 | 01 juin-31 juil | 34 | A | A | R | 0.92 | 0.0024 | 0.695 |
| (158) | | | | 01 août-30 nov | 1 | * | * | * | 0.03 | 0.0278 | |
| | | | | 01 déc -31 mai | 0 | * | * | * | 0.00 | 0.0000 | |
| 3. 09BC001 | 1570.0 | 0.97 | 1 | 01 mai -30 juin | 29 | A | A | A | 0.91 | 0.0014 | 1.059 |
| (159) | | | | 01 juil-31 oct | 2 | * | * | * | 0.06 | 0.0029 | |
| | | | | 01 nov -30 avr | 0 | * | * | * | 0.00 | 0.0000 | |
| 4. 09DC002 | 1590.0 | 1.5 | 1 | 01 mai -30 juin | 38 | A | A | R | 1.27 | 0.0014 | 0.886 |
| (160) | | | | 01 juil-31 août | 7 | A | * | * | 0.23 | 0.0018 | |
| | | | | 01 sept-30 avr | 0 | * | * | * | 0.00 | 0.0000 | |
| 5. 07OB001 | 548.0 | 1.0 | 1 | 01 avr -30 juin | 18 | A | A | R | 0.86 | 0.0041 | 0.859 |
| (161) | | | | 01 juil-30 sept | 3 | * | * | * | 0.14 | 0.0093 | |
| | | | | 01 oct -31 mars | 0 | * | * | * | 0.00 | 0.0000 | |
| 6. 07RD001 | 120.0 | 0.83 | 1 | 01 août-30 sept | 14 | A | * | * | 0.58 | 0.0283 | 0.673 |
| (162) | | | | 01 oct -31 juil | 6 | A | * | * | 0.25 | 0.0152 | |
| 7. 07UC001 | 71.9 | 1.0 | 1 | 10 mai -30 juin | 15 | A | A | R | 0.71 | 0.0144 | 0.779 |
| (163) | | | | 01 juil-30 nov | 6 | A | * | * | 0.29 | 0.0591 | |
| | | | | 01 déc -09 mai | 0 | * | * | * | 0.00 | 0.0000 | |
| 8. 10ED001 | 6920.0 | 1.0 | 1 | 01 mai -31 juil | 21 | A | A | A | 0.95 | 0.0003 | 0.646 |
| (164) | | | | 01 août-30 sept | 1 | * | * | * | 0.05 | 0.0005 | |
| | | | | 01 oct -30 avr | 0 | * | * | * | 0.00 | 0.0000 | |
| 9. 10JA002 | 60.0 | 0.90 | 1 | 20 juin-31 juil | 13 | A | * | * | 0.62 | 0.0169 | 0.469 |
| (165) | | | | 01 août-31 nov | 5 | A | * | * | 0.24 | 0.0148 | |
| | | | | 01 déc -19 juin | 1 | * | * | * | 0.05 | 0.0189 | |
| 10. 10RC001 | 1500.0 | 1.0 | 1 | 01 juin-31 juil | 19 | A | R | R | 0.95 | 0.0005 | 0.444 |
| (166) | | | | 01 août-31 oct | 1 | * | * | * | 0.05 | 0.0019 | |
| | | | | 01 nov -31 mai | 0 | * | * | * | 0.00 | 0.0000 | |

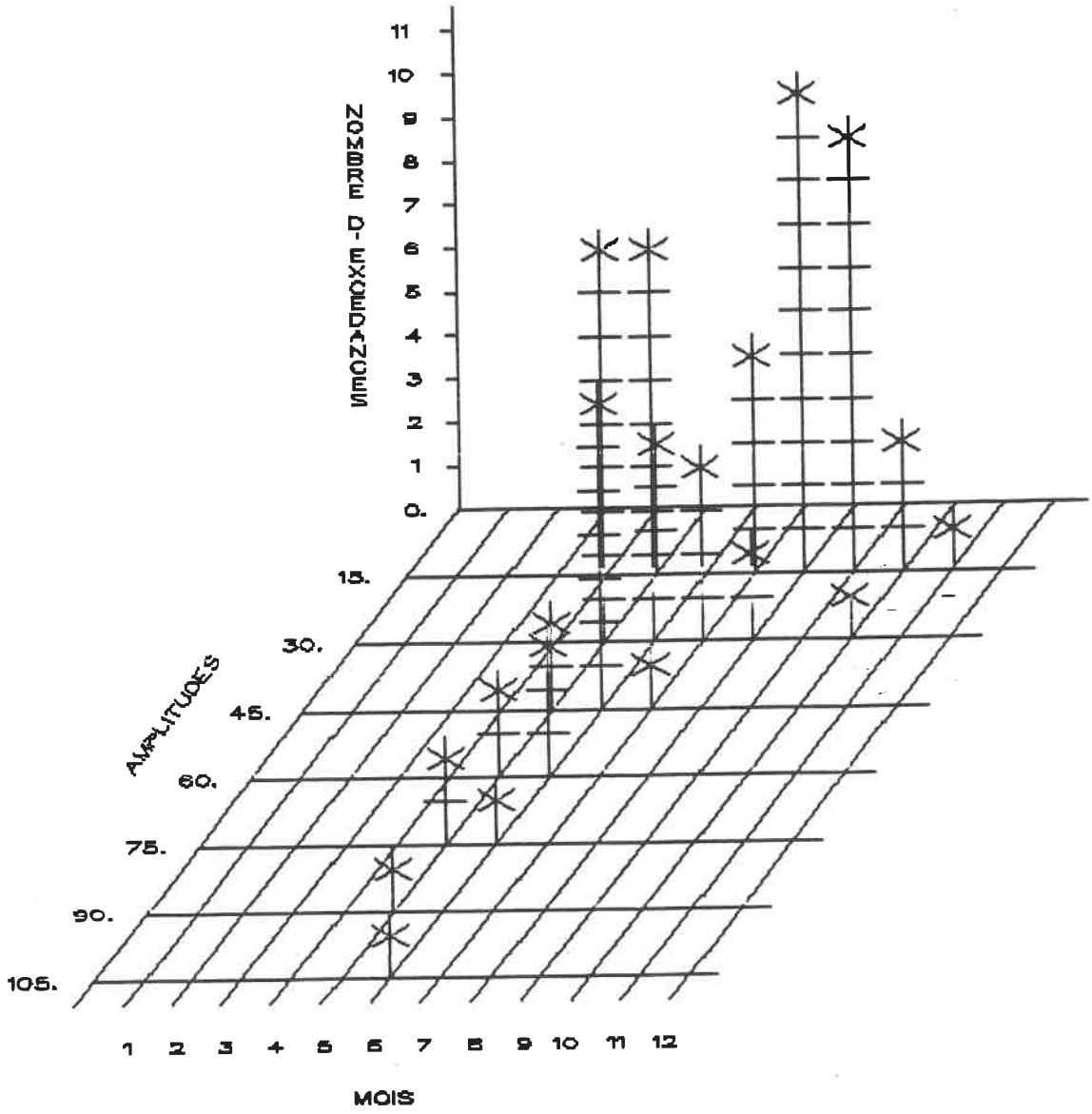


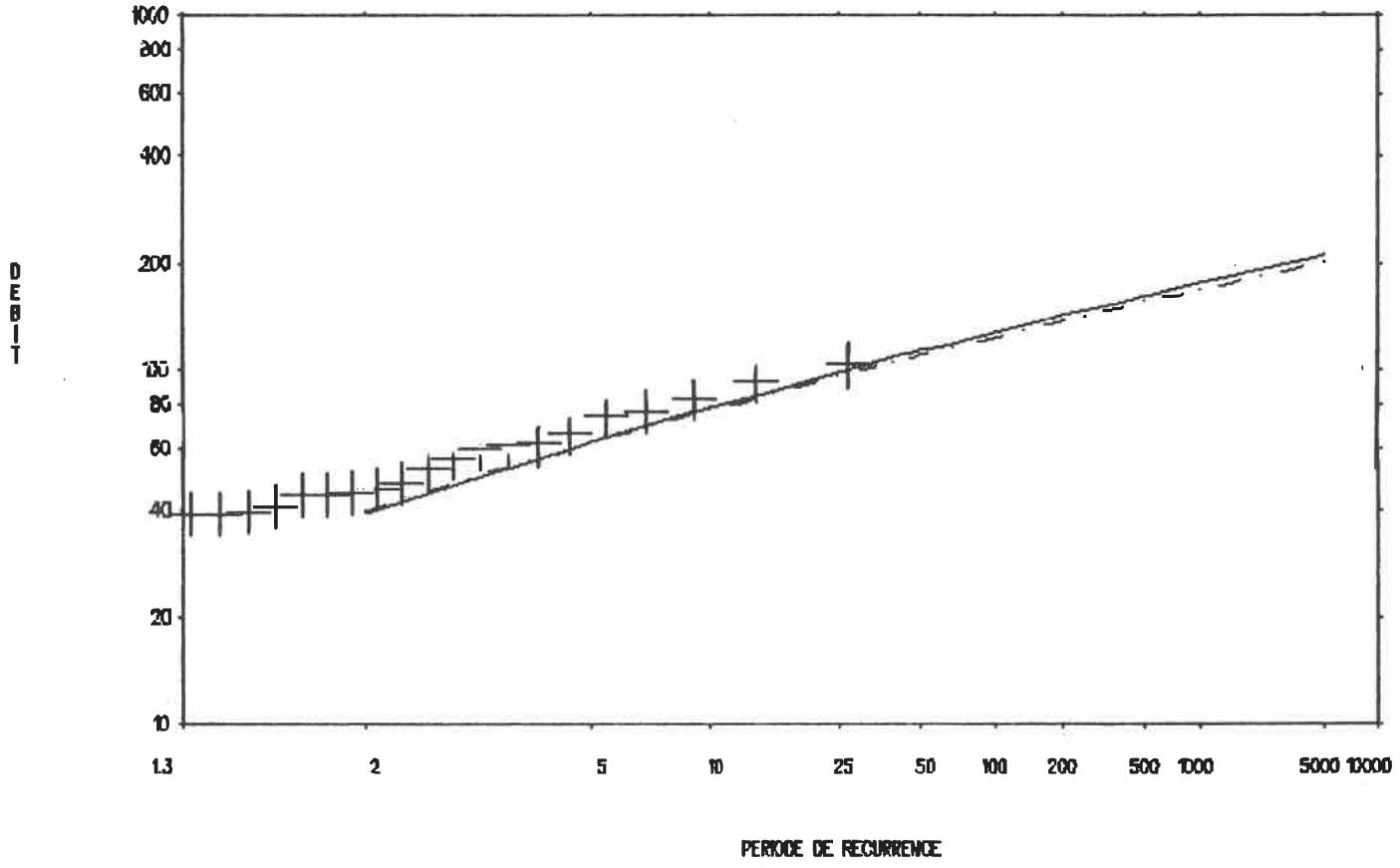

G1.a - Graphe du débit de pointe ($m^3/s$) en fonction de la précipitation cumulée (mm)

G1.b - Graphe du nombre moyen d'excédances en fonction du temps pour différents débits de base

Figure G1 - Station 09AB008



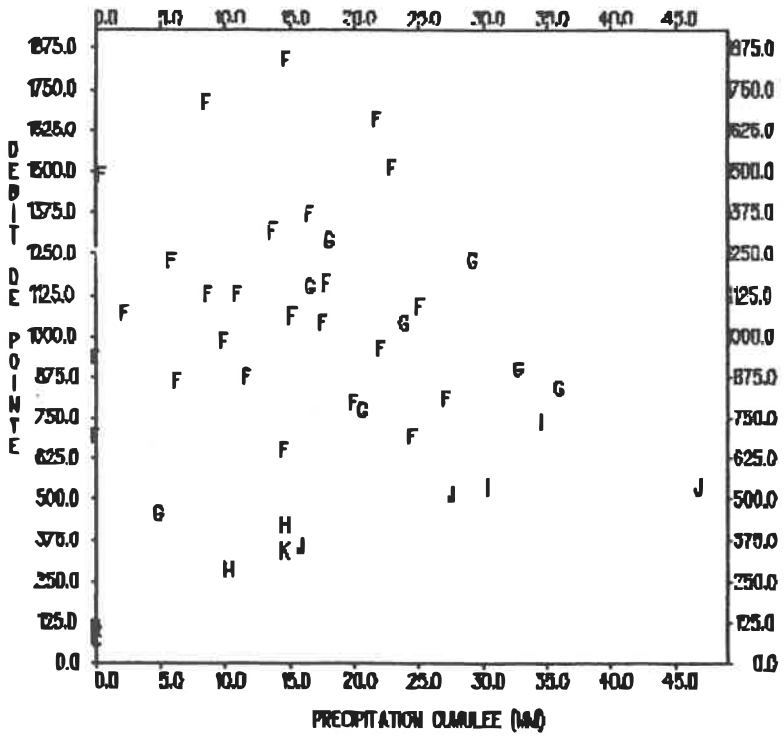

G1.c - Histogramme du nombre d'excédances en fonction de l'amplitude ($m^3/s$) et du mois

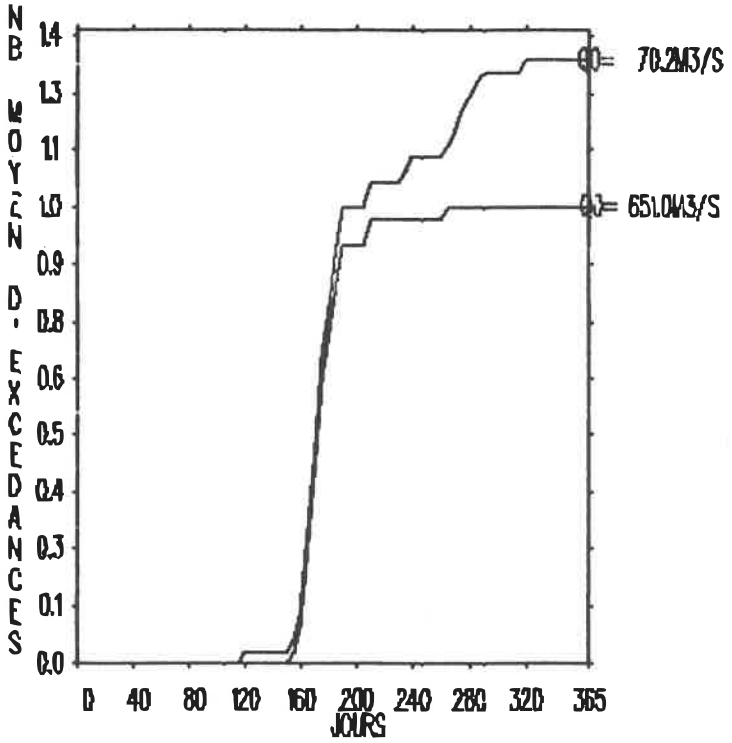



G1.d - Graphe du débit de pointe ($m^3/s$) en fonction du nombre d'années de récurrence

—— découpage en périodes homogènes

—·—· analyse annuelle

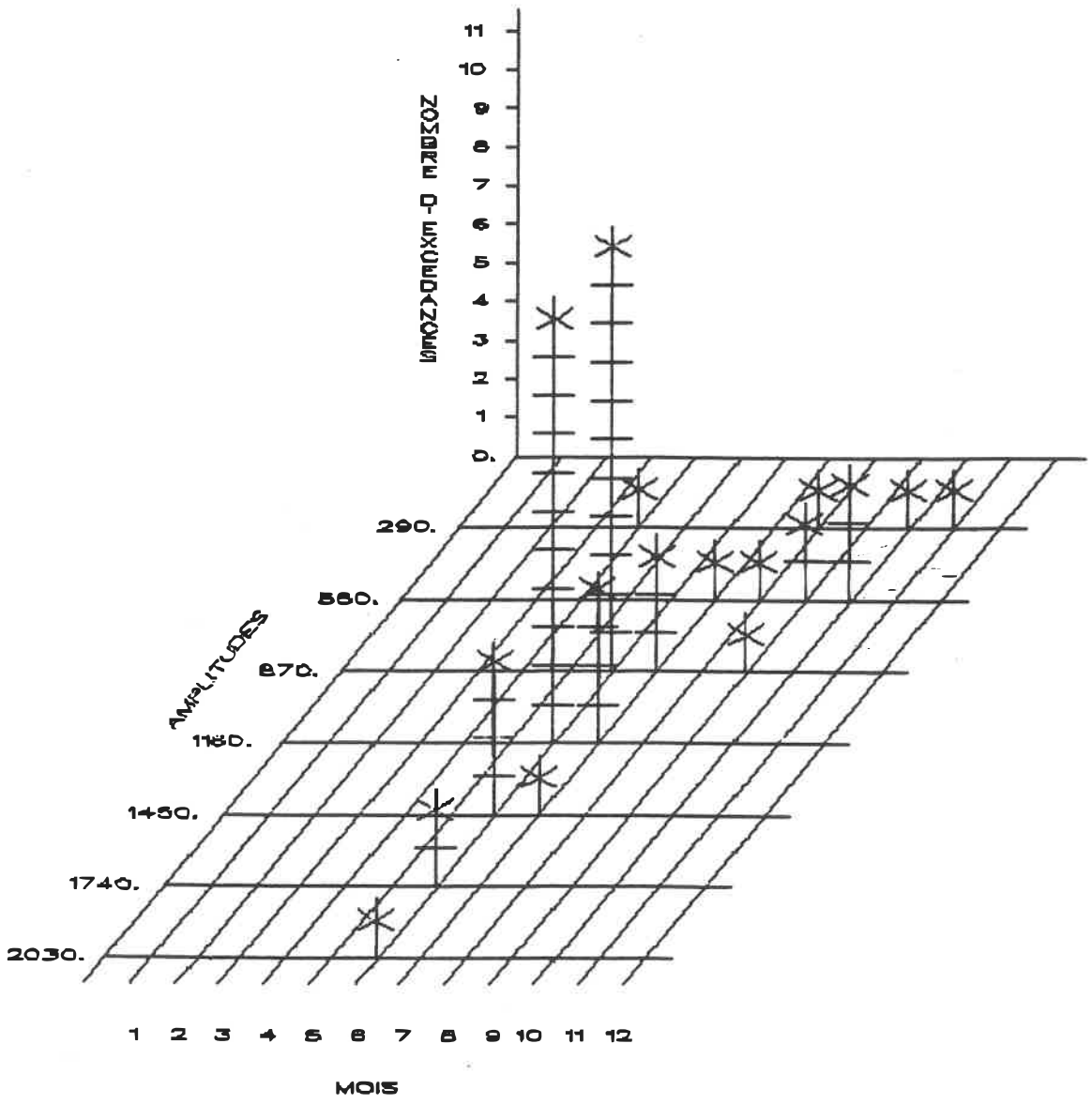


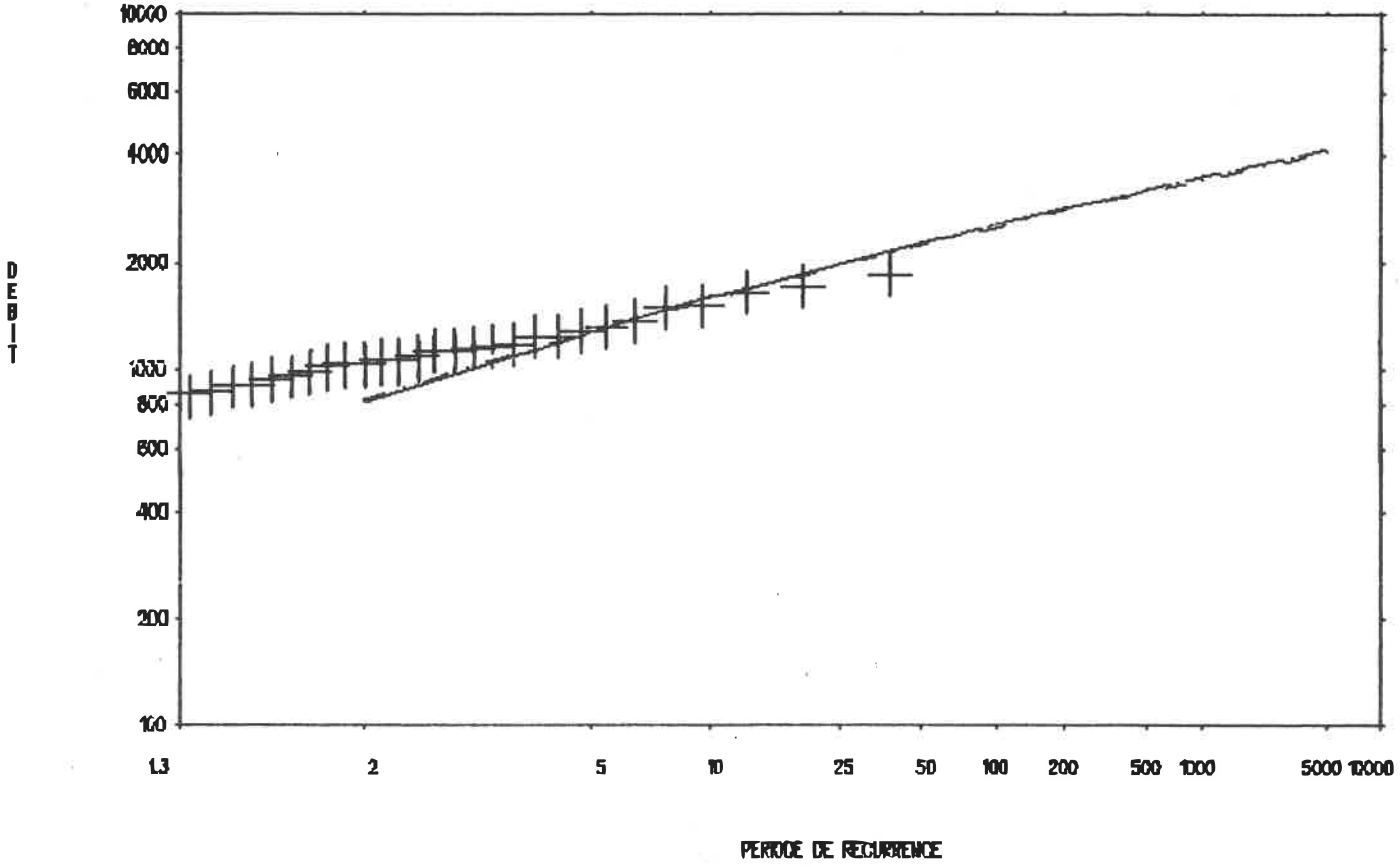

G2.a - Graphe du débit de pointe ($m^3/s$) en fonction de la précipitation cumulée (mm)

G2.b - Graphe du nombre moyen d'excédances en fonction du temps pour différents débits de base

Figure G2 - Station 09AE001



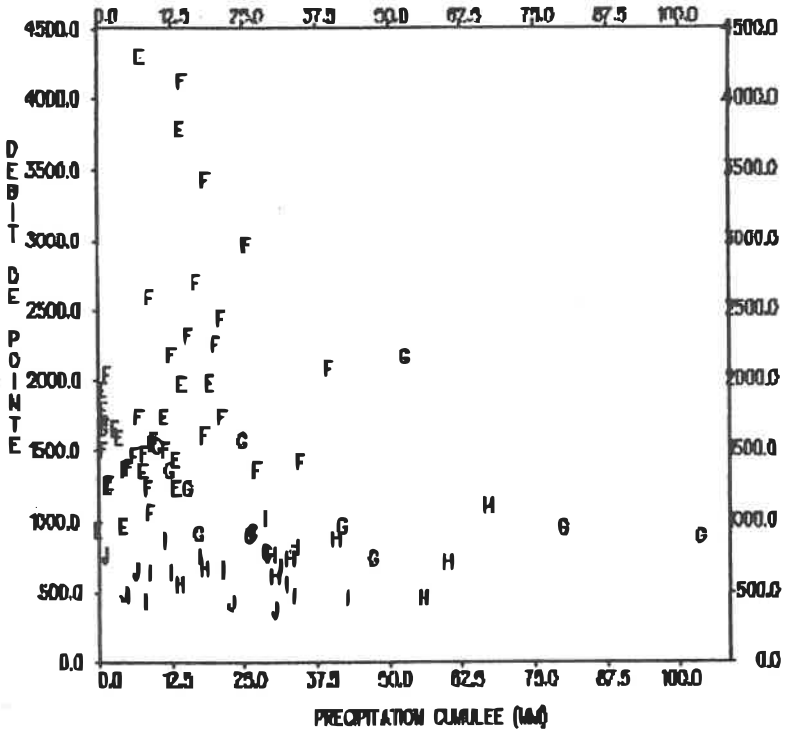

G2.c - Histogramme du nombre d'excédances en fonction de l'amplitude ($m^3/s$) et du mois

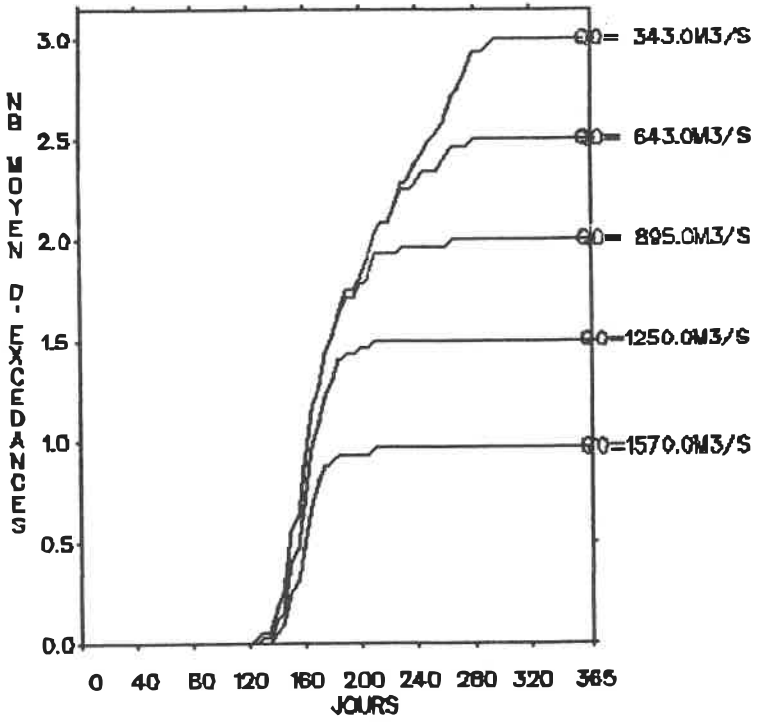



G2.d - Graphe du débit de pointe ($m^3/s$) en fonction du nombre d'années de récurrence

——— découpage en périodes homogènes

—•—• analyse annuelle

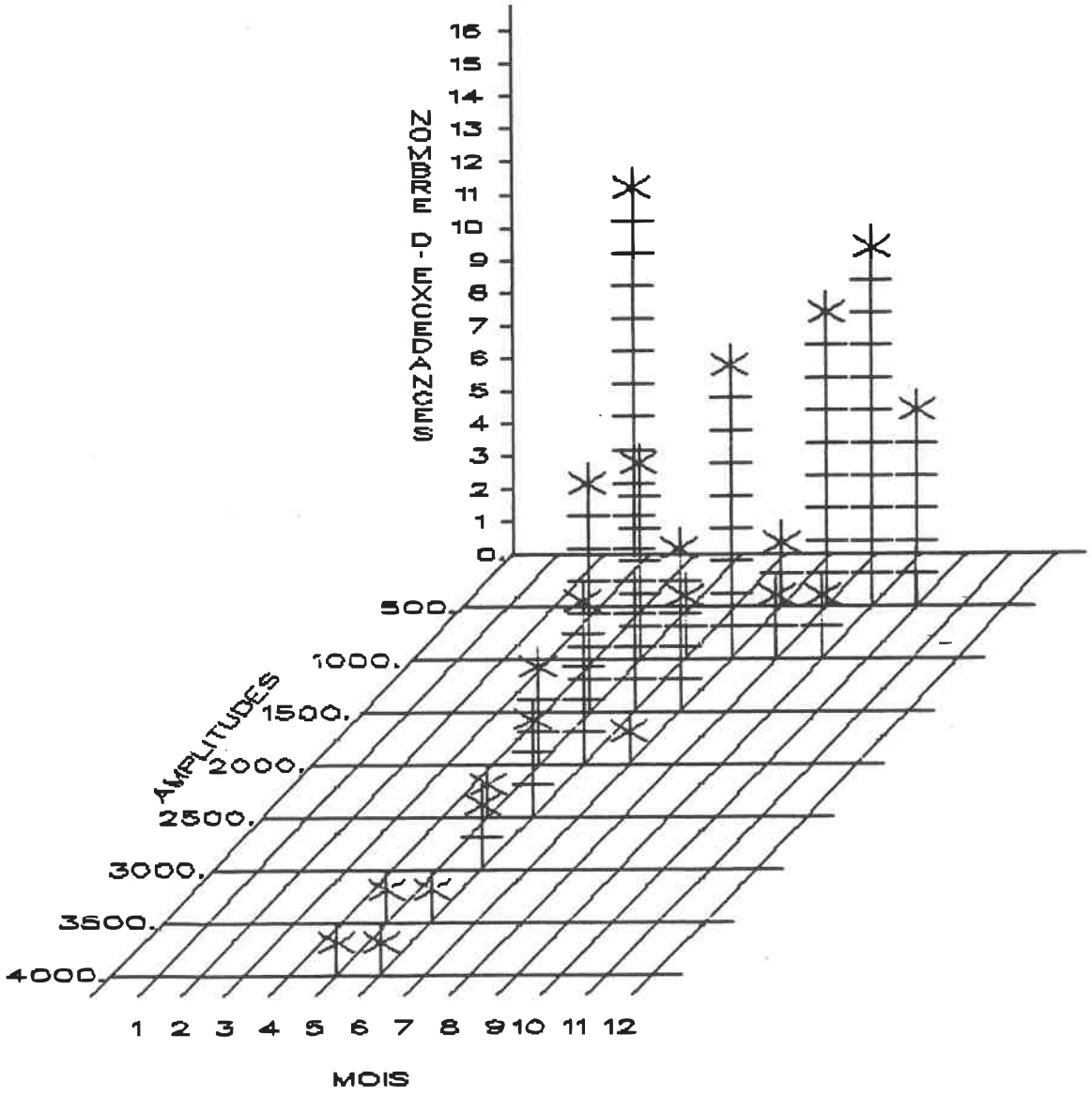


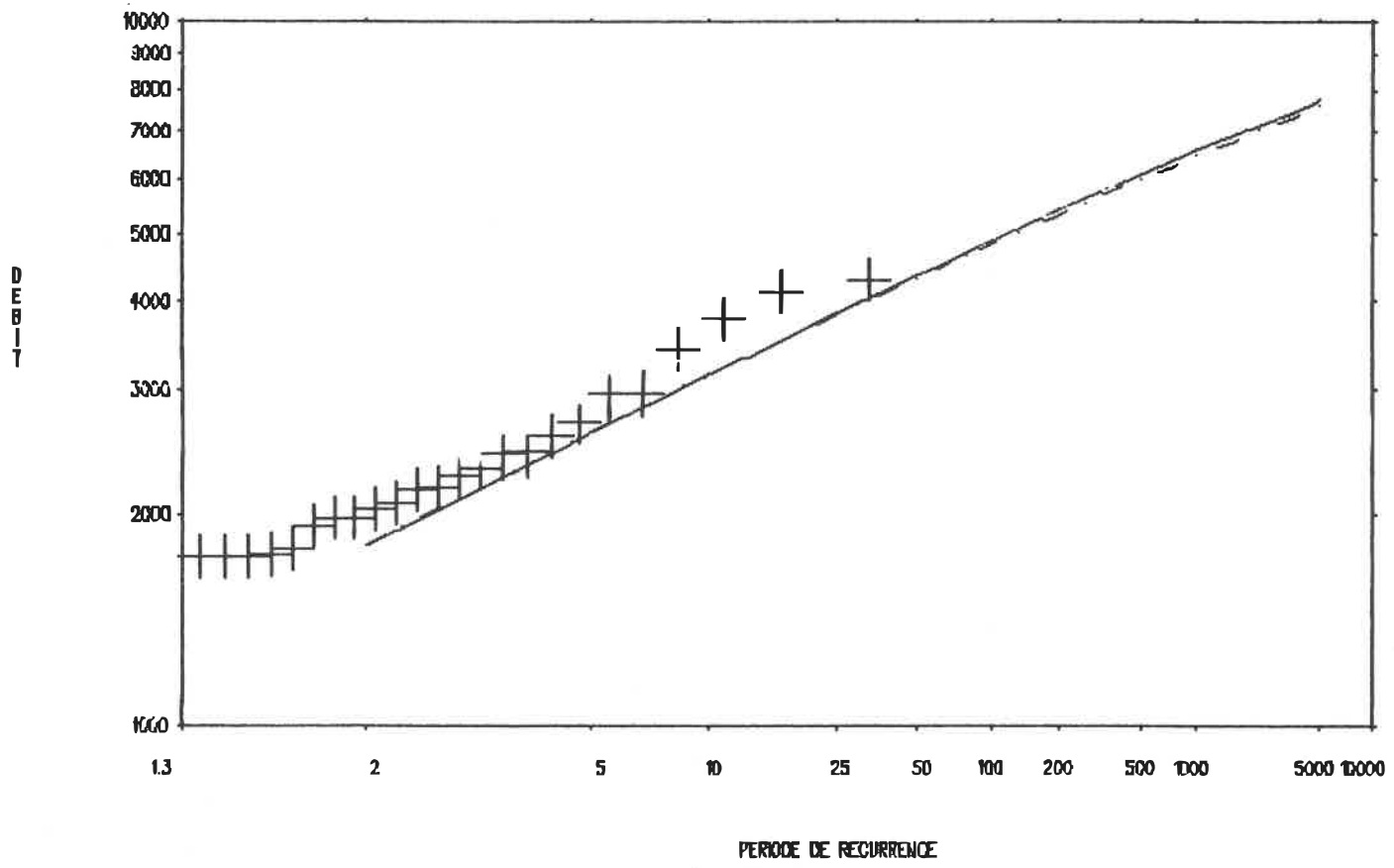

G3.a - Graphe du débit de pointe ($m^3/s$) en fonction de la précipitation cumulée (mm)

G3.b - Graphe du nombre moyen d'excédances en fonction du temps pour différents débits de base

Figure G3 - Station 09BC001



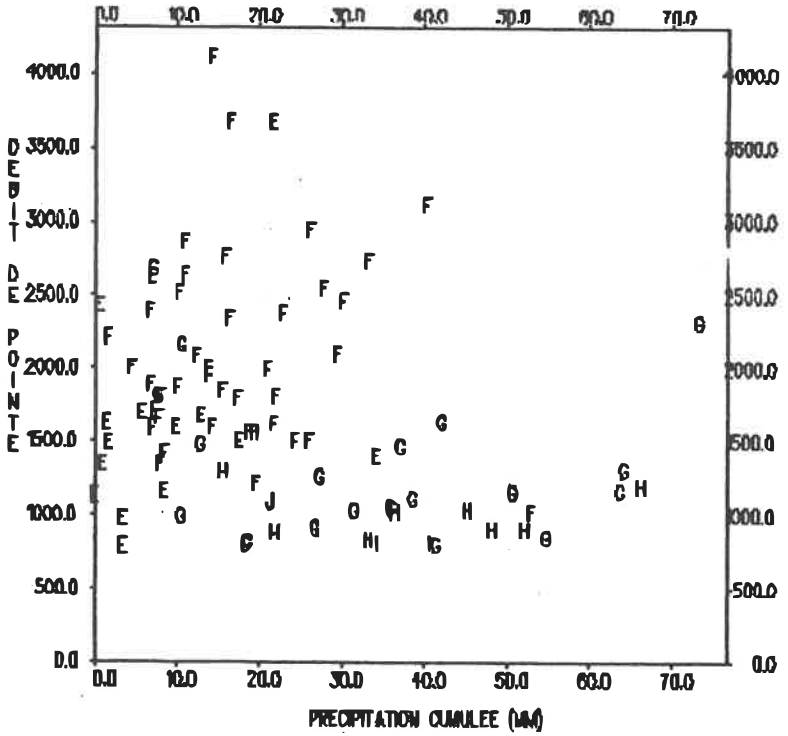

G3.c - Histogramme du nombre d'excédances en fonction de l'amplitude ($m^3/s$) et du mois

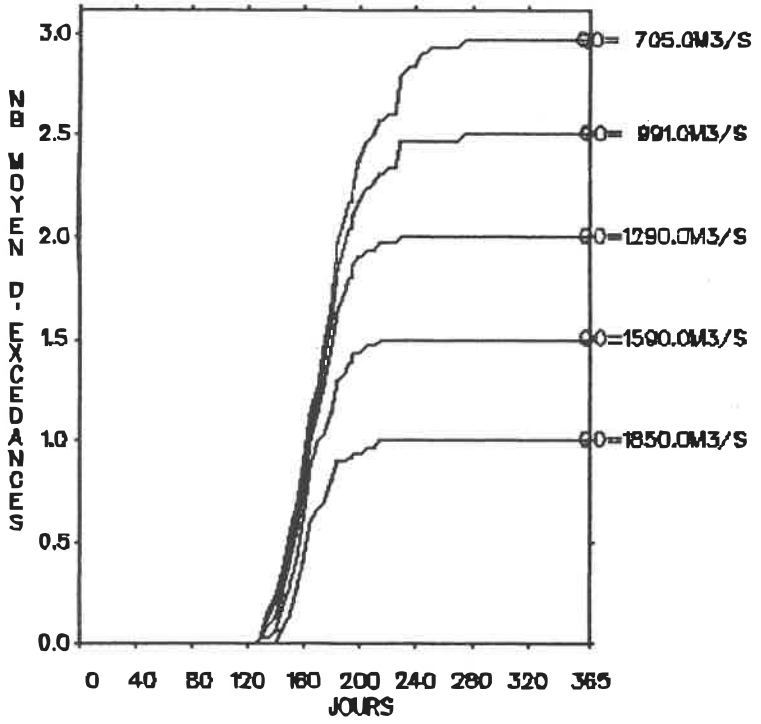



G3.d - Graphe du débit de pointe ($m^3/s$) en fonction du nombre d'années de récurrence

—— découpage en périodes homogènes

—·—· analyse annuelle

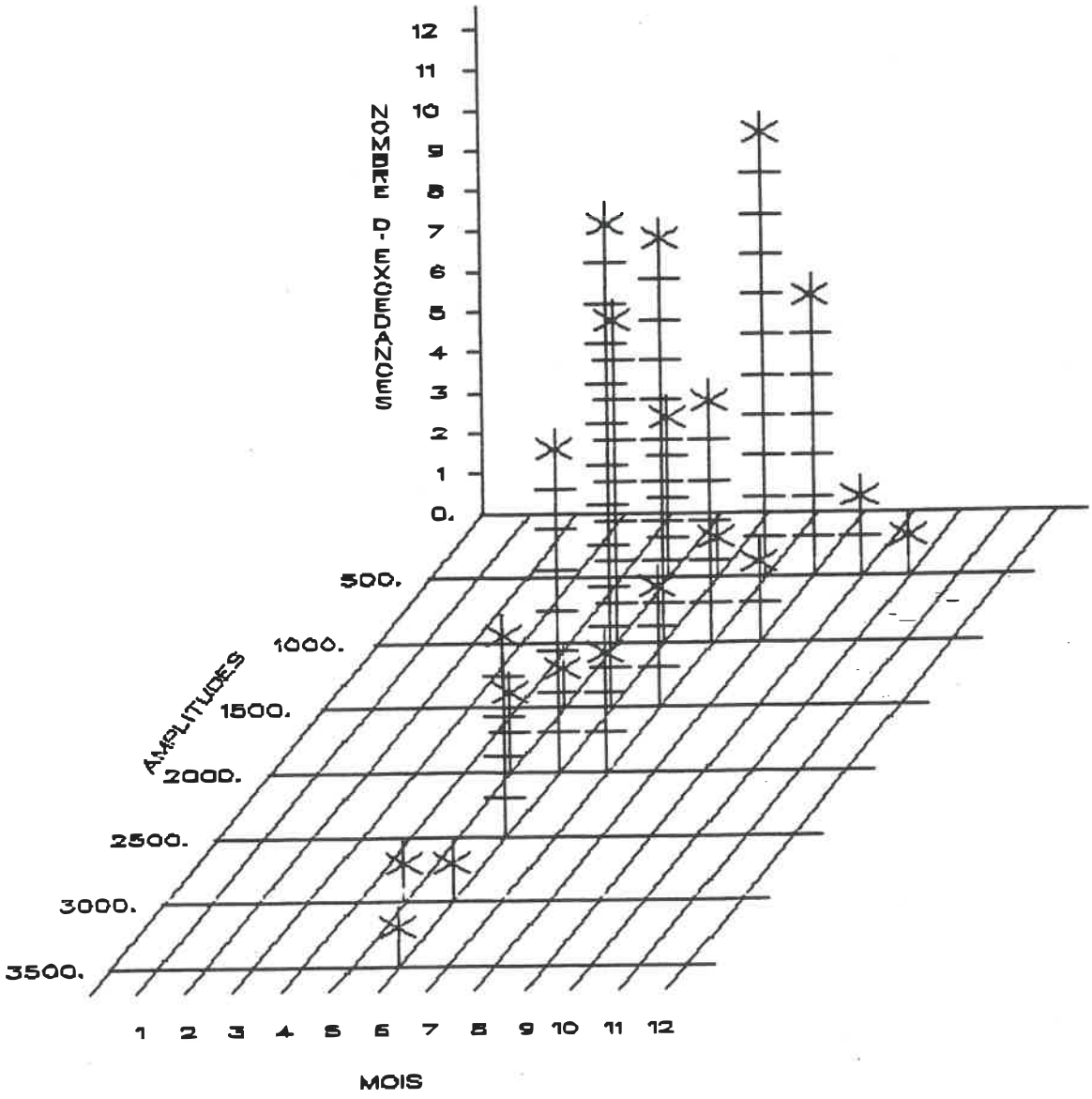


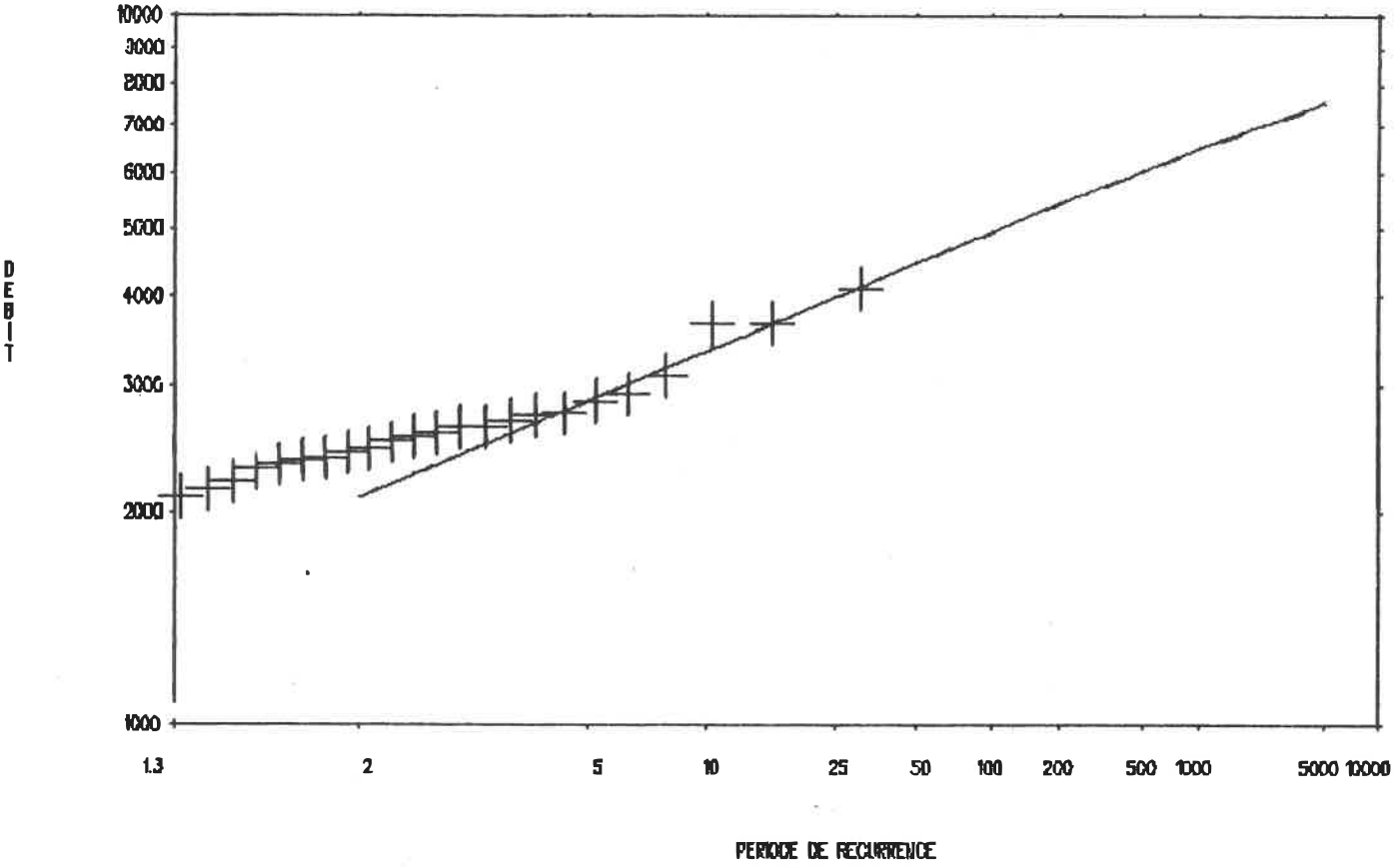

G4.a - Graphe du débit de pointe ($m^3/s$) en fonction de la précipitation cumulée (mm)

G4.b - Graphe du nombre moyen d'excédances en fonction du temps pour différents débits de base

Figure G4 - Station 09DC002



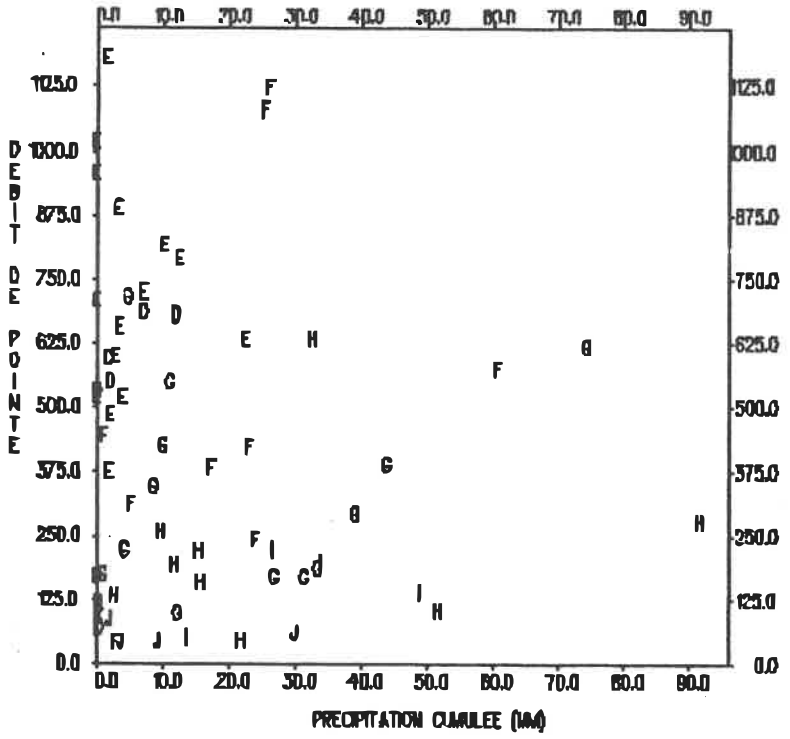

G4.c - Histogramme du nombre d'excédances en fonction de l'amplitude ($m^3/s$) et du mois

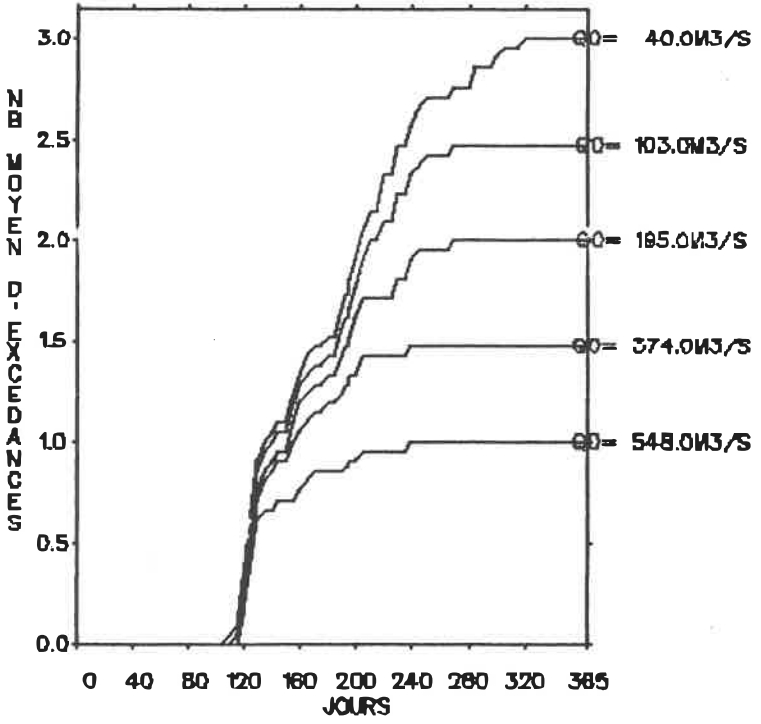



G4.d - Graphe du débit de pointe ($m^3/s$) en fonction du nombre d'années de récurrence

—— découpage en périodes homogènes

—·—· analyse annuelle

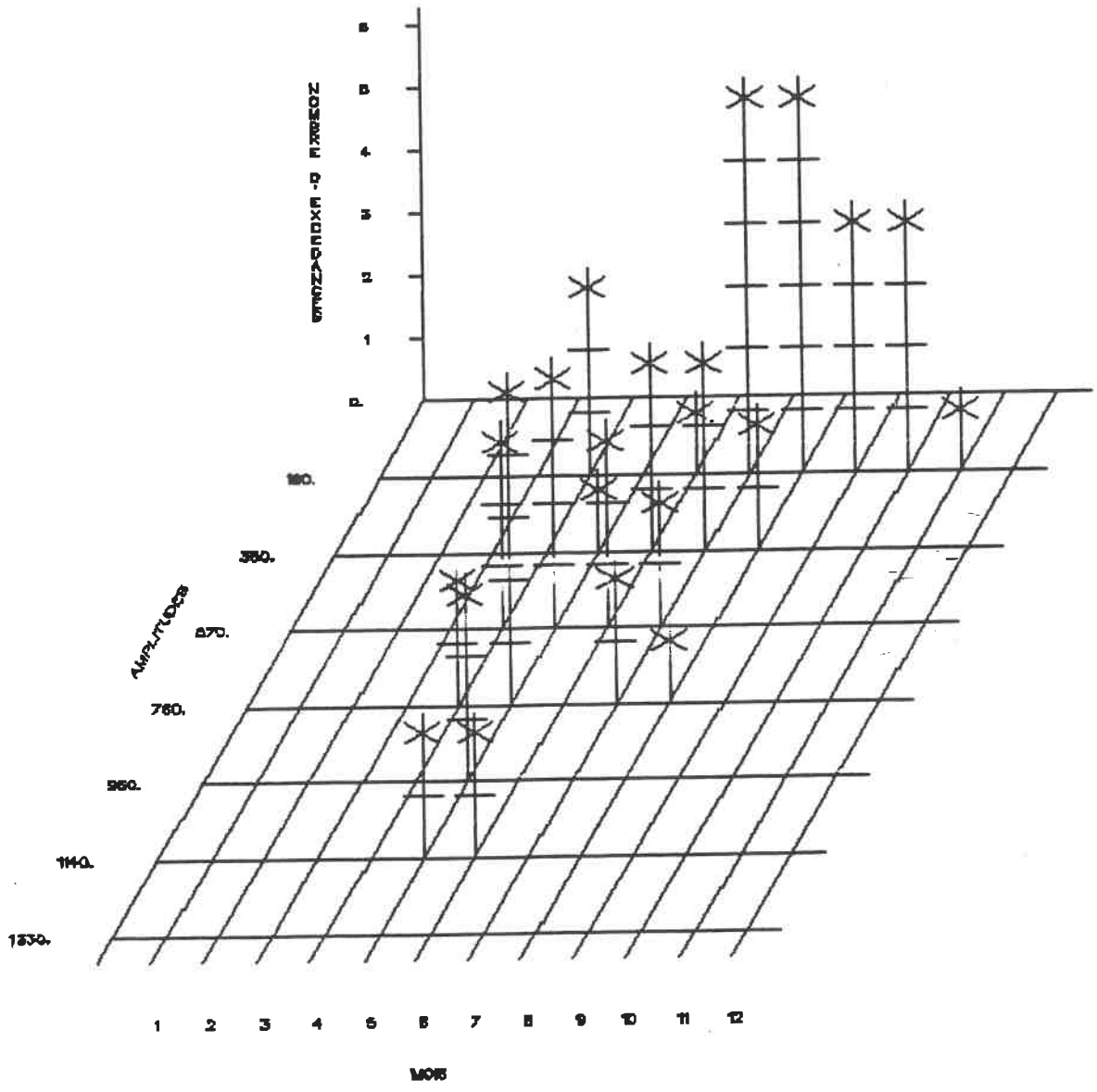


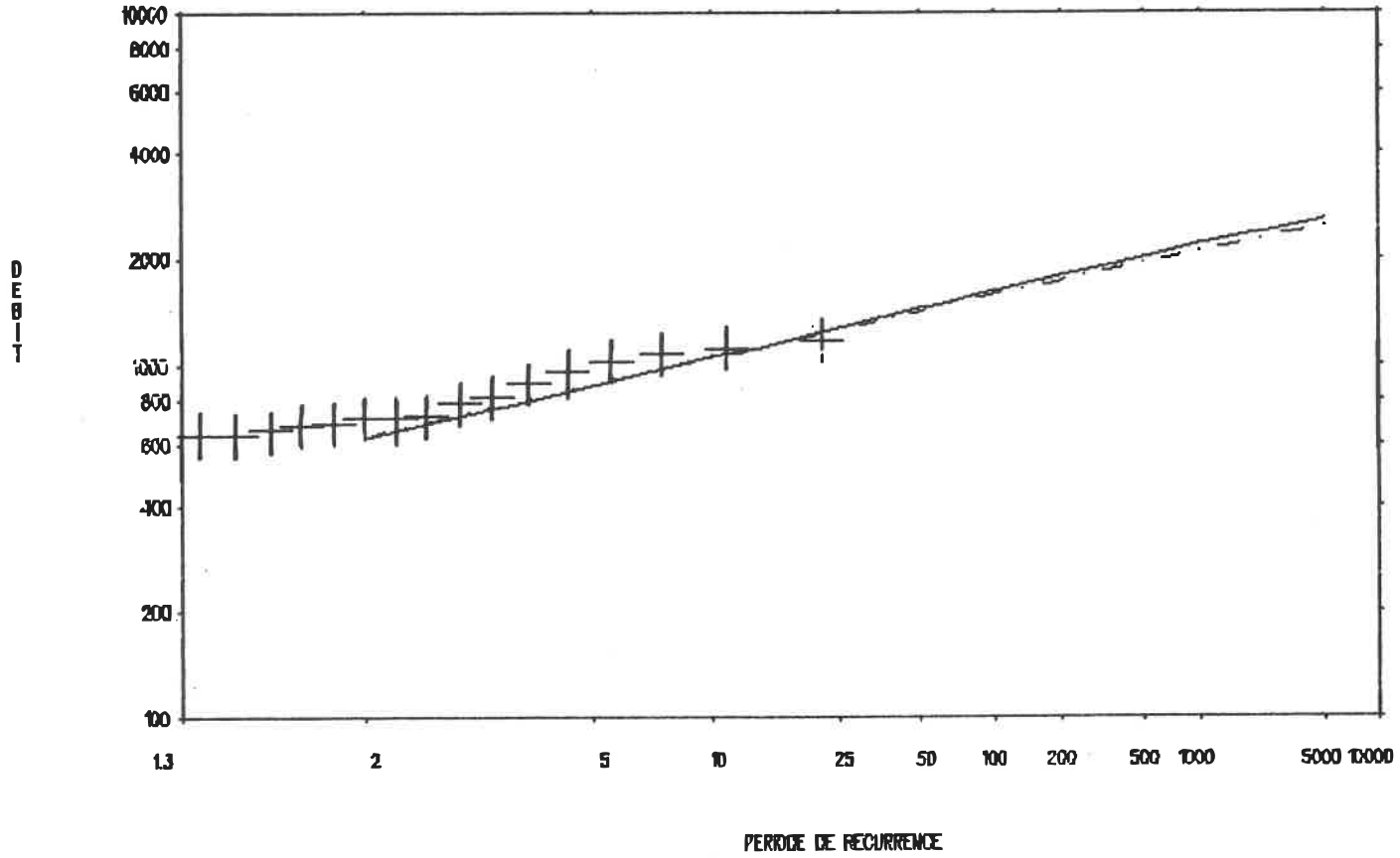

G5.a - Graphe du débit de pointe ($m^3/s$) en fonction de la précipitation cumulée (mm)

G5.b - Graphe du nombre moyen d'excédances en fonction du temps pour différents débits de base

Figure G5 - Station 070B001



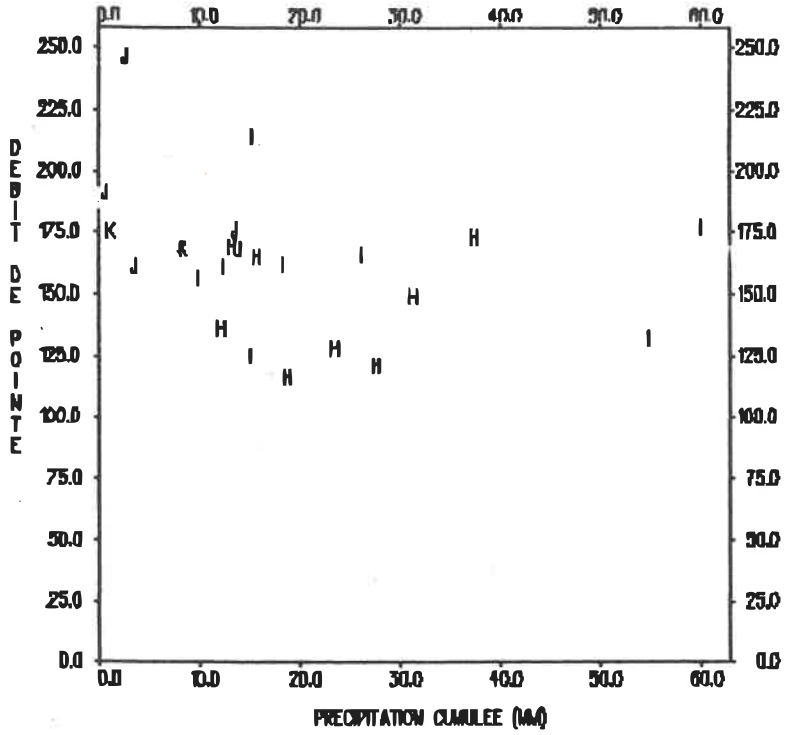

G5.c - Histogramme du nombre d'excédances en fonction de l'amplitude ($m^3/s$) et du mois

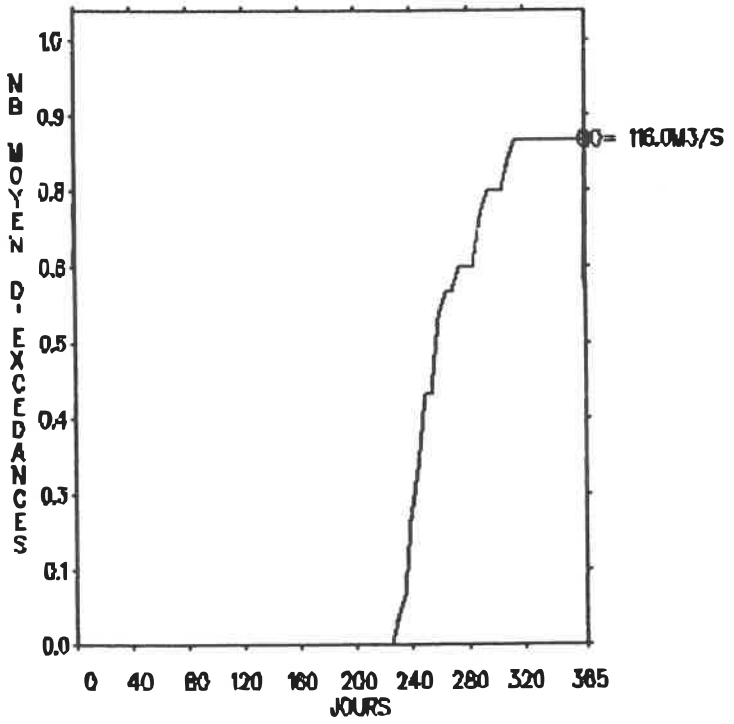



G5.d - Graphe du débit de pointe ($m^3/s$) en fonction du nombre d'années de récurrence

——— découpage en périodes homogènes

—·—· analyse annuelle

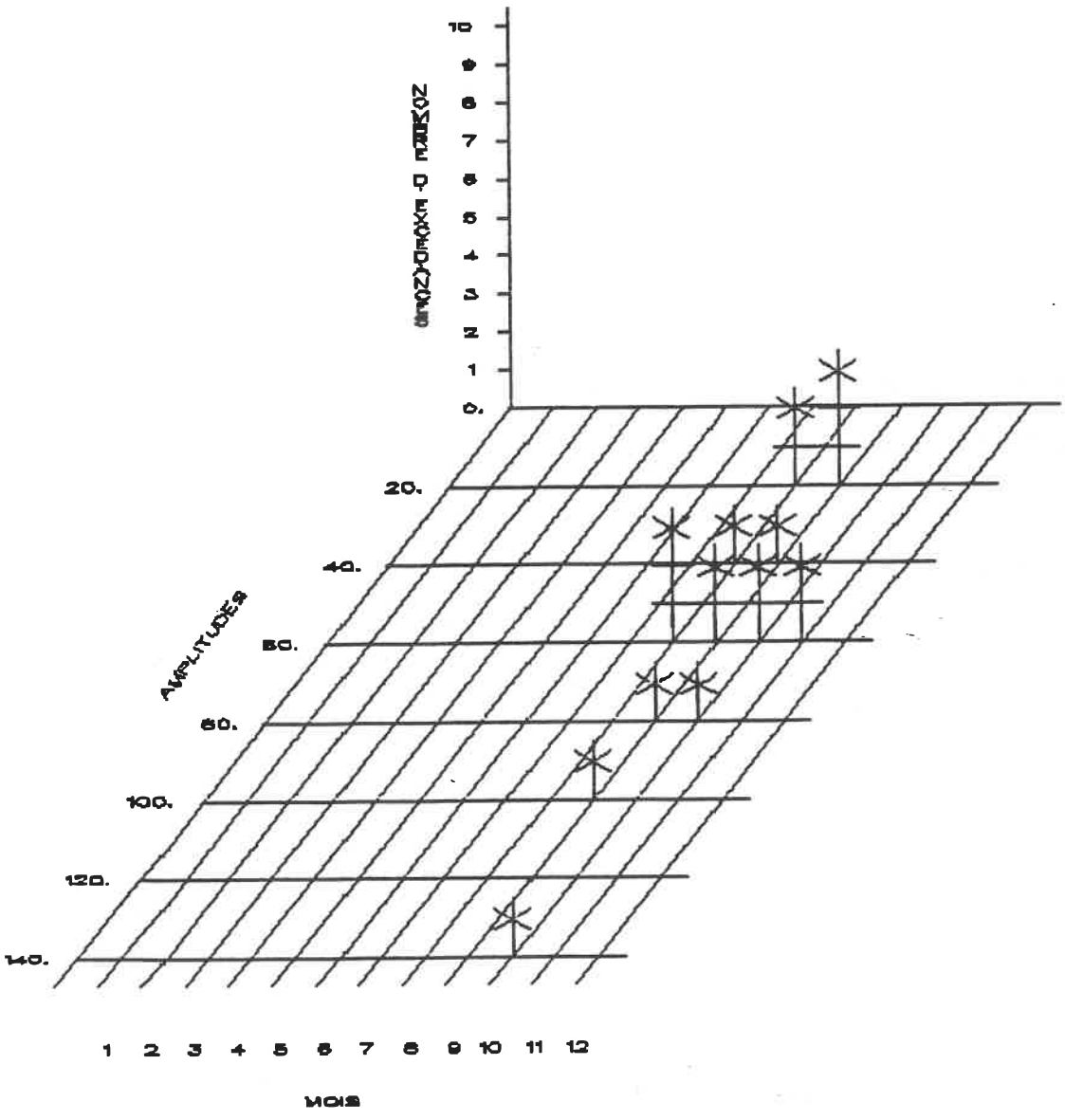


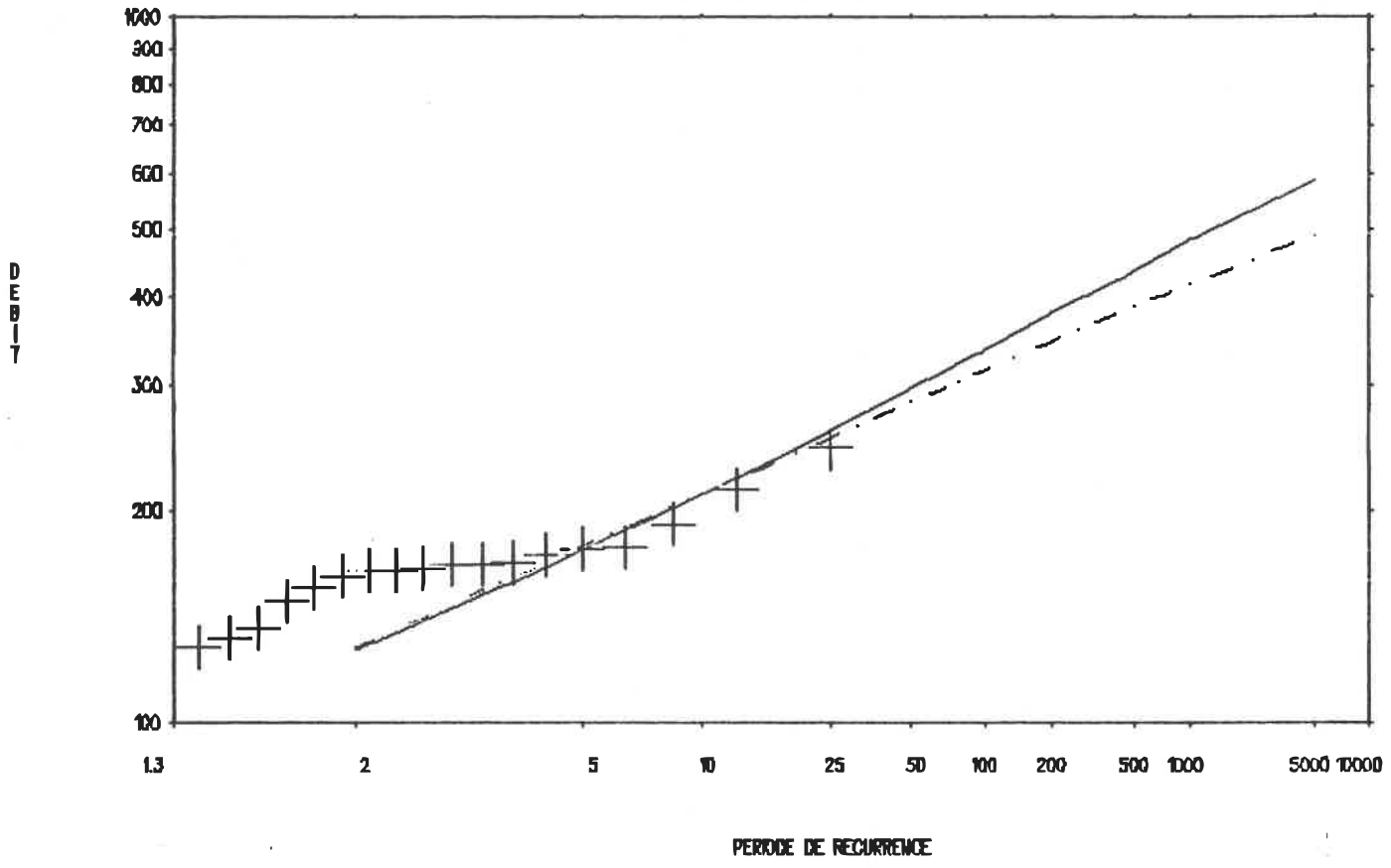

G6.a - Graphe du débit de pointe ($m^3/s$) en fonction de la précipitation cumulée (mm)

G6.b - Graphe du nombre moyen d'excédances en fonction du temps pour différents débits de base

Figure G6 - Station 07RD001



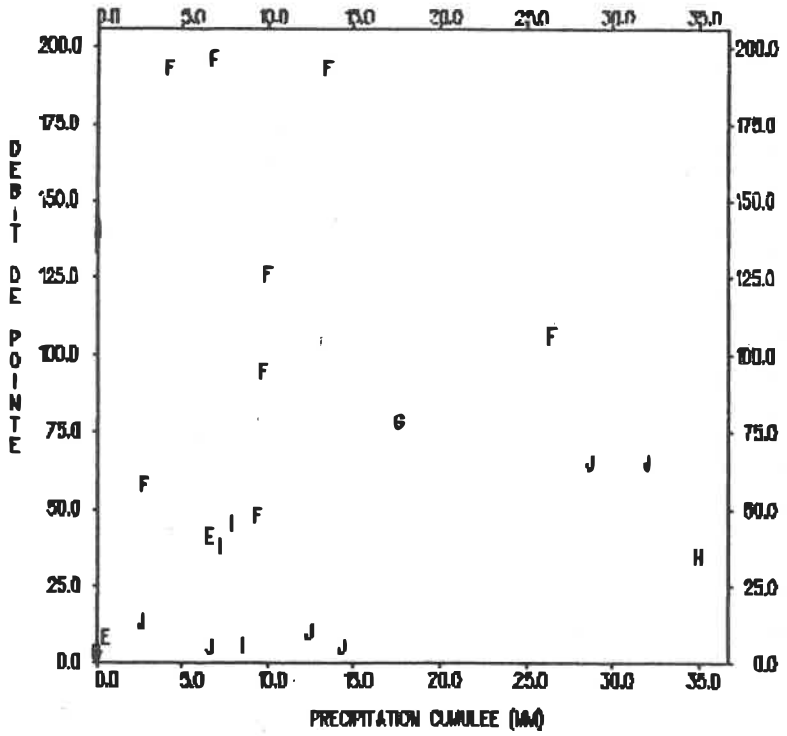

G6.c - Histogramme du nombre d'excédances en fonction de l'amplitude ($m^3/s$) et du mois

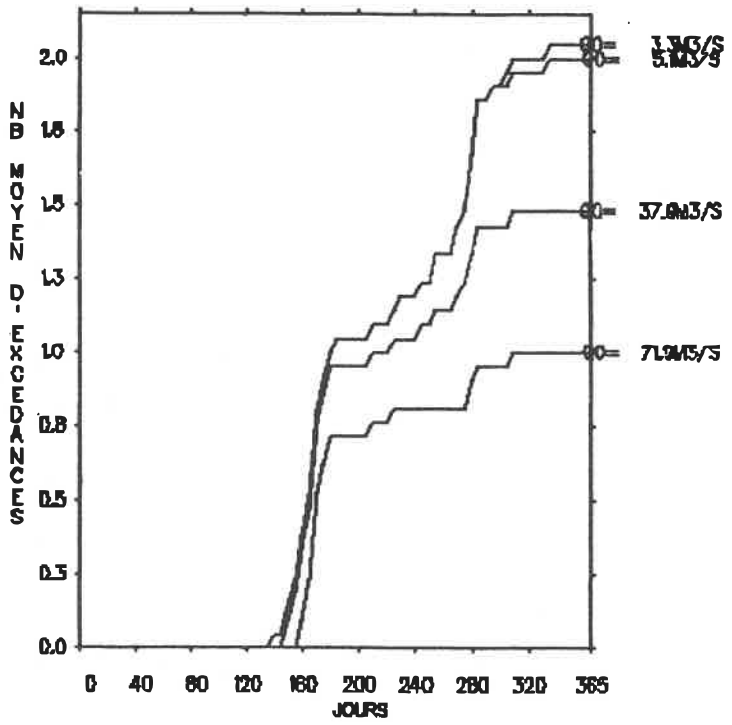



G6.d - Graphe du débit de pointe ($m^3/s$) en fonction du nombre d'années de récurrence

—— découpage en périodes homogènes

—·—· analyse annuelle

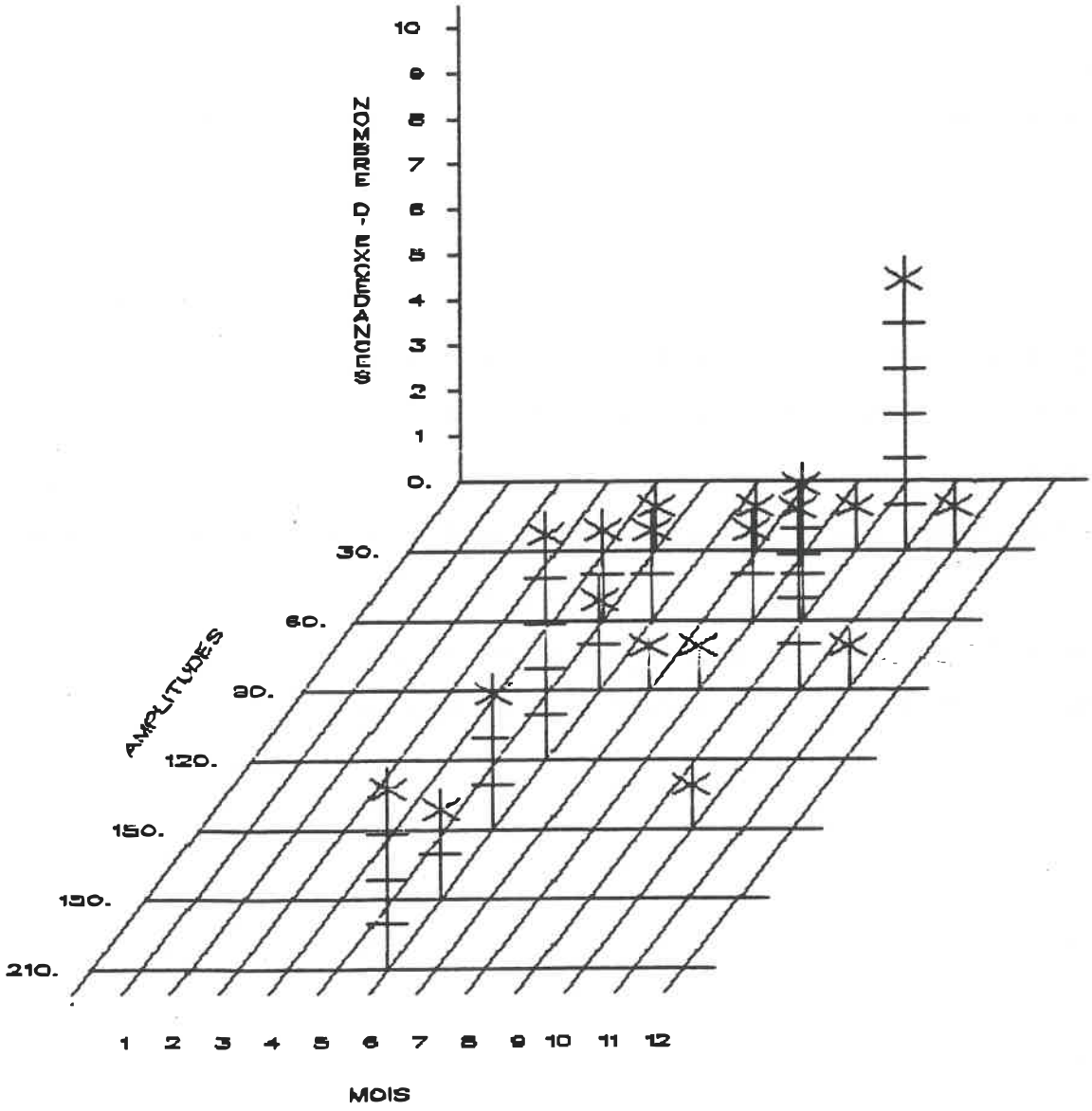


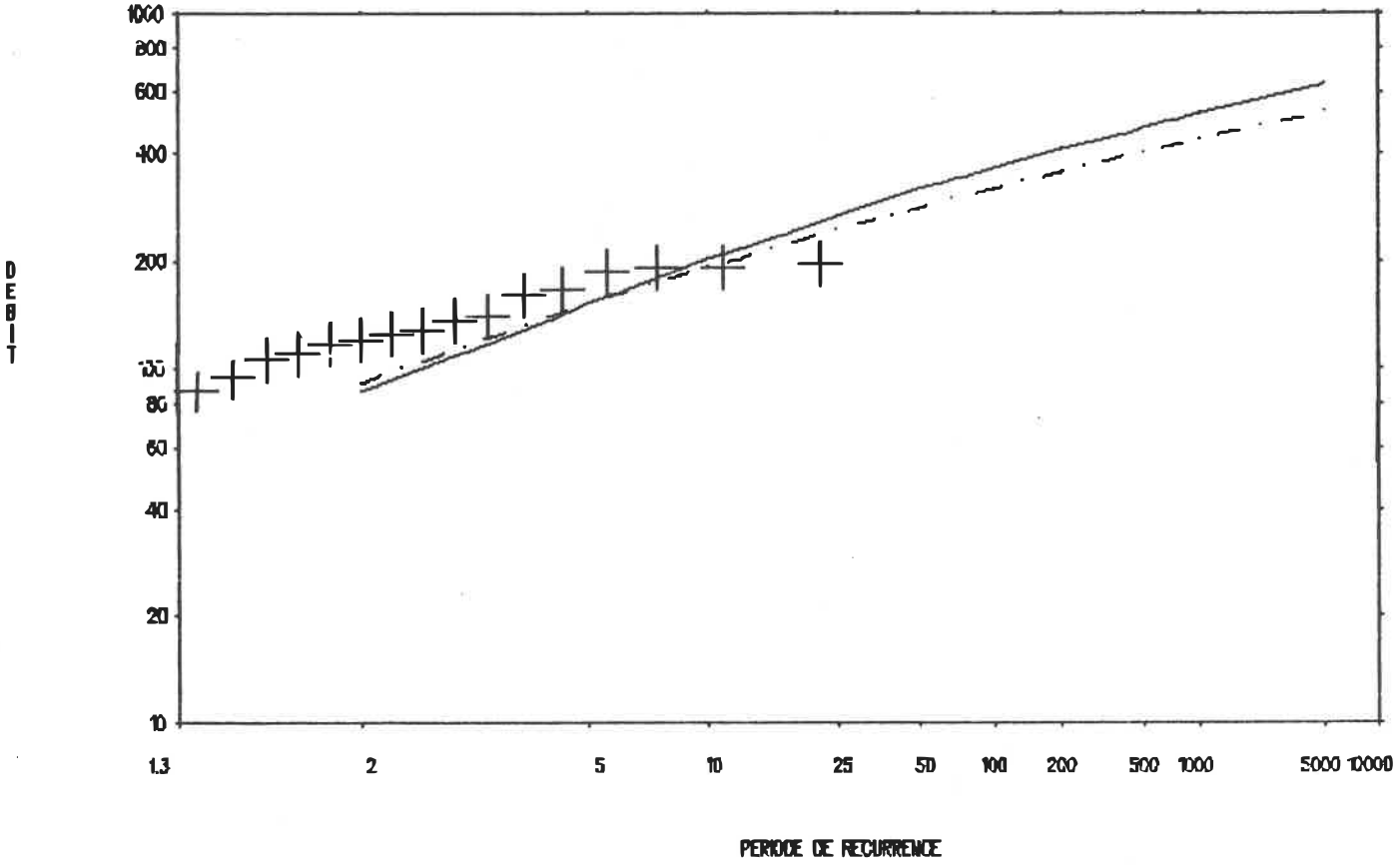

G7.a - Graphe du débit de pointe ($m^3/s$) en fonction de la précipitation cumulée (mm)

G7.b - Graphe du nombre moyen d'excédances en fonction du temps pour différents débits de base

Figure G7 - Station 07UC001



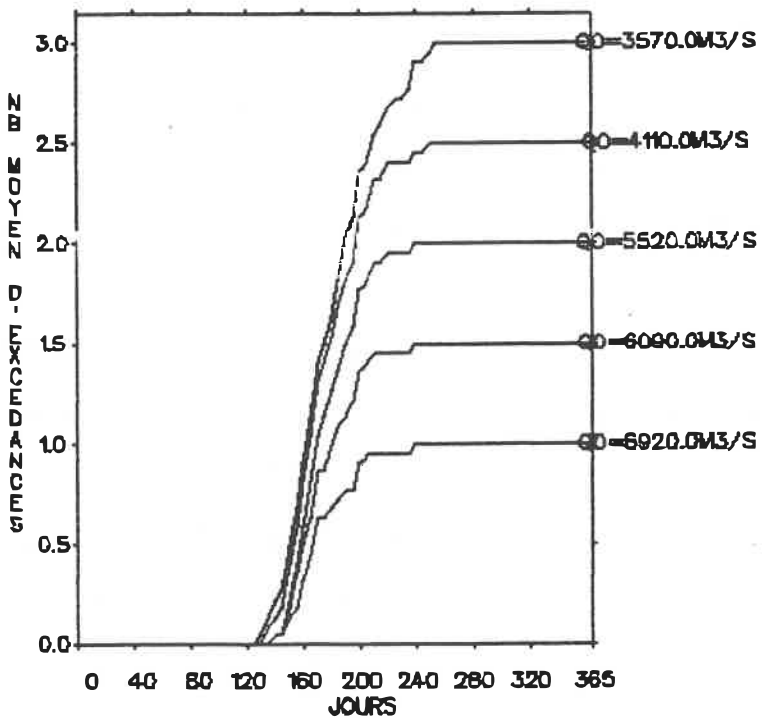

G7.c - Histogramme du nombre d'excédances en fonction de l'amplitude ($m^3/s$) et du mois




G7.d - Graphe du débit de pointe ($m^3/s$) en fonction du nombre d'années de récurrence

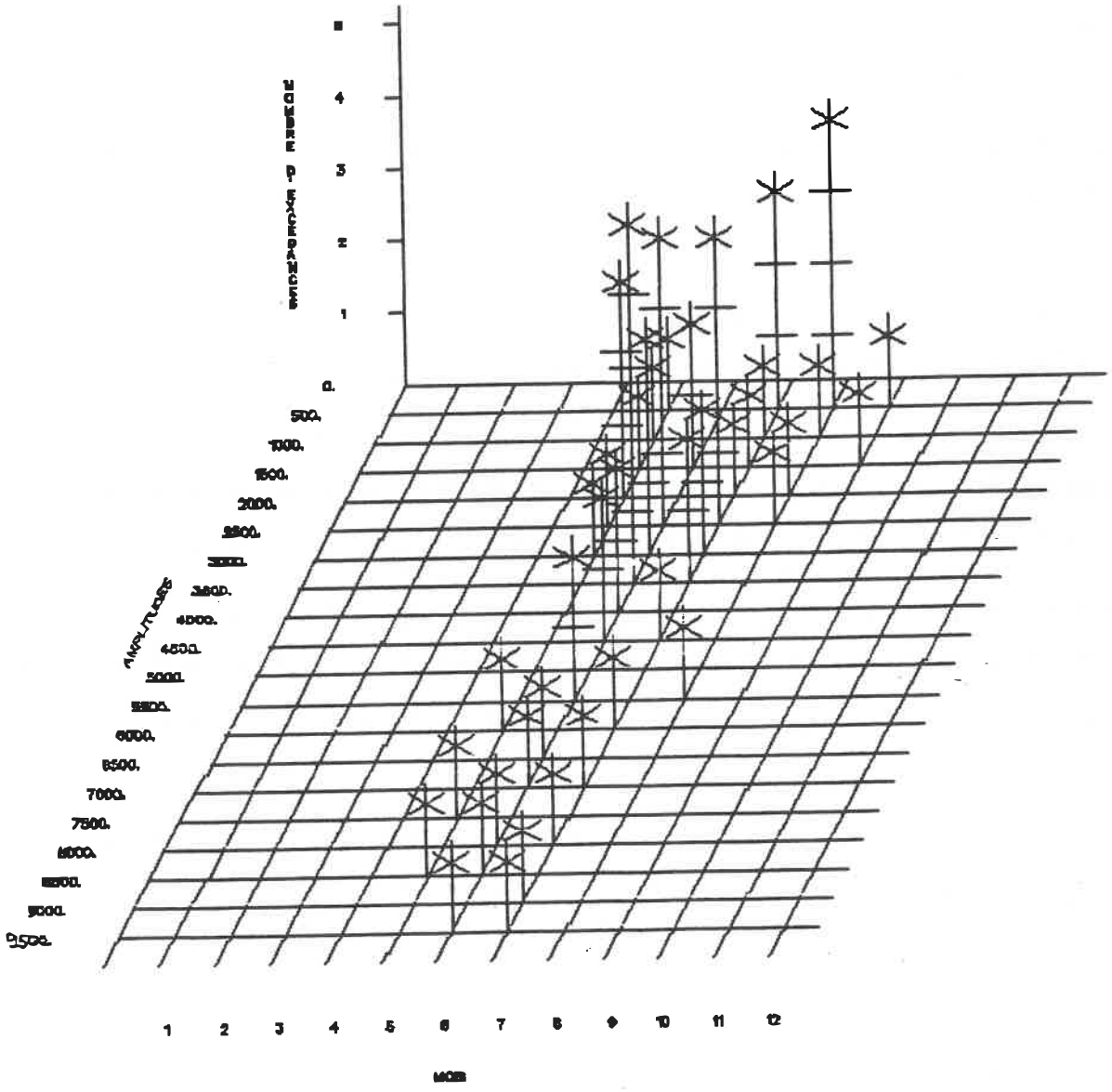
——— découpage en périodes homogènes

—•—• analyse annuelle

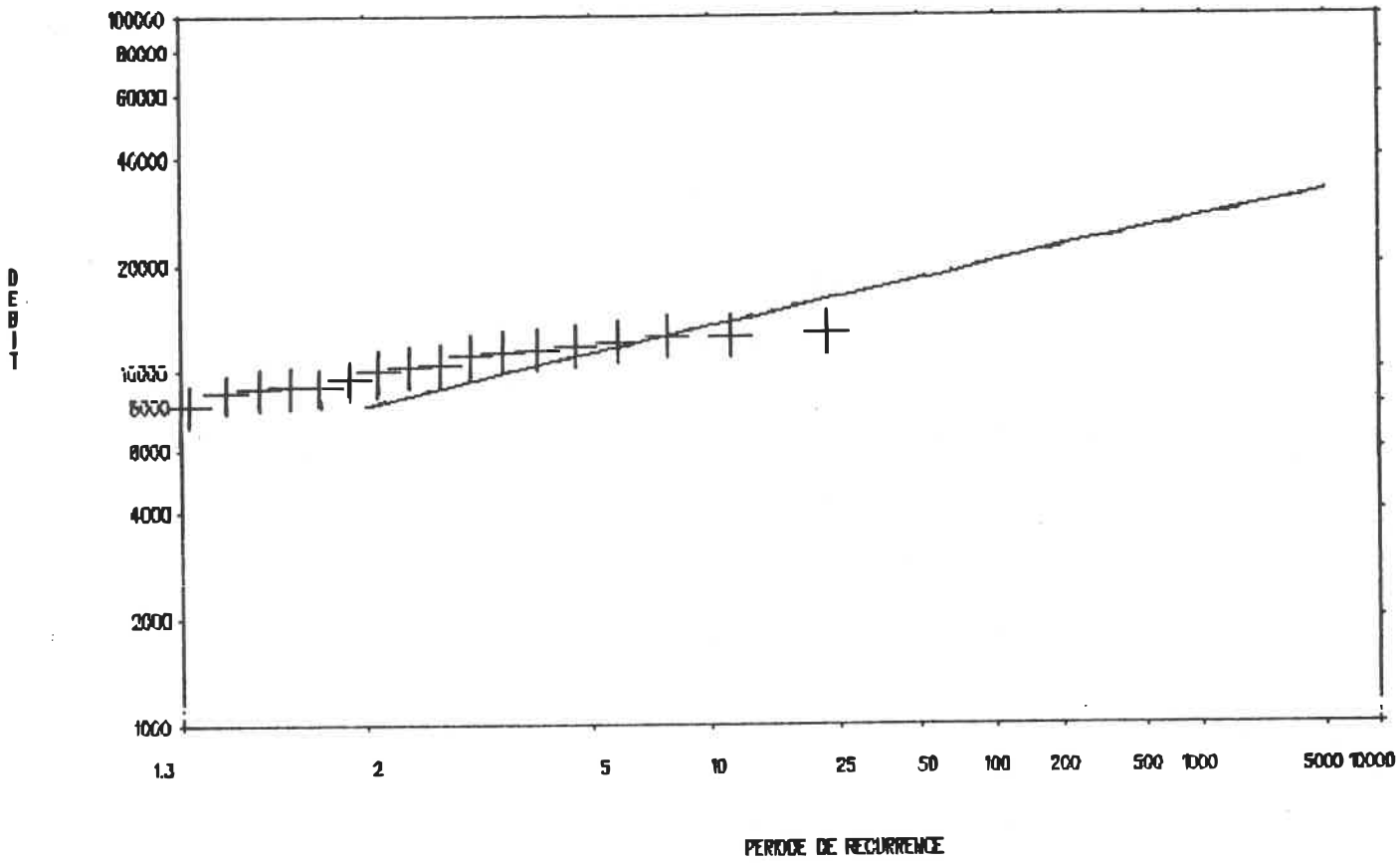



G8.a - Graphe du nombre moyen d'excédances en fonction du temps pour différents débits de base

Figure G8 - Station 10ED001



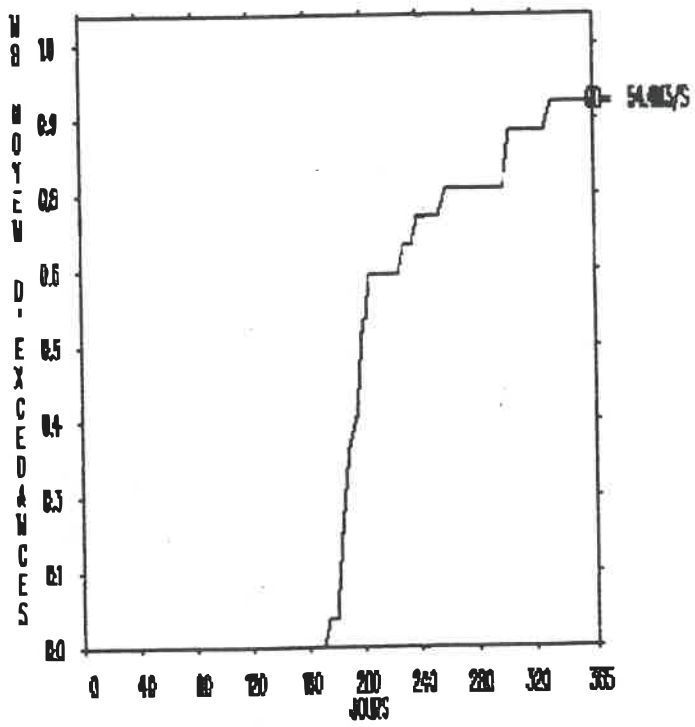

G8.b - Histogramme du nombre d'excédances en fonction de l'amplitude ($m^3/s$) et du mois




G8.c - Graphe du débit de pointe ($m^3/s$) en fonction du nombre d'années de récurrence

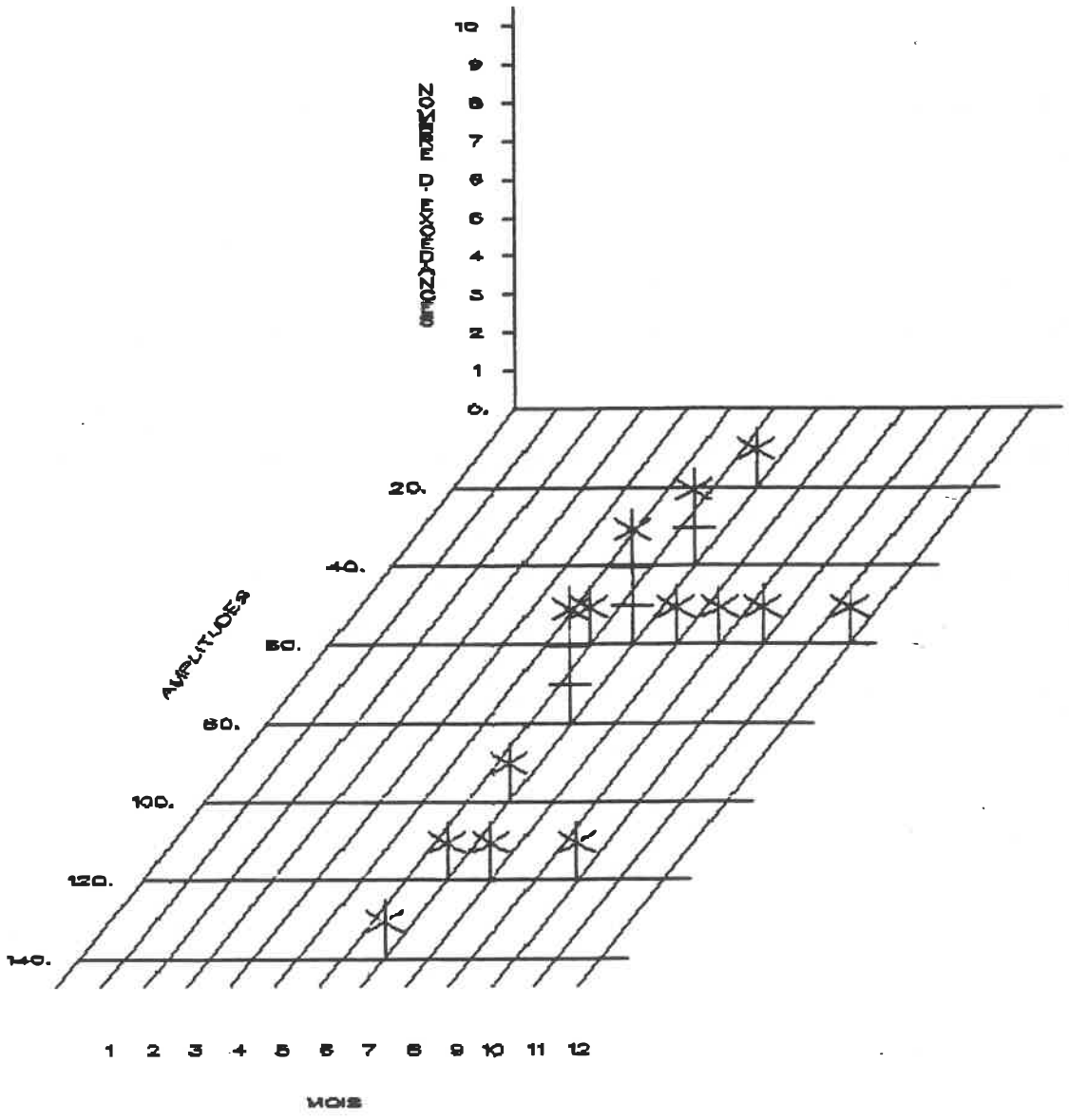
—— découpage en périodes homogènes

—·—· analyse annuelle

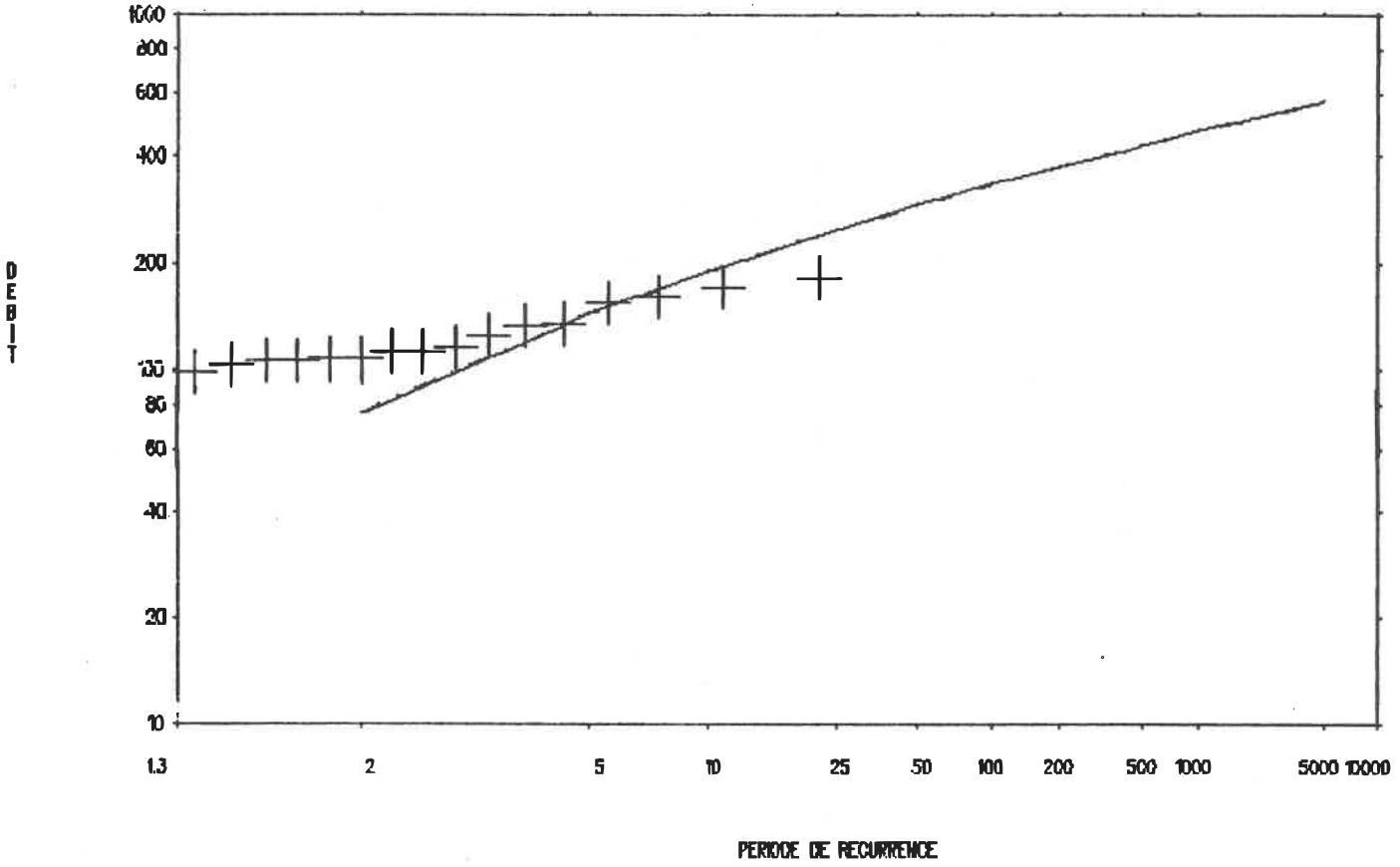



G9.a - Graphe du nombre moyen d'excédances en fonction du temps pour differents débits de base

Figure G9 - Station 10JA002



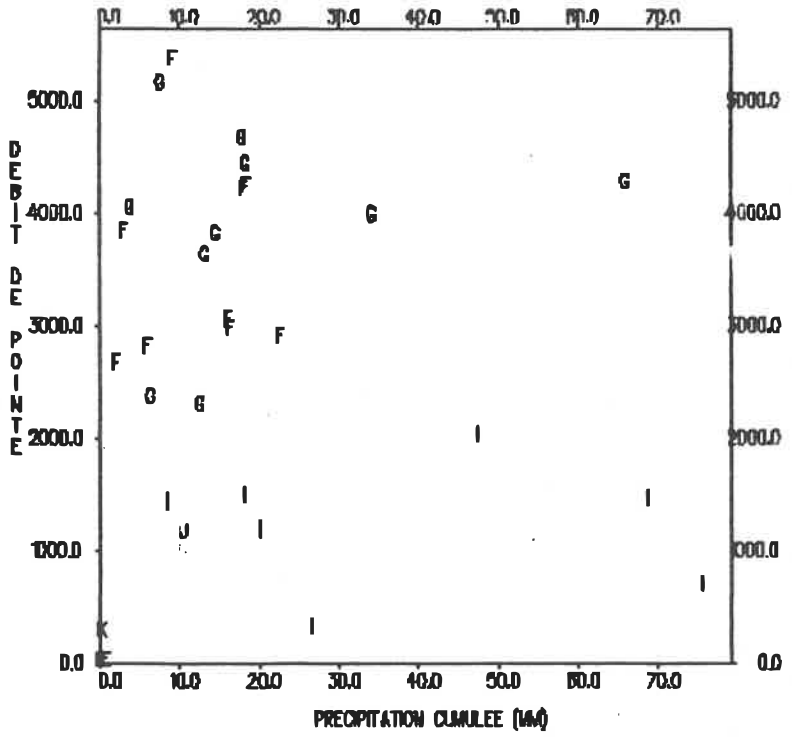

G9.b - Histogramme du nombre d'excédances en fonction de l'amplitude ($m^3/s$) et du mois



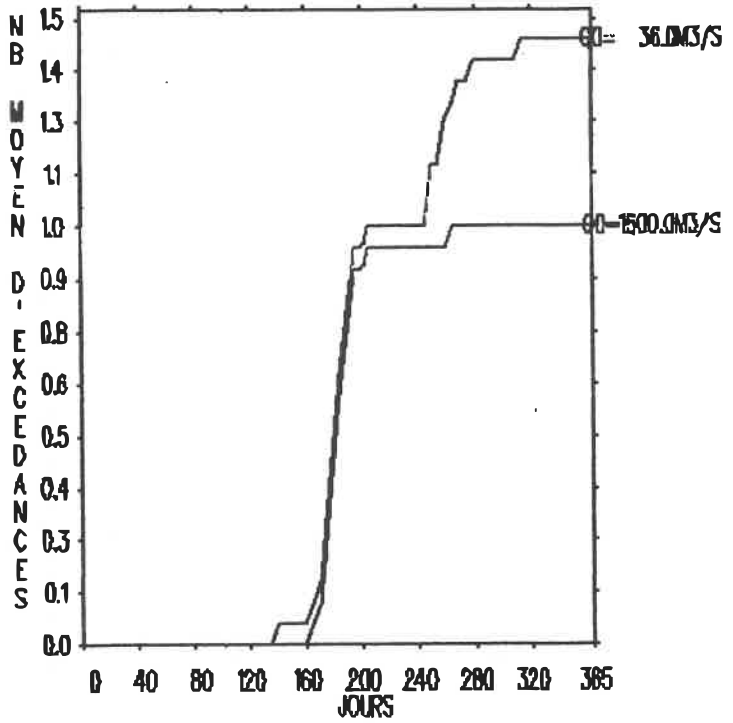

G9.c - Graphe du débit de pointe ($m^3/s$) en fonction du nombre d'années de récurrence

—— découpage en périodes homogènes

—·—· analyse annuelle

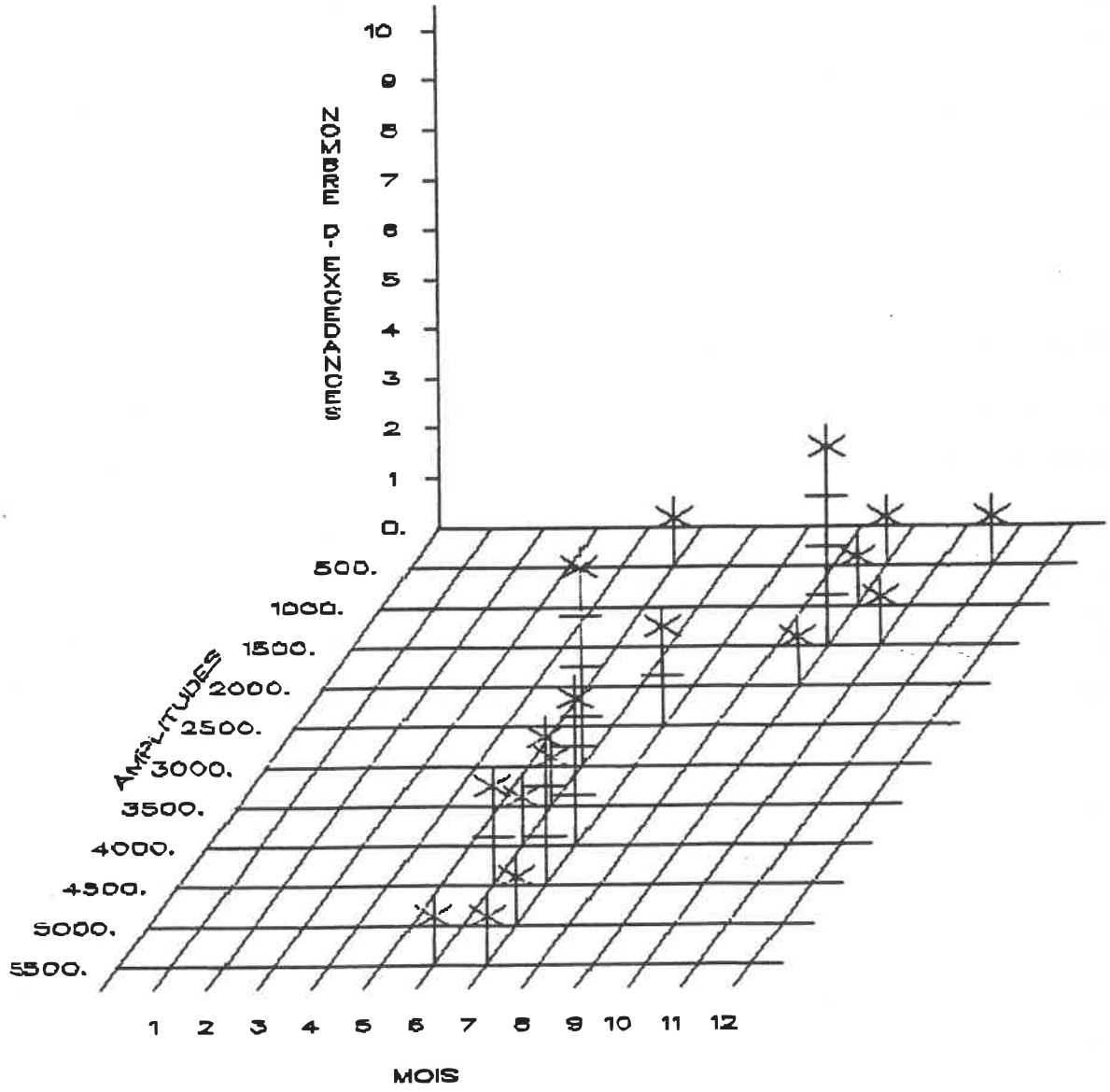



G10.a - Graphe du débit de pointe ($m^3/s$) en fonction de la précipitation cumulée (mm)

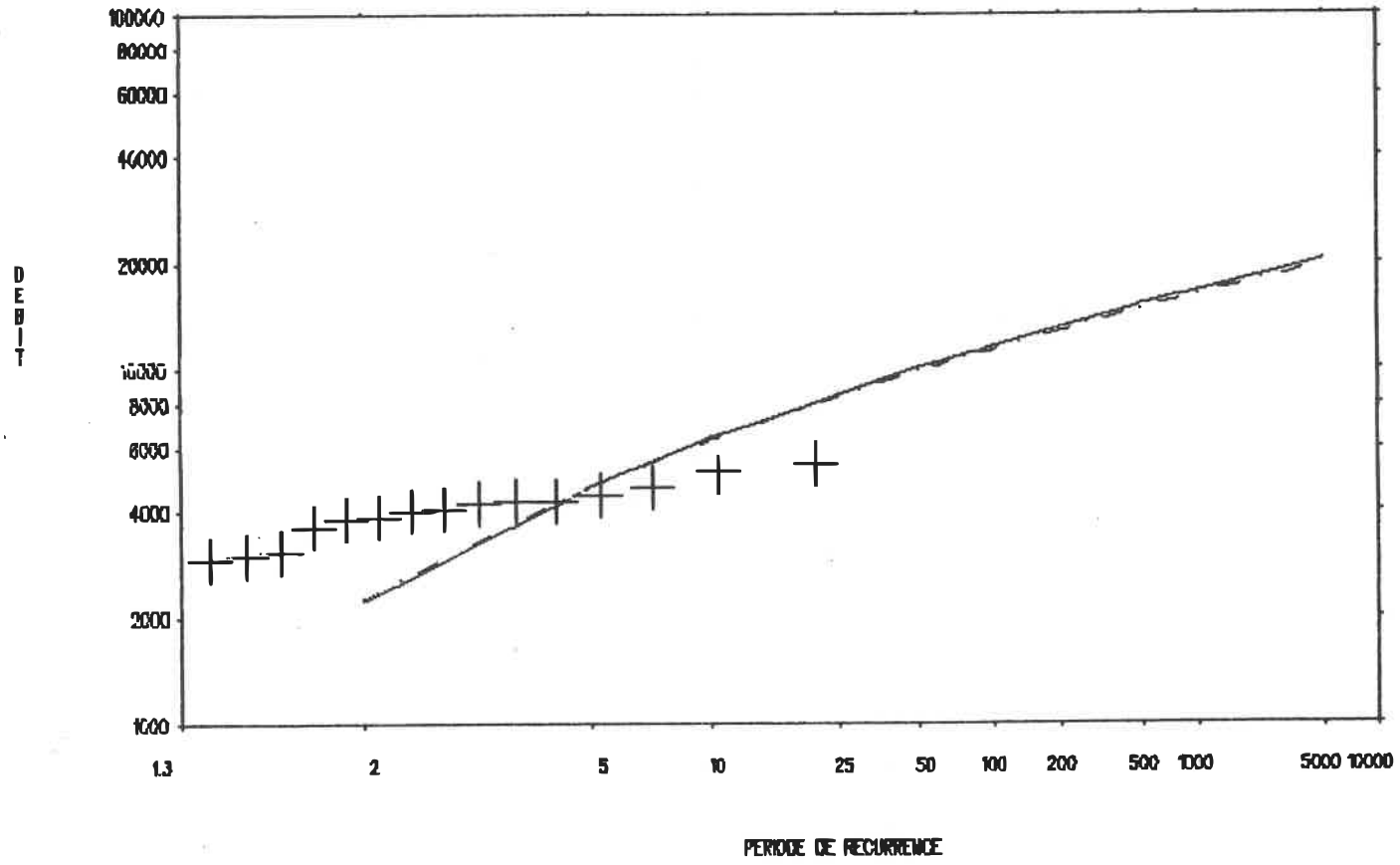



G10.b - Graphe du nombre moyen d'excédances en fonction du temps pour différents débits de base

Figure G10 - Station 10RC001




G10.c - Histogramme du nombre d'excédances en fonction de l'amplitude ($m^3/s$) et du mois




G10.d - Graphe du débit de pointe ($m^3/s$) en fonction du nombre d'années de récurrence

——— découpage en périodes homogènes

—·—· analyse annuelle

ÉCOLE POLYTECHNIQUE DE MONTRÉAL
3 9334 00284774 5

REMIL

198

V.